

(19)



**Евразийское
патентное
ведомство**

(11) **043309**

(13) **B1**

(12) ОПИСАНИЕ ИЗОБРЕТЕНИЯ К ЕВРАЗИЙСКОМУ ПАТЕНТУ

(45) Дата публикации и выдачи патента
2023.05.12

(51) Int. Cl. **C07K 16/28** (2006.01)
C07K 16/30 (2006.01)

(21) Номер заявки
201891749

(22) Дата подачи заявки
2017.02.02

(54) БИСПЕЦИФИЧЕСКИЕ КОНСТРУКЦИИ АНТИТЕЛ, ВОВЛЕКАЮЩИЕ Т-КЛЕТКИ

(31) **62/290,861**

(32) **2016.02.03**

(33) **US**

(43) **2019.01.31**

(86) **PCT/EP2017/052212**

(87) **WO 2017/134140 2017.08.10**

(71)(73) Заявитель и патентовладелец:
**ЭМДЖЕН РИСЕРЧ (МЮНИК) ГМБХ
(DE)**

(56) WO-A2-2012088461
WO-A1-2014138449
WO-A1-2013026837
WO-A1-2014114800
WO-A2-2008143954
WO-A2-2008119567
EP-A1-2647707
US-A1-2011293579
US-A1-2017037130
US-A1-2017029512

(72) Изобретатель:
**Раум Тобиас, Мюнц Маркус, Брзи
Йоханнес, Куфер Петер, Хоффманн
Патрик, Фридрих Маттиас, Раттель
Бенно, Богнер Памела, Вольф
Андреас, Помпе Корнелиус (DE)**

(74) Представитель:
Медведев В.Н. (RU)

(57) В изобретении предложены биспецифические конструкции антител со специфической модальностью Fc, характеризующиеся содержанием первого домена, связывающегося с антигеном-мишенью клеточной поверхности, второго домена, связывающегося с внеклеточным эпитопом цепи CD3ε человека и/или Масаса (макака), и третьего домена, который является специфической модальностью Fc. Кроме того, в изобретении предложен полинуклеотид, кодирующий конструкцию антитела, вектор, содержащий этот полинуклеотид, клетки-хозяева, экспрессирующие указанную конструкцию, и содержащая вышеуказанное фармацевтическая композиция.

B1

043309

043309

B1

Уровень техники

Биспецифические молекулы, такие как конструкции антител ViTE® (биспецифическая молекула, вовлекающая Т-клетки), представляют собой рекомбинантные белковые конструкции, состоящие из двух гибко связанных полученных из антител связывающих доменов. Один связывающий домен конструкций антител ViTE® является специфическим в отношении выбранного опухолеассоциированного поверхностного антигена на клетках-мишенях; второй связывающий домен является специфическим в отношении CD3 - субъединицы комплекса Т-клеточного рецептора на Т-клетках. По своей конкретной структуре конструкции антител ViTE® исключительно подходят для временного соединения Т-клеток с клетками-мишенями и, в то же время, для того, чтобы эффективно активировать характерный для Т-клеток цитолитический потенциал против клеток-мишеней. Важной дополнительной разработкой первого поколения конструкций антител ViTE® (смотрите WO 99/54440 и WO 2005/040220), вошедших в клиническую практику в виде AMG 103 и AMG 110, было предоставление биспецифических конструкций антител, связывающихся с независимым от окружения эпитопом в N-конце цепи CD3ε (WO 2008/119567). Конструкции антител ViTE®, связывающиеся с этим выбранным эпитопом, не только демонстрируют межвидовую специфичность в отношении цепи CD3ε человека и *Callithrix jacchus*, *Saguinus oedipus* или *Saimiri sciureus*, но также, благодаря распознаванию этого конкретного эпитопа вместо ранее описанных эпитопов связывающих CD3 компонентов в биспецифических молекулах, вовлекающих Т-клетки, не активирует Т-клетки неспецифическим образом в той же степени, которая наблюдается для предыдущего поколения антител, вовлекающих Т-клетки. Это снижение активации Т-клеток было связано с меньшим или сниженным перераспределением Т-клеток у пациентов, причем последнее было определено как риск возникновения побочных явлений.

Описанные в WO 2008/119567 конструкции антител, вероятно, подвержены быстрому выведению из организма; следовательно, хотя они способны быстро достигать большинства частей тела, быстро производятся и легки в обращении, их *in vivo* применения могут быть ограничены их кратковременным присутствием *in vivo*. Вследствие короткого *in vivo* времени полужизни этой небольшой одноцепочечной молекулы для достижения терапевтического действия использовали длительное введение путем продолжительной внутривенной инфузии. Однако такие продолжительные внутривенные инфузии считаются неудобными для пациентов и, следовательно, в случае более удобных альтернативных лечебных подходов, препятствуют выбору соединения, которое продемонстрировало большую эффективность в лечении соответствующего заболевания. Следовательно, в данной области техники существует потребность в биспецифических терапевтических средствах, которые сохраняют аналогичную терапевтическую эффективность, которые имеют формат, обеспечивающий простое производство, и которые имеют благоприятные фармакокинетические свойства, включая большее время полужизни.

Повышенное время полужизни в целом полезно в *in vivo* применениях иммуноглобулинов, в особенности антител, и конкретно фрагментов антител небольшого размера. Описанные в данной области техники подходы для достижения такого эффекта включают слияние небольшой биспецифической конструкции антитела с более крупными белками, которые предпочтительно не препятствуют терапевтическому действию конструкции антитела ViTE®. Примеры таких дополнительных разработок биспецифических молекул, вовлекающих Т-клетки, включают биспецифические Fc-молекулы, например, описанные в US 2014/0302037, US 2014/0308285, WO 2014/144722, WO 2014/151910 и WO 2015/048272. Альтернативной стратегией является применение ЧСА, слитого с биспецифической молекулой или простое слияние связывающих пептидов человеческого альбумина (см., например, WO 2013/128027, WO 2014/140358).

Краткое описание сущности изобретения

Все описанные в данной области техники продлевающие время полужизни форматы (HLE-форматы (от англ. "half-life extending")) биспецифических молекул, вовлекающих Т-клетки, которые включают гетеро-Fc (также обозначаемый как hetFc или гетеродимерный Fc, hFc) формат и слияние человеческого сывороточного альбумина (также обозначаемого HSA или hALB), имеют индивидуальные недостатки, такие как неспецифическая активация Т-клеток, активация комплемента, нестабильность или фармакокинетический профиль, который не соответствует необходимому продлению времени полужизни молекул. Следовательно, целью данного изобретения является обеспечение продлевающего время полужизни формата биспецифических молекул, вовлекающих Т-клетки, в котором устранен по меньшей мере один и, конечно, предпочтительно более одного этих индивидуальных недостатков, наблюдаемых для молекул существующего уровня техники. Соответственно, в данном изобретении предложены биспецифические конструкции антител со специфической модальностью Fc, характеризующиеся содержанием первого домена, связывающегося с антигеном-мишенью клеточной поверхности, второго домена, связывающегося с внеклеточным эпитопом цепи CD3ε человека и/или Масаса (макака), и третьего домена, который является специфической модальностью Fc. Кроме того, в изобретении предложены полинуклеотид, кодирующий конструкцию антитела, вектор, содержащий этот полинуклеотид, клетки-хозяева, экспрессирующие конструкцию, и содержащая вышеуказанное фармацевтическая композиция.

Описание фигур

Фиг. 1: на фиг. 1a изображена диаграмма одного варианта реализации конструкции антитела согласно изобретению. На фиг. 1b изображена конструкция антитела с гетеродимерным Fc, а на фиг. 1c изображена конструкция X-тела, описанная в данной области техники. Указанные заряженные пары внесены для усиления гетеродимеризации. На фиг. 1d изображен продукт слияния конструкции антитела с человеческим сывороточным альбумином (HSA или hALB).

Фиг. 2: оценка мишень-независимой активации Т-клеток конструкциями антител HLE BiTE® с мезотелином (MS). 2(a) конструкция антитела согласно изобретению в 48 ч анализе активации человеческими МКПК (3х); серийные разведения HLE BiTE® (начиная с 20 нМ; 1:5, 7х+контроль); без или с блокированием FcR [10 мг/мл huIgG (Kiovog, Baxter)]; FACS-измерение экспрессии CD69 и CD25 [не показано] на Т-клетках CD4⁺, CD8⁺. 2(b) гетеро-Fc конструкция антитела в 48 ч анализе активации человеческими МКПК и МКПК с отсутствием клеток CD14⁺/CD33⁺ (3х); серийные разведения HLE BiTE® (начиная с 20 нМ; 1:5, 7х+контроль); FACS-измерение экспрессии CD69 и CD25 [не показано] на Т-клетках CD4⁺, CD8⁺.

Фиг. 3: оценка мишень-независимой активации Т-клеток конструкциями антител HLE BiTE®. 3(a) конструкция антитела CDH19 согласно изобретению в 48 ч анализе активации человеческими МКПК (3х); серийные разведения HLE BiTE® (начиная с 20 нМ; 1:5, 7х+контроль); без или с блокированием FcR [10 мг/мл huIgG (Kiovog, Baxter)]; FACS-измерение экспрессии CD69 и CD25 [не показано] на Т-клетках CD4⁺, CD8⁺. 3(b) гетеро-Fc конструкция антитела CDH19 в 48 ч анализе активации человеческими МКПК и МКПК с отсутствием клеток CD14⁺/CD33⁺ (3х); серийные разведения HLE BiTE® (начиная с 20 нМ; 1:5, 7х+контроль); FACS-измерение экспрессии CD69 и CD25 [не показано] на Т-клетках CD4⁺, CD8⁺. 3(c) конструкция X-тело CDH19 в 48 ч анализе активации человеческими МКПК и МКПК с отсутствием клеток CD14⁺/CD33⁺ (3х); серийные разведения HLE BiTE® (начиная с 20 нМ; 1:5, 7х+контроль); FACS-измерение экспрессии CD69 и CD25 [не показано] на Т-клетках CD4⁺, CD8⁺; 3(d)-3(aa) выделенные МКПК от трех разных здоровых доноров-людей в течение 48 ч культивировали с возрастающими концентрациями биспецифических HLE-конструкций антител, специфических в отношении различных антигенов-мишеней. Экспрессию маркера активации CD69 на Т-клетках CD4⁺ и CD8⁺ определяли методом анализа проточной цитометрии, используя конъюгированное с PE-Cy7 mab, специфическое в отношении CD69.

Фиг. 4: связывание комплемента C1q Fc-слитыми конструкциями антител BiTE®. Fc-слитые конструкции антител BiTE® (одноцепочечный Fc BiTE® (треугольники), гетеро-Fc BiTE® (квадраты), каноническое BiTE® (круги)) наносили на планшет Maxisorp (в серийных разведениях) перед инкубацией с объединенной человеческой сывороткой и инкубацией с поликлональным мышинным антителом против человеческого C1q, визуализируемым козым антимышиным Fc-AP конъюгатом.

Фиг. 5: средние ФК-профили четырех разных пар слитых конструкций антител BiTE®-HLE после введения одной дозы яванским макакам. В целях сравнения сывороточные концентрации нормализованы в отношении дозы к 15 мкг/кг и указаны в нмолях.

Фиг. 6: средние ФК-профили девяти разных конструкций антител BiTE®, каждая из которых слита с продлевающим время полужизни компонентом scFc. В целях сравнения сывороточные концентрации нормализованы в отношении дозы к 15 мкг/кг и указаны в нмолях.

Фиг. 7: биспецифические scFc-варианты D9F (SEQ ID NO: 1453), T2G (SEQ ID NO: 1454), D3L (SEQ ID NO: 1455), T7I (SEQ ID NO: 1456) и K6C (SEQ ID NO: 1457). Предпочтительная конструкция антитела согласно данному изобретению приведена в SEQ ID NO: 1453.

Фиг. 8: определение методом поверхностного плазмонного резонанса (ППР) связывания с человеческим FcRn. Каждую из конструкций D9F, T2G, D3L, T7I и K6C исследовали в отношении их способности к связыванию с человеческим FcRn в ППР (Biacore) экспериментах. Максимальное связывание во время фазы инъекции измеряли для всех конструкций в соответствующих единицах ответа (ЕО), эквивалентных увеличению молекулярной массы на покрытом FcRn чипе CM5 вследствие наличия связанной конструкции. Все конструкции измеряли в дубликатах. Средние значения двойного определения приведены на фиг. 8A и 8B.

Фиг. 9: каждую из конструкций D9F, T2G, D3L, T7I и K6C и человеческое IgG1-каппа антитело MT201 исследовали в отношении их способности к связыванию с человеческим FcRn в ППР (Biacore) экспериментах. Максимальное связывание во время инъекционной фазы измеряли для всех конструкций в соответствующих единицах ответа (ЕО), эквивалентных увеличению молекулярной массы на покрытом FcRn чипе CM5 вследствие наличия связанной конструкции. Все конструкции измеряли в дубликатах. Приведены средние значения двойного определения, включая планки погрешностей, указывающие стандартное отклонение.

Подробное описание изобретения

Кроме существенного продления времени полужизни биспецифических конструкций антител согласно изобретению, слияние специфической модальности Fc, т.е. третьего домена в соответствии с данным изобретением, также отвечает за неожиданное существенное воздействие на первый и второй связывающий домен конструкции антитела согласно изобретению. Таким образом, тогда как другие продлевающие время полужизни модальности конструкций антител, вовлекающих T-клетки, демонстрируют индивидуальные предпочтительные черты, выбор представленной специфической модальности Fc позволяет обеспечивать биспецифические молекулы, которые, демонстрируют широкий спектр предпочтительных характеристик функционального молекулярного формата и, следовательно, делают возможной разработку перспективных фармацевтических композиций.

Таким образом, в данном изобретении предложена конструкция антитела, содержащая по меньшей мере три домена, при этом

первый домен связывается с антигеном-мишенью клеточной поверхности,

второй домен связывается с внеклеточным эпитопом цепи CD3ε человека и/или Масаса; и

третий домен содержит два полипептидных мономера, каждый из которых содержит шарнирный домен, домен CH2 и домен CH3, причем указанные два полипептидных мономера слиты друг с другом посредством пептидного линкера.

Термин "конструкция антитела" относится к молекуле, чья структура и/или функция основаны на структуре и/или функции антитела, например, полноразмерной или цельной молекулы иммуноглобулина, и/или получены из переменных доменов тяжелой цепи (VH) и/или переменных доменов легкой цепи (VL) антитела или его фрагмента. Следовательно, конструкция антитела способна связываться со своей специфической мишенью или антигеном. Кроме того, связывающий домен конструкции антитела в соответствии с изобретением содержит минимальные структурные требования антитела, которые обеспечивают связывание мишени. Это минимальное требование может, например, определяться наличием по меньшей мере трех CDR легкой цепи (т.е. CDR1, CDR2 и CDR3 VL-области) и/или трех CDR тяжелой цепи (т.е. CDR1, CDR2 и CDR3 VH-области), предпочтительно всех шести CDR. Альтернативным подходом для определения минимальных структурных требований антитела является определение эпитопа антитела в пределах структуры специфической мишени, соответственно, белкового домена белка-мишени, составляющего область эпитопа (кластер эпитопа), или путем указания специфического антитела, конкурирующего за эпитоп определенного антитела. Антитела, на которых основаны конструкции в соответствии с изобретением, включают, например, моноклональные, рекомбинантные, химерные, деиммунизированные, гуманизированные и человеческие антитела.

Связывающий домен конструкции антитела в соответствии с изобретением может, например, содержать вышеуказанные группы CDR. Предпочтительно CDR находятся в каркасной области переменной области легкой цепи (VL) антитела и переменной области тяжелой цепи (VH) антитела; однако оно не обязательно содержит их обе. Fd-фрагменты, например, имеют две VH-области и часто сохраняют в некоторой мере антигенсвязывающую функцию интактного антигенсвязывающего домена. Дополнительные примеры формата фрагментов антител, вариантов антител или связывающих доменов включают (1) фрагмент Fab, моновалентный фрагмент, содержащий домены VL, VH, CL и CH1; (2) фрагмент F(ab)₂, бивалентный фрагмент, содержащий два фрагмента Fab, связанные дисульфидным мостиком в шарнирной области; (3) фрагмент Fd, содержащий два домена VH и домен CH1; (4) фрагмент Fv, содержащий домены VL и VH одного плеча антитела, (5) фрагмент dAb (Ward et al., (1989) Nature 341:544-546), который содержит домен VH; (6) выделенную определяющую комплементарность область (CDR) и (7) одноцепочечный Fv (scFv), причем последний является предпочтительным (например, полученным из scFV-библиотеки). Примеры вариантов реализации конструкций антител в соответствии с изобретением описаны, например, в WO 00/006605, WO 2005/040220, WO 2008/119567, WO 2010/037838, WO 2013/026837, WO 2013/026833, US 2014/0308285, US 2014/0302037, WO 2014/144722, WO 2014/151910 и WO 2015/048272.

Также в рамках определения "связывающий домен" или "домен, который связывает" находятся фрагменты полноразмерных антител, такие как VH, VHH, VL, (s)dAb, Fv, Fd, Fab, Fab', F(ab)₂ или "rIgG" ("полуантитело"). Конструкции антител в соответствии с изобретением также могут содержать модифицированные фрагменты антител, также называемые вариантами антител, такие как scFv, di-scFv или bi(s)-scFv, scFv-Fc, scFv-молиния, scFab, Fab₂, Fab₃, диатела, одноцепочечные диатела, tandemные диатела (Tandab's), tandemные di-scFv, tandemные tri-scFv, "мультидела", такие как триатела или тетратела, и однодоменные антитела, такие как нанотела или антитела с одним переменным доменом, содержащие только один переменный домен, который может быть VHH, VH или VL, которые специфически связывают антиген или эпитоп независимо от других V-областей или доменов.

В контексте данного документа термины "одноцепочечный Fv", "одноцепочечные антитела" или "scFv" относятся к содержащим одну полипептидную цепь фрагментам антител, которые содержат переменные области как из тяжелой, так и из легкой цепей, но в которых отсутствуют константные области. В общем случае одноцепочечное антитело дополнительно содержит полипептидный линкер между VH- и VL-доменами, который обеспечивает возможность образования необходимой структуры, кото-

рая позволяет связывать антиген. Одноцепочечные антитела подробно обсуждаются Pluckthun в *The Pharmacology of Monoclonal Antibodies*, vol. 113, Rosenberg and Moore eds. Springer-Verlag, New York, pp. 269-315 (1994). Известны различные способы создания одноцепочечных антител, включая описанные в патентах США № 4694778 и 5260203; публикации заявки на международный патент № WO 88/01649; Bird (1988) *Science* 242:423-442; Huston et al. (1988) *Proc. Natl. Acad. Sci. USA* 85:5879-5883; Ward et al. (1989) *Nature* 334:54454; Skerra et al. (1988) *Science* 242:1038-1041. В конкретных вариантах реализации одноцепочечные антитела также могут быть биспецифическими, мультиспецифическими, человеческими и/или гуманизированными и/или синтетическими.

Кроме того, определение термина "конструкция антитела" включает моновалентные, бивалентные и поливалентные/мультивалентные конструкции и, следовательно, биспецифические конструкции, специфически связывающиеся только с двумя антигенными структурами, а также полиспецифические/мультиспецифические конструкции, которые специфически связывают более двух антигенных структур, например, три, четыре или более, посредством разных связывающих доменов. Более того, определение термина "конструкция антитела" включает молекулы, состоящие из только одной полипептидной цепи, а также молекулы, состоящие из более чем одной полипептидной цепи, причем цепи могут быть идентичными (гомодимеры, гомотримеры или гомоолигомеры) или разными (гетеродимеры, гетротримеры или гетероолигомеры). Примеры определенных выше антител и их вариантов или производных описаны, помимо прочего, в Harlow and Lane, *Antibodies a laboratory manual*, CSHL Press (1988) and *Using Antibodies: a laboratory manual*, CSHL Press (1999), Kontermann and Dübel, *Antibody Engineering*, Springer, 2nd ed. 2010 и Little, *Recombinant Antibodies for Immunotherapy*, Cambridge University Press 2009.

В контексте данного документа термин "биспецифический" относится к конструкции антитела, которая является "по меньшей мере биспецифической", т.е. содержит по меньшей мере первый связывающий домен и второй связывающий домен, причем первый связывающий домен связывается с одним антигеном или мишенью (в данном случае: антигеном-мишенью клеточной поверхности), а второй связывающий домен связывается с другим антигеном или мишенью (в данном случае: CD3). Соответственно, конструкции антител в соответствии с изобретением имеют специфичность в отношении по меньшей мере двух разных антигенов или мишеней. Например, первый домен предпочтительно не связывается с внеклеточным эпитопом CD3ε одного или более видов, описанных в данном документе. Термин "антиген-мишень клеточной поверхности" относится к антигенной структуре, экспрессируемой клеткой, которая находится на клеточной поверхности, т.е. доступна для описанной в данном документе конструкции антитела. Он может являться белком, предпочтительно внеклеточной частью белка, или углеводной структурой, предпочтительно углеводной структурой белка, такой как гликопротеин. Предпочтительно он является опухолевым антигеном. Термин "биспецифическая конструкция антитела" согласно изобретению также включает мультиспецифические конструкции антител, такие как триспецифические конструкции антител, содержащие три связывающих домена, или конструкции, имеющие более трех (например, четыре, пять...) специфичностей.

Учитывая, что конструкции антител в соответствии с изобретением являются (по меньшей мере) биспецифическими, они не присутствуют в природе и заметно отличаются от продуктов природного происхождения. Следовательно, "биспецифическая" конструкция антитела или иммуноглобулина представляет собой искусственное гибридное антитело или иммуноглобулин, имеющее по меньшей мере два разных связывающих участка с разной специфичностью. Биспецифические конструкции антител можно получать различными способами, включая слияние гибридом или связывание фрагментов Fab'. Смотрите, например, Songsivilai & Lachmann, *Clin. Exp. Immunol.* 79:315-321 (1990).

По меньшей мере два связывающих домена и переменные домены (VH/VL) конструкции антитела согласно данному изобретению могут содержать или не содержать пептидные линкеры (спейсерные пептиды). Термин "пептидный линкер" в соответствии с данным изобретением включает аминокислотную последовательность, посредством которой связаны между собой аминокислотные последовательности одного (переменного и/или связывающего) домена и другого (переменного и/или связывающего) домена конструкции антитела. Пептидные линкеры также можно использовать для слияния третьего домена с другими доменами конструкции антитела согласно изобретению. Важной технической характеристикой такого пептидного линкера является то, что у него отсутствует полимеризационная активность. К подходящим пептидным линкерам относятся описанные в патентах США 4751180 и 4935233 или WO 88/09344. Пептидные линкеры также можно использовать для присоединения других доменов или модулей или областей (таких как продлевающие время полужизни домены) к конструкции антитела согласно изобретению.

Конструкции антител согласно изобретению предпочтительно являются "in vitro созданными конструкциями антител". Этот термин относится к конструкции антитела в соответствии с вышеприведенным определением, в которой вся или часть переменной области (например, по меньшей мере одна CDR) создана посредством отбора в неиммунной клетке, например, in vitro фагового дисплея, белкового чипа или любого другого способа, в котором кандидатные последовательности можно исследовать в отношении их способности связываться с антигеном. Предпочтительно этот термин исключает последовательности, созданные исключительно путем геномной перестройки в иммунной клетке животного. "Ре-

комбинантное антитело" представляет собой антитело, созданное посредством применения технологии рекомбинантных ДНК или генетической инженерии.

В контексте данного документа термин "моноклональное антитело" (mAb) или моноклональная конструкция антитела относится к антителу, полученному из популяции по существу гомогенных антител, т.е. отдельные антитела, составляющие популяцию являются идентичными за исключением возможных природных мутаций и/или посттрансляционных модификаций (например, изомеризации, амидирования), которые могут присутствовать в незначительных количествах. Моноклональные антитела являются высокоспецифическими, будучи направленными против одного антигенного участка или детерминанты на антигене, в противоположность препаратам традиционных (поликлональных) антител, которые, как правило, содержат разные антитела, направленные против разных детерминант (или эпитопов). Кроме своей специфичности, преимуществом моноклональных антител является то, что их синтезируют с помощью гибридомной культуры, следовательно, они не содержат примесей других иммуноглобулинов. Обстоятельство "моноклональное" указывает на характер антитела, как полученного из по существу гомогенной популяции антител, и его не следует воспринимать, как требующее получения антитела каким-либо конкретным способом.

Для получения препарата моноклональных антител можно использовать любой способ, обеспечивающий получение антител с помощью стабильных культур клеточных линий. Например, предназначенные для применения моноклональные антитела можно создавать методом гибридомы, впервые описанным Koehler et al., *Nature*, 256: 495 (1975), или можно создавать методами рекомбинантных ДНК (см., например, патент США № 4816567). Примеры дополнительных методик для получения человеческих моноклональных антител включают методику триомы, методику человеческой В-клеточной гибридомы (Kozbor, *Immunology Today* 4 (1983), 72) и методику ВЭБ-гибридомы (Cole et al., *Monoclonal Antibodies and Cancer Therapy*, Alan R. Liss, Inc. (1985), 77-96).

После этого можно проводить скрининг гибридом стандартными методами, таким как иммуноферментный анализ (ИФА) и анализ методом поверхностного плазмонного резонанса (BIAcore™), для выявления одной или более гибридом, которые вырабатывают антитело, которое специфически связывается с конкретным антигеном. В качестве иммуногена можно использовать любую форму соответствующего антигена, например, рекомбинантный антиген, природные формы, любые их варианты или фрагменты, а также их антигенные пептиды. Поверхностный плазмонный резонанс, применяемый в системе BIAcore, можно использовать для повышения активности фаговых антител, которые связываются с эпитопом антигена-мишени клеточной, поверхности (Schier, *Human Antibodies Hybridomas* 7 (1996), 97-105; Malmberg, *J. Immunol. Methods* 183 (1995), 7-13).

Другой типовой метод получения моноклональных антител включает скрининг библиотек белковой экспрессии, например, библиотек фагового дисплея или рибосомного дисплея. Фаговый дисплей описан, например, в Ladner et al., патенте США № 5223409; Smith (1985) *Science* 228:1315-1317, Clackson et al., *Nature*, 352: 624-628 (1991) и Marks et al., *J. Mol. Biol.*, 222: 581-597 (1991).

Кроме применения дисплейных библиотек соответствующий антиген можно использовать для иммунизации отличного от человека животного, например, грызуна (такого как мышь, хомяк, кролик или крыса). В одном варианте реализации изобретения отличное от человека животное содержит по меньшей мере часть гена человеческого иммуноглобулина. Например, можно сконструировать мышинные штаммы с дефицитом выработки мышинового антитела с крупными фрагментами локусов человеческого Ig (иммуноглобулина). Используя технологию гибридомы, можно получать и проводить отбор антиген-специфических моноклональных антител, полученных из генов с необходимой специфичностью. Смотрите, например, XENOMOUSE™, Green et al. (1994) *Nature Genetics* 7:13-21, US 2003-0070185, WO 96/34096 и WO 96/33735.

Моноклональное антитело также можно получить от отличного от человека животного, а затем модифицировать, например, гуманизировать, деиммунизировать, сделать химерными и т.д., используя известную в данной области техники технологию рекомбинантных ДНК. Примеры модифицированных конструкций антител включают гуманизированные варианты нечеловеческих антител, антитела "с созревшей аффинностью" (см., например, Hawkins et al. *J. Mol. Biol.* 254, 889-896 (1992) и Lowman et al., *Biochemistry* 30, 10832-10837 (1991)) и мутантные антитела с измененной(ыми) эффекторной(ыми) функцией(ями) (см., например, патент США 5648260, Kontermann and Dübel (2010), loc. cit. и Little (2009), loc. cit.).

В иммунологии созревание аффинности - это процесс, посредством которого В-клетки вырабатывают антитела с повышенной аффинностью в отношении антигена во время иммунного ответа. При повторном воздействии такого же антигена организм-хозяин будет вырабатывать антитела со все большей аффинностью. Как и природный прототип, *in vitro* созревание аффинности основано на принципах мутации и отбора. *In vitro* созревание аффинности успешно применяли для оптимизации антител, конструкций антител и фрагментов антител. Случайные мутации внутри CDR вводят, используя облучение, химические мутагены или ПЦР с внесением ошибок. Кроме того, генетическое разнообразие можно повышать путем перестановки цепей. Два или три цикла мутации и отбора с применением дисплейных мето-

дов, таких как фаговый дисплей, обычно приводят к получению фрагментов антител с аффинностью в узком наномолярном диапазоне.

Предпочтительный тип вариации конструкций антител с аминокислотными заменами включает замещение одного или более остатков гипервариабельной области родительского антитела (например, гуманизированного или человеческого антитела). В общем случае полученные в результате варианты, отобранные для дополнительной разработки, должны иметь улучшенные биологические свойства относительно родительского антитела, из которого они получены. Удобный путь создания таких заместительных вариантов включает созревание аффинности с применением фагового дисплея. Вкратце, мутируют несколько участков гипервариабельной области (например, 6-7 участков) для создания всех возможных аминокислотных замен в каждом участке. Созданные таким образом варианты антител отображаются моновалентным образом из частиц нитевидного фага в виде продуктов слияния с продуктом гена III M13, упакованных в каждой частице. Затем проводят скрининг отображенных фагом вариантов в отношении их биологической активности (например, аффинности связывания), как описано в данном документе. Чтобы определить кандидатные участки гипервариабельной области для проведения модификации, можно проводить аланин-сканирующий мутагенез для определения остатков гипервариабельной области, которые вносят существенный вклад в связывание антигена. В альтернативном или дополнительном варианте может быть полезно проанализировать кристаллическую структуру комплекса антиген-антитело для определения точек контакта между связывающим доменом и, например, человеческим антигеном-мишенью клеточной поверхности. Такие контактные остатки и соседние остатки являются кандидатами для проведения замен в соответствии с применяемыми в данном документе методиками. После создания таких вариантов панель вариантов подвергают описанному в данном документе скринингу, а антитела с превосходящими свойствами в одном или более релевантном анализе отбирают для дополнительной разработки.

Моноклональные антитела и конструкции антител согласно данному изобретению включают, в частности, "химерные" антитела (иммуноглобулины), в которых часть тяжелой и/или легкой цепи идентична или гомологична с соответствующими последовательностями в антителах, полученных от конкретного вида или принадлежащих конкретному классу или подклассу антител, тогда как остаток цепи(ей) идентичен или гомологичен соответствующим последовательностям в антителах, полученных от другого вида или принадлежащих другому классу или подклассу антител, а также фрагменты таких антител, в том случае, если они проявляют необходимую биологическую активность (патент США № 4816567; Morrison et al., Proc. Natl. Acad. Sci. USA, 81: 6851-6855 (1984)). Представляющие в данном случае интерес химерные антитела включают "приматизированные" антитела, содержащие антигенсвязывающие последовательности вариабельного домена, полученные от отличного от человека примата (например, марьышки Старого Света, обезьяны и т.д.), и человеческие последовательности константной области. Было описано множество подходов для создания химерных антител. Смотрите, например, Morrison et al., Proc. Natl. Acad. Sci. U.S.A. 81:6851, 1985; Takeda et al., Nature 314:452, 1985, Cabilly et al., U.S. Patent No. 4,816,567; Boss et al., патент США № 4816397; Tanaguchi et al., EP 0171496; EP 0173494; и GB 2177096.

Антитело, конструкцию антитела, фрагмент антитела или вариант антитела также можно модифицировать путем специального удаления человеческих Т-клеточных эпитопов (метод, называемый "деиммунизацией") способами, описанными, например, в WO 98/52976 или WO 00/34317. Вкратце, вариабельные домены тяжелой и легкой цепи антитела можно проанализировать в отношении наличия пептидов, которые связываются с ГКГС класса II; эти пептиды представляют потенциальные Т-клеточные эпитопы (по определению в WO 98/52976 и WO 00/34317). Для выявления потенциальных Т-клеточных эпитопов можно применять подход компьютерного моделирования, называемый "пептидным протягиванием", и, дополнительно, можно проводить поиск по базе данных пептидов, связывающих человеческий ГКГС класса II, в отношении мотивов, присутствующих в последовательностях VH и VL, как описано в WO 98/52976 и WO 00/34317. Эти мотивы связываются с любым из 18 основных DR-аллотипов ГКГС класса II и, таким образом, составляют потенциальные Т-клеточные эпитопы. Выявленные потенциальные Т-клеточные эпитопы можно устранить посредством замены небольшого количества аминокислотных остатков в вариабельных доменах или, предпочтительно, посредством одиночных аминокислотных замен. Как правило, осуществляют консервативные замены. Часто, но не исключительно, может использоваться аминокислота, обычно присутствующая в данной позиции в последовательностях антител человеческой зародышевой линии. Последовательности человеческой зародышевой линии описаны, например, в Tomlinson, et al. (1992) J. Mol. Biol. 227:776-798; Cook, G.P. et al. (1995) Immunol. Today Vol. 16 (5): 237-242; и Tomlinson et al. (1995) EMBO J. 14: 14:4628-4638. Директория V BASE представляет исчерпывающую директорию последовательностей вариабельных областей человеческого иммуноглобулина (составлена Tomlinson, LA. et al. MRC Centre for Protein Engineering, Cambridge, UK). Эти последовательности можно использовать в качестве источника человеческих последовательностей, например, каркасных областей или CDR. Также можно использовать консенсусные человеческие каркасные области, например, описанные в патенте США № 6300064.

"Гуманизированные" антитела, конструкции антител, их варианты или фрагменты (такие как Fv,

Fab, Fab', F(ab')₂ или другие антигенсвязывающие подпоследовательности антител) представляют собой антитела или иммуноглобулины большей частью человеческих последовательностей, которые содержат(а) минимальную(ые) последовательность(и), полученную(ые) из нечеловеческого иммуноглобулина. Большой частью гуманизированные антитела являются человеческими иммуноглобулинами (реципиентное антитело), в которых остатки из гипервариабельной области (также CDR) реципиента замещены остатками из гипервариабельной области нечеловеческого (например, грызуна) вида (донорское антитело), такого как мышь, крыса, хомяк или кролик, имеющими необходимую специфичность, аффинность и емкость. В некоторых случаях остатки Fv каркасной области (FR) человеческого иммуноглобулина замещены соответствующими нечеловеческими остатками. Кроме того, в контексте данного документа "гуманизированные антитела" также могут содержать остатки, не присущие ни реципиентному антителу, ни донорскому антителу. Эти модификации проводят для дополнительного улучшения и оптимизации характеристик антитела. Гуманизированное антитело также может содержать по меньшей мере часть константной области иммуноглобулина (Fc), как правило, из человеческого иммуноглобулина. Дополнительные подробности смотрите в Jones et al., *Nature*, 321: 522-525 (1986); Reichmann et al., *Nature*, 332: 323-329 (1988); и Presta, *Curr. Op. Struct. Biol.*, 2: 593-596 (1992).

Гуманизированные антитела или их фрагменты можно создавать, замещая последовательности вариабельного домена Fv, которые не принимают прямого участия в связывании антигена, эквивалентными последовательностями из человеческих вариабельных доменов Fv. Типовые способы создания гуманизированных антител или их фрагментов предложены в Morrison (1985) *Science* 229:1202-1207; в Oi et al. (1986) *BioTechniques* 4:214; и в US 5585089; US 5693761; US 5693762; US 5859205; и US 6407213. Эти способы включают выделение, обработку и экспрессию нуклеотидных последовательностей, которые кодируют все или часть вариабельных доменов Fv иммуноглобулина из по меньшей мере одной из тяжелой или легкой цепи. Такие нуклеиновые кислоты можно получить из гибридомы, вырабатывающей антитело против заданной мишени, как описано выше, а также из других источников. Затем рекомбинантную ДНК, кодирующую молекулу гуманизированного антитела, можно клонировать в соответствующий экспрессионный вектор.

Гуманизированные антитела также можно получать, используя трансгенных животных, таких как мыши, которые экспрессируют гены человеческой тяжелой и легкой цепи, но не способны экспрессировать эндогенные гены тяжелой и легкой цепи мышинового иммуноглобулина. Winter описывает типовой способ прививания CDR, который можно использовать для получения описанных в данном документе гуманизированных антител (патент США № 5225539). Все CDR конкретного человеческого антитела могут быть замещены по меньшей мере частью нечеловеческой CDR или только некоторые CDR могут быть замещены нечеловеческими CDR. Необходимо лишь заменить то количество CDR, которое требуется для связывания гуманизированного антитела с заданным антигеном.

Гуманизированное антитело можно оптимизировать путем внесения консервативных замен, замен консенсусной последовательности, замен зародышевой линии и/или обратных мутаций. Такие измененные молекулы иммуноглобулина можно создавать с помощью любой из нескольких методик, известных в данной области техники (например, Teng et al., *Proc. Natl. Acad. Sci. U.S.A.*, 80: 7308-7312, 1983; Kozbor et al., *Immunology Today*, 4: 7279, 1983; Olsson et al., *Meth. Enzymol.*, 92: 3-16, 1982, и EP 239 400).

Термин "человеческое антитело", "человеческая конструкция антитела" и "человеческий связывающий домен" включает антитела, конструкции антител и связывающие домены, имеющие области антитела, такие как вариабельные и константные области или домены, которые по существу соответствуют известным в данной области техники последовательностям иммуноглобулина человеческой зародышевой линии, включая, например, описанные в Kabat et al. (1991) (*loc. cit.*). Человеческие антитела, конструкции антител или связывающие домены согласно изобретению могут содержать аминокислотные остатки, не кодируемые последовательностями иммуноглобулина человеческой зародышевой линии (например, мутации, внесенные посредством случайного или сайт-специфического мутагенеза *in vitro* или посредством соматической мутации *in vivo*), например, в CDR, и, в частности, в CDR3. Человеческие антитела, конструкции антител или связывающие домены могут содержать по меньшей мере одну, две, три, четыре, пять или более позиций, замещенных аминокислотным остатком, не кодируемым последовательностью иммуноглобулина человеческой зародышевой линии. При этом в контексте данного документа определение человеческих антител, конструкций антител и связывающих доменов также подразумевает "полностью человеческие антитела", которые содержат только искусственно и/или генетически не измененные человеческие последовательности антител, такие как те, которые можно получить, используя технологии или системы, такие как Xenomouse. Предпочтительно "полностью человеческое антитело" не содержит аминокислотные остатки, не кодируемые последовательностями иммуноглобулина человеческой зародышевой линии.

В некоторых вариантах реализации конструкции антител согласно изобретению являются "выделенными" или "по существу чистыми" конструкциями антител. При употреблении для описания представленных в данном документе конструкций антител "выделенная" или "по существу чистая" обозначает конструкцию антитела, которая была определена, отделена и/или изолирована от компонента среды, в которой она вырабатывается. Предпочтительно конструкция антитела не связана или по существу не свя-

зана со всеми другими компонентами из среды, в которой она вырабатывается. Примесные компоненты среды, в которой происходит выработка, такие как остаются от рекомбинантных трансфицированных клеток, представляют собой материалы, которые, как правило, мешают диагностическому или терапевтическому применению полипептида, и могут включать ферменты, гормоны и другие белковые или небелковые растворенные вещества. Конструкции антител могут, например, составлять по меньшей мере около 5% или по меньшей мере около 50% по массе от общего белка в данном образце. Понятно, что выделенный белок может составлять от 5 до 99,9% по массе от общего содержания белка в зависимости от обстоятельств. Полипептид можно получать в существенно большей концентрации посредством применения индуцибельного промотора или промотора высокой экспрессии так, чтобы он производился на повышенном концентрационном уровне. Данное определение включает получение конструкции антитела в широком ряде организмов и/или клеток-хозяев, которые известны в данной области техники. В предпочтительных вариантах реализации изобретения конструкцию антитела очищают (1) до степени, достаточной для получения по меньшей мере 15 остатков N-концевой или внутренней аминокислотной последовательности, используя секвенатор с вращающимся стаканом, или (2) до гомогенности по ДСН-ПААГ в невосстановительных или восстановительных условиях с применением окрашивания голубым кумаси или, предпочтительно, серебром. При этом обычно конструкцию антитела получают с помощью по меньшей мере одного этапа очистки.

Термин "связывающий домен" в связи с данным изобретением характеризует домен, который (специфически) связывает/взаимодействует с/распознает данный эпитоп-мишень или данный участок-мишень на молекулах-мишенях (антигенах), например, CD33 и CD3 соответственно. Структура и функция первого связывающего домена (распознающего CD33) и предпочтительно также структура и/или функция второго связывающего домена (распознающего CD3) основаны на структуре и/или функции антитела, например, полноразмерной или цельной молекулы иммуноглобулина, и/или получены из вариабельных доменов тяжелой цепи (VH) и/или вариабельных доменов легкой цепи (VL) антитела или его фрагмента. Предпочтительно первый связывающий домен характеризуется наличием трех CDR легкой цепи (т.е. CDR1, CDR2 и CDR3 VL-области) и/или трех CDR тяжелой цепи (т.е. CDR1, CDR2 и CDR3 VH-области). Второй связывающий домен предпочтительно также содержит минимальные структурные требования антитела, которые обеспечивают связывание мишени. Более предпочтительно второй связывающий домен содержит по меньшей мере три CDR легкой цепи (т.е. CDR1, CDR2 и CDR3 VL-области) и/или три CDR тяжелой цепи (т.е. CDR1, CDR2 и CDR3 VH-области). Подразумевается, что первый и/или второй связывающий домен производят или получают методами фагового дисплея или скрининга библиотек, а не путем прививания последовательностей CDR из предсуществующего (моноклонального) антитела в каркас.

В соответствии с данным изобретением связывающие домены имеют форму одного или более полипептидов. Такие полипептиды могут содержать белковые части и небелковые части (например, химические линкеры или химические перекрестно-сшивающие агенты, такие как глутаральдегид). Белки (включая их фрагменты, предпочтительно биологически активные фрагменты, и пептиды, обычно имеющие менее 30 аминокислот) содержат две или более аминокислоты, соединенные друг с другом ковалентной пептидной связью (что приводит к получению цепи из аминокислот).

В контексте данного документа термин "полипептид" описывает группу молекул, которая обычно состоит из более чем 30 аминокислот. Полипептиды могут дополнительно образовывать мультимеры, такие как димеры, тримеры и высшие олигомеры, т.е. состоящие из более чем одной полипептидной молекулы. Полипептидные молекулы, образующие такие димеры, тримеры и т.д., могут быть идентичными или неидентичными. Соответствующие структуры высшего порядка таких мультимеров, соответственно, называются гомо- или гетеродимерами, гомо- или гетеротримерами и т.д. Примером гетеромультимера является молекула антитела, которая в своей природной форме состоит из двух идентичных легких полипептидных цепей и двух идентичных тяжелых полипептидных цепей. Термины "пептид", "полипептид" и "белок" также относятся в модифицированном естественным образом пептидам/полипептидам/белкам, в которых модификация обусловлена, например, посттрансляционными модификациями, такими как гликозилирование, ацетилирование, фосфорилирование и тому подобное. В контексте данного документа "пептид", "полипептид" или "белок" также могут быть химически модифицированными, например, пэгилрованными. Такие модификации хорошо известны в данной области техники и описаны ниже в данном документе.

Предпочтительно связывающий домен, который связывается с антигеном-мишенью клеточной поверхности, и/или связывающий домен, который связывается с CD3ε, является/являются человеческими связывающими доменами. Антитела и конструкции антител, содержащие по меньшей мере один человеческий связывающий домен, позволяют избежать некоторых проблем, связанных с антителами или конструкциями антител, которые обладают нечеловеческими, например, принадлежащими грызуну (например, мышши, крысе, хомяку или кролику), вариабельными и/или константными областями. Присутствие таких белков из организма грызуна может приводить к быстрому выведению антител или конструкций антител или может приводить к генерации иммунного ответа против антитела или конструкции антитела у пациента. Чтобы избежать применения полученных от грызунов антител или конструкций антител,

можно создавать человеческие или полностью человеческие антитела/конструкции антител путем внесения в организм грызуна функции человеческого антитела так, чтобы у грызуна вырабатывались полностью человеческие антитела.

Возможность клонировать и восстанавливать человеческие локусы размером порядка миллиона пар оснований в YAC и вносить их в мышиную зародышевую линию обеспечивает эффективный подход для изучения функциональных компонентов очень больших или грубо картированных локусов, а также для создания полезных моделей человеческих заболеваний. Кроме того применение такой технологии для замещения мышинных локусов их человеческими эквивалентами может обеспечить уникальную информацию об экспрессии и регулировании человеческих генных продуктов во время развития, их взаимодействии с другими системами и их роли в индукции и прогрессировании заболеваний.

Важным практическим применением такой стратегии является "гуманизация" мышинной гуморальной иммунной системы. Внесение локусов человеческого иммуноглобулина (Ig) в организм мышей, у которых были инактивированы эндогенные гены Ig, обеспечивает возможность для изучения механизмов, лежащих в основе программируемой экспрессии и сборки антител, а также их роли в развитии В-клеток. Кроме того, такая стратегия может обеспечить идеальный источник для получения полностью человеческих моноклональных антител (mAb) - ключевой точки в направлении выполнения обещания создания терапии на основе антител для человеческих заболеваний. Ожидается, что полностью человеческие антитела или конструкции антител сведут к минимуму иммуногенные и аллергические ответы, свойственные мышинным или полученным от мышей mAb, и, следовательно, повысят эффективность и безопасность вводимых антител/конструкций антител. Можно ожидать, что применение полностью человеческих антител или конструкций антител обеспечит существенное преимущество в лечении хронических и рецидивных человеческих заболеваний, таких как воспаление, аутоиммунность и рак, при которых требуются повторные введения соединений.

Один подход в направлении этой цели состоял в конструировании мышинных штаммов с дефицитом выработки мышинных антител с большими фрагментами локусов человеческого Ig в ожидании, что такие мыши будут вырабатывать широкий репертуар человеческих антител в отсутствие мышинных антител. Большие фрагменты человеческого Ig должны сохранять широкое разнообразие варьируемых генов, а также надлежащее регулирование выработки и экспрессии антитела. При применении мышинного аппарата для расширения разнообразия и отбора антител и отсутствии иммунологической толерантности к человеческим белкам, воспроизведенный репертуар человеческих антител в этих мышинных штаммах должен привести к получению высокоаффинных антител против представляющего интерес антигена, включая человеческие антигены. Используя технологию гибридомы, можно легко получать и проводить отбор антиген-специфических человеческих mAb с необходимой специфичностью. Эта общая стратегия была продемонстрирована в связи с созданием первых мышинных штаммов XenoMouse (смотрите Green et al. *Nature Genetics* 7:13-21 (1994)). Были сконструированы штаммы XenoMouse с дрожжевыми искусственными хромосомами (YAC), содержащими фрагменты размером 245 т.п.о. и 190 т.п.о. конфигурации зародышевой линии человеческого локуса тяжелой цепи и локуса каппа легкой цепи соответственно, которые содержали внутренние последовательности варьируемой и константной области. Содержащие человеческий Ig YAC, оказались совместимыми с мышинной системой в отношении как перестройки, так и экспрессии антител, и были способны замещать инактивированные гены мышинного Ig. Это было продемонстрировано их способностью индуцировать развитие В-клеток, вырабатывать человеческий репертуар взрослого типа полностью человеческих антител и генерировать антиген-специфические человеческие mAb. Эти результаты также позволяют предположить, что внесение больших частей локусов человеческого Ig, содержащих большее количество V-генов, дополнительных регуляторных элементов и константных областей человеческого Ig, может воспроизводить по существу полный репертуар, характерный для человеческого гуморального ответа на инфекцию и иммунизацию. Работа Green et al. Была недавно расширена до внесения более чем приблизительно 80% человеческого репертуара антител путем внесения фрагментов YAC размером порядка миллиона пар оснований конфигурации зародышевой линии человеческого локуса тяжелой цепи и локуса каппа легкой цепи соответственно. Смотрите Mendez et al. *Nature Genetics* 15:146-156 (1997) и заявку на патент США, серийный № 08/759620.

Получение мышей XenoMouse дополнительно обсуждается и описывается в заявках на патент США, серийный № 07/466 008, серийный № 07/610 515, серийный № 07/919 297, серийный № 07/922 649, серийный № 08/031 801, серийный № 08/112 848, серийный № 08/234 145, серийный № 08/376 279, серийный № 08/430 938, серийный № 08/464 584, серийный № 08/464 582, серийный № 08/463 191, серийный № 08/462 837, серийный № 08/486 853, серийный № 08/486 857, серийный № 08/486 859, серийный № 08/462 513, серийный № 08/724 752, и серийный № 08/759 620; и патентах США № 6162963; 6150584; 6114598; 6075181 и 5,939598, и патентах Японии № 3 068 180 B2, 3 068 506 B2 и 3 068 507 B2. Смотрите также Mendez et al. *Nature Genetics* 15:146-156 (1997) и Green and Jakobovits J. *Exp. Med.* 188:483-495 (1998), EP 0 463 151 B1, WO 94/02602, WO 96/34096, WO 98/24893, WO 00/76310 и WO 03/47336.

В альтернативном подходе другие, включая GenPharm International, Inc., использовали подход "минолокуса". В подходе минолокуса локус экзогенного Ig имитируют путем включения кусочков (отдель-

ных генов) из локуса Ig. Таким образом, один или более генов VH, один или более генов DH, один или более генов JH, мю константная область и вторая константная область (предпочтительно гамма константная область) образуют конструкцию для вставки в организм животного. Этот подход описан в патенте США № 5545807 авторства Surani et al. и патентах США № 5545806; 5625825; 5625126; 5633425; 5661016; 5770429; 5789650; 5814318; 5877397; 5874299; и 6255458, каждый авторства Lonberg и Kay, патентах США № 5591669 и 6023010 авторства Krimpenfort и Berns, патентах США № 5612205; 5721367; и 5789215 авторства Berns et al., и патенте США № 5643763 авторства Choi и Dunn, и заявке на патент США от GenPharm International, серийный № 07/574 748, серийный № 07/575 962, серийный № 07/810 279, серийный № 07/853 408, серийный № 07/904 068, серийный № 07/990 860, серийный № 08/053 131, серийный № 08/096 762, серийный № 08/155 301, серийный № 08/161 739, серийный № 08/165 699, серийный № 08/209 741. Также смотрите EP 0 546 073 B1, WO 92/03918, WO 92/22645, WO 92/22647, WO 92/22670, WO 93/12227, WO 94/00569, WO 94/25585, WO 96/14436, WO 97/13852 и WO 98/24884 и патент США № 5981175. Смотрите также Taylor et al. (1992), Chen et al. (1993), Tuailon et al. (1993), Choi et al. (1993), Lonberg et al. (1994), Taylor et al. (1994) и Tuailon et al. (1995), Fishwild et al. (1996).

Kirin также продемонстрировал создание человеческих антител с применением мышей, которым были внесены большие куски хромосом или целые хромосомы посредством микроклеточной инфузии. Смотрите заявки на Европейский патент № 773 288 и 843 961. Xenex Biosciences разрабатывают технологию для потенциального создания человеческих антител. В этой технологии мышей ТКИД восстанавливают с помощью человеческих лимфатических клеток, например, В- и/или Т-клеток. Затем мышей иммунизируют антигеном и они могут генерировать иммунный ответ против этого антигена. Смотрите патенты США № 5476996; 5698767 и 5958765.

Ответы человеческого антимышиного антитела (НАМА) привели данную отрасль к созданию химерных или иным образом гуманизированных антител. При этом ожидается, что будут наблюдаться ответы некоторых человеческих анти-химерных антител (НАСА), в частности, при постоянном или многодозовом применении антитела. Таким образом, было бы желательно предоставить конструкции антител, содержащие человеческий связывающий домен против антигена-мишени клеточной поверхности и человеческий связывающий домен против CD3ε, чтобы опровергнуть сомнения относительно и/или результаты ответов НАМА или НАСА.

Термины "(специфически) связывается с", "(специфически) распознает", "(специфически) направлен на" и "(специфически) реагирует с" означают в соответствии с этим изобретением, что связывающий домен взаимодействует или специфически взаимодействует с данным эпитопом или данным участком-мишенью на молекулах-мишенях (антигенах), в данном случае: антигене-мишени клеточной поверхности и CD3ε соответственно.

Термин "эпитоп" относится к участку на антигене, с которым специфически связывается связывающий домен, такой как антитело или иммуноглобулин, или производное, фрагмент или вариант антитела или иммуноглобулина. "Эпитоп" является антигенным и, следовательно, в данном документе термин эпитоп иногда называется "антигенной структурой" или "антигенной детерминантой". Таким образом, связывающий домен является "участком взаимодействия с антигеном". Также подразумевается, что указанное связывание/взаимодействие определяет "специфическое распознавание".

"Эпитопы" могут быть образованы как смежными аминокислотами, так и не смежными аминокислотами, расположенными рядом в результате сворачивания белка в третичную структуру. "Линейный эпитоп" представляет собой эпитоп, в котором первичная аминокислотная последовательность содержит распознаваемый эпитоп. Линейный эпитоп, как правило, содержит по меньшей мере 3 или по меньшей мере 4, и чаще по меньшей мере 5 или по меньшей мере 6, или по меньшей мере 7, например, от около 8 до около 10 аминокислот в уникальной последовательности.

"Конформационный эпитоп", в противоположность линейному эпитопу, представляет собой эпитоп, в котором первичная последовательность аминокислот, составляющих эпитоп, не является единственным определяющим компонентом распознаваемого эпитопа (например, эпитоп, в котором первичная последовательность аминокислот не обязательно распознается связывающим доменом). Как правило, конформационный эпитоп содержит большее количество аминокислот по сравнению с линейным эпитопом. В отношении распознавания конформационных эпитопов связывающий домен распознает трехмерную структуру антигена, предпочтительно пептид или белок или его фрагмент (в контексте данного изобретения антигенная структура для одного из связывающих доменов содержится в рамках целевого белка антигена клеточной поверхности). Например, когда молекула белка сворачивается с образованием трехмерной структуры, определенные аминокислоты и/или полипептидный скелет, образующие конформационный эпитоп, оказываются расположены рядом, что делает возможным распознавание эпитопа антителом. Способы определения конформации эпитопов включают, но не ограничиваются этим, рентгеноструктурную кристаллографию, спектроскопию на основе двумерного ядерного магнитного резонанса (2D-ЯМР) и спектроскопию на основе сайт-направленных спиновых меток и электронного парамагнитного резонанса (ЭПР).

Способ картирования эпитопов описан следующим образом: Когда область (непрерывный участок

аминокислот) в белке человеческого антигена-мишени клеточной поверхности заменяют/замещают соответствующей областью антигена-мишени клеточной поверхности, не принадлежащего человеку и примату (например, мышинного антигена-мишени клеточной поверхности, хотя допускаются также и другие, такие как куриные, крысиные, хомячьи, кроличьи и т.д.), ожидается, что произойдет снижение в связывании связывающего домена, если связывающий домен не является перекрестно реагирующим в отношении применяемого антигена-мишени клеточной поверхности, не принадлежащего человеку и примату. Указанное снижение предпочтительно составляет по меньшей мере 10, 20, 30, 40 или 50%; более предпочтительно по меньшей мере 60, 70 или 80%, и наиболее предпочтительно 90, 95 или даже 100% по сравнению со связыванием с соответствующей областью в белке человеческого антигена-мишени клеточной поверхности, причем связывание с соответствующим белком человеческого антигена-мишени клеточной поверхности устанавливается как 100%. Подразумевается, что вышеуказанные химерные структуры человеческий антиген-мишень клеточной поверхности/нечеловеческий антиген-мишень клеточной поверхности экспрессируются в клетках СНО. Также подразумевается, что химерные структуры человеческого антиген-мишень клеточной поверхности/нечеловеческий антиген-мишень клеточной поверхности слиты с трансмембранным доменом и/или цитоплазматическим доменом отличного мембраносвязанного белка, такого как ЕpСAM.

В альтернативном или дополнительном способе картирования эпитопов можно создавать несколько усеченных версий внеклеточного домена человеческого антигена-мишени клеточной поверхности, чтобы определить конкретную область, которая распознается связывающим доменом. В этих усеченных версиях поэтапно удаляют разные внеклеточные домены/субдомены или области антигена-мишени клеточной поверхности, начиная с N-конца. Подразумевается, что усеченные версии антигена-мишени клеточной поверхности можно экспрессировать в клетках СНО. Также подразумевается, что усеченные версии антигена-мишени клеточной поверхности можно сливать с трансмембранным доменом и/или цитоплазматическим доменом отличного мембраносвязанного белка, такого как ЕpСAM. Также подразумевается, что усеченные версии антигена-мишени клеточной поверхности могут включать домен сигнального пептида в N-конце, например, сигнальный пептид, полученный из сигнального пептида тяжелой цепи мышинного IgG. Дополнительно подразумевается, что усеченные версии антигена-мишени клеточной поверхности могут включать домен v5 в N-конце (после сигнального пептида), который позволяет подтвердить их правильную экспрессию на клеточной поверхности. Ожидается, что снижение или прекращение связывания будет наблюдаться для тех усеченных версий антигена-мишени клеточной поверхности, которые больше не включают область антигена-мишени клеточной поверхности, распознаваемую связывающим доменом. Снижение связывания предпочтительно составляет по меньшей мере 10, 20, 30, 40, 50%; более предпочтительно по меньшей мере 60, 70, 80%, и наиболее предпочтительно 90, 95 или даже 100%, причем связывание с полным белком человеческого антигена-мишени клеточной поверхности (или его внеклеточной областью или доменом) устанавливается как 100.

Дополнительным способом определения вклада конкретного остатка антигена-мишени клеточной поверхности в распознавание конструкцией антитела или связывающим доменом является аланиновое сканирование (см., например, Morrison KL & Weiss GA. *Cur Opin Chem Biol.* 2001 Jun; 5(3):302-7), в котором каждый предназначенный для анализа остаток замещают аланином, например, посредством сайт-направленного мутагенеза. Аланин используют из-за его необъемной, химически инертной, метильной функциональной группы, которая при этом имитирует вторичную структуру, которой обладают многие другие аминокислоты. Иногда можно использовать объемные аминокислоты, такие как валин или изолейцин, в случаях, когда необходимо сохранение размера мутированного остатка. Аланиновое сканирование является проверенной технологией, которую используют уже долгое время.

Взаимодействие между связывающим доменом и эпитопом или областью, содержащей эпитоп, означает, что связывающий домен демонстрирует приемлемую аффинность в отношении эпитопа/области, содержащей эпитоп, в конкретном белке или антигене (в данном случае: антигене-мишени клеточной поверхности и CD3 соответственно) и, в общем случае, не демонстрирует существенную реактивность с белками или антигенами, отличными от антигена-мишени клеточной поверхности и CD3. "Приемлемая аффинность" включает связывание с аффинностью около 10^{-6} М (КД) или выше. Предпочтительно связывание считается специфическим, когда аффинность связывания составляет от около 10^{-12} до 10^{-8} М, от 10^{-12} до 10^{-9} М, от 10^{-12} до 10^{-10} М, от 10^{-11} до 10^{-8} М, предпочтительно от около 10^{-11} до 10^{-9} М. Вступает ли специфически связывающий домен в реакцию или связывается ли с мишенью, можно легко проверить, помимо прочего, сравнивая реакцию указанного связывающего домена с целевым белком или антигеном с реакцией указанного связывающего домена с белками или антигенами, отличными от антигена-мишени клеточной поверхности или CD3. Предпочтительно связывающий домен согласно изобретению практически или по существу не связывается с белками или антигенами, отличными от антигена-мишени клеточной поверхности или CD3 (т.е. первый связывающий домен не способен связываться с белками, отличными от антигена-мишени клеточной поверхности, а второй связывающий домен не способен связываться с белками, отличными от CD3). Подразумеваемой характеристикой конструкций антител в соответствии с данным изобретением является то, что они имеют превосходящие характеристики аффинности по сравнению с другими HLE-форматами. Следовательно, такая превосходящая аффинность пред-

полагает продленное время полужизни *in vivo*. Большое время полужизни конструкций антител в соответствии с данным изобретением может снизить длительность и частоту введения, что, как правило, влияет на улучшение соблюдения пациентом режима лечения. Это является исключительно важным, так как конструкции антител согласно данному изобретению являются исключительно полезными для сильно ослабленных или даже полиморбидных раковых пациентов.

Термин "практически/по существу не связывает" или "не способен связываться" означает, что связывающий домен согласно данному изобретению не связывает белок или антиген, отличный от антигена-мишени клеточной поверхности или CD3, т.е. не демонстрирует реактивность более 30%, предпочтительно не более 20%, предпочтительнее не более 10%, в частности, предпочтительно не более 9, 8, 7, 6 или 5% с белками или антигенами, отличными от антигена-мишени клеточной поверхности или CD3, причем связывание с антигеном-мишенью клеточной поверхности или CD3 соответственно установлено как 100%.

Считается, что на специфическое связывание влияют конкретные мотивы в аминокислотной последовательности связывающего домена и антигена. Таким образом, связывание достигается в результате их первичной, вторичной и/или третичной структуры, а также в результате вторичных модификаций указанных структур. Специфическое взаимодействие участка взаимодействия с антигеном с его специфическим антигеном может приводить к простому связыванию указанного участка с антигеном. Более того, специфическое взаимодействие участка взаимодействия с антигеном с его специфическим антигеном может в альтернативном или дополнительном варианте приводить к инициации сигнала, например, вследствие индукции изменения конформации антигена, олигомеризации антигена и т.д.

Термин "вариабельный" относится к частям доменов антитела или иммуноглобулина, которые демонстрируют вариабельность в последовательности и которые вовлечены в определение специфичности и аффинности связывания конкретного антитела (т.е. "вариабельный(е) домен(ы)"). Спаривание вместе вариабельной тяжелой цепи (VH) и вариабельной легкой цепи (VL) приводит к образованию одного антигенсвязывающего участка.

Вариабельность неравномерно распределена между вариабельными доменами антител; она сконцентрирована в субдоменах каждой из вариабельных областей тяжелой и легкой цепи. Эти субдомены называются "гипервариабельными областями" или "определяющими комплементарность областями" (CDR). Более консервативные (т.е. не гипервариабельные) части вариабельных доменов называются "каркасными" областями (FRM или FR) и обеспечивают каркас для шести CDR в трехмерном пространстве с образованием антигенсвязывающей поверхности. Каждый из вариабельных доменов тяжелой и легкой цепей природного происхождения содержит четыре FRM-области (FR1, FR2, FR3 и FR4), принимающие большей частью β -складчатую конфигурацию, соединенные тремя гипервариабельными областями, которые образуют петли, соединяющие, и в некоторых случаях образующие часть β -складчатой структуры. Гипервариабельные области в каждой цепи удерживаются вместе в непосредственной близости FRM и вместе с гипервариабельными областями из другой цепи вносят свой вклад в образование антигенсвязывающего участка (смотрите Kabat et al., loc. cit.).

Термины "CDR" и множественная форма "CDR" относятся к определяющим комплементарность областям, из которых три обуславливают характер связывания вариабельной области легкой цепи (CDR-L1, CDR-L2 и CDR-L3) и три обуславливают характер связывания вариабельной области тяжелой цепи (CDR-H1, CDR-H2 и CDR-H3). CDR содержат большинство остатков, отвечающих за специфическое взаимодействие антитела с антигеном и, следовательно, вносят свой вклад в функциональную активность молекулы антитела: они являются основными детерминантами специфичности к антигену.

Точное определение границ и размеров CDR является предметом разных классификаций и систем нумерации. Следовательно, CDR могут быть обозначены в соответствии с определениями Kabat, Chothia, контактными или любыми другими определениями границ, включая описанную в данном документе систему нумерации. Несмотря на отличающиеся границы каждая из этих систем имеет некоторую степень перекрытия в том, что составляет так называемые "гипервариабельные области" в пределах вариабельных последовательностей. Следовательно, определения CDR в соответствии с этими системами могут отличаться по длине и граничным участкам по отношению к прилегающей каркасной области. Смотрите, например, Kabat (подход на основании межвидовой вариабельности последовательностей), Chothia (подход на основании кристаллографических исследований комплексов антиген-антитело), и/или MacCallum (Kabat et al., loc. cit.; Chothia et al., J. Mol. Biol, 1987, 196: 901-917; и MacCallum et al., J. Mol. Biol, 1996, 262: 732). Еще одним стандартом для характеристики антигенсвязывающего участка является определение AbM, применяемое в программном обеспечении для моделирования антител Oxford Molecular's AbM. Смотрите, например, Protein Sequence and Structure Analysis of Antibody Variable Domains. В: Antibody Engineering Lab Manual (Ed.: Duebel, S. and Rontermann, R., Springer-Verlag, Heidelberg). В случае если две методики идентификации остатков определяют остатки перекрывающихся, но не идентичных областей, их можно комбинировать для определения гибридной CDR. При этом предпочтительной является нумерация в соответствии с так называемой системой Kabat.

Как правило, CDR образуют петлевую структуру, которая может быть классифицирована как кано-

ническая структура. Термин "каноническая структура" относится к основной конформации цепи, которую принимают антигенсвязывающие (CDR) петли. По результатам сравнительных структурных исследований было обнаружено, что пять из шести антигенсвязывающих петель имеют только ограниченный набор доступных конформаций. Каждую каноническую структуру можно охарактеризовать по углу кручения полипептидного скелета. Следовательно, соответствующие петли среди антител могут иметь очень сходные трехмерные структуры, несмотря на высокую аминокислотную вариабельность в большинстве частей петель (Chothia and Lesk, *J. Mol. Biol.*, 1987, 196: 901; Chothia et al., *Nature*, 1989, 342: 877; Martin and Thornton, *J. Mol. Biol.*, 1996, 263: 800). Кроме того, существует взаимосвязь между принимаемой петлей структурой и окружающими ее аминокислотными последовательностями. Конформация конкретного канонического класса определяется длиной петли и аминокислотными остатками, находящимися в ключевых позициях в пределах петель, а также в пределах консервативной каркасной области (т.е. за пределами петли). Отнесение к конкретному каноническому классу, следовательно, можно проводить на основании присутствия этих ключевых аминокислотных остатков.

Термин "каноническая структура" также может включать факторы, связанные с линейной последовательностью антитела, например, каталогизированные Kabat (Kabat et al., loc. cit.). Схема (система) нумерации Kabat является широко распространенным стандартом нумерации аминокислотных остатков вариабельного домена антитела последовательным образом и является предпочтительной схемой, применяемой в данном изобретении, что также упоминается в другом месте данного документа. Для определения канонической структуры антитела также можно использовать дополнительные структурные факторы. Например, те отличия, которые не полностью отображены в нумерации Kabat, можно описать с помощью системы нумерации Chothia et al. и/или выявить с помощью других методик, например, кристаллографии и двух- или трехмерного компьютерного моделирования.

Соответственно, заданную последовательность антитела можно отнести к каноническому классу, что позволяет, помимо прочего, идентифицировать соответствующие шасси-последовательности (например, на основании необходимости включать разнообразные канонические структуры в библиотеку). Нумерация аминокислотных последовательностей антител по Kabat и структурные факторы, описанные Chothia et al., loc. cit., и их значения для конструирования канонических аспектов структуры антитела описаны в литературе. Субъединичные структуры и трехмерные конфигурации разных классов иммуноглобулинов хорошо известны в данной области техники. Обзор структуры антител можно посмотреть в *Antibodies: A Laboratory Manual*, Cold Spring Harbor Laboratory, eds. Harlow et al., 1988.

CDR3 легкой цепи и в особенности CDR3 тяжелой цепи могут составлять наиболее важные детерминанты в связывании антигена в пределах вариабельных областей легкой и тяжелой цепи. В некоторых конструкциях антител CDR3 тяжелой цепи составляет основную площадь контакта между антигеном и антителом. *In vitro* схемы отбора, в которых варьируется только CDR3, можно использовать, чтобы варьировать связывающие свойства антитела или чтобы определить, какие остатки вносят вклад в связывание антигена. Следовательно, CDR3, как правило, является наибольшим источником молекулярного разнообразия в пределах связывающего участка антитела. Например, H3 может иметь длину всего в два аминокислотных остатка или более 26 аминокислот.

В классическом полноразмерном иммуноглобулине каждая легкая (L) цепь связана с тяжелой (H) одной ковалентной дисульфидной связью, тогда как две H-цепи связаны друг с другом одной или более дисульфидными связями в зависимости от изотипа H-цепи. Домен CH, расположенный наиболее близко к VH, обычно обозначается как CH1. Константные ("C") домены непосредственно не вовлечены в связывание антигена, но проявляют различные эффекторные функции, такие как антителозависимая клеточно-опосредованная цитотоксичность и активация комплемента. Fc-область антитела находится в пределах константных доменов тяжелой цепи и, например, способна взаимодействовать с расположенными на поверхности Fc-рецепторами.

Последовательность генов антитела после сборки и соматической мутации сильно варьируется и по оценкам эти варьированные гены кодируют 10^{10} разных молекул антител (*Immunoglobulin Genes*, 2nd ed., eds. Jonio et al., Academic Press, San Diego, CA, 1995). Соответственно, иммунная система обеспечивает некоторый репертуар иммуноглобулинов. Термин "репертуар" относится к по меньшей мере одной нуклеотидной последовательности, целиком или частично полученной из по меньшей мере одной последовательности, кодирующей по меньшей мере один иммуноглобулин. Последовательность(и) можно получать путем перестройки *in vivo* V, D и J сегментов тяжелых цепей и V и J сегментов легких цепей. В альтернативном варианте последовательность(и) можно получать из клетки в ответ на которую происходит перестройка, например, *in vitro* стимуляция. В альтернативном варианте часть или всю (все) последовательность(и) можно получать посредством сплайсинга ДНК, синтеза нуклеотидов, мутагенеза и других способов, смотрите, например, патент США 5565332. Репертуар может включать только одну последовательность или может включать множество последовательностей, включая находящиеся в генетически разнообразной коллекции.

В связи с этим изобретением термин "Fc-часть" или "Fc-мономер" означает полипептид, содержащий по меньшей мере один домен, имеющий функцию домена CH2, и по меньшей мере один домен, имеющий функцию домена CH3 молекулы иммуноглобулина. Как очевидно из термина "Fc-мономер",

полипептид, содержащий эти домены СН, является "полипептидным мономером". Fc-мономер может представлять собой полипептид, содержащий по меньшей мере фрагмент константной области иммуноглобулина за исключением первого домена константной области тяжелой цепи иммуноглобулина (СН1), но сохраняющий по меньшей мере функциональную часть одного домена СН2 и функциональную часть одного домена СН3, причем домен СН2 является аминоконцевым по отношению к домену СН3. В предпочтительном аспекте этого определения Fc-мономер может представлять собой полипептидную константную область, содержащую часть шарнирной области Ig-Fc, область СН2 и область СН3, причем шарнирная область является аминоконцевой по отношению к домену СН2. Подразумевается, что шарнирная область согласно данному изобретению стимулирует димеризацию. Такие молекулы Fc-полипептидов можно получать, например и без ограничения, путем расщепления папаином области иммуноглобулина (конечно, приводящего к получению димера из двух Fc-полипептидов). В другом аспекте этого определения Fc-мономер может представлять собой полипептидную область, содержащую часть области СН2 и области СН3. Такие молекулы Fc-полипептидов можно получать, например и без ограничения, путем расщепления пепсином молекулы иммуноглобулина. В одном варианте реализации изобретения полипептидная последовательность Fc-мономера по существу аналогична последовательности Fc-полипептида: Fc-области IgG₁, Fc-области IgG₂, Fc-области IgG₃, Fc-области IgG₄, Fc-области IgM, Fc-области IgA, Fc-области IgD и Fc-области IgE. (Смотрите, например, Padlan, *Molecular Immunology*, 31(3), 169-217 (1993)). Вследствие наличия некоторой вариации между иммуноглобулинами и исключительно для ясности Fc-мономер относится к последним двум доменам константной области тяжелой цепи иммуноглобулина IgA, IgD и IgG и последним трем доменам константной области тяжелой цепи иммуноглобулина IgE и IgM. Как упоминалось, Fc-мономер также может содержать гибкую шарнирную область, расположенную N-терминально к этим доменам. В случае IgA и IgM Fc-мономер может содержать J-цепь. В случае IgG Fc-часть содержит домены иммуноглобулина СН2 и СН3 и шарнирную область между первыми двумя доменами и СН2. Хотя границы Fc-части могут варьироваться, пример Fc-части тяжелой цепи человеческого IgG, содержащей функциональную шарнирную область, домен СН2 и СН3, может, например, по определению содержать остатки от D231 (шарнирного домена - соответствующего D234 в табл. 1, ниже) до P476, соответственно L476 (в случае IgG₄), карбокси-конца домена СН3, где нумерация приведена в соответствии с Kabat. Две Fc-части или два Fc-мономера, слитые друг с другом посредством пептидного линкера, определяют третий домен конструкции антитела согласно изобретению, который также может быть определен как домен scFc.

В одном варианте реализации изобретения подразумевается, что описанный в данном документе домен scFc, соответственно Fc-мономеры, слитые друг с другом, находятся только в третьем домене конструкции антитела.

В соответствии с данным изобретением шарнирную область IgG можно определить по аналогии, используя нумерацию Kabat, как показано в табл. 1. В соответствии с вышесказанным подразумевается, что шарнирный домен/шарнирная область согласно данному изобретению содержит аминокислотные остатки, соответствующие участку последовательности IgG₁ от D234 до P243 в соответствии с нумерацией Kabat. Аналогично, подразумевается, что шарнирный домен/шарнирная область согласно данному изобретению содержит или состоит из шарнирной последовательности IgG1 DKTHTCPPCP (SEQ ID NO: 1449) (соответствующей участку от D234 до P243, как показано в табл. 1, ниже, также подразумеваются вариации указанной последовательности, при условии, что шарнирная область продолжает стимулировать димеризацию). В предпочтительном варианте реализации изобретения участок гликозилирования в позиции 314 по Kabat доменов СН2 в третьем домене конструкции антитела удален посредством замены N314X, где X представляет собой любую аминокислоту за исключением Q. Указанная замена предпочтительно представляет собой замену N314G. В более предпочтительном варианте реализации изобретения указанный домен СН2 дополнительно содержит следующие замены (позиции в соответствии с Kabat): V321C и R309C (эти замены вносят внутримономерный цистеиновый дисульфидный мостик в позициях 309 и 321 по Kabat).

Также подразумевается, что третий домен конструкции антитела согласно изобретению содержит или состоит из, в порядке от аминоконца к карбокси-концу: DKTHTCPPCP (SEQ ID NO: 1449) (т.е. шарнирная область) -СН2-СН3-линкер- DKTHTCPPCP (SEQ ID NO: 1449) (т.е. шарнирная область) -СН2-СН3. Пептидный линкер в вышеуказанной конструкции антитела в предпочтительном варианте реализации характеризуется аминокислотной последовательностью Gly-Gly-Gly-Gly-Ser, т.е. Gly₄Ser (SEQ ID NO: 1), или ее полимерами, т.е. (Gly₄Ser)_x, где x представляет собой целое число, равное 5 или более (например, 5, 6, 7, 8 и т.д. или более), причем предпочтительным вариантом является 6 ((Gly₄Ser)₆). Указанная конструкция может дополнительно содержать вышеуказанные замены N314X, предпочтительно N314G, и/или дополнительные замены V321C и R309C. В предпочтительном варианте реализации конструкций антител согласно изобретению, определенных ранее, подразумевается, что второй домен связывается с внеклеточным эпитопом цепи CD3ε человека и/или Масаса.

Таблица 1

Нумерация аминокислотных остатков шарнирной области по Kabat		
Нумерация IMGT для шарнирной области	Аминокислотная трансляция IgG ₁	Нумерация Kabat
1	(E)	226
2	P	227
3	K	228
4	S	232
5	C	233
6	D	234
7	K	235
8	T	236
9	H	237
10	T	238
11	C	239
12	P	240
13	P	241
14	C	242
15	P	243

В дополнительных вариантах реализации данного изобретения шарнирный домен/шарнирная область содержит или состоит из шарнирной последовательности подтипа IgG₂ ERKCCVECPSP (SEQ ID NO: 1450), последовательности подтипа IgG₃ ELKTPLDTTHTCPRCP (SEQ ID NO: 1451) или ELKTPLDGDTTHTCPRCP (SEQ ID NO: 1458) и/или последовательности подтипа IgG₄ ESKYGPPCPSP (SEQ ID NO: 1452). Шарнирная последовательность подтипа IgG₁ может быть следующей: EPKSCDKTHTCPPCP (как показано в табл. 1 и SEQ ID NO: 1459).

Таким образом, эти основные шарнирные области также подразумеваются в контексте данного изобретения.

Положение и последовательность домена CH2 IgG и домена CD3 IgG можно определить по аналогии, используя нумерацию Kabat, как показано в табл. 2:

Таблица 2

Нумерация аминокислотных остатков области CH2 и CH3 IgG по Kabat				
Подтип IgG	ак трансляция CH2	Нумерация CH2 по Kabat	ак трансляция CH3	Нумерация CH3 по Kabat
IgG ₁	ARE... ...KAK	244... ...360	GQP.....PGK	361... ...478
IgG ₂	APP... ...KTK	244... ...360	GQP.....PGK	361... ...478
IgG ₃	ARE... ...KTK	244... ...360	GQP.....PGK	361... ...478
IgG ₄	ARE... ...KAK	244... ...360	GQP.....LGK	361... ...478

В одном варианте реализации изобретения выделенные жирным аминокислотные остатки в домене CH3 первого или обоих Fc-мономеров удалены.

Пептидный линкер, посредством которого полипептидные мономеры ("Fc-часть" или "Fc-мономер") третьего домена слиты друг с другом, предпочтительно содержит по меньшей мере 25 аминокислотных остатков (25, 26, 27, 28, 29, 30 и т.д.). Более предпочтительно этот пептидный линкер содержит по меньшей мере 30 аминокислотных остатков (30, 31, 32, 33, 34, 35 и т.д.). Также предпочтительно, чтобы линкер содержал до 40 аминокислотных остатков, более предпочтительно до 35 аминокислотных остатков, наиболее предпочтительно точно 30 аминокислотных остатков. В предпочтительном варианте реализации такой пептидный линкер характеризуется аминокислотной последовательностью Gly-Gly-

Gly-Gly-Ser, т.е. Gly₄Ser (SEQ ID NO: 1), или ее полимерами, т.е. (Gly₄Ser)_x, где x представляет собой целое число, равное 5 или более (например, 6, 7 или 8). Предпочтительно целое число равно 6 или 7, более предпочтительно целое число равно 6.

В случае, если линкер используется для слияния первого домена со вторым доменом или первого или второго домена с третьим доменом, этот линкер предпочтительно имеет длину и последовательность, достаточную, чтобы гарантировать, что каждый из первого и второго доменов может независимо от другого сохранять свою специфичность дифференциального связывания. В случае пептидных линкеров, которые соединяют по меньшей мере два связывающих домена (или два переменных домена) в конструкции антитела согласно изобретению, предпочтительными являются пептидные линкеры, которые содержат всего несколько аминокислотных остатков, например, 12 аминокислотных остатков. Таким образом, предпочтительными являются пептидные линкеры из 12, 11, 10, 9, 8, 7, 6 или 5 аминокислотных остатков. Подразумеваемый пептидный линкер с менее чем 5 аминокислотами содержит 4, 3, 2 или одну аминокислоту, причем предпочтительными являются Gly-богатые линкеры. Предпочтительный вариант реализации пептидного линкера для слияния первого и второго домена приведен в SEQ ID NO: 1. Предпочтительный вариант реализации пептидного линкера для слияния второго и третьего домена представляет собой (Gly)₄-линкер, соответственно G₄-линкер.

В особенности предпочтительной "единственной" аминокислотой в контексте вышеописанного "пептидного линкера" является Gly. Соответственно, указанный пептидный линкер может состоять из единственной аминокислоты Gly. В предпочтительном варианте реализации изобретения пептидный линкер характеризуется аминокислотной последовательностью Gly-Gly-Gly-Gly-Ser, т.е. Gly₄Ser (SEQ ID NO: 1), или ее полимерами, т.е. (Gly₄Ser)_x, где x представляет собой целое число, равное 1 или более (например, 2 или 3). Предпочтительные линкеры приведены в SEQ ID NO: от 1 до 12. Характеристики указанного пептидного линкера, которые включают отсутствие стимуляции образования вторичных структур, известны в данной области техники и описаны, например, в Dall'Acqua et al. (Biochem. (1998) 37, 9266-9273), Cheadle et al. (Mol Immunol (1992) 29, 21-30) и Raag and Whitlow (FASEB (1995) 9(1), 73-80). Предпочтительными являются пептидные линкеры, которые, помимо прочего, не стимулируют образование каких-либо вторичных структур. Связь указанных доменов друг с другом можно обеспечить, например, посредством генетической инженерии, как описано в примерах. Способы получения слитых и функционально связанных биспецифических одноцепочечных конструкций и их экспрессии в клетках млекопитающих или бактериях хорошо известны в данной области техники (например, WO 99/54440 или Sambrook et al., Molecular Cloning: A Laboratory Manual, Cold Spring Harbor Laboratory Press, Cold Spring Harbor, New York, 2001).

В предпочтительном варианте реализации конструкции антитела согласно данному изобретению первый и второй домен образуют конструкцию антитела в формате, выбранном из группы, состоящей из (scFv)₂, scFv-однодоменного mAb, диатела и олигомеров любого из этих форматов.

В соответствии с особенно предпочтительным вариантом реализации изобретения и как описано в прилагающихся примерах, первый и второй домены конструкции антитела согласно изобретению представляют собой "биспецифическую одноцепочечную конструкцию антитела", более предпочтительно биспецифический "одноцепочечный Fv" (scFv). Хотя два домена Fv-фрагмента, VL и VH, кодируются отдельными генами, их можно соединить, используя рекомбинантные способы, синтетическим линкером, - как было ранее описано в данном документе - который обеспечивает возможность их получения в виде одной белковой цепи, в которой области VL и VH спарены с образованием моновалентной молекулы; смотрите, например, Huston et al. (1988) Proc. Natl. Acad. Sci USA 85:5879-5883). Эти фрагменты антител получают, используя традиционные методики, известные специалистам в данной области техники, и оценивают фрагменты в отношении функции таким же образом, что и полноразмерные антитела. Следовательно, одноцепочечный переменный фрагмент (scFv) представляет собой слитый белок переменной области тяжелой цепи (VH) и легкой цепи (VL) иммуноглобулинов, обычно соединенных коротким линкерным пептидом длиной от около десяти до около 25 аминокислот, предпочтительно от около 15 до 20 аминокислот. Обычно линкер насыщен глицином для гибкости, а также серином или треонином для растворимости и может соединять N-конец VH с C-концом VL, или наоборот. Этот белок сохраняет специфичность оригинального иммуноглобулина, несмотря на удаление константных областей и внесение линкера.

Биспецифические одноцепочечные конструкции антител известны в данной области техники и описаны в WO 99/54440, Mack, J. Immunol. (1997), 158, 3965-3970, Mack, PNAS, (1995), 92, 7021-7025, Kufer, Cancer Immunol. Immunother., (1997), 45, 193-197, Löffler, Blood, (2000), 95, 6, 2098-2103, Brühl, Immunol., (2001), 166, 2420-2426, Kipriyanov, J. Mol. Biol., (1999), 293, 41-56. Методики для получения одноцепочечных антител (см., помимо прочего, патент США 4946778, Kontermann and Dübel (2010), loc. cit. и Little (2009), loc. cit.) можно адаптировать для получения одноцепочечных конструкций антител, специфически распознающих выбранную(ые) мишень(и).

Бивалентные (также называемые дивалентными) или биспецифические одноцепочечные переменные фрагменты (bi-scFv или di-scFv, имеющие формат (scFv)₂ можно сконструировать путем связывания двух молекул scFv (например, линкерами, как было описано ранее). Если эти две молекулы scFv имеют

одинаковую специфичность связывания, получаемая в результате молекула (scFv)₂ предпочтительно будет называться бивалентной (т.е. она имеет две валентности в отношении одного эпитопа-мишени). Если две молекулы scFv имеют разную специфичность связывания, получаемая в результате молекула (scFv)₂ предпочтительно будет называться биспецифической. Связывание можно осуществлять путем получения одной пептидной цепи с двумя областями VH и двумя областями VL, что приводит к получению тандемных scFv (см., например, Kufer P. et al., (2004) Trends in Biotechnology 22(5):238-244). Другой возможностью является создание молекул scFv с линкерными пептидами, которые являются слишком короткими для того, чтобы удерживать вместе две переменные области (например, около пяти аминокислот), что принуждает scFv к димеризации. Этот тип известен как диатела (см., например, Hollinger, Philipp et al., (July 1993) Proceedings of the National Academy of Sciences of the United States of America 90(14):6444-8).

В соответствии с этим изобретением любой из первого, второго или первый и второй домены могут составлять однодоменное антитело, соответственно переменный домен или по меньшей мере часть CDR однодоменного антитела. Однодоменные антитела содержат только один (мономерный) переменный домен антитела, который способен избирательно связываться с конкретным антигеном, независимо от других V-областей или доменов. Первые однодоменные антитела были сконструированы из содержащих только тяжелые цепи антител, обнаруживаемых у верблюжьих, и называются V_HN-фрагментами. Хрящевые рыбы также имеют содержащие только тяжелые цепи антитела (IgNAR), из которых можно получать однодоменные антитела, называемые V_{NAR}-фрагментами. Альтернативный подход состоит в разбиении димерных переменных доменов из обычных иммуноглобулинов, например, принадлежащих человеку или грызуну, на мономеры, получая, таким образом, VH или VL в виде однодоменного Ab. Хотя на данный момент большинство исследований относительно однодоменных антител базируются на переменных доменах тяжелой цепи, также было показано, что нанотела, полученные из легких цепей, специфически связываются с эпитопами-мишенями. Примеры однодоменных антител называются sdAb, нанотелами или антителами, содержащими один переменный домен.

Следовательно, однодоменное (mAb)₂ представляет собой моноклональную конструкцию антитела, состоящую из (по меньшей мере) двух однодоменных моноклональных антител, которые по отдельности выбраны из группы, включающей V_H, V_L, V_HN и V_{NAR}. Линкер предпочтительно имеет форму пептидного линкера. Аналогично, "scFv-однодоменное mAb" представляет собой моноклональную конструкцию антитела, состоящую из по меньшей мере одного описанного выше однодоменного антитела и одной описанной выше молекулы scFv. Снова, линкер предпочтительно имеет форму пептидного линкера.

Конкурирует ли конструкция антитела за связывание с другой заданной конструкцией антитела, можно определить в конкурентном анализе, таком как конкурентный ИФА или клеточный конкурентный анализ. Также можно использовать покрытые авидином микрочастицы (гранулы). Аналогично с покрытием авидином планшета ИФА, при проведении реакции с биотинилированным белком каждую из этих гранул можно использовать в качестве субстрата для проведения анализа. Антиген наносят на гранулу, а затем предварительно наносят первое антитело. Добавляют второе антитело и определяют наличие какого-либо дополнительного связывания. Возможные средства для регистрации данных включают проточную цитометрию.

Т-клетки или Т-лимфоциты являются типом лимфоцитов (которые сами по себе являются типом белых кровяных телец), который играет основную роль в клеточноопосредованном иммунитете. Существует несколько подгрупп Т-клеток, каждая из которых имеет отличную функцию. Т-клетки можно отличить от других лимфоцитов, таких как В-клетки и НК-клетки, по присутствию Т-клеточного рецептора (ТКР) на клеточной поверхности. ТКР отвечает за распознавание антигенов, связанных с молекулами главного комплекса гистосовместимости (ГКГС), и состоит из двух разных белковых цепей. В 95% Т-клеток ТКР состоит из альфа (α) и бета (β) цепи. Когда ТКР вступает в контакт с антигенным пептидом и ГКГС (комплексом пептид/ГКГС), происходит активация Т-лимфоцита посредством серии биохимических событий, опосредованных ассоциированными ферментами, ко-рецепторами, специализированными адапторными молекулами и активированными или высвобожденными транскрипционными факторами.

Комплекс CD3-рецептора представляет собой белковый комплекс и состоит из четырех цепей. У млекопитающих комплекс содержит CD3γ (гамма) цепь, CD3δ (дельта) цепь и две CD3ε (эпсилон) цепи. Эти цепи связываются с Т-клеточным рецептором (ТРК) и так называемой ζ (дзета) цепью с образованием комплекса Т-клеточного рецептора и CD3 и генерацией сигнала активации в Т-лимфоцитах. Цепи CD3γ (гамма), CD3δ (дельта) и CD3ε (эпсилон) являются высокородственными белками клеточной поверхности суперсемейства иммуноглобулинов, содержащие один внеклеточный домен иммуноглобулина. Внутриклеточные хвосты молекул CD3 содержат один консервативный мотив, известный как иммунорецепторный тирозинный активирующий мотив или, сокращенно, ITAM, который является важным для сигнальных возможностей ТРК. Молекула CD3 эпсилон представляет собой полипептид, который у людей кодируется геном CD3E, который находится в хромосоме 11. Наиболее предпочтительный эпитоп CD3 эпсилон находится в пределах аминокислотных остатков 1-27 внеклеточного домена человеческого CD3 эпсилон. Подразумевается, что конструкции антител в соответствии с данным изобретением, как правило и преимущественно, меньше демонстрируют неспецифическую активацию Т-клеток, которая

является нежелательной в специфической иммунотерапии. Это приводит к снижению риска возникновения побочных явлений.

Перенаправленный лизис клеток-мишеней посредством привлечения Т-клеток мультиспецифической, по меньшей мере биспецифической конструкцией антитела включает образование цитолитического синапса и доставку перфорина и гранзимов. Привлеченные Т-клетки способны серийно осуществлять лизис клеток-мишеней и на них не влияют механизмы уклонения от иммунологического надзора, создающие помехи для процессинга и презентации пептидных антигенов или клональной дифференцировки Т-клеток; смотрите, например, WO 2007/042261.

Цитотоксичность, опосредованную конструкциями антител согласно изобретению, можно определять различными путями. Эффекторными клетками могут представлять собой, например, обогащенные (человеческие) CD8-положительные Т-клетки или нестимулированные (человеческие) мононуклеарные клетки периферической крови (МКПК). Если клетки-мишени происходят от или экспрессируются у макаков или трансфицированы антигеном-мишенью клеточной поверхности макака, который связывается первым доменом, эффекторные клетки также должны происходить от макака, например, линии Т-клеток макака, например, 4119LnPx. Клетки-мишени должны экспрессировать (по меньшей мере внеклеточный домен) антигена-мишени клеточной поверхности, например, антигена-мишени клеточной поверхности человека или макака. Клетки-мишени могут представлять собой линию клеток (такую как CHO), стабильно или временно трансфицированную антигеном-мишенью клеточной поверхности, например, антигеном-мишенью клеточной поверхности человека или макака. В альтернативном варианте клетки-мишени могут представлять собой положительную в отношении антигена-мишени клеточной поверхности линию клеток с естественной экспрессией. Обычно ожидается, что значения EC_{50} будут ниже в случае линий клеток-мишеней, экспрессирующих более высокие уровни антигена-мишени клеточной поверхности на клеточной поверхности. Соотношение между эффекторными клетками и клетками-мишенями (Э:М) обычно составляет около 10:1, но также может варьироваться. Цитотоксическую активность биспецифических конструкций антител к антигену-мишени клеточной поверхности и CD3 можно определить в анализе высвобождения ^{51}Cr (время инкубации - около 18 ч) или в анализе цитотоксичности на основе FACS (время инкубации - около 48 ч). Также возможны модификации времени инкубации (цитотоксической реакции) в анализе. Другие способы определения цитотоксичности хорошо известны специалистам и включают МТТ- или МТС-анализ, методы анализа на основе АТФ, включая билюминесцентный анализ, анализ с сульфородамино В (SRB), анализ WST, клоногенный анализ и технологию ECIS.

Цитотоксическую активность, опосредованную биспецифическими конструкциями антител к антигену-мишени клеточной поверхности и CD3 согласно данному изобретению, предпочтительно определяют в клеточном анализе цитотоксичности. Ее также можно определять в анализе высвобождения ^{51}Cr . Ее представляет значение EC_{50} , которое соответствует полумаксимальной эффективной концентрации (концентрации конструкции антитела, которая индуцирует цитотоксический ответ посередине между исходным и максимальным уровнем). Предпочтительно значение EC_{50} биспецифических конструкций антител к антигену-мишени клеточной поверхности и CD3 составляет ≤ 5000 пМ или ≤ 4000 пМ, более предпочтительно ≤ 3000 пМ или ≤ 2000 пМ, даже более предпочтительно ≤ 1000 пМ или ≤ 500 пМ, даже более предпочтительно ≤ 400 пМ или ≤ 300 пМ, даже более предпочтительно ≤ 200 пМ, даже более предпочтительно ≤ 100 пМ, даже более предпочтительно ≤ 50 пМ, даже более предпочтительно ≤ 20 пМ или ≤ 10 пМ и наиболее предпочтительно ≤ 5 пМ.

Вышеприведенные значения EC_{50} можно определить в разных анализах. Специалисту известно, что можно ожидать, что значение EC_{50} будет ниже, когда в качестве эффекторных клеток используют стимулированные/обогащенные Т-клетки CD8⁺, по сравнению с нестимулированными МКПК. Кроме того, можно ожидать, что значения EC_{50} будут ниже, когда клетки-мишени экспрессируют большое количество антигена-мишени клеточной поверхности по сравнению с низким уровнем экспрессии мишеней. Например, когда в качестве эффекторных клеток используют стимулированные/обогащенные Т-клетки CD8⁺ (и в качестве клеток-мишеней используют трансфицированные антигеном-мишенью клеточной поверхности клетки, такие как клетки CHO, или положительные в отношении антигена-мишени клеточной поверхности человеческие клеточные линии), значение EC_{50} биспецифической конструкции антитела к антигену-мишени клеточной поверхности и CD3 предпочтительно составляет ≤ 1000 пМ, более предпочтительно ≤ 500 пМ, даже более предпочтительно ≤ 250 пМ, даже более предпочтительно ≤ 100 пМ, даже более предпочтительно ≤ 50 пМ, даже более предпочтительно ≤ 10 пМ и наиболее предпочтительно ≤ 5 пМ. Когда в качестве эффекторных клеток используют человеческие МКПК, значение EC_{50} биспецифической конструкции антитела к антигену-мишени клеточной поверхности и CD3 предпочтительно составляет ≤ 5000 пМ или ≤ 4000 пМ (в частности, когда клетками-мишенями являются положительные в отношении антигена-мишени клеточной поверхности человеческие клеточные линии), более предпочтительно ≤ 2000 пМ (в частности, когда клетками-мишенями являются трансфицированные антигеном-мишенью клеточной поверхности клетки, такие как клетки CHO), более предпочтительно ≤ 1000 пМ или ≤ 500 пМ, даже более предпочтительно ≤ 200 пМ, даже более предпочтительно ≤ 150 пМ, даже более

предпочтительно ≤ 100 пМ и наиболее предпочтительно ≤ 50 пМ или меньше. Когда в качестве эффекторных клеток используют линию Т-клеток макака, такую как LpPx4119, а трансфицированную антигеном-мишенью клеточной поверхности макака линию клеток, таких как клетки СНО, используют в качестве линии клеток-мишеней, значение EC_{50} биспецифической конструкции антитела к антигену-мишени клеточной поверхности и CD3 предпочтительно составляет ≤ 2000 пМ или ≤ 1500 пМ, более предпочтительно ≤ 1000 пМ или ≤ 500 пМ, даже более предпочтительно ≤ 300 пМ или ≤ 250 пМ, даже более предпочтительно ≤ 100 пМ и наиболее предпочтительно ≤ 50 пМ.

Предпочтительно биспецифические конструкции антител к антигену-мишени клеточной поверхности и CD3 согласно данному изобретению не индуцируют/не опосредуют лизис или практически не индуцируют/не опосредуют лизис отрицательных в отношении антигена-мишени клеточной поверхности клеток, таких как клетки СНО. Термин "не индуцирует лизис", "практически не индуцирует лизис", "не опосредует лизис" или "практически не опосредует лизис" означает, что конструкция антитела согласно данному изобретению не индуцирует или не опосредует лизис более чем 30%, предпочтительно не более 20%, предпочтительнее не более 10%, в особенности предпочтительно не более 9, 8, 7, 6 или 5% отрицательных в отношении антигена-мишени клеточной поверхности клеток, при этом лизис положительной в отношении антигена-мишени клеточной поверхности человеческой клеточной линии установлен как 100%. Это обычно соответствует концентрациям конструкции антитела до 500 нМ. Специалисту известно, как определить клеточный лизис без лишних усилий. Кроме того, в данном описании приведены конкретные инструкции для определения клеточного лизиса.

Разница между цитотоксической активностью мономерной и димерной изоформы отдельных биспецифических конструкций антител к антигену-мишени клеточной поверхности и CD3 называется "разностью в активности". Эту разность в активности можно рассчитать, например, как отношение между значениями EC_{50} мономерной и димерной формы молекулы. Разность в активности биспецифических конструкций антител к антигену-мишени клеточной поверхности и CD3 согласно данному изобретению предпочтительно составляет ≤ 5 , более предпочтительно ≤ 4 , даже более предпочтительно ≤ 3 , даже более предпочтительно ≤ 2 и наиболее предпочтительно ≤ 1 .

Первый и/или второй (или любой дополнительный) связывающий домен конструкции антитела согласно изобретению предпочтительно отличается межвидовой специфичностью для представителей приматов из класса млекопитающих. Отличающиеся межвидовой специфичностью CD3-связывающие домены описаны, например, в WO 2008/119567. В соответствии с одним вариантом реализации изобретения первый и/или второй связывающий домен, помимо связывания с человеческим антигеном-мишенью клеточной поверхности и человеческим CD3 соответственно, также связывается с антигеном-мишенью клеточной поверхности/CD3 приматов, включая (но не ограничиваясь этим) приматов Нового Света (таких как *Callithrix jacchus*, *Saguinus Oedipus* или *Saimiri sciureus*), приматов Старого Света (таких как бабуины и макаки), гиббонов и отличных от человека *homininae*.

В одном варианте реализации конструкции антитела согласно изобретению первый домен связывается с антигеном-мишенью клеточной поверхности человека и дополнительно связывается с антигеном-мишенью клеточной поверхности макака, таким как антиген-мишень клеточной поверхности *Macaques fascicularis*, и более предпочтительно с антигеном-мишенью клеточной поверхности макака, экспрессируемым на поверхности клеток макака. Аффинность первого домена в отношении антигена-мишени клеточной поверхности макака предпочтительно составляет ≤ 15 нМ, более предпочтительно ≤ 10 нМ, даже более предпочтительно ≤ 5 нМ, даже более предпочтительно ≤ 1 нМ, даже более предпочтительно $\leq 0,5$ нМ, даже более предпочтительно $\leq 0,1$ нМ и наиболее предпочтительно $\leq 0,05$ нМ или даже $\leq 0,01$ нМ.

Предпочтительно разность в аффинности конструкций антител в соответствии с изобретением в отношении связывания антигена-мишени клеточной поверхности макака по сравнению с антигеном-мишенью клеточной поверхности человека [антиген-мишень клеточной поверхности ма:антиген-мишень клеточной поверхности hu] (определяемая, например, в анализе *BiaCore* или анализе Скэтчарда) составляет < 100 , предпочтительно < 20 , более предпочтительно < 15 , предпочтительнее < 10 , даже более предпочтительно < 8 , более предпочтительно < 6 и наиболее предпочтительно < 2 . Предпочтительные диапазоны разности в аффинности конструкций антител в соответствии с изобретением в отношении связывания антигена-мишени клеточной поверхности макака по сравнению с антигеном-мишенью клеточной поверхности человека составляют от 0,1 до 20, более предпочтительно от 0,2 до 10, даже более предпочтительно от 0,3 до 6, даже более предпочтительно от 0,5 до 3 или от 0,5 до 2,5 и наиболее предпочтительно от 0,5 до 2 или от 0,6 до 2.

Второй (связывающий) домен конструкции антитела согласно изобретению связывается с CD3 эпсилон человека и/или CD3 эпсилон *Macaques*. В предпочтительном варианте реализации изобретения второй домен дополнительно связывается с CD3 эпсилон *Callithrix jacchus*, *Saguinus Oedipus* или *Saimiri sciureus*. *Callithrix jacchus* и *Saguinus oedipus* являются приматами нового Света, принадлежащими к семейству *Callitrichidae*, тогда как *Saimiri sciureus* является приматом Нового Света, принадлежащим семейству *Cebidae*.

Для конструкции антитела согласно данному изобретению предпочтительно, чтобы второй домен,

который связывается с внеклеточным эпитопом CD3 человека и/или Масаса, содержал VL-область, содержащую CDR-L1, CDR-L2 и CDR-L3, выбранные из:

(a) CDR-L1, приведенной в SEQ ID NO: 27 в WO 2008/119567, CDR-L2, приведенной в SEQ ID NO: 28 в WO 2008/119567, и CDR-L3, приведенной в SEQ ID NO: 29 в WO 2008/119567;

(b) CDR-L1, приведенной в SEQ ID NO: 117 в WO 2008/119567, CDR-L2, приведенной в SEQ ID NO: 118 в WO 2008/119567, и CDR-L3, приведенной в SEQ ID NO: 119 в WO 2008/119567; и

(c) CDR-L1, приведенной в SEQ ID NO: 153 в WO 2008/119567, CDR-L2, приведенной в SEQ ID NO: 154 в WO 2008/119567, и CDR-L3, приведенной в SEQ ID NO: 155 в WO 2008/119567.

Также в предпочтительном варианте реализации конструкции антитела согласно данному изобретению предпочтительно второй домен, который связывается с внеклеточным эпитопом CD3 человека и/или Масаса, содержит VH-область, содержащую CDR-H1, CDR-H2 и CDR-H3, выбранные из:

(a) CDR-H1, приведенной в SEQ ID NO: 12 в WO 2008/119567, CDR-H2, приведенной в SEQ ID NO: 13 в WO 2008/119567, и CDR-H3, приведенной в SEQ ID NO: 14 в WO 2008/119567;

(b) CDR-H1, приведенной в SEQ ID NO: 30 в WO 2008/119567, CDR-H2, приведенной в SEQ ID NO: 31 в WO 2008/119567, и CDR-H3, приведенной в SEQ ID NO: 32 в WO 2008/119567;

(c) CDR-H1, приведенной в SEQ ID NO: 48 в WO 2008/119567, CDR-H2, приведенной в SEQ ID NO: 49 в WO 2008/119567, и CDR-H3, приведенной в SEQ ID NO: 50 в WO 2008/119567;

(d) CDR-H1, приведенной в SEQ ID NO: 66 в WO 2008/119567, CDR-H2, приведенной в SEQ ID NO: 67 в WO 2008/119567, и CDR-H3, приведенной в SEQ ID NO: 68 в WO 2008/119567;

(e) CDR-H1, приведенной в SEQ ID NO: 84 в WO 2008/119567, CDR-H2, приведенной в SEQ ID NO: 85 в WO 2008/119567, и CDR-H3, приведенной в SEQ ID NO: 86 в WO 2008/119567;

(f) CDR-H1, приведенной в SEQ ID NO: 102 в WO 2008/119567, CDR-H2, приведенной в SEQ ID NO: 103 в WO 2008/119567, и CDR-H3, приведенной в SEQ ID NO: 104 в WO 2008/119567;

(g) CDR-H1, приведенной в SEQ ID NO: 120 в WO 2008/119567, CDR-H2, приведенной в SEQ ID NO: 121 в WO 2008/119567, и CDR-H3, приведенной в SEQ ID NO: 122 в WO 2008/119567;

(h) CDR-H1, приведенной в SEQ ID NO: 138 в WO 2008/119567, CDR-H2, приведенной в SEQ ID NO: 139 в WO 2008/119567, и CDR-H3, приведенной в SEQ ID NO: 140 в WO 2008/119567;

(i) CDR-H1, приведенной в SEQ ID NO: 156 в WO 2008/119567, CDR-H2, приведенной в SEQ ID NO: 157 в WO 2008/119567, и CDR-H3, приведенной в SEQ ID NO: 158 в WO 2008/119567; и

(j) CDR-H1, приведенной в SEQ ID NO: 174 в WO 2008/119567, CDR-H2, приведенной в SEQ ID NO: 175 в WO 2008/119567, и CDR-H3, приведенной в SEQ ID NO: 176 в WO 2008/119567.

В предпочтительном варианте реализации конструкции антитела согласно изобретению описанные выше три группы VL CDR комбинируют с описанными выше десятью группами VH CDR в рамках второго связывающего домена для получения (30) групп, каждая из которых содержит CDR-L 1-3 и CDR-H 1-3.

Для конструкции антитела согласно данному изобретению предпочтительно, чтобы второй домен, который связывается с CD3, содержал VL-область, выбранную из группы, состоящей из VL-областей, приведенных в SEQ ID NO: 17, 21, 35, 39, 53, 57, 71, 75, 89, 93, 107, 111, 125, 129, 143, 147, 161, 165, 179 или 183 в WO 2008/119567, или приведенной в SEQ ID NO: 13.

Также предпочтительно, чтобы второй домен, который связывается с CD3, содержал VH-область, выбранную из группы, состоящей из VH-областей, приведенных в SEQ ID NO: 15, 19, 33, 37, 51, 55, 69, 73, 87, 91, 105, 109, 123, 127, 141, 145, 159, 163, 177 или 181 в WO 2008/119567, или приведенной в SEQ ID NO: 14.

Более предпочтительно конструкция антитела согласно данному изобретению характеризуется вторым доменом, который связывается с CD3, содержащим VL-область и VH-область, выбранные из группы, состоящей из:

(a) VL-области, приведенной в SEQ ID NO: 17 или 21 в WO 2008/119567, и VH-области, приведенной в SEQ ID NO: 15 или 19 в WO 2008/119567;

(b) VL-области, приведенной в SEQ ID NO: 35 или 39 в WO 2008/119567, и VH-области, приведенной в SEQ ID NO: 33 или 37 в WO 2008/119567;

(c) VL-области, приведенной в SEQ ID NO: 53 или 57 в WO 2008/119567, и VH-области, приведенной в SEQ ID NO: 51 или 55 в WO 2008/119567;

(d) VL-области, приведенной в SEQ ID NO: 71 или 75 в WO 2008/119567, и VH-области, приведенной в SEQ ID NO: 69 или 73 в WO 2008/119567;

(e) VL-области, приведенной в SEQ ID NO: 89 или 93 в WO 2008/119567, и VH-области, приведенной в SEQ ID NO: 87 или 91 в WO 2008/119567;

(f) VL-области, приведенной в SEQ ID NO: 107 или 111 в WO 2008/119567, и VH-области, приведенной в SEQ ID NO: 105 или 109 в WO 2008/119567;

(g) VL-области, приведенной в SEQ ID NO: 125 или 129 в WO 2008/119567, и VH-области, приведенной в SEQ ID NO: 123 или 127 в WO 2008/119567;

(h) VL-области, приведенной в SEQ ID NO: 143 или 147 в WO 2008/119567, и VH-области, приведенной в SEQ ID NO: 141 или 145 в WO 2008/119567;

(i) VL-области, приведенной в SEQ ID NO: 161 или 165 в WO 2008/119567, и VH-области, приведенной в SEQ ID NO: 159 или 163 в WO 2008/119567; и

(j) VL-области, приведенной в SEQ ID NO: 179 или 183 в WO 2008/119567, и VH-области, приведенной в SEQ ID NO: 177 или 181 в WO 2008/119567.

Также в связи с конструкцией антитела согласно данному изобретению предпочтительно, чтобы второй домен, который связывается с CD3, содержал VL-область, приведенную в SEQ ID NO: 13, и VH-область, приведенную в SEQ ID NO: 14.

В соответствии с предпочтительным вариантом конструкции антитела согласно данному изобретению первый и/или второй домен имеют следующий формат. Пары VH-областей и VL-областей имеют формат одноцепочечного антитела (scFv). VH- и VL-области расположены в порядке VH-VL или VL-VH. Предпочтительно, чтобы VH-область была расположена N-терминально по отношению к линкерной последовательности, а VL-область была расположена C-терминально по отношению к линкерной последовательности.

Предпочтительный вариант описанной выше конструкции антитела согласно данному изобретению характеризуется вторым доменом, который связывается с CD3, содержащим аминокислотную последовательность, выбранную из группы, состоящей из SEQ ID NO: 23, 25, 41, 43, 59, 61, 77, 79, 95, 97, 113, 115, 131, 133, 149, 151, 167, 169, 185 или 187 из WO 2008/119567, или приведенной в SEQ ID NO: 15.

Ковалентные модификации конструкций антител также включены в объем этого изобретения и в целом, но не всегда, проводятся после трансляции. Например, несколько типов ковалентных модификаций конструкции антитела вносят в молекулу посредством проведения реакции между конкретными аминокислотными остатками конструкции антитела с органическим дериватирующим агентом, который способен вступать в реакцию с избранными боковыми цепями N- или C-концевых остатков.

Остатки цистеинила наиболее часто приводят в реакцию с α -галоацетатами (и соответствующими аминами), такими как хлоруксусная кислота или хлорацетамид, чтобы получить карбоксиметильные или карбоксиамидометильные производные. Остатки цистеинила также дериватируют путем проведения реакции с бромтрифторацетоном, α -бром- β -(5-имидозоил) пропионовой кислотой, хлорацетилфосфатом, N-алкилмалеимидами, 3-нитро-2-пиридилдисульфидом, метил-2-пиридилдисульфидом, п-хлорртутьбензоатом, 2-хлорртуть-4-нитрофенолом или хлор-7-нитробензо-2-окса-1,3-диазолом.

Остатки гистидила дериватируют путем проведения реакции с диэтилпирокрбонатом при pH 5,5-7,0, так как этот агент является относительно специфическим в отношении боковой цепи гистидила. Также используют пара-бромфенацилбромид; реакцию предпочтительно проводят в 0,1 М какодилате натрия при pH 6,0. Остатки лизинила и аминоконцевые остатки приводят в реакцию с янтарным ангидридом или ангидридами других карбоновых кислот. Дериватизация этими агентами приводит к изменению заряда остатков лизинила на противоположный. Другие подходящие агенты для дериватизации альфа-амино-содержащих остатков включают сложные имидозефиры, такие как пиколинимидат; пиридоксальфосфат; пиридоксаль; хлорборгидрид; тринитробензенсульфоновую кислоту; O-метилизомочевину; 2,4-пентандион; и катализируемую трансаминазой реакцию с глиоксилатом.

Остатки аргинила модифицируют путем проведения реакции с одним из нескольких традиционных реагентов, среди которых фенилглиоксаль, 2,3-бутандион, 1,2-циклогександион и нингидрин. Для дериватизации остатков аргинина требуется, чтобы реакция проводилась в щелочных условиях из-за высокого значения pKa функциональной группы гуанидина. Кроме того, эти реагенты могут вступать в реакцию с группами лизина, а также эpsilon-аминогруппой аргинина.

Можно осуществлять специфическую модификацию остатков тирозила, при этом особенный интерес представляет внесение спектральных меток в остатки тирозила путем проведения реакции с ароматическими соединениями диазония или тетранитрометаном. Наиболее часто используют N-ацетилимидизол и тетранитрометан для получения молекул O-ацетилтирозилла и 3-нитро производных соответственно. Остатки тирозила йодируют, используя ^{125}I или ^{131}I , чтобы получить меченые белки для применения в радиоиммуноанализе, при этом подходит описанный выше метод с применением хлорамина T.

Карбоксильные боковые группы (аспартильные или глутамильные) избирательно модифицируют путем проведения реакции с карбодимидами ($\text{R}'\text{-N}=\text{C}=\text{N}-\text{R}'$), где R и R' представляют собой необязательно разные алкильные группы, такие как 1-циклогексил-3-(2-морфолинил-4-этил)карбодимид или 1-этил-3-(4-азониа-4,4-диметилпентил)карбодимид. Кроме того, аспартильные и глутамильные остатки преобразуют в аспарагинильные и глутаминильные остатки путем проведения реакции с ионами аммония.

Дериватизацию бифункциональными агентами используют для перекрестного сшивания конструкций антител согласно данному изобретению с нерастворимой в воде иммобилизирующей матрицей или поверхностью для применения в различных способах. Обычно применяемые перекрестно-сшивающие агенты включают, например, 1,1-бис(диазоацетил)-2-фенилэтан, глутаральдегид, сложные N-гидроксисукцинимидные эфиры, например, сложные эфиры с 4-азидосалициловой кислотой, гомобифункциональные сложные имидозефиры, включая дисукцинимидиловые сложные эфиры, такие как 3,3'-

дитиобис(сукцинимидилпропионат), и бифункциональные малеимиды, такие как бис-N-малеимидо-1,8-октан. Дериватирующие агенты, такие как метил-3-[(п-азидофенил)дитио]пропиоимидат, позволяют получать фотоактивируемые промежуточные соединения, которые способны образовывать перекрестные связи в присутствии света. В альтернативном варианте для иммобилизации белков применяют реактивные нерастворимые в воде матрицы, такие как активируемые цианогенбромидом углеводы, и реактивные субстраты, описанные в патентах США № 3969287; 3691016; 4195128; 4247642; 4229537 и 4330440.

Остатки глутамила и аспарагина часто деаминируют до соответствующих остатков глутамила и аспартила соответственно. В альтернативном варианте эти остатки деаминируют в умеренных кислых условиях. Любая форма этих остатков попадает в объем этого изобретения.

Другие модификации включают гидроксирование пролина и лизина, фосфорилирование гидроксильных групп остатков серила или треонила, метилирование α -амино-групп боковых цепей лизина, аргинина и гистидина (Т. Е. Creighton, *Proteins: Structure and Molecular Properties*, W. H. Freeman & Co., San Francisco, 1983, pp. 79-86), ацетилирование N-концевого амина и амидирование любой C-концевой карбоксильной группы.

Другой тип ковалентной модификации конструкций антител, включенный в объем этого изобретения, включает изменение профиля гликозилирования белка. Как известно в данной области техники, профили гликозилирования могут зависеть как от последовательности белка (например, наличия или отсутствия конкретных аминокислотных остатков гликозилирования, что обсуждается ниже), так и от клетки-хозяина или организма, в которых вырабатывается белок. Конкретные экспрессионные системы обсуждаются ниже.

Гликозилирование полипептидов, как правило, бывает N-связанным или O-связанным. N-связанное гликозилирование относится к присоединению углеводного компонента к боковой цепи остатка аспарагина. Трипептидные последовательности аспарагин-X-серин и аспарагин-X-треонин, где X является любой аминокислотой за исключением пролина, представляют собой последовательности распознавания для ферментативного присоединения углеводного компонента к боковой цепи аспарагина. Таким образом, наличие любой из этих трипептидных последовательностей в полипептиде создает потенциальный участок гликозилирования. O-связанное гликозилирование относится к присоединению одного из Сахаров N-ацетилгалактозамина, галактозы или ксилозы к гидроксиаминокислоте, наиболее часто серину или треонину, хотя также можно использовать 5-гидроксипролин или 5-гидроксилизин.

Добавление участков гликозилирования в конструкцию антитела удобно осуществлять путем изменения аминокислотной последовательности так, чтобы она содержала одну или более из вышеописанных трипептидных последовательностей (для участков N-связанного гликозилирования). Изменение также можно проводить путем добавления или замены одним или более остатками серина или треонина в стартовой последовательности (для участков O-связанного гликозилирования). Для удобства аминокислотную последовательность конструкции антитела предпочтительно изменяют посредством изменений на уровне ДНК, в частности, мутируя ДНК, кодирующую полипептид, в предварительно выбранных основаниях, так чтобы создать кодоны, которые будут транслироваться в необходимые аминокислоты.

Другим средством повышения числа углеводных компонентов на конструкции антитела является химическое или ферментативное сопряжение гликозидов с белком. Преимущество этих процедур состоит в том, что для них не требуется выработка белка в клетке-хозяине, в которой существует возможность для N- и O-связанного гликозилирования. В зависимости от применяемого способа сопряжения сахар (а) можно присоединять к (а) аргинину и гистидину, (b) свободным карбоксильным группам, (c) свободным сульфгидрильным группам, таким как в цистеине, (d) свободным гидроксильным группам, таким как в серине, треонине или гидроксипролине, (e) ароматическим остаткам, таким как в фенилаланине, тирозине или триптофане, или (f) амидной группе глутамина. Эти способы описаны в WO 87/05330 и в Arlin and Wriston, 1981, *CRC Crit. Rev. Biochem.*, pp. 259-306.

Удаление углеводных компонентов, присутствующих в исходной конструкции антитела, можно осуществлять химическим или ферментативным способом. Для химического дегликозилирования необходимо воздействие на белок соединения трифторметансульфоново́й кислоты или эквивалентного соединения. Такая обработка приводит к отщеплению большинства или всех Сахаров за исключением связующего сахара (N-ацетилглюкозамина или N-ацетилгалактозамина), при этом оставляя полипептид нетронутым. Химическое дегликозилирование описано в Hakimuddin et al., 1987, *Arch. Biochem. Biophys.* 259:52 и в Edge et al., 1981, *Anal. Biochem.* 118:131. Ферментативное отщепление углеводных компонентов на полипептидах можно обеспечить путем применения различных эндо- и экзогликозидаз, как описано в Thotakura et al., 1987, *Meth. Enzymol.* 138:350. Гликозилирование в потенциальных участках гликозилирования можно предотвратить путем применения соединения туникамицина, как описано в Duskin et al., 1982, *J. Biol. Chem.* 257:3105. Туникамицин блокирует образование связей белок-N-гликозид.

Другие модификации конструкции антитела также предусмотрены в данном документе. Например, другой тип ковалентной модификации конструкции антитела включает связывание конструкции антитела с различными небелковыми полимерами, включая, но не ограничиваясь этим, различные полиолы, такие как полиэтиленгликоль, полипропиленгликоль, полиоксисалкилены или сополимеры полиэтиленгликоля и полипропиленгликоля, так, как это описано в патентах США № 4640835; 4496689; 4301144;

4670417; 4791192 или 4179337. Кроме того, как известно в данной области техники, можно проводить аминокислотные замены в различных позициях в конструкции антитела, например, чтобы облегчить добавление полимеров, таких как ПЭГ.

В некоторых вариантах реализации изобретения ковалентная модификация конструкций антител согласно изобретению включает добавление одной или более меток. Метящая группа может быть сопряжена с конструкцией антитела посредством спейсерных ножек различной длины для снижения потенциального стерического несоответствия. В данной области техники известны различные способы мечения белков, которые можно применять при осуществлении данного изобретения. Термин "метка" или "метящая группа" относится к любой выявляемой метке. В общем случае метки делятся на множество классов в зависимости от метода анализа, в котором предполагается их выявление; следующие примеры включают, но не ограничиваются этим:

- a) изотопные метки, которые могут представляться собой радиоактивные или тяжелые изотопы, такие как радиоизотопы или радионуклиды (например, ^3H , ^{14}C , ^{15}N , ^{35}S , ^{89}Zr , ^{90}Y , ^{99}Tc , ^{111}In , ^{125}I , ^{131}I);
- b) магнитные метки (например, магнитные частицы);
- c) редокс-активные компоненты;
- d) оптические красители (включая, но не ограничиваясь этим, хромофоры, люминофоры и флуорофоры), такие как флуоресцентные группы (например, ФИТЦ, родамин, люминофоры на основе комплексов лантанидов), хемилюминесцентные группы и флуорофоры, которые могут представлять собой как "низкомолекулярные" флуорофоры, так и белковые флуорофоры;
- e) ферментативные группы (например, пероксидазу хрена, β -галактозидазу, люциферазу, щелочную фосфатазу);
- f) биотинилированные группы;
- g) предопределенные полипептидные эпитопы, распознаваемые вторичным репортером (например, парные последовательности лейциновых молний, участки связывания для вторичных антител, металл-связывающие домены, эпитопные метки и т.д.).

Под "флуоресцентной меткой" подразумевается любая молекула, которую можно выявить благодаря свойственным ей флуоресцентным свойствам. Подходящие флуоресцентные метки включают, но не ограничиваются этим, флуоресцеин, родамин, тетраметилродамин, эозин, эритрозин, кумарин, метилкумарин, пирен, малахитовый зеленый, стильбен, желтый люцифер, голубой каскад J, Техасский красный, IAEDANS, EDANS, BODIPY FL, LC Red 640, Cy 5, Cy 5.5, LC Red 705, зеленый Орегон, красители Alexa-Fluor (Alexa Fluor 350, Alexa Fluor 430, Alexa Fluor 488, Alexa Fluor 546, Alexa Fluor 568, Alexa Fluor 594, Alexa Fluor 633, Alexa Fluor 660, Alexa Fluor 680), голубой каскад, желтый каскад и R-фиикоэритрин (PE) (Molecular Probes, Eugene, OR), ФИТЦ, родамин и Техасский красный (Pierce, Rockford, IL), Cy5, Cy5.5, Cy7 (Amersham Life Science, Pittsburgh, PA). Подходящие оптические красители, включая флуорофоры, описаны в Molecular Probes Handbook by Richard P. Haugland.

Подходящие белковые флуоресцентные метки также включают, но не ограничиваются этим, зеленый флуоресцентный белок, включая виды ЗФБ Renilla, Ptilosarcus или Aequeorea (Chalfie et al., 1994, Science 263:802-805), УЗФБ (Clontech Laboratories, Inc., номер доступа Genbank U55762), синий флуоресцентный белок (BFP, Quantum Biotechnologies, Inc. 1801 de Maisonneuve Blvd. West, 8th Floor, Montreal, Quebec, Canada H3H 1J9; Stauber, 1998, Biotechniques 24:462-471; Heim et al., 1996, Curr. Biol. 6:178-182), усиленный желтый флуоресцентный белок (УЖФБ, Clontech Laboratories, Inc.), люциферазу (Ichiki et al., 1993, J. Immunol. 150:5408-5417), β -галактозидазу (Nolan et al., 1988, Proc. Natl. Acad. Sci. U.S.A. 85:2603-2607) и Renilla (WO 92/15673, WO 95/07463, WO 98/14605, WO 98/26277, WO 99/49019, патенты США № 5292658; 5418155; 5683888; 5741668; 5777079; 5804387; 5874304; 5876995; 5925558).

Конструкция антитела согласно изобретению также может содержать дополнительные домены, которые, например, помогают при выделении молекулы или имеют отношение к адаптированному фармакокинетическому профилю молекулы. Домены, которые помогают при выделении конструкции антитела, могут быть выбраны из пептидных мотивов или вторично внесенных компонентов, которые могут быть захвачены в способе выделения, например, в колонке для выделения. Неограничивающие варианты реализации таких дополнительных доменов включают пептидные мотивы, известные как Мус-метка, НАТ-метка, НА-метка, ТАР-метка, GST-метка, хитин-связывающий домен (CBD-метка), мальтоза-связывающий домен (МВР-метка), Flag-метка, Strep-метка и ее варианты (например, StrepII-метка) и His-метка. Описанные в данном документе конструкции антител, характеризуемые определенными CDR, могут содержать домен His-метки, который в общем случае известен как повтор последовательных остатков His в аминокислотной последовательности молекулы, предпочтительно из пяти, и более предпочтительно из шести остатков His (гекса-гистидин). His-метка может быть расположена, например, в N-или C-конце конструкции антитела, предпочтительно она располагается в C-конце. Наиболее предпочтительно гекса-гистидиновая метка (НННННН) (SEQ ID NO: 16) связана посредством пептидной связи с C-концом конструкции антитела в соответствии с изобретением. Кроме того, с поли-гистидиновой меткой можно комбинировать конъюгатную систему ПЛГК-ПЭГ-ПЛГК для применений с замедленным высвобождением и улучшения фармакокинетического профиля.

Также предполагаются модификации аминокислотных последовательностей описанных в данном документе конструкций антител. Например, может требоваться улучшение аффинности связывания и/или других биологических свойств конструкции антитела. Варианты аминокислотных последовательностей конструкций антител получают, внося соответствующие нуклеотидные изменения в нуклеиновые кислоты конструкций антител, или путем пептидного синтеза. Все описанные ниже модификации аминокислотных последовательностей должны приводить к получению конструкции антитела, которая сохраняет необходимую биологическую активность (связывание с антигеном-мишенью клеточной поверхности и с CD3) немодифицированной родительской молекулы.

Термин "аминокислота" или "аминокислотный остаток", как правило, относится к аминокислоте, имеющей известное в данной области техники определение, такой как аминокислота, выбранная из группы, состоящей из: аланина (Ala или A); аргинина (Arg или R); аспарагина (Asn или N); аспарагиновой кислоты (Asp или D); цистеина (Cys или C); глутамина (Gln или Q); глутаминовой кислоты (Glu или E); глицина (Gly или G); гистидина (His или H); изолейцина (Ile или I); лейцина (Leu или L); лизина (Lys или K); метионина (Met или M); фенилаланина (Phe или F); пролина (Pro или P); серина (Ser или S); треонина (Thr или T); триптофана (Trp или W); тирозина (Tyr или Y); и валина (Val или V), хотя модифицированные, синтетические или редкие аминокислоты можно использовать в случае необходимости. В общем случае аминокислоты можно разделить на группы, имеющие неполярную боковую цепь (например, Ala, Cys, Ile, Leu, Met, Phe, Pro, Val); отрицательно заряженную боковую цепь (например, Asp, Glu); положительно заряженную боковую цепь (например, Arg, His, Lys); или незаряженную полярную боковую цепь (например, Asn, Cys, Gln, Gly, His, Met, Phe, Ser, Thr, Trp и Tyr).

Аминокислоты модификации включают, например, делеции из и/или вставки в, и/или замены остатков в пределах аминокислотных последовательностей конструкций антител. Для получения конечной конструкции осуществляют любую комбинацию из делеции, вставки и замены, при условии, что конечная конструкция обладает необходимыми характеристиками. Аминокислотные изменения также могут менять посттрансляционные процессы конструкций антител, такие как изменение числа или позиции участков гликозилирования.

Например, можно проводить вставку, замену или делецию 1, 2, 3, 4, 5 или 6 аминокислот в каждой из CDR (конечно, в зависимости от их длины), тогда как в каждой из FR можно проводить вставку, замену или делецию 1, 2, 3, 4, 5, 6, 7, 8, 9, 10, 11, 12, 13, 14, 15, 16, 17, 18, 19, 20 или 25 аминокислот. Предпочтительно вставки аминокислотной последовательности в конструкцию антитела включают аминокислоты и/или карбокси-концевые слияния длиной в диапазоне 1, 2, 3, 4, 5, 6, 7, 8, 9 или 10 остатков в полипептидах, содержащих сто или более остатков, а также вставки одного или нескольких аминокислотных остатков внутри последовательности. Соответствующие модификации также можно проводить в пределах третьего домена конструкции антитела согласно изобретению. Инсерционный вариант конструкции антитела согласно изобретению включает слияние фермента с N-концом или с C-концом конструкции антитела или слияние с полипептидом.

Представляющие наибольший интерес для заместительного мутагенеза остатки включают (не ограничиваются этим) CDR тяжелой и/или легкой цепи, в частности, гипервариабельные области, но также предполагаются изменения FR в тяжелой и/или легкой цепи. Замены предпочтительно представляют собой консервативные замены, описанные в данном документе. Предпочтительно можно проводить замену 1, 2, 3, 4, 5, 6, 7, 8, 9 или 10 аминокислот в CDR, тогда как в каркасных областях (FR) можно проводить замену 1, 2, 3, 4, 5, 6, 7, 8, 9, 10, 11, 12, 13, 14, 15, 16, 17, 18, 19, 20 или 25 аминокислот, в зависимости от длины CDR или FR. Например, если последовательность CDR включает в себя 6 аминокислот, подразумевается возможность замены одной, двух или трех из этих аминокислот. Аналогично, если последовательность CDR включает в себя 15 аминокислот, подразумевается возможность замены одной, двух, трех, четырех, пяти или шести из этих аминокислот.

Полезный способ идентификации определенных остатков или областей конструкций антител, которые являются предпочтительными участками для мутагенеза, называется "аланин-сканирующим мутагенезом" и описан в Cunningham and Wells in Science, 244: 1081-1085 (1989). В данном случае определяют остаток или группу целевых остатков в пределах конструкции антитела (например, заряженных остатков, таких как arg, asp, his, lys и glu) и замещают нейтральной или отрицательно заряженной аминокислотой (наиболее предпочтительно аланином или полиаланином) для воздействия на взаимодействие аминокислот с эпитопом.

Затем те аминокислотные участки, которые демонстрируют функциональную чувствительность к заменам, корректируют, внося дополнительные или другие варианты в участках замен или для них. Таким образом, хотя участок или область для внесения вариации в аминокислотную последовательность predetermined, природа мутации per se не должна быть predetermined. Например, чтобы проанализировать или оптимизировать характеристики мутации в данном участке, можно провести аланин-сканирующий или случайный мутагенез в целевом кодоне или участке и провести скрининг экспрессируемых вариантов конструкции антитела в отношении оптимальной комбинации необходимой активности. Методики осуществления заместительных мутаций в predetermined участках в ДНК с известной последовательностью, хорошо известны, например, это мутагенез с праймером M13 и ПЦР-мутагенез.

Скрининг мутантов проводят, применяя анализ антигенсвязывающей активности, например, связывания антигена-мишени клеточной поверхности или CD3.

В общем случае, если замена аминокислот проведена в одной или более, или во всех CDR тяжелой и/или легкой цепи, предпочтительно, чтобы полученная "замещенная" последовательность была по меньшей мере на 60% или 65%, более предпочтительно на 70% или 75%, даже более предпочтительно на 80% или 85% и в особенности предпочтительно на 90% или 95% идентичной "оригинальной" последовательности CDR. Это означает, что от длины CDR зависит, в какой степени она идентична "замещенной" последовательности. Например, CDR, содержащая 5 аминокислот, предпочтительно является на 80% идентичной своей замещенной последовательности, чтобы по меньшей мере одна аминокислота была заменена. Соответственно, CDR конструкции антитела могут иметь разную степень идентичности со своими замещенными последовательностями, например, CDRL1 может иметь 80%, тогда как CDRL3 может иметь 90%.

Предпочтительные замены (замещения) представляют собой консервативные замены. При этом подразумевается возможность любой замены (включая неконсервативную замену или одну или более из "типовых замен", перечисленных в табл. 3, ниже) при условии, что конструкция антитела сохраняет свою способность связываться с антигеном-мишенью клеточной поверхности посредством первого домена и с CD3, CD3 эпсилон посредством второго домена, и/или ее CDR имеют идентичность с замещенной последовательностью (по меньшей мере на 60% или 65%, более предпочтительно на 70% или 75%, даже более предпочтительно на 80% или 85% и в особенности предпочтительно на 90% или 95% идентичны "оригинальной" последовательности CDR).

Консервативные замены приведены в табл. 3 под заглавием "предпочтительные замены". Если такие замены приводят к изменению биологической активности, тогда можно вносить более существенные изменения, обозначенные в табл. 3 как " типовые замены " или дополнительно описанные ниже с привязкой к классам аминокислот, а продукты исследовать в отношении необходимой характеристики.

Таблица 3

Аминокислотные замены

Оригинал	Типовые замены	Предпочтительные замены
Ala (A)	val, leu, ile	val
Arg (R)	lys, gln, asn	lys
Asn (N)	gln, his, asp, lys, arg	gln
Asp (D)	glu, asn	glu
Cys (C)	ser, ala	ser
Gln (Q)	asn, glu	asn
Glu (E)	asp, gln	asp
Gly (G)	Ala	ala
His (H)	asn, gln, lys, arg	arg
Ile (I)	leu, val, met, ala, phe	leu
Leu (L)	norleucine, ile, val, met, ala	ile
Lys (K)	arg, gln, asn	arg
Met (M)	leu, phe, ile	leu
Phe (F)	leu, val, ile, ala, tyr	tyr
Pro (P)	Ala	ala
Ser (S)	Thr	thr
Thr (T)	Ser	ser
Trp (W)	tyr, phe	tyr
Tyr (Y)	trp, phe, thr, ser	phe
Val (V)	ile, leu, met, phe, ala	leu

Существенные модификации биологических свойств конструкции антитела согласно данному изобретению осуществляют, выбирая замены, которые существенно отличаются по своему действию на поддержание (а) структуры полипептидного скелета в области замены, например, в виде слоя спиральной конформации, (b) заряда или гидрофобности молекулы в целевом участке или (c) объема боковой цепи. Остатки природного происхождения делятся на группы на основании общих свойств боковых цепей: (1)

гидрофобные: норлейцин, met, ala, val, leu, ile; (2) нейтральные гидрофильные: cys, ser, thr, asn, gln; (3) кислые: asp, glu; (4) основные: his, lys, arg; (5) остатки, которые влияют на ориентацию цепи: gly, pro; и (6) ароматические: trp, tyr, phe.

Неконсервативные замены включают замену представителя одного из этих классов представителем другого класса. Любой остаток цистеина, не принимающий участия в поддержании надлежащей конформации конструкции антитела, можно заменять, в общем случае серином, для улучшения устойчивости молекулы к окислению и предотвращения aberrантного перекрестного связывания. И наоборот, цистеиновую(ые) связь(и) можно добавлять в антитело для улучшения его стабильности (в частности, когда антитело представляет собой фрагмент антитела, такой как фрагмент Fv).

В случае аминокислотных последовательностей идентичность и/или сходство последовательностей определяют, используя стандартные методики, известные в данной области техники, включая, но не ограничиваясь этим, алгоритм локальной идентичности последовательностей Смита и Уотермана, 1981, *Adv. Appl. Math.* 2:482, алгоритм выравнивания для определения идентичности последовательностей Нидлмана и Вунша, 1970, *J. Mol. Biol.* 48:443, метод поиска сходства Пирсона и Липмана, 1988, *Proc. Nat. Acad. Sci. U.S.A.* 85:2444, компьютеризованные реализации этих алгоритмов (GAP, BESTFIT, FASTA и TFASTA в пакете программного обеспечения Wisconsin Genetics, Genetics Computer Group, 575 Science Drive, Madison, Wis.), программу для последовательностей Best Fit, описанную в Devereux et al., 1984, *Nucl. Acid Res.* 12:387-395, предпочтительно с применением установок по умолчанию или по усмотрению. Предпочтительно процент идентичности рассчитывают с помощью FastDB на основании следующих параметров: штраф за несовпадение 1; штраф за гэп 1; штраф за размер гэпа 0,33; и штраф за соединение 30, "Current Methods in Sequence Comparison and Analysis", *Macromolecule Sequencing and Synthesis, Selected Methods and Applications*, pp 127-149 (1988), Alan R. Liss, Inc.

Примером применимого алгоритма является PILEUP. PILEUP создает множественное выравнивание последовательностей из группы родственных последовательностей, используя прогрессивное, парное выравнивание. Также она может строить дерево, показывающее группирующие взаимосвязи, используемые для создания выравнивания. В PILEUP используется упрощение метода прогрессивного выравнивания Фенга и Дулиттла, 1987, *J. Mol. Evol.* 35:351-360; этот метод аналогичен описанному Хиггинсом и Шарпом, 1989, *CABIOS* 5:151-153. Применимые параметры PILEUP включают вес гэпа по умолчанию 3,00, вес продолжения гэпа по умолчанию 0,10, и взвешенные концевые гэпы.

Другим примером применяемого алгоритма является алгоритм BLAST, описанный в: Altschul et al., 1990, *J. Mol. Biol.* 215:403-410; Altschul et al., 1997, *Nucleic Acids Res.* 25:3389-3402; и Karin et al., 1993, *Proc. Natl. Acad. Sci. U.S.A.* 90:5873-5787. В особенности применимой программой BLAST является программа WU-BLAST-2, которая была создана в соответствии с Altschul et al., 1996, *Methods in Enzymology* 266:460-480. В WU-BLAST-2 используется несколько поисковых параметров, значения большинства которых заданы по умолчанию. Корректируемые параметры установлены со следующими значениями: длина перекрытия=1, доля перекрытия=0,125, пороговая длина слова (T)= Π . Параметры HSP S и HSP S2 являются динамическими значениями и устанавливаются самой программой в зависимости от состава конкретной последовательности и состава канонической базы данных, по которой проводится поиск представляющей интерес последовательности; при этом данные значения могут быть скорректированы для повышения чувствительности.

Дополнительным применимым алгоритмом является BLAST с гэпами, описанный в Altschul et al., 1993, *Nucl. Acids Res.* 25:3389-3402. В BLAST с гэпами используется матрица оценок замен BLOSUM-62; пороговый параметр T установлен на 9; используется метод двух совпадений для инициации продления без гэпов, приписывается гэпам длиной k стоимость 10+k; X_u установлен на 16, и X_g установлен на 40 для стадии поиска по базе данных и на 67 для выходной стадии алгоритмов. Выравнивания с гэпами иницируются оценкой, соответствующей около 22 битам.

В общем случае аминокислотная гомология, сходство или идентичность между отдельными вариантными CDR или последовательностями VH/VL составляет по меньшей мере 60% с последовательностями, приведенными в данном документе, и, чаще, с предпочтительно возрастающей гомологией или идентичностью, составляющей по меньшей мере 65 или 70, более предпочтительно по меньшей мере 75 или 80, даже более предпочтительно по меньшей мере 85, 90, 91, 92, 93, 94, 95, 96, 97, 98, 99 и почти 100%. Аналогичным образом "процент (%) идентичности нуклеотидных последовательностей" по отношению к нуклеотидной последовательности определенных в данном документе связывающих белков определяется как процентное содержание нуклеотидных остатков в кандидатной последовательности, которые являются идентичными с нуклеотидными остатками в кодирующей последовательности конструкции антитела. В конкретном методе используется модуль BLASTN из WU-BLAST-2 с установленными по умолчанию параметрами, с длиной перекрытия и долей перекрытия установленными на 1 и 0,125 соответственно.

В общем случае гомология, сходство или идентичность нуклеотидных последовательностей между нуклеотидными последовательностями, кодирующими отдельные вариантные CDR или последовательности VH/VL, и нуклеотидными последовательностями, приведенными в данном документе, составляет по меньшей мере 60% и, чаще, с предпочтительно возрастающей гомологией или идентичностью, со-

ставляющей по меньшей мере 65, 70, 75, 80, 81, 82, 83, 84, 85, 86, 87, 88, 89, 90, 91, 92, 93, 94, 95, 96, 97, 98 или 99 и почти 100%. Таким образом, "вариантная CDR" или "вариантная область VH/VL" представляет собой область с конкретной гомологией, сходством или идентичностью с родительской CDR/VH/VL согласно изобретению и обладает биологической функцией, включая, но не ограничиваясь этим, по меньшей мере 60, 65, 70, 75, 80, 81, 82, 83, 84, 85, 86, 87, 88, 89, 90, 91, 92, 93, 94, 95, 96, 97, 98 или 99% специфичности и/или активности родительской CDR или VH/VL.

В одном варианте реализации изобретения процент идентичности с человеческой зародышевой линией конструкций антител в соответствии с изобретением составляет $\geq 70\%$ или $\geq 75\%$, более предпочтительно $\geq 80\%$ или $\geq 85\%$, даже более предпочтительно $\geq 90\%$ и наиболее предпочтительно $\geq 91\%$, $\geq 92\%$, $\geq 93\%$, $\geq 94\%$, $\geq 95\%$ или даже $\geq 96\%$. Считается, что идентичность с геными продуктами человеческого антитела зародышевой линии является важным фактором для снижения риска того, что терапевтические белки будут вызывать иммунный ответ против лекарственного препарата у пациента во время лечения. Hwang & Foote ("Immunogenicity of engineered antibodies"; Methods 36 (2005) 3-10) продемонстрировали, что уменьшение нечеловеческих частей лекарственных конструкций антител приводит к снижению риска индукции антител против лекарственного препарата у пациентов во время лечения. При сравнении достаточного количества клинически оцененных лекарственных препаратов на основе антител и соответствующих данных по иммуногенности, была выявлена тенденция, что гуманизация V-областей антител делает белки менее иммуногенными (в среднем для 5,1% пациентов), чем антитела, несущие неизмененные нечеловеческие V-области (в среднем для 23,59% пациентов). Следовательно, для белковых терапевтических средств на основе V-областей в форме конструкций антител необходима большая степень идентичности с человеческими последовательностями. С целью определения идентичности зародышевой линии можно проводить выравнивание V-областей VL с аминокислотными последовательностями V-сегментов и J-сегментов человеческой зародышевой линии (<http://vbase.mrc-cpe.cam.ac.uk/>), используя программное обеспечение Vector NTI, и рассчитывать аминокислотную последовательность путем деления идентичных аминокислотных остатков на общее число аминокислотных остатков VL в процентах. То же самое можно осуществлять в отношении VH-сегментов (<http://vbase.mrc-cpe.cam.ac.uk/>) за исключением того, что VH CDR3 может быть исключена вследствие высокой степени разнообразия и отсутствия партнеров по выравниванию среди VH CDR3 человеческой зародышевой линии. Затем можно применять рекомбинантные технологии для повышения идентичности последовательностей с генами человеческого антитела зародышевой линии.

В дополнительном варианте реализации биспецифические конструкции антител согласно данному изобретению демонстрируют высокий выход мономеров в стандартных условиях лабораторного масштаба, например, в условиях стандартного двухэтапного процесса очистки. Предпочтительно выход мономеров конструкций антител в соответствии с изобретением составляет $\geq 0,25$ мг/л супернатанта, более предпочтительно $\geq 0,5$ мг/л, даже более предпочтительно ≥ 1 мг/л и наиболее предпочтительно ≥ 3 мг/л супернатанта.

Аналогично, можно определить выход димерных изоформ конструкций антител и, следовательно, процентное содержание мономеров (т.е. мономер: (мономер+димер)) конструкций антител. Продуктивность мономерных и димерных конструкций антител и рассчитанное процентное содержание мономеров можно, например, получить на этапе ЭХ-очистки культурального супернатанта от стандартизированного производства в лабораторном масштабе в роллерных флаконах. В одном варианте реализации изобретения процентное содержание мономеров конструкций антител составляет $\geq 80\%$, более предпочтительно $\geq 85\%$, даже более предпочтительно $\geq 90\%$ и наиболее предпочтительно $\geq 95\%$.

В одном варианте реализации изобретения конструкции антитела предпочтительно характеризуются плазменной стабильностью (отношением EC_{50} с плазмой к EC_{50} без плазмы), составляющей ≤ 5 или ≤ 4 , более предпочтительно $\leq 3,5$ или ≤ 3 , даже более предпочтительно $\leq 2,5$ или ≤ 2 и наиболее предпочтительно $\leq 1,5$ или ≤ 1 . Плазменную стабильность конструкции антитела можно исследовать, инкубируя конструкцию в человеческой плазме при 37°C в течение 24 ч с последующим определением EC_{50} в анализе высвобождения ^{51}Cr хрома. Эффекторные клетки в анализе цитотоксичности могут представлять собой стимулированные обогащенные человеческие CD8-положительные Т-клетки. Клетки-мишени могут представлять собой, например, клетки СНО, трансфицированные человеческим антигеном-мишенью клеточной поверхности. Соотношение между эффекторными клетками и клетками-мишенями (Э:М) может быть выбрано как 10:1. Применяемый в этих целях пул человеческой плазмы получают из крови здоровых доноров, собранной в покрытые ЭДТК шприцы. Клеточные компоненты удаляют путем центрифугирования, а верхнюю плазменную фазу собирают и после этого объединяют. В качестве контроля конструкции антител разводят непосредственно перед анализом цитотоксичности в среде RPMI-1640. Плазменную стабильность рассчитывают как отношение EC_{50} (после инкубации плазмы) к EC_{50} (контроль).

Также предпочтительно, чтобы преобразование мономеров в димеры конструкций антител было низким. Степень преобразования можно определять в разных условиях и анализировать с помощью высокоэффективной эксклюзионной хроматографии. Например, инкубацию мономерных изоформ конст-

рукций антител можно проводить в течение 7 суток при 37°C и концентрациях, составляющих, например, 100 мкг/мл или 250 мкг/мл, в инкубаторе. В таких условиях предпочтительно, чтобы конструкции антител согласно изобретению демонстрировали процентное содержание димеров $\leq 5\%$, более предпочтительно $\leq 4\%$, даже более предпочтительно $\leq 3\%$, даже более предпочтительно $\leq 2,5\%$, даже более предпочтительно $\leq 2\%$, даже более предпочтительно $\leq 1,5\%$ и наиболее предпочтительно $\leq 1\%$ или $\leq 0,5\%$ или даже 0%.

Также предпочтительно, чтобы биспецифические конструкции антител согласно данному изобретению характеризовались низким уровнем преобразования в димеры после некоторого числа циклов замораживания/размораживания. Например, мономер конструкции антитела доводят до концентрации 250 мкг/мл, например, в генерическом буфере готовой формы и подвергают трем циклам замораживания/размораживания (замораживание при -80°C в течение 30 мин с последующим размораживанием в течение 30 мин при комнатной температуре) с последующим проведением высокоэффективной ЭХ для определения процентного содержания изначально мономерной конструкции антитела, которая была преобразована в димерную конструкцию антитела. Предпочтительно процентное содержание димеров биспецифических конструкций антител составляет $\leq 5\%$, более предпочтительно $\leq 4\%$, даже более предпочтительно $\leq 3\%$, даже более предпочтительно $\leq 2,5\%$, даже более предпочтительно $\leq 2\%$, даже более предпочтительно $\leq 1,5\%$ и наиболее предпочтительно $\leq 1\%$ или даже $\leq 0,5\%$, например, после трех циклов замораживания/размораживания.

Биспецифические конструкции антител согласно данному изобретению предпочтительно демонстрируют хорошую термостабильность с температурой агрегации $\geq 45^\circ\text{C}$ или $\geq 50^\circ\text{C}$, более предпочтительно $\geq 52^\circ\text{C}$ или $\geq 54^\circ\text{C}$, даже более предпочтительно $\geq 56^\circ\text{C}$ или $\geq 57^\circ\text{C}$ и наиболее предпочтительно $\geq 58^\circ\text{C}$ или $\geq 59^\circ\text{C}$. Параметр термостабильности можно определить в контексте температуры агрегации антитела следующим образом. Раствор антитела в концентрации 250 мкг/мл переносят в одноразовую кювету и помещают в устройство для исследования методом динамического рассеяния света (ДРС). Образец нагревают от 40 до 70°C при скорости нагрева 0,5°C/мин с постоянным измерением определяемого радиуса. Увеличение радиуса, указывающее на плавление и агрегацию белка, используют для расчета температуры агрегации антитела.

В альтернативном варианте температурные кривые плавления можно определить методом дифференциальной сканирующей калориметрии (ДСК) для определения характеристичной биофизической стабильности белка конструкций антител. Эти эксперименты проводят, используя устройство MicroCal LLC (Northampton, MA, U.S.A) VP-DSC. Поглощение энергии образцом, содержащим конструкцию антитела, записывают от 20 до 90°C и сравнивают с образцом, содержащим только буфер готовой формы. Конструкции антител доводят до конечной концентрации 250 мкг/мл, например, в подвижном буфере ЭХ. Для получения соответствующей кривой плавления пошагово повышают общую температуру образца. При каждой температуре T записывают поглощение энергии образца и стандартного буфера готовой формы. Разницу в поглощении энергии C_p (ккал/моль/°C) образца минус стандарт наносят на график как функцию от соответствующей температуры. Температуру плавления определяют как температуру в первом максимуме поглощения энергии.

Также подразумевается, что биспецифические конструкции антител к антигену-мишени клеточной поверхности и CD3 согласно изобретению имеют мутность (определяемую по ОП340 после доведения концентрации очищенной мономерной конструкции антитела до 2,5 мг/мл и инкубации в течение ночи) $\leq 0,2$, предпочтительно $\leq 0,15$, более предпочтительно $\leq 0,12$, даже более предпочтительно $\leq 0,1$ и наиболее предпочтительно $\leq 0,08$.

В дополнительном варианте реализации конструкция антитела в соответствии с изобретением стабильна при физиологическом или немного меньшем pH, т.е. pH от около 7,4 до 6,0. Чем лучше конструкция антитела переносит нефизиологический pH, такой как pH около 6,0, тем выше степень выделения конструкции антитела, элюируемой из ионообменной колонки, по отношению к общему количеству загружаемого белка. Выделение конструкции антитела из ионообменной (например, катионообменной) колонки при pH около 6,0 предпочтительно составляет $\geq 30\%$, более предпочтительно $\geq 40\%$, более предпочтительно $\geq 50\%$, даже более предпочтительно $\geq 60\%$, даже более предпочтительно $\geq 70\%$, даже более предпочтительно $\geq 80\%$, даже более предпочтительно $\geq 90\%$, даже более предпочтительно $\geq 95\%$ и наиболее предпочтительно $\geq 99\%$.

Дополнительно подразумевается, что биспецифические конструкции антител согласно данному изобретению демонстрируют терапевтическую эффективность или противоопухолевую активность. Это можно, например, оценить в описанном в нижеприведенном примере исследовании ксенотрансплантатной модели человеческой опухоли на поздней стадии.

Специалистам известно, как модифицировать или адаптировать определенные параметры этого исследования, такие как число инъецируемых опухолевых клеток, место инъекции, число трансплантируемых человеческих T-клеток, предназначенное для введения количество биспецифических конструкций антител и график, получая при этом имеющий смысл и воспроизводимый результат. Предпочтительно ингибирование роста опухоли T/C [%] составляет ≤ 70 или ≤ 60 , более предпочтительно ≤ 50 или ≤ 40 ,

даже более предпочтительно ≤ 30 или ≤ 20 и наиболее предпочтительно ≤ 10 или ≤ 5 или даже $\leq 2,5$.

В предпочтительном варианте реализации конструкции антитела согласно изобретению конструкция антитела представляет собой одноцепочечную конструкцию антитела.

Также в предпочтительном варианте реализации конструкции антитела согласно изобретению указанный третий домен содержит в порядке от amino-конца к карбокси-концу:

шарнир-CH2-CH3-линкер-шарнир-CH2-CH3.

В одном варианте реализации изобретения каждый из указанных полипептидных мономеров третьего домена имеет аминокислотную последовательность, по меньшей мере на 90% идентичную последовательности, выбранной из группы, состоящей из: SEQ ID NO: 17-24. В предпочтительном варианте реализации изобретения каждый из указанных полипептидных мономеров имеет аминокислотную последовательность, выбранную из SEQ ID NO: 17-24.

Также в одном варианте реализации изобретения домен CH2 одного или предпочтительно каждого (обоих) полипептидных мономеров третьего домена содержит внутримономерный цистеиновый дисульфидный мостик. Как известно в данной области техники, термин "цистеиновый дисульфидный мостик" относится к функциональной группе с общей структурой $R-S-S-R$. Такая связь также называется SS-связью или дисульфидным мостиком и получена путем сопряжения двух тиольных групп остатков цистеина. Для конструкции антитела согласно изобретению в особенности предпочтительно, чтобы цистеины, образующие цистеиновый дисульфидный мостик в зрелой конструкции антитела, были внесены в аминокислотную последовательность домена CH2, соответствующую позициям 309 и 321 (нумерация Kabat).

В одном варианте реализации изобретения удален участок гликозилирования в позиции 314 по Kabat домена CH2. Предпочтительно, чтобы это удаление участка гликозилирования обеспечивала замена N314X, где X представляет собой любую аминокислоту за исключением Q. Указанная замена предпочтительно представляет собой замену N314G. В более предпочтительном варианте реализации изобретения указанный домен CH2 дополнительно содержит следующие замены (позиции в соответствии с Kabat): V321C и R309C (эти замены вносят внутримономерный цистеиновый дисульфидный мостик в позициях 309 и 321 по Kabat).

Предполагается, что предпочтительные характеристики конструкции антитела согласно изобретению по сравнению, например, с известной в данной области техники биспецифической конструкцией антитела на основе гетеро-Fc (фиг. 1b) могут быть, помимо прочего, связаны с внесением вышеописанных модификаций в домен CH2. Таким образом, для конструкции согласно изобретению предпочтительно, чтобы домены CH2 в третьем домене конструкции антитела согласно изобретению содержали внутримономерный цистеиновый дисульфидный мостик в позициях 309 и 321 по Kabat и/или участок гликозилирования в позиции 314 по Kabat был удален посредством описанной выше замены N314X, предпочтительно замены N314G.

В дополнительном предпочтительном варианте реализации изобретения домены CH2 в третьем домене конструкции антитела согласно изобретению содержат внутримономерный цистеиновый дисульфидный мостик в позициях 309 и 321 по Kabat, а участок гликозилирования в позиции 314 по Kabat удален посредством замены N314G. Наиболее предпочтительно полипептидный мономер в третьем домене конструкции антитела согласно изобретению имеет аминокислотную последовательность, выбранную из группы, состоящей из SEQ ID NO: 17 и 18.

В одном варианте реализации в изобретении предложена конструкция антитела, в которой:

(i) первый домен содержит два переменных домена антитела, а второй домен содержит два переменных домена антитела;

(ii) первый домен содержит один переменный домен антитела, а второй домен содержит два переменных домена антитела;

(iii) первый домен содержит два переменных домена антитела, а второй домен содержит один переменный домен антитела; или

(iv) первый домен содержит один переменный домен антитела, а второй домен содержит один переменный домен антитела.

Соответственно, первый и второй домены могут представлять собой связывающие домены, каждый из которых содержит два переменных домена антитела, таких как домены VH и VL. Примеры таких связывающих доменов, содержащих два переменных домена антитела, были описаны выше в данном документе и включают, например, фрагменты Fv, фрагменты scFv или фрагменты Fab, описанные выше в данном документе. В альтернативном варианте один или оба этих связывающих домена могут содержать только один переменный домен. Примеры таких однодоменных связывающих доменов были описаны выше в данном документе и включают, например, нанотела или содержащие один переменный домен антитела, содержащие только один переменный домен, который может представлять собой VH, VH или VL, который специфически связывает антиген или эпитоп независимо от других V-областей или доменов.

В предпочтительном варианте реализации конструкции антитела согласно изобретению первый и второй домены слиты с третьим доменом посредством пептидного линкера. Предпочтительный пептид-

ный линкер был описан выше в данном документе и характеризуется аминокислотной последовательностью Gly-Gly-Gly-Gly-Ser, т.е. Gly₄Ser (SEQ ID NO: 1), или ее полимерами, т.е. (Gly₄Ser)_x, где x представляет собой целое число, равное 1 или более (например, 2 или 3). В особенности предпочтительный линкер для слияния первого и второго доменов с третьим доменом приведен в SEQ ID NO: 1.

В предпочтительном варианте реализации конструкция антитела согласно изобретению характеризуется тем, что содержит в порядке от amino-конца к карбокси-концу:

- (a) первый домен;
- (b) пептидный линкер, имеющий аминокислотную последовательность, выбранную из группы, состоящей из SEQ ID NO: 1-3;
- (c) второй домен;
- (d) пептидный линкер, имеющий аминокислотную последовательность, выбранную из группы, состоящей из SEQ ID NO: 1, 2, 3, 9, 10, 11 и 12;
- (e) первый полипептидный мономер третьего домена;
- (f) пептидный линкер, имеющий аминокислотную последовательность, выбранную из группы, состоящей из SEQ ID NO: 5, 6, 7 и 8; и
- (g) второй полипептидный мономер третьего домена.

В одном аспекте изобретения антиген-мишень клеточной поверхности, связываемый первым доменом, представляет собой опухолевый антиген, антиген-специфический для иммунологического нарушения, или вирусный антиген. В контексте данного документа термин "опухолевый антиген" можно понимать как относящийся к тем антигенам, которые презентуются на опухолевых клетках. Эти антигены могут презентироваться на клеточной поверхности с внеклеточной частью, которая часто находится в комбинации с трансмембранной и цитоплазматической частью молекулы. Иногда эти антигены могут презентироваться только опухолевыми клетками и никогда - нормальными. Опухолевые антигены могут экспрессироваться исключительно на опухолевых клетках или могут представлять опухолеспецифическую мутацию по сравнению с нормальными клетками. В таком случае они называются опухолеспецифическими антигенами. Более обычными являются антигены, которые презентуются опухолевыми клетками и нормальными клетками и называются опухолеассоциированными антигенами. Эти опухолеассоциированные антигены могут сверхэкспрессироваться по сравнению с нормальными клетками или являться доступными для связывания антитела в опухолевых клетках вследствие менее компактной структуры опухолевой ткани по сравнению с нормальной тканью. В контексте данного документа неограничивающими примерами опухолевых антигенов являются CDH19, MSLN, DLL3, FLT3, EGFRvIII, CD33, CD19, CD20 и CD70.

В предпочтительном варианте реализации конструкции антитела согласно изобретению опухолевый антиген выбран из группы, состоящей из CDH19, MSLN, DLL3, FLT3, EGFRvIII, CD33, CD19, CD20 и CD70.

В одном аспекте изобретения конструкция антитела содержит в порядке от amino-конца к карбокси-концу:

- (a) первый домен, имеющий аминокислотную последовательность, выбранную из группы, состоящей из SEQ ID NO: 52, 70, 58, 76, 88, 106, 124, 94, 112, 130, 142, 160, 178, 148, 166, 184, 196, 214, 232, 202, 220, 238, 250, 266, 282, 298, 255, 271, 287, 303, 322, 338, 354, 370, 386, 402, 418, 434, 450, 466, 482, 498, 514, 530, 546, 327, 343, 359, 375, 391, 407, 423, 439, 455, 471, 487, 503, 519, 353, 551, 592, 608, 624, 640, 656, 672, 688, 704, 720, 736, 752, 768, 784, 800, 816, 832, 848, 864, 880, 896, 912, 928, 944, 960, 976, 992, 1008, 1024, 1040, 1056, 1072, 1088, 1104, 1120, 1136, 1152, 1168, 1184, 597, 613, 629, 645, 661, 677, 693, 709, 725, 741, 757, 773, 789, 805, 821, 837, 853, 869, 885, 901, 917, 933, 949, 965, 981, 997, 1013, 1029, 1045, 1061, 1077, 1093, 1109, 1125, 1141, 1157, 1173, 1189, 1277, 1289, 1301, 1313, 1325, 1337, 1349, 1361, 1373, 1385, 1397, 1409, 1421, 1433, 1445;
- (b) пептидный линкер, имеющий аминокислотную последовательность, выбранную из группы, состоящей из SEQ ID NO: 1-3;
- (c) второй домен, имеющий аминокислотную последовательность, выбранную из группы, состоящей из SEQ ID NO: SEQ ID NO: 23, 25, 41, 43, 59, 61, 77, 79, 95, 97, 113, 115, 131, 133, 149, 151, 167, 169, 185 или 187 из WO 2008/119567 или SEQ ID NO: 15;
- (d) пептидный линкер, имеющий аминокислотную последовательность, выбранную из группы, состоящей из SEQ ID NO: 1, 2, 3, 9, 10, 11 и 12;
- (e) первый полипептидный мономер третьего домена, имеющий полипептидную последовательность, выбранную из группы, состоящей из SEQ ID NO: 17-24;
- (f) пептидный линкер, имеющий аминокислотную последовательность, выбранную из группы, состоящей из SEQ ID NO: 5, 6, 7 и 8; и
- (g) второй полипептидный мономер третьего домена, имеющий полипептидную последовательность, выбранную из группы, состоящей из SEQ ID NO: 17-24.

Наряду с этим предпочтительным вариантом реализации, первый и второй домены, которые слиты посредством пептидного линкера с одноцепочечным полипептидом, содержат последовательность, выбранную из группы, состоящей из:

- (a) SEQ ID NO: 53 и 59; CD33;
- (b) SEQ ID NO: 71 и 77; EGFRvIII;
- (c) SEQ ID NO: 89, 107, 125, 95, 113 и 131; MSLN;
- (d) SEQ ID NO: 143, 161, 179, 149, 167 и 185; CDH19;
- (e) SEQ ID NO: 197, 215, 233, 203, 221 и 239; DLL3;
- (f) SEQ ID NO: 251, 267, 283, 299, 256, 272, 288 и 304; CD19;
- (g) SEQ ID NO: 323, 339, 355, 371, 387, 403, 419, 435, 451, 467, 483, 499, 515, 531, 547, 328, 344, 360, 376, 392, 408, 424, 440, 456, 472, 488, 504, 520, 536 и 552; FLT3;
- (h) SEQ ID NO: 593, 609, 625, 641, 657, 673, 689, 705, 721, 737, 753, 769, 785, 801, 817, 833, 849, 865, 881, 897, 913, 929, 945, 961, 977, 993, 1009, 1025, 1041, 1057, 1073, 1089, 1105, 1121, 1137, 1153, 1169, 1185, 598, 614, 630, 646, 662, 678, 694, 710, 726, 742, 758, 774, 790, 806, 822, 838, 854, 870, 886, 902, 918, 934, 950, 966, 982, 998, 1014, 1030, 1046, 1062, 1078, 1094, 1110, 1126, 1142, 1158, 1174 и 1190; CD70;
- (i) SEQ ID NO: 1268; и CD20;
- (j) SEQ ID NO: 1278, 1290, 1302, 1314, 1326, 1338, 1350, 1362, 1374, 1386, 1398, 1410, 1422, 1434, 1446. CD19.

В одном аспекте конструкция антитела согласно изобретению характеризуется тем, что имеет аминокислотную последовательность, выбранную из группы, состоящей из:

- (a) SEQ ID NO: 54, 55, 60 и 61; CD33;
- (b) SEQ ID NO: 72, 73, 78 и 79; EGFRvIII;
- (c) SEQ ID NO: 90, 91, 96, 97, 108, 109, 114 и 115; MSLN;
- (d) SEQ ID NO: 144, 145, 150, 151, 162, 163, 168, 169, 180, 181, 186 и 187; CDH19;
- (e) SEQ ID NO: 198, 199, 204, 205, 216, 217, 222, 223, 234, 235, 240 и 241; DLL3;
- (f) SEQ ID NO: 252, 306, 257, 307, 268, 308, 273, 309, 284, 310, 289, 311, 300, 312, 305 и 313; CD19;
- (g) SEQ ID NO: 324, 554, 329, 555, 340, 556, 345, 557, 356, 558, 361, 559, 372, 560, 377, 561, 388, 562, 393, 563, 404, 564, 409, 565, 420, 566, 425, 567, 436, 568, 441, 569, 452, 570, 457, 571, 468, 572, 473, 573, 484, 574, 489, 575, 500, 576, 505, 577, 516, 578, 521, 579, 532, 580, 537, 581, 548, 582, 553 и 583; FLT3;
- (h) SEQ ID NO: 594, 610, 626, 642, 658, 674, 690, 706, 722, 738, 754, 77, 786, 802, 818, 834, 850, 866, 882, 898, 914, 930, 946, 962, 978, 994, 1010, 1026, 1042, 1058, 1074, 1090, 1106, 1122, 1138, 1154, 1170, 1186, 599, 615, 631, 647, 663, 679, 695, 711, 727, 743, 759, 775, 791, 807, 823, 839, 855, 871, 887, 903, 919, 935, 951, 967, 983, 999, 1015, 1031, 1047, 1063, 1079, 1095, 1111, 1127, 1143, 1159, 1175, 1191 и 1192-1267; CD70;
- (i) SEQ ID NO: 43; CD20;
- (j) SEQ ID NO: 1279, 1280, 1291, 1292, 1303, 1304, 1315, 1316, 1327, 1328, 1339, 1340, 1351, 1352, 1363, 1364, 1375, 1376, 1387, 1388, 1399, 1400, 1411, 1412, 1423, 1424, 1435, 1436, 1447, 1448. CD19.

В изобретении дополнительно предложены полинуклеотид/молекула нуклеиновой кислоты, кодирующая конструкцию антитела согласно изобретению. Полинуклеотид представляет собой биополимер, состоящий из 13 или более нуклеотидных мономеров, ковалентно связанных в цепи. ДНК (такая как кДНК) и РНК (такая как мРНК) являются примерами полинуклеотидов с разной биологической функцией. Нуклеотиды представляют собой органические молекулы, служащие в качестве мономеров или субъединиц молекул нуклеиновых кислот, таких как ДНК или РНК. Молекула нуклеиновой кислоты или полинуклеотид может быть двухцепочечной или одноцепочечной, линейной или круговой. Предпочтительно она находится в векторе, который предпочтительно находится в клетке-хозяине. Указанная клетка-хозяин, например, после трансформации или трансфекции вектором или полинуклеотидом согласно изобретению способна экспрессировать конструкцию антитела. С этой целью полинуклеотид или молекула нуклеиновой кислоты функционально связаны с регуляторными последовательностями.

Генетический код представляет собой набор правил, посредством которого информация, закодированная в генетическом материале (нуклеиновых кислотах), транслируется в белок. Биологическая расшифровка в живых клетках осуществляется рибосомой, которая связывает аминокислоты в порядке, определяемом мРНК, используя молекулы тРНК для переноса аминокислот и для считывания триплетов мРНК за раз. Код определяет, как последовательности этих нуклеотидных триплетов, называемых кодонами, предопределяют, какую аминокислоту следует добавлять следующей во время синтеза белка. За некоторыми исключениями триплетный кодон в последовательности нуклеиновой кислоты предопределяет одну аминокислоту. Так как подавляющее большинство генов кодируется абсолютно одинаковым кодом, этот конкретный код часто называют каноническим или стандартным генетическим кодом. Хотя генетический код определяет белковую последовательность для данной кодирующей области, другие геномные области могут влиять на то, когда и где вырабатываются эти белки.

Кроме того, в изобретении предложен вектор, содержащий полинуклеотид/молекулу нуклеиновой кислоты согласно изобретению. Вектор представляет собой молекулу нуклеиновой кислоты, применяемую в качестве носителя для переноса (чужеродного) генетического материала в клетку. Термин "вектор" включает, но не ограничивается этим, плазмиды, вирусы, космиды и искусственные хромосомы. В общем случае сконструированные векторы содержат точку начала репликации, участок мультиклонирования и селективный маркер. Сам вектор в общем случае представляет собой нуклеотидную последова-

тельность, обычно последовательность ДНК, которая содержит вставку (трансген), и более крупную последовательность, которая служит "скелетом" вектора. Современные векторы могут включать в себя дополнительные элементы помимо вставки трансгена и скелета: промотор, генетический маркер, устойчивость к антибиотикам, репортерный ген, нацеливающую последовательность, метку для очистки белка. Векторы, называемые экспрессионными векторами (экспрессионными конструкциями) специально предназначены для экспрессии трансгена в клетке-мишени и в общем случае содержат регуляторные последовательности.

Термин "регуляторные последовательности" относится к последовательностям ДНК, необходимым для экспрессии функционально связанной кодирующей последовательности в конкретном организме-хозяине. Регуляторные последовательности, которые подходят для прокариот, например, включают промотор, необязательно, последовательность оператора и участок связывания рибосомы. Известно, что в эукариотических клетках используются промоторы, сигналы полиаденилирования и энхансеры.

Нуклеиновая кислота является "функционально связанной", когда она находится в функциональной взаимосвязи с другой последовательностью нуклеиновой кислоты. Например, ДНК для предпоследовательности или секреторной лидерной последовательности функционально связана с ДНК для полипептида, если она экспрессируется в виде белка-предшественника, который принимает участие в секреции полипептида; промотор или энхансер функционально связан с кодирующей последовательностью, если он влияет на транскрипцию последовательности; или участок связывания рибосомы функционально связан с кодирующей последовательностью, если он расположен так, чтобы облегчать трансляцию. В общем случае "функционально связанный" означает, что связанные последовательности ДНК являются смежными и, в случае секреторной лидерной последовательности, смежными и в фазе считывания. При этом энхансеры не должны быть смежными. Связывание осуществляется путем лигирования в удобных рестрикционных участках. Если такие участки не существуют, используют синтетические адапторы или линкеры в соответствии с традиционной практикой.

"Трансфекция" представляет собой процесс преднамеренного внесения молекул нуклеиновых кислот или полинуклеотидов (включая векторы) в клетки-мишени. Этот термин используется в основном для невирусных методов в эукариотических клетках. Трансдукцию часто используют для описания опосредованного вирусом переноса молекул нуклеиновых кислот или полинуклеотидов. Трансфекция клеток животных, как правило, включает открытие временных пор или "дыр" в клеточной мембране для того, чтобы сделать возможным поглощение материала. Трансфекцию можно проводить, используя фосфат кальция, путем электропорации, путем сжатия клеток или путем смешивания катионного липида с материалом для получения липосом, которые сливаются с клеточной мембраной и оставляют свой груз внутри.

Термин "трансформация" используют для описания невирусного переноса молекул нуклеиновых кислот или полинуклеотидов (включая векторы) в бактерии и также в не принадлежащие животным эукариотические клетки, включая клетки растений. Следовательно, трансформация представляет собой генетическое изменение бактериальной или не принадлежащей животному эукариотической клетки в результате прямого поглощения через клеточную(ые) мембрану(ы) из окружающей среды и последующее включение экзогенного генетического материала (молекул нуклеиновых кислот). Трансформацию можно проводить искусственными средствами. Для того, чтобы произошла трансформация, клетки или бактерии должны находиться в состоянии компетентности, которое может наступать в виде ограниченного во времени ответа на внешние условия, такие как голодание и плотность клеток.

Кроме того, в изобретении предложена клетка-хозяин, трансформированная или трансфицированная полинуклеотидом/молекулой нуклеиновой кислоты или вектором согласно изобретению. В контексте данного документа подразумевается, что термины "клетка-хозяин" или "реципиентная клетка" включают любую отдельную клетку или культуру клеток, которые могут быть или были реципиентами векторов, молекул экзогенных нуклеиновых кислот и полинуклеотидов, кодирующих конструкцию антитела согласно данному изобретению; и/или реципиентами самой конструкции антитела. Внесение соответствующего материала в клетку проводят путем трансформации, трансфекции и т.д. Также подразумевается, что термин "клетка-хозяин" включает потомство или потенциальное потомство одной клетки. Так как в последующих поколениях могут возникать определенные модификации вследствие естественной, случайной или преднамеренной мутации или вследствие влияния со стороны окружающей среды, такое потомство может в действительности не быть полностью идентичным (по морфологии или по комплексу геномной или общей ДНК) с родительской клеткой, но все равно в контексте данного документа включено в объем указанного термина. Подходящие клетки-хозяева включают прокариотические или эукариотические клетки и также включают, но не ограничиваются этим, бактерии, клетки дрожжей, клетки грибов, клетки растений и клетки животных, такие как клетки насекомых и клетки млекопитающих, например, мышей, крыс, макак или человека.

Конструкцию антитела согласно изобретению можно получать в бактериях. После экспрессии конструкции антитела согласно изобретению выделяют из клеточной пасты *E. coli* в растворимую фракцию и затем ее можно очищать с помощью, например, аффинной или эксклюзионной хроматографии. Конечную очистку можно проводить аналогично с процессом очистки антитела, экспрессируемого, например,

в клетках СНО.

Кроме прокариот, эукариотические микробы, такие как нитевидные грибы или дрожжи, являются подходящими хозяевами для клонирования или экспрессии конструкции антитела согласно изобретению. *Saccharomyces cerevisiae* или обычные пекарские дрожжи наиболее часто используются среди микроорганизмов-хозяев из низших эукариот. При этом большое число других родов, видов и штаммов являются общепринятыми и применимыми в данном случае, например, *Schizosaccharomyces pombe*, хозяева из *Kluveromyces*, такие как *K. lactis*, *K. fragilis* (ATCC 12424), *K. bulgaricus* (ATCC 16045), *K. wickerhamii* (ATCC 24178), *K. waltii* (ATCC 56500), *K. drosophilae* (ATCC 36906), *K. Thermotolerans* и *K. marxianus*; *Yarrowia* (EP 402 226); *Pichia pastoris* (EP 183 070); *Candida*; *Trichoderma reesia* (EP 244 234); *Neurospora crassa*; *Schwanniomyces*, такие как *Schwanniomyces occidentalis*; и нитевидные грибы, такие как *Neurospora*, *Penicillium*, *Tolypocladium*, и хозяева *Aspergillus*, такие как *A. nidulans* и *A. niger*.

Подходящие клетки-хозяева для экспрессии гликозилированной конструкции антитела согласно изобретению получены из многоклеточных организмов. Примеры клеток беспозвоночных включают клетки растений и насекомых. Были определены многоклеточные бакуловирусные штаммы и варианты и соответствующие перmissive клетки-хозяева насекомых, такие как *Spodoptera frugiperda* (гусеница), *Aedes aegypti* (москит), *Aedes albopictus* (москит), *Drosophila melanogaster* (плодовая мушка) и *Bombyx mori*. Общедоступными являются различные вирусные штаммы для трансфекции, например, вариант L-1 *Autographa californica* NPV и штамм Bm-5 *Bombyx mori* NPV, и такие вирусы можно использовать в качестве вируса в соответствии с данным изобретением, в частности, для трансфекции клеток *Spodoptera frugiperda*.

Растительные клеточные культуры хлопка, кукурузы, картофеля, сои, петунии, томата, арабидопсиса и табака также можно использовать в качестве хозяев. Клонированные и экспрессионные векторы, применяемые для получения белков в растительной клеточной культуре, известны специалистам в данной области техники. Смотрите, например, Hiatt et al., *Nature* (1989) 342: 76-78, Owen et al. (1992) *Bio/Technology* 10: 790-794, Artsaenko et al. (1995) *The Plant J* 8: 745-750, и Fecker et al. (1996) *Plant Mol Biol* 32: 979-986.

Однако наибольший интерес представляют клетки позвоночных, а размножение клеток позвоночных в культуре (тканевой культуре) стало рутинной процедурой. Примерами применимых линий клеток-хозяев млекопитающих являются линия почки обезьяны CV1, трансформированная SV40 (COS-7, ATCC CRL 1651); линия почки эмбриона человека (клетки 293 или 293, субклонированные для роста в суспензионной культуре, Graham et al., *J. Gen Virol.* 36: 59 (1977)); клетки почки новорожденного хомяка (ВНК, ATCC CCL 10); клетки яичника китайского хомяка/-DHFR (CHO, Urlaub et al., *Proc. Natl. Acad. Sci. USA* 77: 4216 (1980)); клетки Сертоли мышей (TM4, Mather, *Biol. Reprod.* 23: 243-251 (1980)); клетки почки обезьяны (CV1 ATCC CCL 70); клетки почки африканской зеленой марьшши (VERO-76, ATCC CRL1587); клетки карциномы шейки матки человека (HELA, ATCC CCL 2); клетки почки собаки (MDCK, ATCC CCL 34); клетки печени серой крысы (BRL 3A, ATCC CRL 1442); клетки легкого человека (W138, ATCC CCL 75); клетки печени человека (Hep G2, 1413 8065); клетки опухоли молочной железы мышей (MMT 060562, ATCC CCL5 1); клетки TRI (Mather et al., *Annals N. Y Acad. Sci.* (1982) 383: 44-68); клетки MRC 5; клетки FS4; и линия гепатомы человека (Hep G2).

В дополнительном варианте реализации в изобретении предложен процесс для получения конструкции антитела согласно изобретению, включающий культивирование клетки-хозяина согласно изобретению, в условиях, обеспечивающих экспрессию конструкции антитела согласно изобретению, и выделение полученной конструкции антитела из культуры.

В контексте данного документа термин "культивирование" относится к *in vitro* поддержанию, дифференцировке, росту, пролиферации и/или размножению клеток в подходящих условиях в среде. Термин "экспрессия" включает любой этап, проводимый для получения конструкции антитела согласно изобретению, включая, но не ограничиваясь этим, транскрипцию, посттранскрипционную модификацию, трансляцию, посттрансляционную модификацию и секрецию.

При применении рекомбинантных технологий конструкцию антитела можно получать внутри клетки, в периплазматическом пространстве или она может непосредственно секретироваться в среду. Если конструкцию антитела получают внутри клетки, на первом этапе удаляют дебрис в виде частиц, как клеток-хозяев, так и лизированных фрагментов, например, путем центрифугирования или ультрафильтрации. В Carter et al., *Bio/Technology* 10: 163-167 (1992) описана процедура для выделения антител, которые секретированы в периплазматическое пространство *E. coli*. Вкратце, клеточную пасту размораживают в присутствии ацетата натрия (pH 3,5), ЭДТК и фенилметилсульфонилфторида (ФМСФ) в течение около 30 мин. Клеточный дебрис удаляют путем центрифугирования. Если антитело секретировано в среду, супернатанты из таких экспрессионных систем в общем случае сначала концентрируют, используя коммерчески доступный фильтр для концентрирования белка, например, установку для ультрафильтрации Amicon или Millipore Pellicon. На любом из вышеуказанных этапов может быть включен ингибитор протеаз, такой как ФМСФ, для ингибирования протеолиза, а антибиотики могут быть включены для предотвращения роста занесенных загрязнителей.

Конструкцию антитела согласно изобретению, полученную из клеток-хозяев, можно выделять или

очищать, используя, например, хроматографию с гидроксилпатитом, гель-электрофорез, диализ и аффинную хроматографию. Также, в зависимости от предназначенного для выделения антитела, доступны другие методики очистки белка, такие как фракционирование на ионообменной колонке, осаждение этанолом, обращенно-фазовая ВЭЖХ, хроматография на силикагеле, хроматография на гепаринсефарозе™, хроматография на анионо-или катионообменной смоле (такой как колонка с полиаспарагиновой кислотой), хроматофокусирование, ДСН-ПААГ и осаждение сульфатом аммония. Если конструкция антитела согласно изобретению содержит домен СН3, для очистки применяют смолу Bakerbond ABX (J.T. Baker, Phillipsburg, NJ).

Аффинная хроматография является предпочтительной методикой очистки. Матрица, к которой присоединяется аффинный лиганд, наиболее часто является агарозой, но также доступны другие матрицы. Механически стабильные матрицы, такие как стекло с контролируемым размером пор или поли(стиролдвинил)бензен, обеспечивают большую скорость потока и меньшее время обработки по сравнению с агарозой.

Кроме того, в изобретении предложена фармацевтическая композиция, содержащая конструкцию антитела согласно изобретению или конструкцию антитела, полученную в соответствии со способом согласно изобретению. Для фармацевтической композиции согласно изобретению предпочтительно, чтобы гомогенность конструкции антитела составляла $\geq 80\%$, более предпочтительно $\geq 81\%$, $\geq 82\%$, $\geq 83\%$, $\geq 84\%$ или $\geq 85\%$, еще предпочтительнее $\geq 86\%$, $\geq 87\%$, $\geq 88\%$, $\geq 89\%$ или $\geq 90\%$, еще предпочтительнее $\geq 91\%$, $\geq 92\%$, $\geq 93\%$, $\geq 94\%$ или $\geq 95\%$ и наиболее предпочтительно $\geq 96\%$, $\geq 97\%$, $\geq 98\%$ или $\geq 99\%$.

В контексте данного документа термин "фармацевтическая композиция" относится к композиции, подходящей для введения пациенту, предпочтительно пациенту-человеку. В особенности предпочтительная фармацевтическая композиция согласно данному изобретению содержит одну или множество конструкций антител согласно изобретению, предпочтительно в терапевтически эффективном количестве. Предпочтительно фармацевтическая композиция дополнительно содержит подходящие готовые формы одного или более (фармацевтически эффективных) носителей, стабилизаторов, вспомогательных веществ, разбавителей, солюбилизаторов, поверхностно-активных веществ, эмульсификаторов, консервантов и/или адъювантов. Приемлемые составляющие композиции предпочтительно являются нетоксичными для реципиентов в применяемых дозировках и концентрациях. Фармацевтические композиции согласно изобретению включают, но не ограничиваются этим, жидкие, замороженные и лиофилизированные композиции.

Композиции согласно изобретению могут содержать фармацевтически приемлемый носитель. В общем случае в контексте данного документа "фармацевтически приемлемый носитель" означает любой и все водные и неводные растворы, стерильные растворы, растворители, буферы, например, растворы фосфатно-солевого буфера (ФСБ), воду, суспензии, эмульсии, такие как эмульсии масло/вода, различные типы смачивающих агентов, липосомы, дисперсионные среды и покрытия, которые совместимы с фармацевтическим введением, в частности, парентеральным введением. Применение таких сред и агентов в фармацевтических композициях хорошо известно в данной области техники, а композиции, содержащие такие носители, можно составлять хорошо известными традиционными способами.

В определенных вариантах реализации изобретения предложены фармацевтические композиции, содержащие конструкцию антитела согласно изобретению и дополнительно одно или более вспомогательных веществ, таких как те, которые в иллюстративных целях описаны в этом разделе и в другом месте данного документа. В этой связи вспомогательные вещества можно применять в изобретении во многих целях, таких как корректировка физических, химических или биологических свойств готовых форм, например, корректировка вязкости, и/или процессов согласно изобретению для улучшения эффективности и/или для стабилизации таких готовых форм и процессов против деградации и порчи вследствие, например, стрессов, которые возникают во время производства, перевозки, хранения, приготовления перед использованием, введения и впоследствии.

В определенных вариантах реализации изобретения фармацевтическая композиция может содержать составляющие материалы в целях модификации, поддержания или сохранения, например, pH, осмолярности, вязкости, прозрачности, цвета, изотоничности, запаха, стерильности, стабильности, скорости растворения или высвобождения, всасывания или проникновения композиции (смотрите REMINGTON'S PHARMACEUTICAL SCIENCES, 18th Edition, (A.R. Genrmo, ed.), 1990, Mack Publishing Company). В таких вариантах реализации изобретения подходящие составляющие материалы могут включать, но не ограничиваются этим:

аминокислоты, такие как глицин, аланин, глутамин, аспарагин, треонин, пролин, 2-фенилаланин, включая заряженные аминокислоты, предпочтительно лизин, ацетат лизина, аргинин, глутамат и/или гистидин;

противомикробные препараты, такие как антибактериальные и противогрибковые агенты;

антиоксиданты, такие как аскорбиновая кислота, метионин, сульфит натрия или гидрогенсульфит натрия;

буферы, буферные системы или буферные агенты, которые используют для поддержания композиции при физиологическом pH или немного меньшем pH; примерами буферов являются борат, бикарбонат, Трис-HCl, цитраты, фосфаты или другие органические кислоты, сукцинат, фосфат и гистидин; например, Трис-буфер с pH около 7,0-8,5;

неводные растворители, такие как пропиленгликоль, полиэтиленгликоль, растительные масла, такие как оливковое масло, и инъекционные сложные органические эфиры, такие как этилолеат;

водные носители, включая воду, спиртово-водные носители, эмульсии или суспензии, включая солевые и забуференные среды;

биоразлагаемые полимеры, такие как сложные полиэфиры;

объемообразующие агенты, такие как маннит или глицин;

хелатирующие агенты, такие как этилендиаминтетрауксусная кислота (ЭДТК);

изотонические агенты и агенты, замедляющие всасывание;

комплексообразующие агенты, такие как кофеин, поливинилпирролидон, бета-циклодекстрин или гидроксипропил-бета-циклодекстрин;

наполнители;

моносахариды; дисахариды; и другие углеводы (такие как глюкоза, манноза или декстрины); углеводы могут представлять собой нередуцирующие сахара, предпочтительно трегалозу, сахарозу, октасульфат, сорбит или ксилит;

(низкомолекулярные) белки, полипептиды или белковые носители, такие как человеческий или бычий сывороточный альбумин, желатин или иммуноглобулины, предпочтительно человеческого происхождения;

красители и ароматизаторы;

серосодержащие восстановительные агенты, такие как глутатион, тиоктовая кислота, тиогликолят натрия, тиоглицерин, [альфа]-монотиоглицерин и тиосульфат натрия;

разбавители;

эмульсификаторы;

гидрофильные полимеры, такие как поливинилпирролидон;

солеобразующие противоионы, такие как натрий;

консерванты, такие как противомикробные средства, антиоксиданты, хелатирующие агенты, инертные газы и тому подобное; примерами являются бензалкония хлорид, бензойная кислота, салициловая кислота, тимеросал, фенолиловый спирт, метилпарабен, пропилпарабен, хлоргексидин, сорбиновая кислота или перекись водорода;

комплексы металлов, такие как комплексы Zn-белок;

растворители и соразтворители (такие как глицерин, пропиленгликоль или полиэтиленгликоль);

сахара и сахарные спирты, такие как трегалоза, сахароза, октасульфат, маннит, сорбит или ксилит, стахиоза, манноза, сорбоза, ксилоза, рибоза, миоинизитоза, галактоза, лактит, рибит, миоинозит, галактит, глицерин, циклиты (например, инозит), полиэтиленгликоль; и многоатомные сахарные спирты;

суспендирующие агенты;

поверхностно-активные вещества или смачивающие агенты, такие как плуроники, ПЭГ, сложные эфиры сорбитана, полисорбаты, такие как полисорбат 20, полисорбат, тритон, трометамин, лецитин, холестерин, тилоксапал; поверхностно-активные вещества могут представлять собой детергенты, предпочтительно с молекулярной массой >1,2 кДа, и/или полиэфир, предпочтительно с молекулярной массой >3 кДа; неограничивающими примерами предпочтительных детергентов являются Твин 20, Твин 40, Твин 60, Твин 80 и Твин 85; неограничивающими примерами предпочтительных полиэфиров являются ПЭГ 3000, ПЭГ 3350, ПЭГ 4000 и ПЭГ 5000;

агенты, повышающие стабильность, такие как сахароза или сорбит;

агенты, повышающие тоничность, такие как галиды щелочных металлов, предпочтительно хлорид натрия или калия, маннит, сорбит;

средства для парентеральной доставки, включая раствор хлорида натрия, декстрозу Рингера, декстрозу и хлорид натрия, лактат Рингера или жирные масла;

средства для внутривенной доставки, включая наполнители жидкости и питательных веществ, наполнители электролитов (например, на основе декстрозы Рингера).

Для специалистов в данной области техники очевидно, что разные составляющие фармацевтической композиции (например, перечисленные выше) могут иметь разное действие, например, аминокислота может действовать в качестве буфера, стабилизатора и/или антиоксиданта; маннит может действовать в качестве объемообразующего агента и/или агента, повышающего тоничность; хлорид натрия может действовать в качестве средства для доставки и/или агента, повышающего тоничность.

Подразумевается, что композиция согласно изобретению может содержать, кроме определенного в данном документе полипептида согласно изобретению, дополнительные биологически активные агенты, в зависимости от предполагаемого применения композиции. Такие агенты могут представлять собой лекарственные препараты, действующие на желудочно-кишечную систему, цитостатические лекарственные препараты, лекарственные препараты, предотвращающие гиперурикемию, лекарственные препара-

ты, ингибирующие иммунореакции (например, кортикостероиды), лекарственные препараты, модулирующие воспалительный ответ, лекарственные препараты, действующие на систему кровообращения, и/или агенты, такие как цитокины, известные в данной области техники. Также подразумевается, что конструкцию антитела согласно данному изобретению, применяют в совместной терапии, т.е. в комбинации с другим противораковым медикаментом.

В определенных вариантах реализации изобретения оптимальная фармацевтическая композиция определяется специалистом в данной области техники в зависимости, например, от предполагаемого пути введения, формата доставки и необходимой дозировки. Смотрите, например, REMINGTON'S PHARMACEUTICAL SCIENCES, выше. В определенных вариантах реализации изобретения такие композиции могут влиять на физическое состояние, стабильность, скорость *in vivo* высвобождения и скорость *in vivo* выведения конструкции антитела согласно изобретению. В определенных вариантах реализации изобретения основной базовый раствор или носитель в фармацевтической композиции может быть по своей природе как водным, так и неводным. Например, подходящий базовый раствор или носитель может представлять собой воду для инъекций, физиологический солевой раствор или искусственную цереброспинальную жидкость, возможно дополненные другими материалами, обычными в композициях для парентерального введения. Дополнительными типовыми базовыми растворами являются нейтральный буферный солевой раствор или солевой раствор, смешанный с сывороточным альбумином. В определенных вариантах реализации композиции конструкции антитела согласно изобретению можно готовить для хранения путем смешивания выбранной композиции, имеющей необходимую степень чистоты, с оптимальными составляющими агентами (REMINGTON'S PHARMACEUTICAL SCIENCES, выше) в форме лиофилизированной лепешки или водного раствора. Кроме того, в определенных вариантах реализации конструкцию антитела согласно изобретению можно готовить в виде лиофилизата, используя соответствующие вспомогательные вещества, такие как сахараза.

Если предполагается парентеральное введение, терапевтические композиции для применения в данном изобретении можно получать в форме апиrogenного, парентерально приемлемого водного раствора, содержащего необходимую конструкцию антитела согласно изобретению в фармацевтически приемлемом базовом растворе. В особенности подходящим базовым раствором для парентеральной инъекции является стерильная дистиллированная вода, в которой конструкцию антитела согласно изобретению готовят в виде стерильного, изотонического раствора, сохраняемого должным образом. В определенных вариантах реализации изобретения препарат может включать готовую форму необходимой молекулы с агентом, таким как инъекционные микросферы, биоразлагаемые частицы, полимерные соединения (такие как полимолочная кислота или полигликолевая кислота), гранулы или липосомы, которые могут обеспечивать контролируемое или замедленное высвобождение продукта, который может доставляться посредством депо-инъекции. В определенных вариантах реализации изобретения также можно использовать гиалуроновую кислоту, действие которой состоит в стимуляции продления нахождения в циркуляции. В определенных вариантах реализации изобретения можно использовать имплантируемые устройства для внесения необходимой конструкции антитела.

Дополнительные фармацевтические композиции очевидны для специалистов в данной области техники, включая готовые формы, содержащие конструкцию антитела согласно изобретению в составах для замедленного высвобождения или контролируемой доставки/высвобождения. Методики приготовления различных других средств для замедленной или контролируемой доставки, таких как липосомные носители, биоразлагаемые микрочастицы или пористые гранулы и депо-инъекции, также известны специалистам в данной области техники. Смотрите, например, заявку на международный патент № PCT/US93/00829, в которой описано контролируемое высвобождение пористых полимерных микрочастиц для доставки фармацевтических композиций. Препараты с замедленным высвобождением могут содержать полупроницаемые полимерные матрицы в виде формованных изделий, например, пленок или микрокапсул. Матрицы для замедленного высвобождения могут содержать сложные полиэфиры, гидрогели, полилактиды (описанные в патенте США № 3773919 и публикации заявки на европейский патент № EP 058481), сополимеры L-глутаминовой кислоты и гамма этил-L-глутамата (Sidman et al., 1983, *Biopolymers* 2:547-556), поли(2-гидроксиэтил-метакрилат) (Langer et al., 1981, *J. Biomed. Mater. Res.* 15:167-277 и Langer, 1982, *Chem. Tech.* 12:98-105), этиленвинилацетат (Langer et al., 1981, выше) или поли-D(-)-3-гидроксимасляную кислоту (публикация заявки на европейский патент № EP 133988). Композиции для замедленного высвобождения также могут содержать липосомы, которые можно готовить любым из нескольких способов, известных в данной области техники. Смотрите, например, Eppstein et al., 1985, *Proc. Natl. Acad. Sci. U.S.A.* 82:3688-3692; публикации заявок на европейский патент № EP 036676; EP 088046 и EP 143949.

Конструкция антитела также может быть заключена в микрокапсулах, приготовленных, например, методами коацервации или межфазной полимеризации (например, микрокапсулы из гидроксиметилцеллюлозы или желатина и микрокапсулы из поли(метилметакрилата) соответственно), в коллоидных системах доставки лекарственного препарата (например, липосомы, альбуминовые микросферы, микроэмульсии, наночастицы и нанокапсулы) или в макроэмульсиях. Такие методики описаны в Remington's *Pharmaceutical Sciences*, 16th edition, Oslo, A., Ed., (1980).

Фармацевтические композиции, применяемые для *in vivo* введения, как правило, предоставляются в виде стерильных препаратов. Стерилизацию можно проводить путем фильтрации через стерильные фильтровальные мембраны. Если композиция является лиофилизированной, стерилизацию с применением этого способа можно проводить до или после лиофилизации и восстановления. Композиции для парентерального введения можно хранить в лиофилизированной форме или в растворе. Парентеральные композиции в общем случае помещают в контейнер, имеющий стерильное входное отверстие, например, пакет для внутривенного раствора или флакон, имеющий пробку, прокалываемую гиподермической иглой для инъекций.

Другой аспект изобретения включает самобуферизующиеся готовые формы конструкции антитела согласно изобретению, которые можно использовать как фармацевтические композиции, как описано в заявке на международный патент WO 06138181A2 (PCT/US2006/022599). Доступны различные описания для стабилизации белков и составляющих материалов, а также способов, применяемых в связи с этим, например, Arakawa et al., "Solvent interactions in pharmaceutical formulations", *Pharm Res.* 8(3): 285-91 (1991); Kendrick et al., "Physical stabilization of proteins in aqueous solution" in: RATIONAL DESIGN OF STABLE PROTEIN FORMULATIONS: THEORY AND PRACTICE, Carpenter and Manning, eds. *Pharmaceutical Biotechnology.* 13: 61-84 (2002), и Randolph et al., "Surfactant-protein interactions", *Pharm Biotechnol.* 13: 159-75 (2002), в частности, смотрите части, относящиеся к вспомогательным веществам и связанным с ними процессам для самобуферизующихся готовых белковых форм в соответствии с данным изобретением, в особенности к белковым фармацевтическим продуктам и процессам для применений в ветеринарии и/или медицине человека.

В соответствии с некоторыми вариантами реализации изобретения можно использовать соли, например, для корректировки ионной силы и/или изотоничности готовой формы, и/или для улучшения растворимости и/или физической стабильности белка или другого ингредиента композиции в соответствии с изобретением. Как хорошо известно, ионы могут стабилизировать нативное состояние белков посредством связывания с заряженными остатками на поверхности белка и путем экранирования заряженных и полярных групп в белке и уменьшения силы их электростатических взаимодействий, взаимодействий притяжения и отталкивания. Ионы также могут стабилизировать денатурированное состояние белка посредством связывания, в частности, с денатурированными пептидными связями (--CONH) белка. Кроме того, ионное взаимодействие с заряженными и полярными группами в белке может уменьшать межмолекулярные электростатические взаимодействия и, таким образом, предотвращать или снижать агрегацию и нерастворимость белка.

Ионные молекулы существенно отличаются по своему воздействию на белки. Было разработано большое количество категоричных классификаций ионов и их воздействия на белки, которые можно использовать при приготовлении фармацевтических композиций в соответствии с изобретением. Одним из примеров является ряд Гофмейстера, в котором ионные и полярные неионные растворенные вещества упорядочены в соответствии с их воздействием на конформационную стабильность белков в растворе. Стабилизирующие растворенные вещества называются "космотропными". Дестабилизирующие растворенные вещества называются "хаотропными". Космотропы обычно используются в высоких концентрациях (например, >1-молярный сульфат аммония) для осаждения белков из раствора ("высаливание"). Хаотропы обычно используются для денатурации и/или солюбилизации белков ("всаливание"). Относительная эффективность ионов в отношении "всаливания" и "высаливания" определяет их позицию в ряде Гофмейстера.

Свободные аминокислоты можно использовать в готовых формах конструкции антитела согласно изобретению в соответствии с различными вариантами реализации изобретения в качестве объемобразующих агентов, стабилизаторов и антиоксидантов, а также для других стандартных применений. Лизин, пролин, серин и аланин можно использовать для стабилизации белков в готовой форме. Глицин применяют при лиофилизации, чтобы гарантировать правильную структуру и свойства лепешки. Аргинин можно применять для ингибирования агрегации белка, как в жидких, так и в лиофилизированных готовых формах. Метионин применяют в качестве антиоксиданта.

Полиолы включают сахара, например, маннит, сахарозу и сорбит, а также многоатомные спирты, такие как, например, глицерин и пропиленгликоль, и, в целях обсуждения в данном документе, полиэтиленгликоль (ПЭГ) и родственные вещества. Полиолы являются космотропными. Они являются полезными стабилизирующими агентами как в жидких, так и в лиофилизированных готовых формах для защиты белков от процессов физической и химической деградации. Полиолы также применяют для корректировки тоничности готовых форм. Среди полиолов, применяемых в выбранных вариантах реализации изобретения, находится маннит, обычно используемый для гарантии структурной стабильности лепешки в лиофилизированных готовых формах. Он гарантирует структурную стабильность лепешки. В общем случае его используют с лиопротектором, например, сахарозой. Сорбит и сахароза находятся среди предпочтительных агентов для корректировки тоничности и применения в качестве стабилизаторов для защиты от стрессов при замораживании-размораживании во время перевозки или приготовления нерасфасованных форм во время процесса производства. Редуцирующие сахара (которые содержат свободные альдегидные или кетонные группы), такие как глюкоза или лактоза, могут гликировать поверхностные

остатки лизина и аргинина. Следовательно, в общем случае они не находятся среди предпочтительных полиолов для применения в соответствии с этим изобретением. Кроме того, сахара, которые образуют реактивные молекулы, такие как сахароза, которая гидролизуеться до фруктозы и глюкозы в кислых условиях и впоследствии приводит к гликированию, в связи с этим также не находятся среди предпочтительных полиолов согласно изобретению. ПЭГ применяют для стабилизации белков и в качестве криопротектора, и в связи с этим его можно применять в данном изобретении.

Варианты реализации конструкции антители согласно изобретению дополнительно включают поверхностно-активные вещества. Белковые молекулы могут быть восприимчивы к адсорбции на поверхности и денатурации и последующей агрегации на поверхностях раздела воздух-жидкость, твердое вещество-жидкость и жидкость-жидкость. Эти эффекты в общем случае обратно пропорциональны концентрации белка и, как правило, усугубляются физическим взбалтыванием, таким как возникает во время перевозки и работы с продуктом. Поверхностно-активные вещества обычно используют для предотвращения, минимизации или снижения поверхностной адсорбции. В этой связи применимые поверхностно-активные вещества согласно изобретению включают полисорбат 20, полисорбат 80, другие сложные эфиры жирных кислот полиэтоксилатов сорбитана и полоксамер 188. Поверхностно-активные вещества также обычно используют, чтобы регулировать конформационную стабильность белка. Применение поверхностно-активных веществ в этой связи является белок-специфическим, так как любое заданное поверхностно-активное вещество будет стабилизировать одни белки и дестабилизировать другие.

Полисорбаты чувствительны к окислительной деградации и часто в том виде, в котором они поставляются, содержат достаточные количества пероксидов, чтобы вызывать окисление боковых цепей белковых остатков, в особенности метионина. Следовательно, полисорбаты нужно использовать осторожно, а при использовании их следует применять в самой низкой эффективной концентрации. В этой связи полисорбаты являются примером общего правила, что вспомогательные вещества следует применять в самой низкой эффективной концентрации.

Варианты реализации готовых форм конструкции антители согласно изобретению дополнительно включают применение одного или более антиоксидантов. Вредное окисление белков в фармацевтических готовых формах можно в некоторой степени предотвратить, поддерживая надлежащие внешние уровни кислорода и температуры и избегая воздействия света. Также можно использовать вспомогательные вещества антиокислительного действия для предотвращения окислительной деградации белков. Среди применимых в этой связи антиоксидантов находятся восстановительные агенты, ловушки для кислорода/свободных радикалов и хелатирующие агенты. Антиоксиданты для применения в терапевтических белковых готовых формах в соответствии с изобретением предпочтительно растворимы в воде и сохраняют свою активность в продолжение срока годности продукта. ЭДТК является предпочтительным в этой связи антиоксидантом в соответствии с изобретением. Антиоксиданты могут повреждать белки. Например, восстановительные агенты, такие как, в частности, глутатион, могут разрушать внутримолекулярные дисульфидные связи. Таким образом, антиоксиданты для применения в изобретении выбирают так, чтобы, помимо прочего, устранить или существенно снизить возможность повреждения ими белков в готовой форме.

Готовые формы в соответствии с изобретением могут содержать ионы металлов, которые являются кофакторами белков и необходимы для образования координационных комплексов белков, например, как цинк, необходимый для образования некоторых суспензий инсулина. Ионы металлов также могут ингибировать некоторые процессы, которые разрушают белки. Однако ионы металлов также могут катализировать физические и химические процессы, которые разрушают белки. Ионы магния (10-120 мМ) можно использовать для ингибирования изомеризации аспарагиновой кислоты до изоаспарагиновой кислоты. Ионы Ca^{+2} (до 100 мМ) могут повышать стабильность человеческой дезоксирибонуклеазы. Однако Mg^{+2} , Mn^{+2} и Zn^{+2} могут дестабилизировать рекомбинантную человеческую ДНКазу. Аналогично, Ca^{+2} и Sr^{+2} могут стабилизировать фактор VIII, при этом он может дестабилизироваться Mg^{+2} , Mn^{+2} и Zn^{+2} , Cu^{+2} и Fe^{+2} , а его агрегация может повышаться ионами Al^{+3} .

Варианты реализации готовых форм конструкции антители согласно изобретению дополнительно включают применение одного или более консервантов. Консерванты необходимы при разработке многодозовых парентеральных готовых форм, которые предполагают более одного набора из одного и того же контейнера. Их основной функцией является ингибирование роста микроорганизмов и гарантия стерильности продукта на протяжении срока годности или срока применения лекарственного продукта. Обычно используемые консерванты включают бензиловый спирт, фенол и м-крезол. Хотя консерванты давно применяют с низкомолекулярными парентеральными средствами, разработка белковых готовых форм, которые содержат консерванты, может оказаться проблематичной. Консерванты почти всегда оказывают дестабилизирующее действие (агрегация) на белки, и это стало основным фактором в ограничении их применения в многодозовых белковых готовых формах. На данный момент большинство белковых лекарственных препаратов готовят исключительно для одного применения. При этом, в случае возможности многодозовых готовых форм, они имеют дополнительное преимущество обеспечения удобства для пациента и повышения конкурентоспособности на рынке. Хороший пример связан с человеческим гор-

моном роста (hGH), когда разработка содержащих консерванты готовых форм привела к коммерческой реализации более удобных, многоразовых шприцов-ручек. На сегодня по меньшей мере четыре таких устройства-ручки, содержащих готовые формы hGH с консервантами, доступны на рынке. Нордитропин (жидкий, Novo Nordisk), нутропин AQ (жидкий, Genentech) и генотропин (лиофилизированный, с двухкамерным картриджем, Pharmacia & Upjohn) содержат фенол, тогда как соматроп (Eli Lilly) приготовлен с м-крезолом. При приготовлении и разработке содержащих консерванты дозированных форм необходимо учитывать несколько аспектов. Эффективная концентрация консерванта в лекарственном продукте должна быть оптимизирована. Это требует тестирования данного консерванта в дозированной форме в концентрационном диапазоне, который обеспечивает противомикробную эффективность, не нарушая стабильность белка.

Как можно ожидать, разработка жидких готовых форм, содержащих консерванты, является более сложной, чем в случае лиофилизированных готовых форм. Высушенные сублимацией продукты можно лиофилизировать без консерванта и восстанавливать с помощью содержащего консервант растворителя во время использования. Это уменьшает время, в течение которого консервант находится в контакте с белком, что существенно минимизирует связанный с ним риск в отношении стабильности. В случае жидких готовых форм эффективность и стабильность консерванта должна сохраняться в продолжении всего срока годности продукта (от около 18 до 24 месяцев). Важным моментом, который стоит отметить, является то, что эффективность консерванта должна проявляться в конечной готовой форме, содержащей активный лекарственный препарат и все вспомогательные компоненты.

Описанные в данном документе конструкции антител также можно готовить в виде иммунолипосом. "Липосома" представляет собой маленькую везикулу, состоящую из различного типа липидов, фосфолипидов и/или поверхностно-активного вещества, которую используют для доставки лекарственного препарата в организм млекопитающих. Компоненты липосомы обычно имеют бислоевое упорядочение, аналогично липидному упорядочению биологических мембран. Липосомы, содержащие конструкцию антитела, готовят известными в данной области техники способами, такими как описанные в Epstein et al., Proc. Natl. Acad. Sci. USA, 82: 3688 (1985); Hwang et al., Proc. Natl. Acad. Sci. USA, 77: 4030 (1980); патентах США № 4485045 и 4544545; и WO 97/38731. Липосомы с увеличенным временем нахождения в циркуляции описаны в патенте США № 5013556. В особенности применимые липосомы можно создавать методом обращенно-фазового выпаривания с липидной композицией, содержащей фосфатидилхолин, холестерин и ПЭГ-derivatизированный фосфатидилэтаноламин (ПЭГ-ФЭ). Липосомы пропускают через фильтры с определенным размером пор для получения липосом с необходимым диаметром. Фрагменты Fab' конструкции антитела согласно данному изобретению можно конъюгировать к липосомам, как описано в Martin et al. J. Biol. Chem. 257: 286-288 (1982), посредством реакции дисульфидного обмена. В липосоме необязательно содержится химиотерапевтический агент. Смотрите Gabizon et al. J. National Cancer Inst. 81 (19) 1484 (1989).

После приготовления фармацевтической композиции ее можно хранить в стерильных флаконах в виде раствора, суспензии, геля, эмульсии, твердого вещества, кристалла или в виде обезвоженного или лиофилизированного порошка. Такие готовые формы можно хранить в готовой для применения форме или в форме (например, лиофилизированной), которую восстанавливают перед введением.

Биологическую активность определенной в данном документе фармацевтической композиции можно определить, например, с помощью анализа цитотоксичности, как описано в нижеприведенных примерах, в WO 99/54440 или в Schlereth et al. (Cancer Immunol. Immunother. 20 (2005), 1-12). В контексте данного документа "эффективность" или "in vivo эффективность" относится к ответу на терапию фармацевтической композицией согласно изобретению, оцениваемому по стандартизированным критериям ответа NCI (Национального института рака). Успех или in vivo эффективность терапии с применением фармацевтической композиции согласно изобретению относится к эффективности композиции в отношении ее предполагаемой цели, т.е. способности композиции оказывать желаемое действие, т.е. уничтожение патологических клеток, например, опухолевых клеток. In vivo эффективность можно отслеживать с помощью общепринятых стандартных методов для соответствующих нозологических форм, включая, но не ограничиваясь этим, число белых кровяных телец, лейкоцитарную формулу, сортировку флуоресцентно-активированных клеток, аспирацию костного мозга. Кроме того, можно использовать различные специфические для заболевания клинические химические параметры и другие общепринятые стандартные методы. Кроме того, можно использовать компьютерную томографию, рентгеновское исследование, ядерную магнитно-резонансную томографию (например, для оценки ответа на основании критериев Национального института рака [Cheson BD, Horning SJ, Coiffier B, Shipp MA, Fisher RI, Connors JM, Lister TA, Vose J, Grillo-Lopez A, Hagenbeek A, Cabanillas F, Klippensten D, Hiddemann W, Castellino R, Harris NL, Armitage JO, Carter W, Hoppe R, Canellos GP. Доклад на международном семинаре по стандартизированным критериям ответа для неходжкинских лимфом. NCI Sponsored International Working Group. J Clin Oncol. 1999 Apr; 17(4):1244]), сканирование методом позитронно-эмиссионной томографии, число белых кровяных телец, лейкоцитарную формулу, сортировку флуоресцентно-активированных клеток, аспирацию костного мозга, биопсию/гистологию лимфатических узлов и различные специфические в отношении лимфомы клинические химические параметры (например, уровень лактат дегидрогеназы) и другие

общепринятые стандартные методы.

Другой основной задачей при разработке лекарственных препаратов, таких как фармацевтическая композиция согласно изобретению, является прогнозируемая модуляция фармакокинетических свойств. С этой целью можно устанавливать фармакокинетический профиль кандидатного лекарственного препарата, т.е. профиль фармакокинетических параметров, которые влияют на способность конкретного лекарственного препарата лечить заданное патологическое состояние. Фармакокинетические параметры лекарственного препарата, влияющие на способность лекарственного препарата лечить определенную нозологическую форму, включают, но не ограничиваются этим: время полужизни, объем распределения, пресистемный метаболизм в печени и степень связывания сыворотки крови. На эффективность заданного лекарственного агента может влиять каждый из вышеупомянутых параметров. Подразумеваемой характеристикой конструкций антител согласно данному изобретению, предоставляемых со специфической модальностью FC, является то, что они влекут за собой, например, разницу в фармакокинетическом поведении. Нацеливающая конструкция антитела с продленным временем полужизни в соответствии с данным изобретением предпочтительно демонстрирует неожиданно возросшее время удержания *in vivo* по сравнению с "каноническими" не-HLE версиями указанной конструкции антитела.

"Время полужизни" означает время, за которое выводится 50% введенного лекарственного препарата посредством биологических процессов, например, метаболизма, экскреции и т.д. Под "пресистемным метаболизмом в печени" подразумевается подверженность лекарственного препарата метаболизму после первого контакта с печенью, т.е. во время первого прохождения через печень. "Объем распределения" означает степень удержания лекарственного препарата в различных компартментах организма, таких как, например, внутриклеточное и внеклеточное пространство, ткани или органы и т.д., и распределение лекарственного препарата в этих компартментах. "Степень связывания сыворотки крови" означает предрасположенность лекарственного препарата к взаимодействию и связыванию с белками сыворотки крови, такими как альбумин, что приводит к снижению или утрате биологической активности лекарственного препарата.

Фармакокинетические параметры также включают биодоступность, временной лаг (Tlag), Tmax, скорость всасывания, начало действия и/или Cmax для заданного количества вводимого лекарственного препарата. "Биодоступность" означает количество лекарственного препарата в кровяном компартменте. "Временной лаг" означает время запаздывания между введением лекарственного препарата и его выявлением и возможностью определения в крови или плазме. "Tmax" представляет собой время, через которое достигается максимальная концентрация лекарственного препарата в крови, а "Cmax" представляет максимальную концентрацию в крови, получаемую при применении данного лекарственного препарата. На время, необходимое для достижения концентрации лекарственного препарата в крови или ткани, которая требуется для биологического действия, влияют все параметры.

Фармакокинетические параметры биспецифических конструкций антител, демонстрирующих межвидовую специфичность, которые можно определить в доклинических исследованиях на животных для отличных от шимпанзе приматов, как указано выше, также приведены, например, в публикации Schlereth et al. (Cancer Immunol. Immunother. 20 (2005), 1-12).

В предпочтительном аспекте изобретения фармацевтическая композиция является стабильной по меньшей мере в течение четырех недель при около -20°C. Как очевидно из прилагающихся примеров, качество конструкции антитела согласно изобретению по сравнению с качеством соответствующих существующему уровню техники конструкций антител можно исследовать, используя разные системы. Понятно, что эти исследования согласуются с "ICH Harmonised Tripartite Guideline: Stability Testing of Biotechnological/Biological Products Q5C and Specifications: Test procedures and Acceptance Criteria for Biotech Biotechnological/Biological Products Q6B" и, следовательно, выбраны так, чтобы обеспечивать указывающий на стабильность профиль, который обеспечивает достоверность выявления изменений в идентичности, чистоте и эффективности продукта. Общеизвестно, что термин чистота является относительным термином. Вследствие действия гликозилирования, деамидирования или другой гетерогенности абсолютную чистоту биотехнологического/биологического продукта, как правило, следует оценивать более чем одним способом, а полученное значение чистоты зависит от способа. В целях испытания стабильности, исследования в отношении чистоты должны фокусироваться на способах определения продуктов деградации.

Для оценки качества фармацевтической композиции, содержащей конструкцию антитела согласно изобретению, можно проводить анализ, например, анализируя содержание растворимых агрегатов в растворе (ВМК, оцениваемые с помощью эксклюзионной хроматографии). Предпочтительно, чтобы стабильность в течение по меньшей мере четырех недель при около -20°C характеризовалась содержанием менее 1,5% ВМК, предпочтительно менее 1% ВМК.

Предпочтительная готовая форма конструкции антитела в виде фармацевтической композиции может, например, содержать компоненты готовой формы, описанные ниже.

Готовая форма: фосфат калия, L-аргинина гидрохлорид, дигидрат трегалозы, полисорбат 80 при pH 6,0.

Другие примеры оценки стабильности конструкции антитела согласно изобретению в форме фар-

мацевтической композиции приведены в прилагающихся примерах 4-12. В этих примерах варианты реализации конструкций антител согласно изобретению исследуют в отношении разных стрессовых условий в разных фармацевтических готовых формах, а результаты сравнивают с другими продлевающими время полужизни (HLE) форматами биспецифической конструкции антитела, вовлекающей Т-клетки, известными в данной области техники. В общем случае подразумевается, что конструкции антител, имеющие специфическую модальность FC, в соответствии с данным изобретением, как правило, являются более стабильными в широком ряде стрессовых условий, таких как температурный и световой стресс, по сравнению с конструкциями антител, имеющими разные HLE-форматы, и в отсутствие какого-либо HLE-формата (т.е. "каноническими" конструкциями антител). Указанная температурная стабильность может относиться как к пониженной (ниже комнатной температуры, включая замораживание), так и к повышенной (выше комнатной температуры, включая температуры до или выше температуры тела) температуре. Как понятно специалисту в данной области техники, такая улучшенная стабильность в отношении стресса, которого трудно избежать при клинической практической реализации, делает конструкцию антитела более безопасной, так как при клинической практической реализации возникает меньше продуктов деградации. Соответственно, указанная повышенная стабильность означает повышенную безопасность.

В одном варианте реализации предложена конструкция антитела согласно изобретению или конструкция антитела, полученная в соответствии со способом согласно изобретению, для применения в предотвращении, лечении или уменьшении интенсивности пролиферативного заболевания, опухолевого заболевания, вирусного заболевания или иммунологического нарушения.

Описанные в данном документе готовые формы применимы в качестве фармацевтических композиций в лечении, уменьшении интенсивности и/или предотвращении описанного в данном документе патологического состояния у нуждающегося в этом пациента. Термин "лечение" относится как к терапевтическому лечению, так и к профилактическим или превентивным мерам. Лечение включает применение или введение готовой формы в организм, выделенную ткань или клетку пациента, который имеет заболевание/нарушение, симптом заболевания/нарушения или предрасположенность к заболеванию/нарушению, с целью лечения, излечения, смягчения, облегчения, изменения, исправления, уменьшения интенсивности, улучшения или воздействия на заболевание, симптом заболевания или предрасположенность к заболеванию.

В контексте данного документа термин "уменьшение интенсивности" относится к любому улучшению состояния заболевания у пациента, имеющего опухоль или рак, или метастатический рак, указанные ниже в данном документе, посредством введения нуждающемуся в этом субъекту конструкции антитела в соответствии с изобретением. Такое улучшение также может проявляться как замедление или прекращение прогрессирования опухоли или рака, или метастатического рака пациента. В контексте данного документа термин "предотвращение" означает предупреждение появления или повторного появления пациента, имеющего опухоль или рак, или метастатический рак, указанные ниже в данном документе, посредством введения нуждающемуся в этом субъекту конструкции антитела в соответствии с изобретением.

Термин "заболевание" относится к любому патологическому состоянию, на которое лечение описанными в данном документе конструкцией антитела или фармацевтической композицией оказало бы благоприятное действие. Он включает хронические и острые нарушения или заболевания, включая те патологические состояния, которые являются причиной предрасположенности млекопитающего к рассматриваемому заболеванию.

"Новообразование" представляет собой аномальное разрастание ткани, обычно, но не всегда образующее массу. При образовании массы оно также называется "опухолью". Новообразования или опухоли могут быть доброкачественными, потенциально злокачественными (предраковыми) или злокачественными.

Злокачественные новообразования обычно называют раком. Они обычно инвазируют и разрушают окружающую ткань и могут образовывать метастазы, т.е. они распространяются в другие части, ткани или органы тела. Следовательно, термин "метастатический рак" включает метастазы в другие ткани или органы помимо тех, где находится исходная опухоль. Лимфомы и лейкозы являются лимфоидными новообразованиями. В целях данного изобретения они также включены в термины "опухоль" или "рак".

Термин "вирусное заболевание" описывает заболевания, которые возникают в результате вирусной инфекции у субъекта.

В контексте данного документа термин "иммунологическое нарушение" описывает, наряду с обычным определением этого термина, иммунологические нарушения, такие как аутоиммунные заболевания, гиперчувствительность, иммунодефицит.

В одном варианте реализации в изобретении предложен способ лечения или уменьшения интенсивности пролиферативного заболевания, опухолевого заболевания или иммунологического заболевания, включающий этап введения нуждающемуся в этом субъекту конструкции антитела согласно изобретению или конструкции, полученной в соответствии со способом согласно изобретению.

Термины "нуждающийся субъект" или "нуждающийся в лечении" включают тех, у кого уже есть

нарушение, а также тех, у кого необходимо предотвратить нарушение. Нуждающийся субъект или "пациент" включает людей или других млекопитающих субъектов, которые получают профилактическое или терапевтическое лечение.

Конструкция антитела согласно изобретению в общем случае сконструирована для конкретных путей и способов введения, для конкретных дозировок и частоты введения, для конкретных вариантов лечения конкретных заболеваний, с определенными диапазонами биодоступности и способности сохранения в организме, помимо прочего. Материалы композиции предпочтительно готовят в концентрациях, которые являются приемлемыми для данного участка введения.

Таким образом, готовые формы и композиции могут быть получены в соответствии с изобретением для доставки любым подходящим путем введения. В контексте данного изобретения пути введения включают, но не ограничиваются этим

местные пути (такие как накожный, ингаляционный, назальный, глазной, аурикулярный/ушной, вагинальный, мукозальный);

энтеральные пути (такие как пероральный, желудочно-кишечный, подъязычный, сублабиальный, буккальный, ректальный);

парентеральные пути (такие как внутривенный, внутриартериальный, внутрикостный, внутримышечный, внутримозговой, интрацеребровентрикулярный, эпидуральный, интрастекальный, подкожный, внутрибрюшинный, экстраамниотический, внутрисуставной, внутрисердечный, внутрикожный, внутриочаговый, внутриматочный, интравезикальный, интравитреальный, трансдермальный, интраназальный, трансмукозальный, интрасиновиальный, интралюминальный).

Фармацевтические композиции и конструкции антител согласно данному изобретению в особенности применимы для парентерального введения, например, подкожной или внутривенной доставки, например, путем инъекции, такой как болюсная инъекция, или путем инфузии, такой как непрерывная инфузия. Фармацевтические композиции можно вводить с помощью устройства медицинского назначения. Примеры устройств медицинского назначения для введения фармацевтических композиций описаны в патентах США № 4475196; 4439196; 4447224; 4447233; 4486194; 4487603; 4596556; 4790824; 4941880; 5064413; 5312335; 5312335; 5383851 и 5399163.

В частности, в данном изобретении предложено непрерывное введение подходящей композиции. В качестве неограничивающего примера непрерывное или по существу непрерывное, т.е. продолжительное введение можно реализовать с помощью небольшой насосной системы, носимой пациентом, для дозирования подачи терапевтического агента в организм пациента. Фармацевтическую композицию, содержащую конструкцию антитела согласно изобретению, можно вводить, используя указанные насосные системы. В общем случае такие насосные системы известны в данной области техники, а их работа обычно основана на периодической замене картриджей, содержащих предназначенный для инфузии терапевтический агент. Замена картриджа в такой насосной системе влечет за собой временное прерывание или какое-либо иное прерывание потока терапевтического агента в организм пациента. В таком случае фаза введения до замены картриджа и фаза введения после замены картриджа все равно рассматриваются в рамках значения фармацевтических средств и способов согласно изобретению, которые вместе составляют одно "непрерывное введение" такого терапевтического агента.

Продолжительное или непрерывное введение конструкций антител согласно изобретению может быть внутривенным или подкожным и осуществляться посредством устройства для доставки жидкости или небольшой насосной системы, включая механизм направления жидкости для направления жидкости из резервуара и приводной механизм для приведения в действие направляющего механизма. Насосные системы для подкожного введения могут содержать иглу или канюлю для прокалывания кожи пациента и доставки подходящей композиции в организм пациента. Указанные насосные системы могут быть напрямую прикреплены или присоединены к коже пациента независимо от вен, артерий и кровяных сосудов, обеспечивая, таким образом, прямой контакт между насосной системой и кожей пациента. Насосная система может быть присоединена к коже пациента в течение от 24 ч до нескольких суток. Насосная система может иметь небольшой размер с резервуаром для небольших объемов. В качестве неограничивающего примера объем резервуара для предназначенной для введения подходящей фармацевтической композиции может составлять от 0,1 до 50 мл.

Продолжительное введение также может осуществляться трансдермальным путем посредством пластыря, носимого на коже и заменяемого через определенные интервалы. Специалисту в данной области техники известны подходящие для этой цели системы на основе пластырей для доставки лекарственного препарата. Следует отметить, что трансдермальное введение в особенности подходит для непрерывного введения, так как замену первого израсходованного пластыря можно преимущественно осуществлять одновременно с размещением нового, второго пластыря, например, на поверхности кожи, непосредственно вблизи первого израсходованного пластыря и непосредственно перед удалением первого израсходованного пластыря. Не возникает проблем с прерыванием потока или прекращением действия питающей ячейки.

Если фармацевтическая композиция была лиофилизирована, лиофилизированный материал сначала восстанавливают в соответствующей жидкости перед введением. Лيوфилизированный материал можно

восстанавливать, например, в бактериостатической воде для инъекций (БВДИ), физиологическом солевом растворе, фосфатно-солевом буфере (ФСБ) или в том самом составе, в котором белок находился перед лиофилизацией.

Композиции согласно данному изобретению можно вводить субъекту в подходящей дозе, которую можно определить, например, с помощью исследований с повышением дозы путем введения возрастающих доз описанной в данном документе конструкции антитела согласно изобретению, демонстрирующей межвидовую специфичность, отличным от шимпанзе приматам, например, макакам. Как указано выше, описанную в данном документе конструкцию антитела согласно изобретению, демонстрирующую межвидовую специфичность, преимущественно можно использовать в идентичной форме в доклинических исследованиях на отличных от шимпанзе приматах и в качестве лекарственного препарата на людях. Режим дозирования определяется лечащим врачом и клиническими факторами. Как хорошо известно в области медицины, дозировки для любого пациента зависят от многих факторов, включая массу пациента, площадь поверхности тела, возраст, конкретное предназначенное для введения соединение, пол, время и путь введения, общее состояние здоровья и другие одновременно вводимые лекарственные препараты.

Термин "эффективная доза" или "эффективная дозировка" определяется как количество, достаточное для достижения или по меньшей мере частичного достижения желаемого эффекта. Термин "терапевтически эффективная доза" определяется как количество, достаточное для излечения или по меньшей мере частичного прерывания заболевания и его осложнений у пациента, который уже страдает от заболевания. Количества или дозы, эффективные для этого применения, зависят от предназначенного для лечения патологического состояния (показания), доставляемой конструкции антитела, терапевтического контекста и целей, тяжести заболевания, предыдущей терапии, клинической истории пациента и его ответа на терапевтический агент, пути введения, размера (массы тела, поверхности тела или размера органов) и/или состояния (возраста и общего состояния здоровья) пациента, и общего состояния собственной иммунной системы пациента. Надлежащую дозу можно корректировать в соответствии с решением лечащего врача так, чтобы ее можно было вводить пациенту за один раз или посредством серии введений и с целью получения оптимального терапевтического эффекта.

Типичная дозировка может находиться в диапазоне от около 0,1 мкг/кг до около 30 мг/кг или более, в зависимости от вышеупомянутых факторов. В конкретных вариантах реализации изобретения дозировка может находиться в диапазоне от 1,0 мкг/кг до около 20 мг/кг, оптимально от 10 мкг/кг до около 10 мг/кг или от 100 мкг/кг до около 5 мг/кг.

Терапевтически эффективное количество конструкции антитела согласно изобретению предпочтительно приводит к снижению тяжести симптомов заболевания, повышению частоты или длительности бессимптомных периодов или предотвращению нарушений или недееспособности вследствие поражения заболеванием. Для лечения опухолей, экспрессирующих антиген клеток-мишеней, терапевтически эффективное количество конструкции антитела согласно изобретению, например, конструкции антитела к антигену клетки-мишени/CD3, предпочтительно ингибирует рост клеток или рост опухоли по меньшей мере на около 20%, по меньшей мере на около 40%, по меньшей мере на около 50%, по меньшей мере на около 60%, по меньшей мере на около 70%, по меньшей мере на около 80% или по меньшей мере на около 90% по сравнению с не проходящими лечение пациентами. Способность соединения ингибировать рост опухоли можно оценить в животной модели, прогностической в отношении эффективности.

Фармацевтическую композицию можно вводить в виде единственного терапевтического средства или в комбинации с дополнительными вариантами терапии, такими как противораковая терапия, в случае необходимости, например, другими белковыми и небелковыми лекарственными препаратами. Эти лекарственные препараты можно вводить одновременно с композицией, содержащей определенную в данном документе конструкцию антитела согласно изобретению, или отдельно, до или после введения указанной конструкции антитела в определенные временные интервалы и в определенных дозах.

В контексте данного документа термин "эффективная и нетоксичная доза" относится к переносимой дозе конструкции антитела согласно изобретению, которая является достаточно высокой, чтобы приводить к уничтожению патологических клеток, элиминации опухоли, уменьшению размеров опухоли или стабилизации заболевания без или практически без основных токсических явлений. Такие эффективные и нетоксичные дозы можно определить, например, с помощью исследований с повышением дозы, описанных в данной области техники, и они должны быть ниже дозы, индуцирующей серьезные нежелательные побочные явления (дозолимитирующая токсичность, ДЛТ).

В контексте данного документа термин "токсичность" относится к токсическому действию лекарственного препарата, проявляемому в нежелательных явлениях или серьезных нежелательных явлениях. Эти побочные явления могут относиться к отсутствию переносимости лекарственного препарата в целом и/или отсутствию локальной переносимости после введения. Токсичность также может включать тератогенное или карциногенное действие, вызываемое лекарственным препаратом.

В контексте данного документа термин "безопасность", "in vivo безопасность" или "переносимость" определяет введение лекарственного препарата без индукции серьезных нежелательных явлений непосредственно после введения (локальная переносимость) и на протяжении более длительного периода применения лекарственного препарата. "Безопасность", "in vivo безопасность" или "переносимость"

можно оценивать, например, через регулярные интервалы во время лечения и в следующий за ним период. Измерения включают клиническую оценку, например, органные проявления, и исследование лабораторных аномалий. Можно проводить клиническую оценку и записывать/зашифровывать отклонения от нормальных результатов в соответствии со стандартами NCI-CTC и/или MedDRA. Органные проявления могут включать такие критерии, как аллергия/иммунология, кровь/костный мозг, сердечная аритмия, коагуляция и тому подобное, как описано, например, в общих терминологических критериях нежелательных явлений v3.0 (CTCAE). Лабораторные параметры, которые можно исследовать, включают, например, гематологию, клиническую химию, профиль коагуляции и анализ мочи, а также исследование других жидкостей организма, таких как сыворотка, плазма, лимфатическая или спинномозговая жидкость, ликвор и тому подобное. Таким образом, безопасность можно оценить, например, посредством физического осмотра, методов визуализации (т.е. ультразвукового исследования, рентгеновского исследования, КТ-сканов, магнито-резонансной томографии (МРТ), других измерений с помощью технических устройств (т.е. электрокардиограммы), показателей жизнедеятельности, путем измерения лабораторных параметров и записи нежелательных явлений. Например, нежелательные явления у отличных от шимпанзе приматов в применениях и способах согласно изобретению можно исследовать гистопатологическими и/или гистохимическими способами.

Вышеуказанные термины также перечислены, например, в Preclinical safety evaluation of biotechnology-derived Pharmaceuticals S6; ICH Harmonised Tripartite Guideline; ICH Steering Committee meeting on July 16, 1997.

И наконец, в изобретении предложен набор, содержащий конструкцию антитела согласно изобретению или полученную в соответствии со способом согласно изобретению, фармацевтическую композицию согласно изобретению, полинуклеотид согласно изобретению, вектор согласно изобретению и/или клетку-хозяина согласно изобретению.

В контексте данного изобретения термин "набор" означает два или более компонентов, один из которых соответствует конструкции антитела, фармацевтической композиции, вектору или клетке-хозяину согласно изобретению, упакованным вместе в контейнере, приемнике или каким-либо другим образом. Следовательно, набор может быть описан как набор продуктов и/или принадлежностей, достаточный для достижения определенной цели, который может поступать в продажу в виде отдельной единицы.

Набор может содержать один или более приемников (таких как флаконы, ампулы, контейнеры, шприцы, бутылки, пакеты) любой подходящей формы, размера и из любого материала (предпочтительно водонепроницаемого, например, пластика или стекла), содержащих конструкцию антитела или фармацевтическую композицию согласно данному изобретению в подходящей для введения дозировке (смотрите выше). Набор может дополнительно содержать указания по применению (например, в форме вкладыша или инструкции по применению), средства для введения конструкции антитела согласно данному изобретению, такие как шприц, насос, инфузионное устройство и тому подобное, средства для восстановления конструкции антитела согласно изобретению и/или средства для разведения конструкции антитела согласно изобретению.

В изобретении также предложены наборы для устройства для однократного введения. Набор согласно изобретению также может содержать первый приемник, содержащий высушенную/лиофилизированную конструкцию антитела, и второй приемник, содержащий водную готовую форму. В определенных вариантах реализации данного изобретения предложены наборы, содержащие однокамерные и многокамерные предварительно наполненные шприцы (например, шприцы с жидкостью или шприцы с лиофилизатом).

Следует отметить, что в контексте данного документа формы единственного числа включают множественное число, если иное четко не следует из контекста. Таким образом, например, ссылка на "реагент" включает один или более таких разных реагентов, а ссылка на "способ" включает ссылку на эквивалентные этапы и способы, известные специалистам в данной области техники, которые можно модифицировать или заменить на описанные в данном документе способы.

Если не указано иное, термин "по меньшей мере", предвещающий ряд элементов, следует понимать как относящийся к каждому элементу в ряде. Специалисты в данной области техники признают наличие или смогут определить, используя всего лишь рутинные эксперименты, многие эквиваленты конкретным вариантам реализации изобретения, описанным в данном документе. Подразумевается, что такие эквиваленты включены в данное изобретение.

В контексте данного документа термин "и/или" включает значение "и", "или" и "все или любая комбинация элементов, объединяемых указанным термином".

В контексте данного документа термин "около" или "приблизительно" означает в пределах 20%, предпочтительно в пределах 10% и более предпочтительно в пределах 5% заданной величины или диапазона. При этом он включает также конкретное число, например, около 20 включает 20.

Термины "меньше чем" или "больше чем" включают конкретное число. Например, меньше чем 20 означает меньше или равно. Аналогично, более чем или больше чем означает более или равно или больше или равно соответственно.

В тексте описания и в нижеприведенной формуле изобретения, если иное не следует из контекста,

слово "содержать" и его вариации, такие как "содержит" и "содержащий" следует понимать как подразумевающее включение указанного целого числа или этапа или группы целых чисел или этапов, но не исключение любого другого целого числа или этапа или группы целых чисел или этапов. В контексте данного документа термин "содержащий" можно заменить термином "вещающий" или "включающий" или иногда термином "имеющий".

В контексте данного документа выражение "состоящий из" исключает любой элемент, этап или ингредиент, не указанный в заявляемом элементе. В контексте данного документа выражение "состоящий преимущественно из" не исключает материалы или этапы, которые не оказывают материального влияния на основные и новые характеристики заявляемого предмета.

В каждом случае любой из терминов "содержащий", "состоящий преимущественно из" и "состоящий из" можно заменить любым из оставшихся двух терминов.

Следует понимать, что данное изобретение не ограничено конкретными методологиями, протоколами, материалами, реагентами и веществами и т.д., описанными в данном документе, и, следовательно, может варьироваться. Употребляемая в данном документе терминология используется только в целях описания конкретных вариантов реализации, и не подразумевает ограничения данного изобретения, которое определяется исключительно формулой изобретения.

Все публикации и патенты, цитируемые в тексте этого описания (включая все патенты, патентные заявки, научные публикации, спецификации производителей, инструкции и т.д.), выше или ниже, в полном объеме включены в данный документ посредством ссылки. Ничто в данном документе не следует воспринимать как признание того, что данное изобретение не имеет права противопоставлять такое описание на основании более раннего изобретения. В тех случаях, когда включенный посредством ссылки материал противоречит или не согласуется с данным описанием, это описание имеет приоритет относительно любого такого материала.

Лучшее понимание данного изобретения и его преимуществ обеспечат следующие примеры, приведенные исключительно в иллюстративных целях. Подразумевается, что примеры не ограничивают объем данного изобретения каким-либо образом.

Пример 1. Индуцированная ViTE® экспрессия CD69 на Т-клетках в отсутствие клеток-мишеней.

Выделенные МКПК от здоровых человеческих доноров культивировали с возрастающими количествами биспецифических HLE-конструкций антител к CDH19/CD3 или MSLN/CD3 в течение 48 ч. Экспрессию маркера активации CD69 на Т-клетках определяли с помощью иммуоокрашивания и проточной цитометрии и антиген-специфических конъюгатов mAb.

Независимую от мишени активацию Т-клеток в контексте повышающей регуляции CD69 наблюдали для всех анти-CDH 19 конструкций, но наиболее выраженной она была для молекул гетеро-Fc и кросстел. Повышение регуляции CD69 анти-CDH19-scFc-конструкцией происходило при более высоких концентрациях, а амплитуда была немного ниже по сравнению с другими конструкциями на основе Fc.

В случае анти-MSLN конструкций практически не наблюдали независимую от мишени активацию Т-клеток для scFc-содержащей молекулы, тогда как конструкция гетеро-Fc индуцировала сильное повышение регуляции CD69 на клеточной поверхности Т-клеток в отсутствие клеток-мишеней.

Независимую от мишени активацию Т-клеток, индуцируемую конструкциями ViTE®, содержащими одноцепочечный Fc или гетеро-Fc слияние в С-конце, оценивали для следующих конструкций:

Конструкции ViTE® (серийные разведения: 0,1 пМ - 2 мкМ)

a. MSLN scFc; 1,14 мг/мл;

b. MSLN гетеро-Fc; 1,02 мг.

Эффекторные клетки - человеческие МКПК (3 донора; #065, #823, #836 (scFc) #401, #415, #433 (гетеро-Fc); #590, #595, 598, #605 (Х-тело)).

Время инкубации - 48 ч.

Определение экспрессии CD69 на Т-клетках CD4⁺ и CD8⁺ с помощью проточного цитометра и антиген-специфических конъюгатов mAb. Результаты смотрите на фиг. 2.

Независимую от мишени активацию Т-клеток, индуцируемую конструкциями антител ViTE®, содержащими одноцепочечный Fc, гетеро-Fc или слияние кросстела в С-конце, оценивали для следующих конструкций:

Конструкции антител ViTE® (серийные разведения: 0,1 пМ - 2 мкМ)

c. CDH19 scFc; 245,3 мкг/мл,

d. CDH-19 гетеро-Fc; 1 мг/мл,

e. CDH19 Х-тело; 6,3 мг/мл.

Эффекторные клетки - человеческие МКПК (от 3 до 4 доноров; #386, #392, #401 (scFc) #282, #284, #287 (гетеро-Fc)).

Время инкубации - 48 ч.

Определение экспрессии CD69 на Т-клетках CD4⁺ и CD8⁺ с помощью проточного цитометра и антиген-специфических конъюгатов mAb. Результаты смотрите на фиг. 3.

Независимую от мишени активацию Т-клеток в контексте повышающей регуляции CD69 наблюда-

ли для нескольких биспецифических конструкций, исследуемых в этих анализах. Повышающая регуляция CD69 в общем случае была более выражена для канонических конструкций антител ViTE®, молекул гетеро-Fc и кросстел по сравнению с соответствующими конструкциями scFc. Повышение регуляции CD69 конструкциями scFc происходило в общем случае при немного больших концентрациях, а амплитуда была немного ниже по сравнению с другими двумя конструкциями на основе Fc.

В случае анти-CDH19-scFc-конструкции не наблюдали независимую от мишени активацию Т-клеток, тогда как конструкции гетеро-Fc и X-тела индуцировали сильное повышение регуляции CD69 на клеточной поверхности Т-клеток в отсутствие клеток-мишеней.

Кроме того, не наблюдали независимое от мишени повышение регуляции CD69 в анализе с применением анти-CD33 и анти-Flt-3 конструкций. Из-за экспрессии мишени на клетках миелоидной линии дифференцировки эти клетки удаляли перед проведением анализа. Эти данные свидетельствуют о том, что взаимодействие Fc-областей биспецифических конструкций с FcγR-экспрессирующими клетками может отвечать за независимую от мишени индукцию CD69 на Т-клетках.

Сильное повышение регуляции CD69 на Т-клетках анти-CD70-scFc-конструкцией в отсутствие опухолевых клеточных линий происходит вследствие экспрессии CD70 на Т-клетках.

Материалы и методы.

1. CD19.

Независимая от мишени активация Т-клеток, индуцируемая конструкциями антител ViTE®, содержащими одноцепочечный Fc, для следующей конструкции:

1. Конструкция антитела ViTE® (серийные разведения: 1,3 пМ - 20 нМ).

1. CD19-scFc.

2. Эффекторные клетки - человеческие МКПК (3 донора).

3. Время инкубации - 48 ч.

4. Анализ методом проточной цитометрии экспрессии CD69 на Т-клетках CD4⁺ и CD8⁺ с применением PE-Cy7-конъюгированного mAb, специфического в отношении CD69.

2. CD20.

Независимую от мишени активацию Т-клеток, индуцируемую конструкциями антител ViTE®, содержащими одноцепочечный Fc, гетеро-Fc или слияние кросстела в С-конце, оценивали для следующих конструкций:

1. Конструкции антител ViTE® (серийные разведения: 1,3 пМ - 20 нМ).

1. CD20-hetFc (гетеро-Fc).

2. CD20-scFc.

3. CD20-X-тело (кросстело CD20).

2. Эффекторные клетки - человеческие МКПК (3 донора).

3. Время инкубации - 48 ч.

4. Анализ методом проточной цитометрии экспрессии CD69 на Т-клетках CD4⁺ и CD8⁺ с применением PE-Cy7-конъюгированного mAb, специфического в отношении CD69.

3. CD33.

Независимую от мишени активацию Т-клеток, индуцируемую конструкциями антител ViTE®, содержащими одноцепочечный Fc, гетеро-Fc или слияние кросстела в С-конце, оценивали для следующих конструкций:

1. Конструкции антител ViTE® (серийные разведения: 1,3 пМ - 20 нМ).

1. CD33-каноническое.

2. CD33-scFc.

3. CD33-hetFc.

4. CD33-X-тело.

2. Эффекторные клетки - человеческие МКПК (3 донора).

3. Время инкубации - 48 ч.

4. Анализ методом проточной цитометрии экспрессии CD69 на Т-клетках CD4⁺ и CD8⁺ с применением PE-Cy7-конъюгированного mAb, специфического в отношении CD69.

4. CDH19.

Независимую от мишени активацию Т-клеток, индуцируемую конструкциями антител ViTE®, содержащими одноцепочечный Fc, гетеро-Fc или слияние кросстела в С-конце, оценивали для следующих конструкций:

1. Конструкции антител ViTE® (серийные разведения: 1,3 пМ - 20 нМ).

1. CDH19-scFc.

2. CDH19-hetFc.

3. CDH19-X-тело.

2. Эффекторные клетки - человеческие МКПК (3 донора).

3. Время инкубации - 48 ч.

4. Анализ методом проточной цитометрии экспрессии CD69 на Т-клетках CD4⁺ и CD8⁺ с приме-

нием PE-Cy7-конъюгированного mAb, специфического в отношении CD69.

5. MSLN.

Независимую от мишени активацию Т-клеток, индуцируемую конструкциями антител ViTE®, содержащими одноцепочечный Fc, гетеро-Fc или слияние кросстела в С-конце, оценивали для следующих конструкций:

1. Конструкции антител ViTE® (серийные разведения: 1,3 пМ - 20 нМ).

1. MSLN-scFc.

2. MSLN-hetFc.

3. MSLN-X-тело.

2. Эффекторные клетки - человеческие МКПК (3 донора).

3. Время инкубации - 48 ч.

4. Анализ методом проточной цитометрии экспрессии CD69 на Т-клетках CD4⁺ и CD8⁺ с применением PE-Cy7-конъюгированного mAb, специфического в отношении CD69.

6. EGFRvIII.

Независимую от мишени активацию Т-клеток, индуцируемую конструкциями антител ViTE®, содержащими одноцепочечный Fc или гетеро-Fc, оценивали для следующих конструкций:

1. Конструкции антител ViTE® (серийные разведения: 1,3 пМ - 20 нМ).

1. EGFRvIII-каноническое.

2. EGFRvIII-scFc.

3. EGFRvIII-hetFc.

2. Эффекторные клетки - человеческие МКПК (3 донора).

3. Время инкубации - 48 ч.

4. Анализ методом проточной цитометрии экспрессии CD69 на Т-клетках CD4⁺ и CD8⁺ с применением PE-Cy7-конъюгированного mAb, специфического в отношении CD69.

7. DLL3.

Независимую от мишени активацию Т-клеток, индуцируемую конструкциями антител ViTE®, содержащими одноцепочечный Fc или гетеро-Fc, оценивали для следующих конструкций:

1. Конструкции антител ViTE® (серийные разведения: 1,3 пМ - 20 нМ).

1. DLL3-каноническое.

2. DLL3-scFc.

3. DLL3-hetFc.

2. Эффекторные клетки - человеческие МКПК (3 донора).

3. Время инкубации - 48 ч.

4. Анализ методом проточной цитометрии экспрессии CD69 на Т-клетках CD4⁺ и CD8⁺ с применением PE-Cy7-конъюгированного mAb, специфического в отношении CD69.

8. CD70.

Независимую от мишени активацию Т-клеток, индуцируемую конструкциями антител ViTE®, содержащими одноцепочечный Fc, оценивали для следующей конструкции:

1. Конструкция антитела ViTE® (серийные разведения: 1,3 пМ - 20 нМ).

1. CD70-scFc.

2. Эффекторные клетки - человеческие МКПК (3 донора).

3. Время инкубации - 48 ч.

4. Анализ методом проточной цитометрии экспрессии CD69 на Т-клетках CD4⁺ и CD8⁺ с применением PE-Cy7-конъюгированного mAb, специфического в отношении CD69.

9. FLT3.

Независимую от мишени активацию Т-клеток, индуцируемую конструкциями антител ViTE®, содержащими одноцепочечный Fc, оценивали для следующей конструкции:

1. Конструкция антитела ViTE® (серийные разведения: 1,3 пМ - 20 нМ).

1. FLT3-scFc.

2. Эффекторные клетки - человеческие МКПК (3 донора; без клеток CD14⁺/CD33⁺).

3. Время инкубации - 48 ч.

4. Анализ методом проточной цитометрии экспрессии CD69 на Т-клетках CD4⁺ и CD8⁺ с применением PE-Cy7-конъюгированного mAb, специфического в отношении CD69.

Пример 2.

Очищенные конструкции антител ViTE® наносили на планшет Maxisorb в снижающейся концентрации (100 нМ, 1:4 разведение). После 3х промывок ФСБ-Т и блокирования ФСБ/3% (мас./об.) БСА (60 мин, 37°C) объединенную человеческую плазму инкубировали в течение 60 мин, при 80 об/мин при комнатной температуре. После 3х промывок добавляли мышинное моноклональное антитело, специфическое в отношении субъединицы А человеческого C1q (CC1q) (Thermo MA1-83963, 1:500) в течение 60 мин, при 80 об/мин при комнатной температуре, после описанных этапов промывки козье антимышиное Fc-ROX mAb (1:5000) инкубировали в течение 60 мин, при 80 об/мин при комнатной температуре. После

дополнительной промывки инкубировали ТМБ-субстрат и прекращали после колориметрической реакции путем добавления H_2SO_4 . Поглощение определяли на 450 нм.

Результат. Как изображено на фиг. 4, при высоких концентрациях конструкция ViTE® на основе гетеро-Fc (квадраты) демонстрировала более высокие сигналы связывания в отношении человеческого CC1q по сравнению с конструкцией ViTE® на основе одноцепочечного Fc (треугольники). В качестве отрицательного контроля использовали каноническое ViTE® (круги), которое не демонстрировало существенного связывания CC1q.

Пример 3. Фармакокинетика конструкций антител ViTE®, слитых с продлевающими время полужизни модальностями.

Различные связывающие мишень конструкции антител ViTE® сливали с четырьмя разными продлевающими время полужизни компонентами. Все разные HLE-варианты, доступные для конструкции антитела ViTE®, исследовали на яванских макаках в контексте фармакокинетических (ФК) исследований. Их последовательно назвали ViTE®-scFc, ViTE®-hetFc, ViTE®-HALB, ViTE®-X-тело, а также каноническое ViTE®, в соответствии с продлевающей время полужизни модальностью, присоединенной к связывающей мишень конструкции. Соответствующая номенклатура этих молекул кратко обобщена в табл. 4 ниже.

Таблица 4

Номенклатура соединений однодозовых конструкций антител ViTE®

синоним соединения	название исследуемого соединения
Соединение 1a	CD33-scFc
Соединение 1b	CD33-hetFc
Соединение 1c	CD33-HALB
Соединение 2a	MSLN-scFc
Соединение 2b	MSLN-hetFc
Соединение 2c	MSLN-HALB
Соединение 2d	MSLN-X-тело
Соединение 3a	CDH19-scFc
Соединение 3b	CDH19-hetFc
Соединение 3c	CDH19-HALB
Соединение 3d	CDH19-H6
Соединение 4a	CD20-scFc
Соединение 4b	CD20-hetFc
Соединение 5a	DLL3-scFc
Соединение 5b	DLL3-hetFc
Соединение 5c	DLL3-HALB
Соединение 6a	EGFRvIIIcc-scFc
Соединение 6b	EGFRvIIIcc-HALB
Соединение 7	FLT3-scFc
Соединение 8	CD70-scFc
Соединение 9	CD19cc-scFc

Конструкции антител ViTE®-HLE вводили в виде внутривенной болюсной инъекции (соединения 1b, 2a-d, 3a/b, 4a/b, 5a-5c, 7-9) и внутривенной инфузии (соединения 1a, 1c, 3c/d, 6a/b, каждое в виде 30-минутной инфузии). Конструкции антител ViTE® вводили в линейном, фармакокинетически релевантном диапазоне доз, составляющем от 3 мкг/кг до 6 мкг/кг, 12 мкг/кг и 15 мкг/кг, соответственно.

Для возможности сравнения приведенные сывороточные концентрации нормализованы относи-

тельно дозы и нормализованы относительно молекулярной массы (описываемой в нмолях).

В случае каждого из вышеприведенных соединений исследовали группу из по меньшей мере двух-трех животных. Собирали образцы крови и готовили сыворотку для определения сывороточных концентраций. Сывороточные уровни конструкций антител ViTE® определяли с помощью иммуноанализа. Анализ проводили путем захвата конструкции антитела ViTE® посредством ее целевого компонента, тогда как антитело, направленное против CD3-связывающей части конструкции, использовали для выявления. Профили сывороточная концентрация - время использовали для определения ФК-параметров.

Соответствующую конфигурацию исследования корректировали относительно характеристик конструкций антител ViTE®.

Продолжительность исследования составляла 1 неделю или 2 недели. Моменты сбора образцов крови могут немного варьироваться и приведены для обеих конфигураций в табл. 5 ниже.

Таблица 5

Время сбора образцов крови во время ФК-исследований. Время может варьироваться между одиночными исследованиями. Время, обозначенное звездочкой, является обязательным и общепринятым для всех исследований

время сбора образцов крови 1-недельная продолжительность исследования [ч]	время сбора образцов крови 2-недельная продолжительность [ч]
0,05/0,085*	0,05/0,085*
0,25	0,25
0,5	0,5
1	1
2	2
4*	4*
8	8
16	16
24*	24*
48*	48*
72*	72*
96	96
120	120
144	144
168*	168*
	216
	240
	264
	336*

Фармакокинетика шестнадцати конструкций антител ViTE®-HLE приведена в качестве примеров. Группа каждого из соединений представляет одну конструкцию антитела ViTE®, слитую с scFc-, hetFc-, HSA- (человеческим альбумином), или кросстело-Fc-формат. Для всех белков сывороточные уровни подлежали количественной оценке для всех моментов времени у всех животных после введения конструкции антитела ViTE®-HLE. ФК-профили демонстрируют двухфазное, экспоненциальное снижение после введения каждого отдельного исследуемого соединения (фиг. 5).

Фармакокинетические параметры определяли, используя стандартные методы некомпартментного анализа (НКА). Используя некомпартментный анализ, оценили следующие ФК-параметры: ППК_{беск.} (площадь под кривой сывороточная концентрация - время), Vss (объем распределения в стационарном состоянии), C_L (системное выведение) и терминальное t_{1/2} (терминальное время полужизни).

ФК-параметры для каждого исследуемого соединения обобщены в виде среднего по n=2 и n=3 соответственно в табл. 6 ниже.

Фармакокинетические параметры различных HLE-вариантов для разных связывающих мишень конструкций ViTE® у яванских макаков

исследуемое соединение	терминальное $t_{1/2}$ [ч]	ППК _{беск.} [нормализация к 15 мкг/кг] [ч*нг/мл]	Cl [мл/ч/кг]	Vss [мл/кг]
Соединение 1a	167	9981	1,4	256
Соединение 1b	95	6159	2,4	235
Соединение 1c	47	4498	3,3	161
Соединение 2a	213	41173	0,4	89
Соединение 2b	116	18745	0,8	78
Соединение 2c	77	28928	1,0	65
Соединение 2d	77	9825	1,5	112
Соединение 3a	61	4109	3,7	129
Соединение 3b	59	4561	3,3	78
Соединение 3c	51	2769	6,8	299
Соединение 3d	3	510	30,0	653
Соединение 4a	97	7816	1,9	181
Соединение 4b	62	3606	4,2	292
Соединение 5a	234	30954	0,5	144
Соединение 5b	173	18299	0,8	166
Соединение 5c	142	26418	0,6	103
Соединение 6a	97	15854	1,0	103
Соединение 6b	48	77271	1,0	64
Соединение 7	64	1971	7,6	395
Соединение 8	122	17093	0,9	119
Соединение 9	210	6729	2,2	540

В целом, ППК_{беск.} для разных связывающих мишень ViTE®, слитых с -scFc, -hetFc, HSA- или модальностью кросстело-HLE, соответственно, находилась в диапазоне от 1971 ч*нг/мл до 77271 ч*нг/мл в зависимости от типа мишени ViTE®. Все проанализированные HLE-слияния достигали значений системного выведения от 0,4 до 7,6 мл/ч/кг. Соответствующий объем распределения находился в диапазоне от 64 до 540 мл/кг. Соединение 3d, каноническое, связывающее мишень соединения 3 ViTE® без продления времени полужизни включено в качестве стандарта. Конструкции антител ViTE® без продления времени полужизни демонстрируют быстрое выведение, низкую сывороточную представленность и, как следствие, короткое терминальное время полужизни. Сравнение терминального времени полужизни в зависимости от модальности обобщено в табл. 7.

Таблица 7

Сравнение терминального времени полужизни в зависимости от модальности в исследованиях на яванских макаках

модальность HLE	терминальное $t_{1/2}$ [ч]
Каноническое BiTE®	3
BiTE®-scFc	61-234
BiTE®-hetFc	48-173
BiTE®-hALB	47-142
BiTE®-кросстело	77

После исследования до четырех продлевающих время полужизни (HLE) компонентов для каждого нацеливающего BiTE®, становится понятно, что компонент -scFc демонстрирует повышение $t_{1/2}$ по сравнению с соответствующими другими продлевающими время полужизни компонентами после введения одной низкой дозы 6, 10, 12 и 15 мкг/кг (смотрите фиг. 6).

Пример 4.

В предварительно составленных лекарственных веществах, содержащих очищенные конструкции MSLN-hALB, MSLN-hFc и MSLN-scFc соответственно, проводили замену буфера посредством ультрафильтрации/диафильтрации с применением мембран с номинальным отсечением по молекулярной массе (НОММ) 10 кДа. Конечную готовую форму получали путем добавления концентрированных исходных растворов. Полученные в результате готовые формы для каждой конструкции приведены в табл. 8. Концентрация целевого белка составляла 1,0 мг/мл. Приготовленные конструкции MSLN наливали до 1 мл во флаконы из стекла типа I, которые закрывали бутылкаучуковыми пробками и обжимали алюминиевыми колпачками. Наполненные флаконы инкубировали при 20, 5, 25 и 37°C. Один флакон с каждой версией подвергали пяти циклам замораживания и размораживания (З/Р). Целевая температура замораживания составляла 29°C. Целевая температура размораживания составляла 2°C. Скорость изменения составляла приблизительно 0,3 К/мин.

Подготовленные сотрудники оценивали видимые частицы в соответствии с методом, описанным Ph Eur 2.9.20. Число видимых частиц на флакон приведено в табл. 8. Число видимых (крупнее 125 мкм) белковых частиц было больше для конструкции MSLN-hFc по сравнению как с конструкцией MSLN-hALB, так и MSLN-scFc.

Таблица 8

Число видимых белковых частиц на флакон для подверженных и не подверженных стрессу (T0) образцов, содержащих разные конструкции BiTE® против мезотелина (MSLN) с продленным временем полужизни

Конструкция	hALB	hFc		scFc	
	K60RTrT	K60RTrT	G40MSuT	K60RTrT	G40MSuT
Число видимых (>125 мкм) белковых частиц на флакон					
T0	0	0	1	0	0
5 циклов З/Р	0	2	2	0	1
2н 5°C	0	2	2	0	0
2н 25°C	0	2	1	0	0
2н 37°C	0	2	2	0	0
4н -20°C	0	2	1	0	0
4н 5°C	0	1	2	0	0
4н 25°C	0	2	2	0	0
4н 37°C	0	2	2	0	0

Вышеописанные образцы также анализировали методом эксклюзионной ультравысокоэффективной хроматографии (ЭХ-УЭЖХ), чтобы количественно оценить процентное содержание высокомолекулярных компонентов (ВМК). ЭХ-УЭЖХ проводили на УЭЖХ-системе AcquityH-Class (Waters), используя 150 мм колонку Acquity UPLC BEH200 SEC (Waters). Температура колонки была установлена на 25°C. Разделение размерных вариантов обеспечивали применением изократического метода со скоростью по-

тока 0,4 мл/мин. Подвижная фаза состояла из 100 мМ фосфата натрия, 250 мМ NaCl при pH 6,8. Время анализа составляло в целом 6,0 мин. Образцы держали при 8°C в автодозаторе до проведения анализа. Инжектировали общее количество белка 3 мкг. Чтобы избежать загрязнения после каждого образца проводили промежуточную инъекцию 40% ацетонитрила. Выявление базировалось на флуоресцентной эмиссии (возбуждение на 280 нм, эмиссия на 325 нм). Интегрирование пиков проводили с помощью программного обеспечения Empower®. Относительная площадь под кривой ВМК представлена в табл. 9.

Конструкции на основе Fc демонстрировали более низкое содержание ВМК в варианте готовой формы G40MSuT, чем в K60RTrT, независимо от стрессовых условий. Стало очевидно, что конструкция MSLN-scFc содержала меньше ВМК, чем MSLN-hFc в обоих препаратах G40MSuT, а также K60RTrT. MSLN-scFc в своей предпочтительной готовой форме (G40MSuT) была менее предрасположена к образованию ВМК, чем MSLN-hALB, приготовленная в K60RTrT. В предыдущих экспериментах этот буфер демонстрировал улучшенный стабилизирующий потенциал для конструкций на основе hALB.

Таблица 9

Обобщенная информация по содержанию ВМК в подверженных и не подверженных стрессу (Т0) препаратах MSLN hALB, hFc и -scFc, определенному с помощью ЭХ-УЭЖХ

Конструкция	hALB		hFc		scFc	
	K60RTrT	K60RTrT	G40MSuT	K60RTrT	G40MSuT	
%ВМК						
Т0	1,8	6,7	3,3	2,5	1,3	
5 циклов Э/Р	2,0	7,2	4,1	3,0	1,5	
2н 5°C	н. и.	н. и.	н. и.	2,9	1,1	
2н 25°C	н. и.	6,6	2,7	2,4	0,5	
2н 37°C	2,6	6,3	2,1	2,7	0,3	
4н -20°C	5,9	8,7	1,6	6,6	0,3	
4н 5°C	2,0	8,2	2,8	3,6	0,6	
4н 25°C	2,2	6,8	2,6	2,7	0,4	
4н 37°C	3,5	7,6	1,9	4,3	0,3	

н.и. = не исследовано.

Распространенность химических модификаций после теплового стресса (инкубации при 37°C) отслеживали с помощью пептидного картирования. Образцы белка ферментативно расщепляли, а полученные в результате пептиды разделяли, используя обращенно-фазовую хроматографию. Элюат из колонки инжектировали непосредственно в источник ионов масс-спектрометра для идентификации и количественного определения пептидов.

Для достижения максимального покрытия проводили два отдельных ферментативных расщепления: одно трипсином, а одно химотрипсином. В каждом случае белки денатурировали гуанидиний хлоридом, а затем восстанавливали дитиотреитолом (ДТТ). После инкубации в ДТТ свободные цистеиновые остатки алкилировали путем добавления йодоуксусной кислоты. Затем для образцов проводили замену буфера на 50 мМ Трис, pH 7,8, для расщепления. Трипсин и химотрипсин добавляли в отдельные реакционные пробирки в соотношении 1:10 (образец:фермент) каждого. Расщепление образцов проводили в течение 30 мин при 37°C и гасили реакцию добавлением трифторуксусной кислоты.

5 мкг каждого продукта расщепления отдельно инжектировали в обращенно-фазовую колонку Zorbax SB-C18 (Agilent #859700-902), уравновешенную в 0,1% (об./об.) муравьиной кислоты (МК). Применяли 156-минутный градиент из до 90% ацетонитрила, содержащего 0,1% МК, для элюирования пептидов непосредственно в источник ионов для электрораспыления масс-спектрометра Q-Exactive Plus (Thermo Scientific). Данные получали в зависимом от данных режиме, используя метод топ-12, в котором за полным сканированием (разрешение 70 000; диапазон сканирования 200 2000 m/z) следует индуцируемая высокоэнергетическим соударением диссоциация (HCD) 12 наиболее распространенных ионов (разрешение 17 500).

Пептиды идентифицировали на основании точных масс- и tandemных масс-спектров, используя внутрिलाбораторное программное обеспечение. Результаты идентификации подтверждали вручную. Относительные количества модифицированных и немодифицированных пептидов рассчитывали на основании распространенности ионов, используя программное обеспечение Pinpoint (Thermo Scientific).

Процентное содержание химических модификаций определяющих комплементарность областей (CDR) и продлевающей время полужизни части (hALB или Fc), определенное в препаратах MSLN-hALB,

-hFc и -scFc, приведено в табл. 10. При сравнении аналогичных условий приготовления становится очевидно, что в целом химические модификации были наименее распространены в scFc-конструкциях.

Таблица 10

Обобщенная информация по химическим модификациям в подверженных и не подверженных стрессу (Т0) препаратах MSLN-hALB, -hFc и -scFc, определенным с помощью пептидного картирования

Конструкция	hALB	hFc		scFc	
Готовая форма	K60RTrT	K60RTrT	G40MSuT	K60RTrT	G40MSuT
%N101 деамидирования (CDR)					
Т0	0,1	0,2	0,2	0,2	0,2
2н 37°C	0,7	0,8	3,0	0,7	3,2
4н 37°C	1,3	н. и.	8,5	н. и.	6,4
%N162 деамидирования (CDR)					
Т0	3,0	1,7	1,9	2,3	2,5
2н 37°C	15,9	11,6	2,7	15,0	3,3
4н 37°C	26,8	н. и.	3,7	н. и.	4,1
%M279 окисления (CDR)					
Т0	0,6	1,4	1,6	0,6	1,0
2н 37°C	1,2	0,8	0,8	0,6	1,0
4н 37°C	0,9	н. и.	0,8	н. и.	0,6
%N348 деамидирования (CDR)					
Т0	0,5	3,2	3,3	0,5	0,9
2н 37°C	20,5	21,6	1,9	9,4	1,3
4н 37°C	22,8	н. и.	2,0	н. и.	2,9
%N351 деамидирования (CDR)					
Т0	0,2	2,9	2,6	0,5	1,0

2н 37°C	6,6	12,7	0,9	3,8	0,4
4н 37°C	8,7	н. и.	0,8	н. и.	0,8
%M530 окисления (Fc)					
T0	н. п.	3,9	4,1	2,6	3,2
2н 37°C	н. п.	9,0	3,1	4,0	4,3
4н 37°C	н. п.	н. и.	3,4	н. и.	3,5
%N603 деамидирования (Fc)					
T0	н. п.	1,3	1,9	1,3	1,4
2н 37°C	н. п.	7,9	4,6	7,0	5,6
4н 37°C	н. п.	н. и.	6,9	н. и.	8,1
%M706 окисления (Fc)					
T0	н. п.	3,2	3,6	1,5	2,1
2н 37°C	н. п.	6,0	2,8	2,1	2,5
4н 37°C	н. п.	н. и.	2,6	н. и.	2,0
%M587 окисления (hALB)					
T0	1,0	н. п.	н. п.	н. п.	н. п.
2н 37°C	2,2	н. п.	н. п.	н. п.	н. п.
4н 37°C	2,3	н. п.	н. п.	н. п.	н. п.
%M623 окисления (hALB)					
T0	1,9	н. п.	н. п.	н. п.	н. п.
2н 37°C	2,4	н. п.	н. п.	н. п.	н. п.
4н 37°C	3,0	н. п.	н. п.	н. п.	н. п.
%M798 окисления (hALB)					
T0	1,4	н. п.	н. п.	н. п.	н. п.
2н 37°C	3,3	н. п.	н. п.	н. п.	н. п.
4н 37°C	3,5	н. п.	н. п.	н. п.	н. п.
%M829 окисления (hALB)					
T0	8,9	н. п.	н. п.	н. п.	н. п.
2н 37°C	42,9	н. п.	н. п.	н. п.	н. п.
4н 37°C	44,1	н. п.	н. п.	н. п.	н. п.

н.п. = не применимо; н.и. = не исследовано.

Пример 5.

Конструкции MSLN-hALB, -hFc, -scFc, приготовленные так, как описано в примере 4, подвергали эксперименту со скачком pH. Концентрация исходных материалов составляла 1,0 мг/мл. В стеклянный флакон наливали объем 0,38 мл каждого стартового материала. После предварительного кондиционирования при 37°C растворы дополняли 20-кратным объемом фосфатно-солевого буфера (ФСБ), который состоял из 0,090 М фосфата калия, 0,480 М фосфата натрия (оба двухосновные), 0,052 М хлорида калия и 2,76 М NaCl. Дополненные образцы инкубировали при 37°C в течение двух недель. После инкубации их анализировали с помощью ЭХ-УЭЖХ, используя метод, описанный в примере 4, а процентное содержание ВМК приведено в табл. 11. При сравнении всех конструкций, приготовленных в K60RTrT, содержание ВМК возрастало в следующем порядке: hALB < scFc < hFc. Конструкция MSLN-scFc также демонстрировала более низкое содержание ВМК, чем MSLN-hFc при приготовлении в G40MSuT.

Таблица 11

Обобщенная информация по содержанию ВМК в подверженных стрессу (скачок pH+2н 37°C) препаратах MSLN-hALB, -hFc и -scFc, определенному с помощью ЭХ-УЭЖХ

Конструкция	hALB	hFc		scFc	
		K60RTrT	G40MSuT	K60RTrT	G40MSuT
%ВМК					
2н 37°C	1,5	8,3	7,1	5,4	5,1

Пример 6.

Конструкции MSLN-hALB, -hFc, -scFc, приготовленные так, как описано в примере 4, подвергали стрессу, вызываемому встряской. Концентрация исходных материалов составляла 1,0 мг/мл. Объем 0,5 мл каждого раствора фильтровали через соответствующий 0,22 мкм фильтр и наливали во флаконы из стекла 3сс. Флаконы помещали в пластиковую коробку, убедившись, что флаконы не смещаются внутри коробки во время встряски. Коробку помещали на орбитальный встряхиватель. Образцы встряхивали при 500 об/мин в течение 65 ч. Видимые частицы оценивали в соответствии с методом, описанным Ph Eur 2.9.20. Этот метод осуществляли подготовленные сотрудники. Число видимых частиц на флакон приведено в табл. 12. Видимые белковые частицы наблюдали только в препаратах MSLN-hFc.

Таблица 12

Число видимых белковых частиц на флакон в подверженных встряске образцах					
Конструкция	hALB	hFc		scFc	
Готовая форма	K60RTrT	K60RTrT	G40MSuT	K60RTrT	G40MSuT
Число видимых (>125 мкм) белковых частиц на флакон					
65 ч, 500 об/мин	0	1	1	0	0

Вышеуказанные образцы также анализировали методом эксклюзионной ультравысокоэффективной хроматографии (ЭХ-УЭЖХ), чтобы количественно оценить процентное содержание высокомолекулярных компонентов (ВМК). Применяли тот же метод, который описан в примере 4. Содержание ВМК в образцах после встряски приведено в табл. 13. Образование ВМК было наиболее выражено для конструкции MSLN-hFc при сравнении препаратов K60RTrT. ВМК были больше распространены в случае конструкции MSLN-hFc, чем MSLN-scFc.

Таблица 13

Обобщенная информация по содержанию ВМК в подверженных стрессу (скачок pH+2н 37°C) препаратах MSLN-hALB, -hFc и -scFc, определенному с помощью ЭХ-УЭЖХ

Конструкция	hALB	hFc		scFc	
Готовая форма	K60RTrT	K60RTrT	G40MSuT	K60RTrT	G40MSuT
%ВМК					
65 ч, 500 об/мин	1,8	5,8	2,4	1,8	0,3

Пример 7.

Конструкции MSLN-hALB, -hFc, -scFc, приготовленные так, как описано в примере 4, подвергали воздействию видимого и УФА-света (фотостресс). Во всех препаратах общая концентрация белка составляла 1 мг/мл. Белковые растворы фильтровали через фильтр с размером пор 0,22 мкм и наливали в 0,5 мл флаконы из стекла типа I. Конструкции MSLN-hALB и -scFc подвергали двум разным испытаниям, включающим 0,2 Млк видимого света/25 Вт*ч/м² УФА-света и 1,2 Млк видимого света/173 Вт*ч/м² соответственно. Конструкцию MSLN-hFc подвергали двум разным испытаниям, включающим 0,2 Млк видимого света без УФА-света и 1,2 Млк видимого света/30 Вт*ч/м² УФА-света соответственно. Температуру в камере устанавливали на 25°C. После воздействия света образцы анализировали путем визуального осмотра (табл. 14), ЭХ-УЭЖХ (табл. 15) и пептидного картирования (табл. 16). Вышеуказанные методы осуществляли в соответствии с процедурами, описанными в примере 4. Хотя конструкции мишень MSLN-hALB и -scFc подвергали воздействию более высоких доз УФА-света, видимых белковых частиц не наблюдали, тогда как образцы MSLN-hFc демонстрировали по одной видимой белковой частице на флакон в обоих испытаниях, независимо от приготовления.

Таблица 14

Обобщенная информация по числу видимых белковых частиц на флакон в препаратах MSLN-hALB, -hFc и -scFc, определенному после воздействия света

Конструкция	hALB	hFc		scFc	
Готовая форма	K60RTrT	K60RTrT	G40MSuT	K60RTrT	G40MSuT
Число видимых (>125 мкм) белковых частиц на флакон					
T0	0	0	1	0	0
Испытание 1	0 ¹⁾	1 ²⁾	1 ²⁾	0 ¹⁾	0 ¹⁾
Испытание 2	0 ³⁾	1 ⁴⁾	1 ⁴⁾	0 ³⁾	0 ³⁾

¹⁾ 0,2 Млк видимого света/25 Вт*ч/м² УФА-света,

²⁾ 0,2 Млк видимого света без УФА-света,

³⁾ 1,2 Млк видимого света/173 Вт*ч/м²,

⁴⁾ 1,2 Млк видимого света/30 Вт*ч/м².

Количество ВМК возрастало в следующем порядке: MSLN-hALB < -scFc < -hFc, когда белок был приготовлен в K60RTrT. Количество ВМК могло быть снижено для конструкций на основе Fc при приготовлении в G40MSuT. При этом ВМК снова были менее выражены для конструкции MSLN-scFc. Оказалось, что конструкция мишень MSLN-hFc в особенности чувствительна к воздействию УФА-света.

Таблица 15

Обобщенная информация по содержанию ВМК в препаратах MSLN-hALB, -hFc и -scFc, определенному после воздействия света с помощью ЭХ-УЭЖХ

Конструкция	hALB	hFc		scFc	
Готовая форма	K60RTrT	K60RTrT	G40MSuT	K60RTrT	G40MSuT
%ВМК					
T0	1,8	6,7	3,3	2,5	1,3
Испытание 1	1,8 ¹⁾	6,3 ²⁾	2,5 ²⁾	2,1 ¹⁾	0,4 ¹⁾
Испытание 2	2,0 ³⁾	11,0 ⁴⁾	2,1 ⁴⁾	2,4 ³⁾	0,3 ³⁾

¹⁾ 0,2 Млк видимого света/25 Вт*ч/м² УФА-света,

²⁾ 0,2 Млк видимого света без УФА-света,

³⁾ 1,2 Млк видимого света/173 Вт*ч/м²,

⁴⁾ 1,2 Млк видимого света/30 Вт*ч/м².

Процентное содержание химических модификаций определяющих комплементарность областей (CDR) и продлевающей время полужизни части (hALB или Fc), определенное в препаратах MSLN-hALB, -hFc и -scFc, приведено в табл. 16. При сравнении аналогичных условий приготовления становится очевидно, что в целом химические модификации были наименее распространены в scFc-конструкциях.

Обобщенная информация по химическим модификациям в препаратах MSLN-hALB, -hFc и -scFc, определенным после воздействия света с помощью пептидного картирования

Конструкция	hALB	hFc		scFc	
Готовая форма	K60RTrT	K60RTrT	G40MSuT	K60RTrT	G40MSuT
%N101 деамидирования (CDR)					
T0	0,1	0,2	0,2	0,2	0,2
Испытание 1	0,2 ¹⁾	н. и.	0,3 ²⁾	н. и.	0,5 ¹⁾
Испытание 2	0,2 ³⁾	н. и.	0,6 ⁴⁾	н. и.	0,7 ³⁾
%N162 деамидирования (CDR)					
T0	3,0	1,7	1,9	2,3	2,5
Испытание 1	3,0 ¹⁾	н. и.	2,1 ²⁾	н. и.	2,7 ¹⁾
Испытание 2	3,6 ³⁾	н. и.	3,1 ⁴⁾	н. и.	2,8 ³⁾
%M279 окисления (CDR)					
T0	0,6	1,4	1,6	0,6	1,0
Испытание 1	0,8 ¹⁾	н. и.	2,6 ²⁾	н. и.	0,6 ¹⁾
Испытание 2	1,0 ³⁾	н. и.	6,3 ⁴⁾	н. и.	0,7 ³⁾
%N348 деамидирования (CDR)					
T0	0,5	3,2	3,3	0,5	0,9
Испытание 1	0,4 ¹⁾	н. и.	2,7 ²⁾	н. и.	0,2 ¹⁾
Испытание 2	0,9 ³⁾	н. и.	3,9 ⁴⁾	н. и.	0,2 ³⁾
%N351 деамидирования (CDR)					
T0	0,2	2,9	2,6	0,5	1,0
Испытание 1	0,4 ¹⁾	н. и.	2,0 ²⁾	н. и.	0,3 ¹⁾
Испытание 2	0,5 ³⁾	н. и.	2,6 ⁴⁾	н. и.	0,3 ³⁾
%M530 окисления (Fc)					
T0	н. п.	3,9	4,1	2,6	3,2
Испытание 1	н. п.	н. и.	7,6 ²⁾	н. и.	3,1 ¹⁾
Испытание 2	н. п.	н. и.	21,8 ⁴⁾	н. и.	4,1 ³⁾
%M706 окисления (Fc)					
T0	н. п.	3,2	3,6	1,5	2,1
Испытание 1	н. п.	н. и.	6,5 ²⁾	н. и.	1,8 ¹⁾
Испытание 2	н. п.	н. и.	17,8 ⁴⁾	н. и.	2,7 ³⁾
%M587 окисления (hALB)					
T0	1,0	н. п.	н. п.	н. п.	н. п.
Испытание 1	1,5	н. п.	н. п.	н. п.	н. п.
Испытание 2	2,4	н. п.	н. п.	н. п.	н. п.
%M623 окисления (hALB)					
T0	1,9	н. п.	н. п.	н. п.	н. п.
Испытание 1	4,0	н. п.	н. п.	н. п.	н. п.
Испытание 2	4,1	н. п.	н. п.	н. п.	н. п.
%M798 окисления (hALB)					
T0	1,4	н. п.	н. п.	н. п.	н. п.
Испытание 1	2,1	н. п.	н. п.	н. п.	н. п.
Испытание 2	3,1	н. п.	н. п.	н. п.	н. п.
%M829 окисления (hALB)					
T0	8,9	н. п.	н. п.	н. п.	н. п.
Испытание 1	31,0	н. п.	н. п.	н. п.	н. п.
Испытание 2	25,2	н. п.	н. п.	н. п.	н. п.

н.п. = не применимо; н.и. = не исследовано.

Пример 8.

Конструкцию MSLN-hALB готовили в K60RTrT, а конструкцию MSLN-scFc готовили в G40MSuT в соответствии с процедурой, описанной в примере 4. Общая концентрация белка составляла 0,05 мг/мл. Стеклянные (боросиликат, тип I, 13 мм 3сс флакон от West, арт. № 68000375) и полипропиленовые контейнеры для испытаний (2 мл с O-кольцом, например, от Sarstedt, арт. № 72.694.005) наполняли 500 мкл исследуемого раствора. Исследуемый раствор оставляли на пять минут в первом контейнере для испытаний. Затем отбирали 150 мкл аликвоту для анализа. Оставшийся исследуемый раствор (350 мкл) последовательно переносили из одного контейнера для испытаний в следующий (всего пять контейнеров). В каждом флаконе раствор оставляли на пять минут перед следующим переносом. На каждом этапе переноса использовали один и тот же наконечник для пипетки. Такое же испытание проводили, используя 30 мл поликарбонатные бутылки (Nalgene, PCS-000295 с крышкой, PP/20-415/ZTPE). В случае этого типа контейнера первый контейнер наполняли 5 мл. После отбора 150 мкл аликвоты оставшийся объем переносили из одного контейнера для испытаний в следующий (в соответствии с процедурой, описанной выше). Образцы, полученные из контейнера #1 и #5 анализировали с помощью ЭХ-УЭЖХ (методом, аналогичным описанному в примере 4). Дополнительно проводили выявление белка с помощью детектора с ФДМ (280 нм), чтобы определить концентрацию белков. Процентное восстановление белка из каждого контейнера для испытаний приведено в табл. 17. Было показано, что восстановление белка было более выражено для конструкции MSLN-scFc, чем для конструкции MSLN-hALB, независимо от типа контейнера.

Таблица 17

Восстановление белка из разных типов контейнеров для конструкций MSLN-hALB и -scFc, определенное с помощью ЭХ-УЭЖХ

Конструкция	hALB	scFc
Готовая форма	K60RTrT	G40MSuT
%Восстановления белка (от номинального)		
Стекло типа I	80,0	92,0
Полипропилен	87,0	97,3
Поликарбонат	87,0	96,0

Пример 9.

Конструкцию MSLN-hALB готовили в K60RTrT, а конструкцию MSLN-scFc готовили в K60RTrT и G40MSuT в соответствии с процедурой, описанной в примере 4. Общая концентрация белка составляла 1,0 мг/мл. 1950 мкл каждого исследуемого раствора дополняли 50 мкл 1000 м.д. кремниевого стандартного раствора (Specpure от AlfaAesar, Арт. № 38717), что приводило к получению 25 м.д. дополненного образца. Не дополненный исследуемый раствор служил в качестве контрольного образца. Дополненный исследуемый раствор с добавкой, а также контрольный образец наливали в 3сс флаконы из стекла типа I и инкубировали при 37°C в течение 24 ч. Все образцы анализировали с помощью ЭХ-УЭЖХ в соответствии с методом, описанным в примере 4, чтобы оценить количества ВМК (табл. 18). При приготовлении в K60RTrT, конструкции MSLN-hALB и -scFc демонстрировали аналогичное повышение числа ВМК после добавления кремния.

Таблица 18

Обобщенная информация по содержанию ВМК в препаратах MSLN-hALB и -scFc, определенному с помощью ЭХ-УЭЖХ после дополнения 25 м.д. кремния

Конструкция	hALB	scFc	
Готовая форма	K60RTrT	K60RTrT	G40MSuT
Δ %ВМК (по сравнению с не дополненным контролем)			
25 м. д. дополнение	1,0	1,0	0,2

Пример 10.

В предварительно составленных лекарственных веществах, содержащих очищенные конструкции CD33сс-hALB, CD33сс-hFc и CD33сс-scFc соответственно, проводили замену буфера посредством ультрафильтрации/диализации с применением мембран с номинальным отсечением по молекулярной массе (НОММ) 10 кДа. Конечную готовую форму получали путем добавления концентрированных исходных растворов. Полученные в результате готовые формы для каждой конструкции приведены в табл. 19. Концентрация целевого белка составляла 1,0 мг/мл. Приготовленные конструкции CD33сс- наливали до 1 мл во флаконы из стекла типа I, которые закрывали бутылкаучуковыми пробками и обжимали алюминиевыми колпачками. Наполненные флаконы инкубировали при -20, 5, 25 и 37°C. Один флакон с каждой версией подвергали пяти циклам замораживания и размораживания (3/P). Целевая температура за-

мораживания составляла -29°C . Целевая температура размораживания составляла 2°C . Скорость изменения составляла приблизительно $0,3\text{ K/мин}$. Вышеописанные образцы также анализировали методом эксклюзионной ультравысокоэффективной хроматографии (ЭХ-УЭЖХ), чтобы количественно оценить процентное содержание высокомолекулярных компонентов (ВМК). ЭХ-УЭЖХ проводили в соответствии с методом, описанным в примере 4. При приготовлении в K60RTrT количество ВМК в не подвергавшихся стрессу образцах возрастало в следующем порядке: $scFc < hALB < hFc$. Наименее выраженное повышение количества ВМК после стресса, связанного с замораживанием и размораживанием, наблюдали для scFc-конструкции. hFc-конструкция оказалась наиболее предрасположенной к образованию ВМК при 20°C . Содержание ВМК повышалось после четырех недель хранения при 5°C . Образование ВМК в этих условиях было более выраженным для конструкций на основе Fc, чем для конструкций на основе альбумина. В K60RTrT не наблюдали существенного повышения количества ВМК при повышенных температурах хранения (25 и 37°C). При приготовлении в G40MSuT все конструкции продемонстрировали сходное содержание ВМК в не подвергавшихся стрессу образцах. Повышение во время замораживания и размораживания больше отличалось в случае конструкций на основе Fc, если сравнивать с конструкциями на основе альбумина. В G40MSuT hFc-конструкция была наименее стабильной при хранении при 20°C . Значительное повышение количества ВМК при хранении в жидком виде наблюдали только для hALB-конструкции.

Таблица 19

Обобщенная информация по содержанию ВМК в подверженных и не подверженных стрессу (T0) препаратах CD33cc-hALB, -hFc и -scFc, определенному с помощью ЭХ-УЭЖХ

Конструкция	hALB		hFc		scFc	
	K60RTrT	G40MSuT	K60RTrT	G40MSuT	K60RTrT	G40MSuT
%ВМК						
Готовая форма						
T0	1,5	0,3	2,7	0,3	1,3	0,3
5 циклов З/Р	2,0	0,5	3,1	0,7	1,6	0,7
2н -20°C	н. и.	н. и.	н. и.	н. и.	1,5	0,5
2н 5°C	н. и.	н. и.	н. и.	н. и.	1,8	0,2
2н 25°C	1,7	0,6	2,3	0,2	1,3	0,2
2н 37°C	1,9	0,7	1,8	0,2	1,2	0,2
4н -20°C	1,6	0,4	4,2	1,5	1,7	0,9
4н 5°C	1,9	0,3	3,3	0,3	2,1	0,4
4н 25°C	1,4	0,6	2,2	0,2	1,4	0,4
4н 37°C	1,3	0,7	2,0	0,1	1,4	0,3

н.и. = не исследовано.

Распространенность химических модификаций после теплового стресса (инкубации при 37°C) отслеживали с помощью пептидного картирования в соответствии с методом, описанным в примере 4. Процентное содержание химических модификаций определяющих комплементарность областей (CDR), определенное в препаратах CD33cc-hALB, -hFc и -scFc, приведено в табл. 20. В целом, конструкции CD33cc-scFc демонстрировали наименьшее количество химических модификаций в CDR. Стало очевидным, что в особенности деамидирование в CDR было наименее выраженным для scFc-конструкции.

Таблица 20

Обобщенная информация по химическим модификациям в подверженных и не подверженных стрессу (Т0) препаратах CD33cc-hALB, -hFc и -scFc, определенным с помощью пептидного картирования

Конструкция	hALB		hFc		scFc	
	K60RTrT	G40MSuT	K60RTrT	G40MSuT	K60RTrT	G40MSuT
%M34 окисления (CDR)						
Т0	1,0	1,8	1,0	1,4	1,7	1,9
2н 37°C	0,9	1,3	0,9	1,1	1,0	1,7
4н 37°C	н. и.	н. и.	н. и.	1,6	н. и.	1,8
%D103 изомеризации (CDR)						
Т0	0,8	0,8	0,8	0,8	0,6	0,6
2н 37°C	4,0	4,6	4,5	4,4	5,8	7,3
4н 37°C	н. и.	н. и.	н. и.	8,0	н. и.	12,4
%M290 окисления (CDR)						
Т0	0,7	1,4	0,8	1	1,3	1,4
2н 37°C	0,7	1,0	0,8	0,8	0,8	1,3
4н 37°C	н. и.	н. и.	н. и.	1,2	н. и.	1,6
%N359 деамидирования (CDR)						
Т0	5,8	11,4	5,3	6,3	0,4	0,5
2н 37°C	19,3	5,8	11,2	2,8	7,0	0,9
4н 37°C	н. и.	н. и.	н. и.	2,9	н. и.	2,2
%N362 деамидирования (CDR)						
Т0	5,4	8,7	3,9	4,0	0,2	0,3
2н 37°C	13,5	3,6	6,7	1,2	3,1	0,3
4н 37°C	н. и.	н. и.	н. и.	1,4	н. и.	0,7

н.п. = не применимо; н.и. = не исследовано.

Пример 11.

Конструкции CD33cc-hALB, -hFc и -scFc, приготовленные так, как описано в примере 4, подвергли эксперименту со скачком pH. Концентрация исходных материалов составляла 1,0 мг/мл. В стеклянный флакон наливали объем 0,38 мл каждого стартового материала. После предварительного кондиционирования при 37°C растворы дополняли 20-кратным объемом фосфатно-солевого буфера (ФСБ), который состоял из 0,090 М фосфата калия, 0,480 М фосфата натрия (оба двухосновные), 0,052 М хлорида калия и 2,76 М NaCl. Дополненные образцы инкубировали при 37°C в течение двух недель. После инкубации их анализировали с помощью ЭХ-УЭЖХ, используя метод, описанный в примере 4, а процентное содержание ВМК приведено в табл. 21. Конструкции CD33cc-scFc демонстрировали наименьшее содержание ВМК после скачка pH по сравнению с конструкциями CD33cc-hALB и -hFc, независимо от приготовления.

Таблица 21

Обобщенная информация по содержанию ВМК в подверженных стрессу (скачок pH+2н 37°C) препаратах CD33cc-hALB, -hFc и -scFc, определенному с помощью ЭХ-УЭЖХ

Конструкция	hALB		hFc		scFc	
	K60RTrT	G40MSuT	K60RTrT	G40MSuT	K60RTrT	G40MSuT
%ВМК						
2н 37°C	1,7	4,8	1,6	1,8	1,1	1,5

Пример 12.

Конструкции CD33cc-hALB, -hFc и -scFc, приготовленные так, как описано в примере 4, подвергли стрессу, вызываемому встряской. Концентрация исходных материалов составляла 1,0 мг/мл. Объем 0,5 мл каждого раствора фильтровали через соответствующий 0,22 мкм фильтр и наливали в 3cc флаконы из стекла типа I. Флаконы помещали в пластиковую коробку, убедившись, что флаконы не смещаются внутри коробки во время встряски. Коробку помещали на орбитальный встряхиватель. Образцы встряхи-

вали при 500 об/мин в течение 65 ч. Образцы анализировали методом ЭХ-УЭЖХ, чтобы количественно оценить процентное содержание высокомолекулярных компонентов (ВМК). Применяли тот же метод, который описан в примере 4. Содержание ВМК в образцах после встряски приведено в табл. 22. Образование ВМК было наименее выражено для конструкции CD33cc-scFc в любой готовой форме.

Таблица 22

Обобщенная информация по содержанию ВМК в подверженных стрессу (скачок pH+2н 37°C) препаратах CD33cc-hALB, -hFc и -scFc, определенному с помощью ЭХ-УЭЖХ

Конструкция	hALB		hFc		scFc	
	K60RTrT	G40MSuT	K60RTrT	G40MSuT	K60RTrT	G40MSuT
Готовая форма						
%ВМК						
65 ч, 500 об/мин	2,1	0,8	2,3	0,4	1,3	0,2

Пример 13.

Конструкции CD33cc-hALB, -hFc и -scFc, приготовленные так, как описано в примере 4, подвергали воздействию видимого и УФА-света (фотостресс). Во всех препаратах общая концентрация белка составляла 1 мг/мл. Белковые растворы фильтровали через фильтр с размером пор 0,22 мкм и наливали в 0,5 мл флаконы из стекла типа I. Конструкции CD33cc-hALB и -scFc подвергали двум разным испытаниям, включающим 0,2 Млк видимого света/25 Вт*ч/м² УФА-света и 1,2 Млк видимого света/173 Вт*ч/м² соответственно. Конструкцию CD33cc-hFc подвергали двум разным испытаниям, включающим 0,2 Млк видимого света без УФА-света и 1,2 Млк видимого света/30 Вт*ч/м² УФА-света соответственно. Температуру в камере устанавливали на 25°C. После воздействия света образцы анализировали методом ЭХ-УЭЖХ (табл. 23) и пептидного картирования (табл. 24). Вышеуказанные методы осуществляли в соответствии с процедурами, описанными в примере 4. Несмотря на более высокую интенсивность УФА-света, применяемую к конструкции CD33cc-scFc, эта конструкция была стабильной против образования ВМК. В противоположность этому, конструкции CD33cc-hFc и CD33cc-hALB демонстрировали повышение количества ВМК после 2 условий испытаний.

Таблица 23

Обобщенная информация по содержанию ВМК в препаратах CD33cc-hALB, -hFc и -scFc, определенному после воздействия света с помощью ЭХ-УЭЖХ

Конструкция	hALB		hFc		scFc	
	K60RTrT	G40MSuT	K60RTrT	G40MSuT	K60RTrT	G40MSuT
Готовая форма						
%ВМК						
T0	1,5	0,3	2,7	0,3	1,3	0,3
Испытание 1	1,8 ¹	0,3 ¹	2,5 ²	0,3 ²	1,4 ¹	0,3 ¹
Испытание 2	4,6 ³	1,1 ³	6,0 ⁴	0,7 ⁴	1,5 ³	0,3 ³

¹) 0,2 Млк видимого света/25 Вт*ч/м² УФА-света,

²) 0,2 Млк видимого света без УФА-света,

³) 1,2 Млк видимого света/173 Вт*ч/м²,

⁴) 1,2 Млк видимого света/30 Вт*ч/м².

В целом, химические модификации после воздействия света были наименее выражены для конструкции CD33cc-scFc. В особенности деамидирование CDR в большей степени проявлялось в конструкциях CD33cc-hALB и CD33cc-hFc. По сравнению с конструкциями на основе Fc было обнаружено, что конструкция CD33cc-scFc была менее предрасположена к химическим модификациям Fc-части, хотя scFc-конструкцию подвергали более высоким дозам УФА-света, чем hFc-конструкцию. В табл. 24 также перечислены наиболее распространенные химические модификации альбуминовой части в конструкциях CD33cc-hALB, демонстрируя, что продлевающая время полужизни часть этой конструкции была более химически деградирована, чем Fc-части конструкции CD33cc-hFc и -scFc.

Обобщенная информация по химическим модификациям в препаратах CD33cc-hALB, -hFc и -scFc, определенным после воздействия света с помощью пептидного картирования

Конструкция	hALB		hFc		scFc	
	K60RTrT	G40MSuT	K60RTrT	G40MSuT	K60RTrT	G40MSuT
%M34 окисления (CDR)						
T0	1,0	1,8	1,0	1,4	1,7	1,9
Испытание 1	1,5 ¹⁾	н. и.	0,7 ²⁾	4,2 ²⁾	1,4 ¹⁾	1,2 ¹⁾
Испытание 2	1,7 ³⁾	н. и.	1,1 ⁴⁾	4,2 ⁴⁾	1,3 ³⁾	1,7 ³⁾
%D103 изомеризации (CDR)						
T0	0,8	0,8	0,8	0,8	0,6	0,6
Испытание 1	0,8 ¹⁾	н. и.	0,9 ²⁾	0,9 ²⁾	0,8 ¹⁾	1,0 ¹⁾
Испытание 2	1,1 ³⁾	н. и.	1,2 ⁴⁾	1,4 ⁴⁾	1,0 ³⁾	1,3 ³⁾
%M290 окисления (CDR)						
T0	0,7	1,4	0,8	1	1,3	1,4
Испытание 1	1,1 ¹⁾	н. и.	0,5 ²⁾	3,3 ²⁾	1,0 ¹⁾	0,9 ¹⁾
Испытание 2	1,4 ³⁾	н. и.	1,1 ⁴⁾	4,2 ⁴⁾	1,0 ³⁾	1,4 ³⁾
%N359 деамидирования (CDR)						
T0	5,8	11,4	5,3	6,3	0,4	0,5
Испытание 1	10,8 ¹⁾	н. и.	4,5 ²⁾	5,6 ²⁾	0,4 ¹⁾	0,2 ¹⁾
Испытание 2	12,4 ³⁾	н. и.	10,3 ⁴⁾	3,6 ⁴⁾	0,6 ³⁾	0,2 ³⁾
%N362 деамидирования (CDR)						
T0	5,4	8,7	3,9	4,0	0,2	0,3
Испытание 1	8,8 ¹⁾	н. и.	3,4 ²⁾	3,5 ²⁾	0,3 ¹⁾	0,3 ¹⁾
Испытание 2	9,8 ³⁾	н. и.	6,4 ⁴⁾	2,3 ⁴⁾	0,5 ³⁾	0,3 ³⁾
%D510 изомеризации (Fc)						
T0	н. п.	н. п.	0,4	0,4	0,5	0,4
Испытание 1	н. п.	н. п.	0,4 ²⁾	0,6 ²⁾	0,6 ¹⁾	0,5 ¹⁾
Испытание 2	н. п.	н. п.	0,7 ⁴⁾	0,7 ⁴⁾	0,7 ³⁾	0,7 ³⁾
%M541 окисления (Fc)						
T0	н. п.	н. п.	2,8	3	3,7	4,1
Испытание 1	н. п.	н. п.	5,0 ²⁾	0,7 ²⁾	3,8 ¹⁾	3,8 ¹⁾
Испытание 2	н. п.	н. п.	17,5 ⁴⁾	18,4 ⁴⁾	4,8 ³⁾	5,5 ³⁾
%N614 деамидирования (Fc)						
T0	н. п.	н. п.	1,2	1,2	1,6	1,5

Испытание 1	н. п.	н. п.	1,3 ²⁾	1,7 ²⁾	2,8 ¹⁾	2,2 ¹⁾
Испытание 2	н. п.	н. п.	6,1 ⁴⁾	1,9 ⁴⁾	1,9 ³⁾	2,3 ³⁾
%N673 деамидирования (Fc)						
T0	н. п.	н. п.	0,3	0,3	0,0	0,0
Испытание 1	н. п.	н. п.	0,5 ²⁾	0,6 ²⁾	0,5 ¹⁾	0,6 ¹⁾
Испытание 2	н. п.	н. п.	0,5 ⁴⁾	0,6 ⁴⁾	0,5 ³⁾	1,5 ³⁾
%M717 окисления (Fc)						
T0	н. п.	н. п.	2,1	2,4	2,5	2,8
Испытание 1	н. п.	н. п.	4,1 ²⁾	7,3 ²⁾	2,2 ¹⁾	2,3 ¹⁾
Испытание 2	н. п.	н. п.	13,7 ⁴⁾	13,5 ⁴⁾	2,8 ³⁾	3,8 ³⁾
%M598 окисления (hALB)						
T0	1,0	н. и.	н. п.	н. п.	н. п.	н. п.
Испытание 1	2,3 ¹⁾	н. и.	н. п.	н. п.	н. п.	н. п.
Испытание 2	6,4 ³⁾	н. и.	н. п.	н. п.	н. п.	н. п.
%M809 окисления (hALB)						
T0	1,8	н. и.	н. п.	н. п.	н. п.	н. п.
Испытание 1	3,5 ¹⁾	н. и.	н. п.	н. п.	н. п.	н. п.
Испытание 2	8,3 ³⁾	н. и.	н. п.	н. п.	н. п.	н. п.
%M840 окисления (hALB)						
T0	12,8	н. и.	н. п.	н. п.	н. п.	н. п.
Испытание 1	32,0 ¹⁾	н. и.	н. п.	н. п.	н. п.	н. п.
Испытание 2	61,7	н. и.	н. п.	н. п.	н. п.	н. п.
%K1036 гликирования (hALB)						
T0	10,1	н. и.	н. п.	н. п.	н. п.	н. п.
Испытание 1	10,2 ¹⁾	н. и.	н. п.	н. п.	н. п.	н. п.
Испытание 2	9,9 ³⁾	н. и.	н. п.	н. п.	н. п.	н. п.

¹⁾ 0,2 Млк видимого света/25 Вт*ч/м² УФА-света,

²⁾ 0,2 Млк видимого света без УФА-света,

³⁾ 1,2 Млк видимого света/173 Вт*ч/м²,

⁴⁾ 1,2 Млк видимого света/30 Вт*ч/м².

Пример 14.

Исследовали разные конструкции антител BiTE®, сконструированные для нацеливания на EGFRvIII включая EGFRvIII без продления времени полужизни (не-HLE, каноническую), EGFRvIII-hALB и EGFRvIII-scFc. Концентрация целевого белка составляла 1,0 мг/мл для hALB и scFc и 0,4 мг/мл для не-HLE версии. Приготовленные конструкции антител BiTE® наливали до 1 мл во флаконы из стекла типа I, которые закрывали бутылкаучуковыми пробками и обжимали алюминиевыми колпачками. Наполненные флаконы инкубировали при -20°C и 37°C (без и с 25 м.д. кремния, который известен своим потенциалом индуцировать агрегацию белков) в течение 4 недель. Вышеуказанные конструкции также подвергали воздействию света (1,2 Млк видимого света/173 Вт*ч/м² УФА-света). В случае стресса, вызванного светом, температуру в камере устанавливали на 25°C. Образцы, хранимые при -70°C, служили в качестве контроля (T0).

Вышеописанные образцы анализировали в дубликатах методом эксклюзионной ультравысокоэффективной хроматографии (ЭХ-УЭЖХ), чтобы количественно оценить процентное содержание высокомолекулярных компонентов (ВМК). ЭХ-УЭЖХ проводили на УЭЖХ-системе Aquity H-Class (Waters), используя 150 мм колонку Acquity UPLC BEH200 SEC (Waters). Температура колонки была установлена на 25°C. Разделение размерных вариантов обеспечивали применением изократического метода со скоростью потока 0,4 мл/мин. Подвижная фаза состояла из 100 мМ фосфата натрия, 250 мМ NaCl, pH 6,8. Время анализа составляло в целом 6,0 мин. Образцы держали при 8°C в автодозаторе до проведения анализа. Инжектировали общее количество белка 3 мкг. Чтобы избежать загрязнения после каждого образца проводили промежуточную инъекцию 40% АЦН. Выявление базировалось на флуоресценции (возбуждение на 280 нм, эмиссия на 325 нм). Интегрирование пиков проводили с помощью программного обеспечения Empower®. Представлена относительная площадь под кривой ВМК (табл. 25).

Среди не подверженных стрессу образцов ВМК были наименее выражены для scFc-конструкции. Образование ВМК наблюдали исключительно во время 4-недельного хранения при -20°C. Содержание ВМК в этих условиях возрастало в следующем порядке scFc < hALB < не-HLE.

Таблица 25

Обобщенная информация по содержанию ВМК в подверженных и не подверженных стрессу (Т0) препаратах EGFRvIII-non HLE, -hALB и -scFc, определенному с помощью ЭХ-УЭЖХ

Конструкция	He-HLE (каноническая)	hALB	scFc
Т0	1,3%	1,3%	1,0%
4н -20°C	4,6%	1,8%	1,6%
4н 37°C	0,9%	0,6%	0,5%
4н 37°C (25 м. д. кремния)	1,1%	0,8%	0,8%
Воздействие света	1,0%	0,9%	0,5%

В дополнение образцы после теплового стресса в отсутствие и присутствии кремния оценивали в отношении наличия невидимых невооруженным глазом частиц методом микрофлюидной визуализации (МФВ), используя Flowcam от Fluid Imaging Technologies, Inc. Прибор был оборудован проточной ячейкой FC80FV. Применяли десятикратное оптическое увеличение. Применимость системы подтверждали с помощью не содержащей частиц воды. Применяли скорость автоматического получения изображений 20 кадров в секунду. Теневое и световое пороговые значения были установлены на 25 и 20 пикселей соответственно. Общий объем образца для одного измерения составлял 0,25 мл. Измерения образцов проводили в трипликатах. Перед каждым трипликатом систему промывали 0,5 мл соответствующих растворов образцов. В начале и между каждым из трипликатов проводили промывку 1,0 мл не содержащей частиц воды. Оценку данных проводили с помощью программного обеспечения Visual Spreadsheet. Измерения образцов проводили в трипликатах. Результаты приведены в табл. 26.

Тепловой стресс приводил к образованию невидимых невооруженным глазом частиц в препаратах, содержащих конструкции не-HLE и hALB. scFc-конструкция, наоборот, оставалась стабильной. Добавление кремния не стимулировало образование невидимых невооруженным глазом частиц независимо от природы конструкции антитела ViTE®.

Таблица 26

Оценка невидимых невооруженным глазом частиц методом МФВ в препаратах EGFRvIII-не-HLE (каноническая), -hALB и -scFc после теплового стресса в отсутствие и присутствии кремния

Конструкция	He-HLE (каноническая)				hALB				scFc			
	≥ 2	≥ 5	≥ 10	≥ 25	≥ 2	≥ 5	≥ 10	≥ 25	≥ 2	≥ 5	≥ 10	≥ 25
Размер частиц [мкм]												
Т0	146	35	12	0	281	71	35	0	298	150	33	0
4н 37°C	410	163	23	0	742	225	11	0	110	44	0	0
4н 37°C (25 м. д. кремния)	69	35	11	0	272	91	34	0	146	55	11	0

Образцы, которые подвергали тепловому стрессу, также анализировали методом слабой катионообменной (СКО) хроматографии, чтобы количественно оценить содержание зарядовых вариантов, используя UPLC Aquity H-класса от Waters. Применяли 4,6×100 мм колонку Protein-Pak Hi Res CM 7im (Waters, кат. № 186004929). Температуру колонки устанавливали на 30°C. Скорость потока устанавливали на 0,65 мл/мин. Применяемый градиент был спроектирован следующим образом (табл. 27). Температуру автодозатора поддерживали при 2-8°C.

Таблица 27

Градиент, применяемый для СКО хроматографии

Время [мин:с]	% А 20 мМ фосфата натрия, рН 6,5	% В 20 мМ фосфата натрия, 250 мМ хлорида натрия, рН 6,5
	00:00	100
4:00	100	0
25:00	50	50
25:01	0	100
29:00	0	100
29:01	100	0
33:00	100	0

Инжектировали общее количество белка 3 мкг. Выявление базировалось на флуоресценции (возбуждение на 280 нм, эмиссия на 325 нм). Интегрирование пиков проводили с помощью программного обеспечения Empower®. Относительные площади под кривыми основного пика, а также для кислых и основных зарядовых вариантов приведены в табл. 28.

Тепловой стресс приводил к снижению процентной доли, приходящейся на основной пик, что должно быть связано с преобладающим образованием кислых зарядовых вариантов. Уменьшение процентной доли, приходящейся на основной пик, было наименее выражено для scFc-конструкции (7,5%). Основные зарядовые варианты образовывались в обеих конструкциях с продлением времени полужизни после воздействия света. Повышение количества основных зарядовых вариантов находилось в диапазоне от 5 до 6% в конструкциях hALB и scFc.

Таблица 28

Оценка зарядовых вариантов методом СКО-хроматографии в препаратах EGFRvIII-не-HLE (каноническая), -hALB и -scFc после индуцированного теплом и светом стресса

Конструкция	не-HLE (каноническая)			hALB			scFc		
	% основной	% кислых	% основных	% основной	% кислых	% основных	% основной	% кислых	% основных
T0	89,9	3,6	6,5	83,3	0,7	16,0	74,5	3,4	22,1
4н 37°C	79,3	11,1	9,5	75,6	9,8	14,6	67,0	11,2	21,8

В дополнение чистоту образцов оценивали в подвергнутых тепловому и световому стрессу образцах, используя анализ методом микрофлюидного капиллярного электрофореза в присутствии додецилсульфата натрия (КЭ-ДСН) на основе системы LabChip GXII (Perkin Elmer). Денатурирующий раствор для образцов состоял из буфера для образца HT Protein Express (поставляемого Perkin Elmer) с добавлением 34 мМ дитиотреитола. Каждый образец разводили 1:8 денатурирующим раствором и нагревали до 70°C в течение 10 мин вместе с лэддером protein express. В 40 мкл денатурированного образца добавляли 35 мкл воды для инъекций (ВДИ). В 12 мкл лэддера добавляли 120 мкл ВДИ. Образцы, лэддер, промыточный буфер protein express, гелевый краситель и обесцвечивающий раствор переносили в соответствующие резервуары. Образцы загружали электрокинетическим способом из микротитровального планшета на чип, объединяя разделение, окрашивание, обесцвечивание и выявления белка и его размерных вариантов. Оценивали полученные в результате электроферограммы и записывали изменения в чистоте. Общая информация по выраженной в процентах чистоте, зарегистрированной после стресса, приведена в табл. 29 и сравнена с не подвергнутыми стрессу образцами (T0).

Более высокую чистоту наблюдали для конструкций hALB и scFc по сравнению с конструкцией не-HLE во всех условиях. Небольшое снижение чистоты по сравнению с T0 было зарегистрировано для конструкций hALB и scFc после теплового и светового стресса. Снижение чистоты после 4-недельного хранения при 37°C составляло в общем 8,4% для конструкции hALB и 6,6% для конструкций scFc. Снижение после воздействия света было сравнимо для конструкций hALB и scFc.

Таблица 29

Обобщенная информация по выраженной в процентах чистоте в подверженных и не подверженных стрессу (T0) препаратах EGFRvIII-не-HLE, -hALB и -scFc, определенной с помощью LabChip GXII (Caliper)

Конструкция	He-HLE (каноническая)	hALB	scFc
T0	57,4	96,0	92,2
4н 37°C	60,6	87,6	85,6
Воздействие света	61,5	90,1	86,4

Пример 15.

Готовили разные конструкции антител ViTE®, сконструированные для нацеливания на DLL3 включая DLL3-hALB и DLL3-scFc, соответственно. Концентрация целевого белка составляла 1,0 мг/мл для обеих конструкций. Приготовленные конструкции антител ViTE® наливали до 1 мл во флаконы из стекла типа I, которые закрывали бутилкаучуковыми пробками и обжимали алюминиевыми колпачками. Наполненные флаконы инкубировали при 37°C (DLL3-hALB) и 40°C (DLL3-scFc) в течение 4 недель. Образцы, хранимые при -70°C, служили в качестве контроля (T0). Образцы анализировали с помощью ЭХ-УЭЖХ в соответствии с методом, описанным в примере 13. Результаты приведены в табл. 30.

scFc-конструкция демонстрировала меньшее снижение количества мономеров (2,3%) после теплового стресса по сравнению с конструкцией hALB (4,0%), хотя температура инкубации была немного выше.

Таблица 30

Обобщенная информация по процентной доле, приходящейся на мономерный пик, в подверженных и не подверженных стрессу (T0) препаратах DLL3-hALB и -scFc, определенной с помощью ЭХ-УЭЖХ

Конструкция	hALB	scFc
T0	97,6%	99,8%
4w	93,6%	97,5%

Пример 16.

Готовили разные конструкции антител ViTE®, сконструированные для нацеливания на CD19 включая CD19-X-тело и CD19-scFc. Концентрация целевого белка составляла 1,0 мг/мл. Приготовленные конструкции антител ViTE® наливали до 1 мл во флаконы из стекла типа I, которые закрывали бутилкаучуковыми пробками и обжимали алюминиевыми колпачками. Наполненные флаконы инкубировали при -20 и 37°C в течение 4 недель. Кроме того, все образцы подвергали воздействию 1,2 Млк видимого света и 173 Вт*ч/м² УФА-света. Температуру в камере устанавливали на 25°C. Образцы, хранимые при -70°C, служили в качестве контроля (T0). Образцы, хранимые при -20 и -37°C, анализировали с помощью ЭХ-УЭЖХ в соответствии с методом, описанным в примере 13. Результаты приведены в табл. 31.

scFc-конструкция сохраняла более высокое содержание мономеров при хранении в течение четырех недель при -20 и 37°C соответственно по сравнению с X-телом.

Таблица 31

Обобщенная информация по содержанию мономеров в подверженных и не подверженных стрессу (T0) препаратах CD19X-тело и -scFc, определенному с помощью ЭХ-УЭЖХ

Конструкция	X-тело	scFc
T0	100,0	98,8
4н -20°C	97,1	97,9
4н 37°C	94,5	95,7

Кроме того, не подверженные стрессу образцы оценивали в отношении наличия невидимых невооруженным глазом частиц с помощью микрофлюидной визуализации (МФВ), используя метод, описанный в примере 13. Результаты приведены в табл. 32. Препарат CD19-scFc демонстрировал существенно меньшие количества невидимых невооруженным глазом частиц по сравнению с препаратом CD19-X-тело. Это применимо ко всем включенным размерным фракциям.

Таблица 32

Оценка невидимых невооруженным глазом частиц методом МФВ в не подверженных стрессу конструкциях CD19-X-тело и -scFc

Конструкция	X-тело				scFc			
	≥ 2	≥ 5	≥ 10	≥ 25	≥ 2	≥ 5	≥ 10	≥ 25
Размер частиц [мкм]								
T0	2648	688	192	32	160	64	43	11

Образцы, которые подвергали световому стрессу, также анализировали методом слабой катионообменной (СКО) хроматографии, чтобы количественно оценить процентное содержание зарядовых вариантов, используя UPLC Aquity H-класса от Waters в соответствии с методом, описанным в примере 13. Относительные площади под кривыми основного пика, а также для кислых и основных зарядовых вариантов приведены в табл. 33.

scFc-конструкция продемонстрировала повышенную стабильность после воздействия света по сравнению с X-телом, на что указывает менее выраженное уменьшение основного пика, которое в общем составило 1,4% по сравнению с 5,5% для конструкции X-тела.

Таблица 33

Оценка зарядовых вариантов методом СКО-хроматографии в препаратах CD19-X-тело и -scFc после индуцированного теплом и светом стресса

Конструкция	X-тело			scFc		
	% основной	% кислых	% основных	% основной	% кислых	% основных
T0	51,4	30,3	18,3	83,5	1,3	15,2
Воздействие света	45,9	33,2	20,9	82,1	1,2	16,7

Пример 17. Эксклюзионная хроматография биспецифических scFc-вариантов.

Конструкции D9F, T2G, D3L, T7I и K6C (смотрите фиг. 7) исследовали в отношении их поведения во время испытаний методом эксклюзионной хроматографии в соответствии со стандартными процедурами. Конкретнее, определенное количество, составляющее 25 мкг, каждой конструкции анализировали (при 750 мкл/мин) в цитратном лизиновом буфере (10 мМ и 75 мМ, pH7) на колонке Superdex 200 increase 10/300GL при комнатной температуре и записывали ОП на 280 нм. После этого проводили сравнение конструкций в отношении времени удержания. В результате конструкция D9F демонстрировала существенно замедленное элюирование (табл. 34) по сравнению с T2G, D3L, T7I и K6C, что указывает на разницу в структуре/упорядочении Fc-доменов. Эта разница во времени удержания была наиболее существенной в случае конструкции T7I, содержащей неспаренные цистеины в шарнирной области и связь СН2 и СН2СН3 с СН3 (18,98 мин и 18,62 мин, разница 0,36 мин). При этом разница во времени удержания в 0,16 мин между D9F и T2G является существенной, учитывая соответствующее время удержания БСА-контроля. БСА-контроль показывал время удержания 19,07 мин для мономеров и 16,82 мин для димеров, демонстрируя разницу в 2,25 мин во времени удержания в случае удвоенной молекулярной массы. Следовательно, так как конструкции имеют структурную разницу только в Fc-части, разница во времени удержания в 0,16 мин является существенной. В целом, конструкция D9F продемонстрировала наибольшее время удержания, что указывает на самое сильное связывание. Этот вывод позволяет ожидать, что D9F также имеет самое большое время полужизни *in vivo*.

Таблица 34

Конструкция	Время удержания в мин
D9F	18,98
T2G	18,82
D3L	18,78
K6C	18,77
T7I	18,62
Мономер БСА	19,07
Димер БСА	16,82

Пример 18. Определение методом поверхностного плазмонного резонанса связывания с человеческим FcRn (FCGRT/B2M).

Каждую из конструкций D9F, T2G, D3L, T7I и K6C (фиг. 7) исследовали в отношении их способности к связыванию с человеческим FcRn в ППР (Biacore) экспериментах в соответствии со стандартными процедурами. Конкретнее, сенсорные чипы CM5 (GE Healthcare) иммобилизовали 450-500 ЕО

FCGRT/B2M (ACRO Biosystems), используя буфер на основе ацетата Na, pH 4,5, и подвижный буфер, состоящий из 200 мМ ГЭПЭС, 150 мМ NaCl, 3 мМ ЭДТК, pH 6,0. Затем конструкции инжестировали в последовательных опытах в двух концентрациях 250 нМ и 125 нМ, разведенных в 200 мМ ГЭПЭС, 150 мМ NaCl, 3 мМ ЭДТК, pH 6,0, и при 36°C. Ассоциацию проводили в течение 90 с со скоростью потока 30 мкл/мин с последующей фазой диссоциации в течение 90 с со скоростью потока 30 мкл/мин в 200 мМ ГЭПЭС, 150 мМ NaCl, 3 мМ ЭДТК, pH 6,0, при 36°C. Последующее восстановление проводили в течение 10 с при 30 мкл/мин с помощью 10 мМ ГЭПЭС, 150 мМ NaCl, 3 мМ ЭДТК, pH 7,4.

Максимальное связывание во время инъекционной фазы измеряли для всех конструкций в соответствующих единицах ответа (ЕО), эквивалентных увеличению молекулярной массы на покрытом FcRn чипе CM5 вследствие наличия связанной конструкции. Все конструкции измеряли в дубликатах. Средние значения определения дубликатов приведены на фиг. 8А и 8В соответственно.

В результате конструкция D9F демонстрировала существенно большее увеличение массы на покрытом FcRn чипе CM5 по сравнению с T2G, D3L, T7I и K6C, что указывает на большую аффинность связывания D9F с человеческим FcRn. Это наблюдение имело место для обеих концентраций соответствующих конструкций.

Связывание с FcRn опосредуется Fc-частью в конструкциях. Более сильное связывание с человеческим FcRn, согласно описанию в литературе, является показателем большего времени полужизни *in vivo* благодаря более высокому внутриклеточному сохранению соответствующего белка и, следовательно, сниженного уровня деградации. По этой причине более сильное связывание D9F с человеческим FcRn по сравнению с другими конструкциями делает эту молекулу бесспорно превосходящей в качестве основы для терапевтических молекул, обеспечивающей более длительное нахождение потенциального лекарственного препарата в организме пациента и меньшую частоту введения лекарственного препарата.

Пример 19. Определение методом поверхностного плазмонного резонанса связывания с человеческим FcRn (FCGRT/B2M).

Каждую из конструкций D9F, T2G, D3L, T7I и K6C и человеческое IgG1-каппа антитело MT201 исследовали в отношении их способности к связыванию с человеческим FcRn в ППП (Biacore) экспериментах в соответствии со стандартными процедурами. Конкретнее, сенсорные чипы CM5 (GE Healthcare) иммобилизовали около 350 ЕО FCGRT/B2M (ACRO Biosystems), используя буфер на основе ацетата Na, pH 4,5, и подвижный буфер, состоящий из 200 мМ ГЭПЭС, 150 мМ NaCl, 3 мМ ЭДТК, pH 6,0. Затем конструкции и человеческий IgG1-каппа контроль (MT201) инжестировали в концентрации 125 нМ, разведенной в 200 мМ ГЭПЭС, 150 мМ NaCl, 3 мМ ЭДТК, pH 6,0, и при 36°C. Ассоциацию проводили в течение 90 с со скоростью потока 30 мкл/мин с последующей фазой диссоциации в течение 60 с со скоростью потока 30 мкл/мин в 200 мМ ГЭПЭС, 150 мМ NaCl, 3 мМ ЭДТК, pH 6,0, при 36°C. Последующее восстановление проводили в течение 10 с при 30 мкл/мин с помощью 10 мМ ГЭПЭС, 150 мМ NaCl, 3 мМ ЭДТК, pH 7,4.

Максимальное связывание во время фазы инъекции измеряли для всех конструкций в соответствующих единицах ответа (ЕО), эквивалентных увеличению молекулярной массы на покрытом FcRn чипе CM5 вследствие наличия связанной конструкции. Все конструкции измеряли в дубликатах. На фиг. 9 приведены средние значения определения дубликатов, включая планки погрешностей, указывающие стандартное отклонение.

В результате конструкция D9F демонстрировала существенно большее увеличение массы на покрытом FcRn чипе CM5 по сравнению с T2G, D3L, T7I и K6C, что указывает на большую аффинность связывания D9F с человеческим FcRn. Увеличение массы на покрытом FcRn чипе CM5 для D9F хорошо сравнимо с увеличением массы человеческого IgG1-каппа контрольного антитела MT201, что указывает на сравнимое связывание конструкции D9F с человеческим FcRn.

Связывание с FcRn опосредуется Fc-частью человеческого IgG1 в конструкциях. Более сильное связывание с человеческим FcRn, согласно описанию в литературе, является показателем большего времени полужизни *in vivo* благодаря более высокому внутриклеточному сохранению соответствующего белка и, следовательно, сниженного уровня деградации. По этой причине более сильное связывание D9F с человеческим FcRn в диапазоне человеческого IgG1-каппа антитела (MT201) по сравнению с другими конструкциями делает эту молекулу бесспорно превосходящей в качестве основы для терапевтических молекул, обеспечивающей более длительное нахождение потенциального лекарственного препарата в организме пациента, предположительно в диапазоне полноразмерного человеческого антитела IgG1, и меньшую частоту введения лекарственного препарата.

Таблица последовательностей

SEQ ID NO:	Обозначение	Формат/ Источник	Последовательность
1.	Линкер G4S		GGGGG
2.	Линкер (G4S) 2		GGGGSGGGG
3.	Линкер (G4S) 3		GGGGSGGGGSGGGG
4.	Линкер (G4S) 4		GGGGSGGGGSGGGGSGGGG
5.	Линкер (G4S) 5		GGGGSGGGGSGGGGSGGGGSGGGG
6.	Линкер (G4S) 6		GGGGSGGGGSGGGGSGGGGSGGGGSGGGG
7.	Линкер (G4S) 7		GGGGSGGGGSGGGGSGGGGSGGGGSGGGG GGGGG
8.	Линкер (G4S) 8		GGGGSGGGGSGGGGSGGGGSGGGGSGGGG GGGGSGGGG
9.	Пептидный линкер		PGGGG
10.	Пептидный линкер		PGGDGS
11.	Пептидный линкер		SGGGG
12.	Пептидный линкер		GGGG
13.	CD3ε- связывающая VL		qtvvtqepsiltvspggtvtltcgsstgavt sgnypnwwqqkpgqaprgliggtkflapgt parfsgsllggkaaltlsgvqpedeaeyyc vlwysnrwvfgggtkltvl
14.	CD3ε- связывающая VH		evqlvesggglvqpqgslrlscaasgftfn syamnwvrqapqkglewvarirskynnyat yyadsvkgrftisrddskntaylqmnsikt edtavyycvrhgnfgnsyvswwaywgggtl vtvss
15.	CD3ε- связывающий scFv		evqlvesggglvqpqgslrlscaasgftfn syamnwvrqapqkglewvarirskynnyat yyadsvkgrftisrddskntaylqmnsikt edtavyycvrhgnfgnsyvswwaywgggtl vtvssggggsgggsgggsgggsgttvtqepsil tvspggtvtltcgsstgavtsgnypnwwqq kpgqaprgliggtkflapgtparfsgsllg gkaaltlsgvqpedeaeyycvlwysnrwvf gggtkltvl
16.	гекса- гистидинова я метка		HHHHHH
17.	Fc-мономер-		dkthtccppapellggpsvflfppkpkdt

	1 +c/-g		lmsrtpevtcvvvdvshedpevkfnwyvd gvevhnaktkpceeqqgstyrcvsvltvlh qdwlngkeykckvsnkalpapiektiskak gqprepqvvtlppsreemtknqvsltclvk gfypsdiavewesngqpennykttppvlds dgsfflyskltvdksrwqqgnvfscsvmhe alhnhytqkslslspgk
18.	FC-мономер- 2 +c/-g/delGK		dkthtcppcpapellggpsvflfppkpkdt lmsrtpevtcvvvdvshedpevkfnwyvd gvevhnaktkpceeqqgstyrcvsvltvlh qdwlngkeykckvsnkalpapiektiskak gqprepqvvtlppsreemtknqvsltclvk gfypsdiavewesngqpennykttppvlds dgsfflyskltvdksrwqqgnvfscsvmhe alhnhytqkslslsp
19.	FC-мономер- 3 -c/+g		dkthtcppcpapellggpsvflfppkpkdt lmsrtpevtcvvvdvshedpevkfnwyvd gvevhnaktkpreeqynstyrvsvltvlh qdwlngkeykckvsnkalpapiektiskak gqprepqvvtlppsreemtknqvsltclvk gfypsdiavewesngqpennykttppvlds dgsfflyskltvdksrwqqgnvfscsvmhe alhnhytqkslslspgk
20.	FC-мономер- 4 -c/+g/delGK		dkthtcppcpapellggpsvflfppkpkdt lmsrtpevtcvvvdvshedpevkfnwyvd gvevhnaktkpreeqynstyrvsvltvlh qdwlngkeykckvsnkalpapiektiskak gqprepqvvtlppsreemtknqvsltclvk gfypsdiavewesngqpennykttppvlds dgsfflyskltvdksrwqqgnvfscsvmhe alhnhytqkslslsp
21.	FC-мономер- 5 -c/-g		dkthtcppcpapellggpsvflfppkpkdt lmsrtpevtcvvvdvshedpevkfnwyvd gvevhnaktkpreeqqgstyrvsvltvlh qdwlngkeykckvsnkalpapiektiskak

			<p>gqprepqvylppsreemtknqvsltcclvk gfypsdiawesngqpennykttppvlds dgsfflyskltvdksrwqqgnvfscsvmhe alhhnytqkslsislspgk</p>
22.	<p>Fc-мономер- 6 -c/-g/delGK</p>		<p>dkthtcppcpapellggpsvflfppkpkdt lmsrtpevtcvvvdvshedpevkfnwyvd gvevhnaktkpreeqygstyrvsvltvlh qdwlngkeykckvsnkalpapiektiskak gqprepqvylppsreemtknqvsltcclvk gfypsdiawesngqpennykttppvlds dgsfflyskltvdksrwqqgnvfscsvmhe alhhnytqkslsislsp</p>
23.	<p>Fc-мономер- 7 +c/+g</p>		<p>dkthtcppcpapellggpsvflfppkpkdt lmsrtpevtcvvvdvshedpevkfnwyvd gvevhnaktkpcee qynstyrcvsvltvlh qdwlngkeykckvsnkalpapiektiskak gqprepqvylppsreemtknqvsltcclvk gfypsdiawesngqpennykttppvlds dgsfflyskltvdksrwqqgnvfscsvmhe alhhnytqkslsislspgk</p>
24.	<p>Fc-мономер- 8 +c/+g/delGK</p>		<p>dkthtcppcpapellggpsvflfppkpkdt lmsrtpevtcvvvdvshedpevkfnwyvd gvevhnaktkpcee qynstyrcvsvltvlh qdwlngkeykckvsnkalpapiektiskak gqprepqvylppsreemtknqvsltcclvk gfypsdiawesngqpennykttppvlds dgsfflyskltvdksrwqqgnvfscsvmhe alhhnytqkslsislsp</p>
25.	<p>scFc-1</p>		<p>dkthtcppcpapellggpsvflfppkpkdt lmsrtpevtcvvvdvshedpevkfnwyvd gvevhnaktkpcee qygstyrvsvltvlh qdwlngkeykckvsnkalpapiektiskak gqprepqvylppsreemtknqvsltcclvk gfypsdiawesngqpennykttppvlds dgsfflyskltvdksrwqqgnvfscsvmhe</p>

		<p>alhnhytqkslsls spgkGGGGSGGGSGGG GSGGGSGGGSGGGSGGGsktht cppcpape llggpsvflfppkpkdtl misrtpevtcvv vdvshedpevkfnwyvdgvevhnaktkpce eqygstyrcvsvltvlhqdwlngkeykckv snkalpapiektiskakgqprepvytlpp sreemtknqvsltclvkgfypsdiavewes ngqpennykttpvlds dgsfflyskltvd ksrwqqgnvfscsvmhealhnhytqksls spgk</p>
26.	scFc-2	<p>dktht cppcpapellggpsvflfppkpkdt l misrtpevtcvv vdvshedpevkfnwyvd gvevhnaktkpcee qygstyrcvsvltvlh qdwlngkeykckvsnkalpapiektiskak gqprepvytlppsreemtknqvsltclvk gfypsdiavewesngqpennykttpvlds dgsfflyskltvdksrwqqgnvfscsvmhe alhnhytqkslsls spgkGGGGSGGGSGGG GGGSGGGSGGGSGGGsktht cppcpapell ggpsvflfppkpkdtl misrtpevtcvvvd vshedpevkfnwyvdgvevhnaktkpcee ygstyrcvsvltvlhqdwlngkeykckvsn kalpapiektiskakgqprepvytlppsr eemtknqvsltclvkgfypsdiavewesng qpennykttpvlds dgsfflyskltvdks rwqqgnvfscsvmhealhnhytqksls sp</p>
27.	scFc-3	<p>dktht cppcpapellggpsvflfppkpkdt l misrtpevtcvv vdvshedpevkfnwyvd gvevhnaktkpreeqynstyrvsvltvlh qdwlngkeykckvsnkalpapiektiskak gqprepvytlppsreemtknqvsltclvk gfypsdiavewesngqpennykttpvlds dgsfflyskltvdksrwqqgnvfscsvmhe alhnhytqkslsls spgkGGGGSGGGSGGG GSGGGSGGGSGGGSGGGsktht cppcpape</p>

		<p>llggpsvflfppkpkdtlmisrtpevtcvv vdvshedpevkfnwyvdgvevhnaktkpre eqynstyrvsvltvlhqdwlngkeykckv snkalpapiektiskakgqprepvytlpp sreemtknqvsltclvkgfypsdiavewes ngqpennyktppvlds dgsfflyskltvd ksrwqqgnvfscsvmhealhnhytqkslsl spgk</p>
28.	scFc-4	<p>dkthtccppapellggpsvflfppkpkdt lmisrtpevtcvvvdvshedpevkfnwyvd gvevhnaktkpreeqynstyrvsvltvlh qdwlngkeykckvsnkalpapiektiskak gqprepvytlppsreemtknqvsltclvk gfypsdiavewesngqpennyktppvlds dgsfflyskltvdksrwqqgnvfscsvmhe alhnhytqkslslspGGGSGGGSGGGGS GGGSGGGSGGGGSdkthtccppapell ggpsvflfppkpkdtlmisrtpevtcvvvd vshedpevkfnwyvdgvevhnaktkpreeq ynstyrvsvltvlhqdwlngkeykckvsn kalpapiektiskakgqprepvytlppsr eemtknqvsltclvkgfypsdiavewesng qpennyktppvlds dgsfflyskltvdks rwqqgnvfscsvmhealhnhytqkslslsp</p>
29.	scFc-5	<p>dkthtccppapellggpsvflfppkpkdt lmisrtpevtcvvvdvshedpevkfnwyvd gvevhnaktkpreeqgstyrvsvltvlh qdwlngkeykckvsnkalpapiektiskak gqprepvytlppsreemtknqvsltclvk gfypsdiavewesngqpennyktppvlds dgsfflyskltvdksrwqqgnvfscsvmhe alhnhytqkslslspgkGGGSGGGSGGG GSGGGSGGGSGGGGSdkthtccppape llggpsvflfppkpkdtlmisrtpevtcvv vdvshedpevkfnwyvdgvevhnaktkpre</p>

		<p>eqygstyrvvsvltvlhqdwlngkeykckv snkalpapiektiskakgqprepqvylpp sreemtnqvsltclvkgfypsdiavewes ngqpennykttppvldsdgsfflyskltvd ksrwqqgnvfscsvmhealhnhytqkslsl spgk</p>
30.	scFc-6	<p>dkthtccpppapellggpsvflfppkpkdt lmisrtpevtcvvvdvshedpevkfnwyvd gvevhnaktkpreeqygstyrvvsvltvlh qdwlngkeykckvsnkalpapiektiskak gqprepqvylppsreemtnqvsltclvk gfypsdiavewesngqpennykttppvlds dgsfflyskltvdksrwqqgnvfscsvmhe alhnhytqkslslspGGGGSGGGSGGGGS GGGGSGGGSGGGGSdkthtccpppapell ggpsvflfppkpkdtlmisrtpevtcvvvd vshedpevkfnwyvdgvevhnaktkpreeq ygstyrvvsvltvlhqdwlngkeykckvsn kalpapiektiskakgqprepqvylppsr eemtnqvsltclvkgfypsdiavewesng qpennykttppvldsdgsfflyskltvdks rwqqgnvfscsvmhealhnhytqkslslsp</p>
31.	scFc-7	<p>dkthtccpppapellggpsvflfppkpkdt lmisrtpevtcvvvdvshedpcvkfnwyvd gvevhnaktkpceeqynstycvsvltvlh qdwlngkeykckvsnkalpapiektiskak gqprepqvylppsreemtnqvsltclvk gfypsdiavewesngqpennykttppvlds dgsfflyskltvdksrwqqgnvfscsvmhe alhnhytqkslslspgkGGGGSGGGSGGGG GSGGGSGGGSGGGGSdkthtccpppape llggpsvflfppkpkdtlmisrtpevtcvv vdvshedpevkfnwyvdgvevhnaktkpce eqynstycvsvltvlhqdwlngkeykckv snkalpapiektiskakgqprepqvylpp</p>

			sreemtknqvsltclvkgfypsdiavewes ngqpennykttppvlds dgsfflyskltvd ksrwqqgnvfscsvmhealhhnytqkslsl spgk
32.	scfc-8		dkthtcppcpapellggpsvflfppkpkdt lmisrtpevtcvvvdvshedpevkfnwyvd gvevhnaktkpcceeqnstyrvcsvltvlh qdwlngkeykckvsnkalpapiektiskak gqprepqvylppsreemtknqvsltclvk gfypsdiavewesngqpennykttppvlds dgsfflyskltvdksrwqqgnvfscsvmhe alhhnytqkslslspGGGSGGGSGGGGS GGGSGGGSGGGGSdkthtcppcpapell ggpsvflfppkpkdtlmisrtpevtcvvvd vshedpevkfnwyvdgvevhnaktkpcceeq ynstyrvcsvltvlhqdwlngkeykckvsn kalpapiektiskakgqprepqvylppsr eemtknqvsltclvkgfypsdiavewesng qpennykttppvlds dgsfflyskltvdks rwqqgnvfscsvmhealhhnytqkslslsp
33.	MSLN-HLE	Гетеро- Fc, цепь 1	qvqlvesggglvkgpgslrlscaasgftfs dyymtwirqapgglewlsyisssgstiyy adsvkgrftisrdnaknslflqmnsraed tavyycardrnshfdywggtlvtvssggg gsgggsggggsdiqmtqspssvsasvdr vtitcrasqgintwlawyqqkpgkapkli ygasglqsgvpsrfs gsgsgtdftltissl qpedfatyycqaksfprtfgqgkveiks ggggsevqlvesggglvqpggslklscas gftfnkyamnvrqapgglewvarirsky nnyatyadsvkdrftisrddskntaylqm nnlktedtavyycvrhgnfgnsyisywayw gggtlvtvssggggsgggsgggsgtvtv qepsltvspggtvltcgsstgavtsgnyp nvwqqkpgqaprgliggtkflapgtparfs

			<p>gsllggkaaltlsgvqpedeaeyycvlwys nrwvfgggtkltvlgggdkthtccppcpap ellggpsvflfppkpkdtlmisrtpevtcv vvdvshedpevkfnwyvdgvevhnaktkpc eeqygstyrcvsvltvlhqdwlngkeykck vsnkalpapiektiskakgqprepvytlp psrkemtknqvsltclvkgyfypsdiavewe sngqpennykttppvlksdgsfflyskltv dksrwqqgnvfscsvmhealhnhytqksls lspgk</p>
34.	MSLN-HLE	Гетеро- Ес, цепь 2	<p>dkthtccppcpapellggpsvflfppkpkdt lmisrtpevtcvvvdvshedpevkfnwyvd gvevhnaktkpcceezygstyrcvsvltvlh qdwlngkeykckvsnkalpapiektiskak gqprepvytlppsreemtknqvsltclvk gyfypsdiavewesngqpennydttppvlds dgsfflysdltvdksrwqqgnvfscsvmhe alhnhytqkslslspgk</p>
35.	MSLN-HLE	hALB- слияние	<p>Qvqlvesggglvkpggslrlscaasgftfs dyymtwirqapgkglewlsyisssgstiyy adsvkgrftisrdnaknslflqmnsraed tavyycardrnshfdywgqgtlvtvssggg gsgggsggggsdiqmtqspssvsasvqdr vtitcrasqgintwlawyqkpgkapklli ygasglqsgvpsrfsqsgsgtdftltissl qpedfatyyccqaksfprtfgqgtkveiks ggggsevqlvesggglvqpggslklscas gftfnkyamnvrqapgkglewvarirsky nnyatyadsvkdrftisrddskntaylqm nnlktedtavyycvrhgnfgnsyisywayw gqgtlvtvssggggsgggsgggsgtvtv qepsltvspggtvltcgsstgavtsgnyp nwwqqkpgqaprgliggtkflapgtparfs gsllggkaaltlsgvqpedeaeyycvlwys nrwvfgggtkltvlpggdgsdahksevhahr</p>

			<p>fkdlgeenfkalvliafaqylqqcpfedhv klvnevtefaktcvadesaencdkslhtlf gdklctvatlretygemadccakqeperne cflqhkddnplprlvvrpevdmctafhdn eetflkkylveyiarrhpyfyapellffakr ykaafteccqaadkaacllpkldehrdegk assakqrlkcaslqkfgerafkawavarls qrfpkaefaevsklvtdltkvhtecchgdl lecaddradlakycenqdsissklkecce kpllekshciaevendempadlpslaadv eskdvcnyaeakdvflgmflyeyarrhpd ysvvlrlaktyettlekccaaadphecy akvfdefkplveepqnlkqncelfeqlge yqfnallvrytkkvpqvstptlvevsrnl gkvgskcckhpeakrmpcaedylsvlnql cvlhektpvsdrvtkccteslvnrrpcfsa levdetyvpkefnaetftfhadictlseke rqikkqtalvelvkhkpkatkeqlkavmdd faafvekckaddketcfaeegkklvaasq aalglhhhhh</p>
36.	CDH19-HLEa	X-тело, цепь 1	<p>evqlvesggglvqpggslklscaasgftfn kyamwvrqapggglewvarirskynnyat yyadsvkdrftisrddsntaylqmnnlkt edtavyycvrhgnfgnsyisywaywgqgtl vtvssggggsgggssyeltqppsvsvspg qtasitcsgdrlgekytswyqrrpgqsp11 viyqdtkrpsgiperfsgsngntatltis gtqamdeadyycqawesstvfvgggtkltv lastkgpsvfplapsskstsggtaalgclv kdyfpepvtvswngaltsgvhtfpavlqs sglyslssvvtvpssslgtqtyicvnhkp sntkvdkkvepkscdkthtcppcpapellg gpsvflfppkpkdtlmsrtpevtcvvvdv shedpevkfnwyvdgvevhnaktkpcceeqy gstyrcvsvltvlhqdwlngkeykckvsnk</p>

			alpapiektiskakgqprepqvvtlppsre emtknqvsltclvkgfypsdiavewesngq pennydtppvldsdsfflysdltvdksr wqqgnvfscsvmhealhnhytqkslslspg k
37.	CDH19-HLEb	X-тело, цепь 2	qvqlvesgggvvqpggslrlscaasgftfs sygmhwvrqapgkglewvafiweyegsnkyy aesvkdrftisrdnskntlylqmnsraed tavyyarragiigtigyyygmdvwgqggt vtvssggggsgggsggtvtvtqepsltvspg gtvtltcgsstgavtsgnypnwvqqkpgga prgliggtkflapgtparfsgsllgkkaal tlsgvqpedeaeycwlwysnrwvfgggtk ltvlgqpkapsvtlfppsseelqankatl vclisdfypgavtvawkadsspvkagvett tpskqsnkyaassylsltpeqwkshrsys cqvtthegstvektvaptecdkthtcppcp apellggpsvflfppkpkdtlmisrtpevt cvvvdvshedpevkfnwyvdgvevhnaktk pceeeygstyrcsvlvtvlhqdwlngkeyk ckvsnkalpapiektiskakgqprepqvvt lppsrekemtknqvsltclvkgfypsdiave wesngqpennykttppvlksdgsfflyskl tvdksrwqqgnvfscsvmhealhnhytqks lslspgk
38.	CDH19-HLE	Гетеро- Fc, цепь 1	qvqlvesgggvvqpggslrlscaasgftfs sygmhwvrqapgkglewvafiweyegsnkyy aesvkdrftisrdnskntlylqmnsraed tavyyarragiigtigyyygmdvwgqggt vtvssggggsgggsgggsgggssyeltqppsv svspgqtasitcsgdrlgekytswyqrrpg qspllvlyqdtkrpsgiperfsgsngnta tltisgtqamdeadyycawesstvvfggg tkltvlsggggsevqlvesggglvqpggsl klscaasgftfnkyamnvwvrqapgkglewv

			<p>arirskynnyatyadsvkdrftisrddsk ntaylqmnlnktdtavyycvrhgnfgnsy isywaywgqgtlvtvssgggsgggsggg gsqvtvtqepsltvspggtvtltcgsstga vtsgnypnwvqqkpgqaprgliggtkflap gtparfsgsllggkaaltlsgvqpedeae ycvlwysnrwvfgggtklvtlgggdktht cppcpapellggpsvflfppkpkdtlmisr tpevtcvvvdvshedpevkfnwyvdgvevh naktkpceezygstyrcvsvltvlhqdwln gkeykckvsnkalpapiektiskakgpre pqvytlppsrekentknqvsltclvkgfyps diavewesngqpennyktppvlksdgsff lysklvtvdksrwqqgnvfscsvmhealnhh ytqkslslspgk</p>
39.	CDH19-HLE	Гетеро- Fc, цепь 2	<p>dkthtcppcpapellggpsvflfppkpkdt lmisrtpevtcvvvdvshedpevkfnwyvd gvevhnaktkpceezygstyrcvsvltvlh qdwlngkeykckvsnkalpapiektiskak gqprepvytlppsreemtknqvsltclvk gfypsdiavewesngqpennydtppvlds dgsfflysdltvdksrwqqgnvfscsvmhe alnhhtqkslslspgk</p>
40.	CD33-HLE	Гетеро- Fc, цепь 1	<p>qvqlvqsgacvkkpgcsvgkveckasgytft nygmwvkqapggclewmgwintytgepty adkfqgrvtmtdtststaymeirnlggdd tavyycarwsdgyyvyfdywgqtsvtv ssgggsgggsgggsgggdivmtqspdsltv slgerttinckssqsvldsstnknslawyq qkpgqppklllswastresgipdrfsgsgs gtdftltidspqedsatyycqqsahfpit fgcgtrleiksggggsevqlvesggglvqp ggsllkscaasgftfnkyamnvrqapkgg lewvarirskynnyatyadsvkdrftisr ddskntaylqmnlnktdtavyycvrhgnf</p>

			<p>gnsyisywaywgqgtlvtvssgggsgggg sgggsgtvtvtqepsltvspggtvtltcgs stgavtsgnypnwvqkpgqaprgliggk flapgtparfsgsllggkaaltlsgvqped eaeyycvlwysnrwvfgggtklvtlvgggd kthtccppapellggpsvflfppkpkdtl misrtpevtcvvvdvshedpevkfnwyvdg vevhnaktkpeeeygstyrcvsvltvlhq dwlngkeykckvsnkalpapiektiskakg qprepvytlppsrekmtknqvsltclvk fypsdiavewesngqpennyktppvlksd gsfflyskltvdksrwqqgnvfscsvmhea lhnhytqkslslspgk</p>
41.	CD33-HLE	Гетеро- Fc, цепь 2	<p>dkthtccppapellggpsvflfppkpkdt lmisrtpevtcvvvdvshedpevkfnwyvd gvevhnaktkpeeeygstyrcvsvltvlh qdwlngkeykckvsnkalpapiektiskak gqprepvytlppsreemtknqvsltclvk gfypsdiavewesngqpennydttppvlds dgsfflysdltvdksrwqqgnvfscsvmhe alhnhytqkslslspgk</p>
42.	CD33-HLE	scFc	<p>qvqlvqsgaevkkgesvkvscasgytft nygmnwvkqapggclewmgwintytgepty adkfqgrvtmttdtststaymcirnlggdd tavyyarwswsdgyyvyfdywgqtsvtv ssgggsgggsgggsgggsdivmtqspdsltv slgerttinckssqsvldsstnknslawyq qkpgqppklllswastresgipdrfsgsgs gtdftltidspqpedsatyycqqsahfpit fgcgtrleiksggggsevqlvesggglvqp ggsllkscaasgftfnkyamnvrqapgk lewvarirskynnyatyyadsvkdrftisr ddskntaylqmnltktdtavyycvrhgnf gnsyisywaywgqgtlvtvssgggsgggg sgggsgtvtvtqepsltvspggtvtltcgs</p>

		<p>stgavtsgnypnwvqqkpgqaprgliggtk flapgtparfsgsllggkaaltlsgvqped eaeyycvlwysnrwvfgggtklvtlvgggd kthtccppapellggpsvflfppkpkdtl misrtpevtcvvvdvshedpevkfnwyvdg vevhnaktkpeeogygstyrcvsvltvlhq dwlngkeykckvsnkalpapiektiskakg qprepvytlppsreemtknqvsltclvkg fypsdiavewesngqpennyktppvldsd gsfflyskltvdksrwqqgnvfscsvmhea lhnhytqkslsispkgggggsgggsgggg sgggsgggsgggsggskthtccppapell lggpsvflfppkpkdtlmisrtpevtcvv dvshedpevkfnwyvdgvevhnaktkpee qygstyrcvsvltvlhqdwlngkeykckvs nkalpapiektiskakgqprepvytlpps reemtknqvsltclvkgfypsdiavewesn qpennyktppvldsdgsfflyskltvdk srwqqgnvfscsvmhealhnhytqksls pgk</p>
43.	CD20-HLE	<p>scFc</p> <p>qvqlvqsgaevkkpgssvkvscasgyafs yswinwvrqapggglewmgrifpgdgdtdy ngkfkgrvtitadkststaymelsslrsed tavyycarnvfdgywlvywgqgtlvtvsg ggsgggsgggsggdivmtqtplslpvtpg epasiscrssksllhsngitylywylqkpg qspqlliyqmsnlvsgvpdrfsgsgsgtdf tlkisrveaedvgvycaqnlelpytfggg tkveiksggggsevqlvesggglvqpggs klscaasgftfnkyamnvrqapggglewv arirskynnyatyadsvkdrftisrddsk ntaylqmnlktdtavyycvrhgnfgnsy isywaywgqgtlvtvsgggsgggsgggg gsqtvtqepsltvspggtvtltcgsstga vtsgnypnwvqqkpgqaprgliggtkflap</p>

			<p>gtparfsgsllggkaaltlsgvqpedeae ycvlwysnrwvfgggtklvtlgggdktht cpcpapellggpsvflfppkpkdtlmisr tpevtcvvvdvshdpevkfnwyvdgvevh naktkpceeqqgstyrcvsvltvlhqdwln gkeykckvsnkalpapiektiskakgpre pqvytlppsreemtknqvsltclvkgfyps diavewesngqpennykttppvldsdsff lyskltvdksrwqgnvfscsvmhealthnh ytqkslslspgkgggsgggsgggsggg gsgggsgggsgdkthtcpcpapellggp svflfppkpkdtlmisrtpevtcvvvdvsh edpevkfnwyvdgvevhnaktkpceeqqgs tyrcvsvltvlhqdwlngkeykckvsnk apiektiskakgprepqvytlppsreem tknqvsltclvkgfypsdiavewesngqpe nnykttppvldsdsfflyskltvdksrwq qgnvfscsvmhealthnhytqkslslspgk</p>
44.	CD33xI2C- scFc	VH CDR1	nygmn
45.	CD33xI2C- scFc	VH CDR2	wintytgeptyadkfqq
46.	CD33xI2C- scFc	VH CDR3	wswsdgyyvyfdy
47.	CD33xI2C- scFc	VL CDR1	kssqsvldsstknksla
48.	CD33xI2C- scFc	VL CDR2	wastres
49.	CD33xI2C- scFc	VL CDR3	qqsahfpit
50.	CD33xI2C- scFc	VH	<p>qvqlvqsgaevkkpgesvksckasgytft nygmnwvkqapggglewmgwintytgepty adkfqgrvtmtdtstststaymeirnlggdd tavyyicarwswsdgyyvyfdywgqgtsvtv ss</p>

51.	CD33xI2C- scFc	VL	divmtqspdsltvslgerttinckssqsvl dsstnknslawyqqkpgqppklllswastr esgipdrfsgsgsgtdftltidspqpedsa tyycqqsahfpitfgggtrleik
52.	CD33xI2C- scFc	scFv	qvqlvqsgaevkkpgesvkvscasgytft nygmwvkqapggglewmgwintytgepty adkfqgrvtmtdtststaymeirnlggdd tavyyicarwsdgyyvyfdywgqgtsvtv ssggggsgggsgggsgdivmtqspdsltv slgerttinckssqsvldsstnknslawyq qkpgqppklllswastresgipdrfsgsgs gtdftltidspqpedsatyycqqsahfpit fgggtrleik
53.	CD33xI2C- scFc	Биспецифи ческая молекула	qvqlvqsgaevkkpgesvkvscasgytft nygmwvkqapggglewmgwintytgepty adkfqgrvtmtdtststaymeirnlggdd tavyyicarwsdgyyvyfdywgqgtsvtv ssggggsgggsgggsgdivmtqspdsltv slgerttinckssqsvldsstnknslawyq qkpgqppklllswastresgipdrfsgsgs gtdftltidspqpedsatyycqqsahfpit fgggtrleiksggggsevqlvesggglvqp ggslklascaasgftfnkyamnvrqapkg lcwvarirskynnyatyyadevkdrtisr ddskntaylqmnlktedtavyycvrhgnf gnsyisywaywgqglvtvssggggsgggg sgggsgtvtvtepsltvspggtvltcgs stgavtsgnypnwqqkpgqaprgliggtk flapgtparfsgslggkaaltlsgvqped eaeyycvlwysnrwvfgggtkltvl
54.	CD33xI2C- scFc	Биспецифи ческая молекула HLE	qvqlvqsgaevkkpgesvkvscasgytft nygmwvkqapggglewmgwintytgepty adkfqgrvtmtdtststaymeirnlggdd tavyyicarwsdgyyvyfdywgqgtsvtv ssggggsgggsgggsgdivmtqspdsltv

			<p>slgerttinckssqsvldsstnkslawyq qkpgqppklllswastresgipdrfsgsgs gtdftltidspqpedsatyycqqsahfpit fgqgtrleiksggggsevqlvesggglvqp ggsklkscaasgftfnkyamnvrqapgkg lewvarirskynnyatyadsvkdrftisr ddskntaylqmnlnktdtavyycvrhgnf gnsyisywaywqggtlvtvssgggsgggg sggggsqtvvvtqepsltvspggtvtltcgs stgavtsgnypnwvqqkpgqaprgliggtk flapgtparfsgsllggkaaltlsgvqped eaeyycvlwysnrwvfgggtkltvlggggd kthtppcpapellggpsvflfppkpkdtl misrtpevtcvvvdvshedpevkfnwyvdg vevhnaktkpeeogygstyrcvsvltvlhq dwlngkeykckvsnkalpapiektiskakg qprepvytlppsreemtknqvsltclvkg fypsdiavewesngqpennykttpvldsd gsfflyskltvdksrwqggnvfscsvmhea lhnhytqkslsispkggggsgggsgggg sgggsgggsgggsggskthtppcpapel lggpsvflfppkpkdtlmisrtpevtcvvv dvshedpevkfnwyvdgvevhnaktkpee qygstyrcvsvltvlhqdwlngkeykckvs nkalpapiektiskakgqprepvytlpps reemtknqvsltclvkgfypsdiavewesn gqpennykttpvldsdgsfflyskltvdk srwqggnvfscsvmhealhnhytqksls pgk</p>
55.	CD33xI2C- scFc_delGK	Биспецифи ческая молекула HLE	<p>qvqlvqsgaevkkpgesvkvscasgytft nygmwvkqapggglewmgwintytgepty adkfqgrvtmttdtststaymeirnlggdd tavyycarwsdgyyvyfdywgqgtsvtv ssgggsgggsgggsggdi vmtqspdsltv slgerttinckssqsvldsstnkslawyq</p>

			<p>qkpgqppklllswastresgipdrfsgsgs gtdftltidspqpedsatyycqqsahfpit fgggtrleiksggggsevqlvesggglvqp ggsllkscaasgftfnkyamnvrqapgkg lewvarirskynnyatyyadsvkdrftisr ddskntaylqmnlnktdtavyycvrhgnf gnsyisywaywgqgtlvtvssgggsgggg sgggsgtvtvqepsltvspggtvtltcgs stgavtsgnypnwvqqkpgqaprgliggk flapgtparfsgsllggkaaltlsgvqped eaeyycvlwysnrwvfgggtklvtlvgggd kthtppcpapellggpsvflfppkpkdtl misrtpevtcvvvdvshedpevkfnwyvdg vevhnaktkpeeeygstyrcvsvltvlhq dwlngkeykckvsnkalpapiektiskakg qprepvytlppsreemtknqvsltclvkg fypsdiavewesngqpennykttpvldsd gsfflyskltvdksrwqggnvfscsvmhea lhnhytqkslslspgggsgggsgggsgg ggsgggsgggsgdkthtppcpapellg gpsvflfppkpkdtlmisrtpevtcvvvdv shedpevkfnwyvdgvevhnaktkpeeey gstyrcvsvltvlhqdwlngkeykckvsnk alpapiektiskakgqprepvytlppsre emtknqvsltclvkgfypsdiavewesngq pennykttpvldsdgsfflyskltvdksr wqggnvfscsvmhealhnhytqkslslspg k</p>
56.	CD33_CCxI2C -scFc	VH	<p>qvqlvqsgaevkkpgesvkvscasgytft nygmwvqapggcclwmgwintytgepty adkfqgrvtmtdtststaymeirnlggdd tavyyicarwswsdgyvyfydywgqgtsvtv ss</p>
57.	CD33_CCxI2C -scFc	VL	<p>divmtqspdsltvslgerttinckssqsvl dsstknslawyqqkpgppklllswastr</p>

			esgipdrfsgsgsgtdftltidspqpedsa tyycqqsahfpitfgcgrleik
58.	CD33_CCxI2C -scFc	scFv	qvqlvqsgaevkkpgesvkvscasgytft nygmwvkqapggclewmgwintytgepty adkfqgrvtmtdtststayeirnlggdd tavyyarwswsdgyvyfydywgqtsvtv ssgggsgggsgggsgdi vmtqspdsltv slgerttinckssqsvldsstnknslawyq qkpgqppklllswastresgipdrfsgsgs gtdftltidspqpedsatyycqqsahfpit fgcgrleik
59.	CD33_CCxI2C	Биспецифи ческая молекула	qvqlvqsgaevkkpgesvkvscasgytft nygmwvkqapggclewmgwintytgepty adkfqgrvtmtdtststayeirnlggdd tavyyarwswsdgyvyfydywgqtsvtv ssgggsgggsgggsgdi vmtqspdsltv slgerttinckssqsvldsstnknslawyq qkpgqppklllswastresgipdrfsgsgs gtdftltidspqpedsatyycqqsahfpit fgcgrleiksggggsevqlvesggglvqp ggslklascaasgftfnkyamnwvrqapgk lewvarirskynnyatyadsvkdrftisr ddskntaylqmnlktedtavyycvrhgnf gnsyisywaywgqtlvtvssgggsgggg sgggsgtvtvtepsltvspggtvtltcgs stgavtsgnypnwvqqkpgqaprgliggtk flapgtparfsgslggkaaltlsgvqped eaeyycvlwysnrwvfgggtklvtl
60.	CD33_CCxI2C -scFc	Биспецифи ческая молекула HLE	qvqlvqsgaevkkpgesvkvscasgytft nygmwvkqapggclewmgwintytgepty adkfqgrvtmtdtststayeirnlggdd tavyyarwswsdgyvyfydywgqtsvtv ssgggsgggsgggsgdi vmtqspdsltv slgerttinckssqsvldsstnknslawyq qkpgqppklllswastresgipdrfsgsgs

			<p>gtdftltidspqpedsatyycqqsahfpit fgcgrleiksggggsevqlvesggglvqp ggslklscaasgftfnkyamnvrqapgkg lewvarirskynnyatyadsvkdrftisr ddskntaylqmnlktdtavyycvrhgnf gnsyisywaywgqgtlvtvssgggsgggg sgggsgtvtvtqepsltvspggtvtltcgs stgavtsgnypnwvqqkpgqaprgliggk flapgtparfsgslggkaaltlsgvqped eaeyycvlwysnrwvfgggtklvtlvgggd kthtppcpapellggpsvflfppkpkdtl misrtpevtcvvvdvshedpevkfnwyvdg vevhnaktkpeezygstyrcvsvltvlhq dwlngkeykckvsnkalpapiektiskakg qprepvytlppsreemtknqvsltclvkg fypsdiavewesngqpennyktppvldsd gsfflyskltvdksrwqqgnvfscsvmhea lhnhytqkslsispgkgggsgggsgggg sgggsgggsgggsggskthtppcpapel lggpsvflfppkpkdtlmisrtpevtcvv dvshedpevkfnwyvdgvevhnaktkpee zygstyrcvsvltvlhqdwlngkeykckvs nkalpapiektiskakgqprepvytlpps reemtknqvsltclvkgfypsdiavewesn gqpennyktppvldsdgsfflyskltvdk srwqqgnvfscsvmhealhnhytqksls pgk</p>
<p>61.</p>	<p>CD33_CCxI2C -scFc_delGK</p>	<p>Биспецифи ческая молекула HLE</p>	<p>qvqlvqsgaevkkpgesvkvscasgytft nygmwvkqapggclewmgwintytgepty adkfqgrvtmttdtststaymeirnlggdd tavyyarwsdgyyvyfdywgqtsvtv ssggsgggsgggsgggsgdivmtqspdsltv slgerttinckssqsvldsstknslawyq qkpgqppklllswastresgipdrfsgsgs gtdftltidspqpedsatyycqqsahfpit</p>

			fgcgtrleiksggggsevqlvesggglvqp ggslklscaasgftfnkyamnvrqapgk lewvarirskynnyatyyadsvkdrftisr ddskntaylqmnlnktdtavyycvrhgnf gnsyisywaywgqgtlvtvssgggsgggg sgggsgtvtvqepsltvspggtvtltcgs stgavtsgnypnwvqqkpgqaprgliggk flapgtparfsgsllggkaaltlsgvqped eaeyycvlwysnrwvfgggtklvtlvgggd kthtccppapellggpsvflfppkpkdtl misrtpevtcvvvdvshedpevkfnwyvdg vevhnaktkpeeegystyrcvsvltvlhq dwlngkeykckvsnkalpapiektiskakg qprepvytlppsreemtknqvsltclvkg fypsdiavewesngqpennykttppvldsd gsfflyskltvdksrwqqgnvfscsvmhea lhnhytqkslsispgggsgggsgggsgg ggsgggsgggsgdkthtccppapellg gpsvflfppkpkdtlmisrtpevtcvvvdv shedpevkfnwyvdgvevhnaktkpeeeg gstyrcvsvltvlhqdwlngkeykckvsnk alpapiektiskakgqprepvytlppsre emtknqvsltclvkgfypsdiavewesngq pennykttppvldsdgsfflyskltvdksr wqqgnvfscsvmhealhnhytqkslsispg k
62.	EGFRvIIIxCD 3-scFc	VH CDR1	nygmh
63.	EGFRvIIIxCD 3-scFc	VH CDR2	viwydgsdkyyadsvrg
64.	EGFRvIIIxCD 3-scFc	VH CDR3	dgydiltgnprdfdy
65.	EGFRvIIIxCD 3-scFc	VL CDR1	rssqslvhsgntyls
66.	EGFRvIIIxCD	VL CDR2	risrrfs

	3-scFc		
67.	EGFRvIIIxCD 3-scFc	VL CDR3	mqsthvprt
68.	EGFRvIIIxCD 3-scFc	VH	qvqlvesgggvvqsgsrslrlscaasgftfr nygmhwrqapgkglewvaviwydgsdkyy adsvrgrftisrdnskntlylqmnsdraed tavyycardgydiltgnprdfdywgqgtlv tvss
69.	EGFRvIIIxCD 3-scFc	VL	dtvmtqtplsshvtlgqpasiscrssqslv hsdgntylswlqqrpgqpprlliyrisrrf sgvpdrfsgsgagtdfdleisrveaedvgv yycmqsthvprtfgqgtkveik
70.	EGFRvIIIxCD 3-scFc	scFv	qvqlvesgggvvqsgsrslrlscaasgftfr nygmhwrqapgkglewvaviwydgsdkyy adsvrgrftisrdnskntlylqmnsdraed tavyycardgydiltgnprdfdywgqgtlv tvssggggsgggsgggsgsdvmtqtplss hvtlgqpasiscrssqslvhsdgntylswl qqrpgqpprlliyrisrrfsgvpdrfsgsg agtdfdeisrveaedvgvyycmqsthvpr tfqggtkveik
71.	EGFRvIIIxCD 3-scFc	Биспецифическая молекула	qvqlvesgggvvqsgsrslrlscaasgftfr nygmhwrqapgkglewvaviwydgsdkyy adsvrgrftisrdnskntlylqmnsdraed tavyycardgydiltgnprdfdywgqgtlv tvssggggsgggsgggsgsdvmtqtplss hvtlgqpasiscrssqslvhsdgntylswl qqrpgqpprlliyrisrrfsgvpdrfsgsg agtdfdeisrveaedvgvyycmqsthvpr tfqggtkveiksggggsevqlvesggglvq pggslklscaasgftfnkyamnwvrqapgk glewvarirskynnyatyadsvkdrftis rddskntaylqmnlktedtavyycvrhgn fgnsyisywaywgqgtlvsvssggggsggg gsgggsgtvtvtepslvtvspggtvtltcg

			<p>sstgavtsgnypnwvqqkpgqaprgliggt kflapgtparfsgsllggkaaltlsgvqpe deaeyycvlwysnrwvfgggtkltlvl</p>
72.	EGFRvIIIxCD 3-scFc	Биспецифическая молекула HLE	<p>qvqlvesgggvvqsgsrslrlscaasgftfr nygmhwrqapggkglewvaviwydgsdkyy adsvrgrftisrdnskntlylqmnsraed tavyycardgydiltgnprdfdywgqgtlv tvssgggsgggsgggsgggsgdtvmtqtplss hvtlgqpasiscrssqslvhsdgntylswl qqrpgqpprlliyisrrfsgvppdrfsgsg agtdftleisrveaedvgvyycmqsthvpr tfqggtkveiksggggsevqlvesggglvq pggslklscaasgftfnkyamnvrqapggk glewvarirskynnyatyadsvkdrftis rddsKnightaylqmnlnktdtavyycvrhgn fgnsyisywaywgqgtlvtvssgggsggg gsgggsgqtvtvqepsltvspggtvtltcg sstgavtsgnypnwvqqkpgqaprgliggt kflapgtparfsgsllggkaaltlsgvqpe deaeyycvlwysnrwvfgggtkltlvlgggg dkthtccppapellggpsvflfppkpkdt lmsrtpevtcvvvdvshedpevkfnwyvd gvevhnaktkpeeeygstyrcvsvltvlh qdwlngkeykckvsnkalpapiektiskak gqprepvytlppsreemtknqvsltclvk gfypsdiavewesngqpennykttpvlds dgsfflyskltvdksrwqggvfvscsvmhe alhhnytqkslspspgkgggsgggsggg gsgggsgggsgggsgggskthtccppape llggpsvflfppkpkdtlmsrtpevtcvv vdvshedpevkfnwyvdgvevhnaktkpee eqygstyrcvsvltvlhqdwlngkeykckv snkalpapiektiskakgqprepvytlpp sreemtknqvsltclvkgfypsdiavewes ngqpennykttpvlds dgsfflyskltvd</p>

			ksrwqqgnvfscsvmhealhnhytqkslsl spgk
73.	EGFRvIIIxCD 3- scFc_delGK	Биспецифи ческая молекула HLE	qvqlvesgggvvqsgsrslrlscaasgftfr nygmhwrqapggkglewvaviwydgsdkyy adsvrgrftisrdnskntllylqmnsraed tavyycardgydiltgnprdfdywgqgtlv tvssgggsgggsgggsgggsdtvmtqtplss hvtlqgpasiscrssqslvhsdgntyiswl qqrpgpprlliyrisrrfsgvpdrfsgsg agtdftleisrveaedvgvyycmqsthvpr tfgggtkveiksggggseqlvesggglvq pggslklscaasgftfnkyamnvrqapgk glewvarirskynnyatyadsvkdrftis rddskntaylqmnlktedtavyycvrhgn fgnsyisywaywgqgtlvtvssgggsggg gsgggsgqtvtqepsltvspggtvtltcg sstgavtsgnypnwvqqkpgqaprgliggt kflapgtparfsgsllggkaaltlsgvqpe deaeyycvlwysnrwvfgggtkltvlgggg dkthtcppcpapellggpsvflfppkpkdt lmisrtpevtcvvvdvshedpevkfnwyvd gvevhnaktkpcceeygstyrcvsvltvlh qdwlngkeykckvsnkalpapiektiskak gqprepvytlppsreemtknqvsltclvk gfypsdiavewesngqpennykttppvlds dgsfflyskltdksrwqqgnvfscsvmhe alhnhytqkslslspgggsgggsgggsggg gggsgggsgggsggskthtcppcpapell ggpsvflfppkpkdtlmisrtpevtcvvvd vshedpevkfnwyvdgvevhnaktkpcceeq ygstyrcvsvltvlhqdwlngkeykckvsn kalpapiektiskakgqprepvytlppsr eemtknqvsltclvkgfypsdiavewesng qpennykttppvlds dgsfflyskltdks rwqqgnvfscsvmhealhnhytqkslslsp

			gk
74.	EGFRvIII_CC xCD3-scFc	VH	qvqlvesgggvvqsgsrslrlscaasgftfr nygmhwrqapgkclewvaviwydgsdkyy adsvrgrftisrdnskntlylqmnsdraed tavyycardgydiltgnprdfdywgqgtlv tvss
75.	EGFRvIII_CC xCD3-scFc	VL	dtvmtqtplsshvtlgqpasiscrssqslv hsdgntylswlqqrpgqpprlliyrisrrf sgvpdrfsgsgagtdftleisrveaedvgv yycmqsthvprtfgcgtkveik
76.	EGFRvIII_CC xCD3-scFc	scFv	qvqlvesgggvvqsgsrslrlscaasgftfr nygmhwrqapgkclewvaviwydgsdkyy adsvrgrftisrdnskntlylqmnsdraed tavyycardgydiltgnprdfdywgqgtlv tvssggggsgggsgggsgdtvmtqtplss hvtlgqpasiscrssqslvhsgntylswl qqrpgqpprlliyrisrrfsgvpdrfsgsg agtdftleisrveaedvgvyycmqsthvpr tfgcgtkveik
77.	EGFRvIII_CC xCD3-scFc	Биспецифи ческая HLE молекула	qvqlvesgggvvqsgsrslrlscaasgftfr nygmhwrqapgkclewvaviwydgsdkyy adsvrgrftisrdnskntlylqmnsdraed tavyycardgydiltgnprdfdywgqgtlv tvssggggsgggsgggsgdtvmtqtplss hvtlgqpasiscrssqslvhsgntylswl qqrpgqpprlliyrisrrfsgvpdrfsgsg agtdftleisrveaedvgvyycmqsthvpr tfgcgtkveiksggggsevqlvesggglvq pggslklscasgftfnkyamnwvrqapgk glewvarirskynnyatyadsvkdrftis rddskntaylqmnnlktedtavyycvrhgn fgnsyisywaywgqgtlvtvssggggsggg gsgggsgtvtqepsltvspggtvltcg sstgavtsgnypnwvqqkpgqaprgliggt kflapgtparfsgsllggkaaltlsgvqpe

			deaeyycvlwysnrwvfgggtklvl
78.	EGFRvIII_CC xCD3-scFc	Биспецифическая молекула HLE	<p>qvqlvesgggvvqsgsrslrlscaasgftfr nygmhwrqapgkclewvaviwydgsdkyy adsvrgrftisrdnskntlylqmnsdraed tavyycardgydiltgnprdfdywgqgtlv tvssgggsgggsgggsggsgdtvmtqtplss hvtlgqpasiscrssqslvhsdgntylswl qqrpgqpprlliyrirrfsgvpdrfsgsg agtdftleisrveaedvgvyycmqsthvpr tfgcgtkveiksggggsevqlvesggglvq pggslklscaasgftfnkyamnwvrqapgk glewvarirskynnyatyadsvkdrftis rddskntaylqmnnlktedtavyycvrhgn fgnsyisywaywgqgtlvsvssgggsgggg gsgggsgtvtvqepsltvspggtvltcgs sstgavtsgnypnwvqqkpgqaprgliggt kflapgtparfsgsllggkaaltlsgvqpe deaeyycvlwysnrwvfgggtklvlgggg dkthtcppcpapellggpsvflfppkpkdt lmisrtpevtcvvvdvshedpevkfnwyvd gvevhnaktkpeeeygstyrcvsvltvlh qdwlngkeykckvsnkalpapiektiskak gqprepvytlppsreemtknqvsltclvk gfypsdiavewesngqpennykttppvlds dgsfflyskltvdksrwqggnvfscsvmhe alhhnytqkslslspgkgggsgggsgggg gsgggsgggsgggsggskthtcppcpape llggpsvflfppkpkdtlmisrtpevtcvv vdvshedpevkfnwyvdgvevhnaktkpe eqygstyrcvsvltvlhqdwlngkeykckv snkalpapiektiskakgqprepvytlpp sreemtknqvsltclvkgfypsdiavewes ngqpennykttppvldsdgsfflyskltvd ksrwqggnvfscsvmhealhhnytqkslsl spgk</p>

79.	EGFRvIII_CC xCD3- scFc_delGK	биспецифическая молекула	<p> qvqlvesgggvvqsgsrslrlscaasgftfr nygmhwvrqapgkclewvaviwydgsdkyy adsvrgrftisrdnskntlylqmnsraed tavyycardgydiltgnprdfdywgqgtlv tvssggggsgggsgggsgsdvmtqtplss hvtlgqpasiscrssqslvhsdgntylswl qqrpgqpprlliyrisrrfsgvpdrfsgsg agtdftleisrveaedvgvyycmqsthvpr tfgcgkveiksggggsevqlvesggglvq pggslklscaasgftfnkyamnwvrqapgk glewvarirskynnyatyadsvkdrftis rddskntaylqmnlktdtavyycvrhgn fgnsyisywaywgqgtlvsvssggggsggg gsgggsgtvtvtqepsltvspggtvtltcg sstgavtsgnypnwvqqkpgqaprgliggt kflapgtparfsgsllggkaaltlsgvqpe deaeyycvlwysnrwvfgggtklvtlvgggg dkthtcpppapellggpsvflfppkpkdt lmisrtpevtcvvvdvshedpevkfnwyvd gvevhnaktkpcceeqgstyrcvsvltvlh qdwlngkeykckvsnkalpapiektiskak gqprepvytlppsreemtknqvsltclvk gfypsdiavewesngqpennyktppvlds dgsfflyskltvdksrwqqgnvfscsvmhe alhnhytqkslslspggggsgggsgggsgggs ggggsgggsgggsgdkthtcpppapell ggpsvflfppkpkdtlmisrtpevtcvvvd vshedpevkfnwyvdgvevhnaktkpcceeq ygstyrcvsvltvlhqdwlngkeykckvsn kalpapiektiskakgqprepvytlppsr eemtknqvsltclvkgfypsdiavewesng qpennyktppvlds dgsfflyskltvdks rwqqgnvfscsvmhealhnhytqkslslsp gk </p>
80.	MS_1xCD3-	VH CDR1	dyymt

	scFc		
81.	MS_1xCD3- scFc	VH CDR2	yisssgstiyyadsvkg
82.	MS_1xCD3- scFc	VH CDR3	drnshfdy
83.	MS_1xCD3- scFc	VL CDR1	rasqgintwla
84.	MS_1xCD3- scFc	VL CDR2	gasglqs
85.	MS_1xCD3- scFc	VL CDR3	qqaksfprt
86.	MS_1xCD3- scFc	VH	qvqlvesqqqlvlpqgslrlscaasqftfs dyymtwirqapgkglewlsyisssgstiyy adsvkgrftisrdnaknslflqmnsraed tavyycardrnshfdywgqgtlvtvss
87.	MS_1xCD3- scFc	VL	diqmtqspssvsasvgrvtitcrasqgin twlawyqqkpgkapklliygasglqsgvps rfsgsgsgtdftltisslqpedfatyycqq aksfprtfgqgtkveik
88.	MS_1xCD3- scFc	scFv	qvqlvesggglvlpqgslrlscaasqftfs dyymtwirqapgkglewlsyisssgstiyy adsvkgrftisrdnaknslflqmnsraed tavyycardrnshfdywgqgtlvtvssggg gsgggsggggsdiqmtqspssvsasvgr vtitcrasqgintlawyqqkpgkapklli ygasglqsgvpsrfsgsgsgtdftltissl qpedfatyycqqaksfprtfgqgtkveik
89.	MS_1xCD3- scFc	Биспецифи ческая молекула	qvqlvesggglvlpqgslrlscaasqftfs dyymtwirqapgkglewlsyisssgstiyy adsvkgrftisrdnaknslflqmnsraed tavyycardrnshfdywgqgtlvtvssggg gsgggsggggsdiqmtqspssvsasvgr vtitcrasqgintlawyqqkpgkapklli ygasglqsgvpsrfsgsgsgtdftltissl qpedfatyycqqaksfprtfgqgtkveiks

			<p>ggggsevqlvesggglvqpggslklscaas gftfnkyamnvrqapgglewvarirsky nnyatyyadsvkdrftisrddskntaylqm nnlktedtavyycvrhgnfgnsyisywayw gggtlvtvssgggsgggsgggsggtvvt qepsltvspggtvtltcgsstgavtsgnyp nwwqqkpgqaprgliggtkflapgtparfs gsllggkaaltlsgvqpedeaeyycvlwys nrwvfgggtkltvl</p>
90.	MS_1xCD3- scFc	Биспецифическая молекула HLE	<p>qvqlvesggglvkpggslrlscaasgftfs dyymtwirqapgglewlsyisssgstiyy adsvkgrftisrdnaknslflqmnsraed tavyycardrnshfdywggtlvtvssggg gsgggsggggsdiqmtqspssvsasvdr vtitcrasqgintwlawyqqkpgkapklli ygasqlsgvpsrfsqsgsgtdftltissl qpedfatyyccqaksfprtfgggtkveiks ggggsevqlvesggglvqpggslklscaas gftfnkyamnvrqapgglewvarirsky nnyatyyadsvkdrftisrddskntaylqm nnlktedtavyycvrhgnfgnsyisywayw gggtlvtvssgggsgggsgggsggtvvt qepsltvspggtvtltcgsstgavtsgnyp nwwqqkpgqaprgliggtkflapgtparfs gsllggkaaltlsgvqpedeaeyycvlwys nrwvfgggtkltvlgggdkthtcppcpap ellggpsvflfppkpkdtlmisrtpevtcv vvdvshedpevkfnwyvdgvevhnaktkpc eeqygstyrcvsvltvlhqdwlngkeykck vsnkalpapiektiskakgqprepqvylp psreemtknqvsltclvkgfypsdiavewe sngqpennykttpvldsdgsfflyskltv dksrwqqgnvfscsvmhealhnhytqksls lspgkgggsgggsgggsgggsgggsgggsg gggsgdkthtcppcpapellggpsvflfpp</p>

			<p>kpkdtlmisrtpevtcvvvdvshedpevkf nwyvdgvevhnaktkpceeegystyrcvsv ltvlhqdwlngkeykckvsnkalpapiekt iskakgqprepqvvtlppsreemtknqvsl tclvkgyfypsdiavewesngqpennykttp pvl dsdgsfflyskltvdksrwqqgnvfsc svmhealhnhytqkslsislspgk</p>
91.	MS_1xCD3- scFc_delGK	Биспецифи ческая молекула HLE	<p>qvqlvesggglvkpggslrlscaasgftfs dyymtwirqapgkglewlsyisssgstiyy adsvkgrftisrdnaknslflqmnsraed tavyycardrnshfdywgqgtltvtvssggg gsgggsggggsdiqmtqspssvsasvdr vtitcrasqgintwlawyqqkpgkapkli ygasglqsgvpsrfsrgsgsgtdftltissl qpedfatyycqaksfprtfgqgkveiks ggggsevqlvesggglvqpggsklkscaas gftfnkyamnwrqapgkglewvarirsky nnyatyadsvkdrftisrddskntaylqm nnlktedtavyycvrhgnfgnsyisywayw gqgtltvtvssggggsgggsgggsgtvtv qepsltvspggtvtltcgsstgavtsgnyp nwwqqkpgqaprgliggtkflapgtparfs gsllgkkaaltlsgvqpedaeeycvlwys nrwvfgggtkltvlgggdkthtcppcpap ellggpsvflfppkpkdtlmisrtpevtcv vvdvshedpevkfnwyvdgvevhnaktkpc eeegystyrcvsvltvlhqdwlngkeykck vsnkalpapiektiskakgqprepqvvtlp psreemtknqvsltclvkgyfypsdiavewe sngqpennykttpvl dsdgsfflyskltv dksrwqqgnvfscsvmhealhnhytqksls lspggggsgggsgggsgggsgggsgggsgg ggsdkthtcppcpapellggpsvflfppkp kdtlmisrtpevtcvvvdvshedpevkfnw yvdgvevhnaktkpceeegystyrcvsvlt</p>

			vlhqdwlngkeykckvsnkalpapiektis kakgqprepqvylppsreemtknqvsltc lvkgfyfysdiavewesngqpennykttppv ldsdgsfflyskltvdksrwqqgnvfscsv mhealhnhytqkslslspgk
92.	MS_1_CCxCD3 -scFc	VH	qvqlvesggglvkgpgslrlscaasgftfs dyymtwirqapgkclewlsyissgstiyy adsvkgrftisrdnaknslflqmnsraed tavyycardrnshfdywgqgtlvtvss
93.	MS_1_CCxCD3 -scFc	VL	diqmtqspssvsasvqdrvtitcrasqgin twlawyqqkpgkapklliygasglqsgvps rfsqsgsgtdftltisslqpedfatyyccq aksfprtfgcgtkveik
94.	MS_1_CCxCD3 -scFc	scFv	qvqlvesggglvkgpgslrlscaasgftfs dyymtwirqapgkclewlsyissgstiyy adsvkgrftisrdnaknslflqmnsraed tavyycardrnshfdywgqgtlvtvssggg gsgggsggggsdiqmtqspssvsasvqdr vtitcrasqginlawyqqkpgkapklli ygasglqsgvpsrfsqsgsgtdftltissl qpedfatyyccqaksfprtfgcgtkveik
95.	MS_1_CCxCD3 -scFc	Биспецифическая молекула	qvqlvesggglvkgpgslrlscaasgftfs dyymtwirqapgkclewlsyissgstiyy adsvkgrftisrdnaknslflqmnsraed tavyycardrnshfdywgqgtlvtvssggg gsgggsggggsdiqmtqspssvsasvqdr vtitcrasqginlawyqqkpgkapklli ygasglqsgvpsrfsqsgsgtdftltissl qpedfatyyccqaksfprtfgcgtkveiks ggggsevqlvesggglvkgpgslrlscaas gftfnkyamnvrqapgglewvarirsky nnyatyadsvkdrftisrddskntaylqm nnlktedtavyycvrhgnfgnsyisywayw gggtlvtvssggggsgggsgggsgtvtvt qepsltvspggtvtltcgsstgavtsgnyp

			nwvqqkpgqaprgliggtkflapgtparfs gsllggkaaltlsgvqpedeaeyycvlwys nrwvfgggtkltvl
96.	MS_1_CCxCD3 -scFc	Биспецифическая молекула HLE	qvqlvesggglvkpggslrlscaasgftfs dyymtwirqapgkclewlsyisssgstiyy adsvkgrftisrdnaknslflqmnsraed tavyycardrnshfdywgqgtlvtvssggg gsgggsggggsdiqmtqspssvsasvdr vtitcrasggintwlawyqqkpgkapkli ygasqlsgvpsrfsqsgsgtdftltissl qpedfatyyccqaksfprtfgcgtkveiks ggggsevqlvesggglvqpggsklkscaas gftfnkyamnwrqapgkglewvarirsky nnyatyadsvkdrftisrddskntaylqm nnlktedtavyycvrhgnfgnsyisywayw gggtlvtvssggggsgggsgggsgtvt qepsltvspggtvtltcgsstgavtsgnyp nwvqqkpgqaprgliggtkflapgtparfs gsllggkaaltlsgvqpedeaeyycvlwys nrwvfgggtkltvlggggdkthtccppcap ellggpsvflfppkpkdtlmsrtpevtcv vvdvshedpevkfnwyvdgvevhnaktkpc eeqygstyrcvsvltvlhqdwlngkeykck vsnkalpapiektiskakgqprepvytlp psreemtknqvsltclvkgyfypsdiavewe sngqpennykttpvldsdgsfflyskltv dksrwqqgnvfscsvmhealhnhytqksls lspgkggggsgggsgggsgggsgggsg ggggsdkthtccppcapellggpsvflfpp kpkdtlmsrtpevtcvvvdvshedpevkf nwyvdgvevhnaktkpcqeeqygstyrcvsv ltvlhqdwlngkeykckvsnkalpapiekt iskakgqprepvytlppsreemtknqvsl tclvkgyfypsdiavewesngqpennyktp pvltdsdgsfflyskltvdksrwqqgnvfsc

			svmhealhnhytqkslsispkg
97.	MS_1_CCxCD3 -scFc_delGK	Биспецифическая молекула HLE	<p> qvqlvesggglvdkpggslrlscaasgftfs dyymtwirqapgkclewlsyisssgstiyy adsvkgrftisrdnaknslflqmnsraed tavyycardrnshfdywgqgtlvtvssggg gsgggsggggsdiqmtqspssvsasvdr vtitcrasqgintwlawyqqkpgkapkli ygasqlqsgvpsrfsqsgsgtdftltissl qpedfatyycqaksfprtfgcgtkveiks ggggsevqlvesggglvqpggslklscaas gftfnkyamnwvrqapgkglewvarirsky nnyatyadsvkdrftisrddskntaylqm nnlktedtavyycvrhgnfgnsyisywayw gggtlvtvssggggsgggsgggsgtvtvt qepsltvspggtvltcgsstgavtsgnyp nvwqqkpgqaprgligngkflapgtparfs gsllggkaaltlsgvqpedaeaycwlwys nrwvfgggtkltvlgggdkthtcppcpap ellggpsvflfppkpkdtlmsirtpevtcv vvdvshedpevkfnwyvdgvevhnaktkpc eeqygstyrcvsvltvlhqdwlngkeykck vsnkalpapiektiskakgqprepvytlp psreemtknqvsltcclvkgfypsdiavewe sngqpennykttppvldsdgsfflyskltv dksrwqqgnvfscsvmhealhnhytqksls lspggggsgggsgggsgggsgggsgggsgg ggsdkthtcppcpapellggpsvflfppkp kdtlmsirtpevtcvvdvshedpevkfnw yvdgvevhnaktkpcceeqygstyrcvsvlt vlhqdwlngkeykckvsnkalpapiektis kakgqprepvytlppsreemtknqvsltc lvkgfypsdiavewesngqpennykttppv ldsdgsfflyskltvdksrwqqgnvfscsv mhealhnhytqkslsispkg </p>
98.	MS_2xCD3-	VH CDR1	dyymt

	scFc		
99.	MS_2xCD3- scFc	VH CDR2	yisssgstiyyadsvkg
100.	MS_2xCD3- scFc	VH CDR3	drnshfdy
101.	MS_2xCD3- scFc	VL CDR1	rasqgitrwa
102.	MS_2xCD3- scFc	VL CDR2	aasvlqs
103.	MS_2xCD3- scFc	VL CDR3	qqsnsfprt
104.	MS_2xCD3- scFc	VH	qvqlvesqqqlvkvpgqslrlscaasqftfs dyymtwirqapgkglewisyisssgstiyy adsvkgrftisrdnaknslylqmnsraed tavyycardrnshfdywgqgtlvtvss
105.	MS_2xCD3- scFc	VL	diqmtqspssvsasvgrvtitcrasqgit rwlawyqqkpgkapklliyaasvlqsgvps rfsgsgsgtdftltisslqpedfatyycqq snsfprtfgqgtkveik
106.	MS_2xCD3- scFc	scFv	qvqlvesggglvkvpggslrlscaasqftfs dyymtwirqapgkglewisyisssgstiyy adsvkgrftisrdnaknslylqmnsraed tavyycardrnshfdywgqgtlvtvssggg gsgggsggggsdiqmtqspssvsasvgr vtitcrasqgitrwlawyqqkpgkapklli yaasvlqsgvpsrfsgsgsgtdftltissl qpedfatyycqqsnsfprtfgqgtkveik
107.	MS_2xCD3- scFc	Биспецифи ческая молекула	qvqlvesggglvkvpggslrlscaasqftfs dyymtwirqapgkglewisyisssgstiyy adsvkgrftisrdnaknslylqmnsraed tavyycardrnshfdywgqgtlvtvssggg gsgggsggggsdiqmtqspssvsasvgr vtitcrasqgitrwlawyqqkpgkapklli yaasvlqsgvpsrfsgsgsgtdftltissl qpedfatyycqqsnsfprtfgqgtkveiks

			<p>ggggsevqlvesggglvqpggslklscaas gftfnkyamnvrqapgglewvarirsky nnyatyyadsvkdrftisrddskntaylqm nnlktedtavyycvrhgnfgnsyisywayw gggtlvtvssgggsgggsgggsggtvvt qepsltvspggtvtltcgsstgavtsgnyp nwwqqkpgqaprgliggtkflapgtparfs gsllggkaaltlsgvqpedeaeyycvlwys nrwvfgggtkltvl</p>
108.	MS_2xCD3- scFc	Биспецифическая молекула HLE	<p>qvqlvesggglvkpggslrlscaasgftfs dyymtwirqapgglewisyisssgstiyy adsvkgrftisrdnaknsllylqmnsraed tavyycardrnshfdywggtlvtvssggg gsgggsggggsdiqmtqspssvsasvdr vtitcrasqgitrwlawyqqkpgkapklli yaasvlqsgvpsrfsqsgsgtdftltissl qpedfatyyccqnsfprtfgggtkveiks ggggsevqlvesggglvqpggslklscaas gftfnkyamnvrqapgglewvarirsky nnyatyyadsvkdrftisrddskntaylqm nnlktedtavyycvrhgnfgnsyisywayw gggtlvtvssgggsgggsgggsggtvvt qepsltvspggtvtltcgsstgavtsgnyp nwwqqkpgqaprgliggtkflapgtparfs gsllggkaaltlsgvqpedeaeyycvlwys nrwvfgggtkltvlgggdkthtcppcpap ellggpsvflfppkpkdtlmisrtpevtcv vvdvshedpevkfnwyvdgvevhnaktkpc eeqygstyrcvsvltvlhqdwlngkeykck vsnkalpapiektiskakgqprepvytlp psreemtknqvsltclvkgyfypsdiavewe sngqpennykttpvldsdgsfflyskltv dksrwqqgnvfscsvmhealhnhytqksls lspgkgggsgggsgggsgggsgggsgggsg gggsgdkthtcppcpapellggpsvflfpp</p>

			<p>kpkdtlmisrtpevtcvvvdvshedpevkf nwyvdgvevhnaktkpceeqygstycvsv ltvlhqdwlngkeykckvsnkalpapiekt iskakgqprepqvylppsreemtknqvsl tclvkgyfypsdiavewesngqpennykttp pvl dsdgsfflyskltvdksrwqqgnvfsc svmhealhnhytqksls slspgk</p>
109.	MS_2xCD3- scFc_delGK	Биспецифи ческая молекула HLE	<p>qvqlvesggglvkpggslrlscaasgftfs dyymtwirqapgglewisyi sssgstiyy adsvkgrftisrdnaknsllylqmnsraed tavyycardrnshfdywgggtltvtvssggg gsgggsggggsdiqmtqspssvsasvdr vtitcrasqgitrwlawyqqkpgkapklli yaasvlqsgvpsrfs gsgsgtdftltissl qpedfatyyccqnsfprtfgggtkveiks ggggsevqlvesggglvqpggsklkscaas gftfnkyamnvrqapgglewvarirsky nnyatyadsvkdrftisrddskntaylqm nnlktedtavyycvrhgnfgnsyisywayw gggtltvtvssgggsgggsgggsgtvtvt qepsltvspggtvtltcgsstgavtsgnyp nwwqqkpgqaprgligntkflapgtparfs gsllggkaaltlsgvqpedaeeycvlwys nrwvfgggtkltvlgggdkthtcppcpap ellggpsvflfppkpkdtlmisrtpevtcv vvdvshedpevkfnwyvdgvevhnaktkpc eeqygstycvsvltvlhqdwlngkeykck vsnkalpapiektiskakgqprepqvylp psreemtknqvsltclvkgyfypsdiavewe sngqpennykttpvl dsdgsfflyskltv dksrwqqgnvfscsvmhealhnhytqksls lspgggsgggsgggsgggsgggsgggsgg ggsdkthtcppcpapellggpsvflfppkp kdtlmisrtpevtcvvvdvshedpevkfnw yvdgvevhnaktkpceeqygstycvsvlt</p>

			vlhqdwlngkeykckvsnkalpapiektis kakgqprepqvylppsreemtknqvsltc lvkgfyfysdiavewesngqpennykttppv ldsdgsfflyskltvdksrwqqgnvfscsv mhealhnhytqkslslspgk
110.	MS_2_CCxCD3 -scFc	VH	qvqlvesggglvkgpgslrlscaasgftfs dyymtwirqapgkclewisyiessgstiyy adsvkgrftisrdnaknslylqmnsraed tavyycardrnshfdywgqgtlvtvss
111.	MS_2_CCxCD3 -scFc	VL	diqmtqspssvsasvqdrvtitcrasqgit rwlawyqkpgkapklliyaasvlqsgvps rfsqsgsgtdftltisslqpedfatyycqq snsfprtfgcgtkveik
112.	MS_2_CCxCD3 -scFc	scFv	qvqlvesggglvkgpgslrlscaasgftfs dyymtwirqapgkclewisyiessgstiyy adsvkgrftisrdnaknslylqmnsraed tavyycardrnshfdywgqgtlvtvssggg gsgggsggggsdiqmtqspssvsasvqdr vtitcrasqgitrwlawyqkpgkapklli yaasvlqsgvpsrfsqsgsgtdftltissl qpedfatyycqqsnsfprtfgcgtkveik
113.	MS_2_CCxCD3 -scFc	Биспецифическая молекула	qvqlvesggglvkgpgslrlscaasgftfs dyymtwirqapgkclewisyiessgstiyy adsvkgrftisrdnaknslylqmnsraed tavyycardrnshfdywgqgtlvtvssggg gsgggsggggsdiqmtqspssvsasvqdr vtitcrasqgitrwlawyqkpgkapklli yaasvlqsgvpsrfsqsgsgtdftltissl qpedfatyycqqsnsfprtfgcgtkveiks ggggsevqlvesggglvqpggslklscaas gftfnkyamnvrqapgglewvarirsky nnyatyadsvkdrftisrddskntaylqm nnlktedtavyycvrhgnfgnsyisywayw qqgtlvtvssggggsgggsgggsgtvtvt qepsltvspggtvtltcgsstgavtsgnyp

			nwvqqkpgqaprgliggtkflapgtparfs gsllggkaaltlsgvpedeaeeyycvlwys nrwvfgggtkltvl
114.	MS_2_CCxCD3 -scFc	Биспецифическая молекула HLE	qvqlvesggglvkpggslrlscaasgftfs dyymtwirqapgkclewisyiissgstiyy adsvkgrftisrdnaknsllylqmnsraed tavyycardrnshfdywgqgtlvtvssggg gsgggsggggsdiqmtqspssvsasvdr vtitcrasqgitrwlawyqqkpgkapkli yaasvlqsgvpsrfsqsgsgtdftltissl qpedfatyyccqsnsfprtfgcgtkveiks ggggsevqlvesggglvqpggslklscaas gftfnkyamnwvrqapgglewvarirsky nnyatyadsvkdrftisrddskntaylqm nmlktdtavyycvrhgnfgnsyisywayw gggtlvtvssgggsgggsgggsggtvvt qepsltvspggtvtltcgsstgavtsgnyp nwvqqkpgqaprgliggtkflapgtparfs gsllggkaaltlsgvpedeaeeyycvlwys nrwvfgggtkltvlgggdkthtcppcpap ellggpsvflfppkpkdtlmisrtpevtcv vvdvshedpevkfnwyvdgvevhnaktkpc eeqygstycvsvltvlhqdwlngkeykck vsnkalpapiektiskakgqprcpqvytlp psreemtknqvsltclvkgyfypsdiavewe sngqpennykttpvldsdgsfflyskltv dksrwqqgnvfscsvmhealhnhytqksls lspgkgggsgggsgggsgggsgggsgggsg gggsgdkthtcppcpapellggpsvflfpp kpkdtlmisrtpevtcvvdvshedpevkf nwyvdgvevhnaktkpcceeqygstycvsv ltvlhqdwlngkeykckvsnkalpapiekt iskakgqprepqvytlppsreemtknqvsl tclvkgyfypsdiavewesngqpennykttp pvldsdgsfflyskltvdksrwqqgnvfsc

			svmhealhnhytqkslsispsgk
115.	MS_2_CCxCD3 -scFc_delGK	Биспецифическая молекула HLE	<p>qvqlvesggglvkvpggslrlscaasgftfs dyymtwirqapgkclewisyisssgstiyy adsvkgrftisrdnaknsllylqmnsraed tavyycardrnshfdywgqgtlvtvssggg gsgggsggggsdiqmtqspssvsasvdr vtitcrasqgitrwlawyqqkpgkapkli yaasvlqsgvpsrfsrgsgsgtdftltissl qpedfatyycqqsnsfprtfgcgtkveiks ggggsevqlvesggglvqpggslklscaas gftfnkyamnwvrqapgkglewvarirsky nnyatyadsvkdrftisrddskntaylqm nnlktedtavyycvrhgnfgnsyisywayw gggtlvtvssggggsgggsgggsgtvtvt qepsltvspggtvtltcgsstgavtsgnyp nvwqqkpgqaprgligngkflapgtparfs gsllggkaaltlsgvqpedaeeyycvlwys nrwvfgggtkltvlgggdkthtcppcpap ellggpsvflfppkpkdtlmsirtpevtcv vvdvshedpevkfnwyvdgvevhnaktkpc eeqygstyrcvsvltvlhqdwlngkeykck vsnkalpapiektiskakgpprepqvytlp psreemtknqvsltcvlkgfypsdiavewe sngqpennykttppvldsdsfflyskltv dksrwqqgnvfscsvmhealhnhytqksls lspggggsgggsgggsgggsgggsgggsgg ggsdkthtcppcpapellggpsvflfppkp kdtlmsirtpevtcvvvdvshedpevkfnw yvdgvevhnaktkpcceeqygstyrcvsvlt vlhqdwlngkeykckvsnkalpapiektis kakgpprepqvytlppsreemtknqvsltc lvkgfypsdiavewesngqpennykttppv ldsdsfflyskltvdksrwqqgnvfscsv mhealhnhytqkslsispsgk</p>
116.	MS_3xCD3-	VH CDR1	dhym

	scFc		
117.	MS_3xCD3- scFc	VH CDR2	yisssggiyyadsvkg
118.	MS_3xCD3- scFc	VH CDR3	dvgshfdy
119.	MS_3xCD3- scFc	VL CDR1	rasqdisrwla
120.	MS_3xCD3- scFc	VL CDR2	aasrlqs
121.	MS_3xCD3- scFc	VL CDR3	qqaksfprt
122.	MS_3xCD3- scFc	VH	qvqlvesqqqlvlpqgslrlscaasqftfs dhymswirqapgkglewfsyisssggiyy adsvkgrftisrdnaknsllylqmnsraed tavyyocardvgshfdywgqgtlvtvss
123.	MS_3xCD3- scFc	VL	diqmtqspssvsasvgdrvtitcrasqdis rwlawyqqkpgkapkllisaasrlqsgvps rfsgsgsgtdftltisslqpedfaiyycqq aksfprtfgqgtkveik
124.	MS_3xCD3- scFc	scFv	qvqlvesggglvlpqgslrlscaasqftfs dhymswirqapgkglewfsyisssggiyy adsvkgrftisrdnaknsllylqmnsraed tavyyocardvgshfdywgqgtlvtvssggg gsgggsgggsgdiqmtqspssvsasvgdr vtitcrasqdisrwlawyqqkpgkapklli saasrlqsgvpsrfsgsgsgtdftltissl qpedfaiyycqqaksfprtfgqgtkveik
125.	MS_3xCD3- scFc	Биспецифи ческая молекула	qvqlvesggglvlpqgslrlscaasqftfs dhymswirqapgkglewfsyisssggiyy adsvkgrftisrdnaknsllylqmnsraed tavyyocardvgshfdywgqgtlvtvssggg gsgggsgggsgdiqmtqspssvsasvgdr vtitcrasqdisrwlawyqqkpgkapklli saasrlqsgvpsrfsgsgsgtdftltissl qpedfaiyycqqaksfprtfgqgtkveiks

			<p>ggggsevqlvesggglvqpggslklscaas gftfnkyamnwvrqapgglewvarirsky nnyatyyadsvkdrftisrddskntaylqm nnlktedtavyycvrhgnfgnsyisywayw gggtlvtvssgggsgggsgggsggtvvt qepsltvspggtvtltcgsstgavtsgnyp nwwqqkpgqaprgliggtkflapgtparfs gsllggkaaltlsgvqpedeaeyycvlwys nrwvfgggtkltvl</p>
126.	MS_3xCD3- scFc	Биспецифическая молекула HLE	<p>qvqlvesggglvkpggslrlscaasgftfs dhymwirqapgglewfsyisssggiyy adsvkgrftisrdnaknsllylqmnsraed tavyycardvgshfdywggtlvtvssggg gsgggsgggsgdiqmtqspssvsasvdr vtitcrasqdisrwlawyqqkpgkapklli saasrlqsgvpsrfsqsgsgtdftltissl qpedfaiyycqakfsprtfgggtkveiks ggggsevqlvesggglvqpggslklscaas gftfnkyamnwvrqapgglewvarirsky nnyatyyadsvkdrftisrddskntaylqm nnlktedtavyycvrhgnfgnsyisywayw gggtlvtvssgggsgggsgggsggtvvt qepsltvspggtvtltcgsstgavtsgnyp nwwqqkpgqaprgliggtkflapgtparfs gsllggkaaltlsgvqpedeaeyycvlwys nrwvfgggtkltvlgggdkthtcppcpap ellggpsvflfppkpkdtlmisrtpevtcv vvdvshedpevkfnwyvdgvevhnaktkpc eeqygstyrcvsvltvlhqdwlngkeykck vsnkalpapiektiskakgqprepvytlp psreemtknqvsltclvkgfypsdiavewe sngqpennykttpvldsdsfflyskltv dksrwqqgnvfscsvmhealhnhytqksls lspgkgggsgggsgggsgggsgggsgggsg gggsgdkthtcppcpapellggpsvflfpp</p>

			<p>kpkdtlmisrtpevtcvvvdvshedpevkf nwyvdgvevhnaktkpceeegystyrcvsv ltvlhqdwlngkeykckvsnkalpapiekt iskakgqprepqvylppsreemtknqvsl tclvkgyfypsdiavewesngqpennykttp pvl dsdgsfflyskltvdksrwqqgnvfsc svmhealhnhytqksls slspgk</p>
127.	MS_3xCD3- scFc_delGK	<p>Еиспецифи ческая молекула HLE</p>	<p>qvqlvesggglvkpggslrlscaasgftfs dhymwirqapgkglewfsyisssggiyy adsvkgrftisrdnaknsllyqmnsraed tavyycardvgshfdywgqgtlvtvssggg gsgggsggggsdiqmtqspssvsasvdr vtitcrasqdisrwlawyqqkpgkapklli saasrlqsgvpsrfsrgsgsgtdftltissl qpedfaiyyccqaksfprtfgqgkveiks ggggsevqlvesggglvqpggslkl scaas gftfnkyamnvrqapgkglewvarirsky nnyatyadsvkdrftisrddskntaylqm nnlktedtavyycvrhgnfgnsyisywayw gqgtlvtvssggggsgggsgggsgtvtvt qepsltvspggtvtltcgsstgavtsgnyp nwwqqkpgqaprgliggtkflapgtparfs gsllggkaaltlsgvqpedaeeycwlwys nrwvfgggtkltvlgggdkthtcppcpap ellggpsvflfppkpkdtlmisrtpevtcv vdvshedpevkfnwyvdgvevhnaktkpc eeqygystyrcvsvltvlhqdwlngkeykck vsnkalpapiektiskakgqprepqvylp psreemtknqvsltclvkgyfypsdiavewe sngqpennykttpvl dsdgsfflyskltv dksrwqqgnvfscsvmhealhnhytqksls lspggggsgggsgggsgggsgggsgggsgg ggsdkthtcppcpapellggpsvflfppkp kdtlmisrtpevtcvvvdvshedpevkfnw yvdgvevhnaktkpceeegystyrcvsvlt</p>

			vlhqdwlngkeykckvsnkalpapiektis kakgqprepqvylppsreemtknqvsltc lvkgfyfysdiavewesngqpennykttppv ldsdgsfflyskltvdksrwqqgnvfscsv mhealhnhytqkslslspgk
128.	MS_3_CCxCD3 -scFc	VH	qvqlvesggglvkgpgslrlscaasgftfs dhymswirqapgkclewfsyissggiiyy adsvkgrftisrtnaknslylqmnsraed tavyycardvgshfdywgqgtlvtvss
129.	MS_3_CCxCD3 -scFc	VL	diquqtqspssvsasvqdrvtitcrasqdis rwlawyqqkpgkapkllisaasrlqsgvps rfsqsgsgtdftltisslqpedfaiyycqq aksfprtfgcgtkveik
130.	MS_3_CCxCD3 -scFc	scFv	qvqlvesggglvkgpgslrlscaasgftfs dhymswirqapgkclewfsyissggiiyy adsvkgrftisrtnaknslylqmnsraed tavyycardvgshfdywgqgtlvtvssggg gsgggsggggsdiqmtqspssvsasvqdr vtitcrasqdisrwlawyqqkpgkapklli saasrlqsgvpsrfsqsgsgtdftltissl qpedfaiyycqqaksfprtfgcgtkveik
131.	MS_3_CCxCD3 -scFc	биспецифическая молекула	qvqlvesggglvkgpgslrlscaasgftfs dhymswirqapgkclewfsyissggiiyy adsvkgrftisrtnaknslylqmnsraed tavyycardvgshfdywgqgtlvtvssggg gsgggsggggsdiqmtqspssvsasvqdr vtitcrasqdisrwlawyqqkpgkapklli saasrlqsgvpsrfsqsgsgtdftltissl qpedfaiyycqqaksfprtfgcgtkveiks ggggsevqlvesggglvkgpgslrlscaas gftfnkyamnvrqapgglewvarirsky nnyatyadsvkdrftisrddskntaylqm nnlktedtavyycvrhgnfgnsyisywayw gggtlvtvssggggsgggsgggsgtvtvt qepsltvspggtvtltcgsstgavtsgnyp

			nwvqqkpgqaprgliggtkflapgtparfs gslggkaaltlsgvqpedeaeyycvlwys nrwvfgggtkltvl
132.	MS_3_CCxCD3 -scFc	Биспецифическая молекула HLE	qvqlvesggglvkpggslrlscaasgftfs dhymswirqapgkclewfsyisssggiyy adsvkgrftisrdnaknsllylqmnsraed tavyycardvgshfdywgqgtlvtvssggg gsgggsggggsdiqmtqspssvsasvdr vtitcrasqdisrwlawyqqkpgkapkli saasrlqsgvpsrfsqsgsgtdftltissl qpedfaiyycqqaaksfprtfgcgtkveiks ggggsevqlvesggglvqpggslklscaas gftfnkyamnwvrqapgglewvarirsky nnyatyadsvkdrftisrddskntaylqm nnlktedtavyycvrhgnfgnsyisywayw gggtlvtvssggggsgggsgggsgtvtvt qepsltvspggtvtltcgsstgavtsgnyp nwvqqkpgqaprgliggtkflapgtparfs gslggkaaltlsgvqpedeaeyycvlwys nrwvfgggtkltvlgggdkthtcppcpap ellggpsvflfppkpkdtlmsirtpevtcv vvdvshedpevkfnwyvdgvevhnaktkpc eeqygstycvsvltvlhqdwlngkeykck vsnkalpapiektiskakgqpprepqvytlp psreemtknqvsltclvkgyfypsdiavewe sngqpennykttpvldsdgsfflyskltv dksrwqqgnvfscsvmhealhnhytqksls lspgkggggsgggsgggsgggsgggsggs gggsgdkthtcppcpapellggpsvflfpp kpkdtlmsirtpevtcvvvdvshedpevkf nwyvdgvevhnaktkpcqygstycvsv ltvlhqdwlngkeykckvsnkalapiekt iskakgqpprepqvytlppsreemtknqvsl tclvkgyfypsdiavewesngqpennykttp pvldsdgsfflyskltvdksrwqqgnvfsc

			svmhealhnhytqkslsispgk
133.	MS_3_CCxCD3 -scFc_delGK	Биспецифическая молекула HLE	<p> qvqlvesggglvkgpgslrlscaasgftfs dhymwirqapgkclewfsyisssggiyy adsvkgrftisrdnaknslqlmnsiraed tavyycardvgshfdywgqglvtvssggg gsgggsggggsdiqmtqpsssvsasvdr vtitcrasqdisrwlawyqqkpgkapkli saasrlqsgvpsrfsfgsgsgtdftltissl qpedfaiyycqaksfprtfgcgtkveiks ggggsevqlvesggglvqpggslklscaas gftfnkyamnwrqapgkglewvarirsky nnyatyadsvkdrftisrddskntaylqm nnlktedtavyycvrhgnfgnsyisywayw gggtlvtvssggggsgggsgggsgtvt qepsltvspggtvtltcgsstgavtsgnyp nwwqqkpgqaprgligntkflapgtparfs gsllgkaaltlsgvqpedaeeycvlws nrwvfggkklvtlvgggdkthtccppcap ellggpsvflfppkpkdtlmsrtpevtcv vvdvshedpevkfnwyvdgvevhnaktkpc eeqygstycvsvltvlhqdwlngkeykck vsnkalpapiektiskakgpprepqvytlp psreemtknqvsltclvkgfypsdiavewe sngqpennykttppvldsdsfflyskltv dkrwrqqgnvfscsvmhealhnhytqksls lspggggsgggsgggsgggsgggsgggsgg ggsdkthtccppcapellggpsvflfppk kdtlmsrtpevtcvvvdvshedpevkfnw yvdgvevhnaktkpcceeqygstycvsvlt vlhqdwlngkeykckvsnkalpapiektis kakgpprepqvytlppsreemtknqvsltc lvkgfypsdiavewesngqpennykttppv ldsdsfflyskltvdkrwrqqgnvfscsv mhealhnhytqkslsispgk </p>
134.	CH_1xCD3-	VH CDR1	sygmh

	scFc		
135.	CH_1xCD3- scFc	VH CDR2	fiwydgsnkyadsvkd
136.	CH_1xCD3- scFc	VH CDR3	ragiigtigyyygmdv
137.	CH_1xCD3- scFc	VL CDR1	sgdrlgekyts
138.	CH_1xCD3- scFc	VL CDR2	qdtkrps
139.	CH_1xCD3- scFc	VL CDR3	qawesstvv
140.	CH_1xCD3- scFc	VH	qvqlvesqqvvpqgslrlscaasqftfs sygmhvrqapgkglewvafiwydgsnky adsvkdrftisrdnskntlylqmnsraed tavyyarragiigtigyyygmdvvgqgtt vtvss
141.	CH_1xCD3- scFc	VL	syeltqppsvsvspgqtasitcsgdrlgek ytswyqqrpgqspllviyqdtkrpser fsgsngntatltisgtqamdeadyycqaw esstvvfgggtklvtl
142.	CH_1xCD3- scFc	scFv	qvqlvesggvvpqgslrlscaasqftfs sygmhvrqapgkglewvafiwydgsnky adsvkdrftisrdnskntlylqmnsraed tavyyarragiigtigyyygmdvvgqgtt vtvssggggsgggsgggssyeltqppsv svspgqtasitcsgdrlgekytswyqqrpg qspllviyqdtkrpserfsgsngnta tltisgtqamdeadyycqawesstvvfgg tklvtl
143.	CH_1xCD3- scFc	Биспецифическая молекула	qvqlvesggvvpqgslrlscaasqftfs sygmhvrqapgkglewvafiwydgsnky adsvkdrftisrdnskntlylqmnsraed tavyyarragiigtigyyygmdvvgqgtt vtvssggggsgggsgggssyeltqppsv svspgqtasitcsgdrlgekytswyqqrpg

			<p>qspllviiyqdtkrpsgiperfsgsngnta tltisgtqamdeadyycqawesstvvfggg tkltvlsggggsevqlvesggglvqpggs1 klscaasgftfnkyamnvrqapgkglewv arirskynnyatyyadsvkdrftisrddsk ntaylqmnnlktedtavyycvrhgnfgnsy isywaywgqgtlvtvssggggsgggsggg gsqtvtvqepsltvspggtvtltcgsstga vtsgnypnwvqqkpgqaprgliggtkflap gtparfsgsllggkaaltlsgvqpedeae ycvlwysnrwvfgggtkltvl</p>
144.	CH ₁ xCD3- scFc	Биспецифи ческая молекула HLE	<p>qvqlvesgggvvqpggs1rlscaasgftfs sygmhvrqapgkglewvafiwydgsnkyy adsvkdrftisrdnskntlylqmnsraed tavyycarragiigtigygygmdvwgqggt vtvssggggsgggsgggsgssyeltqppsv svspgqtasitcsgdrlgekytswyqrrpg qspllviiyqdtkrpsgiperfsgsngnta tltisgtqamdeadyycqawesstvvfggg tkltvlsggggsevqlvesggglvqpggs1 klscaasgftfnkyamnvrqapgkglewv arirskynnyatyyadsvkdrftisrddsk ntaylqmnnlktedtavyycvrhgnfgnsy isywaywgqgtlvtvssggggsgggsggg gsqtvtvqepsltvspggtvtltcgsstga vtsgnypnwvqqkpgqaprgliggtkflap gtparfsgsllggkaaltlsgvqpedeae ycvlwysnrwvfgggtkltvlgggdktht cppcpapellggpsvflfppkpkdtlmisr tpevtcvvvdvshedpevkfnwyvdgvevh naktkpceeegygstyrcvsvltvlhqdwln gkeykckvsnkalpapiektiskakgqpre pqvytlppsreemtknqvsltclvkgyfyps diavewesngqpennykttppvldsdgsff lyskltvdksrwqqgnvfscsvmhealnhh</p>

			<p>ytqkslslspgkggggsgggsgggsgggsggg gsgggsgggsgkthtcppcpapellggp svflfppkpktlmsrtpevtcvvvdvsh edpevkfnwyvdgvevhnaktkpceeegygs tyrcvsvltvlhqdwlngkeykckvsnkal papiektiskakgpprepqvylppsreem tknqvsltclvkgfypsdiavewesngqpe nnykttppvldsdsfflyskltvdksrwq qgnvfscsvmhealthhnytqkslslspgk</p>
145.	CH_1xCD3- scFc_deGK	Биспецифи- ческая молекула HLE	<p>qvqlvesgggvvqpggslrlscaasgftfs sygmhwrqapgkglewvafiwydgsnkyy adsvkdrftisrdnsntlylqmnsraed tavyyarragiigtigygygmdvwgqgtt vtvssggggsgggsgggsgssyeltqppsv svspgqtasitcsgdrlgekytswyqrrpg qspllvlyqdtkrpsgiperfsgsngnta tltisgtqamdeadyycqawesstvfggg tkltvlsggggseqlvesggglvqpggsl klscaasgftfnkyamnwrqapgkglewv arirskynnyatyadsvkdrftisrddsk ntaylqmnlktdtavyycvrhgnfgnsy isywaywgqgtlvtvssggggsgggsggg gsqvtvtqepsltvspggtvltlctgsstga vtsgnypnwvqkqgqaprgliggtkflap gtparfsgsllggkaaltlsgvqpedeaey ycvlwysnrwvfgggtklvtlvgggdktht cppcpapellggpsvflfppkpktlmsr tpevtcvvvdvshedpevkfnwyvdgvev naktkpceeegygstyrcvsvltvlhqdwln gkeykckvsnkalpapiektiskakgppre pqvylppsreemtknqvsltclvkgfyps diavewesngqpennykttppvldsdsff lyskltvdksrwqgnvfscsvmhealthh ytqkslslspgggsgggsgggsgggsgggsg ggggsgggsgkthtcppcpapellggpsv</p>

			flfppkpkdtlmsirtpevtcvvvdvshed pevkfnwyvdgvevhnaktkpceeegysty rcvsvltvlhqdwlngkeykckvsnkalpa piektiskakgqprepqvylppsreemtk nqvsltclvkgyfypsdiavewesnggpenn ykttppvldsdsfflyskltvdksrwqgg nvfscsvmhealhnhytqkslsispkg
146.	CH_1_CCxCD3 -scFc	VH	qvqlvesgggvvqpggslrlscaasgftfs sygmhwrqapgkclewvafiwydgsnkyy adsvkdrftisrdnskntlylqmnsraed tavyyarragiigtigygygmdivwgqgtt vtvss
147.	CH_1_CCxCD3 -scFc	VL	syeltqppsvsvspgqtasitcsgdrlgek ytswyqqrpgqspllviyqdkrpsgiper fsgsngntatltisgtqamdeadyycqaw esstvvfgcgtkltvl
148.	CH_1_CCxCD3 -scFc	scFv	qvqlvesgggvvqpggslrlscaasgftfs sygmhwrqapgkclewvafiwydgsnkyy adsvkdrftisrdnskntlylqmnsraed tavyyarragiigtigygygmdivwgqgtt vtvssggggsgggsgggssyeltqppsv svspgqtasitcsgdrlgekytswyqqrpg qspllviyqdkrpsgiperfsgsngnta tltisgtqamdeadyycqawesstvvfgcg tkltvl
149.	CH_1_CCxCD3 -scFc	Биспецифическая молекула	qvqlvesgggvvqpggslrlscaasgftfs sygmhwrqapgkclewvafiwydgsnkyy adsvkdrftisrdnskntlylqmnsraed tavyyarragiigtigygygmdivwgqgtt vtvssggggsgggsgggssyeltqppsv svspgqtasitcsgdrlgekytswyqqrpg qspllviyqdkrpsgiperfsgsngnta tltisgtqamdeadyycqawesstvvfgcg tkltvlsgggsevqlvesggglvqpggsl klscaasgftfnkyamnwvrqapgglewv

			<p>arirskynnyatyadsvkdrftisrddsk ntaylqmnlnktdtavyycvrhgnfgnsy isywaywqggtlvtvssgggsgggsggg gsqvtvtqepsltvspggtvltlctgsstga vtsgnypnwvqkpgqaprgligntkflap gtparfsgsllggkaaltlsgvqpedeae ycvlwysnrwvfgggtkltvl</p>
150.	CH_1_CCxCD3 -scFc	Биспецифическая молекула HLE	<p>qvqlvesgggvvqpggsrlrlscaasgftfs sygmhwrqapgkclewvafiwydgsnkyy adsvkdrftisrdnskntlylqmnsraed tavyyarraggiigtigyymdvwgqggtt vtvssgggsgggsgggsgssyeltqppsv svspgqtasitcsgdrlgekytswyqrrpg qspllviyqdtkrpsgiperfsgsngnta tltisgtqamdeadyycqawesstvfgcg tkltvlsgggsevqlvesggglvqpggsl klscaasgftfnkyamwvrqapgglewv arirskynnyatyadsvkdrftisrddsk ntaylqmnlnktdtavyycvrhgnfgnsy isywaywqggtlvtvssgggsgggsggg gsqvtvtqepsltvspggtvltlctgsstga vtsgnypnwvqkpgqaprgligntkflap gtparfsgsllggkaaltlsgvqpedeae ycvlwysnrwvfgggtkltvlgggdktht cppcpapellggpsvflfppkpkdtlmisr tpevtcvvvdvshdpevkfnwyvdgvevh naktkpceezygstyrcvsvltvlhqdwln gkeykckvsnkalpapiektiskakgpre pqvytlppsreemtknqvsltclvkgfyps diavewesngqpennykttppvldsdsff lyskltvdksrwqgnvfscsvmhealhh ytqkslslspgkgggsgggsgggsggg gsgggsgggsgdkthtcppcpapellggp svflfppkpkdtlmisrtpevtcvvvdvsh edpevkfnwyvdgvevhnaktkpceezygs</p>

			tyrcvsvltvlhqdwlngkeykckvsnk papiektiskakgqprepqvylppsreem tknqvsltclvkgfypsdiavewesngqpe nnykttppvldsdsfflyskltvdksrwq qgnvfscsvmhealhhhtqkslsispqk
151.	CH_1_CCxCD3 -scFc_delGK	Биспецифи ческая молекула HLE	qvqlvesgggvvqpgslrlscaasgftfs sygmhwrqapgkclewvafiwydgsnkyy adsvkdrftisrdnskntlylqmnsraed tavycarragiigtigyyygmdvvgqgtt vtvssggggsgggsgggssyeltqppsv svspgqtasitcsgdrlgekytswyqrrpg qspllviyqdkrpsgiperfsgsngnta tltisgtqamdeadyycqawesstvfgcg tkltvlsggggsevqlvesggglvqpgsl klscaasgftfnkyamnwrqapgkglewv arirskynnyatyadsvkdrftisrddsk ntaylqmnktedtavyycvrhgnfgnsy isywaywgqgtlvtvssggggsgggsggg gsqvtvtqepsltvspggtvltlctgsstga vtsgnypnwvqkpgqaprgliggtkflap gtparfsgslggkaaltlsgvqpedeaey ycvlwysnrwvfgggtkltvlgggdktht cppcpapellggpsvflfppkpkdtlmisr tpevtcvvvdvshedpevkfnwyvdgvevh naktkpceezygstyrcvsvltvlhqdwln gkeykckvsnkalpapiektiskakgpre pqvylppsreemtknqvsltclvkgfyps diavewesngqpennykttppvldsdsff lyskltvdksrwqqgnvfscsvmhealhh ytqkslsispqggggsgggsgggsggggs ggggsgggsgdkthtcppcpapellggpsv flfppkpkdtlmisrtpevtcvvvdvshed pevkfnwyvdgvevhnaktkpceezygsty rcvsvltvlhqdwlngkeykckvsnk palektiskakgqprepqvylppsreemtk

			nqvsltcclvkgfypsdiavewesngqpenn ykttppvldsdgsfflyskltvdksrwqqg nvfscsvmhealhnhytqkslslspgk
152.	CH_2xCD3- scFc	VH CDR1	sygmh
153.	CH_2xCD3- scFc	VH CDR2	fiwydgsnkyyadsvkg
154.	CH_2xCD3- scFc	VH CDR3	ragiigtigyyygmdv
155.	CH_2xCD3- scFc	VL CDR1	sgdrlgekyts
156.	CH_2xCD3- scFc	VL CDR2	qdtkrps
157.	CH_2xCD3- scFc	VL CDR3	qawesstvv
158.	CH_2xCD3- scFc	VH	qvqlvesgggvvqpggslrlscaasgftfs sygmhwrqapgkglewvafiwydgsnkyy adsvkgrftisrdnskntlylqmnsraed tavyyarragiigtigyyygmdvwgqggtt vtvss
159.	CH_2xCD3- scFc	VL	syeltqppsvsvspgqtasitcsgdrlgek ytswyqqrpgqspllviyqdtkrpsgiper fsgsngntatltisgtqamdeadyycqaw esstvvfgggtkltvl
160.	CH_2xCD3- scFc	scFv	qvqlvesgggvvqpggslrlscaasgftfs sygmhwrqapgkglewvafiwydgsnkyy adsvkgrftisrdnskntlylqmnsraed tavyyarragiigtigyyygmdvwgqggtt vtvssggggsgggsgggssyeltqppsv svspgqtasitcsgdrlgekytswyqqrpg qspllviyqdtkrpsgiperfsgsngnta tltisgtqamdeadyycqawesstvvfggg tkltvl
161.	CH_2xCD3- scFc	Биспецифи ческая	qvqlvesgggvvqpggslrlscaasgftfs sygmhwrqapgkglewvafiwydgsnkyy

		молекула	<p>adsvkgrftisrdnskntlylqmnsraed tavyycarragiigtigyyygmdvwgqgtt vtvssggggsgggsgggssyeltqppsv svspgqtasitcsgdrlgekytswyqrrpg qspllviyqdtkrpsgiperfsgsngnta tltisgtqamdeadyycqawesstvfvgg tkltvlsggggsevqlvesggglvqpggs1 klscaasgftfnkyamnvrqapgglewv arirskynnyatyadsvkdrftisrddsk ntaylqmnlktdtavyycvrhgnfgnsy isywaywqggtlvtvssggggsgggsggg gsqtvtqeps1tvspggtvltcgsstga vtsgnypnwvqqkpgqaprgliggtkflap gtparfsgsllggkaaltlsgvqpedeae ycvlwysnrwvfgggtkltvl</p>
162.	CH_2xCD3- scFc	Биспецифическая молекула HLE	<p>qvqlvesgggvvqpggs1rlscaasgftfs sygmhvrqapgglewvafiwydgsnkyy adsvkgrftisrdnskntlylqmnsraed tavyycarragiigtigyyygmdvwgqgtt vtvssggggsgggsgggssyeltqppsv svspgqtasitcsgdrlgekytswyqrrpg qspllviyqdtkrpsgiperfsgsngnta tltisgtqamdeadyycqawesstvfvgg tkltvlsggggsevqlvesggglvqpggs1 klscaasgftfnkyamnvrqapgglewv arirskynnyatyadsvkdrftisrddsk ntaylqmnlktdtavyycvrhgnfgnsy isywaywqggtlvtvssggggsgggsggg gsqtvtqeps1tvspggtvltcgsstga vtsgnypnwvqqkpgqaprgliggtkflap gtparfsgsllggkaaltlsgvqpedeae ycvlwysnrwvfgggtkltvlgggdktht cppcpapellggpsvflfppkpkdtlmsr tpevtcvvvdvshedpevkfnwyvdgvevh naktkpceeogygstyrcvsvltvlhqdwln</p>

		<p>gkeykckvsnkalpapiektiskakgpre pqvytlppsreemtknqvsltclvkgfyps diavewesngqpennykttppvldsdsff lyskltvdksrwqqgnvfscsvmhealthnh ytqkslslspgkggggsgggsgggsggg gsgggsgggsgdkthtcppcpapellggp svflfppkpkdtlmisrtpevtcvvvdvsh edpevkfnwyvdgvevhnaktkpceeqygs tyrcvsvltvlhqdwlngkeykckvsnk alpapiektiskakgprepqvytlppsreem tknqvsltclvkgfypsdiavewesngqpe nnykttppvldsdsfflyskltvdksrwq qgnvfscsvmhealthnhytqkslslspgk</p>
<p>163.</p>	<p>CH₂×CD3- scFc_{del}GK</p>	<p>Биспецифическая молекула HLE</p> <p>qvqlvesgggvvqpggslrlscaasgftfs sygmhwrqapgkglewvafiwydgsnkyy adsvkgrftisrdnskntlylqmnsraed tavyyarragiigtigygygmdvwgqgtt vtvssggggsgggsgggsggyeltqppsv svspgqtasitcsgdrlgekytswyqrrpg qspllviyqdtkrpsgiperfsgsngnta tltisgtqamdeadyycqawesstvfggg tkltvlsggggsevqlvesggglvqpggsl klscaasgftfnkyamnwrqapgkglewv arirskynnyatyadsvkdrftisrddsk ntaylqmnnlktedtavyycvrhgnfgnsy isywaywgqgtlvtvssggggsgggsggg gsqtvtqepsltvspggtvltcgsstga vtsgnypnwvqkpgqaprgliggtkflap gtparfsgsllggkaaltlsgvqpedeaey ycvlwysnrwvfgggtklvtlvgggdktht cppcpapellggpsvflfppkpkdtlmisr tpevtcvvvdvshedpevkfnwyvdgvev naktkpceeqygstyrcvsvltvlhqdwln gkeykckvsnkalpapiektiskakgpre pqvytlppsreemtknqvsltclvkgfyps</p>

			diavewesngqpennykttppvldsdgsff lyskltvdksrwqqgnvfscsvmhealthnh ytqkslslspggggsgggsgggsgggsg ggggsgggsgdkthtcppcpapellgppsv flfppkpkdtlmsrtpevtcvvvdvshed pevkfnwyvdgvevhnaktkpceezygsty rcvsvltvlhqdwlngkeykckvsnkalpa piektiskakgqprepvytlppsreemtk nqvsltclvkgfypsdiavewesngqpenn ykttppvldsdgsfflyskltvdksrwqqg nvfscsvmhealthnytqkslslspgk
164.	CH_2_CCxCD3 -scFc	VH	qvqlvesgggvvqpggslrlscaasgftfs sygmhwrqapgkclewvafiwydgsnkyy adsvkgrftisrdnskntlylqmnsraed tavyyarragiigtigyyygmdvwgqggtt vtvss
165.	CH_2_CCxCD3 -scFc	VL	syeltqppsvsvspgqtasitcsgdrlgek ytswyqqrpgqspllviyqdkrpsgiper fsgsngntatltisgtqamdeadyycqaw esstvvfgcgtkltvl
166.	CH_2_CCxCD3 -scFc	scFv	qvqlvesgggvvqpggslrlscaasgftfs sygmhwrqapgkclewvafiwydgsnkyy adsvkgrftisrdnskntlylqmnsraed tavyyarragiigtigyyygmdvwgqggtt vtvssggggsgggsgggsgggssyeltqppsv svspgqtasitcsgdrlgekytswyqqrpg qspllviyqdkrpsgiperfsgsngnta tltisgtqamdeadyycqawesstvvfgcg tkltvl
167.	CH_2_CCxCD3 -scFc	биспецифи ческая молекула	qvqlvesgggvvqpggslrlscaasgftfs sygmhwrqapgkclewvafiwydgsnkyy adsvkgrftisrdnskntlylqmnsraed tavyyarragiigtigyyygmdvwgqggtt vtvssggggsgggsgggsgggssyeltqppsv svspgqtasitcsgdrlgekytswyqqrpg

			<p>qspllviyqdtkrpsgiperfsgsngnta tltisgtqamdeadyycqawesstvfqcg tkltvlsggggsevqlvesggglvqpggs1 klscaasgftfnkyamnvrqapgkglew arirskynnyatyadsvkdrftisrddsk ntaylqmnnlktedtavyycvrhgnfgnsy isywaywgqgtlvtvssggggsgggsggg gsqtvvtqeps1tvspggtvltcgsstga vtsgnypnwvqqkpgqaprgliggtkflap gtparfsgsllggkaaltlsgvqpedeaey ycvlwysnrwvfgggtkltvl</p>
168.	CH_2_CCxCD3 -scFc	биспецифи ческая молекула	<p>qvqlvesgggvvqpggs1rlscaasgftfs sygmhvrqapgkclewvafiwydgsnkyy advkgrftisrdnskntlylqmns1raed tavycarragiigtigyyygmdvwgqgtt vtvssggggsgggsgggsgssyeltqppsv svspggtasitcsgdrlgekytswyqrrpg qspllviyqdtkrpsgiperfsgsngnta tltisgtqamdeadyycqawesstvfqcg tkltvlsggggsevqlvesggglvqpggs1 klscaasgftfnkyamnvrqapgkglew arirskynnyatyadsvkdrftisrddsk ntaylqmnnlktedtavyycvrhgnfgnsy isywaywgqgtlvtvssggggsgggsggg gsqtvvtqeps1tvspggtvltcgsstga vtsgnypnwvqqkpgqaprgliggtkflap gtparfsgsllggkaaltlsgvqpedeaey ycvlwysnrwvfgggtkltvlgggdktht cpcpapellggpsvflfppkpkdtlmsr tpevtcvvvdvshedpevkfnwyvdgvevh naktkpceeqygstyrcvsvltvlhqdwln gkeykckvsnk1papiektiskagqpre pqvytlppsreemtknqvsltclvkgfyps diavewesngqpennykttppvldsdsff lyskltvdksrwqqgnvfscsvmhealnhh</p>

			<p>ytqkslslspgkggggsgggsgggsgggsggg gsgggsgggsgkthtcppcpapellggp svflfppkpktlmsrtpevtcvvvdvsh edpevkfnwyvdgvevhnaktkpceeegys tyrcvsvltvlhqdwlngkeykckvsnkal papiektiskakgprepqvvtlppsreem tknqvsltclvkgfypsdiavewesngqpe nnykttppvldsdsfflyskltvdksrwq qgnvfscsvmhealhhhtqkslslspgk</p>
169.	CH_2_CCxCD3 -scFc_delGK	биспецифи ческая молекула	<p>qvqlvesgggvvqpggslrlscaasgftfs sygmhwrqapgkclewvafiwydgsnkyy adsvkgrftisrdsnkntlylqmnsiraed tavyyarragiigtigyymdvwgqggtt vtvsaggsgggsgggsgggssyeltqppsv svspgqtasitcsgdrlgekytswyqrrpg qspllvlyqdtkrpsgiperfsgsngnta tltisgtqamdeadyycawesstvvfgcg tkltvlsggggseqlvesggglvqpggsl klscaasgftfnkyamnvrqapggglewv arirskynnyatyadsvkdrftisrddsk ntaylqmnnktdtavyycvrhgnfgnsy isywaywqggtlvtvssggggsgggsggg gsqtvtqepsltvspggtvtltcgsstga vtsgnypnwvqkpgqaprgliggtkflap gtparfsgsllggkaaltlsgvqpedeae ycvlwysnrwvfgggtklvtlvgggdktht cppcpapellggpsvflfppkpktlmsr tpevtcvvvdvshedpevkfnwyvdgvev naktkpceeegstyrcvsvltvlhqdwln gkeykckvsnkalpapiektiskakgpre pqvvtlppsreemtknqvsltclvkgfyps diavewesngqpennykttppvldsdsff lyskltvdksrwqqgnvfscsvmhealhh ytqkslslspgggsgggsgggsgggsgggsg gggsgggsgkthtcppcpapellggpsv</p>

			flfppkpkdtlmsrtpevtcvvvdvshed pevkfnwyvdgvevhnaktkpceeeygsty rcvsvltvlhqdwlngkeykckvsnkalpa piektiskakgqpprepqvylppsreemtk nqvsltclvkgfypsdiavewesnggpenn ykttppvldsdsfflyskltvdksrwqgg nvfscsvmhealhnhytqkslsispkg
170.	CH_3xCD3- scFc	VH CDR1	sygmh
171.	CH_3xCD3- scFc	VH CDR2	fiwyegsnkyyaesvkd
172.	CH_3xCD3- scFc	VH CDR3	ragiigtigyyygmdv
173.	CH_3xCD3- scFc	VL CDR1	sgdrlgekyts
174.	CH_3xCD3- scFc	VL CDR2	qdtkrps
175.	CH_3xCD3- scFc	VL CDR3	qawesstvv
176.	CH_3xCD3- scFc	VH	qvqlvesgggvvqpggslrlscaasgftfs sygmhwvrqapgkglewvafiwyegsnkyy aesvkdrtisrdnskntlylqmnsraed tavyyarragiigtigyyygmdvwgqggtt vtvss
177.	CH_3xCD3- scFc	VL	syeltqppsvsvspgqtasitcsgdrlgek ytswyqqrpgqspllviyqdtkrpsgiper fsgsngntatltisgtqamdeadyycqaw esstvvfgggtkltvl
178.	CH_3xCD3- scFc	scFv	qvqlvesgggvvqpggslrlscaasgftfs sygmhwvrqapgkglewvafiwyegsnkyy aesvkdrtisrdnskntlylqmnsraed tavyyarragiigtigyyygmdvwgqggtt vtvssggggsgggsgggssyeltqppsv svspgqtasitcsgdrlgekytswyqqrpg qspllviyqdtkrpsgiperfsgsngnta

			tltisgtqamdeadyycqawesstvfegg tkltvl
179.	CH_3xCD3- scFc	Биспецифическая молекула	qvqlvesgggvvqpggslrlscaasgftfs sygmhwrqapggklewvafiweyegsnkyy aesvkdrftisrdnskntlylqmnsdraed tavyyarragiigtigyyygmdvwgqgtt vtvssggggsgggsgggssyeltqppsv svspgqtasitcsgdrlgekytswyqrrpg qspllviyqdtkrpsgiperfsgsngnta tltisgtqamdeadyycqawesstvfegg tkltvlsggggsevqlvesggglvqpggsl klscaasgftfnkyamnwvrqapggklewv arirskynnyatyadsvkdrftisrddsk ntaylqmnnlktedtavyyvrhgnfgnsy isywaywqggtlvtvssggggsgggsggg gsqvtvtqepsltvspggtvltcgsstga vtsgnypnwvqkpgqaprgliggtkflap gtparfsgsllggkaaltlsgvqpedeae ycvlwysnrwvfgggtklvl
180.	CH_3xCD3- scFc	Биспецифическая молекула HLE	qvqlvesgggvvqpggslrlscaasgftfs sygmhwrqapggklewvafiweyegsnkyy aesvkdrftisrdnskntlylqmnsdraed tavyyarragiigtigyyygmdvwgqgtt vtvssggggsgggsgggssyeltqppsv svspgqtasitcsgdrlgekytswyqrrpg qspllviyqdtkrpsgiperfsgsngnta tltisgtqamdeadyycqawesstvfegg tkltvlsggggsevqlvesggglvqpggsl klscaasgftfnkyamnwvrqapggklewv arirskynnyatyadsvkdrftisrddsk ntaylqmnnlktedtavyyvrhgnfgnsy isywaywqggtlvtvssggggsgggsggg gsqvtvtqepsltvspggtvltcgsstga vtsgnypnwvqkpgqaprgliggtkflap gtparfsgsllggkaaltlsgvqpedeae

		<p>ycvlwysnrwvfgggtkltvlgggdktht cppcpapellggpsvflfppkpkdtlmisr tpevtcvvvdvshedpevkfnwyvdgvevh naktkpceeegygstyrcsvltvlhqdwln gkeykckvsnkalspapiektiskakgqpre pqvytlppsreemtknqvslclvkgyfyps diavewesngqpennykttppvldsdsff lyskltvdksrwqgnvfscsvmhealnhh ytqkslslspgkggggsgggsgggsggg gsgggsgggsgdkthtcppcpapellggp svflfppkpkdtlmisrtpevtcvvvdvsh edpevkfnwyvdgvevhnaktkpceeegys tyrcsvltvlhqdwlngkeykckvsnkals spapiektiskakgqprepvytlppsreem tknqvslclvkgyfypsdiavewesngqpe nnykttppvldsdsfflyskltvdksrwq qgnvfscsvmhealnhhytqkslslspgk</p>
<p>181.</p>	<p>CH_3xCD3- scFc_delGK</p>	<p>Биспецифи ческая молекула HLE</p> <p>qvqlvesgggvvqpggslrlscaasgftfs sygmhwrqapqgglewvafiwyegsnkyy aesvkdrftisrdnskntlylqmnsraed tavyyarragiigtigyyygmdvwgqggt vtvssggggsgggsgggsgssyeltqppsv svspgqtasitcsgdrlgekytswyqrrpg qspllviyqdtkrpsgiperfsgsngnta tltisgtqamdeadyycqawesstvfvgg tkltvlsggggsevqlvesggglvqpggsl klscaasgftfnkyamnwrqapqgglewv arirskynnyatyadsvkdrftisrddsk ntaylqmnlktdtavyycvrhgnfgnsy isywaywqggtlvtvssggggsgggsggg gsqtvvtqepsltvspggtvltlcsstga vtsgnypnwvqqkpgqaprgliggtkflap gtparfsgsllggkaaltlsgvqpedeae ycvlwysnrwvfgggtkltvlgggdktht cppcpapellggpsvflfppkpkdtlmisr</p>

			tpevtcvvvdvshedpevkfnwyvdgvevh naktkpceezygstyrcvsvltvlhqdwn gkeykckvsnkalpapiektiskakgpre pqvytlppsreemtknqvsltclvkgfyps diavewesngqpennykttppvldsdsff lyskltvdksrwqqgnvfscsvmhealthnh ytqkslslspggsgggsgggsgggsgggsg ggsgggsggskthtppcpapellggpsv flfppkpkdtlmisrtpevtcvvvdvshed pevkfnwyvdgvevhnaktkpceezygsty rcvsvltvlhqdwnlgkeykckvsnkalpa piektiskakgprepqvytlppsreemtk nqvsltclvkgfypsdiavewesngqpenn yktppvldsdsfflyskltvdksrwqgg nvfscsvmhealthnhytqkslslspgk
182.	CH_3_CCxCD3 -scFc	VH	qvqlvesgggvvqpgslrlscaasgftfs sygmhwrqapgkclewafiwegsnkyy aevkdrftisrdnskntlylqmnsraed tavyyarragiigtigygygmdvwgqgtt vtvss
183.	CH_3_CCxCD3 -scFc	VL	syeltqppsvsvspgqtasitcsgdrlgek ytswyqqrpgqspllviyqdkrpsgiper fsgsngntatltisgtqamdeadyycqaw esstvvfgcgtkltvl
184.	CH_3_CCxCD3 -scFc	scFv	qvqlvesgggvvqpgslrlscaasgftfs sygmhwrqapgkclewafiwegsnkyy aevkdrftisrdnskntlylqmnsraed tavyyarragiigtigygygmdvwgqgtt vtvssggggsgggsgggsgggsgyeltqppsv svspgqtasitcsgdrlgekytswyqqrpg qspllviyqdkrpsgiperfsgsngnta tltisgtqamdeadyycqawesstvvfgcg tkltvl
185.	CH_3_CCxCD3 -scFc	Биспецифи ческая	qvqlvesgggvvqpgslrlscaasgftfs sygmhwrqapgkclewafiwegsnkyy

		молекула	<p>aesvkdrftisrdnskntlylqmnsraed tavyycarragiigtigygygmdvwgqgtt vtvssggggsgggsgggssyeltqppsv svspgqtasitcsgdrlgekytswyqrrpg qspllvlyqdtkrpsgiperfsgsngnta tltisgtqamdeadyycqawesstvfvcg tkltvlsggggsevqlvesggglvqpggs1 klscaasgftfnkyamnvrqapgkglewv arirskynnyatyadsvkdrftisrddsk ntaylqmnlktdtavyycvrhgnfgnsy isywaywgqgtlvtvssggggsgggsggg gsqvtvtqeps1tvspggtvltcgsstga vtsgnypnwvqqkpgqaprgliggtkflap gtparfsgsllggkaaltlsgvqpedeae ycvlwysnrwvfgggtkltvl</p>
186.	CH_3_CCxCD3 -scFc	Биспецифическая молекула HLE	<p>qvqlvesgggvvqpggs1rlscaasgftfs sygmhwrqapgkclewvafiwyegsnkyy aesvkdrftisrdnskntlylqmnsraed tavyycarragiigtigygygmdvwgqgtt vtvssggggsgggsgggssyeltqppsv svspgqtasitcsgdrlgekytswyqrrpg qspllvlyqdtkrpsgiperfsgsngnta tltisgtqamdeadyycqawesstvfvcg tkltvlsggggsevqlvesggglvqpggs1 klscaasgftfnkyamnvrqapgkglewv arirskynnyatyadsvkdrftisrddsk ntaylqmnlktdtavyycvrhgnfgnsy isywaywgqgtlvtvssggggsgggsggg gsqvtvtqeps1tvspggtvltcgsstga vtsgnypnwvqqkpgqaprgliggtkflap gtparfsgsllggkaaltlsgvqpedeae ycvlwysnrwvfgggtkltvlgggdktht cppcpapellggpsvflfppkpkdtlmsr tpevtcvvvdvshedpevkfnwyvdgvevh naktkpceeogygstyrcvsvltvlhqdwln</p>

			<p>gkeykckvsnkalpapiektiskakgpre pqvytlppsreemtknqvsltclvkgyfyps diavewesngqpennykttppvldsdsff lyskltvdksrwqqgnvfscsvmhealthnh ytqkslslspgkggggsgggsgggsggg gsgggsgggsgdkthtcppcpapellggp svflfppkpkdtlmisrtpevtcvvvdvsh edpevkfnwyvdgvevhnaktkpceeegs tyrcvsvltvlhqdwlngkeykckvsnk alpapiektiskakgprepqvytlppsreem tknqvsltclvkgyfypsdiavewesngqpe nnykttppvldsdsfflyskltvdksrwq qgnvfscsvmhealthnhytqkslslspgk</p>
<p>187.</p>	<p>CH_3_CCxCD3 -scFc_delGK</p>	<p>Биспецифи ческая молекула HLE</p>	<p>qvqlvesgggvvqpggslrlscaasgftfs sygmhwvrqapgkclewvafiweysnkyy aesvkdrftisrdnskntlylqmnsraed tavyyarragiigtigygygmdvwgqgtt vtvsrgggsgggsgggsgggssyeltqppsv svspgqtasitcsgdrlgekytswyqrrpg qspllviyqdtkrpsgiperfsgsngnta tltisgtqamdeadyycqawesstvfvcg tkltvlsggggsevqlvesggglvqpggsl klscaasgftfnkyamnwvrqapgkglewv arirskynnyatyadsvkdrftisrddsk ntaylqmnnlktedtavyycvrhgnfgnsy isywaywgqgtlvtvsrgggsgggsggg gsqtvtqepsltvspggtvltcgsstga vtsgnypnwvqkpgqaprgliggtkflap gtparfgsllggkaaltlsgvqpedeaey ycvlwysnrwvfgggtklvtlvgggdktht cppcpapellggpsvflfppkpkdtlmisr tpevtcvvvdvshedpevkfnwyvdgvev naktkpceeegstycvsvltvlhqdwln gkeykckvsnkalpapiektiskakgpre pqvytlppsreemtknqvsltclvkgyfyps</p>

			diavewesngqpennykttppvldsdgsff lyskltvdksrwqqgnvfscsvmhealnhh ytqkslsislpgggsgggsgggsgggsgs ggggsgggsgdkthtcppcpapellggpsv flfppkpkdtlmisrtpcvvvdvshed pevkfnwyvdgvevhnaktkpcceeqgsty rcvsvltvlhqdwlngkeykckvsnkalpa piektiskakgqprepvytlppsreemtk nqvsltclvkgfypsdiavewesngqpenn yktppvldsdgsfflyskltvdksrwqqg nvfscsvmhealnhhtqkslsislpgk
188.	DL_1xCD3- scFc	VH CDR1	syyws
189.	DL_1xCD3- scFc	VH CDR2	yvyysgttnynpslks
190.	DL_1xCD3- scFc	VH CDR3	iavtgfyfdy
191.	DL_1xCD3- scFc	VL CDR1	rasqrvnnnyla
192.	DL_1xCD3- scFc	VL CDR2	gassrat
193.	DL_1xCD3- scFc	VL CDR3	qqydrspl
194.	DL_1xCD3- scFc	VH	qvqlqesgpglvkpsetlsltctvsggsis syywswirpppgkglewigyvyysgttnyn pslksrvtisvdtstknqfslklssvtaadt avyycasiavtgfyfdywgqgtlvtvss
195.	DL_1xCD3- scFc	VL	eivltqspgtlsislpgervtlscrasqrn nnylawyqrrpgqaprlliygassratgip drfsgsgsgtdftltisrlepedfavyycq qydrsplfgggtkleik
196.	DL_1xCD3- scFc	scFv	qvqlqesgpglvkpsetlsltctvsggsis syywswirpppgkglewigyvyysgttnyn pslksrvtisvdtstknqfslklssvtaadt avyycasiavtgfyfdywgqgtlvtvssgg

			<p>ggsgggsggggseivltqspgtlslspge rvtlscrasqrvnnnylawyqrrpgqaprl liyassratgipdrfsgsgsgtdftltis rlepedfavyyccqydrsppltfgggtklei k</p>
197.	DL_1xCD3- scFc	Биспецифи ческая молекула	<p>qvqlqesgpglvkpssetlsltctvsggsis syywswirpppgkglewigyvyysgttnyn pslksrvtisvdtstknqfslklssvtaadt avyycasiavtgfyfdywgqgtlvtvssgg ggsgggsggggseivltqspgtlslspge rvtlscrasqrvnnnylawyqrrpgqaprl liyassratgipdrfsgsgsgtdftltis rlepedfavyyccqydrsppltfgggtklei ksggggsevqlvesggglvqpggslklisca asgftfnkyamnvrqapgkglewvarirs kynnyatyyadsvkdrftisrddskntayl qmnnlktedtavyycvrhgnfgnsyisywa ywgggtlvtvssggggsgggsgggsgqv vtqepsltvspggtvltcgsstgavtsgn ypnwvqqkpgqaprgliggtkflapgtpar fsgslggkaaltlsgvqpedeaeyycvlw ysnrwvfgggtkltvl</p>
198.	DL_1xCD3- scFc	Биспецифи ческая молекула HLE	<p>qvqlqesgpglvkpssetlsltctvsggsis syywswirpppgkglewigyvyysgttnyn pslksrvtisvdtstknqfslklssvtaadt avyycasiavtgfyfdywgqgtlvtvssgg ggsgggsggggseivltqspgtlslspge rvtlscrasqrvnnnylawyqrrpgqaprl liyassratgipdrfsgsgsgtdftltis rlepedfavyyccqydrsppltfgggtklei ksggggsevqlvesggglvqpggslklisca asgftfnkyamnvrqapgkglewvarirs kynnyatyyadsvkdrftisrddskntayl qmnnlktedtavyycvrhgnfgnsyisywa ywgggtlvtvssggggsgggsgggsgqv</p>

		<p>vtqepsltvspggtvtltcgsstgavtsgn ypnwvqqkpgqaprgliggtkflapgtpar fsgsllggkaaltlsgvqpedeaeycvlw ysnrwvfgggtklvtlvgggdkthtcppcp apellggpsvflfppkpkdtlmisrtpevt cvvvdvshedpevkfnwyvdgvevhnaktk pceeegystyrcsvlvtvlhqdwlngkeyk ckvsnkalpapiektiskakgqprepvyt lppsreemtknqvsltclvkgfypsdiave wesngqpennykttppvldsdgsfflyskl tvdksrwqqgnvfscsvmhealhhnytqks lslspgkggggsgggsgggsgggsggg gsgggsgdkthtcppcpapellggpsvflf ppkpkdtlmisrtpevtcvvvdvshedpev kfnwyvdgvevhnaktkpeeegystyrcv svlvtvlhqdwlngkeykckvsnkalpapie ktiskakgqprepvytlppsreemtknqv sltclvkgfypsdiavewesngqpennykt tppvldsdgsfflyskltdvdksrwqqgnvf scsvmhealhhnytqkslslspgk</p>
<p>199.</p>	<p>DL_1xCD3- scFc_delGK</p>	<p>Биспецифическая молекула HLE</p> <p>qvqlqesgpglvkpselstlctvsggsis syywswirpppgkglewigyvyysgttnyn pslksrvtisvdtstknqfslklssvtaadt avyycasiavtgfyfdywgqgtlvtvssgg ggsgggsggggseivltqspgtlslspgge rvtlscrasqrnnnylawyqqrpgqaprl liyassratgipdrfsgsgsgtdftltis rlepedfavyyccqydrsppltfgggtklei ksggggsevqlvesggglvqpggslklscs asgftfnkyamnwvrqapgkglewvarirs kynnyatyadsvkdrftisrddskntayl qmnlktdtavyycvrhgnfgnsyisywa ywgqgtlvtvssggggsgggsgggsgqv vtqepsltvspggtvtltcgsstgavtsgn ypnwvqqkpgqaprgliggtkflapgtpar</p>

			fsgsl1ggkaaltlsgvqpedeaeyycvlw ysnrwvfgggtklvtlvgggdkthtcppcp apellggpsvflfppkpkdtlmsrtpevt cvvvdvshedpevkfnwyvdgvevhnaktk pceeegystyrcvsvltvlhqdwlngkeyk ckvsnkalpapiektiskakgqprepvyt lppsreemtknqvsltclvkgfypsdiave wesngqpennykttpvldsdgsfflyskl tvdksrwqqgnvfscsvmhealhnhytqks lslspggggsgggsgggsgggsgggsgggsg ggggsdkthtcppcpapellggpsvflfpp kpkdtlmsrtpevtcvvvdvshedpevkf nwyvdgvevhnaktkpeeegystyrcvsv ltvlhqdwlngkeykckvsnkalpapiekt iskakgqprepvytlppsreemtknqvsl tclvkgfypsdiavewesngqpennyktp pvldsdgsfflyskl tvdksrwqqgnvfsc svmhealhnhytqkslslspgk
200.	DL_1_CCxCD3 -scFc	VH	qvqlqesgpglvkpsetlsltctvsggsis syywswirppgkclewigyvyysgttnyn pslksrvtisvdtsknqfslklssvtaadt avyycasiavtgfyfdywgqgtlvtvss
201.	DL_1_CCxCD3 -scFc	VL	eivltqspgtlslspgervtlscrasqrvn nnylawyqrrpgqaprllygassratgip drfsgsgsgtdftltisrlepedfavyyccq qydrspltfgcgkkleik
202.	DL_1_CCxCD3 -scFc	scFv	qvqlqesgpglvkpsetlsltctvsggsis syywswirppgkclewigyvyysgttnyn pslksrvtisvdtsknqfslklssvtaadt avyycasiavtgfyfdywgqgtlvtvssgg ggsgggsggggseivltqspgtlslspge rvtlscrasqrvnnylawyqrrpgqaprl lygassratgipdrfsgsgsgtdftltis rlepedfavyyccqydrspltfgcgkklei k

203.	DL_1_CCxCD3 -scFc	Биспецифическая молекула	<pre> qvqlqesgpglvkpssetlsltctvsggsis syywswirpppgkclewigvyyvsgttnyn pslksrvtisvdtsknqfslklssvtaadt avyycasiavtgfyfdywgggtlvtvssgg ggsgggsggggseivltqspgtlslspge rvtlscrasqrvnnnylawyqrrpgqaprl liygassratgipdrfsgsgsgtdftltis rlepedfavyyccqydrspltfgcgklei ksggggsevqlvesggglvqpggslklsc asgftfnkyamnvrqapgkglewvarirs kynnyatyyadsvkdrftisrddskntayl qmnnlktedtavyycvrhgnfgnsyisywa ywgggtlvtvssggggsgggsgggsgqv vtqepsltvspggtvltlctgsstgavtsgn ypnwvqqkpgqaprgliggtkflapgtpar fsgslggkaaltlsgvqpedeaeyycvlw ysnrwvfgggtkltvl </pre>
204.	DL_1_CCxCD3 -scFc	Биспецифическая молекула HLE	<pre> qvqlqesgpglvkpssetlsltctvsggsis syywswirpppgkclewigvyyvsgttnyn pslksrvtisvdtsknqfslklssvtaadt avyycasiavtgfyfdywgggtlvtvssgg ggsgggsggggseivltqspgtlslspge rvtlscrasqrvnnnylawyqrrpgqaprl liygassratgipdrfsgsgsgtdftltis rlepedfavyyccqydrspltfgcgklei ksggggsevqlvesggglvqpggslklsc asgftfnkyamnvrqapgkglewvarirs kynnyatyyadsvkdrftisrddskntayl qmnnlktedtavyycvrhgnfgnsyisywa ywgggtlvtvssggggsgggsgggsgqv vtqepsltvspggtvltlctgsstgavtsgn ypnwvqqkpgqaprgliggtkflapgtpar fsgslggkaaltlsgvqpedeaeyycvlw ysnrwvfgggtkltvlgggdkthtccppcp apellggpsvflfppkpkdtlmisrtpevt </pre>

			<p>cvvvdvshedpevkfnwyvdgvevhnaktk pceezygstyrcvsvltvlhqdwlngkeyk ckvsnkalpapiektiskakgqprepvyt lppsreemtknqvsltclvkgfypsdiave wesngqpennyktppvldsdsfflyskl tvdksrwqggnvfscsvmhealhnhytqks lslspgkgggsgggsgggsgggsgggsggg gsgggsgdkthtcpppapellggpsvflf ppkpkdtlmsrtpevtcvvvdvshedpev kfnwyvdgvevhnaktkpceezygstyrcv svltvlhqdwlngkeykckvsnkalpapie ktiskakgqprepvytlppsreemtknqv sltclvkgfypsdiavewesngqpennykt tppvldsdsfflyskl tvdksrwqggnvf scsvmhealhnhytqkslslspgk</p>
<p>205.</p>	<p>DL_1_CCxCD3 -scFc_delGK</p>	<p>Биспецифи ческая молекула HLE</p>	<p>qvqlqesgpglvkpseltlctvtsggsis syywswirppgkclewigyvyysgttnyn pslksrvtisvdtsknqfslklssvtaadt avyycasiavtgfyfdywgqgtlvtvssgg ggsgggsggggseivltqspgtlslspge rvtlscrasqrnnnylawyqqrpgqparl liygassratgipdrfsgsgsgtdftltis rlepedfavyyccqydrsppltfgcgtklei ksggggsevqlvesggglvqpggslklsc asgftfnkyamnwvrqapgkglewvarirs kynnyatyadsvkdrftisrddskntayl qmnlktdtavyycvrhgnfgnsyisywa ywgqgtlvtvssggsgggsgggsgqtv vtqepsltvspggtvltlctgsstgavtsgn ypnwvqkpgqaprgliggtkflapgtpar fsgslggkaaltlsgvqpedeaeycvlw ysnrwvfgggtklvlgggdkthtcppcp apellggpsvflfppkpkdtlmsrtpevt cvvvdvshedpevkfnwyvdgvevhnaktk pceezygstyrcvsvltvlhqdwlngkeyk</p>

			ckvsnkalspapietiskakgqprepvyt lppsreemtknqvsltclvkgfypsdiave wesngqpennykttpvltdsgsfflyskl tvdksrwqqgnvfscsvmhealhnhytqks lslspggggsgggsgggsgggsgggsgggsg gggsgdkthtccpppapellggpsvflfpp kpkdtlmisrtpevtcvvvdvshedpevkf nwyvdgvevhnaktkpcceeqgstyrcvsv ltvlhqdwlngkeyckvsnkalspapiet iskakgqprepvytlppsreemtknqvsl tclvkgfypsdiavewesngqpennyktp pvltdsgsfflyskltdvdksrwqqgnvfsc svmhealhnhytqkslslspgk
206.	DL_2xCD3- scFc	VH CDR1	sfyws
207.	DL_2xCD3- scFc	VH CDR2	yiyysgttnynpslks
208.	DL_2xCD3- scFc	VH CDR3	iavagfffdy
209.	DL_2xCD3- scFc	VL CDR1	rasqsvnknyla
210.	DL_2xCD3- scFc	VL CDR2	gassrat
211.	DL_2xCD3- scFc	VL CDR3	qqydrspl
212.	DL_2xCD3- scFc	VH	qvqlqesgpglvkpsetlsltctvsgasis sfywswirqppgkglewigiyysgttnyn pslksrvtisvdtsknqfslklssvtaadt avyycariavagfffdywgqgtlvtvss
213.	DL_2xCD3- scFc	VL	eivltqspgtlslspgeratlscrasqsvn knylawyqqkpgqaprlliygassratgip drfsgsgsgtdftltisrlepedfavyycq qydrsplfgggtkveik
214.	DL_2xCD3- scFc	scFv	qvqlqesgpglvkpsetlsltctvsgasis sfywswirqppgkglewigiyysgttnyn

			<p>pslksrvtisvdtstknqfslklssvtaadt avyycariavagfffdywgqgtlvtvssgg ggsgggsggggseivltqspgtlslspge ratlscrasqsvnknylawyqqkpgqaprl liygassratgipdrfsgsgsgtdftltis rlepedfavyyccqydrspltfgggtkvei k</p>
215.	DL_2xCD3- scFc	Биспецифи ческая молекула	<p>qvqlqesgpglvkpsetlsltctvsgasis sfywswirpppgkglewigiyysgttnyn pslksrvtisvdtstknqfslklssvtaadt avyycariavagfffdywgqgtlvtvssgg ggsgggsggggseivltqspgtlslspge ratlscrasqsvnknylawyqqkpgqaprl liygassratgipdrfsgsgsgtdftltis rlepedfavyyccqydrspltfgggtkvei ksggggsevqlvesggglvqpggslklsc asgftfnkyamnvrqapgkglewvarirs kynnyatyyadsvkdrftisrddskntayl qmnnlktedtavyycvrhgnfgnsyisywa ywgqgtlvtvssggggsgggsgggsgqv vtqepsltvspggtvltlctgsstgavtsgn ypnwvqqkpgqaprgliggtkflapgtpar fsgslggkaaltlsgvqpedeaeycvlw ysnrwvfgggtklvtl</p>
216.	DL_2xCD3- scFc	Биспецифи ческая молекула HLE	<p>qvqlqesgpglvkpsetlsltctvsgasis sfywswirpppgkglewigiyysgttnyn pslksrvtisvdtstknqfslklssvtaadt avyycariavagfffdywgqgtlvtvssgg ggsgggsggggseivltqspgtlslspge ratlscrasqsvnknylawyqqkpgqaprl liygassratgipdrfsgsgsgtdftltis rlepedfavyyccqydrspltfgggtkvei ksggggsevqlvesggglvqpggslklsc asgftfnkyamnvrqapgkglewvarirs kynnyatyyadsvkdrftisrddskntayl</p>

		<p>qmnnlktedtavyycvrhgnfgnsyisywa ywgqgtlvtvssggggsgggsgggsgqv vtqepsltvspggtvltcgsstgavtsgn ypnwvqqkpgqaprgliggtkflapgtpar fsgslggkaaltlsgvqpedeaeyycvlw ysnrwfgggkltvlggggdkthtcppcp apellggsfvflfppkpkdtlmisrtpvt cvvvdvshedpevkfnwyvdgvevhnaktk pceeegystyrcsvlvtvlhqdwlngkeyk ckvsnkalspapiektiskakgqprepvyt lppsreemtknqvsltclvkgfypsdiave wesngqpennyktppvldsdsfflyskl tvdksrwqqgnvfscsvmhealhhnytqks lslspgkgggsgggsgggsgggsggg gsgggsgdkthtcppcpapellggsfvflf ppkpkdtlmisrtpvtcvvvdvshedpev kfnwyvdgvevhnaktkpeeegystyrcv svlvtvlhqdwlngkeykckvsnkalspie ktiskakgqprepvytlppsreemtknqv sltclvkgfypsdiavewesngqpennykt tppvldsdsfflyskltdksrwqqgnvf scsvmhealhhnytqkslslspgk</p>
<p>217.</p>	<p>DL_2xCD3- scFc_delGK</p>	<p>Биспецифическая молекула HLE</p> <p>qvqlqesgpglvkpsetlslctctvsgasis sfywswirppgkglewigiyysgttnyn pslksrvtisvdtsknqfslklssvtaadt avyycariavagfffdywqgtlvtvssgg ggsgggsggggseivltqspgtlslspge ratlscrasqsvnknylawyqqkpgqaprl liygassratgipdrfsgsgsgtdftltis rlepedfavyyccqydrsppltfgggtkvei ksggggsevqlvesggglvqpggslklsc asgftfnkyamnwrqapgkglewvarirs kynnyatyyadsvkdrftisrddskntayl qmnnlktedtavyycvrhgnfgnsyisywa ywgqgtlvtvssggggsgggsgggsgqv</p>

			vtqepsltvspggtvtltcgsstgavtsgn ypnwvqqkpgqaprgliggtkflapgtpar fsgslggkaaltlsgvqpedeaeycvlw ysnrwvfgggtklvtlvgggdkthtcppcp apellggpsvflfppkpkdtlmisrtpevt cvvvdvshedpevkfnwyvdgvevhnaktk pceeegystyrcvsvltvlhqdwlngkeyk ckvsnkalpapiektiskakgqprepvyt lppsreemtknqvsltclvkgyfypsdiave wesngqpennykttpvldsdgsfflyskl tvdksrwqqgnvfscsvmhealhnhtqks lslspggggsgggsgggsgggsgggsg gggsgdkthtcppcpapellggpsvflfpp kpkdtlmisrtpevtcvvvdvshedpevkf nwyvdgvevhnaktkpeeegystyrcvsv ltvlhqdwlngkeykckvsnkalpapiekt iskakgqprepvytlppsreemtknqvs tclvkgyfypsdiavewesngqpennyktp pvldsdgsfflysklvtvdksrwqqgnvfsc svmhealhnhtqkslslspgk
218.	DL_2_CCxCD3 -scFc	VH	qvqlqesgpglvkpssetlsltctvsgasis sfywswirqppgkclewigiyiysgttnyn pslksrvtisvdtstknqfslklssvtaadt avyyariavagfffdywgqgtlvtvss
219.	DL_2_CCxCD3 -scFc	VL	eivltqspgtlslspgeratlscrasqsvn knylawyqqkpgqaprllygassratgip drfsgsgsgtdftltisrlepedfavyycq qydrsppltfgcgtkveik
220.	DL_2_CCxCD3 -scFc	scFv	qvqlqesgpglvkpssetlsltctvsgasis sfywswirqppgkclewigiyiysgttnyn pslksrvtisvdtstknqfslklssvtaadt avyyariavagfffdywgqgtlvtvssgg ggsgggsggggseivltqspgtlslspge ratlscrasqsvnknylawyqqkpgqaprl lygassratgipdrfsgsgsgtdftltis

			rlepedfavyyccqydrspltfgcgkvei k
221.	DL_2_CCxCD3 -scFc	Биспецифическая молекула	qvqlqesgpglvkpssetlsltctvsgasis sfywswirppgkclewigiyysgttnyn pslksrvtisvdtstknqfslklssvtaadt avyyariavagfffdywgggtlvtvssgg ggsgggsggggseivltqspgtlslspge ratlscrasqsvnknylawyqqkpgqaprl liyassratgipdrfsgsgsgtdftltis rlepedfavyyccqydrspltfgcgkvei ksggggsevqlvesggglvqpggslklsc asgftfnkyamnvrqapgkglewvarirs kynnyatyyadsvkdrftisrddskntayl qmnnlktedtavyycvrhgnfgnsyisywa ywgggtlvtvssggggsgggsgggsgqv vtqepsltvspggtvltlctgsstgavtsgn ypnwvqqkpgqaprgliggtkflapgtpar fsgslggkaaltlsgvqpedeaeyycvlw ysnrwvfgggtklvtl
222.	DL_2_CCxCD3 -scFc	Биспецифическая молекула HLE	qvqlqesgpglvkpssetlsltctvsgasis sfywswirppgkclewigiyysgttnyn pslksrvtisvdtstknqfslklssvtaadt avyyariavagfffdywgggtlvtvssgg ggsgggsggggscivltqspgtlslspge ratlscrasqsvnknylawyqqkpgqaprl liyassratgipdrfsgsgsgtdftltis rlepedfavyyccqydrspltfgcgkvei ksggggsevqlvesggglvqpggslklsc asgftfnkyamnvrqapgkglewvarirs kynnyatyyadsvkdrftisrddskntayl qmnnlktedtavyycvrhgnfgnsyisywa ywgggtlvtvssggggsgggsgggsgqv vtqepsltvspggtvltlctgsstgavtsgn ypnwvqqkpgqaprgliggtkflapgtpar fsgslggkaaltlsgvqpedeaeyycvlw

		<p>ysnrwvfgggtklvtlvgggdkthtcppcp apellggpsvflfppkpkdtlmisrtpevt cvvvdvshedpevkfnwyvdgvevhnatk pceeeygstyrcsvltvlhqdwlngkeyk ckvsnkalspapietiskakgqprepvyt lppsreemtknqvsltclvkgfypsdiave wesngqpennyktppvldsdsfflyskl tvdkrsrqgnvfscsvmhealhhnytqks lslspgkgggsgggsgggsgggsgggsggg gsgggsgdkthtcppcpapellggpsvflf ppkpkdtlmisrtpevtcvvvdvshedpev kfnwyvdgvevhnatkpceeeygstyrcv svltvlhqdwlngkeykckvsnkalspapie ktiskakgqprepvytlppsreemtknqv sltclvkgfypsdiavewesngqpennykt tppvldsdsfflysklvtvdkrsrqgnvf scsvmhealhhnytqkslslspgk</p>
<p>223.</p>	<p>DL_2_CCxCD3 -scFc_delGK</p>	<p>Биспецифическая молекула HLE</p> <p>qvqlqesgpglvkpssetlslctctvsgasis sfywswirppgkclewigiyysgttnyn pslksrvtisvdtsknqfslklssvtaadt avyyariavagfffdywqggtlvtvssgg ggsgggsggggseivltqspgtlslspge ratlscrasqsvknkylawyqqkpgqaprl liygassratgipdrfsgsgsgtdftltis rlepedfavyyccqydrspltfgcgtkvei ksggggsevqlvesggglvqpggslklscas asgftfnkyamnwwrqapgkglewvarirs kynnyatyyadsvkdrftisrddskntayl qmnlktdtavyycvrhgnfgnsyisywa ywgqgtlvtvssggggsgggsgggsgqtv vtqepsltvspggtvtltcgsstgavtsgn ypnwvqqkpgqaprgliggtkflapgtpar fsgslggkaaltlsgvqpedeaeycvlw ysnrwvfgggtklvtlvgggdkthtcppcp apellggpsvflfppkpkdtlmisrtpevt</p>

			<p> cvvvdvshedpevkfnwyvdgvevhnaktk pceeegystyrcvsvltvlhqdwlngkeyk ckvsnkalspapiektiskakgqprepvyt lppsreemtknqvsltclvkgfypsdiave wesngqpennykttpvldsdgsfflyskl tvdkrsrwqgnvfscsvmhealhnhytqks lslspggsgggsgggsgggsgggsgggsg gggsgdkthtccppcpapellggpsvflfpp kpkdtlmisrtpevtcvvvdvshedpevkf nwyvdgvevhnaktkpeeegystyrcvsv ltvhqdwlngkeykckvsnkalspapiekt iskakgqprepvytlppsreemtknqvsl tclvkgfypsdiavewesngqpennyktp pvldsdgsfflyskltdvdkrsrwqgnvfsc svmhealhnhytqkslslspgk </p>
224.	DL_3xCD3- scFc	VH CDR1	nyymh
225.	DL_3xCD3- scFc	VH CDR2	iinpsdgstsyaqkfqq
226.	DL_3xCD3- scFc	VH CDR3	ggnsafysyydmdv
227.	DL_3xCD3- scFc	VL CDR1	rssqslvyrdgntyls
228.	DL_3xCD3- scFc	VL CDR2	kvsnwqs
229.	DL_3xCD3- scFc	VL CDR3	mqgthwppt
230.	DL_3xCD3- scFc	VH	<p> qvqlvqsgaevkkpgasvkvscasgytft nyymhwvrqapglglewmgiinpsdgstsy aqkfqgrvtmtrdtstntvymdlsslrsed tavyyccarggnsafysyydmdvwwgqgtvt vss </p>
231.	DL_3xCD3- scFc	VL	<p> dvvmtqtplslpvtlqqpasiscrssqslv yrdgntylswfqrrpgqsprriykvsnwq sgvpdrfsgggsgtdftlkisrveaedvgv </p>

			yycmqgthwpptfgggtkveik
232.	DL_3xCD3- scFc	scFv	qvqlvqsgaevkkpgasvkvsckasgytft nyymhwvrqapglglewmgiinpsdgstsy aqkfqgrvtmtrdtstntvymdlsslrsed tavyyccarggnsafysyydmdvwgqgtvt vssgggsgggsgggsgggsvdvmqtplslp vtlgqpasiscrssqslvyrdgntylswfq qrpqgsprrliykvsnwqsgvpdrfsgggs gtdftlkisrveaedvgvyycmqgthwppt fgggtkveik
233.	DL_3xCD3- scFc	Биспецифи- ческая молекула	qvqlvqsgaevkkpgasvkvsckasgytft nyymhwvrqapglglewmgiinpsdgstsy aqkfqgrvtmtrdtstntvymdlsslrsed tavyyccarggnsafysyydmdvwgqgtvt vssgggsgggsgggsgggsvdvmqtplslp vtlgqpasiscrssqslvyrdgntylswfq qrpqgsprrliykvsnwqsgvpdrfsgggs gtdftlkisrveaedvgvyycmqgthwppt fgggtkveiksgggsevqlvesggglvqp ggsllkscaasgftfnkyamnvwraqpgk lewvarirskynnyatyyadsvkdrftisr ddskntaylqmnllktedtavyycvrhgnf gnsyisywaywgqgtlvtvssgggsgggg sgggsgtvtvtqepsltvspggtvtltcgs stgavtsgnypnwvqqkpgqaprgliggk flapgtparfsgsllggkaaltlsgvqped eaeyycvlwysnrwvfgggtkltvl
234.	DL_3xCD3- scFc	Биспецифи- ческая молекула HLE	qvqlvqsgaevkkpgasvkvsckasgytft nyymhwvrqapglglewmgiinpsdgstsy aqkfqgrvtmtrdtstntvymdlsslrsed tavyyccarggnsafysyydmdvwgqgtvt vssgggsgggsgggsgggsvdvmqtplslp vtlgqpasiscrssqslvyrdgntylswfq qrpqgsprrliykvsnwqsgvpdrfsgggs gtdftlkisrveaedvgvyycmqgthwppt

			<p>fgqgatkveiksggggsevqlvesggglvqp ggsllkscaasgftfnkyamnvrqapgkg lewvarirskynnyatyadsvkdrftisr ddskntaylqmnlnktdtavyycvrhgnf gnsyisywaywgqglvtvssgggsgggg sgggsgtvtvqepsltvspggtvtlctgs stgavtsgnypnwvqqkpgqaprgliggtk flapgtparfsgsllggkaaltlsgvqped eaeyycvlwysnrwvfgggtklvtlvgggd kthtccppapellggpsvflfppkpkdtl misrtpevtcvvvdvshedpevkfnwyvdg vevhnaktkpeeogygstyrcvsvltvlhq dwlngkeykckvsnkalspapiektiskakg qprepvytlppsreemtknqvsltclvkg fypsdiavewesngqpennykttppvldsd gsfflyskltvdksrwqqgnvfscsvmhea lhnhytqkslsispkggggsgggsgggg sgggsgggsgggsggskthtccppapell lggpsvflfppkpkdtlmisrtpevtcvv dvshedpevkfnwyvdgvevhnaktkpee qygstyrcvsvltvlhqdwlngkeykckvs nkalspapiektiskakgqprepvytlpps reemtknqvsltclvkgfypsdiavewesn gqpennykttppvldsdgsfflyskltvdk srwqqgnvfscsvmhealhnhytqksls pgk</p>
235.	DL_3xCD3- scFc_delGK	Биспецифическая молекула HLE	<p>qvqlvqsgaevkkpgasvkvscasgytft nyymhwvrqapglglewmgiinpsdgstsy aqkfqgrvtmtrdtstntvymdlsslrse tavyycarggnsafysyydmvwwgqgtvt vssgggsgggsgggsggsvmtqtplslp vtlqqpasiscrsslvyrdgntylswfq qrpqgsprrliykvsnwqsgvpdrfsgggs gtdftlkisrveaedvgvyycmqgthwppt fgqgatkveiksggggsevqlvesggglvqp</p>

			<p>ggs1klscaasgftfnkyamnvrqapgk lewvarirskynnyatyyadsvkdrftisr ddskntaylqmn1ktdtavyycvrhgnf gnsyisywaywgqgtlvtvssgggsgggg sgggsgqtvtqeps1tvspggtvtl1tcgs stgavtsgnypnwvqqkpgqaprgligtk flapgtparfsgsllggkaaltlsgvqped eaeyycvlwysnrwvfgggtkl1vlggggd kthtccppapellggpsvflfppkpkdt1 misrtpevtcvvvdvshedpevkfnwyvdg vevhnaktkpeeeygstyrcvsvltvlhq dwlngkeykckvsnkalpapiektiskakg qprepvytlppsreemt1knqvs1tclvkg fypsdiavewesngqpennykt1ppvldsd gsfflysk1tvdksrwqggnvfscsvmhea lhnhytqks1slspgggsgggsgggsgg ggsgggsgggsgdkthtccppapellg gpsvflfppkpkdt1misrtpevtcvvvdv shedpevkfnwyvdgvevhnaktkpeeey gstyrcvsvltvlhqdwlngkeykckvsnk alpapiektiskakgqprepvytlppsre emt1knqvs1tclvkgfypsdiavewesngq pennykt1ppvldsdgsfflysk1tvdksr wqqgnvfscsvmhealhnhytqks1slspg k</p>
236.	DL_3_CCxCD3 -scFc	VH	<p>qvqlvqsgaevkkpgasvkvscasgytft nyymhwvrqapglclewmgiinpsdgstsy aqkfqgrvtmtrdtstntvymdlsslrsed tavyycarggnsafysyidmdvwwggtvt vss</p>
237.	DL_3_CCxCD3 -scFc	VL	<p>dvvmtqtplslpvtlqqpasiscrsslsv yrdgntylswfqqrpgqsprriiykvsnwq sgvpdrfsgggsgtdftlkisrveaedvgv yycmqgthwpptfgcgtkveik</p>
238.	DL_3_CCxCD3	scFv	<p>qvqlvqsgaevkkpgasvkvscasgytft</p>

	-scFc		nyymhwvrqapglclewmgiinpsdgstsy aqkfqgrvtmtrdtstntvymdlsslrsed tavyycarggnsafysyydmdvwgqgtvt vssgggsgggsgggsgdvmtqtplslp vtlgqpasiscrssqslvyrdgntylswfq qrpqgsprrliykvsnwqsgvpdrfsgggs gtdftlkisrveaedvgvyycmqgthwppt fgcgtkveik
239.	DL_3_CCxCD3 -scFc	Биспецифическая молекула	qvqlvqsgaevkkpgasvkvsckasgytft nyymhwvrqapglclewmgiinpsdgstsy aqkfqgrvtmtrdtstntvymdlsslrsed tavyycarggnsafysyydmdvwgqgtvt vssgggsgggsgggsgdvmtqtplslp vtlgqpasiscrssqslvyrdgntylswfq qrpqgsprrliykvsnwqsgvpdrfsgggs gtdftlkisrveaedvgvyycmqgthwppt fgcgtkveiksggggsevqlvesggglvqp ggslklscaasgftfnkyamnwvrqapgkg lewvarirskynnyatyadsvkdrftisr ddskntaylqmnlnktdtavyycvrhgnf gnsyisywaywgqgtlvtvssgggsgggg sggggsgtvtvqepsltvspggtvltcgs stgavtsgnypnwvqqkpgqaprgliggk flapgtparfsgslggkaaltlsgvqped eaeyycvlwysnrwvfgggtklvtl
240.	DL_3_CCxCD3 -scFc	Биспецифическая молекула HLE	qvqlvqsgaevkkpgasvkvsckasgytft nyymhwvrqapglclewmgiinpsdgstsy aqkfqgrvtmtrdtstntvymdlsslrsed tavyycarggnsafysyydmdvwgqgtvt vssgggsgggsgggsgdvmtqtplslp vtlgqpasiscrssqslvyrdgntylswfq qrpqgsprrliykvsnwqsgvpdrfsgggs gtdftlkisrveaedvgvyycmqgthwppt fgcgtkveiksggggsevqlvesggglvqp ggslklscaasgftfnkyamnwvrqapgkg

			<p>lewvarirskynnyatyadsvkdrftisr ddsntaylqmnlnktdtavyycvrhgnf gnsyisywaywgqgtlvtvssgggsgggg sgggsgtvtvtqepsltvspggtvltcgs stgavtsgnypnwvqqkpgqaprgliggk flapgtparfsgslggkaaltlsgvqed eaeyycvlwysnrwvfgggtklvtlggggd kthtppcpapellggpsvflfppkpkdtl misrtpevtcvvvdvshedpevkfnwyvdg vevhnaktkpeezygstyrcvsvltvlhq dwlngkeykckvsnkalpapiektiskakg qprepvytlppsreemtknqvsltclvkg fypsdiavewesngqpennyktppvlds gsfflyskltvdksrwqqgnvfscsvmhea lhnhytqkslspsgkggggsgggsgggg sgggsgggsgggsggskthtppcpapel lggpsvflfppkpkdtlmisrtpevtcvv dvshedpevkfnwyvdgvevhnaktkpee qygstyrcvsvltvlhqdwlngkeykckvs nkalpapiektiskakgprepvytlpps reemtknqvsltclvkgfypsdiavewes gqpennyktppvldsdsfflyskltvdk srwqqgnvfscsvmhealhnhytqksls pgk</p>
241.	DL_3_CCxCD3 -scFc_delGK	Биспецифическая молекула HLE	<p>qvqlvqsgaevkkpgasvkvscasgytft nyymhwvrqapglclewmgiinpsdgstsy aqkfqgrvtmtrdtstntvymdlsslrsed tavyycarggnsafysyydmdvwgqgtvt vssgggsgggsgggsgggsvvmtqtplslp vtlgqpasiscrssqslvyrdgntylnswfq qrpqgsprrliykvsnwqsgvprdfsgggs gtdftlkisrveaedvgvyymqgthwppt fgcgtkveiksgggsevqlvesggglvqp ggslklscaasgftfnkyamnvwvrqapkg lewvarirskynnyatyadsvkdrftisr</p>

			<p> ddskntaylqmnlnktdtavyyvcrhgnf gnsyisywaywgqgtlvtvssgggsgggg sgggsgqtvtvtepsltvspggtvtltcgs stgavtsgnypnwvqqkpgqaprgliggk flapgtparfsgsllggkaaltlsgvqped eaeyycvlwysnrwvfgggtklvtlvgggd kthtcpppapellggpsvflfppkpkdtl misrtpevtcvvvdvshedpevkfnwyvdg vevhnaktkpeeegystyrcvsvltvlhq dwlngkeykckvsnkalpapiektiskakg qprepvytlppsreemtknqvsltclvkg fypsdiavewesngqpennyktppvldsd gsfflyskltvdksrwqqgnvfscsvmhea lnhnytqkslsispgggsgggsgggsgg gggsgggsgggsgdkhtcpppapellg gpsvflfppkpkdtlmisrtpevtcvvvdv shedpevkfnwyvdgvevhnaktkpeeeg gstyrcvsvltvlhqdwlngkeykckvsnk alpapiektiskakgqprepvytlppsre emtknqvsltclvkgfypsdiavewesngq pennyktppvldsdgsfflyskltvdksr wqqgnvfscsvmhealnhnytqkslsispg k </p>
242.	C19_1xCD3- scFc	VH CDR1	sygvs
243.	C19_1xCD3- scFc	VH CDR2	yndpvfgsiyyaswvkg
244.	C19_1xCD3- scFc	VH CDR3	drsyvsssgyhfnl
245.	C19_1xCD3- scFc	VL CDR1	qasetiyssla
246.	C19_1xCD3- scFc	VL CDR2	gasnles
247.	C19_1xCD3- scFc	VL CDR3	qsgvysaglt

248.	C19_1xCD3-scFc	VH	evqllesggglvqpggslrlscaasgftfs sygvswvrqapgkglewigyndpvfysiyy aswvkgrftissdnskntlylqmnsraed tavyycaakdrsyvsssgyhnflwgqgtlvt vss
249.	C19_1xCD3-scFc	VL	diqmtqspsslsasvgdrvtitcqasetiy sslawyqqkpgkppklliygasnlesgvps rfsgsgsgtdftftisslqpediatyycqs gvysagltfgggtkveik
250.	C19_1xCD3-scFc	scFv	diqmtqspsslsasvgdrvtitcqasetiy sslawyqqkpgkppklliygasnlesgvps rfsgsgsgtdftftisslqpediatyycqs gvysagltfgggtkveikggggsgggsgg ggsevqllesggglvqpggslrlscaasgf tfssygvswvrqapgkglewigyndpvfgs iyyaswvkgrftissdnskntlylqmnsr aedtavyycaakdrsyvsssgyhnflwgqgt lvtvss
251.	C19_1xCD3-scFc	Биспецифическая молекула	diqmtqspsslsasvgdrvtitcqasetiy sslawyqqkpgkppklliygasnlesgvps rfsgsgsgtdftftisslqpediatyycqs gvysagltfgggtkveikggggsgggsgg ggsevqllesggglvqpggslrlscaasgf tfssygvswvrqapgkglewigyndpvfgs iyyaswvkgrftissdnskntlylqmnsr aedtavyycaakdrsyvsssgyhnflwgqgt lvtvssggggsevqlvesggglvqpggslk lscaasgftfnkyamnwvrqapgkglewva rirskynnyatyadsvkdrftisrddskn taylqmnlnktedtavyycvrhgnfgnsyi sywaywgqgtlvtvssggggsgggsgggg sqtvtqepsltvspggtvtlctgsstgav tsgnypnwvqqkpgqaprgliggkflapg tparfsgsllggkaaltlsgvpedeaeey cvlwysnrwvfgggtklvtl

252.	C19_1xCD3-scFc	Биспецифическая молекула HLE	<p>diqmtqspsslsasvqdrvtitcqasetiy sslawyqqkpgkppklliygasnlesgvps rfsqsgsgtdftftisslqpediatyycqs gvysagltfgggtkveikgggsgggsgg ggsevqllesggglvqpggslrlscaasgf tfssygvswvrqapgkglewigyndpvfgs iyyaswvkrftissdskntlylqmnslr aedtavyycakdrsyvsssgyhfnlwqggt lvtvssgggsevqlvesggglvqpggslk lscaasgftfnkyamnwvrqapgkglewva rirskynnyatyadsvkdrftisrddskn taylqmnnlktedtavyycvrhgnfgnsyi sywaywqggtlvtvssgggsgggsgggg sqtvvtqepsltvspggtvtlctgsstgav tsgnyprnwvqqkpgqaprgliggtkflapg tparfsgslggkaaltlsgvqpedeaeey cvlwysnrwvfgggtklvtlvggdkthtc ppcpapellggpsvflfppkpkdtlmisrt pevtcvvvdvshedpevkfnwyvdgvevhn aktkpceeegystyrcvsvltvlhqdwlng keykckvsnkalspapiektiskakgqprep qvytlppsreemtknqvsltclvkgfypsd iavewesngqpennykttppvldsdgsffl yskltdkrsrqggnvfscsvmhealhnhy tqkslslspgkgggsgggsgggsgggg sgggsggggskthtcppcpapellggps vflfppkpkdtlmisrtpevtcvvvdvshe dpevkfnwyvdgvevhnaktkpceeegyst yrcvsvltvlhqdwlngkeykckvsnkalsp apiektiskakgqprepqvytlppsreemt knqvsltclvkgfypsdiaavewesngqpen nykttppvldsdgsfflyskltdkrsrqg gnvfscsvmhealhnhytqkslslspgk</p>
253.	C19_1_CCxCD3-scFc	VH	<p>evqllesggglvqpggslrlscaasgftfs sygvswvrqapgkclewigyndpvfgsiyy</p>

			aswvkgrftissdnskntlylqmnsraed tavyycaakdrsyvsssgyhfnlwgggtlvt vss
254.	C19_1_CCxCD 3-scFc	VL	diqmtqspsslsasvgrvtitcqasetiy sslawyqqkpgkppklliygasnlesgvps rfsgsgsgtdfttisslqpediatyycqs gvysagltfgcgtkveik
255.	C19_1_CCxCD 3-scFc	scFv	diqmtqspsslsasvgrvtitcqasetiy sslawyqqkpgkppklliygasnlesgvps rfsgsgsgtdfttisslqpediatyycqs gvysagltfgcgtkveikggggsgggsgg ggsevqllesggglvqpggsirlscaasgf tfssygvswvrqapgkclewigyndpvfgs iyyaswvkgrftissdnskntlylqmnsr aedtavyycaakdrsyvsssgyhfnlwgggt lvtvss
256.	C19_1_CCxCD 3-scFc	биспецифи ческая молекула	diqmtqspsslsasvgrvtitcqasetiy sslawyqqkpgkppklliygasnlesgvps rfsgsgsgtdfttisslqpediatyycqs gvysagltfgcgtkveikggggsgggsgg ggsevqllesggglvqpggsirlscaasgf tfssygvswvrqapgkclewigyndpvfgs iyyaswvkgrftissdnskntlylqmnsr aedtavyycaakdrsyvsssgyhfnlwgggt lvtvssggggsevqlvesggglvqpggslk lscaasgftfnkyamnvrqapgkglewva rirsnyatyyadsvkdrftisrddskn taylqmnlktedtavyycvrhgnfgnsyi sywaywgggtlvtvssggggsgggsgggg sqtvvtqepsltvspggtvltlcsstgav tsgnypnwvqqkpgqaprgliggtkflapg tparfsgsllggkaaltlsgvqpedeaeyy cvlwysnrwvfgggtklvtl
257.	C19_1_CCxCD 3-scFc	биспецифи ческая	diqmtqspsslsasvgrvtitcqasetiy sslawyqqkpgkppklliygasnlesgvps

		молекула	<pre> rfsgsgsgtdftftisslqpeditatyyqs gvysagltfgcgtkveikggsgggsggg ggsevqllesggglvqpggslrlscaasgf tfssygvswvrqapgkclewigyndpvfsg iyyaswvkgrftissdnskntlylqmnsr aedtavycakdrsylvssgyhfnlwgggt lvtvssggggsevqlvesggglvqpggslk lscaasgftfnkyamnvrqapgkglewva rirskynnyatyadsvkdrftisrddskn taylqmnlktedtavyycvrhgnfgnsyi sywaywgqgtlvtvssggsgggsgggsggg sqtvtqepsltvspggtvtltcgsstgav tsgnypnwvqqkpgqaprgliggtkflapg tparfsgsllggkaaltlsgvqpedeaeyy cvlwysnrwvfgggtklvtlgggdkthtc ppcpapellggpsvflfppkpkdtlmisrt pevtcvvvdvshedpevkfnwyvdgvevhn aktkpceezygstyrcvsvltvlhqdwlng keykckvsnkalpapiektiskakgqprep qvytlppsreemtknqvsltclvkgfyfspd iaawesngqpennyktpvldsdgsffl yskltvdksrwqqgnvfscsvmhealhnhy tqkslslspgkggsgggsgggsgggsggg sgggsgggsgdkthtcppcpapellggps vflfppkpkdtlmisrtpevtcvvvdvshe dpevkfnwyvdgvevhnaktkpceezygst yrcvsvltvlhqdwlngkeykckvsnkalp apiektiskakgqprepqvytlppsreemt knqvsltclvkgfyfspdiaawesngqpen nyktpvldsdgsfflyskltvdksrwqq gnvfscsvmhealhnhytqkslslspgk </pre>
258.	C19_2xCD3- scFc	VH CDR1	sygvs
259.	C19_2xCD3- scFc	VH CDR2	yndpvfsgsiyyaswvkg

260.	C19_2xCD3-scFc	VH CDR3	drsyvsssghfhl
261.	C19_2xCD3-scFc	VL CDR1	qasetiyssla
262.	C19_2xCD3-scFc	VL CDR2	gasnles
263.	C19_2xCD3-scFc	VL CDR3	qsgvysaglt
264.	C19_2xCD3-scFc	VH	evqllesggglvqpggsrlscaasgftfs sygvswvrqapggkglewigyndpvfgsiyy aswvkgrftissdnskntlylqmnsraed tavyycaakdrsyvsssghfhlwgqgtlvt vss
265.	C19_2xCD3-scFc	VL	diqmtqspsslsasvgdrvtitcqasetiy sslawyqqkpgkapklliygasnlesgvps rfsgsgsgtdfttissmqpediatyycqs gvysagltfgggtkveik
266.	C19_2xCD3-scFc	scFv	diqmtqspsslsasvgdrvtitcqasetiy sslawyqqkpgkapklliygasnlesgvps rfsgsgsgtdfttissmqpediatyycqs gvysagltfgggtkveikggggsgggsgg ggsevqllesggglvqpggsrlscaasgf tfssygvswvrqapggkglewigyndpvfgs iyyaswvkgrftissdnskntlylqmnsr aedtavyycaakdrsyvsssghfhlwgqgt lvtvss
267.	C19_2xCD3-scFc	Биспецифическая молекула	diqmtqspsslsasvgdrvtitcqasetiy sslawyqqkpgkapklliygasnlesgvps rfsgsgsgtdfttissmqpediatyycqs gvysagltfgggtkveikggggsgggsgg ggsevqllesggglvqpggsrlscaasgf tfssygvswvrqapggkglewigyndpvfgs iyyaswvkgrftissdnskntlylqmnsr aedtavyycaakdrsyvsssghfhlwgqgt lvtvssggggsevqlvesggglvqpggslk

			<p>lscaasgftfnkyamnvrqapgglewva rirskynnyatyadsvkdrftisrddskn taylqmnlnktdtavyycvrhgnfgnsyi sywaywqggtlvtvssgggsgggsgggg sqtvtqepsltvspggtvtlctgsstgav tsgnypnwvqqkpgqaprgliggtkflapg tparfsgsllggkaaltlsgvqpedeaeyy cvlwysnrwvfgggtklvtl</p>
268.	C19_2xCD3- scFc	Биспецифи- ческая молекула HLE	<p>diqmtqspsslsasvdrvtitcasetiy sslawyqqkpgkapklliygasnlesgvps rfsgsgsgtdftftissmqpediatyyqqs gvysagltfgggtkveikgggsgggsggg ggsevqllesggglvqpggslrlscaasgf tfssygvswvrqapgglewigyndpvfsgs iyyaswvkrftissdnkntlylqmnslr aedtavyycakdrsyvsssgyhfnlwqggt lvtvssgggsevqlvesggglvqpggslk lscaasgftfnkyamnvrqapgglewva rirskynnyatyadsvkdrftisrddskn taylqmnlnktdtavyycvrhgnfgnsyi sywaywqggtlvtvssgggsgggsgggg sqtvtqepsltvspggtvtlctgsstgav tsgnypnwvqqkpgqaprgliggtkflapg tparfsgsllggkaaltlsgvqpedeaeyy cvlwysnrwvfgggtklvtlvgggdkthtc ppcpapellggpsvflfppkpkdtlmisrt pevtcvvvdvshedpevkfnwyvdgvevhn aktkpceeqgstyrcvsvltvlhqdwlng keykckvsnkalpapiektiskakgqprep qvytlppsreemtknqvsltclvkgfypsd iavewesngqpennykttppvldsdsffl yskltvdksrwqgnvfscsvmhealhny tqkslslspgkgggsgggsgggsgggg sgggsgggsgdkthtcppcpapellggps vflfppkpkdtlmisrtpevtcvvvdvshe</p>

			dpevkfnwyvdgvevhnaktkpceeqygst yrcvsvltvlhqdwlngkeykckvsnkalp apiektiskakgqprepqvylppsreemt knqvsltclvkgfypsdiavewesngqpen nykttppvldsdsfflyskltvdksrwqq gnvfscsvmhealthhnytqkslslspgk
269.	C19_2_CCxCD 3-scFc	VH	evqllesggglvqpggsrlscaasgftfs sygvswvrqapgkclewigyndpvfgsiyy aswvkgrftissdnskntlylqmnsraed tavyycahdrsyvsssgyhfnlwgqgtlvt vss
270.	C19_2_CCxCD 3-scFc	VL	diqmtqspsslsasvgrvtitcqasetiy sslawyqqkpgkapklliygasnlesgvps rfsgsgsgtdfttissmqpediatyycqs gvysagltfgcgtkveik
271.	C19_2_CCxCD 3-scFc	scFv	diqmtqspsslsasvgrvtitcqasetiy sslawyqqkpgkapklliygasnlesgvps rfsgsgsgtdfttissmqpediatyycqs gvysagltfgcgtkveikggggsgggsgg ggsevqllesggglvqpggsrlscaasgf tfssygvswvrqapgkclewigyndpvfgs iyyaswvkgrftissdnskntlylqmnslr aedtavyycahdrsyvsssgyhfnlwgqgt lvtvss
272.	C19_2_CCxCD 3-scFc	биспецифи ческая молекула	diqmtqspsslsasvgrvtitcqasetiy sslawyqqkpgkapklliygasnlesgvps rfsgsgsgtdfttissmqpediatyycqs gvysagltfgcgtkveikggggsgggsgg ggsevqllesggglvqpggsrlscaasgf tfssygvswvrqapgkclewigyndpvfgs iyyaswvkgrftissdnskntlylqmnslr aedtavyycahdrsyvsssgyhfnlwgqgt lvtvssggggsevqlvesggglvqpggslk lscaasgftfnkyamnwvrqapgglewva rirskynnyatyyadsvkdrftisrddskn

			<p>taylqmnlnktdtavyycvrhgnfgnsyi sywaywqqgtlvtvssgggsgggsgggg sqtvtqepsltvspggtvtltcgsstgav tsgnypnwvqqkpgqaprgliggtkflapg tparfsgsllggkaaltlsgvqpedeaeey cvlwysnrwvfgggtklvtl</p>
273.	C19_2_CCxCD 3-scFc	биспецифическая молекула	<p>diqmtqspsslsasvgrvtitcqasetiy sslawyqqkpgkapklliygasnlesgvps rfsgsgsgtdfttissmqpediatyycqs gvysagltfgcgtkveikgggsgggsgg ggsevqllesggglvqpggsrlscaasgf tfssygvswvrqapgkclewigyndpvfgs iyyaswvkrftissdskntlylqmnslr aedtavyycakdrsyvssgyhfnlwqgt lvtvssgggsevqlvesggglvqpggslk lscaasgftfnkyamnvrqapgkglewva rirskynnyatyadsvkdrftisrddskn taylqmnlnktdtavyycvrhgnfgnsyi sywaywqqgtlvtvssgggsgggsgggg sqtvtqepsltvspggtvtltcgsstgav tsgnypnwvqqkpgqaprgliggtkflapg tparfsgsllggkaaltlsgvqpedeaeey cvlwysnrwvfgggtklvtlvgggdkthtc ppcpapellggpsvflfppkpkdtlmisrt pevtcvvvdvshedpevkfnwyvdgvevhn aktkpceeystyrcvsvltvlhqdwlng keykckvsnkalspapektiskakgqprep qvytlppsreemtknqvstclvkgyfypsd iavewesngqpennyktpvldsdgsffl yskltvdksrwqggnvfscsvmhealhnhy tqkslslspgkgggsgggsgggsgggg sgggsgggsgdkthtcppcpapellggps vflfppkpkdtlmisrtpevtcvvvdvshe dpevkfnwyvdgvevhnaktkpceeyst yrcvsvltvlhqdwlngkeykckvsnkalsp</p>

			apiektiskakgqprepqvylppsreemt knqvsltclvkgfypsdiavewesngqpen nykttppvldsdsfflyskltvdksrwqq gnvfscsvmhealhnhytqkslslspgk
274.	C19_3xCD3- scFc	VH CDR1	sygvs
275.	C19_3xCD3- scFc	VH CDR2	yndpvfgsiyyaswvkg
276.	C19_3xCD3- scFc	VH CDR3	drsyvsssgyhfnl
277.	C19_3xCD3- scFc	VL CDR1	qasetiyssla
278.	C19_3xCD3- scFc	VL CDR2	gasnles
279.	C19_3xCD3- scFc	VL CDR3	qsgvysaglt
280.	C19_3xCD3- scFc	VH	evqllesggglvqpggsrlrlscaasgftfs sygvswwrqapgkglewigyndpvfgsiyy aswvkggrftissdnskntlylqmnsraed tavyycakdirsyvsssgyhfnlwgqgtlvt vss
281.	C19_3xCD3- scFc	VL	diqmtqspsslsasvgrvtitcqasetiy sslawyqqkpgkapklliygasnlesgvps rfsgsgsgtdftftisglqpediatyycqs gvysagltfgggtkveik
282.	C19_3xCD3- scFc	scFv	diqmtqspsslsasvgrvtitcqasetiy sslawyqqkpgkapklliygasnlesgvps rfsgsgsgtdftftisglqpediatyycqs gvysagltfgggtkveikggggsgggsgg ggsevqllesggglvqpggsrlrlscaasgf tfssygvswwrqapgkglewigyndpvfgs iyyaswvkggrftissdnskntlylqmnsr aedtavyycakdirsyvsssgyhfnlwgqgt lvtvss
283.	C19_3xCD3-	биспецифи	diqmtqspsslsasvgrvtitcqasetiy

	scFc	чешская молекула	<pre> sslawyqqkpgkapklliygasnlesgvps rfsgsgsgtdftftisglqpediatyycqs gvysagltfgggtkveikggsgggsgg ggsevqllesggglvqpggsirlscaasgf tfssygvswvrqapgkglewigyndpvfqs iyyaswvkrftissdnskntlylqmnslr aedtavyycakdryvsssgyhnflwgqgt lvtvssggggsevqlvesggglvqpggslk lscaasgftfnkyamnvrqapgkglewva rirskynnyatyadsvkdrftisrddskn taylqmnnlktedtavyycvrhgnfgnsyi sywaywgqgtlvtvssggsgggsgggg sqtvvtqepsltvspggtvtltcgsstgav tsgnypnwvqqkpgqaprgliggtkflapg tparfsgsllggkaaltlsgvqpedeaeey cvlwysnrwvfgggtkltvl </pre>
284.	C19_3xCD3- scFc	биспецифи чешская молекула	<pre> diqmtqspsslsasvgrvtitcasetiy sslawyqqkpgkapklliygasnlesgvps rfsgsgsgtdftftisglqpediatyycqs gvysagltfgggtkveikggsgggsgg ggsevqllesggglvqpggsirlscaasgf tfssygvswvrqapgkglewigyndpvfqs iyyaswvkrftissdnskntlylqmnslr aedtavyycakdryvsssgyhnflwgqgt lvtvssggggsevqlvesggglvqpggslk lscaasgftfnkyamnvrqapgkglewva rirskynnyatyadsvkdrftisrddskn taylqmnnlktedtavyycvrhgnfgnsyi sywaywgqgtlvtvssggsgggsgggg sqtvvtqepsltvspggtvtltcgsstgav tsgnypnwvqqkpgqaprgliggtkflapg tparfsgsllggkaaltlsgvqpedeaeey cvlwysnrwvfgggtkltvlgggdkthtc ppcpapellggpsvflfppkpkdtlmisrt pevtcvvvdvshedpevkfnwyvdgvevhn </pre>

			<p>aktkpceeqygstyrcvsvltvlhqdwlng keykckvsnkalpapiektiskakgqprep qvytlppsreemtknqvsltclvkgyfyps iavewesngqpennykttppvldsdsffl yskltvdksrwqggnvfscsvmhealthnhy tqkslslspgkgggsgggsgggsgggsggg sgggsgggsgdkthtcppcpapellgpps vflfppkpkdtlmsirtpevtcvvvdvshe dpevkfnwyvdgvevhnaktkpceeqygst yrcvsvltvlhqdwlngkeykckvsnkalp apiektiskakgqprepqvytlppsreem knqvsltclvkgyfypsdiavewesngpen nykttppvldsdsfflyskltvdksrwqg gnvfscsvmhealthnhytqkslslspgk</p>
285.	C19_3_CCxCD 3-scFc	VH	<p>evqllesggglvqpggsrlrlscaasgftfs sygvswvrqapgkclewigyndpvfgsiyy aswvkgrftissdnskntlylqmnsraed tavyycakdrsyvsssgyhfnlwgggtlvt vss</p>
286.	C19_3_CCxCD 3-scFc	VL	<p>diqmtqspsslsasvgdrvtitcqasetiy sslawyqqkpgkapklliygasnlesgvps rfsgsgsgtdftftisglqpediatyycqs gvysagltfgcgtkveik</p>
287.	C19_3_CCxCD 3-scFc	scFv	<p>diqmtqspsslsasvgdrvtitcqasetiy sslawyqqkpgkapklliygasnlesgvps rfsgsgsgtdftftisglqpediatyycqs gvysagltfgcgtkveikgggsgggsggg ggsevqllesggglvqpggsrlrlscaasgf tfssygvswvrqapgkclewigyndpvfgs iyyaswvkgrftissdnskntlylqmnsr aedtavyycakdrsyvsssgyhfnlwgggt lvtvss</p>
288.	C19_3_CCxCD 3-scFc	Биспецифи ческая молекула	<p>diqmtqspsslsasvgdrvtitcqasetiy sslawyqqkpgkapklliygasnlesgvps rfsgsgsgtdftftisglqpediatyycqs</p>

			<p>gvysagltfgcgtkveikgggsgggsgg ggsevqllesggglvqpggslrlscaasgf tfssygvswvrqapgkclewigyndpvfgs iyyaswvkrftissdnskntlylqmnslr aedtavyycakdrsyvsssgyhfnlwqggt lvtvssggggsevqlvesggglvqpggslk lscaasgftfnkyamnvrqapgglewva rirskynnyatyadsvkdrftisrddskn taylqmnlnktdtavyycvrhgnfgnsyi sywaywgqgtlvtvssgggsgggsgggg sqtvtqepsltvspggtvtltcgsstgav tsgnypnwvqqkpgqaprgliggtkflapg tparfsgsllggkaaltlsgvpedeaeyy cvlwysnrwvfgggtkltvl</p>
289.	C19_3_CCxCD 3-scFc	Биспецифическая молекула HLE	<p>diquqspsslsasvdrvtitcqasetiy sslawyqqkpgkapklliygasnlesgvps rfsgsgsgtdfttisglqpediatyycqs gvysagltfgcgtkveikgggsgggsgg ggsevqllesggglvqpggslrlscaasgf tfssygvswvrqapgkclewigyndpvfgs iyyaswvkrftissdnskntlylqmnslr aedtavyycakdrsyvsssgyhfnlwqggt lvtvssggggsevqlvesggglvqpggslk lscaasgftfnkyamnvrqapgglewva rirskynnyatyadsvkdrftisrddskn taylqmnlnktdtavyycvrhgnfgnsyi sywaywgqgtlvtvssgggsgggsgggg sqtvtqepsltvspggtvtltcgsstgav tsgnypnwvqqkpgqaprgliggtkflapg tparfsgsllggkaaltlsgvpedeaeyy cvlwysnrwvfgggtkltvlgggdkthtc ppcpapellggpsvflfppkpkdtlmisrt pevtcvvdvshedpevkfnwyvdgvevhn aktkpceezygstyrcvsvltvlhqdwlng keykckvsnkalpapiektiskakgqprep</p>

			<p>qvytlppsreemtknqvsltclvkgfypsd iavewesngqpennykttppvldsdsffl yskltvdksrwqggvfvscsvmhealhnhy tqkslsislspgkgggsgggsgggsgggsgggg sgggsgggsgdkthtppcpapellggps vflfppkpdtmlisrtpevtcvvvdvshe dpevkfnwyvdgvevhnaktkpeeeygst yrcvsvltvlhqdwlngkeykckvsnkalp apiektiskakgqprepqvytlppsreemt knqvsltclvkgfypsdiaavewesngqpen nykttppvldsdsfflyskltvdksrwqg gnvfscsvmhealhnhytqkslsislspgk</p>
290.	C19_4xCD3- scFc	VH CDR1	sygvs
291.	C19_4xCD3- scFc	VH CDR2	yndpvfgsiyyaswvkg
292.	C19_4xCD3- scFc	VH CDR3	drsyvsssgyhfnl
293.	C19_4xCD3- scFc	VL CDR1	qasetiyssla
294.	C19_4xCD3- scFc	VL CDR2	gasnles
295.	C19_4xCD3- scFc	VL CDR3	qsgvysaglt
296.	C19_4xCD3- scFc	VH	<p>evqllesggglvqpggslrlscaasgftfs sygvswwrqapgkglewvgyndpvfgsiyy aswvkggrftissdnskntlylqmnsraed tavyycaakdrsyvsssgyhfnlwgqgtlvt vss</p>
297.	C19_4xCD3- scFc	VL	<p>diqmtqspsslsasvgrvtitcqasetiy sslawyqqkpgkapklliygasnlesgvps rfsgsgsgtdfttisslqpediatyyccqs gvysagltfgggtkveik</p>
298.	C19_4xCD3- scFc	scFv	<p>diqmtqspsslsasvgrvtitcqasetiy sslawyqqkpgkapklliygasnlesgvps</p>

			<p>rfsgsgsgtdftftisslqpediatyycqs gvysagltfgggtkveikggsgggsgg ggsevqllesggglvqpggsrlscaasgf tfssygvswvrqapgkglewvgyndpvfgs iyyaswvkrftissdnskntlylqmnslr aedtavyycahdrsyvssgyhfnlwqggt lvtvss</p>
299.	C19_4xCD3- scFc	Биспецифи- ческая молекула	<p>diqmtqspsslsasvgrvtitcqasetiy sslawyqqkpgkapklliygasnlesgvps rfsgsgsgtdftftisslqpediatyycqs gvysagltfgggtkveikggsgggsgg ggsevqllesggglvqpggsrlscaasgf tfssygvswvrqapgkglewvgyndpvfgs iyyaswvkrftissdnskntlylqmnslr aedtavyycahdrsyvssgyhfnlwqggt lvtvssgggsevqlvesggglvqpggslk lscaasgftfnkyamnvrqapgkglewva rirskynnyatyadsvkdrftisrddskn taylqmnnlktedtavyycvrhgnfgnsyi sywaywqggtlvtvssggsgggsgggg sqtvtqepsltvspggtvtltcgsstgav tsgnypnwvqqkpgqaprgliggkflapg tparfsgsllggkaaltlsgvqpedeaeey cvlwysnrwvfgggtkltvl</p>
300.	C19_4xCD3- scFc	Биспецифи- ческая молекула HLE	<p>diqmtqspsslsasvgrvtitcqasetiy sslawyqqkpgkapklliygasnlesgvps rfsgsgsgtdftftisslqpediatyycqs gvysagltfgggtkveikggsgggsgg ggsevqllesggglvqpggsrlscaasgf tfssygvswvrqapgkglewvgyndpvfgs iyyaswvkrftissdnskntlylqmnslr aedtavyycahdrsyvssgyhfnlwqggt lvtvssgggsevqlvesggglvqpggslk lscaasgftfnkyamnvrqapgkglewva rirskynnyatyadsvkdrftisrddskn</p>

			<p>taylqmnlnktdtavyycvrhgnfgnsyi sywaywqggtlvtvssgggsgggsgggg sqtvtqepsltvspggtvtltcgsstgav tsgnypnwvqqkpgqaprgliggtkflapg tparfsgsllggkaaltlsgvqpedeaeey cvlwysnrwvfgggtklvtlvgggdkthtc ppcpapellggpsvflfppkpkdtlmisrt pevtcvvvdvshedpevkfnwyvdgvevhn aktkpceezygstyrcvsvltvlhqdwlng keykckvsnkalpapiektiskakgqprep qvylppsreemtknqvsltclvkgyfypsdi avewesngqpennykttppvldsdsffly yskltvdksrwqggnvfscsvmhealthnhy tqkslslspgkgggsgggsgggsgggg sgggsgggsgdkthtcppcpapellggps vflfppkpkdtlmisrtpevtcvvvdvshe dpevkfnwyvdgvevhnaktkpceezygst yrcvsvltvlhqdwlngkeykckvsnkalp apiektiskakgqprepqvylppsreemt knqvsltclvkgyfypsdiavewesngqpen nykttppvldsdsfflyskltvdksrwqg gnvfscsvmhealthnhytqkslslspgk</p>
301.	C19_4_CCxCD 3-scFc	VH	<p>evqllesggglvqpggslrlscaasgftfs sygvswvrqapgkclewvgyndpvfgsiyy aswvkggrftissdnskntlylqmnslraed tavyycahdrsyvsssgyhfnlwgqgtlvt vss</p>
302.	C19_4_CCxCD 3-scFc	VL	<p>diqmtqspsslsasvgrvtitcqasetiy sslawyqqkpgkapklliygasnlesgvps rfsgsgsgtdftftisslqpediatyycqs gvysagltfgcgtkveik</p>
303.	C19_4_CCxCD 3-scFc	scFv	<p>diqmtqspsslsasvgrvtitcqasetiy sslawyqqkpgkapklliygasnlesgvps rfsgsgsgtdftftisslqpediatyycqs gvysagltfgcgtkveikgggsgggsgg</p>

			ggsevqllesggglvqpggsirlscaasgf tfssygvswvrqapgkclewvgyndpvfgs iyyaswvkggrftissdskntlylqmnslr aedtavyycaakdrsyvsssgyhfnlwgqgt lvtvss
304.	C19_4_CCxCD 3-scFc	Биспецифическая молекула	diqmtqspsslsasvgrvtitcqasetiy sslawyqqkpgkapklliygasnlesgvps rfsgsgsgtdfttisslqpediatyycqs gvysagltfgcgtkveikggsgggsgg ggsevqllesggglvqpggsirlscaasgf tfssygvswvrqapgkclewvgyndpvfgs iyyaswvkggrftissdskntlylqmnslr aedtavyycaakdrsyvsssgyhfnlwgqgt lvtvssgggsevqlvesggglvqpggslk lscaasgftfnkyamnvrqapgkglewva rirskynnyatyadsvkdrftisrddskn taylqmnlktedtavyycvrhgnfgnsyi sywaywgqgtlvtvssggsgggsgggg sqtvtqepsltvspggtvtltcgsstgav tsgnypnwvqqkpgqaprgliggtkflapg tparfsgsllggkaaltlsgvqpedeaeey cvlwysnrwvfgggtklvtl
305.	C19_4_CCxCD 3-scFc	Биспецифическая молекула HLE	diqmtqspsslsasvgrvtitcqasetiy sslawyqqkpgkapklliygasnlesgvps rfsgsgsgtdfttisslqpediatyycqs gvysagltfgcgtkveikggsgggsgg ggsevqllesggglvqpggsirlscaasgf tfssygvswvrqapgkclewvgyndpvfgs iyyaswvkggrftissdskntlylqmnslr aedtavyycaakdrsyvsssgyhfnlwgqgt lvtvssgggsevqlvesggglvqpggslk lscaasgftfnkyamnvrqapgkglewva rirskynnyatyadsvkdrftisrddskn taylqmnlktedtavyycvrhgnfgnsyi sywaywgqgtlvtvssggsgggsgggg

			<p> sqtvvtqepsltvspggtvtltcgsstgav tsgnypnwvqqkpgqaprgliggtkflapg tparfsgsllggkaaltlsgvqpedeaeyy cvlwysnrwvfgggtklvtlvggggdkthtc ppcpapellggpsvflfppkpkdtlmisrt pevtcvvvdvshedpevkfnwyvdgvevhn aktkpceezygstyrcvsvltvlhqdwlng keykckvsnkalpapiektiskakggprep qvytlppsreemtknqvsltclvkgfy-psd iaawesngqpennykttppvlds-dgsffl yskltvdksrwqqgnvfscsvmhealhnhy tqkslslspgkggggsgggsgggsgggg sgggsgggsgdkthtcppcpapellggps vflfppkpkdtlmisrtpevtcvvvdvshe dpevkfnwyvdgvevhnaktkpceezygst yrcvsvltvlhqdwlngkeykckvsnkalp apiektiskakggprepqvytlppsreemt knqvsltclvkgfy-psdiaawesngqpen nykttppvlds-dgsfflyskltvdksrwqq gnvfscsvmhealhnhytqkslslspgk </p>
306.	C19_1xCD3- scFc_delGK	Биспецифи- ческая молекула HLE	<p> diqmtqspsslsasvgrvtitcqasetiy sslawyqqkpgkppklliygasnlesgvps rfsgsgsgtdftftisslqpediatyycqs gvysagltfgggtkveikggsgggsgggsgg ggsevqllesggglvqpggsrlscaasgf tfssygvswvrqapgkglewigyndpvfsg iyyaswvkrftissdnskntlylqmnslr aedtavyyca-kdrsyvssgyhfnlwgggt lvtvssggggsevqlvesggglvqpggslk lscaasgftfnkyamnwvrqapgkglewva rirskynnyatyadsvkdrftisrddskn taylqmnlk-tedtavyycvrhgnfgnsyi sywaywgqgtlvtvssggggsgggsgggg sqtvvtqepsltvspggtvtltcgsstgav tsgnypnwvqqkpgqaprgliggtkflapg </p>

			<p>tparfsgsllggkaaltlsgvqpedeaeey cvlwysnrwvfgggtkltvlgggdkthtc ppcpapellggpsvflfppkpkdtlmisrt pevtcvvvdvshedpevkfnwyvdgvevhn aktkpceeegystyrcvsvltvlhqdlng keykckvsnkalpapiektiskakgqprep qvvtlppsreemtknqvsltclvkgfybsd iavewesngqpennykttpvldsdsffl yskltvdksrwqqgnvfscsvmhealthnhy tqkslslspgggsggggsggggsggggsg gggsggggskthtcppcpapellggpsvf lfppkpkdtlmisrtpevtcvvvdvshedp evkfnwyvdgvevhnaktkpceeegystyr cvsvltvlhqdlngkeykckvsnkalpap iektiskakgqprepqvvtlppsreemtkn qvsltclvkgfybsdiavewesngqpenny kttpvldsdsfflyskltvdksrwqqgn vfscsvmhealthnhytqkslslspgk</p>
<p>307.</p>	<p>C19_1_CCxCD 3- scFc_delGK</p>	<p>Биспецифи ческая молекула HLE</p>	<p>diqmtqspsslsasvqdrvtitcqasetiy sslawyqqkpgkppklliygasnlesgvps rfsgsgsgtdftftisslqpediatyycqs gvysagltfgcgkveikgggsgggsgg ggsevqllesggglvqpggsrlscaasgf tfssygvswvrqapgkclewigyndpvfgs iyyaswvkrftissdnskntlylqmnslr aedtavyycakdryvsssgyhnfhwgqgt lvtvssgggsevqlvesggglvqpggslk lscaasgftfnkyamnvrqapgkglewva rirskynnyatyadsvkdrftisrddskn taylqmnnlktedtavyycvrhgnfgnsyi sywaywgqgtlvtvssgggsgggsgggg sqtvtqepsltvspggtvltcgsstgav tsgnypnwvqqkpgqaprgliggtkflapg tparfsgsllggkaaltlsgvqpedeaeey cvlwysnrwvfgggtkltvlgggdkthtc</p>

			<p>ppcpapellggpsvflfppkpkdtlmisrt pevtcvvvdvshedpevkfnwyvdgvevhn aktkpceeegystyrcvsvltvlhqdwlng keykckvsnkalpapiektiskakgqprep qvvtlppsreemtknqvsltclvkgfypsdi iavewesngqpennykttpvldsdsffl yskltvdksrwqqgnvfscsvmhealhnhy tqkslslspgggsgggsgggsgggsggsg ggsgggsgskthtcppcpapellggpsvf lfppkpkdtlmisrtpevtcvvvdvshedp evkfnwyvdgvevhnaktkpceeegysty cvsvltvlhqdwlngkeykckvsnkalpap iektiskakgqprepqvvtlppsreemtkn qvsltclvkgfypsdiavewesngqpenny kttpvldsdsfflyskltvdksrwqqgn vfscsvmhealhnhytqkslslspgk</p>
<p>308.</p>	<p>C19_2xCD3- scFc_delGK</p>	<p>Биспецифи ческая молекула HLE</p>	<p>diqmtqspsslsasvgrvtitcqasetiy sslawyqqkpgkapklliygasnlesgvps rfsgsgsgtdftftissmqpediatyycqs gvysagltfgggtkveikgggsgggsgg ggsevqllesggglvqpggsrlscaasgf tfssygvswvrqapgkglewigyndpvfgs iyyaswvkrftissdnskntlylqmnslr aedtavyycakdryvsssgyhfnlwqqgt lvtvssgggsevqlvesggglvqpggslk lscaasgftfnkyamnvrqapgkglewva rirskynnyatyadsvkdrftisrddskn taylqmnlktedtavyycvrhgnfgnsyi sywaywqqgtlvtvssgggsgggsgggg sqtvtqepsltvspggtvtltcgsstgav tsgnypnwvqqkpgqaprgliggtkflapg tparfsgsllggkaaltlsgvqpedaeayy cvlwysnrwvfgggtklvtlvgggdkthtc ppcpapellggpsvflfppkpkdtlmisrt pevtcvvvdvshedpevkfnwyvdgvevhn</p>

			<p>aktkpceeegystyrcvsvltvlhqdwlng keykckvsnkalpapiektiskakgqprep qvytlppsreemtknqvsltclvkgfypsd iavewesngqpennykttppvldsdsffl yskltvdksrwqqgnvfscsvmhealhnhy tqkslslspggsgggsgggsgggsgggsg ggsgggsgdkthtcppcpapellggpsvf lfppkpkdtlmisrtpevtcvvvdvshedp evkfnwyvdgvevhnaktkpceeegystyr cvsvltvlhqdwlngkeykckvsnkalpap iektiskakgqprepqvytlppsreemtkn qvsltclvkgfypsdiaavewesngqpenny kttppvldsdsfflyskltvdksrwqqgn vfscsvmhealhnhytqkslslspgk</p>
<p>309.</p>	<p>C19_2_CCxCD 3- scFc_delGK</p>	<p>Биспецифи ческая молекула HLE</p>	<p>diqmtqspsslsasvdrvtitcqasetiy sslawyqqkpgkapklliygasnlesgvps rfsgsgsgtdftftissmqpediatyycqs gvysagltfgcgtkveikggsgggsgggsgg ggsevqllesggglvqpggslrlscaasgf tfssygvswvrqapgkclewigyndpvfgs iyyaswvkgrftissdnskntlylqmnslr aedtavyycakdrsyvsssgyhfnlwgggt lvtvssggggsevqlvesggglvqpggslk lscaasgftfnkyamnwvrqapgkglewva rirskynnyatyadsvkdrftisrddskn taylqmnnlktedtavyycvrhgnfgnsyi sywaywgqgtlvtvssggsgggsgggsgggg sqtvtqepsltvspggtvtltcgsstgav tsgnypnwvqqkpgqaprgliggtkflapg tparfsgsllggkaaltlsgvqpedeaeyy cvlwysnrwvfgggtkltvlgggdkthtc ppcpapellggpsvflfppkpkdtlmisrt pevtcvvvdvshedpevkfnwyvdgvevhn aktkpceeegystyrcvsvltvlhqdwlng keykckvsnkalpapiektiskakgqprep</p>

		<p>qvylppsreemtknqvsltclvkgfypsd iavewesngqpennykttpvldsdsffl yskltvdksrwqqgnvfscsvmhealthnhy tqkslsislspggggsgggsgggsgggsgg gggsgggsgdkthtcppcpapellggpsvf lfppkpkdtlmsirtpevtcvvvdvshedp evkfnwyvdgvevhnaktkpcceeqgstyr cvsvltvlhqdwlngkeykckvsnkalpap iektiskakgqprepqvylppsreemtkn qvsltclvkgfypsdiaavewesngqpenny kttpvldsdsfflyskltvdksrwqqgn vfscsvmhealthnhytqkslsislspgk</p>
<p>310.</p>	<p>C19_3xCD3- scFc_delGK</p>	<p>Биспецифическая молекула HLE</p> <p>diqmtqspsslsasvgrvtitcqasetiy sslawyqqkpgkapklliygasnlesgvps rfsqsgsgtdfttisglqpediatyycqs gvysagltfgggtkveikggggsgggsgg ggsevqllesggglvqpggsrlscaasgf tfssygvswvrqapkgglewigyndpvfgs iyyaswvkrftissdskntlylqmnslr aedtavyycakdrsylvssgyhfnlwgqgt lvtvssggggsevqlvesggglvqpggslk lscaasgftfnkyamnvrqapkgglewva rirskynnyatyadsvkdrftisrddskn taylqmnnlktedtavyycvrhgnfgnsyi sywaywgqgtlvtvssggggsgggsgggg sqtvvtqepsltvspggtvtlctgsstgav tsgnypnwvqqkpgqaprgliggtkflapg tparfsgsllggkaaltlsgvqpedeaeyy cvlwysnrwvfgggtklvtlvgggdkthtc ppcpapellggpsvflfppkpkdtlmsirt pevtcvvvdvshedpevkfnwyvdgvevhn aktkpcceeqgstyrcvsvltvlhqdwlng keykckvsnkalpapektiskakgqprep qvylppsreemtknqvsltclvkgfypsd iavewesngqpennykttpvldsdsffl</p>

			<p>yskltvdksrwqqgnvfscsvmhealhny tqkslslspggggsgggsgggsgggsg ggsgggsgskthtccpppapellggpsvf lfppkpkdtlmsirtpevtcvvvdvshedp evkfnwyvdgvevhnaktkpceeegystyr cvsvltvlhqdwlngkeykckvsnkalpap iektiskakgqprepqvylppsreemtkn qvsltclvkgfypsdiavewesngqpenny kttpvldsdsfflyskltvdksrwqqgn vfscsvmhealhnyhtqkslslspgk</p>
311.	C19_3_CCxCD 3- scFc_delGK	Биспецифи ческая молекула HLE	<p>diqmtqspsslsasvgrvtitcqasetiy sslawyqqkpgkapklliygasnlesgvps rfsgsgsgtdftftisglqpediatyycqs gvysagltfvcgkveikggsgggsgggsgg ggsevqllesggglvqpggsrlscaasgf tfssygvswvrqapgkclewigyndpvfgs iyyaswvkrftissdnkntlylqmnslr aedtavyycakdryvssgyhfnlwqggt lvtvssggggsevqlvesggglvqpggslk lscaasgftfnkyamnvrqapgkglewva rirskynnyatyadsvkdrftisrddskn taylqmnnlktedavyycvrhgfnysyi sywaywgqgtlvtvssggggsgggsgggg sqtvtqepsltvspggtvltlctgsstgav tsgnypnwvqqkpgqaprgliggtkflapg tparfsgsllggkaaltlsgvqpedaeey cvlwysnrwvfgggtklvtlvggggdkthtc ppcpapellggpsvflfppkpkdtlmsirt pevtcvvvdvshedpevkfnwyvdgvevhn aktkpceeegystyrsvsvltvlhqdwlng keykckvsnkalpapiektiskakgqprep qvylppsreemtknqvsltclvkgfypsd iavewesngqpennykttpvldsdsffl yskltvdksrwqqgnvfscsvmhealhny tqkslslspggggsgggsgggsgggsgggsg</p>

			<p>ggsgggsgskthtcppcpapellggpsvf lfppkpkdtlmsirtpevtcvvvdvshedp evkfnwyvdgvevhnaktkpceeegystyr cvsvltvlhqdlngkeykckvsnkaldpap iektiskakgqprepqvylppsreemtkn qvsltclvkgfypsdiavewesngqpenny kttpvldsdsfflyskltvdksrwqqgn vfscsvmhealhnhytqkslslspgk</p>
312.	C19_4xCD3- scFc_delGK	Биспецифи- ческая молекула HLE	<p>diqmtqspsslsasvgrvtitcqasetiy sslawyqqkpgkapklliygasnlesgvps rfsgsgsgtdfttisslqpediatyycqs gvysagltfgggtkveikggsgggsgg ggsevqllesggglvqpggslrlscaasgf tfssygvswvrqapgkglewvgyndpvfgs iyyaswvkrftissdskntlylqmnslr aedtavyycakdrsyvssgyhfnlwqgt lvtvssgggsevqlvesggglvqpggslk lscaasgftfnkyamnwvrqapgkglewva rirskynnyatyadsvkdrftisrddskn taylqmnlktdtavyycvrhgnfgnsyi sywaywqgtlvtvssggsgggsgggsggg sqtvtqepsltvspggtvltcgsstgav tsgnypnwvqqkpgqaprgliggtkflapg tparfsgslggkaaltlsgvqpedeaeey cvlwysnrwvfgggtklvtlvgggdkthtc ppcpapellggpsvflfppkpkdtlmsirt pevtcvvvdvshedpevkfnwyvdgvevhn aktkpceeegystyrcvsvltvlhqdlng keykckvsnkaldpapiektiskakgqprep qvylppsreemtknqvsltclvkgfypsd iavewesngqpennykttpvldsdsffl yskltvdksrwqqgnvfscsvmhealhnhy tqkslslspggsgggsgggsgggsgggsg ggsgggsgskthtcppcpapellggpsvf lfppkpkdtlmsirtpevtcvvvdvshedp</p>

			evkfnwyvdgvevhnaktkpceezygstyr cvsvltvlhqdwlngkeykckvsnkalpap iektiskakgqpprepqvytlppsreemtkn qvsltclvkgfypsdiavewesngqpenny kttpvldsdsfflyskltvdksrwqqgn vfscsvmhealhnhytqkslslspgk
313.	C19_4_CCxCD 3- scFc_delGK	Биспецифи ческая молекула HLE	diqmtqspsslsasvgrvtitcqasetiy sslawyqqkpgkapklliygasnlesgvps rfsgsgsgtdfttisslqpediatyycqs gvysagltfgcgtkveikgggsgggsgg ggsevqllesggglvqpggsrlscaasgf tfssygvswvrqapgkclewvgyndpvfgs iyyaswvkrftissdnkntlylqmnsr aedtavyycakdrsyvsssgyhnflwgqgt lvtvssggggsevqlvesggglvqpggslk lscaasgftfnkyamnvrqapgkglewva rirskynnyatyadsvkdrftisrddskn taylqmnnlktedtavyycvrhgnfgnsyi sywaywqggtlvtvssggggsgggsgggg sqtvtvqepsltvspggtvtltcgsstgav tsgnypnwvqqkpgqaprgliggtkflapg tparfgsllggkaaltlsgvqpedaeey cvlwysnrwvfgggtklvtlvgggdkthtc ppcpapellggpsvflfppkpkdtlmsrt pevtcvvvdvshedpevkfnwyvdgvevhn aktkpceezygstyrcvsvltvlhqdwlng keykckvsnkalpapiektiskakgqpprep qvytlppsreemtknqvsltclvkgfypsd iavewesngqpennykttpvldsdsffl yskltvdksrwqqgnvfscsvmhealhnhy tqkslslspggggsgggsgggsgggsgg ggsgggsgdkthtcppcpapellggpsvf lfppkpkdtlmsrtpevtcvvvdvshedp evkfnwyvdgvevhnaktkpceezygstyr cvsvltvlhqdwlngkeykckvsnkalpap

			iektiskakgqpprepqvyltppsreemtkn qvsltclvkgfypsdiavewesngqpenny kttppvldsdsfflyskltvdkrswqqgn vfscsvmhealhnhytqkslsispkg
314.	FL_1xCD3- scFc	VH CDR1	narmgvs
315.	FL_1xCD3- scFc	VH CDR2	nifsndeksyystsllks
316.	FL_1xCD3- scFc	VH CDR3	ivgygsgwygyfdy
317.	FL_1xCD3- scFc	VL CDR1	rasqgirndlg
318.	FL_1xCD3- scFc	VL CDR2	aasslqs
319.	FL_1xCD3- scFc	VL CDR3	lqhnsyplt
320.	FL_1xCD3- scFc	VH	qvtlkesgpalvkptetltltctvsgfsls narmgvswirpppgkalewlanifsndeks yystsllksrlltiskgtsksqvltmtndpe dtatyycarivgygsgwygyfdywgqgtlv tvss
321.	FL_1xCD3- scFc	VL	diqmtqspsslsasvgrvtitcrasqgir ndlgwyqqkpgkapqrliyaasslqsgvps rfsrgsggteftltisslqpedfatyyclq hnsypltfgggtkveiks
322.	FL_1xCD3- scFc	scFv	qvtlkesgpalvkptetltltctvsgfsls narmgvswirpppgkalewlanifsndeks yystsllksrlltiskgtsksqvltmtndpe dtatyycarivgygsgwygyfdywgqgtlv tvssggggsgggsgggsgdiqmtqspssl sasvgrvtitcrasqgirndlgwyqqkpg kapqrliyaasslqsgvpsrfsrgsggtef tltisslqpedfatyyclqhnsypltfggg tkveik
323.	FL_1xCD3-	Биспецифи	qvtlkesgpalvkptetltltctvsgfsls

	scFc	чешская молекула	narmgvswirpppgkalewlanifsndeks ytslksrsltiskgtsksqvvlmtnmde dtatyycarivgygsgwygyfdywgggtlv tvssggggsgggsggggsdiqmtqspssl sasvgdrvtitcrasqgirndlgwyqqkpg kapqrliyaasslqsgvpsrfsrgsgstef tltisslqpedfatyyclqhnsypltfggg tkveiksggggsevqlvesggglvqpggsl klscaasgftfnkyamnvrqapgglewv arirskynnyatyadsvkdrftisrddsk ntaylqmnnkktedavyycvrhgnfgnsy isywaywgqgtlvtvssggggsgggsggg gsqtvvtqepsltvspggtvltcgsstga vtsgnypnwvqqkpgqaprgliggtkflap gtparfsgsllggkaaltlsgvqpedeaey ycvlwysnrwvfgggtkltvl
324.	FL_1xCD3- scFc	Биспецифи чешская молекула HLE	qvtlkesgpalvkptetlctvtvsgfsls narmgvswirpppgkalewlanifsndeks ytslksrsltiskgtsksqvvlmtnmde dtatyycarivgygsgwygyfdywgggtlv tvssggggsgggsggggsdiqmtqspssl sasvgdrvtitcrasqgirndlgwyqqkpg kapqrliyaasslqsgvpsrfsrgsgstef tltisslqpedfatyyclqhnsypltfggg tkveiksggggsevqlvesggglvqpggsl klscaasgftfnkyamnvrqapgglewv arirskynnyatyadsvkdrftisrddsk ntaylqmnnkktedavyycvrhgnfgnsy isywaywgqgtlvtvssggggsgggsggg gsqtvvtqepsltvspggtvltcgsstga vtsgnypnwvqqkpgqaprgliggtkflap gtparfsgsllggkaaltlsgvqpedeaey ycvlwysnrwvfgggtkltvlgggdktht cppcpapellggpsvflfppkpkdtlmisr tpevtcvvvdvshedpevkfnwyvdgvevh

			naktkpceeqqgstyrcvsvltvlhqdwl gkeykckvsnkalpapiektiskakgqpre pqvytlppsreemtknqvsltclvkgyfyps diavewesngqpennykttpvldsdsff lyskltvdksrwqggnvfscsvmhealnh ytqkslslspgkggggsgggsgggsggg gsgggsgggsgskthtppcpapellgpp svflfppkpkdtlmsrtpevtcvvvdvsh edpevkfnwyvdgvevhnaktkpceeqygs tyrcvsvltvlhqdwlngkeykckvsnkal papiektiskakgqprepqvytlppsreem tknqvsltclvkgyfypsdiavewesngqpe nnykttpvldsdsfflyskltvdksrwq ggnvfscsvmhealnhytqkslslspgk
325.	FL_1_CCxCD3 -scFc	VH	qvtlkesgpalvkptetltltctvsgfsls narmgvswirppgkclewlanifsndeks ytslksrsltiskgtsksqvltmtndpe dtatyycarivgygsgwygyfdywgqgtlv tvss
326.	FL_1_CCxCD3 -scFc	VL	diqmtqspsslsasvgrvtitcrasqgir ndlgwyqqkpgkapqrliyaasslqsgvps rfsgsgsgteftltisslqpedfatyyclq hnsypltfqcgtkveik
327.	FL_1_CCxCD3 -scFc	scFv	qvtlkesgpalvkptetltltctvsgfsls narmgvswirppgkclewlanifsndeks ytslksrsltiskgtsksqvltmtndpe dtatyycarivgygsgwygyfdywgqgtlv tvssggggsgggsgggsgggsgdiqmtqspssl sasvgrvtitcrasqgirndlgwyqqkpg kapqrliyaasslqsgvpsrfsgsgsgtef tltisslqpedfatyyclqhnsypltfqcg tkveiks
328.	FL_1_CCxCD3 -scFc	Биспецифи ческая молекула	qvtlkesgpalvkptetltltctvsgfsls narmgvswirppgkclewlanifsndeks ytslksrsltiskgtsksqvltmtndpe

			<p>dtatyycarivgygsgwygyfdywgggtlv tvssggggsgggsggggsdiqmtqspssl sasvgdrvtitcrasqgirndlgwyqqkpg kapqrliyaasslqsgvpsrfsrgsgsgtef tltisslqpedfatyyclqhnsypltfgcg tkveiksggggsevqlvesggglvqpggsl klscaasgftfnkyamnwrqapgkglewv arirskynnyatyadsvkdrftisrddsk ntaylqmnlnktdtavyycvrhgnfgnsy isywaywgggtlvsvssggggsgggsggg gsqvtvtqepsltvspggtvtltcgsstga vtsgnypnwvqqkpgqaprgliggtkflap gtparfsgsllggkaaltlsgvqpedeae ycvlwysnrwvfgggtkltvl</p>
329.	FL_1_CCxCD3 -scFc	Биспецифическая молекула HLE	<p>qvtlkesgpalvkptetltltctvsgfsls narmgvswirppgkclewlanifsndeks ystslksrlltiskgtsksqvltmtndpe dtatyycarivgygsgwygyfdywgggtlv tvssggggsgggsggggsdiqmtqspssl sasvgdrvtitcrasqgirndlgwyqqkpg kapqrliyaasslqsgvpsrfsrgsgsgtef tltisslqpedfatyyclqhnsypltfgcg tkveiksggggsevqlvesggglvqpggsl klscaasgftfnkyamnwrqapgkglewv arirskynnyatyadsvkdrftisrddsk ntaylqmnlnktdtavyycvrhgnfgnsy isywaywgggtlvsvssggggsgggsggg gsqvtvtqepsltvspggtvtltcgsstga vtsgnypnwvqqkpgqaprgliggtkflap gtparfsgsllggkaaltlsgvqpedeae ycvlwysnrwvfgggtkltvlgggdktht cppcpapellggpsvflfppkpkdtlmisr tpevtcvvvdvshedpevkfnwyvdgvevh naktkpceeegystyrcvsvltvlhqdwl gkeykckvsnkalpapiektiskakgqpre</p>

			pqvylppsreemtknqvsltclvkgfyps diavewesngqpennykttppvldsdsff lyskltvdksrwqggnvfscsvmhealthnh ytqkslslspgkggggsgggsgggsggg gsgggsgggsgdkthtccppapellggp svflfppkpdtlmisrtpevtcvvvdvsh edpevkfnwyvdgvevhnaktkpeeaygs tyrcvsvltvlhqdwlngkeykckvsnk papiektiskakgpprepqvylppsreem tknqvsltclvkgfypsdiavewesngpe nnykttppvldsdsfflyskltvdksrwq qgnvfscsvmhealthnhytqkslslspgk
330.	FL_2xCD3- scFc	VH CDR1	narmgvs
331.	FL_2xCD3- scFc	VH CDR2	hifsndeksystslkn
332.	FL_2xCD3- scFc	VH CDR3	ivgygsgwygffdy
333.	FL_2xCD3- scFc	VL CDR1	rasqgirndlg
334.	FL_2xCD3- scFc	VL CDR2	aastlqs
335.	FL_2xCD3- scFc	VL CDR3	lqhnsyplt
336.	FL_2xCD3- scFc	VH	qvtlkesgptlvkptetltltctlsqfsln narmgvswirppgkalewlahifsndeks ystslknrltiskdssktqvvtmtndpv dtatyycarivgygsgwygffdywgqgtlv tvss
337.	FL_2xCD3- scFc	VL	diqmtqspsslsasvdrvtitcrasqgir ndlgwyqqkpgkapkriyaastlqsgvps rfsgsgsteftltisslqpedfatyyclq hnsypltfgggtkveik
338.	FL_2xCD3- scFc	scFv	qvtlkesgptlvkptetltltctlsqfsln narmgvswirppgkalewlahifsndeks

			<p> ystslknrltiskdssktqvvlmtnvdpv dtatyycarivgygsgwygffdywgqgtlv tvssggggsgggsggggsdiqmtqspssl sasvgdrvtitcrasqgirndlgwyqqkpg kapkrliyaastlqsgvpsrfsqsgsgtef tltisslqpedfatyyclqhnsypltfggg tkveiks </p>
339.	FL_2xCD3- scFc	Биспецифи- ческая молекула	<p> qvtlkesgptlvkptetltltctlsqfsln narmgvswirqppgkalewlahifsndeks ystslknrltiskdssktqvvlmtnvdpv dtatyycarivgygsgwygffdywgqgtlv tvssggggsgggsggggsdiqmtqspssl sasvgdrvtitcrasqgirndlgwyqqkpg kapkrliyaastlqsgvpsrfsqsgsgtef tltisslqpedfatyyclqhnsypltfggg tkveiksggggsevqlvesggglvqpggsl klscaasgftfnkyamnvrqapgkglewv arirskynnyatyadsvkdrftisrddsk ntaylqmnlnktdtavyycvrhgnfgnsy isywaywgqgtlvtvssggggsgggsgggg gsqtvvtqepsltvspggtvltcgsstga vtsgnypnwvqqkpgqaprgliggtkflap gtparfsgsllggkaaltlsgvqpedeaey ycvlwysnrwvfgggtkltvl </p>
340.	FL_2xCD3- scFc	Биспецифи- ческая молекула HLE	<p> qvtlkesgptlvkptetltltctlsqfsln narmgvswirqppgkalewlahifsndeks ystslknrltiskdssktqvvlmtnvdpv dtatyycarivgygsgwygffdywgqgtlv tvssggggsgggsggggsdiqmtqspssl sasvgdrvtitcrasqgirndlgwyqqkpg kapkrliyaastlqsgvpsrfsqsgsgtef tltisslqpedfatyyclqhnsypltfggg tkveiksggggsevqlvesggglvqpggsl klscaasgftfnkyamnvrqapgkglewv arirskynnyatyadsvkdrftisrddsk </p>

			<p>ntaylqmnlnktdtavyycvrhgnfgnsy isywaywqggtlvsvssggggsgggsggg gsqtvvtqepsltvspggtvltcgsstga vtsgnypnwvqqkpgqaprgliggtkflap gtparfsgsllggkaaltlsgvqpedeae ycvlwysnrwvfgggtkltvlgggdktht cppcpapellggpsvflfppkpkdtlmisr tpevtcvvvdvshdepvkfnwyvdgvevh naktkpceezygstyrcvsvltvlhqdwn gkeykckvsnkalspapiektiskakgpre pqvylppsreemtknqvsltclvkgfyps diavewesngqpennyktppvldsdsff lyskltvdksrwqgnvfscsvmhealnhh ytqkslslspgkggggsgggsgggsggg gsggggsgggsgdkthtcppcpapellggp svflfppkpkdtlmisrtpvtcvvvdvsh edpevkfnwyvdgvevhnaktkpceezygs tyrcvsvltvlhqdwnlgkeykckvsnkals spapiektiskakgprepqvylppsreem tknqvsltclvkgfypsdiavewesngqpe nnyktppvldsdsfflyskltvdksrwq qgnvfscsvmhealnhhytqkslslspgk</p>
341.	FL_2_CCxCD3 -scFc	VH	<p>qvtlkesgptlvkptetltltctlsqfsln narmgvswirppgkclewlahifsndeks ystslknrltiskdssktqvvlmtndpv dtatyycarivgygsgwygffdywqggtlv tvss</p>
342.	FL_2_CCxCD3 -scFc	VL	<p>diqmtqspsslsasvdrvtitcrasqgir ndlgwyqqkpgkapkriyaastlqsgvps rfsgsgsgteftltisslqpedfatyyclq hnsypltfgcgkveik</p>
343.	FL_2_CCxCD3 -scFc	scFv	<p>qvtlkesgptlvkptetltltctlsqfsln narmgvswirppgkclewlahifsndeks ystslknrltiskdssktqvvlmtndpv dtatyycarivgygsgwygffdywqggtlv</p>

			<p>tvssggggsgggsgggsggggsdiqmtqspssl sasvgdrvtitcrasqgirndlgwyqqkpg kapkrliyaastlqsgvpsrfsrgsggtef tltisslqpedfatyyclqhnsypltfgcg tkveiks</p>
344.	FL_2_CCxCD3 -scFc	Биспецифическая молекула	<p>qvtlkesgptlvkptetltltctlsqfsln narmgvswirqppgkclewlahifsndeks ystslknrltiskdssktqvvlmtntndpv datyycarivgygsgwygffdywgqgtlv tvssggggsgggsgggsggggsdiqmtqspssl sasvgdrvtitcrasqgirndlgwyqqkpg kapkrliyaastlqsgvpsrfsrgsggtef tltisslqpedfatyyclqhnsypltfgcg tkveiksggggsevqlvesggglvqpggs1 klscaasgftfnkyamnvrqapggglewv arirskynnyatyadsvkdrftisrddsk ntaylqmnnlktedavyycvrhgnfgnsy isywaywgqgtlvtvssggggsgggsggg gsqvtvtqeps1tvspggtvltcgsstga vtsgnypnwvqqkpgqaprgliggtkflap gtparfsgsllggkaaltlsgvqpedeae ycvlwysnrwvfgggtkltvl</p>
345.	FL_2_CCxCD3 -scFc	Биспецифическая молекула HLE	<p>qvtlkesgptlvkptetltltctlsqfsln narmgvswirqppgkclewlahifsndeks ystslknrltiskdssktqvvlmtntndpv datyycarivgygsgwygffdywgqgtlv tvssggggsgggsgggsggggsdiqmtqspssl sasvgdrvtitcrasqgirndlgwyqqkpg kapkrliyaastlqsgvpsrfsrgsggtef tltisslqpedfatyyclqhnsypltfgcg tkveiksggggsevqlvesggglvqpggs1 klscaasgftfnkyamnvrqapggglewv arirskynnyatyadsvkdrftisrddsk ntaylqmnnlktedavyycvrhgnfgnsy isywaywgqgtlvtvssggggsgggsggg</p>

			gsqtvvtqepsltvspggtvtltcgsstga vtsgnypnwvqqkpgqaprgliggtkflap gtparfsgsllggkaaltlsgvqpedeae ycvwlwysnrwvfgggtkltvlggggdkht cppcpapellggpsvflfppkpkdtlmisr tpevtcvvvdvshedpevkfnwyvdgvevh naktkpceeeygstyrcvsvltvlhqdwln gkeykckvsnkalpapiektiskakgqpre pqvytlppsreemtknqvsltclvkgfyps diavewesngqpennykttppvldsdsff lyskltvdksrwqqgnvfscsvmhealnhh ytqkslsispgkggggsgggsgggsggg gsgggsgggsgdkhtcpcpapellggp svflfppkpkdtlmisrtpvtcvvvdvsh edpevkfnwyvdgvevhnaktkpceeeygs tyrcvsvltvlhqdwlngkeykckvsnk apiektiskakgqprepqvytlppsreem tknqvsltclvkgfypsdiavewesngqpe nnykttppvldsdsfflyskltvdksrwq qgnvfscsvmhealnhhtqkslsispgk
346.	FL_3xCD3- scFc	VH CDR1	narmavs
347.	FL_3xCD3- scFc	VH CDR2	hifsndeksyyslks
348.	FL_3xCD3- scFc	VH CDR3	ivgygsgwygyfdy
349.	FL_3xCD3- scFc	VL CDR1	rasqdirndlg
350.	FL_3xCD3- scFc	VL CDR2	aastlqs
351.	FL_3xCD3- scFc	VL CDR3	lqhnsyplt
352.	FL_3xCD3- scFc	VH	qvtlkesgpalvkptetltltctlsqfsln narmavswirppgktlewlahifsndeks yyslksrlyskdtskgqvltmtndpv

			dtatyycarivgygsgwygyfdywgqgtlv tvss
353.	FL_3xCD3- scFc	VL	diqmtqspsslsasvgdrvtitcrasqdir ndlgwyqqkpgkapkriyaastlqsgvps rfsgsgsgteftlttisslqpedfatyyclq hnsypltfgggtkveik
354.	FL_3xCD3- scFc	scFv	qvtlkesgpalvkptetltltctlsqfsln narmavswirqppgktlewlahifsndeks ystslksrsltiskdtskgqvltmtndpv dtatyycarivgygsgwygyfdywgqgtlv tvssggggsgggsgggsgggsgdiqmtqspssl sasvgdrvtitcrasqdirndlgwyqqkpg kapkriyaastlqsgvpsrfsgsgsgtef tltisslqpedfatyyclqhnsypltfggg tkveiks
355.	FL_3xCD3- scFc	Биспецифи ческая молекула	qvtlkesgpalvkptetltltctlsqfsln narmavswirqppgktlewlahifsndeks ystslksrsltiskdtskgqvltmtndpv dtatyycarivgygsgwygyfdywgqgtlv tvssggggsgggsgggsgggsgdiqmtqspssl sasvgdrvtitcrasqdirndlgwyqqkpg kapkriyaastlqsgvpsrfsgsgsgtef tltisslqpedfatyyclqhnsypltfggg tkveiksggggsevqlvesggglvqpggsl klscaasgftfnkyamnvrqapgglewv arirskynnyatyadsvkdrftisrddsk ntaylqmnlnkctedavyycvrhgnfgnsy isywaywgqgtlvtvssggggsgggsggg gsqtvvtqepsltvspggtvltcgsstga vtsgnypnwvqqkpgqaprgliggtkflap gtparfsgsllggkaaltlsgvqpedeae ycvlwysnrwvfgggtkltvl
356.	FL_3xCD3- scFc	Биспецифи ческая молекула	qvtlkesgpalvkptetltltctlsqfsln narmavswirqppgktlewlahifsndeks ystslksrsltiskdtskgqvltmtndpv

		HLE	<p>dtatyycarivgygsgwygyfdywgqgtlv tvssggggsgggsggggsdiqmtqspssl sasvgdrvtitcrasqdirndlgwyqqkpg kapkrliyaastlqsgvpsrfsrgsgstef tltisslqpedfatyyclqhnsypltfggg tkveiksggggsevqlvesggglvqpggsl klscaasgftfnkyamnwrqapgkglewv arirskynnyatyadsvkdrftisrddsk ntaylqmnnlktedtavyycvrhngfnsgy isywaywgqgtlvsvssggggsgggsggg gsqvtvtqepsltvspggtvltlctgsstga vtsgnypnwvqqkpgqaprgliggtkflap gtparfsgsllggkaaltlsgvqpedeaey ycvlwysnrwvfgggtkltvlgggdktht cppcpapellggpsvflfppkpkdtlmisr tpevtcvvvdvshedpevkfnwyvdgvevh naktkpceeogygstyrcsvlvtvlhqdwln gkeykckvsnkalpapiektiskakgpre pqvytlppsreemtknqvsltclvkgfyps diavewesngqpennykttppvldsdsff lyskltvdksrwqqgnvfscsvmhealhnh ytqkslslspgkgggsgggsgggsggg gsgggsgggsgdkthtcppcpapellggp svflfppkpkdtlmisrtpevtcvvvdvsh edpevkfnwyvdgvevhnaktkpceeogygs tyrcsvlvtvlhqdwlngkeykckvsnk apiektiskakgprepqvytlppsreem tknqvsltclvkgfypsdiavewesngqpe nnykttppvldsdsfflyskltvdksrwq qgnvfscsvmhealhnhytqkslslspgk</p>
357.	FL_3_CCxCD3 -scFc	VH	<p>qvtlkesgpalvkptetltlctlsqfsln narmavswirppgkclewlahifsndeks ystslksrltiskdtskgqvvlmtmndpv dtatyycarivgygsgwygyfdywgqgtlv tvss</p>

358.	FL_3_CCxCD3 -scFc	VL	diqmtqspsslsasvqdrvtitcrasqdir ndlgwyqqkpgkapkriyaastlqsgvps rfsgsgsgteftltisslqpedfatyyclq hnsypltfqcgtkveik
359.	FL_3_CCxCD3 -scFc	scFv	qvtlkesgpalvkptetltltctlsqfsln narmavswirqppgkclewlahifsndeks ystslksrsltiskdtskgqvltmtndpv dtatyycarivgygsgwygyfdywgqgtlv tvssggggsgggsgggsgdiqmtqspssl sasvqdrvtitcrasqdirndlgwyqqkpg kapkriyaastlqsgvpsrfsgsgsgtef tltisslqpedfatyyclqhnsypltfqcg tkveiks
360.	FL_3_CCxCD3 -scFc	Биспецифи ческая молекула	qvtlkesgpalvkptetltltctlsqfsln narmavswirqppgkclewlahifsndeks ystslksrsltiskdtskgqvltmtndpv dtatyycarivgygsgwygyfdywgqgtlv tvssggggsgggsgggsgdiqmtqspssl sasvqdrvtitcrasqdirndlgwyqqkpg kapkriyaastlqsgvpsrfsgsgsgtef tltisslqpedfatyyclqhnsypltfqcg tkveiksggggsevqlvesggglvqpggsl klscaasgftfnkyamnwrqapggglewv arirskynnyatyadsvkdrftisrddsk ntaylqmnnlktedtavyycvrhgnfgnsy isywaywgqgtlvtvssggggsgggsggg gsqtvvtqepsltvspggtvtltcgsstga vtsgnypnwvqqkpgqaprgliggtkflap gtparfsgsllggkaaltlsgvqpedeae ycvwlwysnrwvfgggtkltvlg
361.	FL_3_CCxCD3 -scFc	Биспецифи ческая молекула HLE	qvtlkesgpalvkptetltltctlsqfsln narmavswirqppgkclewlahifsndeks ystslksrsltiskdtskgqvltmtndpv dtatyycarivgygsgwygyfdywgqgtlv tvssggggsgggsgggsgdiqmtqspssl

			<p> sasvgdrvtitcrasqdirndlgwyqqkpg kapkrliyaastlqsgvpsrfsqsgsgtef tltisslqpedfatyyclqhnssypltfqcg tkveiksggggseqlvesggglvqpggsl klscaasgftfnkyamnvrqapggkglewv arirskynnyatyadsvkdrftisrddsk ntaylqmnlnktdtavyycvrhgnfgnsy isywaywgggtlvtvssggggsgggsggg gsqtvvtqepsltvspggtvtltcgsstga vtsgnypnwvqqkpgqaprgliggtkflap gtparfsgsllggkaaltlsgvqpedeae ycvlwysnrwvfgggtkltvlgggdktht cppcpapellggpsvflfppkpkdtlmisr tpevtcvvvdvshdpevkfnwyvdgvevh naktkpceeaygstyrcvsvltvlhqdwln gkeykckvsnkalspapiektiskakgqpre pqvytlppsreemtknqvsltclvkgyfyps diavewesngqpennyktppvldsdsff lyskltvdksrwqggnvfscsvmhealhh ytqkslslspgkggggsgggsgggsggg gsgggsgggsgdkthtcppcpapellggp svflfppkpkdtlmisrtpevtcvvvdvsh edpevkfnwyvdgvevhnaktkpceeaygs tyrcvsvltvlhqdwlngkeykckvsnkals papiektiskakgqprepvytlppsreem tknqvsltclvkgyfypsdiavewesngqpe nnyktppvldsdsfflyskltvdksrwq qgnvfscsvmhealhhnytqkslslspgk </p>
362.	FL_4xCD3-scFc	VH CDR1	nakmgvs
363.	FL_4xCD3-scFc	VH CDR2	hifsndeksystslks
364.	FL_4xCD3-scFc	VH CDR3	ivgygsgwygyfdy
365.	FL_4xCD3-	VL CDR1	rasqdirddlg

	scFc		
366.	FL_4xCD3- scFc	VL CDR2	gastlqs
367.	FL_4xCD3- scFc	VL CDR3	lqhnsyplt
368.	FL_4xCD3- scFc	VH	qvtlkesgpalvkptetltltctlsqfsln nakmgvswirqppgkalewlahifsndeks ybstslksrlltiskdtskgqvltmtndpv dtatyycarivgygsgwygyfdywgqgtlv tvss
369.	FL_4xCD3- scFc	VL	diqmtqspsslsasvgdrvtitcrasqdir ddlgwyqqkpgnapkrliygastlqsgvps rfsgsgsgteftlttisslqpedfatyyclq hnsypltfgggtkvdik
370.	FL_4xCD3- scFc	scFv	qvtlkesgpalvkptetltltctlsqfsln nakmgvswirqppgkalewlahifsndeks ybstslksrlltiskdtskgqvltmtndpv dtatyycarivgygsgwygyfdywgqgtlv tvssggggsgggsgggsgdiqmtqspssl sasvgdrvtitcrasqdirddlgwyqqkpg napkrliygastlqsgvpsrfsgsgsgtef tltisslqpedfatyyclqhnsypltfggg tkvdiks
371.	FL_4xCD3- scFc	Биспецифи ческая молекула	qvtlkesgpalvkptetltltctlsqfsln nakmgvswirqppgkalewlahifsndeks ybstslksrlltiskdtskgqvltmtndpv dtatyycarivgygsgwygyfdywgqgtlv tvssggggsgggsgggsgdiqmtqspssl sasvgdrvtitcrasqdirddlgwyqqkpg napkrliygastlqsgvpsrfsgsgsgtef tltisslqpedfatyyclqhnsypltfggg tkvdiksggggseqlvesggglvqpggsl klscaasgftfnkyamnwvrqapgglewv arirskynnyatyadsvkdrftisrddsk ntaylqmnnlktedavyycvrhgnfgnsy

			<p>isywaywgggtlvtvssgggsgggsggg gsqtvvtqepsiltvspggtvltcgsstga vtsgnypnwvqqkpgqaprgliggtkflap gtparfsgsllggkaaltlsgvqpedeaey ycvlwysnrwvfgggtkltvl</p>
372.	FL_4xCD3- scFc	Биспецифи ческая молекула HLE	<p>qvtlkesgpalkvptetltltctlsqfsln nakmgvswirqpqpkalewlahifsndeks ytslksriltiskdtskgqvltmtndpv datyycarivgygsgwygyfdywgggtlv tvssgggsgggsgggsgggdiqmtqspssl sasvgdrvtitcrasqdirddlgwyqqkpg napkrliygastlqsgvpsrfsqsgsgtef tltisslqpedfatyyclqhnsypltfggg tkvdiksggggsevqlvesggglvqpggsl klscaasgftfnkyamnwrqapkglewv arirskynnyatyadsvkdrftisrddsk ntaylqmnnkktedavyycvrhgnfgnsy isywaywgggtlvtvssgggsgggsggg gsqtvvtqepsiltvspggtvltcgsstga vtsgnypnwvqqkpgqaprgliggtkflap gtparfsgsllggkaaltlsgvqpedeaey ycvlwysnrwvfgggtkltvlgggdktht cppcpapellggpsvflfppkpkdtlmisr tpevtcvvvdvshedpevkfnwyvdgvevh naktkpceeegygstyrcvsvltvlhqdwln gkeykckvsnkalpapiektiskakgpre pqvytlppsreemtknqvslclvkgyfyps diavewesngqpennykttppvldsdsff lyskltdksrwqqgnvfscsvmhealnhh ytqkslslspgkkgggsgggsgggsggg gsgggsgggsgdkthtcppcpapellggp svflfppkpkdtlmisrtpevtcvvvdvsh edpevkfnwyvdgvevhnaktkpceeqygs tyrcvsvltvlhqdwlngkeykckvsnk apiektiskakgprepqvytlppsreem</p>

			tknqvsltcclvkgyfypsdiavewesngqpe nnykttppvldsdsfflyskltvdksrwq qgnvfscsvmhealthhnytqkslslspgk
373.	FL_4_CCxCD3 -scFc	VH	qvtlkesgpalvkptetltltctlsqfsln nakmgvswirppgkclewlahifsndeks ytslksrltiskdtskgqvltmtndpv dtatyycarivgygsgwygyfdywgqgtlv tvss
374.	FL_4_CCxCD3 -scFc	VL	diqmtqspsslsasvdrvtitcrasqdir ddlgwyqqkpgnapkrliygastlqsgvps rfsgsgsgteftltisslqpedfatyyclq hnsypltfqcgtkvdik
375.	FL_4_CCxCD3 -scFc	scFv	qvtlkesgpalvkptetltltctlsqfsln nakmgvswirppgkclewlahifsndeks ytslksrltiskdtskgqvltmtndpv dtatyycarivgygsgwygyfdywgqgtlv tvssggggsgggsgggsgdiqmtqspssl sasvdrvtitcrasqdirddlgwyqqkpg napkrliygastlqsgvpsrfsgsgsgtef tltisslqpedfatyyclqhnsypltfqcg tkvdiks
376.	FL_4_CCxCD3 -scFc	Биспецифи ческая молекула	qvtlkesgpalvkptetltltctlsqfsln nakmgvswirppgkclewlahifsndeks ytslksrltiskdtskgqvltmtndpv dtatyycarivgygsgwygyfdywgqgtlv tvssggggsgggsgggsgdiqmtqspssl sasvdrvtitcrasqdirddlgwyqqkpg napkrliygastlqsgvpsrfsgsgsgtef tltisslqpedfatyyclqhnsypltfqcg tkvdiksggggsevqlvesggglvqpggsl klscaasgftfnkyamnvrqapgglewv arirskynnyatyadsvkdrftisrddsk ntaylqmnnlktedavyyvvrhgnfgnsy isywaywgqgtlvsvssggggsgggsggg gsqtvvtqepsltvspggtvltlcsstga

			vtsgnypnwvqqkpgqaprgliggtkflap gtparfsgsllggkaaltlsgvqpedeaey ycvlfwysnrwvfgggtkltvl
377.	FL_4_CCxCD3 -scFc	Биспецифическая молекула HLE	qvtlkesgpalvkptetltltctlsqfsln nakmgvswirppgkclewlahifsndeks ytslksrsltiskdtskgqvltmtnmdpv dtatyycarivgygsgwygyfdywgggtlv tvssggggsgggsggggsdiqmtqspssl sasvgdrvtitcrasqdirddlgwyqqkpg napkrliygastlqsgvpsrfsqsgsgtef tltisslqpedfatyyclqhnsypltfqcg tkvdiksggggsevqlvesggglvqpggsl klscaasgftfnkyamnwrqapgkglewv arirskynnyatyadsvkdrftisrddsk ntaylqmnnlktedtavyycvrhgnfgnsy isywaywgggtlvtvssggggsgggsggg gsqtvtqepsltvspggtvtltcgsstga vtsgnypnwvqqkpgqaprgliggtkflap gtparfsgsllggkaaltlsgvqpedeaey ycvlfwysnrwvfgggtkltvlgggdktht cpcpapellggpsvflfppkpkdtlmisr tpevtcvvvdvshedpevkfnwyvdgvevh naktkpceeegygstyrcvsvltvlhqdwln gkeykckvsnkalspapiektiskakgpre pqvytlppsreemtknqvsltclvkgfyps diavewesngqpennykttppvldsdsff lyskltdksrwqqgnvfscsvmhealnhh ytqkslsispgkggggsgggsgggsggg gsgggsggggskthtcpcpapellggp svflfppkpkdtlmisrtpevtcvvvdvsh edpevkfnwyvdgvevhnaktkpceeqygs tyrcvsvltvlhqdwlngkeykckvsnkals papiektiskakgprepqvytlppsreem tknqvsltclvkgfypsdiavewesngqpe nnykttppvldsdsfflyskltdksrwq

			diavewesngqpennykttppvldsdgsff lyskltvdksrwqqgnvfscsvmhealnh ytqkslsislpgkggggsgggsgggsggg gsgggsgggsgdkthtcpppapellggp svflfppkpktlmsrtpevtcvvvdvsh edpevkfnwyvdgvevhnaktkpceeqygs tyrcvsvltvlhqdwlngkeykckvsnkal papiektiskakgqpprepqvytlppsreem tknqvsltclvkgyfypsdiavewesngqpe nnykttppvldsdgsfflyskltvdksrwq qgnvfscsvmhealnhytqkslsislpgk
389.	FL_5_CCxCD3 -scFc	VH	qvtlkesgpvlvkptetltltctvsgfslr narmavswirppgkclewlahifsndeks ystslksrletiskdtsksqvltmtndpv dtatyycarivgygsgwygyfdywgqgtlv tvss
390.	FL_5_CCxCD3 -scFc	VL	diqmtqspssvsasvgdrvtitcrasqdir ydlawyqqkpgkapkrliyaasslqsgvps rfsgsgsgteftlttisslqpedfatyyclq hnfypltfgcgkveik
391.	FL_5_CCxCD3 -scFc	scFv	qvtlkesgpvlvkptetltltctvsgfslr narmavswirppgkclewlahifsndeks ystslksrletiskdtsksqvltmtndpv dtatyycarivgygsgwygyfdywgqgtlv tvssggggsgggsgggsgdiqmtqspssv sasvgdrvtitcrasqdirydlawyqqkpg kapkrliyaasslqsgvpsrfsgsgsgtef tltisslqpedfatyyclqhnfypltfgcg tkveiks
392.	FL_5_CCxCD3 -scFc	Биспецифи ческая молекула	qvtlkesgpvlvkptetltltctvsgfslr narmavswirppgkclewlahifsndeks ystslksrletiskdtsksqvltmtndpv dtatyycarivgygsgwygyfdywgqgtlv tvssggggsgggsgggsgdiqmtqspssv sasvgdrvtitcrasqdirydlawyqqkpg

			<p>kapkrliyaasslqsgvpsrfsfgsgsgtef tltisslqpedfatyyclqhnfypltfgcg tkveiksggggsevqlvesggglvqpggsl klscaasgftfnkyamnvrqapggglewv arirskynnyatyadsvkdrftisrddsk ntaylqmnlnktdtavyycvrhgnfgnsy isywaywgqgtlvtvssggggsgggsggg gsqtvtqepsltvspggtvltcgsstga vtsgnypnwvqqkpgqaprgliggtkflap gtparfsgsllggkaaltlsgvqpedeaey ycvlwysnrwvfgggtkltvl</p>
393.	FL_5_CCxCD3 -scFc	Биспецифическая молекула HLE	<p>qvtlkesgpvlvktetliltctvsfgslr narmavswirppgkclewlahifsndeks ystslksrlltiskdtsksqvltmtndpv dtatyycarivgygsgwygyfdywgqgtlv tvssggggsgggsgggsgggdiqmtqspssv sasvgdrvtitcrasqdirydlawyqqkpg kapkrliyaasslqsgvpsrfsfgsgsgtef tltisslqpedfatyyclqhnfypltfgcg tkveiksggggsevqlvesggglvqpggsl klscaasgftfnkyamnvrqapggglewv arirskynnyatyadsvkdrftisrddsk ntaylqmnlnktdtavyycvrhgnfgnsy isywaywgqgtlvtvssggggsgggsggg gsqtvtqepsltvspggtvltcgsstga vtsgnypnwvqqkpgqaprgliggtkflap gtparfsgsllggkaaltlsgvqpedeaey ycvlwysnrwvfgggtkltvlgggdktht cppcpapellggpsvflfppkpkdtlmisr tpevtcvvvdvshedpevkfnwyvdgvevh naktkpceeqygstyrcvsvltvlhqdwln gkeykckvsnkalpapiektiskakgqpre pqvytlppsreemtknqvsltclvkgfyps diavewesngqpennykttppvldsdsff lyskltvdksrwqqgnvfscsvmhealnhh</p>

			ytqkslsispgkggggsgggsgggsgggsggg gsgggsgggsgdkthtcppcpapellggp svflfppkpkdtlmsrtpevtcvvvdvsh edpevkfnwyvdgvevhnaktkpceeqygs tyrcvsvltvlhgdwlngkeykckvsnkak papiektiskakgqprepvytlppsreem tknqvsltclvkgfypsdiavewesngqpe nnykttppvldsdsfflyskltvdksrwq qgnvfscsvmhealhnhytqkslsispgk
394.	FL_6xCD3- scFc	VH CDR1	narmgvs
395.	FL_6xCD3- scFc	VH CDR2	hifsndeksfstslkn
396.	FL_6xCD3- scFc	VH CDR3	mvgygsgwyayfdy
397.	FL_6xCD3- scFc	VL CDR1	rasqsissyln
398.	FL_6xCD3- scFc	VL CDR2	aasslqs
399.	FL_6xCD3- scFc	VL CDR3	lqhnsyplt
400.	FL_6xCD3- scFc	VH	qvtlkesgpvlvkptqtltlctfsgfsls narmgvswirppgkalewlahifsndeks fstslknrltiskdtsksqvlmtmndpv dtatyycarmvgygsgwyayfdywgqgtqv tvss
401.	FL_6xCD3- scFc	VL	diqmtqspsslsasvgrvtitcrasqsis sylvwyqqkpgkapklliyaasslqsgvps rfsgsgsgtdftltisslqpedfatyyclq hnsypltfgggtkveik
402.	FL_6xCD3- scFc	scFv	qvtlkesgpvlvkptqtltlctfsgfsls narmgvswirppgkalewlahifsndeks fstslknrltiskdtsksqvlmtmndpv

			<p>dtatyycarmvgygsgwyayfdywgggtqv tvssggggsgggsgggsggggsdiqmtqspssl sasvgdrvtitcrasqsissylnwyqqkpg kapklliyaasslqsgvpsrfsrgsgsgtdf tltisslqpedfatyyclqhnsypltfggg tkveiks</p>
403.	FL_6xCD3- scFc	Биспецифи- ческая молекула	<p>qvtlkesgpvlvkptqtltlctfsgfsls narmgvswirppgkalewlahifsndeks fstslknrltiskdtsksqvvlmtmndpv dtatyycarmvgygsgwyayfdywgggtqv tvssggggsgggsgggsggggsdiqmtqspssl sasvgdrvtitcrasqsissylnwyqqkpg kapklliyaasslqsgvpsrfsrgsgsgtdf tltisslqpedfatyyclqhnsypltfggg tkveiksggggseqlvesggglvqpggsl klscaasgftfnkyamnwrqapgkglewv arirskynnyatyadsvkdrftisrddsk ntaylqmnlnktdtavyycvrhgnfgnsy isywaywgggtlvtvssggggsgggsggg gsqvtvtqepsltvspggtvltlctgsstga vtsgnypnwvqqkpgqaprgliggtkflap gtparfsgsllggkaaltlsgvqpedeae ycvlwysnrwvfgggtkltvl</p>
404.	FL_6xCD3- scFc	Биспецифи- ческая молекула HLE	<p>qvtlkesgpvlvkptqtltlctfsgfsls narmgvswirppgkalewlahifsndeks fstslknrltiskdtsksqvvlmtmndpv dtatyycarmvgygsgwyayfdywgggtqv tvssggggsgggsgggsggggsdiqmtqspssl sasvgdrvtitcrasqsissylnwyqqkpg kapklliyaasslqsgvpsrfsrgsgsgtdf tltisslqpedfatyyclqhnsypltfggg tkveiksggggseqlvesggglvqpggsl klscaasgftfnkyamnwrqapgkglewv arirskynnyatyadsvkdrftisrddsk ntaylqmnlnktdtavyycvrhgnfgnsy</p>

			<p>isywaywgqgtlvtvssggggsgggsggg gsqtvtvqepsltvspggtvltcgsstga vtsgnypnwvqqkpgqaprgligntkflap gtparfsgsllggkaaltlsgvqpedeae ycvlwysnrwvfgggtklvtlvgggdktht cppcpapellggpsvflfppkpkdtlmisr tpevtcvvvdvshdepvkfnwyvdgvevh naktkpceezygstyrcvsvltvlhqdwln gkeykckvsnkalpapiektiskakgpre pqvytlppsreemtknqvsltclvkgfyps diavewesngqpennyktppvldsdsff lyskltvdksrwqggnvfscsvmhealhh ytqkslslspgkggggsgggsgggsggg gsgggsgggsgdkthtcppcpapellggp svflfppkpkdtlmisrtpevtcvvvdvsh edpevkfnwyvdgvevhnaktkpceezygs tyrcvsvltvlhqdwlngkeykckvsnkal papiektiskakgprepqvytlppsreem tknqvsltclvkgfypsdiavewesngqpe nnyktppvldsdsfflyskltvdksrwq qgnvfscsvmhealhhytqkslslspgk</p>
405.	FL_6_CCxCD3 -scFc	VH	<p>qvtlkesgpvlvkptqtltlctfsgfsls narmgvswirppgkclewlahifsndeks fstslknrltiskdtsksqvltmtndpv dtatyycarmvgygsgwyayfdywgqgtqv tvss</p>
406.	FL_6_CCxCD3 -scFc	VL	<p>diqmtqspsslsasvdrvtitcrasqsis sylvnyqqkpgkapklliyaasslqsgvps rfsgsgsgtdftltisslqpedfatyyclq hnsypltfgcgkveik</p>
407.	FL_6_CCxCD3 -scFc	scFv	<p>qvtlkesgpvlvkptqtltlctfsgfsls narmgvswirppgkclewlahifsndeks fstslknrltiskdtsksqvltmtndpv dtatyycarmvgygsgwyayfdywgqgtqv tvssggggsgggsgggsgggsgggsggg</p>

			<p>sasvgdrvtitcrasqsissylnwyqqkpg kapklliyaasslqsgvpsrfsqsgsgtdf tltisslqpedfatyyclqhnsypltfqcg tkveiks</p>
408.	FL_6_CCxCD3 -scFc	Биспецифическая молекула	<p>qvtlkesgpvlvkptqtltlctfsgfsls narmgvswirpppgkclewlahifsndeks fstslknrltiskdtsksqvltmtndpv dtatyycarmvgygsgwyayfdywgggtqv tvssggggsgggsgggsgdiqmtqspssl sasvgdrvtitcrasqsissylnwyqqkpg kapklliyaasslqsgvpsrfsqsgsgtdf tltisslqpedfatyyclqhnsypltfqcg tkveiksggggsevqlvesggglvqpggsl klscaasgftfnkyamnvrqapgglewv arirskynnyatyadsvkdrftisrddsk ntaylqmnlnkctedavyycvrhgnfgnsy isywaywgggtlvtvssggggsgggsggg gsqvtvtqepsltvspggtvltcgsstga vtsgnypnwvqqkpgqaprgliggtkflap gtparfsgsllggkaaltlsgvqpedeaey ycvlwysnrwvfgggtkltvl</p>
409.	FL_6_CCxCD3 -scFc	Биспецифическая молекула HLE	<p>qvtlkesgpvlvkptqtltlctfsgfsls narmgvswirpppgkclewlahifsndeks fstslknrltiskdtsksqvltmtndpv dtatyycarmvgygsgwyayfdywgggtqv tvssggggsgggsgggsgdiqmtqspssl sasvgdrvtitcrasqsissylnwyqqkpg kapklliyaasslqsgvpsrfsqsgsgtdf tltisslqpedfatyyclqhnsypltfqcg tkveiksggggsevqlvesggglvqpggsl klscaasgftfnkyamnvrqapgglewv arirskynnyatyadsvkdrftisrddsk ntaylqmnlnkctedavyycvrhgnfgnsy isywaywgggtlvtvssggggsgggsggg gsqvtvtqepsltvspggtvltcgsstga</p>

			vtsgnypnwvqqkpgqaprgliggtkflap gtparfsgsllggkaaltlsgvqpedeae ycvlywnrwwfgggtklvtlvgggdktht cppcpapellggpsvflfppkpkdtlmisr tpevtcvvvdvshedpevkfnwyvdgvevh naktkpceeeygstyrcvsvltvlhqdwn gkeykckvsnkalpapiektiskakgpre pqvytlppsreemtknqvsltclvkgfyps diavewesngqpennyktppvldsdgsff lyskltvdksrwqqgnvfscsvmhealnh ytqkslsislspgkggggsgggsgggsggg gsgggsgggsgdkthtcppcpapellggp svflfppkpkdtlmisrtpvtcvvvdvsh edpevkfnwyvdgvevhnaktkpceeeygs tyrcvsvltvlhqdwlngkeykckvsnkal papiektiskakgprepqvytlppsreem tknqvsltclvkgfypsdiavewesngqpe nnyktppvldsdgsfflyskltvdksrwq qgnvfscsvmhealnhytqkslsislspgk
410.	FL_7xCD3- scFc	VH CDR1	narmgvs
411.	FL_7xCD3- scFc	VH CDR2	hifsndeksystslkn
412.	FL_7xCD3- scFc	VH CDR3	ivgygtgwfgyfdy
413.	FL_7xCD3- scFc	VL CDR1	rasqdirtdla
414.	FL_7xCD3- scFc	VL CDR2	aasslqs
415.	FL_7xCD3- scFc	VL CDR3	lqhnryplt
416.	FL_7xCD3- scFc	VH	qvtlkesgptlvkptetltlctvsgfsln narmgvswirppgkalewlahifsndeks ystslknrltiskdssktqvvlmtntvdpv dtatyycarivgygtgwfgyfdywgqgtqv

			tvss
417.	FL_7xCD3- scFc	VL	diqmtqspsslsasvqdrvtitcrasqdir tdlawyqqkpgkapkrliyaasslqsgvps rfsgsgsgteftltisslqpedfatyyclq hnrplytfgggtkvdik
418.	FL_7xCD3- scFc	scFv	qvtlkesgptlvkptetltltctvsgfsln narmgvswirqppgkalewlahifsndeks ystslknrltiskdssktqvvlmtntvdpv dtatyycarivgygtgwfgyfdywgggtqv tvssggggsgggsgggsgdiqmtqspssl sasvqdrvtitcrasqdirtdlawyqqkpg kapkrliyaasslqsgvpsrfsgsgsgtef tltisslqpedfatyyclqhnrplytfggg tkvdiks
419.	FL_7xCD3- scFc	Биспецифи ческая молекула	qvtlkesgptlvkptetltltctvsgfsln narmgvswirqppgkalewlahifsndeks ystslknrltiskdssktqvvlmtntvdpv dtatyycarivgygtgwfgyfdywgggtqv tvssggggsgggsgggsgdiqmtqspssl sasvqdrvtitcrasqdirtdlawyqqkpg kapkrliyaasslqsgvpsrfsgsgsgtef tltisslqpedfatyyclqhnrplytfggg tkvdiksggggsevqlvesggglvqpggsl klscaasgftfnkyamnwrqapgkglewv arirskynnyatyadsvkdrftisrddsk ntaylqmnlnktdtavyycvrhgnfgnsy isywaywgggtlvtvssggggsgggsggg gsqtvtqepsltvspggtvtltcgsstga vtsgnypnwvqqkpgqaprgliggtkflap gtparfsgsllggkaaltlsgvqpedeae ycvlwysnrwvfgggtklvtl
420.	FL_7xCD3- scFc	Биспецифи ческая молекула HLE	qvtlkesgptlvkptetltltctvsgfsln narmgvswirqppgkalewlahifsndeks ystslknrltiskdssktqvvlmtntvdpv dtatyycarivgygtgwfgyfdywgggtqv

			<p>tvssggggsgggsgggsgggsgggdiqmtqspssl sasvgdrvtitcrasqdirtdlawyqqkpg kapkrliyaasslqsgvpsrfsqsgsgtef tltisslqpedfatyyclqhnrypltfggg tkvdiksggggsevqlvesggglvqpggsl klscaasgftfnkyamnwrqapgkglewv arirskynnyatyadsvkdrftisrddsk ntaylqmnlnktdtavyycvrhgnfgnsy isywaywgqgtlvtvssggggsgggsgggg gsqvtvtqepsltvspggtvtltcgsstga vtsgnypnwvqqkpgqaprgliggtkflap gtparfsgsllggkaaltlsgvqpedeae ycvlwysnrwvfgggtkltvlgggdktht cppcpapellggpsvflfppkpkdtlmisr tpevtcvvvdvshdpevkfnwyvdgvevh naktkpceezygstyrcvsvltvlhqdwln gkeykckvsnkalpapiektiskakgpre pqvytlppsreemtknqvsltclvkgfyps diavewesngqpennykttppvldsdsff lyskltvdksrwqggnvfscsvmhealhh ytqkslslspgkgggsgggsgggsgggsggg gsgggsgggsgdkthtcppcpapellggp svflfppkpkdtlmisrtpevtcvvvdvsh edpevkfnwyvdgvevhnaktkpceezygs tyrcvsvltvlhqdwlngkeykckvsnk apiektiskakgprepqvytlppsreem tknqvsltclvkgfypsdiavewesngqpe nnykttppvldsdsfflyskltvdksrwq qgnvfscsvmhealhhytqkslslspgk</p>
421.	FL_7_CCxCD3 -scFc	VH	<p>qvtlkesgptlvkptetltltctvsgfsln narmgvswirppgkclewlahifsndeks ystslknrltiskdssktqvvlmtmndpv dtatyycarivgygtgwfgyfdywgqgtqv tvss</p>
422.	FL_7_CCxCD3	VL	<p>diqmtqspsslsasvgdrvtitcrasqdir</p>

	-scFc		tdlawyqqkpgkapkriyaasslqsgvps rfsgsgsgteftlttisslqpedfatyyclq hnrypltfgcgtkvdik
423.	FL_7_CCxCD3 -scFc	scFv	qvtlkesgptlvkptetltltctvsgfsln narmgvswirqppgkclewlahifsndeks ystslknrltiskdssktqvvlmtnvdpv dtatyycarivgygtgwfgyfdywgqgtqv tvssggggsgggsggggsdiqmtqspssl sasvgdrvtitcrasqdirtdlawyqqkpg kapkriyaasslqsgvpsrfsgsgsgtef tltisslqpedfatyyclqhnrypltfgcg tkvdiks
424.	FL_7_CCxCD3 -scFc	Биспецифи ческая молекула	qvtlkesgptlvkptetltltctvsgfsln narmgvswirqppgkclewlahifsndeks ystslknrltiskdssktqvvlmtnvdpv dtatyycarivgygtgwfgyfdywgqgtqv tvssggggsgggsggggsdiqmtqspssl sasvgdrvtitcrasqdirtdlawyqqkpg kapkriyaasslqsgvpsrfsgsgsgtef tltisslqpedfatyyclqhnrypltfgcg tkvdiksggggsevqlvesggglvqpggsl klscaasgftfnkyamnvrqapgkglewv arirskynnyatyadsvkdrftisrddsk ntaylqmnlnkctedavyyevrhgnfgnsy isywaywgqgtlvtvssggggsgggsggg gsqtvvtqepsltvspggtvltlctgsstga vtsgnypnwvqqkpgqaprgliggtkflap gtparfsgsllggkaaltlsgvqpedeae ycvlwysnrwvfgggtkltvl
425.	FL_7_CCxCD3 -scFc	Биспецифи ческая молекула HLE	qvtlkesgptlvkptetltltctvsgfsln narmgvswirqppgkclewlahifsndeks ystslknrltiskdssktqvvlmtnvdpv dtatyycarivgygtgwfgyfdywgqgtqv tvssggggsgggsggggsdiqmtqspssl sasvgdrvtitcrasqdirtdlawyqqkpg

			kapkrliyaasslqsgvpsrfsqsgsgtef tltisslqpedfatyyqlqhnrypltfqcg tkvdiksggggsevqlvesggglvqpggsl klscaasgftfnkyamnvrqapggglewv arirskynnyatyyadsvkdrftisrddsk ntaylqmnlnktdtavyycvrhgnfgnsy isywaywgqgtlvtvssggggsgggsggg gsqtvtqepsltvspggtvtltcgsstga vtsgnypnwvqqkpgqaprgliggtkflap gtparfsgsllggkaaltlsgvqpedeaey ycvlwysnrwvfgggtklvtlvgggdktht cppcpapellggpsvflfppkpkdtlmisr tpevtcvvvdvshedpevkfnwyvdgvevh naktkpceeqqgstyrcvsvltvlhqdwln gkeykckvsnkalpapiektiskakgqpre pqvytlppsreemtknqvsltclvkgfyps diavewesngqpennykttppvldsdsff lyskltvdksrwqqgnvfscsvmhealnhh ytqkslslspgkgggggsgggsgggsggg gsgggsggggskthtcppcpapellggp svflfppkpkdtlmisrtpevtcvvvdvsh edpevkfnwyvdgvevhnaktkpceeqqgs tyrcvsvltvlhqdwlngkeykckvsnk alpiektiskakgqprepvytlppsreem tknqvsltclvkgfypsdiavewesngqpe nnykttppvldsdsfflyskltvdksrwq qgnvfscsvmhealnhhnytqkslslspgk
426.	FL_8xCD3- scFc	VH CDR1	narmavs
427.	FL_8xCD3- scFc	VH CDR2	hifsndeksystems
428.	FL_8xCD3- scFc	VH CDR3	ivgygtgwygffdy
429.	FL_8xCD3- scFc	VL CDR1	rasqgirndla

430.	FL_8xCD3- scFc	VL CDR2	aasslqs
431.	FL_8xCD3- scFc	VL CDR3	lqhnsyplt
432.	FL_8xCD3- scFc	VH	qvtlkesgpalvkptetltltctlsqfsln narmavswirqppgktlewlahifsn ydstslksrlltiskdtsksqvvtmtndpe dtatyycarivgygtgwygffdywgqgilv tvss
433.	FL_8xCD3- scFc	VL	dqmtqspsslsasvqdrvtitcrasqgir ndlawayqqkpgkapkriyaasslqsgvps rfsqsgsgteftlttisslqpedfatyyclq hnsypltfgggtkveik
434.	FL_8xCD3- scFc	scFv	qvtlkesgpalvkptetltltctlsqfsln narmavswirqppgktlewlahifsn ydstslksrlltiskdtsksqvvtmtndpe dtatyycarivgygtgwygffdywgqgilv tvssggggsgggsgggsgggsgdiqmtqspssl sasvqdrvtitcrasqgirndlawayqqkpg kapkriyaasslqsgvpsrfsqsgsgtef tltisslqpedfatyyclqhnsypltfggg tkveiks
435.	FL_8xCD3- scFc	Биспецифи ческая молекула	qvtlkesgpalvkptetltltctlsqfsln narmavswirqppgktlewlahifsn ydstslksrlltiskdtsksqvvtmtndpe dtatyycarivgygtgwygffdywgqgilv tvssggggsgggsgggsgggsgdiqmtqspssl sasvqdrvtitcrasqgirndlawayqqkpg kapkriyaasslqsgvpsrfsqsgsgtef tltisslqpedfatyyclqhnsypltfggg tkveiksggggseqlvesggglvqpggsl klscaasgftfnkyamnwvrqapkglewv arirskynnyatyadsvkdrftisrddsk ntaylqmnlktdtavyycvrhgnfgnsy isywaywgqgtlvtvssggggsgggsggg

			<p>gsqtvvtqepsltvspggtvtltcgsstga vtsgnypnwvqqkpgqaprgliggtkflap gtparfsgsllggkaaltlsgvqpedeaey ycvlwysnrwvfgggtklvtl</p>
436.	FL_8xCD3- scFc	Биспецифическая молекула HLE	<p>qvtlkesgpalvkptetltltctlsqfsln narmavswirppgktlewlahifsn ydstlksrletiskdtsksqvvtmtndpe dtatyycarivgygtgwygffdywgqgilv tvssggggsgggsgggsgggdiqmtqspssl sasvgdrvtitcrasqgirndlawyqqkpg kapkriyaasslqsgvpsrfsqsgsgtef tltisslqpedfatyyclqhnsypltfggg tkveiksggggsevqlvesggglvqpggsl klscaasgftfnkyamnwvrqapgkglewv arirskynnyatyadsvkdrftisrddsk ntaylqmnlnktedtavyycvrhgnfgnsy isywaywgqgtlvtvssggggsgggsggg gsqtvvtqepsltvspggtvtltcgsstga vtsgnypnwvqqkpgqaprgliggtkflap gtparfsgsllggkaaltlsgvqpedeaey ycvlwysnrwvfgggtklvtlvggggdktht cppcpapellggpsvflfppkpkdtlmsr tpevtcvvvdvshedpevkfnwyvdgvevh naktkpceeegystyrcvsvltvlhqdwln gkeykckvsnkalpapiektiskakgpre pqvytlppsreemtknqvsltclvkgfyps diavewesngqpennykttpvldsdgsff lyskltvdksrwqqgnvfscsvmhealhh ytqkslslspgkgggsgggsgggsggg gsgggsgggsgdkthtcppcpapellggp svflfppkpkdtlmsrtpevtcvvvdvsh edpevkfnwyvdgvevhnaktkpceeegys tyrcvsvltvlhqdwlngkeykckvsnk apiektiskakgprepqvytlppsreem tknqvsltclvkgfypsdiavewesngqpe</p>

			nnykttppvldsdgsfflyskltvdksrwq qgnvfscsvmhealthnhytqkslsislspgk
437.	FL_8_CCxCD3 -scFc	VH	qvtlkesgpalvkptetltltctlsqfsln narmavswirppgkclewlahifsndeks ystslksrltiskdtsksqvltmtndpe dtatyycarivgygtgwygffdywgqgilv tvss
438.	FL_8_CCxCD3 -scFc	VL	diqmtqspsslsasvgdrvtitcrasqgir ndlawayqqkpgkapkriyaasslqsgvps rfsgsgsgteftlttisslqpedfatyyclq hnsypltfgcgkveik
439.	FL_8_CCxCD3 -scFc	scFv	qvtlkesgpalvkptetltltctlsqfsln narmavswirppgkclewlahifsndeks ystslksrltiskdtsksqvltmtndpe dtatyycarivgygtgwygffdywgqgilv tvssggggsgggsgggsgggsgdiqmtqspssl sasvgdrvtitcrasqgirndlawayqqkpg kapkriyaasslqsgvpsrfsgsgsgtef tltisslqpedfatyyclqhnsypltfgcg tkveiks
440.	FL_8_CCxCD3 -scFc	Биспецифи ческая молекула	qvtlkesgpalvkptetltltctlsqfsln narmavswirppgkclewlahifsndeks ystslksrltiskdtsksqvltmtndpe dtatyycarivgygtgwygffdywgqgilv tvssggggsgggsgggsgggsgdiqmtqspssl sasvgdrvtitcrasqgirndlawayqqkpg kapkriyaasslqsgvpsrfsgsgsgtef tltisslqpedfatyyclqhnsypltfgcg tkveiksggggsevqlvesggglvqpggsl klscaasgftfnkyamnwvrqapkglewv arirskynnyatyadsvkdrftisrddsk ntaylqmnlnktdtavyycvrhgnfgnsy isywaywgqgtlvtvssggggsgggsgggg gsqvtvtqepsltvspggtvltcgsstga vtsgnypnwvqqkpgqaprgliggtkflap

			gtparfsgsllggkaaltlsgvqpedeae ycvlwysnrwvfgggtkltvl
441.	FL_8_CCxCD3 -scFc	Биспецифическая молекула HLE	qvtlkesgpalvktetltlctlsqfsln narmavswirppgkclewlahifsndeks ystslksrltiskdtsksqvvlmtmndpe dtatyycarivgygtgwygffdywgqgilv tvssgggsgggsgggsgggdiqmtqspssl sasvqdrvtitcrasqgirndlawyqqkpg kapkrliyaasslqsgvpsrfsqsgsgtef tltisslqpedfatyyclqhnsypltfqcg tkveiksggggsevqlvesggglvqpggs klscaasgftfnkyamnwrqapgkglewv arirskynnyatyadsvkdrftisrddsk ntaylqmnnlktedtavyycvrhngfnsgy isywaywgqgtlvtvssgggsgggsggg gsqvtvtqepsltvspggtvltlctgsstga vtsgnypnwvqqkpgqaprgliggtkflap gtparfsgsllggkaaltlsgvqpedeae ycvlwysnrwvfgggtkltvlgggdktht cpcpapellggpsvflfppkpkdtlmisr tpevtcvvvdvshdpevkfnwyvdgvevh naktkpceeqqgstyrcsvlvtvlhqdwln gkeykckvsnkalpapiektiskakgpre pqvytlppsreemtknqvsltclvkgfyps diavewesngqpennykttppvldsdsff lyskltvdksrwqqgnvfscsvmhealnhh ytqkslslspgkgggsgggsgggsggg gsgggsgggsgkthtccpcpapellggp svflfppkpkdtlmisrtpevtcvvvdvsh edpevkfnwyvdgvevhnaktkpceeqqgs tyrcsvlvtvlhqdwlngkeykckvsnk apiektiskakgprepqvytlppsreem tknqvsltclvkgfypsdiavewesngqpe nnykttppvldsdsfflyskltvdksrwq qgnvfscsvmhealnhhtqkslslspgk

442.	FL_9xCD3- scFc	VH CDR1	yarmgvs
443.	FL_9xCD3- scFc	VH CDR2	hifsndeksystslks
444.	FL_9xCD3- scFc	VH CDR3	mpeyssgwsqafdi
445.	FL_9xCD3- scFc	VL CDR1	rasqdirndla
446.	FL_9xCD3- scFc	VL CDR2	aasslqs
447.	FL_9xCD3- scFc	VL CDR3	lqhnsyplt
448.	FL_9xCD3- scFc	VH	qvtlkesgptlvkptetltltctfsgfslr yarmgvswirppgkalewlahifsndeks ystslksrltiskdtsksqvvtltnmdp dtatyfcarmpeyssgwsqafdiwgqtmv tvss
449.	FL_9xCD3- scFc	VL	diqmtqspsslsasvgdrvtitcrasqdir ndlawyqqkpgkapkriyaasslqsgvps rfsgsgsgteftlttisslqpedfatyyclq hnsypltfgggtkleik
450.	FL_9xCD3- scFc	scFv	qvtlkesgptlvkptetltltctfsgfslr yarmgvswirppgkalewlahifsndeks ystslksrltiskdtsksqvvtltnmdp dtatyfcarmpeyssgwsqafdiwgqtmv tvssggggsgggsgggsgdiqmtqspssl sasvgdrvtitcrasqdirndlawyqqkpg kapkriyaasslqsgvpsrfsgsgsgtef tltisslqpedfatyyclqhnsypltfggg tkleiks
451.	FL_9xCD3- scFc	Биспецифи ческая молекула	qvtlkesgptlvkptetltltctfsgfslr yarmgvswirppgkalewlahifsndeks ystslksrltiskdtsksqvvtltnmdp dtatyfcarmpeyssgwsqafdiwgqtmv tvssggggsgggsgggsgdiqmtqspssl

		<p>sasvgdrvtitcrasqdirndlawayqqkpg kapkrliyaasslqsgvpsrfsqsgsgtef tltisslqpedfatyyclqhnsypltfggg tkleiksggggseqlvesggglvqpggsl klscaasgftfnkyamnvrqapggglewv arirskynnyatyyadsvkdrftisrddsk ntaylqmnlnktdtavyycvrhgnfgnsy isywaywqggtlvtvssggggsgggsggg gsqvtvtqepsltvspggtvtltcgsstga vtsgnypnwvqqkpgqaprgliggtkflap gtparfsgsllggkaaltlsgvqpedeae ycvlwysnrwvfgggtkltvl</p>
<p>452.</p>	<p>FL_9xCD3- scFc</p>	<p>Биспецифическая молекула HLE</p> <p>qvltkesgptlvkptetliltctfsgfslr yarmgvswirppgkalewlahifsndeks ystslksrltiskdtsksqvvtltnmdp dtatyfcarmpeyssgwsqafdiwgqtmv tvssggggsgggsgggsgggdiqmtqspss sasvgdrvtitcrasqdirndlawayqqkpg kapkrliyaasslqsgvpsrfsqsgsgtef tltisslqpedfatyyclqhnsypltfggg tkleiksggggseqlvesggglvqpggsl klscaasgftfnkyamnvrqapggglewv arirskynnyatyyadsvkdrftisrddsk ntaylqmnlnktdtavyycvrhgnfgnsy isywaywqggtlvtvssggggsgggsggg gsqvtvtqepsltvspggtvtltcgsstga vtsgnypnwvqqkpgqaprgliggtkflap gtparfsgsllggkaaltlsgvqpedeae ycvlwysnrwvfgggtkltvlgggdktht cppcpapellggpsvflfppkpkdtlmisr tpevtcvvvdvshedpevkfnwyvdgvevh naktkpceeqqgstyrcvsvltvlhqdwln gkeykckvsnkalpapiektiskakgpre pqvytlppsreemtknqvsltclvkgyfyps diavewesngqpennykttppvldsdgsff</p>

			<p>lyskltdkswrqgnvfscsvmhealhh ytqkslsispgkggggsgggsgggsggg gsgggsgggsgdkthtppcpapellggp svflfppkpkdtlmisrtpevtcvvvdvsh edpevkfnwyvdgvevhnaktkpeeaygs tyrcvsvltvlhqdwlngkeykckvsnkal papiektiskakggprepqvylppsreem tknqvsltclvkgfypsdiavewesnggpe nnykttppvldsdgsfflyskltdkswrq qgnvfscsvmhealhhytqkslsispgk</p>
453.	FL_9_CCxCD3 -scFc	VH	<p>qvtlkesgptlvkptetltltctfsgfslr yarmgvswirppgkclewlahifsndeks ystslksrsltiskdtsksqvvtltnmdpv dtatyfcarmpeyssgwsafdiwgggtmv tvss</p>
454.	FL_9_CCxCD3 -scFc	VL	<p>diquqtspsslsasvdrvtitcrasqdir ndlawayqqkpgkapkriyaasslqsgvps rfsgsgsgteftlttisslqpedfatyyclq hnsypltfcggtkleik</p>
455.	FL_9_CCxCD3 -scFc	scFv	<p>qvtlkesgptlvkptetltltctfsgfslr yarmgvswirppgkclewlahifsndeks ystslksrsltiskdtsksqvvtltnmdpv dtatyfcarmpeyssgwsafdiwgggtmv tvssggggsgggsgggsgggsgdiqmtqspssl sasvdrvtitcrasqdirndlawayqqkpg kapkriyaasslqsgvpsrfsgsgsgtef tltisslqpedfatyyclqhnsypltfcggt tkleiks</p>
456.	FL_9_CCxCD3 -scFc	Биспецифическая молекула	<p>Qvtlkesgptlvkptetltltctfsgfslr yarmgvswirppgkclewlahifsndeks ystslksrsltiskdtsksqvvtltnmdpv dtatyfcarmpeyssgwsafdiwgggtmv tvssggggsgggsgggsgggsgdiqmtqspssl sasvdrvtitcrasqdirndlawayqqkpg kapkriyaasslqsgvpsrfsgsgsgtef</p>

			<p>tltisslqpedfatyyclqhnsypltfgcg tkleiksggggsevqlvesggglvqpggsl klscaasgftfnkyamnvrqapgkglewv arirskynnyatyadsvkdrftisrddsk ntaylqmnlnktdtavyycvrhgnfgnsy isywaywgggtlvtvssggggsgggsggg gsqtvvtqepsltvspggtvltcgsstga vtsgnypnwvqqkpgqaprgliggtkflap gtparfsgsllggkaaltlsgvqpedeaey ycvlwysnrwvfgggtkltvl</p>
457.	FL_9_CCxCD3 -scFc	Биспецифическая молекула HLE	<p>qvtlkesgptlvkptetlctfsgfslr yarmgvswirppgkclewlahifsndeks ystslksrlltiskdtsksqvvtltnmdp dtatyfcarmpeyssgwsqafdiwgggtmv tvssggggsgggsgggsgggdiqmtqspssl sasvgdrvtitcrasqdirndlwayqqkpg kapkrliyaasslqsgvpsrfsqsgsgtef tltisslqpedfatyyclqhnsypltfgcg tkleiksggggsevqlvesggglvqpggsl klscaasgftfnkyamnvrqapgkglewv arirskynnyatyadsvkdrftisrddsk ntaylqmnlnktdtavyycvrhgnfgnsy isywaywgggtlvtvssggggsgggsggg gsqtvvtqepsltvspggtvltcgsstga vtsgnypnwvqqkpgqaprgliggtkflap gtparfsgsllggkaaltlsgvqpedeaey ycvlwysnrwvfgggtkltvlgggdktht cppcpapellggpsvflfppkpkdtlmisr tpevtcvvvdvshedpevkfnwyvdgvevh naktkpceeaygstyrcvsvltvlhqdwln gkeykckvsnkalspapiektiskakgpre pqvytlppsreemtknqvslclvkgfyps diavewesngqpennykttppvldsdsff lyskltvdksrwqqgnvfscsvmhealhh ytqkslslspgkggggsgggsgggsggg</p>

			gsgggsgggsgskthtctppcpapellgpp svflfppkpkdtlmsrtpevtcvvvdvsh edpevkfnwyvdgvevhnaktkpceeaygs tyrcsvltvlhqdwlngkeykckvsnkal papiektiskakggpprepqvvtlppsreem tknqvsltclvkgfypsdiavewesnggpe nnykttppvldsdsfflyskltvdksrwq qgnvfscsvmhealhnhytqkslslspgk
458.	FL_10xCD3- scFc	VH CDR1	narmgvs
459.	FL_10xCD3- scFc	VH CDR2	hifsndeksytslks
460.	FL_10xCD3- scFc	VH CDR3	mpeyssgswgafdi
461.	FL_10xCD3- scFc	VL CDR1	rasqdirddlg
462.	FL_10xCD3- scFc	VL CDR2	gastlqs
463.	FL_10xCD3- scFc	VL CDR3	lqhnsyplt
464.	FL_10xCD3- scFc	VH	qvtlkesgpvlvktetltltctvsgfsfr narmgvswirqppgkalewlahifsndeks ytslksrsltiskdtsksqvvtltnmdp dtatyfcarmpeyssgswgafdiwgqgtmv tvss
465.	FL_10xCD3- scFc	VL	diqmtqspsslsasvdrvtitcrasqdir ddlgwyqqkpgnapkriyastlqsgvps rfsgsggteftltisslqpedfatyyclq hnsypltfgggtkvdik
466.	FL_10xCD3- scFc	scFv	qvtlkesgpvlvktetltltctvsgfsfr narmgvswirqppgkalewlahifsndeks ytslksrsltiskdtsksqvvtltnmdp dtatyfcarmpeyssgswgafdiwgqgtmv

			<p>tvssggggsgggsgggsggggsdiqmtqspssl sasvgdrvtitcrasqdirddlgwyqqkpg napkrliygastlqsgvpsrfsrgsgsgtef tltisslqpedfatyyclqhnsypltfggg tkvdiks</p>
467.	FL_10xCD3- scFc	Биспецифи ческая молекула	<p>qvtlkesgpvlvkptetltltctvsgfsfr narmgvswirqppgkalewlahifsndeks ystslksrsltiskdtsksqvvtltnmdp dtatyfcarmpeyssgswgafdiwgqgtmv tvssggggsgggsgggsggggsdiqmtqspssl sasvgdrvtitcrasqdirddlgwyqqkpg napkrliygastlqsgvpsrfsrgsgsgtef tltisslqpedfatyyclqhnsypltfggg tkvdiksggggseqlvesggglvqpggsl klscaasgftfnkyamnvrqapgkglewv arirskynnyatyadsvkdrftisrddsk ntaylqmnnlktedtavyycvrhgnfgnsy isywaywqggtlvtvssggggsgggsgggg gsqvtvtqepsltvspggtvltcgsstga vtsgnypnwvqqkpgqaprgliggtkflap gtparfgsllggkaaltlsgvqpedeae ycvlwysnrwvfgggtkltvl</p>
468.	FL_10xCD3- scFc	Биспецифи ческая молекула HLE	<p>qvtlkesgpvlvkptetltltctvsgfsfr narmgvswirqppgkalewlahifsndeks ystslksrsltiskdtsksqvvtltnmdp dtatyfcarmpeyssgswgafdiwgqgtmv tvssggggsgggsgggsggggsdiqmtqspssl sasvgdrvtitcrasqdirddlgwyqqkpg napkrliygastlqsgvpsrfsrgsgsgtef tltisslqpedfatyyclqhnsypltfggg tkvdiksggggseqlvesggglvqpggsl klscaasgftfnkyamnvrqapgkglewv arirskynnyatyadsvkdrftisrddsk ntaylqmnnlktedtavyycvrhgnfgnsy isywaywqggtlvtvssggggsgggsgggg</p>

			<p>gsqtvvtqepsltvspggtvtltcgsstga vtsngnypnwvqqkpgqaprgliggtkflap gtparfsgsllggkaaltlsgvqpedeae ycvlwysnrwvfgggtkltvlggggdkht cppcpapellggpsvflfppkpkdtlmisr tpevtcvvvdvshedpevkfnwyvdgvevh naktkpceeeygstyrcvsvltvlhqdwln gkeykckvsnkakpapiektiskakgpre pqvytlppsreemtknqvsclclvkgyfyps diavewesngqpennykttppvldsdsff lyskltvdksrwqgnvfscsvmhealhh ytqkslslspgkggggsgggsgggsggg gsgggsgggsgdkhtcppcpapellggp svflfppkpkdtlmisrtpvtcvvvdvsh edpevkfnwyvdgvevhnaktkpceeeygs tyrcvsvltvlhqdwlngkeykckvsnkak papiektiskakgprepqvytlppsreem tknqvsclclvkgyfypsdiavewesngqpe nnykttppvldsdsfflyskltvdksrwq qgnvfscsvmhealhhnytqkslslspgk</p>
469.	FL_10_CCxCD 3-scFc	VH	<p>qvtlkesgpvlvkptetltltctvsgfsfr narmgvswirppgkclewlahifsndeks ytslksrlltiskdtsksqvvtltnmdpv dtatyfcarmpeyssgwsafdiwgqgtmv tvss</p>
470.	FL_10_CCxCD 3-scFc	VL	<p>diquqtqspsslsasvgdrvtitcrasqdir ddlgwyqqkpgnapkrliygastlqsgvps rfsgsgsgteftltisslqpedfatyyclq hnsypltfgcgkvdik</p>
471.	FL_10_CCxCD 3-scFc	scFv	<p>qvtlkesgpvlvkptetltltctvsgfsfr narmgvswirppgkclewlahifsndeks ytslksrlltiskdtsksqvvtltnmdpv dtatyfcarmpeyssgwsafdiwgqgtmv tvssggggsgggsgggsgggsgdiqmtqspssl sasvgdrvtitcrasqdirddlgwyqqkpg</p>

			napkrliygastlqsgvpsrfsfgsgsgtef tltisslqpedfatyyclqhnsypltfgcg tkvdiks
472.	FL_10_CCxCD 3-scFc	Биспецифи ческая молекула	qvtlkesgpvlvkptetliltctvsgfsfr narmgvswirppgkclewlahifsndeks ytslksrlltiskdtsksqvvliltndpv dtatyfcarmpeyssgwsafdiwgqgtmv tvssggggsgggsggggsdiqmtqspssl sasvgdrvtitcrasqdirddlgwyqqkpg napkrliygastlqsgvpsrfsfgsgsgtef tltisslqpedfatyyclqhnsypltfgcg tkvdiksggggsevqlvesggglvqpggsl klscaasgftfnkyamnvrqapkglewv arirskynnyatyadsvkdrftisrddsk ntaylqmnllktdtavyycvrhgnfgnsy isywaywgqgtlvtvssggggsgggsggg gsqvtvtqepsltvspggtvltcgsstga vtsgnypnwvqqkpgqaprgliggtkflap gtparfsgsllggkaaltlsgvqpedeae ycvlwysnrwvfgggtklvtl
473.	FL_10_CCxCD 3-scFc	Биспецифи ческая молекула HLE	qvtlkesgpvlvkptetliltctvsgfsfr narmgvswirppgkclewlahifsndeks ytslksrlltiskdtsksqvvliltndpv dtatyfcarmpeyssgwsafdiwgqgtmv tvssggggsgggsggggsdiqmtqspssl sasvgdrvtitcrasqdirddlgwyqqkpg napkrliygastlqsgvpsrfsfgsgsgtef tltisslqpedfatyyclqhnsypltfgcg tkvdiksggggsevqlvesggglvqpggsl klscaasgftfnkyamnvrqapkglewv arirskynnyatyadsvkdrftisrddsk ntaylqmnllktdtavyycvrhgnfgnsy isywaywgqgtlvtvssggggsgggsggg gsqvtvtqepsltvspggtvltcgsstga vtsgnypnwvqqkpgqaprgliggtkflap

			<p>gtparfsgsllggkaaltlsgvqpedeae ycvlwysnrwvfgggtkltvlgggdktht cppcpapellggpsvflfppkpkdtlmisr tpevtcvvvdvshedpevkfnwyvdgvevh naktkpceeqqgstyrcvsvltvlhqdwl gkeykckvsnkalpapiektiskakgpre pqvytlppsreemtknqvsltclvkgfyps diavewesngqpennykttppvldsdsff lyskltvdksrwqgnvfscsvmhealthnh ytqkslslspgkgggsgggsgggsggg gsgggsgggsgdkthtcppcpapellggp svflfppkpkdtlmisrtpvtcvvvdvsh edpevkfnwyvdgvevhnaktkpceeqys tyrcvsvltvlhqdwlngkeykckvsnk apiektiskakgprepqvytlppsreem tknqvsltclvkgfypsdiavewesngqpe nnykttppvldsdsfflyskltvdksrwq qgnvfscsvmhealthnhytqkslslspgk</p>
474.	FL_11xCD3- scFc	VH CDR1	narmgvs
475.	FL_11xCD3- scFc	VH CDR2	hifsndeksystslks
476.	FL_11xCD3- scFc	VH CDR3	mpeyssgwsqafdi
477.	FL_11xCD3- scFc	VL CDR1	rasqdigydlg
478.	FL_11xCD3- scFc	VL CDR2	aastlqs
479.	FL_11xCD3- scFc	VL CDR3	lqhnsfpwt
480.	FL_11xCD3- scFc	VH	<p>qvtlkesgpalkvptetltltctvsgfsfr narmgvswirppgkalewlahifsndeks ystslksrsltiskdtsksqvvtltnmdpv dtatyfcarmpeyssgwsqafdiwgqgtmv tvss</p>

481.	FL_11xCD3- scFc	VL	diqmtqspsslsasvqdrvtitcrasqdig ydlgwyqqkpgkapkriyaastlqsgvps rfsgsgsgteftliisslqpedfatyyclq hnsfpwtfgggtkveik
482.	FL_11xCD3- scFc	scFv	qvtlkesgpalkvptetltltctvsgfsfr narmgvswirqppgkalewlahifsndeks ystslksrsltiskdtsksqvvtltnmdp dtatyfcarmpeyssgwsqafdiwgqgtmv tvssggggsgggsgggsgdiqmtqspssl sasvqdrvtitcrasqdigydlgwyqqkpg kapkriyaastlqsgvpsrfsgsgsgtef tliisslqpedfatyyclqhnsfpwtfggg tkveiks
483.	FL_11xCD3- scFc	Биспецифи ческая молекула	qvtlkesgpalkvptetltltctvsgfsfr narmgvswirqppgkalewlahifsndeks ystslksrsltiskdtsksqvvtltnmdp dtatyfcarmpeyssgwsqafdiwgqgtmv tvssggggsgggsgggsgdiqmtqspssl sasvqdrvtitcrasqdigydlgwyqqkpg kapkriyaastlqsgvpsrfsgsgsgtef tliisslqpedfatyyclqhnsfpwtfggg tkveiksggggsevqlvesggglvqpggsl klscaasgftfnkyamnwrqapggglewv arirskynnyatyadsvkdrftisrddsk ntaylqmnlnktdtavyycvrhgnfgnsy isywaywqggtlvtvssggggsgggsggg gsqtvvtqepsltvspggtvtltcgsstga vtsgnypnwvqqkpgqaprgliggtkflap gtparfsgsllggkaaltlsgvqpedeae ycvwlwysnrwvfgggtkltvl
484.	FL_11xCD3- scFc	Биспецифи ческая молекула HLE	qvtlkesgpalkvptetltltctvsgfsfr narmgvswirqppgkalewlahifsndeks ystslksrsltiskdtsksqvvtltnmdp dtatyfcarmpeyssgwsqafdiwgqgtmv tvssggggsgggsgggsgdiqmtqspssl

			<p> sasvgdrvtitcrasqdigydlgwyqqkpg kapkriyaastlqsgvpsrfsqsgsgtef tliisslqpedfatyyclqhnsfpwtfggg tkveiksggggseqlvesggglvqpggsl klscaasgftfnkyamnvrqapggkglewv arirskynnyatyadsvkdrftisrddsk ntaylqmnlnktdtavyycvrhgnfgnsy isywaywgggtlvtvssggggsgggsggg gsqvtvtqepsltvspggtvtltcgsstga vtsgnypnwvqqkpgqaprgliggtkflap gtparfsgsllggkaaltlsgvqpedeae ycvlwysnrwvfgggtkltvlgggdktht cppcpapellggpsvflfppkpkdtlmisr tpevtcvvvdvshdpevkfnwyvdgvevh naktkpeeeygstyrcvsvltvlhqdwln gkeykckvsnkalpapiektiskakgpre pqvytlppsreemtknqvsltclvkgyfys diavewesngqpennyktppvldsdsff lyskltvdksrwqggnvfscsvmhealhh ytqkslslspgkggggsgggsgggsggg sgggsgggsgdkthtcppcpapellggp svflfppkpkdtlmisrtpevtcvvvdvsh edpevkfnwyvdgvevhnaktkpeeeygs tyrcvsvltvlhqdwlngkeykckvsnk apiektiskakgprepqvytlppsreem tknqvsltclvkgyfysdiavewesngqpe nnyktppvldsdsfflyskltvdksrwq qgnvfscsvmhealhhytqkslslspgk </p>
485.	FL_11_CCxCD 3-scFc	VH	<p> qvtlkesgpalkvptetltltctvsgfsfr narmgvswirppgkclewlahifsndeks ystslksrlltiskdtsksqvltltnmdp datyfcarmpeysgswgafdiwgggtmv tvss </p>
486.	FL_11_CCxCD 3-scFc	VL	<p> diqmtqspsslsasvgdrvtitcrasqdig ydlgwyqqkpgkapkriyaastlqsgvps </p>

			rfsgsgsgteftliisslqpedfatyyclq hnsfpwtfgcgkveik
487.	FL_11_CCxCD 3-scFc	scFv	qvtlkesgpalvkptetltltctvsgfsfr narmgvswirqppgkclewlahifsndeks ystslksrsltiskdtsksqvvtltnmdp dtatyfcarmpeyssgwsqafdiwgqtmv tvssggggsgggsgggsgdiqmtqspssl sasvgdrvtitcrasqdigydlgwyqqkpg kapkrliyaastlqsgvpsrfsgsgsgtef tliisslqpedfatyyclqhnsfpwtfgcg tkveiks
488.	FL_11_CCxCD 3-scFc	Биспецифи ческая молекула	qvtlkesgpalvkptetltltctvsgfsfr narmgvswirqppgkclewlahifsndeks ystslksrsltiskdtsksqvvtltnmdp dtatyfcarmpeyssgwsqafdiwgqtmv tvssggggsgggsgggsgdiqmtqspssl sasvgdrvtitcrasqdigydlgwyqqkpg kapkrliyaastlqsgvpsrfsgsgsgtef tliisslqpedfatyyclqhnsfpwtfgcg tkveiksggggseqlvesggglvqpgsl klscaasgftfnkyamnwrqapggglewv arirskynnyatyadsvkdrftisrddsk ntaylqmnlnktdtavyycvrhgnfgnsy isywaywgqgtlvtvssggggsgggsggg gsqtvvtqepsltvspggtvltcgsstga vtsgnypnwvqqkpgqaprgliggtkflap gtparfsgsllggkaaltlsgvqpedeay ycvlwysnrwvfgggtklvtl
489.	FL_11_CCxCD 3-scFc	Биспецифи ческая молекула HLE	qvtlkesgpalvkptetltltctvsgfsfr narmgvswirqppgkclewlahifsndeks ystslksrsltiskdtsksqvvtltnmdp dtatyfcarmpeyssgwsqafdiwgqtmv tvssggggsgggsgggsgdiqmtqspssl sasvgdrvtitcrasqdigydlgwyqqkpg kapkrliyaastlqsgvpsrfsgsgsgtef

			<p>tliisslqpedfatyyclqhnsfpwtfqcg tkveiksggggsevqlvesggglvqpggsl klscaasgftfnkyamnwvrqapgkglewv arirskynnyatyadsvkdrftisrddsk ntaylqmnlnktdtavyycvrhgnfgnsy isywaywgqgtlvtvssgggsgggsggg gsqtvtqepsltvspggtvtltcgsstga vtsgnypnwvqqkpgqaprgliggtkflap gtparfsgsllggkaaltlsgvqpedeae ycvlwysnrwvfgggtkltvlgggdktht cppcpapellggpsvflfppkpkdtlmisr tpevtcvvvdvshedpevkfnwyvdgvevh naktkpeeeygstyrcvsvltvlhqdwln gkeykckvsnkalpapiektiskakgpre pqvytlppsreemtknqvsltclvkgyfyps diavewesngqpennykttppvldsdsff lyskltvdksrwqqgnvfscsvmhealhh ytqkslslspgkggggsgggsgggsggg gsgggsggggskthtcppcpapellggp svflfppkpkdtlmisrtpevtcvvvdvsh edpevkfnwyvdgvevhnaktkpeeeygs tyrcvsvltvlhqdwlngkeykckvsnkal papiektiskakgprepqvytlppsreem tknqvsltclvkgyfypsdiavewesngqpe nnykttppvldsdsfflyskltvdksrwq qgnvfscsvmhealhhnytqkslslspgk</p>
490.	FL_12xCD3- scFc	VH CDR1	narmgvs
491.	FL_12xCD3- scFc	VH CDR2	hifsndeksyrtslks
492.	FL_12xCD3- scFc	VH CDR3	ivgygsgwyayfdy
493.	FL_12xCD3- scFc	VL CDR1	rasqgirndlg
494.	FL_12xCD3-	VL CDR2	aasslqs

	scFc		
495.	FL_12xCD3-scFc	VL CDR3	lqhnsyplt
496.	FL_12xCD3-scFc	VH	qvtlkesgpalvkptqtltlctfsgfsls narmgvswirppgkalewlahifsndeks yrtslksrletiskdtsksqvltmtndpv dtatyycarivgygsgwyayfdywgqgtlv tvss
497.	FL_12xCD3-scFc	VL	diqmtqspsslsasvgrvtitcrasqgir ndlgwyqqkpgkapkriyaasslqsgvps rfsgsgsgteftltisslqpedfatyyclq hnsypltfgggtkveik
498.	FL_12xCD3-scFc	scFv	qvtlkesgpalvkptqtltlctfsgfsls narmgvswirppgkalewlahifsndeks yrtslksrletiskdtsksqvltmtndpv dtatyycarivgygsgwyayfdywgqgtlv tvssggggsgggsgggsgdiqmtqspssl sasvgrvtitcrasqgirndlgwyqqkpg kapkriyaasslqsgvpsrfsgsgsgtef tltisslqpedfatyyclqhnsypltfggg tkveiks
499.	FL_12xCD3-scFc	Биспецифическая молекула	qvtlkesgpalvkptqtltlctfsgfsls narmgvswirppgkalewlahifsndeks yrtslksrletiskdtsksqvltmtndpv dtatyycarivgygsgwyayfdywgqgtlv tvssggggsgggsgggsgdiqmtqspssl sasvgrvtitcrasqgirndlgwyqqkpg kapkriyaasslqsgvpsrfsgsgsgtef tltisslqpedfatyyclqhnsypltfggg tkveiksggggseqlvesggglvqpggsl klscaasgftfnkyamnvrqapgglewv arirskynnyatyadsvkdrftisrddsk ntaylqmnnlktedavyycvrhgnfgnsy isywaywgqgtlvtvssggggsgggsggg gsqtvvtqepsltvspggtvltcgsstga

			vtsgnypnwvqqkpgqaprgliggtkflap gtparfsgsllggkaaltlsgvqpedeaey ycvlfwysnrwvfgggtkltvl
500.	FL_12xCD3- scFc	Биспецифи- ческая молекула HLE	qvtlkesgpalvkptqtltlctfsgfsls narmgvswirppgkalewlahifsndeks yrtslksrsltiskdtsksqvvtmtnmdpv dtatyycarivgygsgwyayfdywgggtlv tvssggggsgggsggggsdiqmtqspssl sasvgdrvtitcrasqgirndlgwyqqkpg kapkriyaasslqsgvpsrfsfgsgsgtef tltisslqpedfatyyclqhnsypltfggg tkveiksggggsevqlvesggglvqpggsl klscaasgftfnkyamnwrqapgkglewv arirskynnyatyadsvkdrftisrddsk ntaylqmnlnktdtavyycvrhgnfgnsy isywaywgggtlvsvssggggsgggsggg gsqvtvtqepsltvspggtvtltcgsstga vtsgnypnwvqqkpgqaprgliggtkflap gtparfsgsllggkaaltlsgvqpedeaey ycvlfwysnrwvfgggtkltvlgggdktht cpcpapellggpsvflfppkpkdtlmisr tpevtcvvvdvshedpevkfnwyvdgvevh naktkpceeegygstyrcvsvltvlhqdwln gkeykckvsnkalpapiektiskakgpre pqvytlppsreemtknqvsltclvkgfyps diavewesngqpennykttppvldsdgsff lyskltdksrwqqgnvfscsvmhealnhh ytqkslslspgkggggsgggsgggsggg gsgggsggggskthtcpcpapellggp svflfppkpkdtlmisrtpevtcvvvdvsh edpevkfnwyvdgvevhnaktkpceeqygs tyrcvsvltvlhqdwlngkeykckvsnk apiektiskakgprepqvytlppsreem tknqvsltclvkgfypsdiavewesngqpe nnykttppvldsdgsfflyskltdksrwq

			qgnvfscsvmhealhnhytqkslspsgk
501.	FL_12_CCxCD 3-scFc	VH	qvtlkesgpalvkptqtltlctfsgfsls narmgvswirppgkclewlahifsndeks yrtslksrsltiskdtsksqvltmtndpv dtatyycarivgygsgwyayfdywgqgtlv tvss
502.	FL_12_CCxCD 3-scFc	VL	diqmtqspsslsasvqdrvtitcrasqgir ndlgwyqqkpgkapkrliyaasslqsgvps rfsgsgsgteftltisslqpedfatyyclq hnsypltfgcgkveik
503.	FL_12_CCxCD 3-scFc	scFv	qvtlkesgpalvkptqtltlctfsgfsls narmgvswirppgkclewlahifsndeks yrtslksrsltiskdtsksqvltmtndpv dtatyycarivgygsgwyayfdywgqgtlv tvssggsgggsgggsgggsgdiqmtqspssl sasvqdrvtitcrasqgirndlgwyqqkpg kapkrliyaasslqsgvpsrfsgsgsgtef tltisslqpedfatyyclqhnsypltfgcg tkveiks
504.	FL_12_CCxCD 3-scFc	Биспецифи ческая молекула	qvtlkesgpalvkptqtltlctfsgfsls narmgvswirppgkclewlahifsndeks yrtslksrsltiskdtsksqvltmtndpv dtatyycarivgygsgwyayfdywgqgtlv tvssggsgggsgggsgggsgdiqmtqspssl sasvqdrvtitcrasqgirndlgwyqqkpg kapkrliyaasslqsgvpsrfsgsgsgtef tltisslqpedfatyyclqhnsypltfgcg tkveiksggggseqlvesggglvqpggsl klscaasgftfnkyamnwvrqapkglewv arirskynnyatyadsvkdrftisrddsk ntaylqmnnlktedavyycvrhgnfgnsy isywaywgqgtlvsvssggsgggsgggsggg gsqvtvtqepsltvspggtvtltcgsstga vtsgnypnwvqqkpgqaprgliggtkflap gtparfsgsllggkaaltlsgvqpedeaey

			ycvlwysnrwvfgggtkltvl
505.	FL_12_CCxCD 3-scFc	Биспецифическая молекула HLE	<p> qvtlkesgpalvkptqtltlctfsgfsls narmgvswirppgkclewlahifsndeks yrtslksrlltiskdtsksqvvlmtmndpv dtatyycarivgygsgwyayfdywgggtlv tvssggggsgggsgggsgdiqmtqspssl sasvgdrvtitcrasqgirndlgwyqqkpg kapkrliyaasslqsgvpsrfsrgsggtef tltisslqpedfatyyclqhnsypltfcg tkveiksggggsevqlvesggglvqpggsl klscaasgftfnkyamnwrqapgkglewv arirskynnyatyadsvkdrftisrddsk ntaylqmnllktdtavyycvrhgnfgnsy isywaywgggtlvsvssggggsgggsggg gsqvtvtqepsltvspggvtltcgsstga vtsgnypnwvqqkpgqaprgliggtkflap gtparfsgsllggkaaltlsgvqpedeae ycvlwysnrwvfgggtkltvlgggdktht cppcpapellggpsvflfppkpkdtlmsr tpevtcvvvdvshdpevkfnwyvdgvevh naktkpceeqqgstyrcvsvltvlhqdwln gkeykckvsnkalpapiektiskakgpre pqvytlppsreemtknqvslclvkgfyys diavewesngqpennykttppvldsdgsff lyskltvdksrwqggnvfscsvmhealhh ytqkslslspgkgggsgggsgggsggg gsgggsgggsgdkthtcppcpapellggp svflfppkpkdtlmsrtpevtcvvvdvsh edpevkfnwyvdgvevhnaktkpceeqys tyrcvsvltvlhqdwlngkeykckvsnk apiektiskakgprepqvytlppsreem tknqvslclvkgfyysdiavewesngqpe nnykttppvldsdgsfflyskltvdksrwq qgnvfscsvmhealhhnytqkslslspgk </p>
506.	FL_13xCD3-	VH CDR1	narmgvs

	scFc		
507.	FL_13xCD3-scFc	VH CDR2	liywnddkryspslks
508.	FL_13xCD3-scFc	VH CDR3	mvgygsgwyayfdy
509.	FL_13xCD3-scFc	VL CDR1	rasqgirndlg
510.	FL_13xCD3-scFc	VL CDR2	aasslqs
511.	FL_13xCD3-scFc	VL CDR3	lqhnsyplt
512.	FL_13xCD3-scFc	VH	qvtlkesgpvlvkptqtltlctfsqfsls narmgvswirppgkalewlaliywddkr yspslksrltitkdtksknqvltmtndpv dtatyycarmvgygsgwyayfdywgqgtlv tvss
513.	FL_13xCD3-scFc	VL	diqmtqspsslsasvgdrvtitcrasqgir ndlgwyqqkpgkapkrliyaasslqsgvps rfsgsgsgteftltisslqpedfatyyclq hnsypltfgggtkveik
514.	FL_13xCD3-scFc	scFv	qvtlkesgpvlvkptqtltlctfsqfsls narmgvswirppgkalewlaliywddkr yspslksrltitkdtksknqvltmtndpv dtatyycarmvgygsgwyayfdywgqgtlv tvssggggsgggsggggsdiqmtqspssl sasvgdrvtitcrasqgirndlgwyqqkpg kapkrliyaasslqsgvpsrfsgsgsgtef tltisslqpedfatyyclqhnsypltfggg tkveiks
515.	FL_13xCD3-scFc	Биспецифическая молекула	qvtlkesgpvlvkptqtltlctfsqfsls narmgvswirppgkalewlaliywddkr yspslksrltitkdtksknqvltmtndpv dtatyycarmvgygsgwyayfdywgqgtlv tvssggggsgggsggggsdiqmtqspssl sasvgdrvtitcrasqgirndlgwyqqkpg

		<p>kapkrliyaasslqsgvpsrfsqsgsgtef tltisslqpedfatyyclqhnsypltfggg tkveiksggggsevqlvesggglvqpggsl klscaasgftfnkyamnvrqapgglewv arirskynnyatyadsvkdrftisrddsk ntaylqmnlnktdtavyycvrhgnfgnsy isywaywgqgtlvtvssggggsgggsggg gsqtvtqepsltvspggtvltcgsstga vtsgnypnwvqqkpgqaprgliggtkflap gtparfsgsllggkaaltlsgvqpedeae ycvlwysnrwvfgggtkltvl</p>
<p>516.</p>	<p>FL_13xCD3- scFc</p>	<p>Биспецифическая молекула HLE</p> <p>qvtlkesgpvlvktqtltltctfsgfsls narmgvswirppgkalewlaliywnddkr yspslksrltitkdtsknqvltmtndpv dtatyycarmvgygsgwyayfdywgqgtlv tvssggggsgggsgggsgggdiqmtqspssl sasvgdrvtitcrasqgirndlgwyqqkpg kapkrliyaasslqsgvpsrfsqsgsgtef tltisslqpedfatyyclqhnsypltfggg tkveiksggggsevqlvesggglvqpggsl klscaasgftfnkyamnvrqapgglewv arirskynnyatyadsvkdrftisrddsk ntaylqmnlnktdtavyycvrhgnfgnsy isywaywgqgtlvtvssggggsgggsggg gsqtvtqepsltvspggtvltcgsstga vtsgnypnwvqqkpgqaprgliggtkflap gtparfsgsllggkaaltlsgvqpedeae ycvlwysnrwvfgggtkltvlgggdktht cppcpapellggpsvflfppkpkdtlmisr tpevtcvvvdvshedpevkfnwyvdgvevh naktkpceeqqgstyrcvsvltvlhqdwln gkeykckvsnkalpapiektiskakgqpre pqvytlppsreemtknqvsltclvkgyfyps diavewesngqpennykttppvldsdgsff lyskltvdksrwqqgnvfscsvmhealnhh</p>

			ytqkslsislspgkggggsgggsgggsgggsggg gsgggsgggsgdkthtcppcpapellggp svflfppkpktlmlisrtpevtcvvvdvsh edpevkfnwyvdgvevhnaktkpceeqygs tyrcvsvltvlhqdwlngkeykckvsnkal papiektiskakgpprepqvylppsreem tknqvsltclvkgfypsdiavewesngqpe nnykttppvldsdsfflyskltvdksrwq qgnvfscsvmhealhnhytqkslsislspgk
517.	FL_13_CCxCD 3-scFc	VH	qvtlkesgpvlvkptqtltlctfsgfsls narmgvswirpppgkclewlaliywnddkr yspslksrltitkdtsknqvvtmtndpv dtatyycarmvgygsgwyayfdywgqgtlv tvss
518.	FL_13_CCxCD 3-scFc	VL	dqmtqspsslsasvgrvtitcrasqgir ndlgwyqqkpgkapkriyaasslqsgvps rfsgsgsgteftltisslqpedfatyyclq hnsypltfgcgkveik
519.	FL_13_CCxCD 3-scFc	scFv	qvtlkesgpvlvkptqtltlctfsgfsls narmgvswirpppgkclewlaliywnddkr yspslksrltitkdtsknqvvtmtndpv dtatyycarmvgygsgwyayfdywgqgtlv tvssggggsgggsgggsgggsgdiqmtqspssl sasvgrvtitcrasqgirndlgwyqqkpg kapkriyaasslqsgvpsrfsgsgsgtef tltisslqpedfatyyclqhnsypltfgcg tkveiks
520.	FL_13_CCxCD 3-scFc	Биспецифи ческая молекула	qvtlkesgpvlvkptqtltlctfsgfsls narmgvswirpppgkclewlaliywnddkr yspslksrltitkdtsknqvvtmtndpv dtatyycarmvgygsgwyayfdywgqgtlv tvssggggsgggsgggsgggsgdiqmtqspssl sasvgrvtitcrasqgirndlgwyqqkpg kapkriyaasslqsgvpsrfsgsgsgtef tltisslqpedfatyyclqhnsypltfgcg

			tkveiksggggsevqlvesggglvqpggs1 klscaasgftfnkyamnwwrqapgglew arirskynnyatyadsvkdrftisrddsk ntaylqmnlnktdtavyycvrhgnfgnsy isywaywqggtlvtvssgggsgggsggg gsqtvvtqepsltvspggtvtltcgsstga vtsgnypnwvqqkpgqaprgliggtkflap gtparfsgsllggkaaltlsgvqpedeaey ycvlwysnrwvfgggtkltvl
521.	FL_13_CCxCD 3-scFc	Биспецифи ческая молекула HLE	qvtlkesgpvlvktqtltltctfsgfsls narmgvswirppgkclewlaliywnddkr yspslksrltitkdtsknqvltmtnmdpv dtatyycarmvgygsgwyayfdywqggtlv tvssgggsgggsgggsgggsdiqmtqspssl sasvgdrvtitcrasqgirndlgwyqqkpg kapkriyaasslqsgvpsrfsfgsgsgtef tltisslqpedfatyyclqhnsypltfcg tkveiksggggsevqlvesggglvqpggs1 klscaasgftfnkyamnwwrqapgglew arirskynnyatyadsvkdrftisrddsk ntaylqmnlnktdtavyycvrhgnfgnsy isywaywqggtlvtvssgggsgggsggg gsqtvvtqepsltvspggtvtltcgsstga vtsgnypnwvqqkpgqaprgliggtkflap gtparfsgsllggkaaltlsgvqpedeaey ycvlwysnrwvfgggtkltvlgggdktht cppcpapellggsvflfppkpkdtlmisr tpevtcvvvdvshedpevkfnwyvdgvevh naktkpceeegystyrcvsvltvlhqdwln gkeykckvsnkalpapiektiskakgqpre pqvytlppsreemtknqvsltclvkgfyps diavewesngqpennykttpvldsdsff lyskltvdksrwqqgnvfscsvmhealnhh ytqkslslspgkgggsgggsgggsggg gsgggsgggsgdkthtcppcpapellgpp

			svflfppkpkdtlmsrtpevtcvvvdvsh edpevkfnwyvdgvevhnaktkpcceeqygs tyrcvsvltvlhqdwlngkeykckvsnkakl papiektiskakggprepqvvtlppsreem tknqvsltclvkgfypsdiavewesnggpe nnykttppvldsdsqsflyskltvdksrwq qgnvfscsvmhealhhnytqkslsispgk
522.	FL_14xCD3- scFc	VH CDR1	narmgvs
523.	FL_14xCD3- scFc	VH CDR2	hifsndeksystemsks
524.	FL_14xCD3- scFc	VH CDR3	ivgygtgwygffdy
525.	FL_14xCD3- scFc	VL CDR1	rtsqgirndlg
526.	FL_14xCD3- scFc	VL CDR2	aasslqs
527.	FL_14xCD3- scFc	VL CDR3	lqhnsyplt
528.	FL_14xCD3- scFc	VH	Qvtlkesgpalkvptqtltlctfsgfsls narmgvswirppgkalewlahifsndeks ytslksrsltiskdtsksqvvtmtmdpe dtatyycarivgygtgwygffdywgqgilv tvss
529.	FL_14xCD3- scFc	VL	diqmtqspsslsasvgrvtitcrtsqgir ndlgwyqqkpgkapkriyaasslqsgvps rfsgsgsgteftltisslqpedfatyyclq hnsypltfgggtkveik
530.	FL_14xCD3- scFc	scFv	Qvtlkesgpalkvptqtltlctfsgfsls narmgvswirppgkalewlahifsndeks ytslksrsltiskdtsksqvvtmtmdpe dtatyycarivgygtgwygffdywgqgilv tvssggsgsgsgsgsgsgsdqmtqspssl sasvgrvtitcrtsqgirndlgwyqqkpg kapkriyaasslqsgvpsrfsgsgsgtef

			tltisslqpedfatyyclqhnsypltfggg tkveiks
531.	FL_14xCD3- scFc	Биспецифи ческая молекула	Qvtlkesgpalvkptqtltlctfsgfsls narmgvswirppgkalewlahifsndeks ytslksrsltiskdtsksqvvlmtmdmpe dtatyycarivgygtgwygffdywgqgilv tvssggggsgggsggggsdiqmtqspssl sasvgdrvtitcrtsqgirndlgwyqqkpg kapkriyaasslqsgvpsrfsrgsggtef tltisslqpedfatyyclqhnsypltfggg tkveiksggggsevqlvesggglvqpggsl klscaasgftfnkyamnwrqapggglewv arirskynnyatyadsvkdrftisrddsk ntaylqmnnlktedtavyycvrhgnfgnsy isywaywqggtlvtvssggggsgggsggg gsqvtvtqepsltvspggtvltcgsstga vtsgnypnwvqqkpgqaprgliggtkflap gtparfsgsllggkaaltlsgvqpedeae ycvlwysnrwvfgggtklvtl
532.	FL_14xCD3- scFc	Биспецифи ческая молекула HLE	Qvtlkesgpalvkptqtltlctfsgfsls narmgvswirppgkalewlahifsndeks ytslksrsltiskdtsksqvvlmtmdmpe dtatyycarivgygtgwygffdywgqgilv tvssggggsgggsggggsdiqmtqspssl sasvgdrvtitcrtsqgirndlgwyqqkpg kapkriyaasslqsgvpsrfsrgsggtef tltisslqpedfatyyclqhnsypltfggg tkveiksggggsevqlvesggglvqpggsl klscaasgftfnkyamnwrqapggglewv arirskynnyatyadsvkdrftisrddsk ntaylqmnnlktedtavyycvrhgnfgnsy isywaywqggtlvtvssggggsgggsggg gsqvtvtqepsltvspggtvltcgsstga vtsgnypnwvqqkpgqaprgliggtkflap gtparfsgsllggkaaltlsgvqpedeae

			<p>ycvwlwysnrwvfgggtkltvlggggdktht cppcpapellggpsvflfppkpkdtlmisr tpevtcvvvdvshedpevkfnwyvdgvevh naktkpceezygstyrcvsvltvlhqdwln gkeykckvsnkakpapiektiskakgqpre pqvytlppsreemtknqvslclvkgfyps diavewesngqpennyktppvldsdsff lyskltvdkrswqqgnvfscsvmhealnhh ytqkslslspgkggggsgggsgggsggg gsgggsgggsgdkthtcppcpapellggp svflfppkpkdtlmisrtpevtcvvvdvsh edpevkfnwyvdgvevhnaktkpceezygs tyrcvsvltvlhqdwlngkeykckvsnkak papiektiskakgqprepvytlppsreem tknqvslclvkgfypsdiavewesngqpe nnyktppvldsdsfflyskltvdkrswq qgnvfscsvmhealnhhytqkslslspgk</p>
533.	FL_14_CCxCD 3-scFc	VH	<p>qvtlkesgpalkvptqtltlctfsgfsls narmgvswirppgkclewlahifsndeks ystslksrlltiskdtsksqvltmtmdpe dtatyycarivgygtgwygffdywgqgilv tvss</p>
534.	FL_14_CCxCD 3-scFc	VL	<p>diqmtqspsslsasvgrvtitcrtsqgir ndlgwyqqkpgkapkrliyaasslqsgvps rfsgsgsgteftltisslqpedfatyyclq hnsypltfgcgtkveik</p>
535.	FL_14_CCxCD 3-scFc	scFv	<p>qvtlkesgpalkvptqtltlctfsgfsls narmgvswirppgkclewlahifsndeks ystslksrlltiskdtsksqvltmtmdpe dtatyycarivgygtgwygffdywgqgilv tvssggggsgggsgggsgdiqmtqspssl sasvgrvtitcrtsqgirndlgwyqqkpg kapkrliyaasslqsgvpsrfsgsgsgtef tltisslqpedfatyyclqhnsypltfgcg tkveiks</p>

536.	FL_14_CCxCD 3-scFc	Биспецифическая молекула	<pre> qvtlkesgpalvkptqtltlctfsgfsls narmgvswirpppgkclewlahifsndeks ystslksrsltiskdtsksqvltmtdmdpe dtatyycarivgygtgwygffdywgqgilv tvssggggsgggsgggsgggdiqmtqspssl sasvgdrvtitcrtsqgirndlgwyqqkpg kapkrliyaasslqsgvpsrfsqsgsgtef tltisslqpedfatyyclqhnsypltfgcg tkveiksggggseqlvesggglvqpggs1 klscaasgftfnkyamnwrqapgkglewv arirskynnyatyadsvkdrftisrddsk ntaylqmnlnktdtavyycvrhgnfgnsy isywaywqggtlvtvssggggsgggsggg gsqtvvtqepsltvspggtvltcgsstga vtsgnypnwvqqkpgqaprgliggtkflap gtparfsgsllggkaaltlsgvqpedeae ycvlwysnrwvfgggtkltvl </pre>
537.	FL_14_CCxCD 3-scFc	Биспецифическая молекула HLE	<pre> qvtlkesgpalvkptqtltlctfsgfsls narmgvswirpppgkclewlahifsndeks ystslksrsltiskdtsksqvltmtdmdpe dtatyycarivgygtgwygffdywgqgilv tvssggggsgggsgggsgggdiqmtqspssl sasvgdrvtitcrtsqgirndlgwyqqkpg kapkrliyaasslqsgvpsrfsqsgsgtef tltisslqpedfatyyclqhnsypltfgcg tkveiksggggseqlvesggglvqpggs1 klscaasgftfnkyamnwrqapgkglewv arirskynnyatyadsvkdrftisrddsk ntaylqmnlnktdtavyycvrhgnfgnsy isywaywqggtlvtvssggggsgggsggg gsqtvvtqepsltvspggtvltcgsstga vtsgnypnwvqqkpgqaprgliggtkflap gtparfsgsllggkaaltlsgvqpedeae ycvlwysnrwvfgggtkltvlgggdktht cpcpapellggpsvflfppkpkdtlmisr </pre>

			tpevtcvvvdvshedpevkfnwyvdgvevh naktkpceezygstyrcvsvltvlhqdwln gkeykckvsnkalpapiektiskakgpre pqvytlppsreemtknqvsltclvkgfyps diavewesngqpennykttppvldsdsff lyskltvdksrwqgnvfscsvmhealthnh ytqkslslspgkggggsgggsgggsggg gsgggsgggsgdkthtcppcpapellgpp svflfppkpkdtlmisrtpevtcvvvdvsh edpevkfnwyvdgvevhnaktkpceezygs tyrcvsvltvlhqdwlngkeykckvsnkal papiektiskakgprepqvytlppsreem tknqvsltclvkgfypsdiavewesngqpe nnykttppvldsdsfflyskltvdksrwq qgnvfscsvmhealthnhytqkslslspgk
538.	FL_15xCD3- scFc	VH CDR1	sygmh
539.	FL_15xCD3- scFc	VH CDR2	visyegsnefyaesvkg
540.	FL_15xCD3- scFc	VH CDR3	ggeitmvrvgigyyyygmdv
541.	FL_15xCD3- scFc	VL CDR1	rasqsissyln
542.	FL_15xCD3- scFc	VL CDR2	aasslqs
543.	FL_15xCD3- scFc	VL CDR3	lqhnsyplt
544.	FL_15xCD3- scFc	VH	qvqlvesgggvvqgrslrlscaasgftfs sygmhwvrqapggkglewvavisyegsnefy aesvkgrftisrdnskntlylqmnsraed tavyyccarggeitmvrvgigyyyygmdvwg qgttvtvss
545.	FL_15xCD3- scFc	VL	diqmtqspsslsasvgrvtitcrasqsis sylvnyqqkpgkapklliyaasslqsgvps rfsgsgsgteftltisslqpedfatyyclq

			hnsypltfgggtkveik
546.	FL_15xCD3- scFc	scFv	qvqlvesgggvvqgrslrlscaasgftfs sygmhwrqapgglewvavisyegsnefy aesvkgrftisrdnskntlylqmnsraed tavyycarggeitmvrvgivyyyygmdvwg qgttvtvsggggsgggsggggsdiqmtq spsslsasvgrvtitcrasqsissylnwy qqkpgkapklliyaasslqsgvpsrfsqsg sgteftltisslqpedfatyyclqhnsypl tfgggtkveiks
547.	FL_15xCD3- scFc	Биспецифи ческая молекула	qvqlvesgggvvqgrslrlscaasgftfs sygmhwrqapgglewvavisyegsnefy aesvkgrftisrdnskntlylqmnsraed tavyycarggeitmvrvgivyyyygmdvwg qgttvtvsggggsgggsggggsdiqmtq spsslsasvgrvtitcrasqsissylnwy qqkpgkapklliyaasslqsgvpsrfsqsg sgteftltisslqpedfatyyclqhnsypl tfgggtkveiksggggsevqlvesggglvq pggslklscaasgftfnkyamnwrqapgk glewvarirskynnyatyadsvkdrftis rddskntaylqmnlktedtavyycvrhgn fgnsyisywaywqggtlvtvsggggsggg gggggsgtvtvtqcpstvsppgtvtltcg sstgavtsgnypnwvqqkpgqaprgliggt kflapgtparfsgsllggkaaltlsgvqpe deaeyycvlwysnrwvfgggtkltvl
548.	FL_15xCD3- scFc	Биспецифи ческая молекула HLE	qvqlvesgggvvqgrslrlscaasgftfs sygmhwrqapgglewvavisyegsnefy aesvkgrftisrdnskntlylqmnsraed tavyycarggeitmvrvgivyyyygmdvwg qgttvtvsggggsgggsggggsdiqmtq spsslsasvgrvtitcrasqsissylnwy qqkpgkapklliyaasslqsgvpsrfsqsg sgteftltisslqpedfatyyclqhnsypl

			<p>tfgggtkveiksggggsevqlvesggglvq pggslklscaasgftfnkyamnwvrqapgk glewvarirskynnyatyadsvkdrftis rddskntaylqmnnlktedtavyycvrhgn fgnsyisywaywgqgtlvtvssgggsggg gsgggsgtvtvtqepsltvspggtvtltcg sstgavtsgnypnwqqkpgqaprgliggt kflapgtparfsgsllggkaaltlsgvqpe deaeyycvlwysnrwvfgggtkltvlgggg dkthtcppcpapellggpsvflfppkpkdt lmisrtpevtcvvvdvshedpevkfnwyvd gvevhnaktkpeeeygstyrcvsvltvlh qdwlngkeykckvsnkalpapiektiskak gqprepvytlppsreemtnqvsltclvk gfypsdiavewesngqpennykttpvlds dgsfflyskltvdksrwqqgnvfscsvmhe alhnhytqkslslspgkgggsgggsggg gsgggsgggsgggsggskthtcppcpape llggpsvflfppkpkdtlmisrtpevtcvv vdvshedpevkfnwyvdgvevhnaktkpe eqygstyrcvsvltvlhqdwlngkeykckv snkalpapiektiskakgqprepvytlpp sreemtnqvsltclvkgfypsdiavewes ngqpennykttpvlds dgsfflyskltvd ksrwqqgnvfscsvmhealnhytqkslsl spgk</p>
549.	FL_15_CCxCD 3-scFc	VH	<p>qvqlvesgggvvqgrslrlscaasgftfs sygmhwvrqapgkclewvavisyegsnefy aesvkgrftisrdnskntlylqmnsraed tavyyccarggeitmvrgvigyyyygmdvwg qgttvtvss</p>
550.	FL_15_CCxCD 3-scFc	VL	<p>diquqtqspsslsasvgrvtitcrasqsis sylvnyqqkpgkapklliyaasslqsgvps rfgsgsgteftltisslqpedfatyyclq hnsypltfgcgtkveik</p>

551.	FL_15_CCxCD 3-scFc	scFv	qvqlvesgggvvqpgrslrlscaasgftfs sygmhwrqapgkclewvavisyegsnefy aevkgrftisrdnskntlylqmnsraed tavyycarggeitmvrvgivyyyygmdvwg qgttvtvssgggsgggsgggsgdiqmtq spsslsasvgrvtitcrasqsissylnwy qqkpgkapklliyaasslqsgvpsrfsqsg sgteftltisslqpedfatyyclqhnsypl tfgcgkveiks
552.	FL_15_CCxCD 3-scFc	Биспецифи ческая молекула	qvqlvesgggvvqpgrslrlscaasgftfs sygmhwrqapgkclewvavisyegsnefy aevkgrftisrdnskntlylqmnsraed tavyycarggeitmvrvgivyyyygmdvwg qgttvtvssgggsgggsgggsgdiqmtq spsslsasvgrvtitcrasqsissylnwy qqkpgkapklliyaasslqsgvpsrfsqsg sgteftltisslqpedfatyyclqhnsypl tfgcgkveiksggggsevqlvesggglvq pggslklscaasgftfnkyamnwvrqapgk glewvarirskynnyatyadsvkdrftis rddskntaylqmnlktdtavyycvrhgn fgnsyisywaywgqgtlvtvssgggsggg gsgggsgtvtvqepsltvspggtvtltcg sstgavtsgnypnwvqqkpgqaprgliggt kflapgtparfsgsllggkaaltlsgvqpe deaeycwlwysnrwvfgggtkltvl
553.	FL_15_CCxCD 3-scFc	Биспецифи ческая молекула HLE	qvqlvesgggvvqpgrslrlscaasgftfs sygmhwrqapgkclewvavisyegsnefy aevkgrftisrdnskntlylqmnsraed tavyycarggeitmvrvgivyyyygmdvwg qgttvtvssgggsgggsgggsgdiqmtq spsslsasvgrvtitcrasqsissylnwy qqkpgkapklliyaasslqsgvpsrfsqsg sgteftltisslqpedfatyyclqhnsypl tfgcgkveiksggggsevqlvesggglvq

			<p>pggslklscaasgftfnkyamnvrqapgk glewvarirskynnyatyadsvkdrftis rddskntaylqmnlnktdtavyycvrhgn fgnsyisywaywgggtlvtvssgggsggg gsgggsgtvtvtqepsltvspggtvtltcg sstgavtsgnypnwvqqkpgqaprgliggt kflapgtparfsgsllggkaaltlsgvqpe deaeyycvlwysnrwvfgggtkltvlgggg dkthtccppcapellggpsvflfppkpkdt lmisrtpevtcvvvdvshedpevkfnwyvd gvevhnaktkpcceeygstyrcvsvltvlh qdwlngkeykckvsnkalpapiektiskak gqprepvytlppsreemtknqvsltclvk gfypsdiavewesngqpennyktppvlds dgsfflyskltvdksrwqgnvfscsvmhe alhnhytqkslslspgkgggsgggsggg gsgggsgggsgggsgggskthtccppcape llggpsvflfppkpkdtlmisrtpevtcvv vdvshedpevkfnwyvdgvevhnaktkpc eeygstyrcvsvltvlhqdwlngkeykckv snkalpapiektiskakgqprepvytlpp sreemtknqvsltclvkgyfypsdiavewes ngqpennyktppvlds dgsfflyskltvd ksrwqgnvfscsvmhealhnhytqkslsl spgk</p>
<p>554.</p>	<p>FL_1xCD3- scFc_delGK</p>	<p>Биспецифи ческая молекула HLE</p>	<p>qvtlkesgpalvkptetltltctvsgfsls narmgvswirppgkalewlanifsndeks ystslksrletiskgtsksqvvtmtndpe dtatyycarivgygsgwygyfdywgqgtlv tvssgggsgggsgggsgggsgdiqmtqspssl sasvgdrvtitcrasqgirndlgwyqqkpg kapqrliyaasslqsgvpsrfsrgsgsgtef tltisslqpedfatyyclqhnsypltfggg tkveiksggggsevqlvesggglvqpggsl klscaasgftfnkyamnvrqapgglewv</p>

			<p>arirskynnyatyadsvkdrftisrddsk ntaylqmnlnktdtavyycvrhgnfgnsy isywaywqggtlvtvssggggsgggsggg gsqtvvtqepsltvspggtvtltcgsstga vtsgnypnwvqqkpgqaprgliggtkflap gtparfsgsllggkaaltlsgvqpedeae ycvlwysnrwvfgggtkltvlgggdktht cppcpapellggpsvflfppkpkdtlmisr tpevtcvvvdvshedpevkfnwyvdgvevh naktkpceeegystyrcsvltvlhqdwn gkeykckvsnkalspapiektiskakgpre pqvytlppsreemtknqvsltclvkgfyps diavewesngqpennykttppvldsdsff lyskltvdksrwqggnvfscsvmhealnhh ytqkslslspggggsgggsgggsgggsgg ggggsgggsgdkthtcppcpapellggpsv flfppkpkdtlmisrtpevtcvvvdvshed pevkfnwyvdgvevhnaktkpceeegysty rcsvltvlhqdwnlgkeykckvsnkalspa piektiskakgqprepvytlppsreemtk nqvsltclvkgfypsdiavewesngqpenn yktppvldsdsfflyskltvdksrwqgg nvfscsvmhealnhhtqkslslspgk</p>
<p>555.</p>	<p>FL_1_CCxCD3 -scFc_delGK</p>	<p>Биспецифи ческая молекула HLE</p>	<p>qvtlkesgpalkvktetltltctvsgfsls narmgvswirpppgkclewlanifsndeks ystslksriltiskgtsksqvltmtndpe dtatyycarivgygsgwygyfdywgqgtlv tvssggggsgggsgggsgggsgggsggg sasvgdrvtitcrasqgirndlgwyqqkpg kapqrliyaasslqsgvpsrfsrgsgstef tltisslqpedfatyyclqhnsypltfgcg tkveiksggggseqlvesggglvqpggsl klscaasgftfnkyamnwrqapgkglewv arirskynnyatyadsvkdrftisrddsk ntaylqmnlnktdtavyycvrhgnfgnsy</p>

			<p>isywaywgqgtlvtvssgggsgggsggg gsqtvvtqepsltvspggtvtltcgsstga vtsgnypnwvqqkpgqaprgliggtkflap gtparfsgsllggkaaltlsgvqpedeae ycvlwysnrwvfgggtkltvlgggdktht cppcpapellggpsvflfppkpkdtlmisr tpevtcvvvdvshedpevkfnwyvdgvevh naktkpceezygstyrcvsvltvlhqdwn gkeykckvsnkalpapiektiskakgpre pqvytlppsreemtknqvsltclvkgfyps diavewesngqpennykttppvldsdsff lyskltvdksrwqggnvfscsvmhealnhh ytqkslslspgggsgggsgggsgggsggg gggsgggsggdkthtcppcpapellggpsv flfppkpkdtlmisrtpevtcvvvdvshed pevkfnwyvdgvevhnaktkpceezygsty rcvsvltvlhqdwnlgkeykckvsnkalpa piektiskakgprepqvytlppsreemtk nqvsltclvkgfypsdiavewesngqpenn yktppvldsdsfflyskltvdksrwqgg nvfscsvmhealnhhytqkslslspgk</p>
556.	FL_2xCD3- scFc_delGK	Биспецифи ческая молекула HLE	<p>qvtlkesgptlvkptetlvtlctlsqfsln narmgvswirqppgkalewlahifsndeks ystslknrltiskdssktqvvtmtndpv dtatyycarivgygsgwygffdywgqgtlv tvssgggsgggsgggsgggsdiqmtqspssl sasvgdrvtitcrasqgirndlgwyqqkpg kapkriiyaastlqsgvpsrfsqsgstef tltisslqpedfatyyclqhnsypltfggg tkveiksggggsevqlvesggglvqpggsl klscaasgftfnkyamnvrqapkgglewv arirskynnyatyadsvkdrftisrddsk ntaylqmnnlktedavyycvrhgnfgnsy isywaywgqgtlvtvssgggsgggsggg gsqtvvtqepsltvspggtvtltcgsstga</p>

			<p>vtsgnypnwvqqkpgqaprgliggtkflap gtparfsgsllggkaaltlsgvqpedeae ycvlywnrwwfgggtklvtlvgggdktht cppcpapellggpsvflfppkpkdtlmisr tpevtcvvvdvshedpevkfnwyvdgvevh naktkpceeegystyrcvsvltvlhqdwln gkeykckvsnkalpapiektiskakgqpre pqvytlppsreemtknqvsltclvkgyfyps diavewesngqpennykttppvldsdsff lyskltvdksrwqqgnvfscsvmhealnhh ytqkslslspggggsgggsgggsgggsgg ggggsgggsgdkthtcppcpapellggpsv flfppkpkdtlmisrtpevtcvvvdvshed pevkfnwyvdgvevhnaktkpceeegysty rcvsvltvlhqdwlngkeykckvsnkalpa piektiskakgqprepvytlppsreemtk nqvsltclvkgyfypsdiavewesngqpenn ykttppvldsdsfflyskltvdksrwqqg nvfscsvmhealnhhytqkslslspgk</p>
<p>557.</p>	<p>FL_2_CCxCD3 -scFc_delGK</p>	<p>Биспецифи ческая молекула HLE</p>	<p>qvtlkesgptlvkptetltlctlsqfsln narmgvswirppgkclewlahifsndeks ytslknrltiskdssktqvvlmtndvpv dtatyycarivgygsgwygffdywgqgtlv tvssggggsgggsgggsgggsgggsggg sasvgdrvtitcrasqgirndlgwyqqkpg kapkrliyaastlqsgvpsrfsqsgsgtfe tltisslqpedfatyyclqhnsypltfqcg tkveiksggggsevqlvesggglvqpggsl klscaasgftfnkyamnwwrqapgglewv arirskynnyatyadsvkdrftisrddsk ntaylqmnnlktedtavyycvrhgnfgnsy isywaywgqgtlvtvssggggsgggsggg gsqvtvtqepsltvspggtvtltcgsstga vtsgnypnwvqqkpgqaprgliggtkflap gtparfsgsllggkaaltlsgvqpedeae</p>

		<p>ycvlwysnrwvfgggtkltvlggggdktht cppcpapellggpsvflfppkpkdtlmisr tpevtcvvvdvshedpevkfnwyvdgvevh naktkpceeeygstyrcsvlvtvlhqdwln gkeykckvsnkalpapiektiskakgqpre pqvytlppsreemtknqvsltclvkgyfyps diavewesngqpennyktppvldsdsff lyskltvdksrwqqgnvfscsvmhealnhh ytqkslsispgggsgggsgggsgggsgggsg ggggsgggsgdkthtcppcpapellggpsv flfppkpkdtlmisrtpevtcvvvdvshed pevkfnwyvdgvevhnaktkpceeeygsty rcsvlvtvlhqdwlngkeykckvsnkalsa piektiskakgqprepvytlppsreemtk nqvsltclvkgyfypsdiavewesngqpenn yktppvldsdsfflyskltvdksrwqqg nvfscsvmhealnhhtqkslsispgk</p>
<p>558.</p>	<p>FL_3xCD3- scFc_delGK</p>	<p>Биспецифи ческая молекула HLE</p> <p>qvtlkesgpalvkptetltltctlsqfsln narmavswirppgktlewlahifsndeks ystslksrsltiskdtskgqvltmtndpv dtatyycarivgygsgwygyfdywgqgtlv tvssggggsgggsgggsgggsgggsgggsg sasvgdrvtitcrasqdirndlgwyqqkpg kapkrliyaastlqsgvpsrfsqsgsgtef tltisslqpedfatyyclqhnasypltfggg tkveiksggggsevqlvesggglvqpggsl klscaasgftfnkyamnwrqapgglewv arirskynnyatyadsvkdrftisrddsk ntaylqmnlnktdtavyycvrhgnfgnsy isywaywgqgtlvtvssggggsgggsggg gsqtvvtqepsltvspggtvtltcgsstga vtsgnypnwvqqkpgqaprgliggtkflap gtparfsgsllggkaaltlsgvqpedeae ycvlwysnrwvfgggtkltvlggggdktht cppcpapellggpsvflfppkpkdtlmisr</p>

			<p>tpevtcvvvdvshedpevkfnwyvdgvevh naktkpceeegygstyrcvsvltvlhqdwln gkeykckvsnkalpapiektiskakgqpre pqvytlppsreemtknqvsltclvkgyfyps diavewesngqpennykttppvldsdsff lyskltvdksrwqqgnvfscsvmhealthnh ytqkslslspggsgggsgggsgggsgggsg ggggsgggsgdkthtcppcpapellggpsv flfppkpkdtlmisrtpevtcvvvdvshed pevkfnwyvdgvevhnaktkpceeegygsty rcvsvltvlhqdwlngkeykckvsnkalpa piektiskakgqprepvytlppsreemtk nqvsltclvkgyfypsdiavewesngqpenn yktppvldsdsfflyskltvdksrwqqg nvfscsvmhealthnhytqkslslspgk</p>
<p>559.</p>	<p>FL_3_CCxCD3 -scFc_delGK</p>	<p>Биспецифи ческая молекула HLE</p>	<p>qvtlkesgpalvkptetltltctlsqfsln narmavswirppgkclewlahifsndeks ytslksrsltiskdtskgqvltmtndpv dtatyycarivgygsgwygyfdywgqgtlv tvssggsgggsgggsgggsgggsgggsg sasvgdrvtitcrasqdirndlgwyqqkpg kapkrliyaastlqsgvpsrfsqsgsgtef tltisslqpedfatyyclqhnsypltfqcg tkveiksggggsevqlvesggglvqpggsl klscaasgftfnkyamnvrqapgkglewv arirskynnyatyadsvkdrftisrddsk ntaylqmnlnktdtavyycvrhgnfgnsy isywaywgqgtlvtvssggsgggsgggsggg gsqtvtqepsltvspggtvtltcgsstga vtsgnypnwvqqkpgqaprgliggtkflap gtparfsgsllggkaaltlsgvqpedeae ycvlwysnrwvfgggtkltvlgggdktht cppcpapellggpsvflfppkpkdtlmisr tpevtcvvvdvshedpevkfnwyvdgvevh naktkpceeegygstyrcvsvltvlhqdwln</p>

		<p>gkeykckvsnkalpapiektiskakgpre pqvytlppsreemtknqvsltclvkgyfyps diavewesngqpennykttppvldsdsff lyskltvdksrwqqgnvfscsvmhealthnh ytqkslslspgggsgggsgggsgggsgggsg gggsgggsgdkthtcppcpapellggpsv flfppkpkdtlmisrtpevtcvvvdvshed pevknwvydgvvehnaktkpceezygsty rcvsvltvlhqdwlngkeykckvsnkalpa piektiskakgprepqvytlppsreemtk nqvsltclvkgyfypsdiavewesngqpenn ykttppvldsdsfflyskltvdksrwqqg nvfscsvmhealthnhytqkslslspgk</p>
<p>560.</p>	<p>FL_4xCD3- scFc_delGK</p>	<p>Биспецифи ческая молекула HLE</p> <p>qvtlkesgpalvkptetltlctlsqfsln nakmgvswirppgkalewlahifsndeks ystslksrlytiskdtskqgvvltmtndpv dtatyycarivgygsgwygyfdywgqgtlv tvssgggsgggsgggsgggsgggsgggsg sasvgdrvtitcrasqdirddlgyqqkpg napkriygastlqsgvpsrfsqsgstef tltisslqpedfatyyclqhnsypltfggg tkvdiksggggsevqlvesggglvqpggsl klscaasgftfnkyamnwrqapgkglewv arirskynnyatyadsvkdrftisrddsk ntaylqmnlnktdtavyycvrhgnfgnsy isywaywgqgtlvtvssgggsgggsgggsg gsqtvtqepsltvspggtvltcgsstga vtsgnypnwvqqkpgqaprgliggtkflap gtparfgsllggkaaltlsgvqpedeaey ycvlwysnrwvfgggtklvtlvgggdktht cppcpapellggpsvflfppkpkdtlmisr tpevtcvvvdvshedpevknwvydgvveh naktkpceezygstyrcvsvltvlhqdwln gkeykckvsnkalpapiektiskakgpre pqvytlppsreemtknqvsltclvkgyfyps</p>

			<p>diavewesngqpennykttppvldsdsff lyskltvdksrwqqgnvfscsvmhealhh ytqkslslsppgggsgggsgggsggggs gggsgggsgdkthtcppcpapellggpsv flfppkpkdtlmsrtpevtcvvvdvshed pevknwvydgvvevhnaktkpceeegsty rcvsvltvlhqdwlngkeykckvsnkalpa piektiskakgqprepvytlppsreemtk nqvsltclvkgfypsdiavewesngqpenn ykttppvldsdsfflyskltvdksrwqqg nvfscsvmhealhhytqkslslspgk</p>
<p>561.</p>	<p>FL_4_CCxCD3 -scFc_delGK</p>	<p>Биспецифи ческая молекула HLE</p>	<p>qvtlkesgalvktetltltctlsfgsln nakmgvswirppgkclewlahifsndeks ystslksrsltiskdtskgqvltmtndpv dtatyycarivgygsgwygyfdywgqgtlv tvssgggsgggsgggsgggsgggsggg sasvgdrvtitcrasqdirddlgyqqkpg napkrliygastlqsgvpsrfsrgsggtf tltisslqpedfatyyclqhnsypltfgcg tkvdiksggggsevqlvesggglvqpgsl klscaasgftfnkyamnvrqapgkglew arirskynnyatyadsvkrftisrddsk ntaylqmnnlktedtavyycvrhgnfgnsy isywaywgqgtlvtvssgggsgggsggg gsqtvtqepsltvspggtvltcgsstga vtsgnypnwvqqkpgqaprgliggtkflap gtparfsgsllggkaaltlsgvqpedeay ycvlwysnrwvfgggtklvtlvgggdktht cppcpapellggpsvflfppkpkdtlmsr tpevtcvvvdvshedpevknwvydgvveh naktkpceeegstyrcvsvltvlhqdwln gkeykckvsnkalpиеktiskakgqpre pqvytlppsreemtknqvsltclvkgfyps diavewesngqpennykttppvldsdsff lyskltvdksrwqqgnvfscsvmhealhh</p>

			<p>flfppkpkdtlmsrtpevtcvvvdvshed pevkfnwyvdgvevhnaktkpceeegysty rcvsvltvlhqdwlngkeykckvsnkalpa piektiskakggprepqvytlppsreemtk nqvsltclvkgfypsdiavewesngqpenn yktppvldsdsfflyskltvdksrwqgg nvfscsvmhealhnhytqkslsispkg</p>
563.	<p>FL_5_CCxCD3 -scFc_delGK</p>	<p>Биспецифи ческая молекула HLE</p>	<p>qvtlkesgpvlvkptetltltctvsgfslr narmavswirppgkclewlahifsndeks ytslksrsltiskdtsksqvltmtnmdpv dtatyycarivgygsgwygyfdywgqgtlv tvssggggsgggsgggsgggdiqmtqspssv sasvgdrvtitcrasqdirydlawyqqkpg kapkriyaasslqsgvpsrfsrgsgstef tltisslqpedfatyyclqhnfypltfcg tkveiksggggsevqlvesggglvqpggsl klscaasgftfnkyamwvrqapgkglewv arirskynnyatyadsvkdrftisrddsk ntaylqmnnlktedtavyycvrhgnfgnsy isywaywgqgtlvtvssggggsgggsggg gsqvtvtqepsltvspggtvltlctgsstga vtsgnypnwvqkpgqaprgliggtkflap gtparfsgsllggkaaltlsgvqpedeae ycvlwysnrwvfgggtklvtlvgggdktht cppcpapellggpsvflfppkpkdtlmsr tpevtcvvvdvshedpevkfnwyvdgvev naktkpceeegystyrcvsvltvlhqdwln gkeykckvsnkalpapiektiskakggpre pqvytlppsreemtknqvsltclvkgfyps diavewesngqpennyktppvldsdsff lyskltvdksrwqggnvfscsvmhealhn ytqkslsispggggsgggsgggsgggsg ggggsgggsgdkthtcppcpapellggpsv flfppkpkdtlmsrtpevtcvvvdvshed pevkfnwyvdgvevhnaktkpceeegysty</p>

			rcvsvltvlhqdwlngkeykckvsnkalpa piektiskakgqprepqvylppsreemtk nqvsltclvkgfypsdiavewesngqpenn yktppvldsdsfflyskltvdksrwqqg nvfscsvmhealhhnytqkslslspgk
564.	FL_6xCD3- scFc_delGK	Биспецифи- ческая молекула HLE	qvtlkesgpvlvktqtltltctfsgfsls narmgvswirppgkalewlahifsndeks fstslknrltiskdtsksqvltmtndpv dtatyycarmvgygsgwyayfdywgqgtqv tvssggggsgggsgggsgggsgggsgggsg sasvgdrvtitcrasqsissylnwyqqkpg kapklliyaasslqsgvpsrfsqsgsgtdf tltisslqpedfatyyclqhnsypltfggg tkveiksggggsevqlvesggglvqpggsl klscaasgftfnkyamnvrqapgkglewv arirskynnyatyadsvkdrftisrddsk ntaylqmnlnktdtavyycvrhgnfgnsy isywaywgqgtlvtvssggggsgggsgggg gsqvtvtqepsltvspggtvltlctgsstga vtsgnypnwvqqkpgqaprgliggtkflap gtparfsgsllggkaaltlsgvqpedeae ycvlwysnrwvfgggtkltvlggggdktht cppcpapellggpsvflfppkpkdtlmisr tpevtcvvvdvshedpevkfnwyvdgvevh naktkpceezygstyrcvsvltvlhqdwl gkeykckvsnkalpapiektiskakgpre pqvylppsreemtknqvsltclvkgfyps diavewesngqpennyktppvldsdsff lyskltvdksrwqqgnvfscsvmhealhh ytqkslslspgggsgggsgggsgggsgggsg ggggsgggsgdkthtcppcpapellggpsv flfppkpkdtlmisrtpevtcvvvdvshed pevkfnwyvdgvevhnaktkpceezygsty rcvsvltvlhqdwlngkeykckvsnkalpa piektiskakgqprepqvylppsreemtk

			nqvsltclvkgfypsdiavewesngqpenn ykttpvldsdsfflyskltvdksrwqqg nvfscsvmhealhnhytqkslsispkg
565.	FL_6_CCxCD3 -scFc_delGK	Биспецифи ческая молекула HLE	qvtlkesgpvlvkptqtltlctfsgfsls narmgvswirppgkclewlahifsndeks fstslknrltiskdtsksqvltmtndpv dtatyycarmvgygsgwyayfdywgggtqv tvssggggsgggsgggsgggsgggsggg sasvgdrvtitcrasqsissylnwyqqkpg kapklliyaasslqsgvpsrfsrgsgsgtdf tltisslqpedfatyyclqhnsypltfcg tkveiksggggsevqlvesggglvqpggsl klscaasgftfnkyamnwrqapkglew arirskynnyatyadsvkdrftisrddsk ntaylqmnlnktdtavyycvrhgnfgnsy isywaywgggtlvtvssggggsgggsggg gsqtvtqepsltvspggtvtltcgsstga vtsgnyrnwvqkpgqaprgliggtkflap gtparfsgsllggkaaltlsgvqpedeae ycvlwysnrwvfgggtklvtlvgggdktht cpcpapellggpsvflfppkpkdtlmisr tpevtcvvvdvshedpevkfnwyvdgvevh naktkpcceeqgstyrcsvltvlhqdwln gkeykckvsnkalpapiektiskakgpre pqvytlppsreemtknqvsltclvkgfyps diavewesngqpennykttpvldsdsff lyskltvdksrwqqgnvfscsvmhealhn ytqkslsispggggsgggsgggsgggsg ggggsgggsgdkthtcpcpapellggpsv flfppkpkdtlmisrtpevtcvvvdvshed pevkfnwyvdgvevhnaktkpcceeqgsty rcsvltvlhqdwlngkeykckvsnkalpa piektiskakgprepqvytlppsreemtk nqvsltclvkgfypsdiavewesngqpenn ykttpvldsdsfflyskltvdksrwqqg

			nvfscsvmhealhnhytqkslsispkg
566.	FL_7xCD3- scFc_delGK	Биспецифи ческая молекула HLE	<p> qvtlkesgptlvkptetltltctvsgfsln narmgvswirqppgkalewlahifsndeks ystslknrltiskdssktqvvlmtnvdpv dtatyycarivgygtgwfyfydywgqgtqv tvssggggsgggsgggsgggdiqmtqspssl sasvgdrvtitcrasqdirtdlawyqqkpg kapkrliyaasslqsgvpsrfgsgsgtef tltisslqpedfatyyclqhnrypltfggg tkvdiksggggsevqlvesggglvppgsl klscaasgftfnkyamnvrqapggglewv arirskynnyatyadsvkdrftisrddsk ntaylqmnlnktdtavyycvrhgnfgnsy isywaywgqgtlvtvssggggsgggsggg gsqvtvtqepsltvspggtvltlctgsstga vtsgnypnwvqqkpgqaprgliggtkflap gtparfsgslggkaaltlsgvqpedeae ycvlwysnrwvfgggtkltvlggggdktht cppcpapellggpsvflfppkpkdtlmisr tpevtcvvvdvshedpevkfnwyvdgvevh naktkpceeegystyrcvsvltvlhqdwln gkeykckvsnkalspapiektiskakgpre pqvytlppsreemtknqvsltclvkgfyfys diavewesngqpennykttppvldsdgsff lyskltvdksrwqqgnvfscsvmhealhn ytqkslsispggggsgggsgggsgggsg ggggsgggsgdkthtcppcpapellggpsv flfppkpkdtlmisrtpevtcvvvdvshed pevkfnwyvdgvevhnaktkpceeegysty rcvsvltvlhqdwlngkeykckvsnkalsp piektiskakgprepqvytlppsreemtk nqvsltclvkgfyfysdiavewesngqpenn yktppvldsdgsfflyskltvdksrwqqg nvfscsvmhealhnhytqkslsispkg </p>
567.	FL_7_CCxCD3	Биспецифи	qvtlkesgptlvkptetltltctvsgfsln

	-scFc_delGK	чешская молекула HLE	narmgvswirqppgkclewlahifsndeks ydstlknrltiskdssktqvvlmtntnvdpv dtatyycarivgygtgwfgyfdywgqgtqv tvssggggsgggsgggsgdiqmtqspssl sasvgdrvtitcrasqdirtdlawyqqkpg kapkrliyaasslqsgvpsrfsrgsgstef tltisslqpedfatyyclqhnrypltfgcg tkvdiksggggsevglvesggglvqpggsl klscaasgftfnkyamnwwrqpapkglewv arirskynnyatyadsvkdrftisrddsk ntaylqmnlnktdtavyycvrhgnfgnsy isywaywgqgtlvtvssggggsgggsggg gsqvtvtqepsltvspggtvtltcgsstga vtsgnypnwvqkpgqaprgliggtkflap gtparfsgsllggkaaltlsgvqpedeaey ycvlwysnrwvfgggtkltvlgggdktht cppcpapellggpsvflfppkpkdtlmisr tpevtcvvvdvshedpevkfnwyvdgvevh naktkpcceeqgstyrcvsvltvlhqdwln gkeykckvsnkalpapiektiskakgpre pqvytlppsreemtknqvsltclvkgfyps diavewesngqpennykttppvldsdgsff lyskltdksrwqqgnvfscsvmhealnhh ytqkslslspggggsgggsgggsggggs ggggsgggsgdkthtcppcpapellggpsv flfppkpkdtlmisrtpevtcvvvdvshed pevkfnwyvdgvevhnaktkpcceeqgsty rcvsvltvlhqdwlngkeykckvsnkalpa piektiskakgqprepqvytlppsreemtk nqvsltclvkgfypsdiavewesngqpenn yktppvldsdgsfflyskltdksrwqqg nfvscsvmhealnhhytqkslslspgk
568.	FL_8xCD3- scFc_delGK	Биспецифи чешская молекула	qvtlkesgpalkvptetltltctlsqfsln narmavswirqppgkclewlahifsndeks ydstlksrltiskdtsksqvvlmtntmdpe

		<p>sasvgdrvtitcrasqgirndlawyqqkpg kapkrliyaasslqsgvpsrfsqsgsgtef tltisslqpedfatyyclqhnsypltfqcg tkveiksggggseqlvesggglvqpggsl klscaasgftfnkyamnwrqapggkglewv arirskynnyatyadsvkdrftisrddsk ntaylqmnlnktdtavyycvrhgnfgnsy isywaywqggtlvtvssgggsgggsggg gsqvtvtqepsltvspggtvtltcgsstga vtsgnypnwvqqkpgqaprgliggtkflap gtparfsgsllggkaaltlsgvqpedeae ycvlwysnrwvfgggtkltvlgggdktht cppcpapellggpsvflfppkpkdtlmisr tpevtcvvvdvshedpevkfnwyvdgvevh naktkpceeeggstyrcvsvltvlhqdwln gkeykckvsnkalspapiektiskakgpre pqvytlppsreemtknqvsltclvkgfyps diavewesngqpennykttppvldsdsff lyskltvdksrwqqgnvfscsvmhealhh ytqkslslspgggsgggsgggsgggsgggs gggsgggsgdkthtcppcpapellggpsv flfppkpkdtlmisrtpevtcvvvdvshed pevkfnwyvdgvevhnaktkpceeeggsty rcvsvltvlhqdwlngkeykckvsnkalsp piektiskakgprepqvytlppsreemtk nqvsltclvkgfypsdiavewesngqpenn yktppvldsdsfflyskltvdksrwqqg nvfscsvmhealhhytqkslslspgk</p>
<p>570.</p>	<p>FL_9xCD3- scFc_delGK</p>	<p>Биспецифическая молекула HLE</p> <p>qvtlkesgptlvkptetliltctfsgfslr yarmgvswirppgkalewlahifsndeks ytslksriltiskdtsksqvvltltnmdp dtatyfcarmpeyssgwsqafdiwggqtmv tvssgggsgggsgggsgggsgggsgggssl sasvgdrvtitcrasqdirndlawyqqkpg kapkrliyaasslqsgvpsrfsqsgsgtef</p>

			<p>tltisslqpedfatyyclqhnsypltfggg tkleiksggggsevqlvesggglvqpggs1 klscaasgftfnkyamnwvrqapgkglewv arirskynnyatyadsvkdrftisrddsk ntaylqmnlnktdtavyycvrhgnfgnsy isywaywgqgtlvtvssgggsgggsggg gsqtvtqepsltvspggtvtltcgsstga vtsgnypnwqqkpgqaprgliggtkflap gtparfsgsllggkaaltlsgvqpedeae ycvlwysnrwvfgggtkltvlgggdktht cppcpapellggpsvflfppkpkdtlmsr tpevtcvvvdvshedpevkfnwyvdgvev naktkpceeegystyrcvsvltvlhqdwn gkeykckvsnkalpapiektiskakgpre pqvytlppsreentknqvsltclvkgfyps diavewesngqpennykttppvldsdsff lyskltvdksrwqqgnvfscsvmhealnhh ytqkslslspgggsgggsgggsgggsggs gggsgggsgdkthtcppcpapellggpsv flfppkpkdtlmsrtpevtcvvvdvshed pevkfnwyvdgvevhnaktkpceeegsty rcvsvltvlhqdwnlgkeykckvsnkalpa piektiskakgqprepvytlppsreentk nqvsltclvkgfypsdiavewesngqpenn yktppvldsdsfflyskltvdksrwqqg nvfscsvmhealnhhtqkslslspgk</p>
<p>571.</p>	<p>FL_9_CCxCD3 -scFc_delGK</p>	<p>Биспецифи ческая молекула HLE</p>	<p>qvtlkesgptlvkptetliltctfsgfslr yarmgvswirppgkclewlahifsndeks ystslksrlltiskdtsksqvvtltnmdp dtatyfcarmpeyssgwsqafdiwgqtmv tvssgggsgggsgggsgggsgggsgggss1 sasvgdrvtitcrasqdirndlawyqqkpg kapkrliyaasslqsgvpsrfsqsgsgtef tltisslqpedfatyyclqhnsypltfgcg tkleiksggggsevqlvesggglvqpggs1</p>

			<p> klscaasgftfnkyamnwrqapgkglew arirskynnyatyadsvkdrftisrddsk ntaylqmnlnktdtavyycvrhgnfgnsy isywaywgqgtlvtvssgggsgggsggg gsqtvtqepsltvspggtvtltcgsstga vtsgnypnwvqkpgqaprgligntkflap gtparfsgsllggkaaltlsgvqpedeaey ycvlwysnrwvfgggtkltvlgggdktht cppcpapellggpsvflfppkpkdtlmisr tpevtcvvvdvshedpevkfnwyvdgvevh naktkpceeegystyrcvsvltvlhqdwln gkeykckvsnkalpapiektiskakgpre pqvytlppsreemtknqvsltclvkgfyps diavewesngqpennykttppvldsdsff lyskltvdksrwqqgnvfscsvmhealthnh ytqkslslspgggsgggsgggsgggsgg gggsgggsgdkthtcppcpapellggpsv flfppkpkdtlmisrtpevtcvvvdvshed pevknwyvdgvevhnaktkpceeegysty rcvsvltvlhqdwlngkeykckvsnkalpa piektiskakgprepqvytlppsreemtk nqvsltclvkgfypsdiavewesngqpenn ykttppvldsdsfflyskltvdksrwqgg nvfscsvmhealthnhytqkslslspgk </p>
572.	FL_10xCD3- scFc_delGK	Биспецифи- ческая молекула HLE	<p> qvtlkesgpvlvkptetltltctvsgfsfr narmgvswirppgkalewlahifsndeks ystslksrlltiskdtsksqvvtltnmdpv dtatyfcarmpeyssgwsafdiwgqtmv tvssgggsgggsgggsgggsgggsgggsg sasvgdrvtitcrasqdirddlgwyqqkpg napkrllygastlqsgvpsrfsrgsgstef tltisslqpedfatyyclqhnsypltfggg tkvdiksgggsevqlvesggglvqpggsl klscaasgftfnkyamnwrqapgkglew arirskynnyatyadsvkdrftisrddsk </p>

			<p>ntaylqmnlnktdtavyycvrhgnfgnsy isywaywqggtlvtvssgggsgggsggg gsqtvtqepsltvspggtvtltcgsstga vtsgnypnwvqqkpgqaprgligntkflap gtparfsgsllggkaaltlsgvqpedeae ycvlwysnrwvfgggtklvtlgggdktht cppcpapellggpsvflfppkpkdtlmisr tpevtcvvvdvshedpevkfnwyvdgvevh naktkpceeegystyrcvsvltvlhqdwn gkeykckvsnkalpapiektiskakgqpre pqvytlppsreemtknqvsltclvkgfyps diavewesngqpennyktppvldsdsff lyskltvdksrwqqgnvfscsvmhealthnh ytqkslslspgggsgggsgggsgggsgg gggsgggsgdkthtcppcpapellggpsv flfppkpkdtlmisrtpevtcvvvdvshed pevknwyvdgvevhnaktkpceeegysty rcvsvltvlhqdwnlgkeykckvsnkalpa piektiskakgqprepvytlppsreemtk nqvsltclvkgfypsdiavewesngqpenn yktppvldsdsfflyskltvdksrwqqg nvfscsvmhealthnhytqkslslspgk</p>
<p>573.</p>	<p>FL_10_CCxCD 3- scFc_delGK</p>	<p>Биспецифи ческая молекула HLE</p>	<p>qvtlkesgpvlvkptetltltctvsgfsfr narmgvswirppgkclewlahifsndeks ystslksrletiskdtsksqvvtltnmdp dtatyfcarmpeysgsgafdiwgggtmv tvssgggsgggsgggsgggsgggsggg sasvgdrvtitcrasqdirddlgwyqqkpg napkrliygastlqsgvpsrfsqsgsgtef tltisslqpedfatyyclqhnasypltfcg tkvdiksgggsevqlvesggglvqpggsl klscaasgftfnkyamnvrqapgkglewv arirskynnyatyadsvkdrftisrddsk ntaylqmnlnktdtavyycvrhgnfgnsy isywaywqggtlvtvssgggsgggsggg</p>

			<p>gsqtvvtqepsltvspggtvtltcgsstga vtsngnypnwvqqkpgqaprgliggtkflap gtparfsgsllggkaaltlsgvqpedeae ycvlwysnrwvfgggtklvtlggggdktht cppcpapellggpsvflfppkpkdtlmisr tpevtcvvvdvshedpevkfnwyvdgvevh naktkpceeeygstyrcsvltvlhqdwl gkeykckvsnkalpapiektiskakgqpre pqvytlppsreemtknqvsclvkgfyfys diavewesngqpennyktppvldsdsff lyskltvdksrwqqgnvfscsvmhealnhh ytqkslslspggsgggsgggsgggsgggsg ggsgsgggsgdkthtcppcpapellggpsv flfppkpkdtlmisrtpevtcvvvdvshed pevkfnwyvdgvevhnaktkpceeeygsty rcsvltvlhqdwlngkeykckvsnkappa piektiskakgqprepvytlppsreemtk nqvsclvkgfyfysdiavewesngqpenn yktppvldsdsfflyskltvdksrwqqg nvfscsvmhealnhhtqkslslspgk</p>
574.	FL_11xCD3- scFc_delGK	Биспецифи ческая молекула HLE	<p>qvtlkesgpalkvptetltltctvsqfsfr narmgvswirppgkalewlahifsndeks ystslksrlltiskdtsksqvvtltnmdpv dtatyfcarmpeyssgwsqafdiwgqgtmv tvssggsgggsgggsgggsgggsgggsg sasvgdrvtitcrasqdigydlgwyqqkpg kapkrliyaastlqsgvpsrfsqsgsgtef tliisslqpedfatyyclqhnspfwtfggg tkveiksggggsevqlvesggglvqpggsl klscaasgftfnkyamnwvrqapkgglewv arirskynnyatyadsvkdrftisrddsk ntaylqmnlktdtavyycvrhgnfgnsy isywaywgggtlvtvssggsgggsgggsggg gsqtvvtqepsltvspggtvtltcgsstga vtsngnypnwvqqkpgqaprgliggtkflap</p>

			<p>gtparfsgsllggkaaltlsgvqpedeae ycvlwysnrwvfgggtkltvlgggdktht cppcpapellggpsvflfppkpkdtlmisr tpevtcvvvdvshedpevkfnwyvdgvevh naktkpceeegystyrcvsvltvlhqdwln gkeykckvsnkalpapiektiskakgpre pqvytlppsreemtknqvsltclvkgfyps diavewesngqpennykttppvldsdsff lyskltvdksrwqgnvfscsvmhealthnh ytqkslslspgggsgggsgggsgggsgggsg gggsgggsgdkthtcppcpapellggpsv flfppkpkdtlmisrtpevtcvvvdvshed pevknwyvdgvevhnaktkpceeegysty rcvsvltvlhqdwlngkeykckvsnkalpa piektiskakgprepqvytlppsreemtk nqvsltclvkgfypsdiavewesngqpenn ykttppvldsdsfflyskltvdksrwqgg nvfscsvmhealthnhytqkslslspgk</p>
<p>575.</p>	<p>FL_11_CCxCD 3- scFc_delGK</p>	<p>Биспецифи ческая молекула HLE</p>	<p>qvtlkesgpalvkptetltlctvsgfsfr narmgvswirppgkclewlahifsndeks ystslksrltiskdtsksqvvtltnmdpv dtatyfcarmpeyssgwsгаfdiwggtmv tvssgggsgggsgggsgggsgggsgggsg sasvgdrvtitcrasqdigydlgwyqqkpg kapkrliyaastlqsgvpsrfsrgsgstef tliisslqpedfatyyclqhnsfpwtfgcg tkveiksggggsevqlvesggglvqpggsl klscaasgftfnkyamnwwrqaпgkglewv arirskynnyatyadsvkdrftisrddsk ntaylqmnnlktedtavyycvrhgnfgnsy isywaywgqgtlvtvssgggsgggsgggsg gsqtvtqepsltvspggtvltcgsstga vtsgnypnwvqqkpgqaprgliggtkflap gtparfsgsllggkaaltlsgvqpedeae ycvlwysnrwvfgggtkltvlgggdktht</p>

		<p>cppcpapellggpsvflfppkpkdtlmisr tpevtcvvvdvshedpevkfnwyvdgvevh naktkpceezygstyrcvsvltvlhqdwn gkeykckvsnkalpapiektiskakggpre pqvytlppsreemtknqvsltclvkgfyps diavewesngqpennykttppvldsdsff lyskltvdksrwqqgnvfscsvmhealnhh ytqkslslspggggsgggsgggsgggsg ggggsgggsgdkthtcppcpapellggpsv flfppkpkdtlmisrtpevtcvvvdvshed pevkfnwyvdgvevhnaktkpceezygsty rcvsvltvlhqdwnlgkeykckvsnkalpa piektiskakggprepqvytlppsreemtk nqvsltclvkgfypsdiavewesngqpenn ykttppvldsdsfflyskltvdksrwqqg nvfscsvmhealnhhytqkslslspgk</p>
<p>576.</p>	<p>FL_12xCD3- scFc_delGK</p>	<p>Биспецифи ческая молекула HLE</p> <p>qvtlkesgpalkvptqtltlctfsgfsls narmgvswirppgkalewlahifsndeks yrtslksrlltiskdtsksqvltmtndpv dtatyycarivgygsgwyayfdywgqgtlv tvssggggsgggsgggsgdiqmtqspssl sasvgdrvtitcrasqgirndlgwyqqkpg kapkrliyaasslqsgvpsrfsqsgsgtef tltisslqpedfatyyclqhnsypltfggg tkveiksggggsevqlvesggglvqpggsl klscaasgftfnkyamnwvrqapgglewv arirskynnyatyadsvkdrftisrddsk ntaylqmnnlktedtavyycvrhgnfgnsy isywaywgqgtlvtvssggggsgggsggg gsqtvvtqepsltvspggtvltcgsstga vtsgnypnwvqqkpgqaprgliggtkflap gtparfsgsllggkaaltlsgvqpedeaey ycvlwysnrwvfgggtklvtlvgggdktht cppcpapellggpsvflfppkpkdtlmisr tpevtcvvvdvshedpevkfnwyvdgvevh</p>

			<p>naktkpceezygstyrcvsvltvlhqdwn gkeykckvsnkalpapiektiskakgqpre pqvvtlppsreemtknqvsltclvkgfyps diavewesngqpennykttpvldsdsff lyskltvdksrwqqgnvfscsvmhealnhh ytqkslslspggggsgggsgggsgggsg ggggsgggsgdkthtcppcpapellggpsv flfppkpkdtlmisrtpevtcvvvdvshed pevkfnwyvdgvevhnaktkpceezygsty rcvsvltvlhqdwnlgkeykckvsnkalpa piektiskakgqprepqvvtlppsreemtk nqvsltclvkgfypsdiavewesngqpenn yktttpvldsdsfflyskltvdksrwqqg nfvscsvmhealnhhtqkslslspgk</p>
577.	FL_12_CCxCD 3- scFc_delGK	Биспецифи ческая молекула HLE	<p>qvtlkesgpalvkptqtltlctfsgfsls narmgvswirppgkclewlahifsndeks yrtslksrsltiskdtsksqvvtmtnmdpv datyycarivgygsgwyayfdywgggtlv tvssggggsgggsgggsgggsgggsg sasvgdrvtitcrasqgirndlgwyqqkpg kapkriyaasslqsgvpsrfsqsgsgtef tltisslqpedfatyyclqhnsypltfcg tkveiksggggsevqlvesggglvqpggsl klscaasgftfnkyamnwrqapgglewv arirskynnyatyadsvkdrftisrddsk ntaylqmnlnktdtavyycvrhgnfgnsy isywaywgggtlvsvssggggsgggsggg gsqvtvtqepsltvspggtvtltcgsstga vtsgnypnwvqqkpgqaprgliggtkflap gtparfsgsllggkaaltlsgvqpedeae ycvlwysnrwvfgggtklvtlgggdktht cppcpapellggpsvflfppkpkdtlmisr tpevtcvvvdvshedpevkfnwyvdgvev naktkpceezygstyrcvsvltvlhqdwn gkeykckvsnkalpapiektiskakgqpre</p>

		<p>pqvvtlppsreemtknqvsltclvkgyfyps diavewesngqpennykttppvldsdgsff lyskltvdksrwqqgnvfscsvmhealthnh ytqkslsislpgggsgggsgggsgggsgggsg gggsgggsgdkthtcppcpapellggpsv flfppkpkdtlmisrtpevtcvvvdvshed pevknwvyvdgvevhnaktkpceeegysty rcvsvltvlhqdwlngkeykckvsnkalpa piektiskakgqprepvvtlppsreemtk nqvsltclvkgyfypsdiavewesngqpenn ykttppvldsdgsfflyskltvdksrwqqg nvfscsvmhealthnhytqkslsislpgk</p>
<p>578.</p>	<p>FL_13xCD3- scFc_delGK</p>	<p>Биспецифическая молекула HLE</p> <p>qvltkesgpvlvkptqtltlctfsgfsls narmgvswirppgkalewlaliywddkr ypslksrltitkdtksnqvvtmtndpv dtatyycarmvgygsgwyayfdywgqtlv tvssggsgggsgggsgggsgggsgggsg sasvgdrvtitcrasqgirndlgwyqqkpg kapkrliyaasslqsgvpsrfsrgsgstef tltisslqpedfatyyclqhnsypltfggg tkveiksggggseqlvesggglvqpggsl klscaasgftfnkyamnwrqapgkglewv arirskynnyatyadsvkdrftisrddsk ntaylqmnlnktdtavyycvrhgnfgnsy isywaywgqgtlvtvssggsgggsgggsg gsqtvtqepsltvspggtvtltcgsstga vtsgnypnwvqqkpgqaprgliggtkflap gtparfsgsllggkaaltlsgvqpedeae ycvlwysnrwvfgggtkltvlgggdktht cppcpapellggpsvflfppkpkdtlmisr tpevtcvvvdvshedpevknwvyvdgvev naktkpceeegystyrcvsvltvlhqdwln gkeykckvsnkalpapiektiskakgpre pqvvtlppsreemtknqvsltclvkgyfyps diavewesngqpennykttppvldsdgsff</p>

			<p> lyskltvdksrwqqgnvfscsvmhealnhh ytqkslslsppggggsgggsgggsggggs gggsgggsgdkthtccpppapellggpsv flfppkpkdtlmisrtpevtcvvvdvshed pevknwvydgvvehnaktkpceeqygsty rcvsvltvlhqdwlngkeykckvsnkalpa piektiskakggprepqvylppsreemtk nqvsltclvkgfyfypsdiavewesngqpenn ykttppvldsdsfflyskltvdksrwqqg nvfscsvmhealnhhytqkslslsppgk </p>
579.	<p> FL_13_CCxCD 3- scFc_delGK </p>	<p> Биспецифи ческая молекула HLE </p>	<p> qvtlkesgpvlvktqtltltctfsgfsls narmgvswirppgkclewlaliywddkr ypslksrltitkdtknqvltmtnmppv dtatyycarmvgygsgwyayfdywqggtlv tvssggggsgggsgggsgggsgggsggg sasvgdrvtitcrasqgirndlgwyqqkpg kapkrliyaasslqsgvpsrfsqsgsgtef tltisslqpedfatyyclqhnsypltfcg tkveiksggggsevqlvesggglvqpggsl klscaasgftfnkyamnwrqapgkglewv arirskynnyatyadsvkdrftisrddsk ntaylqmnnkktedavyycvrhgnfgnsy isywaywgqgtlvtvssggggsgggsggg gsqtvvtqepsltvspggvtltcgsstga vtsgnypnwvqqkpgqaprgliggtkflap gtparfsgsllggkaaltlsgvqpedeae ycvlwysnrwvfgggtkltvlgggdktht cppcpapellggpsvflfppkpkdtlmisr tpevtcvvvdvshedpevknwvydgvveh naktkpceeqygstyrcvsvltvlhqdwln gkeykckvsnkalpиеktiskakggpre pqvylppsreemtknqvsltclvkgfyfyps diavewesngqpennykttppvldsdsff lyskltvdksrwqqgnvfscsvmhealnhh ytqkslslsppggggsgggsgggsggggs </p>

			<p>ggggsgggsgdkthtcppcpapellggpsv flfppkpkdtlmisrtpevtcvvvdvshed pevkfnwyvdgvevhnaktkpceeegysty rcvsvltvlhqdwlngkeykckvsnkalpa piektiskakgqprepvytlppsreemtk nqvsltclvkgfypsdiavewesngqpenn ykttppvldsdgsfflyskltvdksrwqqg nvfscsvmhealhhhtqkslslspgk</p>
580.	FL_14xCD3- scFc_delGK	Биспецифи- ческая молекула HLE	<p>Qvtlkesgpalvkptqtltltctfsgfsls narmgvswirppgkalewlahifsndeks ystslksrsltiskdtsksqvvltmtmdpe dtatyycarivgygtgwygffdywgqgilv tvssggggsgggsggggsdiqmtqspssl sasvgdrvtitcrtsqgirndlgwyqqkpg kapkriyaasslqsgvpsrfsqsgsgtef tltisslqpedfatyyclqhnsypltfggg tkveiksggggsevqlvesggglvqpggs1 klscaasgftfnkyamnvrqapkglewv arirskynnyatyadsvkdrftisrddsk ntaylqmnnlktedtavyycvrhgnfgnsy isywaywqggtlvtvssggggsgggsggg gsqvtvtqeps1tvspggtvtltcgsstga vtsgnypnwvqqkpgqaprgliggtkflap gtparfsgsllggkaaltlsgvqpedeae ycvlwysnrwvfgggtkltvlgggdktht cppcpapellggpsvflfppkpkdtlmisr tpevtcvvvdvshedpevkfnwyvdgvev naktkpceeegystyrcvsvltvlhqdwln gkeykckvsnkalpapiektiskakgqpre pqvytlppsreemtknqvsltclvkgfyps diavewesngqpennykttppvldsdgsff lyskltvdksrwqqgnvfscsvmhealhh ytqkslslspggggsgggsgggsggggs ggggsgggsgdkthtcppcpapellggpsv flfppkpkdtlmisrtpevtcvvvdvshed</p>

			<p>piektiskakgqprepqvylppsreemtk nqvsltclvkgfypsdiavewesngqpenn ykttppvldsdsfflyskltvdksrwqgg nvfscsvmhealhhnytqkslsispkg</p>
582.	FL_15xCD3- scFc_delGK	Биспецифическая молекула HLE	<p>qvqlvesgggvvqgrslrlscaasgftfs sygmhwrqapgkglewvavisyegsnefy aevkgrftisrdnskntlylqmnsraed tavyycarggeitmvrgvigyyyygmdvwg qgttvtvssgggsgggsgggsgdiqmtq spsslsasvgrvtitcrasqsissylnwy qqkpgkapklliyaasslqsgvpsrfsqsg sgteftltisslqpedfatyyclqhnsypl tfgggtkveiksggggsevqlvesggglvq pggslklscaasgftfnkyamnwvrqapgk glewvarirskynnyatyadsvkdrftis rddskntaylqmnlktedtavyycvrhgn fgnsyisywaywgqgtlvtvssgggsggg gsgggsgtvtvqpslvtvspggtvtltcg sstgavtsgnypnwqqkpgqaprgliggt kflapgtparfsgsllggkaaltlsgvqpe deaeycwlwysnrwvfgggtklvtlvggg dkthtppcpapellggpsvflfppkpkdt lmisrtpevtcvvvdvshedpevkfnwyvd gvevhnaktkpeccqygstyrcvsvltvlh qdwlngkeykckvsnkalpapiektiskak gqprepqvylppsreemtknqvsltclvk gfypsdiavewesngqpennykttppvlds dgsfflyskltvdksrwqggnvfscsvmhe alhhnytqkslsispgggsgggsgggsg gggsgggsgggsggskthtppcpapell ggpsvflfppkpkdtlmisrtpevtcvvvd vshedpevkfnwyvdgvevhnaktkpeeq ygstyrcvsvltvlhqdwlngkeykckvsn kalpapiektiskakgqprepqvylppsr eemtknqvsltclvkgfypsdiavewesng</p>

			qpennykttppvlds dgsfflyskltvdks rwqqgnvfscsvmhealhnhytqksls lsp gk
583.	FL_15_CCxCD 3- scFc_delGK	Биспецифи ческая молекула HLE	qvqlvesgggvvqpgrslrlscaasgftfs sygmhwrqapgkclewvavisyegsnefy aesvkgrftisrdnskntlylqmns lraed tavyycarggeitmvrvgivyyyygmdvwg qgttvtvssggggsgggsggggsdiqmtq spsslsasvgrvtitcrasqsissylnwy qqkpgkapklliyaasslqsgvpsrfs gsg sgteftltisslqpedfatyyclqhnsypl tfgcgkveiksggggsevqlvesggglvq pggslklscaasgftfnkyamnwvrqapgk glewvarirskynnyatyadsvkdrftis rddskntaylqmnlktdtavyycvrhgn fgnsyisywaywgqgtlvtvssggggsggg gsgggsgtvtvqepsltvspggtvtltcg sstgavtsgnypnwvqqkpgqaprgliggt kflapgtparfsgsllggkaaltlsgvqpe deaeycvlwysnrwvfgggtklvtlvgggg dkthtppcpapellggpsvflfppkpkdt lmisrtpevtcvvvdvshedpevkfnwyvd gvevhnaktkpceeqgstyrcvsvltvlh qdwlngkeykckvenkalpapiektiskak gqprepvytlppsreemtknqvs ltlclvk gfypsdiavewesngqpennykttppvlds dgsfflyskltvdksrwqqgnvfscsvmhe alhnhytqksls lspggggsgggsggggs ggggsgggsgggsgdkthtppcpapell ggpsvflfppkpkdtlmisrtpevtcvvvd vshedpevkfnwyvdgvevhnaktkpceeq ygstyrcvsvltvlhqdwlngkeykckvsn kalpapiektiskakgqprepvytlppsr eemtknqvs ltlclvkgfypsdiavewesng qpennykttppvlds dgsfflyskltvdks

			rwqqgnvfscsvmhealthnhytqkslslsp gk
584.	CD70_1_CCxC D3-scFc	VH CDR1	syams
585.	CD70_1_CCxC D3-scFc	VH CDR2	visgsggrpnnyaesvkg
586.	CD70_1_CCxC D3-scFc	VH CDR3	vdysnylffdy
587.	CD70_1_CCxC D3-scFc	VL CDR1	ragqsvrssylg
588.	CD70_1_CCxC D3-scFc	VL CDR2	gassrat
589.	CD70_1_CCxC D3-scFc	VL CDR3	qygyssppt
590.	CD70_1_CCxC D3-scFc	VH	evqllesggglvqpggslrlscaasgftfs syamswvrqapgkclewsvvisgsggrpny aesvkgrftisrdnskntlylqmnsrlded tavyycakvdysnylffdywgqgtlvtvss
591.	CD70_1_CCxC D3-scFc	VL	eivltqspgtlslspgegatlsragqsvr ssylgwyqqkpgqaprlliygassratgip drfsgsgsgtdftltisrlepedfavyycq qygysspptfgcgtkleik
592.	CD70_1_CCxC D3-scFc	scFv	evqllesggglvqpggslrlscaasgftfs syamswvrqapgkclewsvvisgsggrpny aesvkgrftisrdnskntlylqmnsrlded tavyycakvdysnylffdywgqgtlvtvss ggggsgggsggggseivltqspgtlslsp gegatlsragqsvrssylgwyqqkpgqap rlliygassratgipdrfsgsgsgtdftlt isrlepedfavyycqygysspptfgcgtkl eik
593.	CD70_1_CCxC D3-scFc	биспецифи ческая молекула	evqllesggglvqpggslrlscaasgftfs syamswvrqapgkclewsvvisgsggrpny aesvkgrftisrdnskntlylqmnsrlded tavyycakvdysnylffdywgqgtlvtvss

		<p>ggggsgggsggggseivltqspgtlslsp gegatlsragqsvrsslgywqqkpgqap rlliygassratgipdrfsgsgtdftlt isrlepedfavyyccqygyspptfgcgtkl eiksggggsevqlvesggglvqpggslkls caasgftfnkyamnvrqapgkglewvari rskynnyatyyadsvkdrftisrddsknta ylqmnlktdtavyycvrhgnfgnsyisy waywgqgtlvtvssggggsgggsgggsgq tvvtqepsltvspggtvtltcgsstgavts gnypnwvqqkpgqaprgliggtkflapgtp arfsgslggkaaltlsgvqpedeaeyycv lwysnrwvfgggtklvtl</p>
<p>594.</p>	<p>CD70_1_CCxС D3-scFc</p>	<p>биспецифи ческая HLE молекула</p> <p>evqllesggglvqpggslrlscaasgftfs syamswvrqapgkclewsvvisgsggrpny aevkgrftisrdnskntlylqmnslrdded tavyycakvdysnylffdywgqgtlvtvss ggggsgggsggggseivltqspgtlslsp gegatlsragqsvrsslgywqqkpgqap rlliygassratgipdrfsgsgtdftlt isrlepedfavyyccqygyspptfgcgtkl eiksggggsevqlvesggglvqpggslkls caasgftfnkyamnvrqapgkglewvari rskynnyatyyadsvkdrftisrddsknta ylqmnlktdtavyycvrhgnfgnsyisy waywgqgtlvtvssggggsgggsgggsgq tvvtqepsltvspggtvtltcgsstgavts gnypnwvqqkpgqaprgliggtkflapgtp arfsgslggkaaltlsgvqpedeaeyycv lwysnrwvfgggtklvtlvgggdkthtcpp cpapellggpsvflfppkpkdtlmisrtpe vtcvvvdvshedpevkfnwyvdgvevhnak tkpceeqygstyrcvsvltvlhqdwlngke ykckvsnkalpapiektiskakgqprepqv ytlppsreemtknqvsltclvkgfypsdia</p>

			vewesngqpennykttppvldsdsfflyskltvdksrwqqgnvfscsvmhealthnhytqkslslspgKggggsgggsgggsgggsgggsgggsgdkthtcppcpapellggpsvflfppkpkdtlmsirtpevtcvvvdvshedpevkfnwyvdgvevhnaktkpcceeqgstycvsvltvlhqdwlngkeykckvsnkalpapiektiskakgpprepqvvtlppsreemtknqvsltclvkgfypsdiavewesngqpennykttppvldsdsfflyskltvdksrwqqgnvfscsvmhealthnhytqkslslspgk
595.	CD70_1xCD3-scFc	VH	evqllesggglvqpggslrlscaasgftfsyamswvrqapggglewvsvisgsggrpnyaesvkgrftisrdnskntlylqmnsrldedtavyycakvdysnylffdywgqgtlvtvss
596.	CD70_1xCD3-scFc	VL	eivltqspgtlslspgagatlsragqsvrssylgwyqqkpgqaprlliygassratgipdrfsgsgsgtdftltisrlepedfavyycqygyspptfgggtkleik
597.	CD70_1xCD3-scFc	scFv	evqllesggglvqpggslrlscaasgftfsyamswvrqapggglewvsvisgsggrpnyaesvkgrftisrdnskntlylqmnsrldedtavyycakvdysnylffdywgqgtlvtvssggggsgggsggggseivltqspgtlslspgegatlsragqsvrssylgwyqqkpgqaprlliygassratgipdrfsgsgsgtdftltisrlepedfavyycqygyspptfgggtkleik
598.	CD70_1xCD3-scFc	биспецифическая молекула	evqllesggglvqpggslrlscaasgftfsyamswvrqapggglewvsvisgsggrpnyaesvkgrftisrdnskntlylqmnsrldedtavyycakvdysnylffdywgqgtlvtvssggggsgggsggggseivltqspgtlslspgegatlsragqsvrssylgwyqqkpgqaprlliygassratgipdrfsgsgsgtdftlt

			<p>isrlepedfavyyccqygysspptfgggtkl eiksggggsevqlvesggglvqpggskls caasgftfnkyamnvrqapgglewvari rskynnyatyyadvkdrftisrddsknta ylqmnlktdtavyycvrhgnfgnsyisy waywgqgtlvtvssggggsgggsgggsgq tvvtqepsltvspggtvtltcgsstgavts gnypnwvqqkpgqaprgliggtkflapgtp arfgsllggkaaltlsgvqpedeaeeycv lwysnrwvfgggtklvtl</p>
599.	CD70_1xCD3- scFc	биспецифи ческая HLE молекула	<p>evqllesggglvqpggslrlscaasgftfs syamswvrqapgglewsvvisgsggrpny aevkgrftisrdnskntlylqmnlrdded tavyycakvdysnylffdywgqgtlvtvss ggggsgggsggggseivltqspgtlslsp gegatlscragqsvrssylgwyqqkpgqap rlliygassratgipdrfsgsgsgtdftlt isrlepedfavyyccqygysspptfgggtkl eiksggggsevqlvesggglvqpggskls caasgftfnkyamnvrqapgglewvari rskynnyatyyadvkdrftisrddsknta ylqmnlktdtavyycvrhgnfgnsyisy waywgqgtlvtvssggggsgggsgggsgq tvvtqepsltvspggtvtltcgsstgavts gnypnwvqqkpgqaprgliggtkflapgtp arfgsllggkaaltlsgvqpedeaeeycv lwysnrwvfgggtklvtlvgggdkthtcpp cpapellggpsvflfppkpkdtlmsrtpe vtcvvvdvshedpevkfnwyvdgvevhnak tkpceezygstyrcvsvltvlhqdwlngke ykckvsnkalpapiektiskakgqprepqv ytlppsreemtknqvsltclvkgfypsdia vewesngqpennykttppvldsdsfflys kltvdksrwqqgnvfscsvmhealhnhytq kslsispqKggggsgggsgggsgggsg</p>

			ggsgggsgskthtppcpapellggpsvf lfppkpkdtlmisrtpevtcvvvdvshedp evkfnwyvdgvevhnaktkpceeeygstyr cvsvltvlhqdwlngkeykckvsnkalpap iektiskakgqpprepqvytlppsreemtkn qvsltclvkgfypsdiavewesngqpenny kttppvldsdsfflyskltvdksrwqqgn vfscsvmhealhnhytqkslslspgk
600.	CD70_2_CCxC D3-scFc	VH CDR1	iyams
601.	CD70_2_CCxC D3-scFc	VH CDR2	aisgsggstfyaesvkg
602.	CD70_2_CCxC D3-scFc	VH CDR3	hdysnypyfdy
603.	CD70_2_CCxC D3-scFc	VL CDR1	rasqsvrssyla
604.	CD70_2_CCxC D3-scFc	VL CDR2	gassrat
605.	CD70_2_CCxC D3-scFc	VL CDR3	qqygdlpft
606.	CD70_2_CCxC D3-scFc	VH	evqllesggglvqpggsklkscaasgftfs iyamswvrqapgkclewvsaisgsggstfy aesvkgrftisrdnskntlylqmnsdraed tavyycahdysnypyfdywgqgtlvtvss
607.	CD70_2_CCxC D3-scFc	VL	eivltqspgtlslspgeratlscrasqsvr ssylawyqqkpgqaprlliygassratgip drfsgsgsgtdftltisrlepedfavyycq qygdlpftfgcgtkleik
608.	CD70_2_CCxC D3-scFc	scFv	evqllesggglvqpggsklkscaasgftfs iyamswvrqapgkclewvsaisgsggstfy aesvkgrftisrdnskntlylqmnsdraed tavyycahdysnypyfdywgqgtlvtvss ggsgsgsgsgsgseivltqspgtlslsp geratlscrasqsvrssylawyqqkpgqap rlliygassratgipdrfsgsgsgtdftlt

			isrlepedfavyyccqygdldpftfgcgtkl eik
609.	CD70_2_CCxС D3-scFc	биспецифи ческая молекула	evqllesggglvqpggslklscaasgftfs iyamswvrqapgkclewvsaisgsggstfy aesvkgrftisrdnskntlylqmnsdraed tavyycahdysnpyfydywgqgtlvtvss ggggsgggsggggseivltqspgtlslsp geratlsctasqsvrsslawyqqkpgqap rlliygassratgipdrfsgsgsgtdftlt isrlepedfavyyccqygdldpftfgcgtkl eiksggggsevqlvesggglvqpggslkls caasgftfnkyamnwwrqapgkglewvari rskynnyatyyadsvkdrftisrddsknta ylqmnlktdtavyycvrhgnfgnsyisy waywgqgtlvtvssggggsgggsgggsgq tvvtqepsltvspggtvtltcgsstgavts gnypnwqqkpgqaprgliggtkflapgtp arfgsllggkaaltlsgvqpedeaeeycv lwysnrwvfgggtklvtl
610.	CD70_2_CCxС D3-scFc	биспецифи ческая HLE молекула	evqllesggglvqpggslklscaasgftfs iyamswvrqapgkclewvsaisgsggstfy aesvkgrftisrdnskntlylqmnsdraed tavyycahdysnpyfydywgqgtlvtvss ggggsgggsggggscivltqspgtlslsp geratlsctasqsvrsslawyqqkpgqap rlliygassratgipdrfsgsgsgtdftlt isrlepedfavyyccqygdldpftfgcgtkl eiksggggsevqlvesggglvqpggslkls caasgftfnkyamnwwrqapgkglewvari rskynnyatyyadsvkdrftisrddsknta ylqmnlktdtavyycvrhgnfgnsyisy waywgqgtlvtvssggggsgggsgggsgq tvvtqepsltvspggtvtltcgsstgavts gnypnwqqkpgqaprgliggtkflapgtp arfgsllggkaaltlsgvqpedeaeeycv

			lwysnrwvfgggtklvtlvgggdkthtcpp cpapellggpsvflfppkpkdtlmisrtpe vtcvvvdvshedpevkfnwyvdgvevhnak tkpceeeygstyrsvltvlhqdwlngke ykckvsnkalspapeiktiskakgqprepqv ytlppsreemtknqvsltclvkgfypsdi vewesngqpennykttppvldsdsfflys kltvdksrwqggnvfscsvmhealnhhtq kslsispkKggggsgggsgggsgggsg ggsgggsgdkthtcppcpapellggpsvf lfppkpkdtlmisrtpevtcvvvdvshedp evkfnwyvdgvevhnaktkpceeeygstyr cvsvltvlhqdwlngkeykckvsnkalsp iektiskakgqprepqvtylppsreemtkn qvsltclvkgfypsdiavewesngqpenny kttppvldsdsfflyskltvdksrwqggn vfscsvmhealnhhtqkslsispk
611.	CD70_2xCD3- scFc	VH	evqllesggglvqpggslklscaasgftfs iyamswvrqapggkglewvsaisgsggstfy aesvkgrftisrdnskntlylqmnsraed tavyycahdysnpyfydywgqgtlvtvss
612.	CD70_2xCD3- scFc	VL	eivltqspgtlsispgeratlsccrasqsvr ssylawyqqkpgqaprlliygassratgip drfsgsgsgtdftltisrlepedfavyycq qygdlpftfgpgtkleik
613.	CD70_2xCD3- scFc	scFv	evqllesggglvqpggslklscaasgftfs iyamswvrqapggkglewvsaisgsggstfy aesvkgrftisrdnskntlylqmnsraed tavyycahdysnpyfydywgqgtlvtvss ggggsgggsggggseivltqspgtlsisp geratlsccrasqsvrssylawyqqkpgqap rlliygassratgipdrfsgsgsgtdftlt isrlepedfavyycqygdlpftfgpgtkl eik
614.	CD70_2xCD3-	биспецифи	evqllesggglvqpggslklscaasgftfs

	scFc	чешская молекула	iyamswvrqapggklewvsaisgsggstfy aesvkgrftisrdnskntlylqmnsdraed tavyycahdysnpyfydywgqgtlvtvss ggggsgggsggggseivltqspgtlslsp geratlscrasqsvrsslawyqqkpgqap rlliygassratgipdrfsgsgsgtdftlt isrlepedfavyyccqygdlpftfgpgtkl eiksggggsevqlvesggglvqpggslkls caasgftfnkyamnvrqapggklewvari rskynnyatyyadsvkdrftisrddsknta ylqmnlktdtavyycvrhgnfgnsyisy waywgqgtlvtvssggggsgggsggggsq tvvtqepsltvspggtvtltcgsstgavts gnypnwvqqkpgqaprgliggtkflapgtp arfgsllggkaaltlsgvqpedeaeyycv lwysnrwvfgggtkltvl
615.	CD70_2xCD3- scFc	биспецифи чешская HLE молекула	evqllesggglvqpggslklscaasgftfs iyamswvrqapggklewvsaisgsggstfy aesvkgrftisrdnskntlylqmnsdraed tavyycahdysnpyfydywgqgtlvtvss ggggsgggsggggseivltqspgtlslsp geratlscrasqsvrsslawyqqkpgqap rlliygassratgipdrfsgsgsgtdftlt isrlepedfavyyccqygdlpftfgpgtkl eiksggggsevqlvesggglvqpggslkls caasgftfnkyamnvrqapggklewvari rskynnyatyyadsvkdrftisrddsknta ylqmnlktdtavyycvrhgnfgnsyisy waywgqgtlvtvssggggsgggsggggsq tvvtqepsltvspggtvtltcgsstgavts gnypnwvqqkpgqaprgliggtkflapgtp arfgsllggkaaltlsgvqpedeaeyycv lwysnrwvfgggtkltvlgggdkthtcpp cpapellggpsvflfppkpkdtlmisrtpe vtcvvvdvshedpevkfnwyvdgvevhnak

			tkpceezygstyrcvsvltvlhqdwlngke ykckvsnkalpapiektiskakgqprepqv ytlppsreemtknqvsltclvkgfypsdi vewesngqpennykttppvldsdsfflys kltvdksrwqqgnvfscsvmhealnhhtq kslsispgKggggsgggsgggsgggsg ggsgggsgdkthtppcpapellggpsvf lfppkpkdtlmisrtpevtcvvvdvshedp evkfnwyvdgvevhnaktkpeezygstyr cvsvltvlhqdwlngkeykckvsnkalpap iektiskakgqprepqvtytlppsreemtkn qvsltclvkgfypsdiavewesngqpenny kttppvldsdsfflyskltvdksrwqqgn vfscsvmhealnhhtqkslsispgk
616.	CD70_3_CCxC D3-scFc	VH CDR1	syams
617.	CD70_3_CCxC D3-scFc	VH CDR2	aigsgggrtfyaesveg
618.	CD70_3_CCxC D3-scFc	VH CDR3	hdysnypyfdy
619.	CD70_3_CCxC D3-scFc	VL CDR1	rasqsvrssyla
620.	CD70_3_CCxC D3-scFc	VL CDR2	gassrat
621.	CD70_3_CCxC D3-scFc	VL CDR3	qqygsspft
622.	CD70_3_CCxC D3-scFc	VH	evqllesgggmvpqgslrlscaasgftfs syamswvrqapgkclewvsaisgsggrtfy aesvegrftisrdnskntflqmnslraed tavyycahhdysnypyfdywgqgtlvtvss
623.	CD70_3_CCxC D3-scFc	VL	eivltqspgtlslspgeratlscrasqsvr ssylawyqqkpgqaprlliygassratgip drfsgsgsgtdftltisrlepedfavyycq qygsspftfgcgtkleik
624.	CD70_3_CCxC	scFv	evqllesgggmvpqgslrlscaasgftfs

	D3-scFc		<p>syamswvrqapgkclewvsaisgsggrtfy aesvegrftisrdnskntlflqmnsraed tavyycahdysnpyfydywgqgtlvtvss ggggsgggsggggseivltqspgtlslsp geratlscrasqsvrsslawyqqkpgqap rlliygassratgipdrfsgsgsgtdftlt isrlepedfavyyccqygsspftfgcgtkl eik</p>
625.	CD70_3_CCxC D3-scFc	биспецифическая молекула	<p>evqllesgggmvpqgslrlscaasgftfs syamswvrqapgkclewvsaisgsggrtfy aesvegrftisrdnskntlflqmnsraed tavyycahdysnpyfydywgqgtlvtvss ggggsgggsggggseivltqspgtlslsp geratlscrasqsvrsslawyqqkpgqap rlliygassratgipdrfsgsgsgtdftlt isrlepedfavyyccqygsspftfgcgtkl eiksggggsevqlvesggglvqpggslkls caasgftfnkyamnvrqapgkglewvari rskynnyatyyadsvkdrftisrddsknta ylqmnnktdtavyycvrhgnfgnsyisy waywgqgtlvtvssggggsgggsgggsgq tvvtqepsltvspggtvltcgsstgavts gnypnwqqkpgqaprgliggtkflapgtp arfgsllggkaaltlsgvqpedeaeeycv lwysnrwvfgggtklvtl</p>
626.	CD70_3_CCxC D3-scFc	биспецифическая HLE молекула	<p>evqllesgggmvpqgslrlscaasgftfs syamswvrqapgkclewvsaisgsggrtfy aesvegrftisrdnskntlflqmnsraed tavyycahdysnpyfydywgqgtlvtvss ggggsgggsggggseivltqspgtlslsp geratlscrasqsvrsslawyqqkpgqap rlliygassratgipdrfsgsgsgtdftlt isrlepedfavyyccqygsspftfgcgtkl eiksggggsevqlvesggglvqpggslkls caasgftfnkyamnvrqapgkglewvari</p>

			rskynnyatyyadsvkdrftisrddsknta ylqmnlktdtavyycvrhgnfgnsyisy waywgqgtlvtvssggggsgggsgggsgq tvvtqepsltvspggtvtltcgsstgavts gnypnwvqqkpgqaprgliggtkflapgtp arfgsllggkaaltlsgvqpedeaeycv lwysnrwvfgggtklvtlvgggdkthtcpp cpapellggpsvflfppkpkdtlmisrtp vtcvvdvshedpevkfnwyvdgvevhnak tkpceeegstycvsvltvlhqdwlngke ykckvsnkalpapiektiskakgqprepqv ytlppsreemtknqvsltclvkgfypsdi vewesngqpennykttppvldsdsfflys kltvdksrwqggnvfscsvmhealhnhytq kslsispgKggggsgggsgggsgggsg ggsgggsgskthtcppcpapellggpsvf lfppkpkdtlmisrtpvtcvvdvshedp evkfnwyvdgvevhnaktkpceeegstyc cvsvltvlhqdwlngkeykckvsnkalpap iektiskakgqprepqvtytlppsreemtkn qvsltclvkgfypsdiavewesngqpenny kttppvldsdsfflyskltvdksrwqgg vfscsvmhealhnhytqkslsispgk
627.	CD70_3xCD3- scFc	VH	evqllesgggmvpqggslrlscaasgftfs syamswvrqapgkglewvsaisgsggrtfy aesvegrftisrdnskntlflqmnsraed tavyycahdysnypyfdywgqgtlvtvss
628.	CD70_3xCD3- scFc	VL	eivltqspgtlslspgeratlscrasqsvr ssylawyqqkpgqaprlliygassratgip drfsgsgsgtdftltisrlepedfavyycq qygsspftfgpgtkleik
629.	CD70_3xCD3- scFc	scFv	evqllesgggmvpqggslrlscaasgftfs syamswvrqapgkglewvsaisgsggrtfy aesvegrftisrdnskntlflqmnsraed tavyycahdysnypyfdywgqgtlvtvss

			<p>ggggsgggsggggseivltqspgtlsisp geratlscrasqsvrsslawyqqkpgqap rlliygassratgipdrfsgsgsgtdftlt isrlepedfavyyccqygsspftfgpgtkl eik</p>
630.	CD70_3xCD3- scFc	биспецифи- ческая молекула	<p>evqllesgggmvpqggsrlrlscaasgftfs syamswvrqapggkglewvsaisgsggrtfy aesvegrftisrdnskntlflqmnsraed tavyycahhdysnpyfydywgqgtlvtvss ggggsgggsggggseivltqspgtlsisp geratlscrasqsvrsslawyqqkpgqap rlliygassratgipdrfsgsgsgtdftlt isrlepedfavyyccqygsspftfgpgtkl eiksggggsevqlvesggglvqpggslkls caasgftfnkyamnvrqapggkglewvari rskynnyatyyadsvkdrftisrddsknta ylqmnlktdtavyycvrhgnfgnsyisy waywgqgtlvtvssggggsgggsgggsgq tvvtqepsltvspggtvltlctgsstgavts gnypnwvqqkpgqaprgliggtkflapgtp arfsgslggkaaltlsgvqpedeaeeycv lwysnrwvfgggtklvtl</p>
631.	CD70_3xCD3- scFc	биспецифи- ческая HLE молекула	<p>evqllesgggmvpqggsrlrlscaasgftfs syamswvrqapggkglwvsaisgsggrtfy aesvegrftisrdnskntlflqmnsraed tavyycahhdysnpyfydywgqgtlvtvss ggggsgggsggggseivltqspgtlsisp geratlscrasqsvrsslawyqqkpgqap rlliygassratgipdrfsgsgsgtdftlt isrlepedfavyyccqygsspftfgpgtkl eiksggggsevqlvesggglvqpggslkls caasgftfnkyamnvrqapggkglewvari rskynnyatyyadsvkdrftisrddsknta ylqmnlktdtavyycvrhgnfgnsyisy waywgqgtlvtvssggggsgggsgggsgq</p>

			<p> tvvtqepsltvspggtvtltcgsstgavts gnypnwvqqkpgqaprgliggtkflapgtp arfsgslggkaaltlsgvqpedeaeycv lwysnrwvfgggtkltvlgggdkthtcpp cpapellggpsvflfppkpkdtlmisrtpe vtcvvdvshedpevkfnwyvdgvevhnak tkpceeeygstyrcvsvltvlhqdwlngke ykckvsnkalpapiektiskakgqprepqv ytlppsreemtknqvsltclvkgfypsdi vewesngqpennykttppvldsdsfflys kltvdksrwqqgnvfscsvmhealhhytq ksllslspgKggggsgggsgggsgggsg gggsgggsgdkthtcppcpapellggpsvf lfppkpkdtlmisrtpevtcvvdvshedp evkfnwyvdgvevhnaktkpceeeygstyr cvsvltvlhqdwlngkeykckvsnkalpap iektiskakgqprepqvtytlppsreemtkn qvsltclvkgfypsdiavewesngqpenny kttppvldsdsfflyskltvdksrwqqgn vfscsvmhealhhytqksllslspgk </p>
632.	CD70_4_CCxC D3-scFc	VH CDR1	syams
633.	CD70_4_CCxC D3-scFc	VH CDR2	aissgsggrtfyaesveg
634.	CD70_4_CCxC D3-scFc	VH CDR3	hdysnypyfdy
635.	CD70_4_CCxC D3-scFc	VL CDR1	rasqsirssyla
636.	CD70_4_CCxC D3-scFc	VL CDR2	gassrat
637.	CD70_4_CCxC D3-scFc	VL CDR3	qqygdlpft
638.	CD70_4_CCxC D3-scFc	VH	<p> evqllesgggmvpqggsrlrlscaasgftfs syamswvrqapgkclewvsaisgsggrtfy aesvegrftisrdnskntlylqmnsraed </p>

			tavyycakhdysnypyfdywgqgtlvtvss
639.	CD70_4_CCxC D3-scFc	VL	eivltqspgtlslspgeratlscrasqsir ssylawyqqkpgqaprlliygassratgip drfsgsgsgtdftltisrlepedfavyycq qygdlpftfgcgtkleik
640.	CD70_4_CCxC D3-scFc	scFv	evqllesgggmvpqggsrlrlscaasgftfs syamswvrqapgkclewvsaisgsggrtfy aesvegrftisrdnskntlylqmnsraed tavyycakhdysnypyfdywgqgtlvtvss ggggsgggsggggseivltqspgtlslsp geratlscrasqsirssylawyqqkpgqap rlliygassratgipdrfsgsgsgtdftlt isrlepedfavyycqygdldpftfgcgtkl eik
641.	CD70_4_CCxC D3-scFc	биспецифи ческая молекула	evqllesgggmvpqggsrlrlscaasgftfs syamswvrqapgkclewvsaisgsggrtfy aesvegrftisrdnskntlylqmnsraed tavyycakhdysnypyfdywgqgtlvtvss ggggsgggsggggseivltqspgtlslsp geratlscrasqsirssylawyqqkpgqap rlliygassratgipdrfsgsgsgtdftlt isrlepedfavyycqygdldpftfgcgtkl eiksggggsevqlvesggglvqpggslkls caasgftfnkyamnvrqapgkglewvari rskynnyatyadsvkdrftisrddsknta ylqmnlktdetavyycvrhgnfgnsyisy waywgqgtlvtvssggggsgggsgggsgq tvvtqepsltvspggtvtltcgsstgavts gnypnwvqqkpgqaprgliggtkflapgtp arfgsllggkaaltlsgvqpedeaeyycv lwysnrwvfgggtkltvl
642.	CD70_4_CCxC D3-scFc	биспецифи ческая HLE молекула	evqllesgggmvpqggsrlrlscaasgftfs syamswvrqapgkclewvsaisgsggrtfy aesvegrftisrdnskntlylqmnsraed tavyycakhdysnypyfdywgqgtlvtvss

			<p>ggggsgggsggggseivltqspgtlslsp geratlscrasqsirssylawyqqkpgqap rlliygassratgipdrfsgsgsgtdftlt isrlepedfavyyccqygdlpftfgcgtkl eiksggggsevqlvesggglvqpggslkls caasgftfnkyamnvrqapkgglewvari rskynnyatyyadsvkdrftisrddsknta ylqmnlktdtavyycvrhgnfgnsyisy waywgqgtlvtvssggggsgggsggggsq tvvtqepsiltvspggtvtltcgsstgavts gnypnwvqqkpgqaprgliggtkflapgtp arfgsllggkaaltlsgvqpedeaeeycv lwysnrwvfgggtklvtlvgggdkthtcpp cpapellggpsvflfppkpkdtlmisrtpe vtcvvdvshedpevkfnwyvdgvevhnak tkpceeegystyrcvsvltvlhqdwlngke ykckvsnkalpapiektiskakgqprepqv ytlppsreemtknqvsltclvkgfypsdia vewesngqpennykttpvldsdsfflys kltvdksrwqqgnvfscsvmhealhnhytq kslslspgKggggsgggsgggsgggsg ggsgggsgdkthtccppcpapellggpsvf lfppkpkdtlmisrtpevtcvvdvshedp evkfnwyvdgvevhnaktkpceeegystyr cvsvltvlhqdwlngkeykckvsnkalpap iektiskakgqprepqvtytlppsreemtkn qvsltclvkgfypsdiavewesngqpenny kttpvldsdsfflyskltvdksrwqqgn vfscsvmhealhnhytqkslslspgk</p>
643.	CD70_4xCD3- scFc	VH	<p>Evqllesgggmvgpggslrlscaasgftfs syamswvrqapkgglewvsaisgsggrtgy aesvegrftisrdnskntlylqmnsraed tavyycahdysnypyfdywgqgtlvtvss</p>
644.	CD70_4xCD3- scFc	VL	<p>Eivltqspgtlslspgeratlscrasqsir ssylawyqqkpgqaprlliygassratgip</p>

			drfsgsgsgtdftltisrlepedfavyyccq qygdlpftfgpgtkleik
645.	CD70_4xCD3- scFc	scFv	Evqllesgggmvpqpgslrlscaasgftfs syamswvrqapgkglewvsaisgsggrtfy aesvegrftisrdnskntlylqmnsraed tavyycahdysnpyfydywgqgtlvtvss ggggsgggsggggseivltqspgtlsisp geratlsccrasqsirssylawyqqkpgqap rlliygassratgipdrfsgsgsgtdftlt isrlepedfavyyccqygdlpftfgpgtkl eik
646.	CD70_4xCD3- scFc	биспецифи ческая молекула	evqllesgggmvpqpgslrlscaasgftfs syamswvrqapgkglewvsaisgsggrtfy aesvegrftisrdnskntlylqmnsraed tavyycahdysnpyfydywgqgtlvtvss ggggsgggsggggseivltqspgtlsisp geratlsccrasqsirssylawyqqkpgqap rlliygassratgipdrfsgsgsgtdftlt isrlepedfavyyccqygdlpftfgpgtkl eiksggggsevqlvesggglvqpggslkls caasgftfnkyamnvrqapgkglewvari rskynnyatyadsvkdrftisrddsknta ylqmnlktdtavyycvrhgnfgnsyisy waywgqgtlvtvssggggsgggsgggsgq tvvtqepsltvspggtvtltcgsstgavts gnypnwvqqkpgqaprgliggtkflapgtp arfgsllggkaaltlsgvqpedeaeyycv lwysnrwvfgggtkltvl
647.	CD70_4xCD3- scFc	биспецифи ческая HLE молекула	evqllesgggmvpqpgslrlscaasgftfs syamswvrqapgkglewvsaisgsggrtfy aesvegrftisrdnskntlylqmnsraed tavyycahdysnpyfydywgqgtlvtvss ggggsgggsggggseivltqspgtlsisp geratlsccrasqsirssylawyqqkpgqap rlliygassratgipdrfsgsgsgtdftlt

			isrlepedfavyyccqygdlpftfgpgtkl eiksggggsevqlvesggglvqpggslkls caasgftfnkyamnvrqapgkglewvari rskynnyatyyadsvkdrftisrddsknta ylgmnnlktedtavyycvrhgnfgnsyisy waywgqgtlvtvssgggsgggsgggsgq tvvtqepsltvspggtvtltcgsstgavts gnypnwvqqkpgqaprgliggtkflapgtp arfsgslggkaaltlsgvqpedeaeeycv lwysnrwvfgggtklvtlvgggdkthtcpp cpapellggpsvflfppkpkdtlmisrtpe vtcvvdvshedpevkfnwyvdgvevhnak tkpceeegystyrcvsvltvlhqdwlngke ykckvsnkalpapiektiskakgqprepqv ytlppsreemtknqvsltclvkgfypsdia vewesngqpennyktppvldsdsfflysk ltvdksrwqqgnvfscsvmhealhnhytq kslslspgKgggsgggsgggsgggsgq gggsgggsgdkthtcppcpapellggpsvf lfppkpkdtlmisrtpevtcvvdvshedp evkfnwyvdgvevhnaktkpceeegysty cvsvltvlhqdwlngkeykckvsnkalpap iektiskakgqprepqvtytlppsreemtkn qvsltclvkgfypsdiavewesngqpenny ktppvldsdsfflyskltvdksrwqqgn vfscsvmhealhnhytqkslslspgk
648.	CD70_5_CCxC D3-scFc	VH CDR1	syams
649.	CD70_5_CCxC D3-scFc	VH CDR2	Aisgsggrthyaesvkg
650.	CD70_5_CCxC D3-scFc	VH CDR3	hdysnypyfdy
651.	CD70_5_CCxC D3-scFc	VL CDR1	Rasqsvrssyla
652.	CD70_5_CCxC	VL CDR2	gassrat

	D3-scFc		
653.	CD70_5_CCxC D3-scFc	VL CDR3	Qqygsspft
654.	CD70_5_CCxC D3-scFc	VH	Evqllesggglvqsggslrlscaasgftfs syamswvrqapgkclewvsaisgsggrthy aesvkgrftisrdnskntlylqmnsraed tavyycahdysnypyfdywgqgtlvtvss
655.	CD70_5_CCxC D3-scFc	VL	Eivltqspgtlslspgeratlsctasqsvr ssylawyqqkpgqaprlliygassratgip drfsgsgsgtdftltisrlepedfavyycq qygsspftfgcgtkleik
656.	CD70_5_CCxC D3-scFc	scFv	Evqllesggglvqsggslrlscaasgftfs syamswvrqapgkclewvsaisgsggrthy aesvkgrftisrdnskntlylqmnsraed tavyycahdysnypyfdywgqgtlvtvss ggggsgggsggggseivltqspgtlslsp geratlsctasqsvrsslawyqqkpgqap rlliygassratgipdrfsgsgsgtdftlt isrlepedfavyycqygsspftfgcgtkl eik
657.	CD70_5_CCxC D3-scFc	биспецифи ческая молекула	evqllesggglvqsggslrlscaasgftfs syamswvrqapgkclewvsaisgsggrthy aesvkgrftisrdnskntlylqmnsraed tavyycahdysnypyfdywgqgtlvtvss ggggsgggsggggseivltqspgtlslsp geratlsctasqsvrsslawyqqkpgqap rlliygassratgipdrfsgsgsgtdftlt isrlepedfavyycqygsspftfgcgtkl eiksggggsevqlvesggglvqpggslkls caasgftfnkyamnvrqapgkglewvari rskynnyatyyadsvkdrftisrddsknta ylqmnlktdtavyycvrhgnfgnsyisy waywgqgtlvtvssggggsgggsgggsgq tvvtqepsltvspggtvtltcgsstgavts gnypnwvqqkpgqaprlliygassratgipdrfsgsgsgtdftlt

			arfgslggkaaltlsgvqpedeaeeycv lwysnrwvfgggtklvl
658.	CD70_5_CCxC D3-scFc	биспецифическая HLE молекула	evqllesggglvqsggsrlscaasgftfs syamswvrqapgkclewvsaisgsggrthy aesvkgrftisrdnskntlylqmnsraed tavyycahdysnpyfydwgggtlvtvss ggggsgggsggggseivltqspgtlslsp geratlscrasqsvrsslawyqqkpgqap rlliygassratgipdrfsgsgsgtdftlt isrlepedfavyyccqygsspftfgcgtkl eiksggggsevqlvesggglvqpggskls caasgftfnkyamnvrqapgkglewvari rskynnyatyyadsvkdrftisrddsknta ylqmnlktedtavyycvrhgnfgnsyisy waywgggtlvtvssggggsgggsgggsgq tvvtqepsltvspggtvltlctgsstgavts gnypnwvqqkpgqaprgliggtkflapgtp arfgslggkaaltlsgvqpedeaeeycv lwysnrwvfgggtklvlgggdkthtcpp cpapellggpsvflfppkpkdtlmisrtpe vtcvvvdvshedpevkfnwyvdgvevhnak tkpceezygstyrsvltvlhqdwlngke ykckvsnkalpapiektiskakgqprepqv ytlppsreemtknqvsltclvkgfydia vewesngqpennykttpvldsdsfflys kltvdksrwqqgnvfscsvmhealhnhytq kslslspgKggggsgggsgggsgggsgg ggsgggsgdkthtcppcpapellggpsvf lfppkpkdtlmisrtpevtcvvvdvshedp evkfnwyvdgvevhnaktkpceezygstyr cvsvltvlhqdwlngkeykckvsnkalpap iektiskakgqprepqvtytlppsreemtkn qvsltclvkgfydiavewesngqpenny kttpvldsdsfflyskltvdksrwqqgn vfscsvmhealhnhytqkslslspgk

659.	CD70_5xCD3-scFc	VH	Evqllesggglvqsggslrlscaasgftfs syamswvrqapgkglewvsaisgsggrthy aesvkgrftisrdnskntlylqmnsraed tavyycahdysnpyfdywgqgtlvtvss
660.	CD70_5xCD3-scFc	VL	Eivltqspgtlslspgeratlsctasqsvr ssylawyqqkpgqaprlliygassratgip drfsgsgsgtdftltisrlepedfavyycq qygsspftfgpgtkleik
661.	CD70_5xCD3-scFc	scFv	Evqllesggglvqsggslrlscaasgftfs syamswvrqapgkglewvsaisgsggrthy aesvkgrftisrdnskntlylqmnsraed tavyycahdysnpyfdywgqgtlvtvss ggggsgggsggggseivltqspgtlslsp geratlsctasqsvrssylawyqqkpgqap rlliygassratgipdrfsgsgsgtdftlt isrlepedfavyycqygsspftfgpgtkl eik
662.	CD70_5xCD3-scFc	биспецифическая молекула	evqllesggglvqsggslrlscaasgftfs syamswvrqapgkglewvsaisgsggrthy aesvkgrftisrdnskntlylqmnsraed tavyycahdysnpyfdywgqgtlvtvss ggggsgggsggggseivltqspgtlslsp geratlsctasqsvrssylawyqqkpgqap rlliygassratgipdrfsgsgsgtdftlt isrlepedfavyycqygsspftfgpgtkl eiksggggsevqlvesggglvqpggslkls caasgftfnkyamnvrqapgkglewvari rskynnyatyadsvkdrftisrddsknta ylqmnlktdtavyycvrhgnfgnsyisy waywgqgtlvtvssggggsgggsggggsq tvvtqepsltvspggtvtltcgsstgavts gnypnwvqqkpgqaprgliggtkflapgtp arfsgslggkaaltlsgvqpedeaeyycv lwysnrwvfgggtklvtl
663.	CD70_5xCD3-	биспецифи	evqllesggglvqsggslrlscaasgftfs

	scFc	чешская HLE молекула	syamswvrqapgkglewvsaisgsggrthy aesvkgrftisrdnskntlylqmnsdraed tavyycahdysnpyfydywgqgtlvtvss gggsgggsggggseivltqspgtlsisp geratls crasqsvrsslawyqqkpgqap rlliygassratgipdrfsgsgtdftlt isrlepedfavyyccqygsspftfgpgtkl eiksggggsevqlvesggglvqpggskls caasgftfnkyamnwwrqapgkglewvari rskynnyatyyadsvkdrftisrdds knta ylqmnlktdtavyycvrhgnfgnsyisy waywgqgtlvtvssgggsgggsgggsgq tvvtqeps ltvspggtvtltcgsstgavts gnypnwvqqkpgqaprgliggtkflapgtp arfgsllggkaaltlsgvqpedeaeeycv lwysnrwvfgggtklvtlvgggdkthtcpp cpapellggpsvflfppkpkdtlmisrtpe vtcvvdvshedpevkfnwyvdgvevhnak tkpcee qygstyrcvsvltvlhqdwlngke ykckvsnkalpapiektiskakgqprepqv ytlppsreemtknqvsltclvkgfyps dia vewesngqpennykttpvlds dgsfflys kltvdksrwqqgnvfscsvmhealhnhytq ksls lspgKgggsgggsgggsgggsg ggsgggsgdkthtcppcpapellggpsvf lfppkpkdtlmisrtpevtcvvdvshedp evkfnwyvdgvevhnaktkpcee qygstyr cvsvltvlhqdwlngkeykckvsnkalpap iektiskakgqprepqv tylppsreemtkn qvsltclvkgfypsdiavewesngqpenny kttpvlds dgsfflyskltvdksrwqqgn vfscsvmhealhnhytqksls lspgk
664.	CD70_6_CCxC D3-scFc	VH CDR1	syams
665.	CD70_6_CCxC	VH CDR2	lisgsggrthyaesvkg

	D3-scFc		
666.	CD70_6_CCxC D3-scFc	VH CDR3	hdysnypyfdy
667.	CD70_6_CCxC D3-scFc	VL CDR1	rasqsvrstyla
668.	CD70_6_CCxC D3-scFc	VL CDR2	dassrat
669.	CD70_6_CCxC D3-scFc	VL CDR3	qqygssppt
670.	CD70_6_CCxC D3-scFc	VH	evqllesggglvqpggslrlscaasgftfs syamswvrqapgkclewvslisgsggrthy aevkgrftisrdnskntlylqmnsbraed tavyycahdysnypyfdywgqggtlvtvss
671.	CD70_6_CCxC D3-scFc	VL	eivltqspgtlslspgeratlsbrasqsvr stylawyqqkpgqaprlliydassratgip drfsgsgsgtdftltisrlepedfavyfcq qygsspptfgcgtkleik
672.	CD70_6_CCxC D3-scFc	scFv	evqllesggglvqpggslrlscaasgftfs syamswvrqapgkclewvslisgsggrthy aevkgrftisrdnskntlylqmnsbraed tavyycahdysnypyfdywgqggtlvtvss ggggsgggsggggseivltqspgtlslsp geratlsbrasqsvrstylawyqqkpgqap rlliydassratgipdrfsgsgsgtdftlt isrlepedfavyfcqqygsspptfgcgtkl eik
673.	CD70_6_CCxC D3-scFc	Биспецифи ческая молекула	evqllesggglvqpggslrlscaasgftfs syamswvrqapgkclewvslisgsggrthy aevkgrftisrdnskntlylqmnsbraed tavyycahdysnypyfdywgqggtlvtvss ggggsgggsggggseivltqspgtlslsp geratlsbrasqsvrstylawyqqkpgqap rlliydassratgipdrfsgsgsgtdftlt isrlepedfavyfcqqygsspptfgcgtkl eiksggggsevqlvesggglvqpggslkls

			<p>caasgftfnkyamnvrqapgkglewvari rskynnyatyyadsvkdrftisrddsknta ylqmnlnktdtavyycvrhgnfgnsyisy waywgqgtlvtvssgggsgggsgggsgq tvvtqepsltvspggtvtltcgsstgavts gnypnwqqkpgqaprgliggtkflapgtp arfgslggkaaltlsgvqpedeaeeycv lwysnrwvfgggtklvtl</p>
674.	<p>CD70_6_CCxC D3-scFc</p>	<p>биспецифи ческая HLE молекула</p>	<p>evqllesggglvqpggslrlscaasgftfs syamswvrqapgkclewvslisgsggrthy aesvkgrftisrdnskntlylqmnslraed tavyycahdysnpyfdywgqgtlvtvss gggsgggsggggseivltqspgtlslsp geratlscrasqsvrstylawyqqkpgqap rlliydassratgipdrfsgsgsgtdftlt isrlepedfavyfcqqygsppptfgcgtkl eiksggggsevqlvesggglvqpggslkls caasgftfnkyamnvrqapgkglewvari rskynnyatyyadsvkdrftisrddsknta ylqmnlnktdtavyycvrhgnfgnsyisy waywgqgtlvtvssgggsgggsgggsgq tvvtqepsltvspggtvtltcgsstgavts gnypnwqqkpgqaprgliggtkflapgtp arfgslggkaaltlsgvqpedeaeeycv lwysnrwvfgggtklvtlvgggdkthtcpp cpapellggpsvflfppkpkdtlmsrtpe vtcvvvdvshedpevkfnwyvdgvevhnak tkpceeqqgstyrcvsvltvlhqdwlngke ykckvsnkalpapiektiskakgqprepqv ytlppsreemtknqvsltclvkgfypsdia vewesngqpennyktppvldsdgsfflys kltvdksrwqqgnvfscsvmhealhnhytq kslslspgKgggsgggsgggsgggsg gggsgggsgdkthtcppcpapellggpsvf lfppkpkdtlmsrtpevtcvvvdvshedp</p>

			evkfnwyvdgvevhnaktkpceeeygstyr cvsvltvlhqdwlngkeykckvsnkalpap iektiskakgpprepqvvtlppsreemtkn qvsltclvkgyfypsdiavewesngqpenny kttppvldsdsfflyskltvdksrwqqgn vfscsvmhealhhhtqkslslspgk
675.	CD70_6xCD3- scFc	VH	evqllesggglvqpggslrlscaasgftfs syamswvrqapgkglewvslisgsggrthy aesvkgrftisrdnskntlylqmnsraed tavyycahdysnpyfydywgqgtlvtvss
676.	CD70_6xCD3- scFc	VL	eivltqspgtlslspgeratlscrasqsvr stylawyqqkpgqaprlliydassratgip drfsgsgsgtdftltisrlepedfavyfcq qygsspftfgggtkleik
677.	CD70_6xCD3- scFc	scFv	evqllesggglvqpggslrlscaasgftfs syamswvrqapgkglewvslisgsggrthy aesvkgrftisrdnskntlylqmnsraed tavyycahdysnpyfydywgqgtlvtvss ggggsgggsgggseivltqspgtlslsp geratlscrasqsvrstylawyqqkpgqap rlliydassratgipdrfsgsgsgtdftlt isrlepedfavyfcqqygsspftfgggtkl eik
678.	CD70_6xCD3- scFc	биспецифи ческая молекула	evqllesggglvqpggslrlscaasgftfs syamswvrqapgkglewvslisgsggrthy aesvkgrftisrdnskntlylqmnsraed tavyycahdysnpyfydywgqgtlvtvss ggggsgggsgggseivltqspgtlslsp geratlscrasqsvrstylawyqqkpgqap rlliydassratgipdrfsgsgsgtdftlt isrlepedfavyfcqqygsspftfgggtkl eiksggggsevqlvesggglvqpggskls caasgftfnkyamnwwvrqapgkglewari rskynnyatyyadsvkdrftisrddsknta ylqmnnlktedtavyycvrhgnfgnsyisy

			<p>waywgqgtlvtvssgggsgggsgggsgq tvvtqepsltvspggtvtltcgsstgavts gnypnwvqqkpgqaprgliggtkflapgtp arfsgslggkaaltlsgvqpedeaeeycv lwysnrwvfgggtklvtl</p>
679.	CD70_6xCD3- scFc	биспецифи ческая HLE молекула	<p>evqllesggglvqpggslrlscaasgftfs syamswvrqapgkglewvslisgsggrthy aesvkgrftisrdnskntlylqmnsraed tavyycahdysnypyfdywgqgtlvtvss gggsgggsggggseivltqspgtlslsp geratlscrasqsvrstylawyqqkpgqap rlliydassratgipdrfsgsgsgtdftlt isrlepedfavyfcqqygsppptfgggtkl eiksggggsevqlvesggglvqpggslkls caasgftfnkyamnwrqapgkglewvari rskynnyatyyadsvkdrftisrddsknta ylqmnnlktedtavyycvrhgnfgnsyisy waywgqgtlvtvssgggsgggsgggsgq tvvtqepsltvspggtvtltcgsstgavts gnypnwvqqkpgqaprgliggtkflapgtp arfsgslggkaaltlsgvqpedeaeeycv lwysnrwvfgggtklvtlvgggdkthtcpp cpapellggpsvflfppkpkdtlmisrtpe vtcvvdvshedpevkfnwyvdgvevhnak tkpceeegystyrcvsvltvlhqdwlngke ykckvsnkalpapiektiskakgqprepqv ytlppsreemtknqvsltclvkgfypsdia vewesngqpennyktppvldsdgsfflys kltvdksrwqggnvfscsvmhealhnhytq ksllslspgKgggsgggsgggsgggsgg gggsgggsgdkthtcppcpapellggpsvf lfppkpkdtlmisrtpevtcvvdvshedp evkfnwyvdgvevhnaktkpceeegystyr cvsvltvlhqdwlngkeykckvsnkalpap iektiskakgqprepqvytlppsreemtkn</p>

			qvsltclvkgfypsdiavewesngqpenny kttpvldsdgsfflyskltvdksrwqqgn vfscsvmhealthhnytqkslslspgk
680.	CD70_7_CCxC D3-scFc	VH CDR1	tyams
681.	CD70_7_CCxC D3-scFc	VH CDR2	aisgsggstfyaesvkg
682.	CD70_7_CCxC D3-scFc	VH CDR3	hdysnypyfdy
683.	CD70_7_CCxC D3-scFc	VL CDR1	rasqsvrssyla
684.	CD70_7_CCxC D3-scFc	VL CDR2	gassrat
685.	CD70_7_CCxC D3-scFc	VL CDR3	qqygdlpft
686.	CD70_7_CCxC D3-scFc	VH	evqllesggglvqpggsrlrlscaasgftfs tyamswvrqapgkclewvsaisgsggstfy aesvkgrftisrdnskntlsiqmnsbraed tavyycahdysnypyfdywgqgtltvss
687.	CD70_7_CCxC D3-scFc	VL	eivltqspgtlslspgeratlsbrasqsvr ssylawyqqkpgqaprlliygassratgip drfsgsgsgtdftltisrlepedfavyycq qygdlpftfgcgtkleik
688.	CD70_7_CCxC D3-scFc	scFv	evqllesggglvqpggsrlrlscaasgftfs tyamswvrqapgkclewvsaisgsggstfy aesvkgrftisrdnskntlsiqmnsbraed tavyycahdysnypyfdywgqgtltvss ggggsgggsgggseivltqspgtlslsp geratlsbrasqsvrssylawyqqkpgqap rlliygassratgipdrfsgsgsgtdftlt isrlepedfavyycqygdlpftfgcgtkl eik
689.	CD70_7_CCxC D3-scFc	биспецифи ческая молекула	evqllesggglvqpggsrlrlscaasgftfs tyamswvrqapgkclewvsaisgsggstfy aesvkgrftisrdnskntlsiqmnsbraed

			<p>tavyycakhdysnpyfydywgqgtlvtvss ggggsgggsggggseivltqspgtlslsp geratlsctasqsvrsslawyqqkpgqap rlliygassratgipdrfsgsgsgtdftlt isrlepedfavyyccqygdlpftfgcgtkl eiksggggsevqlvesggglvqpggskls caasgftfnkyamnvrqapkglewvari rskynnyatyyadsvkdrftisrddsknta ylqmnlnktdtavyycvrhgnfgnsyisy waywgqgtlvtvssggggsgggsgggsgq tvvtqepsltvspggtvtltcgsstgavts gnypnwvqqkpgqaprgliggtkflapgt arfgsllggkaaltlsgvqpedeaeeycv lwysnrwvfgggtklvtl</p>
690.	CD70_7_CCxС D3-scFc	биспецифическая HLE молекула	<p>evqllesggglvqpggslrlscaasgftfs tyamswvrqapgkclewvsaisgsggstfy aesvkgrftisrdnskntlslqmnslraed tavyycakhdysnpyfydywgqgtlvtvss ggggsgggsggggseivltqspgtlslsp geratlsctasqsvrsslawyqqkpgqap rlliygassratgipdrfsgsgsgtdftlt isrlepedfavyyccqygdlpftfgcgtkl eiksggggsevqlvesggglvqpggskls caasgftfnkyamnvrqapkglewvari rskynnyatyyadsvkdrftisrddsknta ylqmnlnktdtavyycvrhgnfgnsyisy waywgqgtlvtvssggggsgggsgggsgq tvvtqepsltvspggtvtltcgsstgavts gnypnwvqqkpgqaprgliggtkflapgt arfgsllggkaaltlsgvqpedeaeeycv lwysnrwvfgggtklvtlvggdkthtcpp cpapellggsfvlfppkpkdtlmisrtpe vtcvvdvshedpevkfnwyvdgvevhnak tkpceeeygstyrcvsvltvlhqdwlngke ykckvsnkalpapiektiskakgqprepqv</p>

			<p>ytlppsreemtknqvsltclvkgfypsdiavewesngqpennykttpvldsdsfflyskltvdksrwqggnvfscsvmhealthnhytqkslsislspgKggggsgggsgggsgggsgggsgggsgggsgdkthtcppcpapellggpsvflfppkpkdtlmisrtpevtcvvvdvshedpevkfnwyvdgvevhnaktkpcceeqgstycvsvltvlhqdwlngkeykckvsnkalpapiektiskakgqprepqvtylppsreemtknqvsltclvkgfypsdiavewesngqpennykttpvldsdsfflyskltvdksrwqggnvfscsvmhealthnhytqkslsislspgk</p>
691.	CD70_7xCD3-scFc	VH	<p>evqllesggglvqpggslrlscaasgftfs tyamswvrqapgkglewvsaisgsggstfy aevkgrftisrdnskntlsiqmnsraed tavyycahdysnpyfydywgqgtlvtvss</p>
692.	CD70_7xCD3-scFc	VL	<p>eivltqspgtlsislspgeratlsccrasqsvr ssylawyqqkpgqaprlliygassratgip drfsgsgsgtdftltisrlepedfavyycq qygdlpftfgpgtkleik</p>
693.	CD70_7xCD3-scFc	scFv	<p>evqllesggglvqpggslrlscaasgftfs tyamswvrqapgkglewvsaisgsggstfy aevkgrftisrdnskntlsiqmnsraed tavyycahdysnpyfydywgqgtlvtvss ggggsgggsggggseivltqspgtlsislsp geratlsccrasqsvrssylawyqqkpgqap rlliygassratgipdrfsgsgsgtdftlt isrlepedfavyycqygdldpftfgpgtkleik</p>
694.	CD70_7xCD3-scFc	биспецифическая молекула	<p>evqllesggglvqpggslrlscaasgftfs tyamswvrqapgkglewvsaisgsggstfy aevkgrftisrdnskntlsiqmnsraed tavyycahdysnpyfydywgqgtlvtvss ggggsgggsggggseivltqspgtlsislsp geratlsccrasqsvrssylawyqqkpgqap</p>

			<p>rlliygassratgipdrfsgsgsgtdftlt isrlepedfavyyccqygdlpftfgpgtkl eiksggggsevqlvesggglvqpggskls caasgftfnkyamnvrqapgkglewvari rskynnyatyyadsvkdrftisrddsanta ylqmnlnktdtavyycvrhgnfgnsyisy waywgqgtlvtvssggggsgggsgggsgq tvvtqepsltvspggtvtltcgsstgavts gnypnwvqqkpgqaprgliggtkflapgt arfgsllggkaaltlsgvqpedeaeeycv lwysnrwvfgggtklvtl</p>
695.	CD70_7xCD3- scFc	биспецифическая HLE молекула	<p>evqllesggglvqpggslrlscaasgftfs tyamswvrqapgkglewvsaisgggstfy aesvkgrftisrdnskntlsqmnslraed tavyycahdysnpyfydywgqgtlvtvss ggggsgggsggggseivltqspgtlslsp geratlscrasqsvrsslawyqqkpgqap rlliygassratgipdrfsgsgsgtdftlt isrlepedfavyyccqygdlpftfgpgtkl eiksggggsevqlvesggglvqpggskls caasgftfnkyamnvrqapgkglewvari rskynnyatyyadsvkdrftisrddsanta ylqmnlnktdtavyycvrhgnfgnsyisy waywgqgtlvtvssggggsgggsgggsgq tvvtqepsltvspggtvtltcgsstgavts gnypnwvqqkpgqaprgliggtkflapgt arfgsllggkaaltlsgvqpedeaeeycv lwysnrwvfgggtklvtlvgggdkthtcpp cpapellgqpsvflfppkpkdtlmsrtpe vtcvvvdvshedpevkfnwyvdgvevhnak tkpceezygstyrcvsvltvlhqdwlngke ykckvsnkalpapiektiskakgqprepqv ytlppsreemtknqvsltclvkgyfypsia vewesngqpennykttppvldsdsfflys kltvdksrwqqgnvfscsvmhealhnhytq</p>

			ksls slspgKgggsggggsggggsggggsg ggsggggskthtppcpapellggpsvf lfppkpkdtlmisrtpevtcvvvdvshedp evkfnwyvdgvevhnaktkpcceeqgstyr cvsvltvlhqdwlngkeykckvsnkalpap iektiskakgqprepvytlppsreemtkn qvsltclvkgfypsdiavewesngqpenny kttppvldsdsfflyskltvdksrwqqgn vfscsvmhealhnhytqksls slspgk
696.	CD70_8_CCxC D3-scFc	VH CDR1	tyams
697.	CD70_8_CCxC D3-scFc	VH CDR2	aissgsggrtfyaesveg
698.	CD70_8_CCxC D3-scFc	VH CDR3	hdysnpyfydy
699.	CD70_8_CCxC D3-scFc	VL CDR1	rasqsvrstyla
700.	CD70_8_CCxC D3-scFc	VL CDR2	gassrat
701.	CD70_8_CCxC D3-scFc	VL CDR3	qqygdlpft
702.	CD70_8_CCxC D3-scFc	VH	evqllesgggmvpqggsrlrlscaasgftfs tyamswvrqapgkclewvsaisgsggrtfy aesvegrftisrdnskntlylqmnsraed tavyycahdysnpyfydywgggtlvtvss
703.	CD70_8_CCxC D3-scFc	VL	eivltqspgtls lspgeratls crasqsvr stylawyqqkpgqaprlliygassratgip drfsgsgsgtdftltisrlepedfavyscq qygdlpftfgcgtkleik
704.	CD70_8_CCxC D3-scFc	scFv	evqllesgggmvpqggsrlrlscaasgftfs tyamswvrqapgkclewvsaisgsggrtfy aesvegrftisrdnskntlylqmnsraed tavyycahdysnpyfydywgggtlvtvss ggsgggggggggseivltqspgtls lsp geratls crasqsvrstylawyqqkpgqap

			rlliygassratgipdrfsgsgsgtdftlt isrlepedfavyscqygdldpftfgcgtkl eik
705.	CD70_8_CCxС D3-scFc	биспецифи ческая молекула	evqllesgggmvpqpgslrlscaasgftfs tyamswvrqapgkclewvsaisgsggrtfy aesvegrftisrdnskntlylqmnsraed tavyycahhdysnpyfydywgqgtlvtvss ggggsgggsggggseivltqspgtlslsp geratlscrasqsvrstylawyqqkpgqap rlliygassratgipdrfsgsgsgtdftlt isrlepedfavyscqygdldpftfgcgtkl eiksggggsevqlvesggglvqpggslkls caasgftfnkyamnwwrqapgkglewvari rskynnyatyyadsvkdrftisrddsknta ylqmnlktdtavyycvrhgnfgnsyisy waywgqgtlvtvssggggsgggsgggsgq tvvtqepsltvspggtvtltcgsstgavts gnypnwqqkpgqaprgliggtkflapgtp arfgsllggkaaltlsgvqpedeaeycv lwysnrwvfgggtklvtl
706.	CD70_8_CCxС D3-scFc	биспецифи ческая HLE молекула	evqllesgggmvpqpgslrlscaasgftfs tyamswvrqapgkclewvsaisgsggrtfy aesvegrftisrdnskntlylqmnsraed tavyycahhdysnpyfydywgqgtlvtvss ggggsgggsggggseivltqspgtlslsp geratlscrasqsvrstylawyqqkpgqap rlliygassratgipdrfsgsgsgtdftlt isrlepedfavyscqygdldpftfgcgtkl eiksggggsevqlvesggglvqpggslkls caasgftfnkyamnwwrqapgkglewvari rskynnyatyyadsvkdrftisrddsknta ylqmnlktdtavyycvrhgnfgnsyisy waywgqgtlvtvssggggsgggsgggsgq tvvtqepsltvspggtvtltcgsstgavts gnypnwqqkpgqaprgliggtkflapgtp

			<p>arfgslggkaaltlsgvqpedeaeycv lwysnrwvfgggtklvlggggdkthtcpp cpapellggpsvflfppkpkdtlmisrtpe vtcvvdvshedpevkfnwyvdgvevhnak tkpceeegystyrcvsvltvlhqdwlngke ykckvsnkalpapiektiskakgpprepqv ytlppsreemtknqvsltclvkgfypsdi vewesngqpennykttppvldsdsfflys kltvdksrwqqgnvfscsvmhealhhytq kslslspgKggggsgggsgggsgggsgg ggsgggsgdkthtcppcpapellggpsvf lfppkpkdtlmisrtpevtcvvdvshedp evkfnwyvdgvevhnaktkpeeegystyr cvsvltvlhqdwlngkeykckvsnkalpap iektiskakgpprepqvtylppsreemtkn qvsltclvkgfypsdiavewesngqpenny kttppvldsdsfflyskltvdksrwqqgn vfscsvmhealhhytqkslslspgk</p>
707.	CD70_8xCD3- scFc	VH	<p>evqllesgggmvpqggslrlscaasgftfs tyamswvrqapgkglewvsaisgsggrtfy aesvegrftisrdnskntlylqmnsraed tavyycahdysnypyfdywgqgtlvtvss</p>
708.	CD70_8xCD3- scFc	VL	<p>eivltqspgtlslspgeratlsccrasqsvr stylawyqqkpgqaprlliygassratgip drfsgsgsgtdftltisrlepedfavyscq qygdlpftfgpgtkleik</p>
709.	CD70_8xCD3- scFc	scFv	<p>evqllesgggmvpqggslrlscaasgftfs tyamswvrqapgkglewvsaisgsggrtfy aesvegrftisrdnskntlylqmnsraed tavyycahdysnypyfdywgqgtlvtvss ggsgggsgggggseivltqspgtlslsp geratlsccrasqsvrstylawyqqkpgqap rlliygassratgipdrfsgsgsgtdftlt isrlepedfavyscqygdldpftfgpgtkl eik</p>

710.	CD70_8xCD3-scFc	биспецифическая молекула	<p>evqllesgggmvpqggsrlrlscaasgftfs tyamswvrqapgkglewvsaisgsggrtfy aesvegrftisrdnskntlylqmnsraed tavyycahdysnpyfdywgqgtlvtvss ggggsgggsggggseivltqspgtlslsp geratlscrasqsvrstylawyqqkpgqap rlliygassratgipdrfsgsgsgtdftlt isrlepedfavyscqqygdlpftfgpgtkl eiksggggsevqlvesggglvqpggslkls caasgftfnkyamnvrqapgkglewvari rskynnyatyyadsvkdrftisrddsknta ylqmnnkktedtavyycvrhgnfgnsyisy waywgqgtlvtvssggggsgggsgggsgq tvvtqepsltvspggtvtltcgsstgavts gnypnwvqqkpgqaprgliggtkflapgtp arfgsllggkaaltlsgvqpedeaeeycv lwysnrwvfgggtklvtl</p>
711.	CD70_8xCD3-scFc	биспецифическая HLE молекула	<p>evqllesgggmvpqggsrlrlscaasgftfs tyamswvrqapgkglewvsaisgsggrtfy aesvegrftisrdnskntlylqmnsraed tavyycahdysnpyfdywgqgtlvtvss ggggsgggsggggseivltqspgtlslsp geratlscrasqsvrstylawyqqkpgqap rlliygassratgipdrfsgsgsgtdftlt isrlepedfavyscqqygdlpftfgpgtkl eiksggggsevqlvesggglvqpggslkls caasgftfnkyamnvrqapgkglewvari rskynnyatyyadsvkdrftisrddsknta ylqmnnkktedtavyycvrhgnfgnsyisy waywgqgtlvtvssggggsgggsgggsgq tvvtqepsltvspggtvtltcgsstgavts gnypnwvqqkpgqaprgliggtkflapgtp arfgsllggkaaltlsgvqpedeaeeycv lwysnrwvfgggtklvtlvggdkthtcpp cpapellgpps vflfppkpkdtlmisrtpe</p>

			vtcvvvdvshedpevkfnwyvdgvevhnak tkpceeegystyrcvsvltvlhqdwlngke ykckvsnkalpapiektiskakgpprepqv ytlppsreemtknqvsltclvkgfypsdi vewesngqpennykttppvldsdsfflys kltvdksrwqqgnvfscsvmhealhnhytq kslsispgKggggsgggsgggsgggsg ggsgggsgskthtccppcpapellgpps lfppkpkdtlmisrtpevtcvvvdvsh evkfnwyvdgvevhnaktkpceeegyst cvsvltvlhqdwlngkeykckvsnkalp iektiskakgpprepqvtytlppsreem knqvsltclvkgfypsdiavewesngq penyktppvldsdsfflyskltvdksr wqqgnvfscsvmhealhnhytqksl sispkg
712.	CD70_9_CCxC D3-scFc	VH CDR1	syams
713.	CD70_9_CCxC D3-scFc	VH CDR2	aissgggytyyaesvkg
714.	CD70_9_CCxC D3-scFc	VH CDR3	hdysnypyfdy
715.	CD70_9_CCxC D3-scFc	VL CDR1	rasqsvrsnyla
716.	CD70_9_CCxC D3-scFc	VL CDR2	gassrat
717.	CD70_9_CCxC D3-scFc	VL CDR3	qqygdlpft
718.	CD70_9_CCxC D3-scFc	VH	evqllesggglvqpggslrlscaasgftfs syamswvrqapgkclewvsaisgggytyy aesvkgrftisrdnskntlylqmnsraed tavyycahdysnypyfdywqqgtlvtvss
719.	CD70_9_CCxC D3-scFc	VL	eivltqspgtlsispgeratlsbrasqsvr snylawyqqkpgqaprlliygassratgip drfsgsgsgtdftltisrlepedfavyyq qygdlpftfgcgtkveik

720.	CD70_9_CCxC D3-scFc	scFv	evqllesggglvqpqgslrlscaasgftfs syamswvrqapgkclewvsaisgsggytyy aesvkgrftisrdnskntlylqmnsraed tavyycahdysnypyfdywgqgtlvtvss ggggsgggsggggseivltqspgtlslsp geratlscrasqsvrsnylawyqqkpgqap rlliygassratgipdrfsgsgsgtdftlt isrlepedfavyyccqygdlpftfgcgtkv eik
721.	CD70_9_CCxC D3-scFc	биспецифи ческая молекула	evqllesggglvqpqgslrlscaasgftfs syamswvrqapgkclewvsaisgsggytyy aesvkgrftisrdnskntlylqmnsraed tavyycahdysnypyfdywgqgtlvtvss ggggsgggsggggseivltqspgtlslsp geratlscrasqsvrsnylawyqqkpgqap rlliygassratgipdrfsgsgsgtdftlt isrlepedfavyyccqygdlpftfgcgtkv eiksggggsevqlvesggglvqpqgslkls caasgftfnkyamnvrqapkglewvari rskynnyatyadsvkdrftisrddsknta ylqmnlktdtavyycvrhgnfgnsyisy waywgqgtlvtvssggggsgggsgggsgq tvvtqepsltvspggtvtltcgsstgavts gnypnwvqqkpgqaprgliggtkflapgtp arfgslggkaaltlsgvqpedeaeyycv lwysnrwvfgggtklvtl
722.	CD70_9_CCxC D3-scFc	биспецифи ческая HLE молекула	evqllesggglvqpqgslrlscaasgftfs syamswvrqapgkclewvsaisgsggytyy aesvkgrftisrdnskntlylqmnsraed tavyycahdysnypyfdywgqgtlvtvss ggggsgggsggggseivltqspgtlslsp geratlscrasqsvrsnylawyqqkpgqap rlliygassratgipdrfsgsgsgtdftlt isrlepedfavyyccqygdlpftfgcgtkv eiksggggsevqlvesggglvqpqgslkls

			<p>caasgftfnkyamnvrqapgkglewvari rskynnyatyyadsvkdrftisrddsknta ylqmnlktdtavyycvrhgnfgnsyisy waywgqgtlvtvssgggsgggsgggsgq tvvtqepsltvspggtvtltcgsstgavts gnypnwqqkpgqaprgliggtkflapgtp arfgsllggkaaltlsgvqpedeaeeycv lwysnrwvfgggtklvtlvgggdkthtcpp cpapellggpsvflfppkpkdtlmisrtp vtcvvvdvshedpevkfnwyvdgvevhnak tkpceezygstyrcvsvltvlhqdwlngke ykckvsnkalspapektiskakgqprepqv ytlppsreemtknqvsltclvkgfypsdia vewesngqpennykttpvldsdsffly kltvdksrwqqgnvfscsvmhealhnhytq kslsispgKgggsgggsgggsgggsg ggsgggsgskthtcppcpapellggpsvf lfppkpkdtlmisrtpvtcvvvdvshedp evkfnwyvdgvevhnaktkpceezygstyr cvsvltvlhqdwlngkeykckvsnkalsp iektiskakgqprepqvtytlppsreemtkn qvsltclvkgfypsdiavewesngqpenny kttpvldsdsfflyskltvdksrwqqgn vfscsvmhealhnhytqkslsispgk</p>
723.	CD70_9xCD3- scFc	VH	<p>evqllesggglvqpggsrlrlscaasgftfs syamswvrqapgkglewvsaisgsggytyy aesvkgrftisrdnskntlylqmnsraed tavyycahdysnpyfydywgqgtlvtvss</p>
724.	CD70_9xCD3- scFc	VL	<p>eivltqspgtlslspgeratlscrasqsvr snylawyqqkpgqaprlliygassratgip drfsgsgsgtdftltisrlepedfavyycq qygdlpftfgpgtkveik</p>
725.	CD70_9xCD3- scFc	scFv	<p>evqllesggglvqpggsrlrlscaasgftfs syamswvrqapgkglewvsaisgsggytyy aesvkgrftisrdnskntlylqmnsraed</p>

			tavyycakhdysnpyfdywgqgtlvtvss ggggsgggsggggseivltqspgtlslsp geratlscrasqsvrsnylawyqqkpgqap rlliygassratgipdrfsgsgsgtdftlt isrlepedfavyyccqygdlpftfgpgtkv eik
726.	CD70_9xCD3- scFc	биспецифи ческая молекула	evqllesggglvqpqgslrlscaasgftfs syamswvrqapqgglewvsaisgsggytyy aesvkgrftisrdnskntlylqmnsraed tavyycakhdysnpyfdywgqgtlvtvss ggggsgggsggggseivltqspgtlslsp geratlscrasqsvrsnylawyqqkpgqap rlliygassratgipdrfsgsgsgtdftlt isrlepedfavyyccqygdlpftfgpgtkv eiksggggsevqlvesggglvqpqgslkls caasgftfnkyamnvrqapqgglewvari rskynnyatyadsvkdrftisrddsknta ylqmnlktdtavyycvrhgnfgnsyisy waywgqgtlvtvssggggsgggsgggsgq tvvtqepsltvspggtvtltcgsstgavts gnypnwvqqkpgqaprgliggtkflapgtp arfsgslggkaaltlsgvqpedeaeyycv lwysnrwvfgggtkltvl
727.	CD70_9xCD3- scFc	биспецифи ческая HLE молекула	cvqllesggglvqpqgslrlscaasgftfs syamswvrqapqgglewvsaisgsggytyy aesvkgrftisrdnskntlylqmnsraed tavyycakhdysnpyfdywgqgtlvtvss ggggsgggsggggseivltqspgtlslsp geratlscrasqsvrsnylawyqqkpgqap rlliygassratgipdrfsgsgsgtdftlt isrlepedfavyyccqygdlpftfgpgtkv eiksggggsevqlvesggglvqpqgslkls caasgftfnkyamnvrqapqgglewvari rskynnyatyadsvkdrftisrddsknta ylqmnlktdtavyycvrhgnfgnsyisy

			waywgqgtlvtvssggggsgggsgggsgq tvvtqepsltvspggtvtltcgsstgavts gnypnwvqqkpgqaprgliggtkflapgtp arfgsllggkaaltlsgvqpedeaeeycv lwysnrwvfgggtklvtlvggggdkthtcpp cpapellggpsvflfppkpkdtlmisrtpe vtcvvvdvshedpevkfnwyvdgvevhnak tkpceezygstyrcvsvltvlhqdwlngke ykckvsnkalpapiektiskakgqprepqv ytlppsreemtknqvsltclvkgfypsdi vewesngqpennykttppvldsdsfflys kltvdksrwqqgnvfscsvmhealhhytq kslsispgKggggsgggsgggsgggsgg ggsgggsgdkthtcppcpapellggpsvf lfppkpkdtlmisrtpevtcvvvdvshedp evkfnwyvdgvevhnaktkpeezygstyr cvsvltvlhqdwlngkeykckvsnkaldpap iektiskakgqprepqvtytlppsreemtkn qvsltclvkgfypsdiavewesngqpenny kttppvldsdsfflyskltvdksrwqqgn vfscsvmhealhhytqkslsispgk
728.	CD70_10_CCx CD3-scFc	VH CDR1	syams
729.	CD70_10_CCx CD3-scFc	VH CDR2	aisgsggstfyaesvkg
730.	CD70_10_CCx CD3-scFc	VH CDR3	hdysnypyfdy
731.	CD70_10_CCx CD3-scFc	VL CDR1	rasqsvrssyla
732.	CD70_10_CCx CD3-scFc	VL CDR2	gassrat
733.	CD70_10_CCx CD3-scFc	VL CDR3	qqygdlpft
734.	CD70_10_CCx CD3-scFc	VH	evqllesggglaqpggsrlrlscaasgftfs syamswvrqapgkclewvsaisgsggstfy

			aesvkgrftisrdnskntlylqmnsraed tavyfcakhdysnpyfdywgqgtlvtvss
735.	CD70_10_CCx CD3-scFc	VL	eivltqspgtlslspgeratlscrasqsvr ssylawyqqkpgqaprlliygassratgip drfsgsgsgtdftltisrlepedfavyyq qygdlpftfgcgtkveik
736.	CD70_10_CCx CD3-scFc	scFv	evqllesggglaqpggslrlscaasgftfs syamswvrqapgkclewvsaisgsggstfy aesvkgrftisrdnskntlylqmnsraed tavyfcakhdysnpyfdywgqgtlvtvss ggggsgggsggggseivltqspgtlslsp geratlscrasqsvrsslawyqqkpgqap rlliygassratgipdrfsgsgsgtdftlt isrlepedfavyyqygdldpftfgcgtkv eik
737.	CD70_10_CCx CD3-scFc	биспецифи ческая молекула	evqllesggglaqpggslrlscaasgftfs syamswvrqapgkclewvsaisgsggstfy aesvkgrftisrdnskntlylqmnsraed tavyfcakhdysnpyfdywgqgtlvtvss ggggsgggsggggseivltqspgtlslsp geratlscrasqsvrsslawyqqkpgqap rlliygassratgipdrfsgsgsgtdftlt isrlepedfavyyqygdldpftfgcgtkv eiksggggsevqlvesggglvpggslkls caasgftfnkyamnvrqapgkglewvari rskynnyatyyadsvkdrftisrddsknta ylqmnlktdtavyycvrhgnfgnsyisy waywgqgtlvtvssggggsgggsgggsgq tvvtqepsltvspggtvtltcgsstgavts gnypnwvqqkpgqaprgliggtkflapgt arfgsllggkaaltlsgvqpedeaeyycv lwysnrwvfgggtklvtl
738.	CD70_10_CCx CD3-scFc	биспецифи ческая HLE	evqllesggglaqpggslrlscaasgftfs syamswvrqapgkclewvsaisgsggstfy aesvkgrftisrdnskntlylqmnsraed

		молекула	tavyfcakhdysnpyfydywgqgtlvtvss ggggsgggsggggseivltqspgtlslsp geratlscrasqsvrsslawyqqkpgqap rlliygassratgipdrfsgsgtdftlt isrlepedfavyyccqygdlpftfgcgtkv eiksggggsevqlvesggglvqpggslkls caasgftfnkyamnvrqapgkglewvari rskynnyatyyadsvkdrftisrddsknta ylqmnlnktdtavyycvrhgnfgnsyisy waywgqgtlvtvssggggsgggsgggsgq tvvtqepsltvspggtvtltcgsstgavts gnypnwqqkpgqaprgliggtkflapgtp arfgsllggkaatlsgvqpdeaeeycv lwysnrwvfgggtklvtlvgggdkthtcpp cpapellgppsflfpkpkdtlmisrtpe vtcvvvdvshedpevkfnwyvdgvevhnak tkpceeegystyrcvsvltvlhqdwlngke ykckvsnkalspapektiskakgqprepqv ytlppsreemtknqvsltclvkgfypsdi vewesngqpennykttppvldsdsffly kltdksrwqqgnvfscsvmhealhnhytq kslslspgKggggsgggsgggsgggsg ggsgggsgdkthtcppcpapellgppsfl lfpkpkdtlmisrtpevtcvvvdvshedp evkfnwyvdgvevhnaktkpceeegysty cvsvltvlhqdwlngkeykckvsnkalsp iektiskakgqprepqvtytlppsreemtkn qvsltclvkgfypsdiavewesngqpenny kttppvldsdsfflyskltdksrwqqgn vfscsvmhealhnhytqkslslspgk
739.	CD70_10xCD3 -scFc	VH	evqllesggglaqpggslrlscaasgftfs syamswvrqapgkglewvsaisgsggstfy aesvkgrftisrdnskntlylqmnslraed tavyfcakhdysnpyfydywgqgtlvtvss
740.	CD70_10xCD3	VL	eivltqspgtlslspgeratlscrasqsvr

	-scFc		ssylawyqqkpgqaprlliygassratgip drfsgsgsgtdftltisrlepedfavyycc qygdlpftfgpgtkveik
741.	CD70_10xCD3 -scFc	scFv	evqllesggglaqpggslrlscaasgftfs syamswvrqapgkglewvsaisgsggstfy aesvkgrftisrdnskntlylqmnsraed tavyfcakhdysnpyfydywgqgtlvtvss ggggsgggsggggseivltqspgtlslsp geratlsctasqsvrsslawyqqkpgqap rlliygassratgipdrfsgsgsgtdftlt isrlepedfavyyccqygdlpftfgpgtkv eik
742.	CD70_10xCD3 -scFc	биспецифи ческая молекула	evqllesggglaqpggslrlscaasgftfs syamswvrqapgkglewvsaisgsggstfy aesvkgrftisrdnskntlylqmnsraed tavyfcakhdysnpyfydywgqgtlvtvss ggggsgggsggggseivltqspgtlslsp geratlsctasqsvrsslawyqqkpgqap rlliygassratgipdrfsgsgsgtdftlt isrlepedfavyyccqygdlpftfgpgtkv eiksggggsevqlvesggglvqpggslkls caasgftfnkyamnvrqapgkglewvari rskynnyatyadsvkdrftisrddsknta ylqmnlkctdavyycvrhgnfgnsyisy waywgqgtlvtvssggggsgggsggggsq tvvtqepsltvspggtvtlctgsstgavts gnypnwvqqkpgqaprgliggtkflapgt arfsgslggkaaltlsgvqpedeaeyycv lwysnrwvfgggtklvtl
743.	CD70_10xCD3 -scFc	биспецифи ческая HLE молекула	evqllesggglaqpggslrlscaasgftfs syamswvrqapgkglewvsaisgsggstfy aesvkgrftisrdnskntlylqmnsraed tavyfcakhdysnpyfydywgqgtlvtvss ggggsgggsggggseivltqspgtlslsp geratlsctasqsvrsslawyqqkpgqap

			<p>rlliygassratgipdrfsgsgsgtdftlt isrlepedfavyyccqygdlpftfgpgtkv eiksggggsevqlvesggglvqpggskls caasgftfnkyamnvrqapgkglewvari rskynnyatyyadsvkdrftisrddsanta ylqmnlnktdtavyycvrhgnfgnsyisy waywgqgtlvtvssggggsgggsgggsgq tvvtqepsltvspggtvtltcgsstgavts gnypnwvqqkpgqaprgliggtkflapgtp arfgsllggkaaltlsgvqpedaeaycv lwysnrwvfgggtklvtlvggggdkthtcpp cpapellggpsvflfppkpkdtlmisrtpe vtcvvdvshedpevkfnwyvdgvevhnak tkpceezygstyrcvsvltvlhqdwlngke ykckvsnkalpapiektiskakgqprepqv ytlppsreemtknqvsltclvkgfypsdi vewesngqpennykttppvldsdsfflys kltvdksrwqqgnvfscsvmhealhnhytq kslsispkKggggsgggsgggsgggsgg ggsgggsgdkthtccppcpapellggpsvf lfppkpkdtlmisrtpevtcvvdvshedp evkfnwyvdgvevhnaktkpeezygstyr cvsvltvlhqdwlngkeykckvsnkalpap iektiskakgqprepqvtytlppsreemtkn qvsltclvkgfypsdiavewesngqpenny kttppvldsdsfflyskltvdksrwqqgn vfscsvmhealhnhytqkslsispk</p>
744.	CD70_11_CCx CD3-scFc	VH CDR1	syams
745.	CD70_11_CCx CD3-scFc	VH CDR2	aigsgggrtfaesveg
746.	CD70_11_CCx CD3-scFc	VH CDR3	hdysnypyfdy
747.	CD70_11_CCx CD3-scFc	VL CDR1	rasqsvrsnyla

748.	CD70_11_CCx CD3-scFc	VL CDR2	gassrat
749.	CD70_11_CCx CD3-scFc	VL CDR3	qqygdlpft
750.	CD70_11_CCx CD3-scFc	VH	evqllesgggmvpqpggslrlscaasgftfs syamswvrqapgkclewvsaisgsggrtfy aesvegrftisrdnskntlylqmnsdraed tavyycahdysnpyfydywgqgtlvtvss
751.	CD70_11_CCx CD3-scFc	VL	eivltqspgtlslspgeratls crasqsvr snylawyqqkpgqaprlliygassratgip drfsgsgsgtdftltisrlepedfavyycq qygdlpftfgcgtkveik
752.	CD70_11_CCx CD3-scFc	scFv	evqllesgggmvpqpggslrlscaasgftfs syamswvrqapgkclewvsaisgsggrtfy aesvegrftisrdnskntlylqmnsdraed tavyycahdysnpyfydywgqgtlvtvss ggggsgggsggggseivltqspgtlslsp geratls crasqsvr snylawyqqkpgqap rlliygassratgipdrfsgsgtdftlt isrlepedfavyycqygdlpftfgcgtkv eik
753.	CD70_11_CCx CD3-scFc	биспецификационная молекула	evqllesgggmvpqpggslrlscaasgftfs syamswvrqapgkclewvsaisgsggrtfy aesvegrftisrdnskntlylqmnsdraed tavyycahdysnpyfydywgqgtlvtvss ggggsgggsggggseivltqspgtlslsp geratls crasqsvr snylawyqqkpgqap rlliygassratgipdrfsgsgtdftlt isrlepedfavyycqygdlpftfgcgtkv eiksggggsevqlvesggglvqpggslkls caasgftfnkyamnvwvrqapgkglewvari rskynnyatyyadvkdrftisrddsknta ylqmnnlktedtavyycvrhgnfgnsyisy waywgqgtlvtvssggggsgggsgggsgq tvvtqepsiltvspggtvtltcgsstgavts

			<p>gnypnwvqqkpgqaprgliggtkflapgtp arfgsllggkaaltlsgvqpedeaeeycv lwysnrwvfgggtklvtl</p>
754.	<p>CD70_11_CCx CD3-scFc</p>	<p>биспецифи ческая HLE молекула</p>	<p>evqllesgggmvpqpgslrlscaasgftfs syamswvrqapgkclewvsaisgsggrtfy aesvegrftisrdnskntlylqmnsraed tavyycahdysnpyfydywgqgtlvtvss gggsgggsggggseivltqspgtlslsp geratlscrasqsvrsnylawyqqkpgqap rlliygassratgipdrfsgsgsgtdftlt isrlepedfavyyccqygdlpftfgcgtkv eiksggggsevqlvesggglvqpggskls caasgftfnkyamnwrqapgkglewvari rskynnyatyyadsvkdrftisrddsknta ylqmnlnktedtavyycvrhgnfgnsyisy waywgqgtlvtvssgggsgggsgggsgq tvvtqepsltvspggtvtltcgsstgavts gnypnwvqqkpgqaprgliggtkflapgtp arfgsllggkaaltlsgvqpedeaeeycv lwysnrwvfgggtklvtlvgggdkthtcpp cpapellggpsvflfppkpkdtlmisrtpe vtcvvvdvshedpevkfnwyvdgvevhnak tkpceeegystyrcvsvltvlhqdwlngke ykckvsnkalpapiektiskakgqprepqv ytlppsreemtknqvsltclvkgfypsdi vewesngqpennykttpvldsdgsffly kltvdksrwqqgnvfscsvmhealhnhytq kslslspgKgggsgggsgggsgggsg gggsgggsgdkthtcppcpapellggpsvf lfppkpkdtlmisrtpevtcvvvdvshedp evkfnwyvdgvevhnaktkpceeegystyr cvsvltvlhqdwlngkeykckvsnkalpap iektiskakgqprepqvtytlppsreemtkn qvsltclvkgfypsdiavewesngqpenny kttpvldsdgsfflyskltvdksrwqqgn</p>

			vfscsvmhealhnhytqkslslspgk
755.	CD70_11xCD3 -scFc	VH	evqllesgggmvpqpggslrlscaasgftfs syamswvrqapggkglewvsaisgsggrtfy aesvegrftisrdnskntlylqmnsraed tavyycahdysnpyfydywgqgtlvtvss
756.	CD70_11xCD3 -scFc	VL	eivltqspgtlslspgeratlsctasqsvr snylawyqqkpgqaprlliygassratgip drfsgsgsgtdftltisrlepedfavyycq qygdlpftfgpgtkveik
757.	CD70_11xCD3 -scFc	scFv	evqllesgggmvpqpggslrlscaasgftfs syamswvrqapggkglewvsaisgsggrtfy aesvegrftisrdnskntlylqmnsraed tavyycahdysnpyfydywgqgtlvtvss ggggsgggsggggseivltqspgtlslsp geratlsctasqsvrsnylawyqqkpgqap rlliygassratgipdrfsgsgsgtdftlt isrlepedfavyycqygdldpftfgpgtkv eik
758.	CD70_11xCD3 -scFc	биспецифическая молекула	evqllesgggmvpqpggslrlscaasgftfs syamswvrqapggkglewvsaisgsggrtfy aesvegrftisrdnskntlylqmnsraed tavyycahdysnpyfydywgqgtlvtvss ggggsgggsggggseivltqspgtlslsp geratlsctasqsvrsnylawyqqkpgqap rlliygassratgipdrfsgsgsgtdftlt isrlepedfavyycqygdldpftfgpgtkv eiksggggsevqlvesggglvqpggslkls caasgftfnkyamnwvrqapggkglewvari rskynnyatyyadsvkdrftisrddsknta ylqmnlktdtavyycvrhgnfgnsyisy waywgqgtlvtvssggggsgggsgggsgq tvvtqepsltvspggtvltcgsstgavts gnypnwqqkpgqaprgliggtkflapgtp arfgsllggkaaltlsgvqpedaeayycv lwysnrwvfgggtklvtl

759.	CD70_11xCD3 -scFc	биспецифическая HLE молекула	<p>evqllesgggmvpqpgslrlscaasgftfs syamswvrqapggkglewvsaisgsggrtfy aesvegrftisrdnskntlylqmnsdraed tavyycahdysnpyfydywgqgtltvsvs ggggsgggsggggseivltqspgtlslsp geratlscrasqsvrsnylawyqqkpgqap rlliygassratgipdrfsgsgsgtdftlt isrlepedfavyyccqygdlpftfgpgtkv eiksggggsevqlvesggglvqpggslkls caasgftfnkyamnwwrqapggkglewvari rskynnyatyyadsvkdrftisrddsknta ylqmnnlktedtavyycvrhgnfgnsyisy waywgqgtltvsvsgggsgggsgggsgq tvvtqepsltvspggtvtltcgsstgavts gnypnwvqqkpgqaprgliggtkflapgtp arfgsllggkaaltlsgvqpedeaeeycv lwysnrwvfgggtklvtlvgggdkthtcpp cpapellggpsvflfppkpkdtlmsrtpe vtcvvvdvshedpevkfnwyvdgvevhnak tkpceezygstyrcvsvltvlhqdwlngke ykckvsnkalspapektiskakgqprepqv ytlppsreemtknqvsltclvkgfypsdi vewesngqpennykttppvldsdsffly kltvdksrwqqgnvfscsvmhealhnhytq kslslspgKggggsgggsgggsgggsg ggsgggsgdkthtcppcpapellggpsv lfppkpkdtlmsrtpevtcvvvdvshedp evkfnwyvdgvevhnaktkpceezygsty cvsvltvlhqdwlngkeykckvsnkalsp apektiskakgqprepqvtytlppsreemtk nqvsltclvkgfypsdiavewesngqpenny kttppvldsdsfflykltvdksrwqqgn vfscsvmhealhnhytqkslslspgk</p>
760.	CD70_12_CCx CD3-scFc	VH CDR1	syams

761.	CD70_12_CCx CD3-scFc	VH CDR2	aisgsggrtfyaesveg
762.	CD70_12_CCx CD3-scFc	VH CDR3	hdysnpyfydy
763.	CD70_12_CCx CD3-scFc	VL CDR1	rasqsvrssyla
764.	CD70_12_CCx CD3-scFc	VL CDR2	gassrat
765.	CD70_12_CCx CD3-scFc	VL CDR3	qqygsspft
766.	CD70_12_CCx CD3-scFc	VH	evqllesgggmvpqpgslrlscaasgftfs syamswvrqapgkclewvsaisgsggrtfy aesvegrftisrdnskntlylqmnsraed tavvycakhdysnpyfydywgqgtltvss
767.	CD70_12_CCx CD3-scFc	VL	eivltqspgtlslspgeratlsbrasqsvr ssylawyqqkpgqaprlliygassratgip drfsgsgsgtdftltisrlepedfavyycq qygsspftfgcgtkveik
768.	CD70_12_CCx CD3-scFc	scFv	evqllesgggmvpqpgslrlscaasgftfs syamswvrqapgkclewvsaisgsggrtfy aesvegrftisrdnskntlylqmnsraed tavvycakhdysnpyfydywgqgtltvss ggggsgggsggggseivltqspgtlslsp geratlsbrasqsvrssylawyqqkpgqap rlliygassratgipdrfsgsgsgtdftlt isrlepedfavyycqygsspftfgcgtkv eik
769.	CD70_12_CCx CD3-scFc	биспецифическая молекула	evqllesgggmvpqpgslrlscaasgftfs syamswvrqapgkclewvsaisgsggrtfy aesvegrftisrdnskntlylqmnsraed tavvycakhdysnpyfydywgqgtltvss ggggsgggsggggseivltqspgtlslsp geratlsbrasqsvrssylawyqqkpgqap rlliygassratgipdrfsgsgsgtdftlt isrlepedfavyycqygsspftfgcgtkv

			<p>eiksggggsevqlvesggglvqpggslkls caasgftfnkyamnvrqapgglewvari rskynnyatyyadsvkdrftisrddsknta ylqmnnlktedtavyycvrhgnfgnsyisy waywgqgtlvtvssggggsgggsgggsgq tvvtqepsltvspggtvtltcgsstgavts gnypnwvqqkpgqaprgliggtkflapgtp arfgsllggkaaltlsgvqpedeaeyycv lwysnrwvfgggtkltvl</p>
770.	<p>CD70_12_CCx CD3-scFc</p>	<p>биспецифи ческая HLE молекула</p>	<p>evqllesgggmvgpggslrlscaasgftfs syamswvrqapgkclewvsaisgsggrtfy aesvegrftisrdnskntlylqmnsraed tavyycahdysnpyfydywgqgtlvtvss ggggsgggsggggseivltqspgtlslsp geratlscrasqsvrsslawayqqkpgqap rlliYGassratgipdrfsgsgtdftlt isrlepedfavyyccqygsspftfgcgtkv eiksggggsevqlvesggglvqpggslkls caasgftfnkyamnvrqapgglewvari rskynnyatyyadsvkdrftisrddsknta ylqmnnlktedtavyycvrhgnfgnsyisy waywgqgtlvtvssggggsgggsgggsgq tvvtqepsltvspggtvtltcgsstgavts gnypnwvqqkpgqaprgliggtkflapgtp arfgsllggkaaltlsgvqpedeaeyycv lwysnrwvfgggtkltvlgggdkthtcpp cpapellggpsvflfppkpkdtlmisrtpe vtcvvvdvshedpevkfnwyvdgvevhnak tkpceeYgstyrcvsvltvlhqdwlngke ykckvsnkalpapiektiskakgpprepqv ytlppsreemtknqvsltclvkgfy-psdia vewesngqpennyktppvldsdsfflys kltvdksrwqgnvfscsvmhealhnhytq kslsrspgKggggsgggsgggsgggsgg ggggsgggsgdkthtcppcpapellggpsvf</p>

			lfppkpkdtlmisrtpevtcvvvdvshedp evkfnwyvdgvevhnaktkpceeegystyr cvsvltvlhqdwlngkeykckvsnkalpap iektiskakgqprepqvytlppsreemtkn qvsltclvkgfypsdiavewesngqpenny kttpvldsdsfflyskltvdksrwqqgn vfscsvmhealhhhytqkslslspgk
771.	CD70_12xCD3 -scFc	VH	evqllesgggmvpqpggslrlscaasgftfs syamswvrqapgkglewvsaisgsggrtfy aesvegrftisrdnskntlylqmnsdraed tavyycahdysnpyfydywgqggtlvtvss
772.	CD70_12xCD3 -scFc	VL	eivltqspgtlslspgeratlscrasqsvr ssylawyqqkpgqaprlliygassratgip drfsgsgsgtdftltisrlepedfavyycq qygsspftfgpgtkveik
773.	CD70_12xCD3 -scFc	scFv	evqllesgggmvpqpggslrlscaasgftfs syamswvrqapgkglewvsaisgsggrtfy aesvegrftisrdnskntlylqmnsdraed tavyycahdysnpyfydywgqggtlvtvss ggggsgggsggggseivltqspgtlslsp geratlscrasqsvrsslawyqqkpgqap rlliygassratgipdrfsgsgsgtdftlt isrlepedfavyyccqygsspftfgpgtkv eik
774.	CD70_12xCD3 -scFc	биспецифи ческая молекула	evqllesgggmvpqpggslrlscaasgftfs syamswvrqapgkglewvsaisgsggrtfy aesvegrftisrdnskntlylqmnsdraed tavyycahdysnpyfydywgqggtlvtvss ggggsgggsggggseivltqspgtlslsp geratlscrasqsvrsslawyqqkpgqap rlliygassratgipdrfsgsgsgtdftlt isrlepedfavyyccqygsspftfgpgtkv eiksggggseivlvesggglvqpggskls caasgftfnkyamnwvrqapgkglewvari rskynnyatyyadsvkdrftisrddsknta

			<p>ylqmnlnktdtavyycvrhgnfgnsyisy waywgqgtlvtvssgggsgggsgggsgq tvvtqepsltvspggtvtltcgsstgavts gnypnwvqqkpgqaprgliggtkflapgtp arfgsllggkaaltlsgvqpedeaeeycv lwysnrwvfgggtklvtl</p>
775.	CD70_12xCD3 -scFc	биспецифи ческая HLE молекула	<p>evqllesgggmvpqggsrlrlscaasgftfs syamswvrqapggkglewvsaisgsggrtfy aesvegrftisrdnskntlylqmnsiraed tavyycahdysnpyfydywgqgtlvtvss gggsgggsggggseivltqspgtlslsp geratlscrasqsvrsslwavyqqkpgqap rlliygassratgipdrfsgsgsgtdftlt isrlepedfavyyccqygsspftfgpgtkv eiksggggsevqlvesggglvqpggslkls caasgftfnkyamnvrqapggkglewvari rskynnyatyadsvkdrftisrddsknta ylqmnlnktdtavyycvrhgnfgnsyisy waywgqgtlvtvssgggsgggsgggsgq tvvtqepsltvspggtvtltcgsstgavts gnypnwvqqkpgqaprgliggtkflapgtp arfgsllggkaaltlsgvqpedeaeeycv lwysnrwvfgggtklvtlvgggdkthtcpp cpapellggpsvflfppkpkdtlmisrtpe vtcvvdvshedpevkfnwyvdgvevhnak tkpceezygstycvsvltvlhqdwlngke ykckvsnkalspapektiskakgqprepqv ytlppsreemtknqvsltlvkgfyfysdia vewesngqpennyktppvldsdgsfflys kltvdksrwqgnvfscsvmhealhnhytq kslspsgKgggsgggsgggsgggsg ggsgggsgdkthtcppcpapellggpsvf lfppkpkdtlmisrtpevtcvvdvshedp evkfnwyvdgvevhnaktkpceezygstyr cvsvltvlhqdwlngkeykckvsnkalsp</p>

			iektiskakgqprepqvylppsreemtkn qvsltclvkgfypsdiavewesnggpenny kttppvldsdsfflyskltvdkrsrwqqgn vfscsvmhealthnhytqkslslspgk
776.	CD70_13_CCx CD3-scFc	VH CDR1	syams
777.	CD70_13_CCx CD3-scFc	VH CDR2	aishsgggstfyvesvqg
778.	CD70_13_CCx CD3-scFc	VH CDR3	hdysnpyfydy
779.	CD70_13_CCx CD3-scFc	VL CDR1	rasqsvrgnyla
780.	CD70_13_CCx CD3-scFc	VL CDR2	gassrat
781.	CD70_13_CCx CD3-scFc	VL CDR3	qygyspft
782.	CD70_13_CCx CD3-scFc	VH	evqllesggglvqpggslrlscaasgftfs syamswvrqapgkclewvsaisgsggstfy aesvqgrftisrdnskntlylqvnsraed tavyyicarhdysnpyfydywgqgtlvtvss
783.	CD70_13_CCx CD3-scFc	VL	eivltqspgtlslspgeratlscrasqsvr gnylawyqqkpgqaprlliygassratgip drfsgsgsgtdftltisrlepedfavyycq qygyspftfgcgtkveik
784.	CD70_13_CCx CD3-scFc	scFv	evqllesggglvqpggslrlscaasgftfs syamswvrqapgkclewvsaisgsggstfy aesvqgrftisrdnskntlylqvnsraed tavyyicarhdysnpyfydywgqgtlvtvss ggggsgggsgggseivltqspgtlslsp geratlscrasqsvrgnylawyqqkpgqap rlliygassratgipdrfsgsgsgtdftlt isrlepedfavyycqygyspftfgcgtkv eik
785.	CD70_13_CCx CD3-scFc	биспецифи ческая	evqllesggglvqpggslrlscaasgftfs syamswvrqapgkclewvsaisgsggstfy

		молекула	<p>aesvqgrftisrdnskntlylqvnsraed tavyycarhdysnpyfydywgqgtlvtvss ggggsgggsgggseivltqspgtlslsp geratlscrasqsvrgnylawyqqkpgqap rlliygassratgipdrfsgsgsgtdftlt isrlepedfavyyccqygyspftfgcgtkv eiksggggsevqlvesggglvqpggslkls caasgftfnkyamnvrqapgkglewvari rskynnyatyyadsvkdrftisrddsknta ylqmnlnktdtavyycvrhgnfgnsyisy waywgqgtlvtvssggggsgggsgggsgq tvvtqepsltvspggtvtltcgsstgavts gnypnwvqqkpgqaprgliggtkflapgtp arfgsllggkaaltlsgvqpedeaeyycv lwysnrwvfgggtklvtl</p>
786.	CD70_13_CCx CD3-scFc	биспецифическая HLE молекула	<p>evqllesggglvqpggslrlscaasgftfs syamswvrqapgkclewvsaisgsggstfy aesvqgrftisrdnskntlylqvnsraed tavyycarhdysnpyfydywgqgtlvtvss ggggsgggsgggseivltqspgtlslsp geratlscrasqsvrgnylawyqqkpgqap rlliygassratgipdrfsgsgsgtdftlt isrlepedfavyyccqygyspftfgcgtkv eiksggggsevqlvesggglvqpggslkls caasgftfnkyamnvrqapgkglewvari rskynnyatyyadsvkdrftisrddsknta ylqmnlnktdtavyycvrhgnfgnsyisy waywgqgtlvtvssggggsgggsgggsgq tvvtqepsltvspggtvtltcgsstgavts gnypnwvqqkpgqaprgliggtkflapgtp arfgsllggkaaltlsgvqpedeaeyycv lwysnrwvfgggtklvtlvgggdkthtcpp cpapellggpsvflfppkpkdtlmsrtpe vtcvvdvshedpevkfnwyvdgvevhnak tkpceezygstyrcvsvltvlhqdwlngke</p>

			<p>ykckvsnkalpapiektiskakgqpprepqv ytlppsreemtknqvsltclvkgfypsdi vewesngqpennykttpvldsdsffly kltvdksrwqqgnvfscsvmhealhnhytq kslslspgKgggsgggsgggsgggsg ggsgggsgdkthtccppcappelggpsvf lfppkpkdtlmisrtpevtcvvvdvshedp evkfnwyvdgvevhnaktkpceeaygstyr cvsvltvlhqdwlngkeykckvsnkalpap iektiskakgqpprepqvtylppsreemtkn qvsltclvkgfypsdiavewesngqpenny kttpvldsdsfflyskltvdksrwqqgn vfscsvmhealhnhytqkslslspgk</p>
787.	CD70_13xCD3 -scFc	VH	<p>evqllesggglvqpggslrlscaasgftfs syamswvrqapgkglewvsaisgsggstfy aesvqgrftisrdnskntlylqvnsraed tavyycarhdysnypyfdywgqgtltvss</p>
788.	CD70_13xCD3 -scFc	VL	<p>eivltqspgtlslspgeratlsccrasqsvr gnylawyqqkpgqaprlliygassratgip drfsgsgsgtdftltisrlepedfavyycq qygyspftfgpgtkveik</p>
789.	CD70_13xCD3 -scFc	scFv	<p>evqllesggglvqpggslrlscaasgftfs syamswvrqapgkglewvsaisgsggstfy aesvqgrftisrdnskntlylqvnsraed tavyycarhdysnypyfdywgqgtltvss ggsgsgggsgggseivltqspgtlslsp geratlsccrasqsvrgnylawyqqkpgqap rlliygassratgipdrfsgsgsgtdftlt isrlepedfavyyccqygyspftfgpgtkv eik</p>
790.	CD70_13xCD3 -scFc	биспецифическая молекула	<p>evqllesggglvqpggslrlscaasgftfs syamswvrqapgkglewvsaisgsggstfy aesvqgrftisrdnskntlylqvnsraed tavyycarhdysnypyfdywgqgtltvss ggsgsgggsgggseivltqspgtlslsp</p>

			<p>geratlscrasqsvrgnylawyqqkpgqap rlliygassratgipdrfsgsgsgtdftlt isrlepedfavyyccqygyspftfgpgtkv eiksggggsevqlvesggglvqpggskls caasgftfnkyamnvrqapgkglewvari rskynnyatyyadsvkdrftisrddsknta ylqmnlnktdtavyycvrhgnfgnsyisy waywgqgtlvtvssggggsgggsgggsgq tvvtqepsltvspggtvtltcgsstgavts gnypnwvqqkpgqaprgliggtkflapgtp arfgsllggkaaltlsgvqpedeaeeycv lwysnrwvfgggtklvtl</p>
791.	CD70_13xCD3 -scFc	биспецифическая HLE молекула	<p>evqllesggglvqpggslrlscaasgftfs syamswvrqapgkglewvsaisgsggstfy aevqgrftisrdnskntlylqvnsraed tavyycarhdysnpyfydywgqgtlvtvss ggggsgggsggggseivltqspgtlslsp geratlscrasqsvrgnylawyqqkpgqap rlliygassratgipdrfsgsgsgtdftlt isrlepedfavyyccqygyspftfgpgtkv eiksggggsevqlvesggglvqpggskls caasgftfnkyamnvrqapgkglewvari rskynnyatyyadsvkdrftisrddsknta ylqmnlnktdtavyycvrhgnfgnsyisy waywgqgtlvtvssggggsgggsgggsgq tvvtqepsltvspggtvtltcgsstgavts gnypnwvqqkpgqaprgliggtkflapgtp arfgsllggkaaltlsgvqpedeaeeycv lwysnrwvfgggtklvtlvgggdkthtcpp cpapellggpsvflfppkpkdtlmisrtpe vtcvvdvshedpevkfnwyvdgvevhnak tkpceeqygstyrcvsvltvlhqdwlngke ykckvsnkalpapiektiskakgqprepqv ytlppsreemtknqvsltclvkgfypsia vewesngqpennykttppvldsdgsfflys</p>

			kltvdksrwqqgnvfscsvmhealhhnytq kslslspgKggggsgggsgggsgggsg ggsgggsgdkthtccppcpapellggpsvf lfppkpkdtlmisrtpvctvvvdvshedp evkfnwyvdgvevhnaktkpceeeygstyr cvsvltvlhqdwlngkeykckvsnkalpap iektiskakggprepqvylppsreemtkn qvsltclvkgfypsdiavewesngqpenny kttppvldsdgsfflyskltvdksrwqqgn vfscsvmhealhhnytqkslslspgk
792.	CD70_14_CCx CD3-scFc	VH CDR1	tyams
793.	CD70_14_CCx CD3-scFc	VH CDR2	aigsggggtfyaesvkg
794.	CD70_14_CCx CD3-scFc	VH CDR3	hdysnypyfdy
795.	CD70_14_CCx CD3-scFc	VL CDR1	rasqsirsnyla
796.	CD70_14_CCx CD3-scFc	VL CDR2	gassrat
797.	CD70_14_CCx CD3-scFc	VL CDR3	qyqgsspft
798.	CD70_14_CCx CD3-scFc	VH	evqllesggglvqpggslrlscaasgftfs tyamswvrqapgkclewvsaisgsggtfy aesvkgrftisrdnskntlylqmnsraed tavyycahdysnypyfdywgggtlvtvss
799.	CD70_14_CCx CD3-scFc	VL	eivltqspgtlslspgeratlscrasqsir snylawyqqkpgqaprlliygassratgip drfsgsgsgtdftltisrlepedfavyycq qyqgsspftfgcgtkveik
800.	CD70_14_CCx CD3-scFc	scFv	evqllesggglvqpggslrlscaasgftfs tyamswvrqapgkclewvsaisgsggtfy aesvkgrftisrdnskntlylqmnsraed tavyycahdysnypyfdywgggtlvtvss ggggsgggsggggseivltqspgtlslsp

			geratlscrasqsirsnylawyqqkpgqap rlliygassratgipdrfsgsgsgtdftlt isrlepedfavyyccqygsspftfgcgtkv eik
801.	CD70_14_CCx CD3-scFc	биспецифи ческая молекула	evqllesggglvqpggslrlscaasgftfs tyamswvrqapgkclewvsaisgsgggtfy aevkgrftisrdnskntlylqmnsraed tavyycahdysnypyfdywgqgtlvtvss ggggsgggsggggseivltqspgtlslsp geratlscrasqsirsnylawyqqkpgqap rlliygassratgipdrfsgsgsgtdftlt isrlepedfavyyccqygsspftfgcgtkv eiksggggsevqlvesggglvqpggslkls caasgftfnkyamnvrqapgkglewvari rskynnyatyyadvkdrftisrddsknta ylqmnlktdtavyycvrhgnfgnsyisy waywgqgtlvtvssggggsgggsgggsgq tvvtqepsltvspggtvtltcgsstgavts gnypnwqqkpgqaprgliggtkflapgtp arfgslggkaaltlsgvqpedeaeyycv lwysnrwvfgggtklvtl
802.	CD70_14_CCx CD3-scFc	биспецифи ческая HLE молекула	evqllesggglvqpggslrlscaasgftfs tyamswvrqapgkclewvsaisgsgggtfy acsvkgrftisrdnskntlylqmnsraed tavyycahdysnypyfdywgqgtlvtvss ggggsgggsggggseivltqspgtlslsp geratlscrasqsirsnylawyqqkpgqap rlliygassratgipdrfsgsgsgtdftlt isrlepedfavyyccqygsspftfgcgtkv eiksggggsevqlvesggglvqpggslkls caasgftfnkyamnvrqapgkglewvari rskynnyatyyadvkdrftisrddsknta ylqmnlktdtavyycvrhgnfgnsyisy waywgqgtlvtvssggggsgggsgggsgq tvvtqepsltvspggtvtltcgsstgavts

			<p>gnypnwvqqkpgqaprgliggtkflapgtp arfgsllggkaaltlsgvqpdeaeeycv lwysnrwvfgggtklvtlvgggdkthtcpp cpapellggpsvflfppkpkdtlmisrtpe vtcvvvdvshedpevkfnwyvdgvevhnak tkpceeegystyrcvsvltvlhqdwlngke ykckvsnkalspapektiskakgqprepqv ytlppsreemtknqvsltclvkgfypsdi vewesngqpennykttppvldsdsfflys kltvdksrwqqgnvfscsvmhealhnhytq kslslspgKgggsgggsgggsgggsgg ggsgggsgdkthtcppcpapellggpsvf lfppkpkdtlmisrtpevtcvvvdvshedp evkfnwyvdgvevhnaktkpceeegysty cvsvltvlhqdwlngkeykckvsnkalsp iektiskakgqprepqvylppsreemtkn qvsltclvkgfypsdiavewesngqpenny kttppvldsdsfflyskltvdksrwqqgn vfscsvmhealhnhytqkslslspgk</p>
803.	CD70_14xCD3 -scFc	VH	<p>evqllesggglvqpggslrlscaasgftfs tyamswvrqapggkglewvsaisgsgggtfy aesvkgrftisrdnskntlylqmnsraed tavyycahdysnpyfydywgqgtlvtvss</p>
804.	CD70_14xCD3 -scFc	VL	<p>civltqspgtlslspgcratlscrasqsir snylawyqqkpgqaprlliygassratgip drfsgsgsgtdftltisrlepedfavyyq qygsspftfgpgtkveik</p>
805.	CD70_14xCD3 -scFc	scFv	<p>evqllesggglvqpggslrlscaasgftfs tyamswvrqapggkglewvsaisgsgggtfy aesvkgrftisrdnskntlylqmnsraed tavyycahdysnpyfydywgqgtlvtvss ggsgggsgggsgggseivltqspgtlslsp geratlscrasqsirsnylawyqqkpgqap rlliygassratgipdrfsgsgsgtdftlt isrlepedfavyycqygsspftfgpgtkv</p>

			eik
806.	CD70_14xCD3 -scFc	биспецифическая молекула	evqllesggglvqpggslrlscaasgftfs tyamswvrqapgkglewvsaisgsggtfy aesvkgrftisrdnskntlylqmnsdraed tavyycahdysnpyfydywgqgtlvtvss ggggsgggsggggseivltqspgtlslsp geratlscrasqsirsnylawyqqkpgqap rlliygassratgipdrfsgsgtdftlt isrlepedfavyyccqygsspftfgpgtkv eiksggggsevqlvesggglvqpggslkls caasgftfnkyamnvrqapgkglewvari rskynnyatyyadsvkdrftisrddsknta ylqmnlktdtavyycvrhgnfgnsyisy waywgqgtlvtvssggggsgggsgggsgq tvvtqepsltvspggtvtltcgsstgavts gnypnwqqkpgqaprgliggtkflapgtp arfsgslggkaaltlsgvqpedeaeyycv lwysnrwvfgggtkltvl
807.	CD70_14xCD3 -scFc	биспецифическая HLE молекула	evqllesggglvqpggslrlscaasgftfs tyamswvrqapgkglewvsaisgsggtfy aesvkgrftisrdnskntlylqmnsdraed tavyycahdysnpyfydywgqgtlvtvss ggggsgggsggggseivltqspgtlslsp geratlscrasqsirsnylawyqqkpgqap rlliygassratgipdrfsgsgtdftlt isrlepedfavyyccqygsspftfgpgtkv eiksggggsevqlvesggglvqpggslkls caasgftfnkyamnvrqapgkglewvari rskynnyatyyadsvkdrftisrddsknta ylqmnlktdtavyycvrhgnfgnsyisy waywgqgtlvtvssggggsgggsgggsgq tvvtqepsltvspggtvtltcgsstgavts gnypnwqqkpgqaprgliggtkflapgtp arfsgslggkaaltlsgvqpedeaeyycv lwysnrwvfgggtkltvlgggdkthtcpp

			cpapellggpsvflfppkpkdtlmisrtpe vtcvvvdvshedpevkfnwyvdgvevhnak tkpceeegystyrcvsvltvlhqdwlngke ykckvsnkalpapiektiskakgqprepqv ytlppsreemtknqvsltclvkgfypsdi vewesngqpennykttppvldsdsfflys kltvdksrwqqgnvfscsvmhealhhnytq kslslspgKgggsgggsgggsgggsg ggsgggsgskthtcppcpapellggpsvf lfppkpkdtlmisrtpevtcvvvdvshedp evkfnwyvdgvevhnaktkpeeegysty cvsvltvlhqdwlngkeykckvsnkalpap iektiskakgqprepqvtylppsreemtkn qvsltclvkgfypsdiavewesngqpenny kttppvldsdsfflyskltvdksrwqqgn vfscsvmhealhhnytqkslslspgk
808.	CD70_15_CCx CD3-scFc	VH CDR1	tyams
809.	CD70_15_CCx CD3-scFc	VH CDR2	lisgsggrtyyaesvkg
810.	CD70_15_CCx CD3-scFc	VH CDR3	hdysnypyfdy
811.	CD70_15_CCx CD3-scFc	VL CDR1	rasqsvrsnyla
812.	CD70_15_CCx CD3-scFc	VL CDR2	gasnrat
813.	CD70_15_CCx CD3-scFc	VL CDR3	qqygisppt
814.	CD70_15_CCx CD3-scFc	VH	evqllesggglvqpggsrlscaasgftfs tyamswvrqapgkclewvslisgsggrtyy aesvkgrftisrdnskntlylqmnsdraed tavyycahdysnypyfdywgqgtltvss
815.	CD70_15_CCx CD3-scFc	VL	eivltqspgtlslsppgeratls crasqsvr snylawyqqkpgqaprlliygasnratgip drfsgsgsgtdftltisrlepedfavyscq

			qygispptfgcgtkveik
816.	CD70_15_CCx CD3-scFc	scFv	evqllesggglvqpggslrlscaasgftfs tyamswvrqapgkclewslisgsggrtyy aesvkgrftisrdnskntlylqmnsraed tavyycahdysnpyfydywgqgtlvtvss ggggsgggsggggseivltqspgtlslsp geratlsctasqsvrsnylawyqqkpgqap rlliygasnratgipdrfsgsgsgtdftlt isrlepedfavyscqqygispptfgcgtkv eik
817.	CD70_15_CCx CD3-scFc	биспецифи ческая молекула	evqllesggglvqpggslrlscaasgftfs tyamswvrqapgkclewslisgsggrtyy aesvkgrftisrdnskntlylqmnsraed tavyycahdysnpyfydywgqgtlvtvss ggggsgggsggggseivltqspgtlslsp geratlsctasqsvrsnylawyqqkpgqap rlliygasnratgipdrfsgsgsgtdftlt isrlepedfavyscqqygispptfgcgtkv eiksggggsevqlvesggglvqpggslkls caasgftfnkyamnswvrqapgkglewvari rskynnyatyyadsvkdrftisrddsknta ylqmnlktdtavyycvrhgnfgnsyisy waywgqgtlvtvssggggsgggsgggsgq tvvtqepsltvspggtvltcgsstgavts gnypnwvqqkpgqaprgliggtkflapgtp arfgsllggkaaltlsgvqpedeaeeycv lwysnrwvfgggtklvtl
818.	CD70_15_CCx CD3-scFc	биспецифи ческая HLE молекула	evqllesggglvqpggslrlscaasgftfs tyamswvrqapgkclewslisgsggrtyy aesvkgrftisrdnskntlylqmnsraed tavyycahdysnpyfydywgqgtlvtvss ggggsgggsggggseivltqspgtlslsp geratlsctasqsvrsnylawyqqkpgqap rlliygasnratgipdrfsgsgsgtdftlt isrlepedfavyscqqygispptfgcgtkv

			eiksggggsevqlvesggglvqpggslkls caasgftfnkyamnvrqapgkglewvari rskynnyatyyadsvkdrftisrddsknta ylqmnnlktedtavyycvrhgnfgnsyisy waywgqgtlvtvssggggsgggsgggsgq tvvtqepsltvspggtvtltcgsstgavts gnypnwvqqkpgqaprgliggtkflapgtp arfgsllggkaaltlsgvqpedaeeycv lwysnrwvfgggtklvtlvgggdkthtcpp cpapellggpsvflfppkpkdtlmisrtpe vtcvvvdvshedpevkfnwyvdgvevhnak tkpceeegygstyrcvsvltvlhqdwlngke ykckvsnkalspapektiskakgqprepqv ytlppsreemtknqvsltclvkgfypsdi vewesngqpennykttppvldsdsffly kltvdksrwqqgnvfscsvmhealhnhytq kslsispgKggggsgggsgggsgggsg ggsgggsgdkthtcppcpapellggpsv lfppkpkdtlmisrtpevtcvvvdvshedp evkfnwyvdgvevhnaktkpeeegygsty cvsvltvlhqdwlngkeykckvsnkalsp iektiskakgqprepqvtytlppsreemtkn qvsltclvkgfypsdiavewesngqpenny kttppvldsdsfflyskltvdksrwqqgn vfscsvmhealhnhytqkslsispgk
819.	CD70_15xCD3 -scFc	VH	evqllesggglvqpggslrlscaasgftfs tyamswvrqapgkglewvslisgsggrtyy aesvkgrftisrdnskntlylqmnsraed tavyycahdysnpyfydywgqgtlvtvss
820.	CD70_15xCD3 -scFc	VL	eivltqspgtlslspgeratlscrasqsvr snylawyqqkpgqaprlliygasnatgip drfsgsgsgtdftltisrlepedfavyscq qygispptfgggtkveik
821.	CD70_15xCD3 -scFc	scFv	evqllesggglvqpggslrlscaasgftfs tyamswvrqapgkglewvslisgsggrtyy

			<p>aesvkgrftisrdnskntlylqmnsraed tavyycahdysnpyfydywgqgtlvtvss ggggsgggsggggseivltqspgtlslsp geratlsccrasqsvrsnylawyqqkpgqap rlliygasnratgipdrfsgsgsgtdftlt isrlepedfavyscqqygispptfgggtkv eik</p>
822.	CD70_15xCD3 -scFc	биспецифическая молекула	<p>evqllesggglvqpggslrlscaasgftfs tyamswvrqapgkglewslisgsggrtyy aesvkgrftisrdnskntlylqmnsraed tavyycahdysnpyfydywgqgtlvtvss ggggsgggsggggseivltqspgtlslsp geratlsccrasqsvrsnylawyqqkpgqap rlliygasnratgipdrfsgsgsgtdftlt isrlepedfavyscqqygispptfgggtkv eiksggggsevqlvesggglvqpggslkls caasgftfnkyamnvrqapgkglewvari rskynnyatyyadsvkdrftisrddsknta ylqmnlktdtavyycvrhgnfgnsyisy waywgqgtlvtvssggggsgggsgggsgq tvvtqepsltvspggvtlvtcgsstgavts gnypnwvqqkpgqaprgliggtkflapgtp arfgsllggkaaltlsgvqpedeaeyycv lwysnrwvfgggtkltvl</p>
823.	CD70_15xCD3 -scFc	биспецифическая HLE молекула	<p>evqllesggglvqpggslrlscaasgftfs tyamswvrqapgkglewslisgsggrtyy aesvkgrftisrdnskntlylqmnsraed tavyycahdysnpyfydywgqgtlvtvss ggggsgggsggggseivltqspgtlslsp geratlsccrasqsvrsnylawyqqkpgqap rlliygasnratgipdrfsgsgsgtdftlt isrlepedfavyscqqygispptfgggtkv eiksggggsevqlvesggglvqpggslkls caasgftfnkyamnvrqapgkglewvari rskynnyatyyadsvkdrftisrddsknta</p>

			ylmnnlktedtavyycvrhgnfgnsyisy waywgggtlvtvssggggsgggsgggsgq tvvtqepsltvspggtvtltcgsstgavts gnypnwvqqkpgqaprgliggtkflapgtp arfsgsllggkaaltlsgvqpedeaeeycv lwysnrwvfgggtklvtlvgggdkthtcpp cpapellgppsflfpkpkdtlmsirtpe vtcvvdvshedpevkfnwyvdgvevhnak tkpceezygstyrcvsvltvlhqdwlngke ykckvsnkalspapektiskakgqprepqv ytlppsreemtknqvsltclvkgyfypsdi vewesngqpennykttppvldsdsfflys kltvdksrwqqgnvfscsvmhealnhhtq kslslspgKggggsgggsgggsgggsgg gggsgggsgdkthtcppcpapellgppsfl lfpkpkdtlmsirtpevtcvvdvshedp evkfnwyvdgvevhnaktkpceezygstyr cvsvltvlhqdwlngkeykckvsnkalsp apektiskakgqprepqvtytlppsreemtkn qvsltclvkgyfypsdiavewesngqpenny kttppvldsdsfflyskltvdksrwqqgn vfscsvmhealnhhtqkslslspgk
824.	CD70_16_CCx CD3-scFc	VH CDR1	syams
825.	CD70_16_CCx CD3-scFc	VH CDR2	aigsgggraqaesvqg
826.	CD70_16_CCx CD3-scFc	VH CDR3	hdysnypyfdy
827.	CD70_16_CCx CD3-scFc	VL CDR1	rasqsvssnla
828.	CD70_16_CCx CD3-scFc	VL CDR2	gsssrat
829.	CD70_16_CCx CD3-scFc	VL CDR3	qqygsppp
830.	CD70_16_CCx	VH	evqllesggglvqpggsrlscaasgftfs

	CD3-scFc		syamswvrqspgkclewvsaisgsggraqy aesvqgrftvsrdnskntlylqmnsltraed tavyycahdysnpyfydywgqgtlvtvss
831.	CD70_16_CCx CD3-scFc	VL	eivltqspatlsvspgeratlsctasqsvs snlawyqqkpgqaprlliygsssratgipd rfsgsgsgtdftltisrlepedfavyyccq ygsspppfgcgtkveik
832.	CD70_16_CCx CD3-scFc	scFv	evqllesggglvqpggslrlscaasgftfs syamswvrqspgkclewvsaisgsggraqy aesvqgrftvsrdnskntlylqmnsltraed tavyycahdysnpyfydywgqgtlvtvss ggggsgggsggggseivltqspatlsvsp geratlsctasqsvssnlawyqqkpgqapr lliygsssratgipdrfsgsgsgtdftlti srlepedfavyyccqygsspppfgcgtkve ik
833.	CD70_16_CCx CD3-scFc	биспецифи ческая молекула	evqllesggglvqpggslrlscaasgftfs syamswvrqspgkclewvsaisgsggraqy aesvqgrftvsrdnskntlylqmnsltraed tavyycahdysnpyfydywgqgtlvtvss ggggsgggsggggseivltqspatlsvsp geratlsctasqsvssnlawyqqkpgqapr lliygsssratgipdrfsgsgsgtdftlti srlepedfavyyccqygsspppfgcgtkve iksggggsevqlvesggglvqpggslklsc aasgftfnkyamnwvrqapgkglewvarir skynnyatyadsvkdrftisrddskntay lqmnnlktedtavyycvrhgnfgnsyisyw aywgqgtlvtvssggggsgggsgggsgt vvtqepsiltvspggtvtltcgsstgavtsg nypnwvqqkpgqaprgliggtkflapgtpa rfsgslggkaaltlsgvqpedaeeycvl wysnrwvfgggtklvtl
834.	CD70_16_CCx CD3-scFc	биспецифи ческая	evqllesggglvqpggslrlscaasgftfs syamswvrqspgkclewvsaisgsggraqy

		HLE молекула	<p>aesvqgrftvsrdnskntlylqmnsraed tavyycakhdysnpyfydywgqgtlvtvss ggggsgggsggggseivltqspatlsvsp geratlsqrasqsvssnlawyqqkpgqapr llygsssratgipdrfsgsgsgtdftlti srlepedfavyyccqygsspppfgcgtkve iksggggsevqlvesggglvqpggsiklsc aasgftfnkyamnvrqapgkglewvarir skynnyatyyadvkdrftisrddskntay lqmnlktdtavyycvrhgnfgnsyisyw aywgqgtlvtvssggggsgggsgggsgqt vvtqepsltvspggtvtltcgsstgavtsg nypnwvqqkpgqaprgliggtkflapgtpa rfsgslggkaaltlsgvqpedeaeeycvl wysnrwvfgggtklvtlvggggdkthtppc papellggpsvflfppkpkdtlmisrtpev tcvvdvshedpevkfnwydgvevhnakt kpceezygstyrcvsvltvlhqdwlngkey kckvsnkalpapiektiskakgqprepvy tlppsreemtknqvsltclvkgfypsdiav ewesngqpennyktppvldsdsfflysk ltvdksrwqqgnvfscsvmhealhnhytqk slslspgKggggsgggsgggsgggsgg ggsgggsgdkthtppcpapellggpsvfl fppkpkdtlmisrtpevtcvvdvshedpe vkfnwydgvevhnaktkpceezygstyrc vsvltvlhqdwlngkeykckvsnkalpapi ektiskakgqprepqvytlppsreemtknq vsltclvkgfypsdiavewesngqpennyk tppvldsdsfflyskltvdksrwqqgnv fscsvmhealhnhytqkslslspgk</p>
835.	CD70_16xCD3 -scFc	VH	<p>evqllesggglvqpggsrlrlscaasgftfs syamswvrqspgkglewvsaisgsggraqy aesvqgrftvsrdnskntlylqmnsraed tavyycakhdysnpyfydywgqgtlvtvss</p>

836.	CD70_16xCD3 -scFc	VL	eivltqspatlsvspgeratlsctasqsvs snlawyqqkpgqaprlliygssratgipd rfsgsgsgtdftltisrlepedfavyyccq ygsspppfgggtkveik
837.	CD70_16xCD3 -scFc	scFv	evqllesggglvqpggslrlscaasgftfs syamswvrqspgkglewvsaisgsggraqy aesvqgrftvsrdnskntlylqmnsraed tavyycahdysnpyfydywgqgtltvss ggggsgggsggggseivltqspatlsvsp geratlsctasqsvssnlawyqqkpgqapr lliygssratgipdrfsgsgsgtdftlti srlepedfavyyccqygsspppfgggtkve ik
838.	CD70_16xCD3 -scFc	биспецифи ческая молекула	evqllesggglvqpggslrlscaasgftfs syamswvrqspgkglewvsaisgsggraqy aesvqgrftvsrdnskntlylqmnsraed tavyycahdysnpyfydywgqgtltvss ggggsgggsggggseivltqspatlsvsp geratlsctasqsvssnlawyqqkpgqapr lliygssratgipdrfsgsgsgtdftlti srlepedfavyyccqygsspppfgggtkve iksggggsevqlvesggglvqpggslklsc aasgftfnkyamnwvrqapgkglewvarir skynnyatyadsvkdrftierddskntay lqmnnlktedtavyycvrhgnfgnsyisyw aywgqgtltvssggggsgggsgggsgt vvtqepsiltvspggtvtltcgsstgavtsg nypnwqqkpgqaprgliggtkflapgtpa rfsgsllggkaaltlsgvqpedeaeycvl wysnrwvfgggtkltvl
839.	CD70_16xCD3 -scFc	биспецифи ческая HLE молекула	evqllesggglvqpggslrlscaasgftfs syamswvrqspgkglewvsaisgsggraqy aesvqgrftvsrdnskntlylqmnsraed tavyycahdysnpyfydywgqgtltvss ggggsgggsggggseivltqspatlsvsp

			<p>geratlscrasqsvssnlawyqqkpgqapr llygsssratgipdrfsgsgsgtdftlti srlepedfavyyccqygsspppfgggtkve iksggggsevqlvesggglvqpggslklsc aasgftfnkyamnvrqapgkglewvarir skynnyatyyadsvkdrftisrddskntay lqmnlnktdtavyycvrhgnfgnsyisyw aywgqgtlvtvssgggsgggsgggsgt vvtqepsltvspggtvtltcgsstgavtsg nypnwvqqkpgqaprgliggtkflapgtpa rfsgsllggkaaltlsgvqpedaeeycvl wysnrwvfgggtklvtlvgggdkthtppc papellggpsvflfppkpkdtlmisrtpev tcvvdvshedpevkfnwyvdgvevhnakt kpceeeygstyrcvsvltvlhqdwlngkey kckvsnkalpapiektiskakgqprepvy tlppsreemtknqvsltclvkgfypsdiav ewesngqpennyktppvldsdsfflysk ltvdksrwqqgnvfscsvmhealhhhtqk slslspgKggggsgggsgggsgggsgg ggsgggsgdkthtppcpapellggpsvfl fppkpkdtlmisrtpevtcvvdvshedpe vkfnwyvdgvevhnaktkpceeeygstyrc vsvltvlhqdwlngkeykckvsnkalpapi ektiskakgqprepvytlppsreemtknq vsltclvkgfypsdiavewesngqpennyk tppvldsdsfflyskltvdksrwqqgnv fscsvmhealhhhtqkslslspgk</p>
840.	CD70_17_CCx CD3-scFc	VH CDR1	syams
841.	CD70_17_CCx CD3-scFc	VH CDR2	aigsggrtfaesveg
842.	CD70_17_CCx CD3-scFc	VH CDR3	hdysnypyfdy
843.	CD70_17_CCx	VL CDR1	rasqgvrsdyla

	CD3-scFc		
844.	CD70_17_CCx CD3-scFc	VL CDR2	gassrat
845.	CD70_17_CCx CD3-scFc	VL CDR3	qqygstppt
846.	CD70_17_CCx CD3-scFc	VH	evqllesgggmvpqpgslrlscaasgftfs syamswvrqapgkclewvsaisgsggrtfy aesvegrftisrdnskntlylqmnsraed tavyyctkhdysnpyfdywgqgtltvss
847.	CD70_17_CCx CD3-scFc	VL	eivltqspgtlslspgeratlscrasqgvr sdylawyqqkpgqaprlliygassratgip drfsgsgsgtdftltisrlepedfavyhcg qygstpptfgcgtkveik
848.	CD70_17_CCx CD3-scFc	scFv	evqllesgggmvpqpgslrlscaasgftfs syamswvrqapgkclewvsaisgsggrtfy aesvegrftisrdnskntlylqmnsraed tavyyctkhdysnpyfdywgqgtltvss ggggsgggsggggseivltqspgtlslsp geratlscrasqgvr sdylawyqqkpgqap rlliygassratgipdrfsgsgsgtdftlt isrlepedfavyhcgqygstpptfgcgtkv eik
849.	CD70_17_CCx CD3-scFc	биспецифическая молекула	evqllesgggmvpqpgslrlscaasgftfs syamswvrqapgkclewvsaisgsggrtfy aesvegrftisrdnskntlylqmnsraed tavyyctkhdysnpyfdywgqgtltvss ggggsgggsggggseivltqspgtlslsp geratlscrasqgvr sdylawyqqkpgqap rlliygassratgipdrfsgsgsgtdftlt isrlepedfavyhcgqygstpptfgcgtkv eiksggggsevqlvesggglvqpggslkls caasgftfnkyamnvrqapgglewvari rskynnyatyadsvkdrftisrddsknta ylqmnlktdtavyycvrhgnfgnsyisy waywgqgtltvssggggsgggsgggsg

			<p>tvvtqepsltvspggtvtltcgsstgavts gnypnwvqqkpgqaprgliggtkflapgtp arfgsllggkaaltlsgvqpedeaeeycv lwysnrwvfgggtklvtl</p>
850.	<p>CD70_17_CCx CD3-scFc</p>	<p>биспецифи ческая HLE молекула</p>	<p>evqllesgggmvpqpgslrlscaasgftfs syamswvrqapgkclewvsaisgsggrtfy aesvegrftisrdnskntlylqmnsraed tavyyctkhdysnpyfydywgqgtlvtvss ggggsgggsgggseivltqspgtlslsp geratlscrasqgvrsdylawyqqkpgqap rlliygassratgipdrfsgsgsgtdftlt isrlepedfavyhccqygstpftfgcgtkv eiksggggsevqlvesggglvqpggslkls caasgftfnkyamnvrqapgkglewvari rskynnyatyadsvkdrftisrddsknta ylqmnlktdtavyycvrhgnfgnsyisy waywgqgtlvtvssggggsgggsgggsgq tvvtqepsltvspggtvtltcgsstgavts gnypnwvqqkpgqaprgliggtkflapgtp arfgsllggkaaltlsgvqpedeaeeycv lwysnrwvfgggtklvtlvgggdkthtcpp cpapellggpsvflfpkpkdtlmsrtpe vtcvvdvshedpevkfnwyvdgvevhnak tkpceeegystyrcvsvltvlhqdwlngke ykckvsnkalpapiektiskakgqprepqv ytlppsreemtknqvsltclvkgfypsdi vewesngqpennykttppvldsdfsfllys kltvdksrwqqgnvfscsvmhealhnytg kslslspgKggggsgggsgggsgggsgg ggsgggsgskthtcppcpapellggpsvf lfppkpkdtlmsrtpevtcvvdvshedp evkfnwyvdgvevhnaktkpceeegysty cvsvltvlhqdwlngkeykckvsnkalpap iektiskakgqprepqvtylppsreemtkn qvsltclvkgfypsdiavewesngqpenny</p>

			ktppvldsdgsfflyskltvdksrwqqgn vfscsvmhealthhnytqkslslspgk
851.	CD70_17xCD3 -scFc	VH	evqllesgggmvpqpgslrlscaasgftfs syamswvrqapgglewvsaisgsggrtfy aesvegrftisrdnskntlylqmnsraed tavyyctkhdysnpyfydywgqgtlvtvss
852.	CD70_17xCD3 -scFc	VL	eivltqspgtlslspgeratlsctasqgvr sdylawyqqkpgqaprlliygassratgip drfsgsgsgtdftltisrlepedfavyhq qygstpptfgggtkveik
853.	CD70_17xCD3 -scFc	scFv	evqllesgggmvpqpgslrlscaasgftfs syamswvrqapgglewvsaisgsggrtfy aesvegrftisrdnskntlylqmnsraed tavyyctkhdysnpyfydywgqgtlvtvss gggsgggsggggseivltqspgtlslsp geratlsctasqgvrdsylawyqqkpgqap rlliygassratgipdrfsgsgsgtdftlt isrlepedfavyhqcyggtpptfgggtkv eik
854.	CD70_17xCD3 -scFc	биспецифическая молекула	evqllesgggmvpqpgslrlscaasgftfs syamswvrqapgglewvsaisgsggrtfy aesvegrftisrdnskntlylqmnsraed tavyyctkhdysnpyfydywgqgtlvtvss gggsgggsggggseivltqspgtlslsp geratlsctasqgvrdsylawyqqkpgqap rlliygassratgipdrfsgsgsgtdftlt isrlepedfavyhqcyggtpptfgggtkv eiksggggsevqlvesggglvqpggslkls caasgftfnkyamwvrqapgglewvari rskynnyatyyadsvkdrftisrddsknta ylqmnlktdtavyycvrhgnfgnsyisy waywgqgtlvtvssgggsgggsgggsgq tvvtqepsltvspggtvtltcgsstgavts gnypnwvqqkpgqaprgliggtkflapgtp arfgsllggkaaltlsgvqpedeaeycv

			lwysnrwvfgggtklvtl
855.	CD70_17xCD3 -scFc	биспецифическая HLE молекула	evqllesgggmvgpqqslrlscaasgftfs syamswvrqapggkglewvsaisgsggrtfy aesvegrftisrdnskntlylqmnsdraed tavyyctkhdysnpyfydywgggtlvtvss ggggsgggsggggseivltqspgtlslsp geratlscrasqgvrsdylawyqqkpgqap rlliygassratgipdrfsgsgsgtdftlt isrlepedfavyhccqygstpptfgggtkv eiksggggsevqlvesggglvqpggskls caasgftfnkyamnvrqapggkglewvari rskynnyatyadsvkdrftisrddsknta ylqmnlktedtavyycvrhgnfgnsyisy waywgggtlvtvssggggsgggsgggsgq tvvtqepsltvspggvtlvtcgsstgavts gnypnwvqqkpgqaprgliggtkflapgtp arfgslggkaaltlsgvqpedeaeyycv lwysnrwvfgggtklvtlvgggdkthtcpp cpapellggpsvflfppkpkdtlmisrtp vtcvvdvshedpevkfnwyvdgvevhnak tkpceeegystyrcvsvltvlhqdwlngke ykckvsnkalpapiektiskakgqprepqv ytlppsreemtknqvsltclvkgfypsdi vewesngqpennykttpvldsdsffly kltvdksrwqqgnvfscsvmhealhnhytq kslslspgKggggsgggsgggsgggsg ggsgggsgdkthtcppcpapellggpsvf lfppkpkdtlmisrtpvtevcvvdvshedp evkfnwyvdgvevhnaktkpeeegysty cvsvltvlhqdwlngkeykckvsnkalpap iektiskakgqprepqvtytlppsreemtkn qvsltclvkgfypsdiavewesngqpenny kttpvldsdsfflyskltvdksrwqqgn vfscsvmhealhnhytqkslslspgk
856.	CD70_18_CCx	VH CDR1	syams

	CD3-scFc		
857.	CD70_18_CCx CD3-scFc	VH CDR2	aigeggytyyaesvkg
858.	CD70_18_CCx CD3-scFc	VH CDR3	hdysnpyfydy
859.	CD70_18_CCx CD3-scFc	VL CDR1	rasqgvrssyfa
860.	CD70_18_CCx CD3-scFc	VL CDR2	gastrat
861.	CD70_18_CCx CD3-scFc	VL CDR3	qyqgssppt
862.	CD70_18_CCx CD3-scFc	VH	evqllesqqqlvqpqqslrlscaasqftfs syamswvrqapgkclewvsaigeggytyy aesvkgrftisrdnskntslmnsraed tavyycarhdysnpyfydywgqgtlvtvs
863.	CD70_18_CCx CD3-scFc	VL	eivltqspgtlslspgeratlsctasqgvr ssyfawyqqkpgqaprlliygastratgip arfsgsgsgtdftltisrlepedfavyycq qyqgsspptfgcgtkveik
864.	CD70_18_CCx CD3-scFc	scFv	evqllesggglvqpqgslrlscaasqftfs syamswvrqapgkclewvsaigeggytyy aesvkgrftisrdnskntslmnsraed tavyycarhdysnpyfydywgqgtlvtvss ggggsgggsgggseivltqspgtlslsp geratlsctasqgvrssyfawyqqkpgqap rlliygastratgiparfsgsgsgtdftlt isrlepedfavyycqyqgsspptfgcgtkv eik
865.	CD70_18_CCx CD3-scFc	биспецифическая молекула	evqllesggglvqpqgslrlscaasqftfs syamswvrqapgkclewvsaigeggytyy aesvkgrftisrdnskntslmnsraed tavyycarhdysnpyfydywgqgtlvtvss ggggsgggsgggseivltqspgtlslsp geratlsctasqgvrssyfawyqqkpgqap rlliygastratgiparfsgsgsgtdftlt

			<p>isrlepedfavyyccqygspsptfgcgtkv eiksggggsevqlvesggglvqpggslkls caasgftfnkyamnvrqapgkglewvari rskynnyatyyadsvkdrftisrddsknta ylqmnlktdtavyycvrhgnfgnsyisy waywgqgtlvtvssggggsgggsgggsgq tvvtqepsltvspggtvtltcgsstgavts gnypnwvqqkpgqaprgliggtkflapgtp arfgsllggkaaltlsgvqpedeaeeycv lwysnrwvfgggtklvtl</p>
866.	<p>CD70_18_CCx CD3-scFc</p>	<p>биспецифи ческая HLE молекула</p>	<p>evqllesggglvqpggslrlscaasgftfs syamswvrqapgkclewvsaigeggytyy aevkgrftisrdnskntslmnsraed tavyycarhdysnpyfdywgqgtlvtvss ggggsgggsgggseivltqspgtlslsp geratlscrasqgvrssyfawyqqkpgqap rlliygastratgiparfsgsgsgtdftlt isrlepedfavyyccqygspsptfgcgtkv eiksggggsevqlvesggglvqpggslkls caasgftfnkyamnvrqapgkglewvari rskynnyatyyadsvkdrftisrddsknta ylqmnlktdtavyycvrhgnfgnsyisy waywgqgtlvtvssggggsgggsgggsgq tvvtqepsltvspggtvtltcgsstgavts gnypnwvqqkpgqaprgliggtkflapgtp arfgsllggkaaltlsgvqpedeaeeycv lwysnrwvfgggtklvtlvgggdkthtcpp cpapellggpsvflfppkpkdtlmsrtpe vtcvvvdvshedpevkfnwyvdgvevhnak tkpceeqqgstyrcvsvltvlhqdwlngke ykckvsnkalpapiektiskakgpprepqv ytlppsreemtknqvsltclvkgfypsdia vewesngqpennyktppvldsdgsfflys kltvdksrwqqgnvfscsvmhealhnhytq kslslspgKggggsgggsgggsgggsg</p>

			ggsgggsgskthtcppcpapellggpsvf lfppkpkdtlmsirtpevtcvvvdvshedp evkfnwyvdgvevhnaktkpceeeggstyr cvsvltvlhqdwlngkeykckvsnkalpap iektiskakgpprepqvvtlppsreemtkn qvsltclvkgfypsdiavewesngqpenny kttpvldsdsfflyskltvdksrwqqgn vfscsvmhealhnhytqkslslspgk
867.	CD70_18xCD3 -scFc	VH	evqllesggglvqpggslrlscaasgftfs syamswvrqapgkglewvsaiegggytyy aesvkgrftisrdnskntslslmnsraed tavyycarhdysnpyfydywgqgtlvtvss
868.	CD70_18xCD3 -scFc	VL	eivltqspgtlslspgeratlsccrasqgvr ssyfawyqqkpgqaprlliygastratgip arfsgsgsgtdftltisrlepedfavyyccq qygsspptfgqgtkveik
869.	CD70_18xCD3 -scFc	scFv	evqllesggglvqpggslrlscaasgftfs syamswvrqapgkglewvsaiegggytyy aesvkgrftisrdnskntslslmnsraed tavyycarhdysnpyfydywgqgtlvtvss ggsgggggsgggseivltqspgtlslsp geratlsccrasqgvrssyfawyqqkpgqap rlliygastratgiparfsgsgsgtdftlt isrlepedfavyyccqygsspptfgqgtkv eik
870.	CD70_18xCD3 -scFc	биспецифи ческая молекула	evqllesggglvqpggslrlscaasgftfs syamswvrqapgkglewvsaiegggytyy aesvkgrftisrdnskntslslmnsraed tavyycarhdysnpyfydywgqgtlvtvss ggsgggggsgggseivltqspgtlslsp geratlsccrasqgvrssyfawyqqkpgqap rlliygastratgiparfsgsgsgtdftlt isrlepedfavyyccqygsspptfgqgtkv eiksggggsevqlvesggglvqpggslkls caasgftfnkyamnwwvrqapgkglewvari

			<p>rskynnyatyadsvkdrftisrddsanta ylmnlnktdtavyycvrhgnfgnsyisy waywgqgtlvtvssggggsgggsgggsgq tvvtqepsltvspggtvltcgsstgavts gnypnwvqqkpgqaprgliggtkflapgt arfsgslggkaaltlsgvqpedeaeeycv lwysnrwvfgggtklvtl</p>
871.	CD70_18xCD3 -scFc	биспецифи ческая HLE молекула	<p>evqllesggglvqpggsrlscaasgftfs syamswvrqapgkglewvsaiegggytyy aevkgrftisrdnskntslmnsraed tavyycarhdysnpyfydwqgtlvtvss gggsgggsggggseivltqspgtlslsp geratlsctasqgvrssyfawyqqkpgqap rlliygastratgiparfsgsgtdftlt isrlepedfavyyccqygspsptfgggtkv eiksgggsevqlvesggglvqpggsllks caasgftfnkyamnvrqapgkglewvari rskynnyatyadsvkdrftisrddsanta ylmnlnktdtavyycvrhgnfgnsyisy waywgqgtlvtvssggggsgggsgggsgq tvvtqepsltvspggtvltcgsstgavts gnypnwvqqkpgqaprgliggtkflapgt arfsgslggkaaltlsgvqpedeaeeycv lwysnrwvfgggtklvtlvggdkthtcpp cpapellgppsflfpkpkdtlmisrtpe vtcvvdvshedpevkfnwyvdgvevhnak tkpceeegystyrcvsvltvlhqdwlngke ykckvsnkalpapiektiskakgqprepqv ytlppsreemtknqvsltclvkgfydia vewesngqpennyktppvldsdsfflys kltdksrwqgnvfscsvmhealhnhytq kslslspgKggggsgggsgggsgggsgg gggsgggsgdkthtcppcpapellgppsfl fpkpkdtlmisrtpevtcvvdvshedp evkfnwyvdgvevhnaktkpceeegystyr</p>

			cvsvltvlhqdwlngkeykckvsnkalpap iektiskakggpprepqvvtlppsreemtkn qvsltclvkgfypsdiavewesngqpenny kttppvldsdsfflyskltvdksrwqqgn vfscsvmhealhnhytqkslslspgk
872.	CD70_19_CCx CD3-scFc	VH CDR1	syams
873.	CD70_19_CCx CD3-scFc	VH CDR2	aisgsggrtfaesveg
874.	CD70_19_CCx CD3-scFc	VH CDR3	hdysnypyfdy
875.	CD70_19_CCx CD3-scFc	VL CDR1	rasqsirsnyla
876.	CD70_19_CCx CD3-scFc	VL CDR2	gassrat
877.	CD70_19_CCx CD3-scFc	VL CDR3	qqygsspps
878.	CD70_19_CCx CD3-scFc	VH	evqllesgggvvqgrslrlscaasgftfs syamswvrqapgkclewvsaisgsggrtfa aesvegrftisrdnskntlylqmnsraed tavyycahdysnypyfdywgggtlvtvss
879.	CD70_19_CCx CD3-scFc	VL	eivltqspgtlslspgeratlscrasqsir snylawyqqkpgqaprlliygassratgip drfsgsgsgtdftltisrlepedfavyycq qygssppsfgcgkveik
880.	CD70_19_CCx CD3-scFc	scFv	evqllesgggvvqgrslrlscaasgftfs syamswvrqapgkclewvsaisgsggrtfa aesvegrftisrdnskntlylqmnsraed tavyycahdysnypyfdywgggtlvtvss ggggsgggsgggseivltqspgtlslsp geratlscrasqsirsnylawyqqkpgqap rlliygassratgipdrfsgsgsgtdftlt isrlepedfavyycqygssppsfgcgkv eik
881.	CD70_19_CCx	биспецифи	evqllesgggvvqgrslrlscaasgftfs

	CD3-scFc	чешская молекула	<p>syamswvrqapgkclewvsaisgsggrtfy aesvegrftisrdnskntlylqmnsdraed tavyycahdysnpyfydywgqgtlvtvss ggggsgggsggggseivltqspgtlslsp geratlscrasqsirsnylawyqqkpggap rlliygassratgipdrfsgsgsgtdftlt isrlepedfavyyccqygssppsfgcgtkv eiksggggsevqlvesggglvqpggslkls caasgftfnkyamnvrqapgkglewvari rskynnyatyyadsvkdrftisrddsknta ylqmnlktdtavyycvrhgnfgnsyisy waywgqgtlvtvssggggsgggsgggsgq tvvtqepsltvspggtvtltcgsstgavts gnypnwvqqkpgqaprgliggtkflapgtp arfsgsllggkaaltlsgvqpedeaeeycv lwysnrwvfgggtkltvl</p>
882.	CD70_19_CCx CD3-scFc	биспецифи чешская HLE молекула	<p>evqllesgggvvqgrslrlscaasgftfs syamswvrqapgkclewvsaisgsggrtfy aesvegrftisrdnskntlylqmnsdraed tavyycahdysnpyfydywgqgtlvtvss ggggsgggsggggseivltqspgtlslsp geratlscrasqsirsnylawyqqkpggap rlliygassratgipdrfsgsgsgtdftlt isrlepedfavyyccqygssppsfgcgtkv eiksggggsevqlvesggglvqpggslkls caasgftfnkyamnvrqapgkglewvari rskynnyatyyadsvkdrftisrddsknta ylqmnlktdtavyycvrhgnfgnsyisy waywgqgtlvtvssggggsgggsgggsgq tvvtqepsltvspggtvtltcgsstgavts gnypnwvqqkpgqaprgliggtkflapgtp arfsgsllggkaaltlsgvqpedeaeeycv lwysnrwvfgggtkltvlgggdkthtcpp cpapellggpsvflfppkpkdtlmsrtpe vtcvvvdvshedpevkfnwyvdgvevhnak</p>

			tkpceeqygstyrcvsvltvlhqdwlngke ykckvsnkalpapiektiskakgqprepqv ytlppsreemtknqvsltclvkgfypsdi vewesngqpennykttppvldsdsffly kltvdksrwqqgnvfscsvmhealnhytq kslslspgKggggsgggsgggsgggsg ggsgggsgdkthtcppcpapellggpsvf lfppkpkdtlmisrtpevtcvvvdvshedp evkfnwyvdgvevhnaktkpeeaygstyr cvsvltvlhqdwlngkeykckvsnkalpap iektiskakgqprepqvtytlppsreemtkn qvsltclvkgfypsdiavewesngqpenny kttppvldsdsfflyskltvdksrwqqgn vfscsvmhealnhytqkslslspgk
883.	CD70_19xCD3 -scFc	VH	evqllesgggvvqpgrslrlscaasgftfs syamswvrqapggkglewvsaisgsggrtfy aesvegrftisrdnskntlylqmnsraed tavyycahdysnypyfdywgqgtlvtvss
884.	CD70_19xCD3 -scFc	VL	eivltqspgtlslspgeratlscrasqsir snylawyqqkpgqaprlliygassratgip drfsgsgsgtdftltisrlepedfavyycq qygssppsfgqgtkveik
885.	CD70_19xCD3 -scFc	scFv	evqllesgggvvqpgrslrlscaasgftfs syamswvrqapggkglewvsaisgsggrtfy aesvegrftisrdnskntlylqmnsraed tavyycahdysnypyfdywgqgtlvtvss ggsgggsgggsgggseivltqspgtlslsp geratlscrasqsirsnylawyqqkpgqap rlliygassratgipdrfsgsgsgtdftlt isrlepedfavyycqygssppsfgqgtkv eik
886.	CD70_19xCD3 -scFc	биспецифи ческая молекула	evqllesgggvvqpgrslrlscaasgftfs syamswvrqapggkglewvsaisgsggrtfy aesvegrftisrdnskntlylqmnsraed tavyycahdysnypyfdywgqgtlvtvss

		<p>ggggsgggsggggseivltqspgtlslsp geratlscrasqsirsnylawyqqkpgqap rlliygassratgipdrfsgsgtdftlt isrlepedfavyyccqygssppsfgggtkv eiksggggsevqlvesggglvqpggslkls caasgftfnkyamnvrqapgkglewvari rskynnyatyyadsvkdrftisrddsknta ylqmnlnktdtavyycvrhgnfgnsyisy waywgqgtlvtvssggggsgggsgggsgq tvvtqepsltvspggtvtltcgsstgavts gnypnwvqqkpgqaprgliggtkflapgtp arfsgslggkaaltlsgvqpedeaeeycv lwysnrwvfgggtklvtl</p>
<p>887.</p>	<p>CD70_19xCD3 -scFc</p>	<p>биспецифи ческая HLE молекула</p> <p>evqllesgggvvqgrslrlscaasgftfs syamswvrqapgkglewvsaisgsggrtfy aesvegrftisrdnskntlylqmnsraed tavyycahdysnypyfdywqgtlvtvss ggggsgggsggggseivltqspgtlslsp geratlscrasqsirsnylawyqqkpgqap rlliygassratgipdrfsgsgtdftlt isrlepedfavyyccqygssppsfgggtkv eiksggggsevqlvesggglvqpggslkls caasgftfnkyamnvrqapgkglewvari rskynnyatyyadsvkdrftisrddsknta ylqmnlnktdtavyycvrhgnfgnsyisy waywgqgtlvtvssggggsgggsgggsgq tvvtqepsltvspggtvtltcgsstgavts gnypnwvqqkpgqaprgliggtkflapgtp arfsgslggkaaltlsgvqpedeaeeycv lwysnrwvfgggtklvtlvgggdkthtcpp cpapellggpsvflfppkpkdtlmisrtpe vtcvvvdvshedpevkfnwyvdgvevhnak tkpceeqygstyrcvsvltvlhqdwlngke ykckvsnkalpapiektiskakgqprepqv ytlppsreemtknqvsltclvkgfypsdia</p>

			vewesngqpennykttppvldsdsfflyskltvdksrwqqgnvfscsvmhealhhytqkslslspsgKggggsgggsgggsgggsgggsgggsgdkthtccppcpapellggpsvflfppkpkdtlmisrtpevtcvvvdvshedpevkfnwyvdgvevhnaktkpceeqqgstycvsvltvlhqdwlngkeykckvsnkalpapiektiskakgqpprepqvytlppsreemtknqvsltclvkgfypsdiavewesngqpennykttppvldsdsfflyskltvdksrwqqgnvfscsvmhealhhytqkslslspsgk
888.	CD70_20_CCx CD3-scFc	VH CDR1	syams
889.	CD70_20_CCx CD3-scFc	VH CDR2	aisgsgggtfyaesveg
890.	CD70_20_CCx CD3-scFc	VH CDR3	hdysnypyfdy
891.	CD70_20_CCx CD3-scFc	VL CDR1	rasqsvrssyla
892.	CD70_20_CCx CD3-scFc	VL CDR2	gassrat
893.	CD70_20_CCx CD3-scFc	VL CDR3	qqygdlpft
894.	CD70_20_CCx CD3-scFc	VH	evqllesgggvvqgrslrlscaasgftfsyamswvrqapgkclewvsaisgsgggtfy aesvegrftisrdnskntlylqmnsraed tavyycarhdysnypyfdywglgtlvtvss
895.	CD70_20_CCx CD3-scFc	VL	eivltqspgtlspsgeratlscrasqsvr ssylawyqqkpgqaprlliygassratgip drfsgsgsgtdftltisrlepedfavyscq qygdlpftfgcgtkveik
896.	CD70_20_CCx CD3-scFc	scFv	evqllesgggvvqgrslrlscaasgftfsyamswvrqapgkclewvsaisgsgggtfy aesvegrftisrdnskntlylqmnsraed tavyycarhdysnypyfdywglgtlvtvss

			<p>ggggsgggsggggseivltqspgtlsisp geratlscrasqsvrsslawyqqkpgqap rlliygassratgipdrfsgsgsgtdftlt isrlepedfavyscqygdldpftfgcgtkv eik</p>
897.	CD70_20_CCx CD3-scFc	биспецифи ческая молекула	<p>evqllesgggvvqgrslrlscaasgftfs syamswvrqapgkclewvsaisgsgggtfy aesvegrftisrdnskntlylqmnsraed tavyycarhdysnpyfdywgltlvtvss ggggsgggsggggseivltqspgtlsisp geratlscrasqsvrsslawyqqkpgqap rlliygassratgipdrfsgsgsgtdftlt isrlepedfavyscqygdldpftfgcgtkv eiksggggsevqlvesggglvqpggslkls caasgftfnkyamnvrqapgkglewvari rskynnyatyyadsvkdrftisrddsknta ylqmnlktdtavyycvrhgnfgnsyisy waywgqgtlvtvssggggsgggsgggsgq tvvtqepsltvspggtvltlctgsstgavts gnypnwvqqkpgqaprgliggtkflapgtp arfsgslggkaaltlsgvqpedeaeeycv lwysnrwvfgggtklvtl</p>
898.	CD70_20_CCx CD3-scFc	биспецифи ческая HLE молекула	<p>evqllesgggvvqgrslrlscaasgftfs syamswvrqapgkclwvsaisgsgggtfy aesvegrftisrdnskntlylqmnsraed tavyycarhdysnpyfdywgltlvtvss ggggsgggsggggseivltqspgtlsisp geratlscrasqsvrsslawyqqkpgqap rlliygassratgipdrfsgsgsgtdftlt isrlepedfavyscqygdldpftfgcgtkv eiksggggsevqlvesggglvqpggslkls caasgftfnkyamnvrqapgkglewvari rskynnyatyyadsvkdrftisrddsknta ylqmnlktdtavyycvrhgnfgnsyisy waywgqgtlvtvssggggsgggsgggsgq</p>

			<p> tvvtqepsltvspggtvtltcgsstgavts gnypnwvqqkpgqaprgliggtkflapgtp arfsgslggkaaltlsgvqpedeaeycv lwysnrwvfgggtkltvlgggdkthtcpp cpapellggpsvflfppkpkdtlmisrtpe vtcvvdvshedpevkfnwyvdgvevhnak tkpceeeygstyrcvsvltvlhqdwlngke ykckvsnkalpapiektiskakgqpprepqv ytlppsreemtknqvsltclvkgfypsdi vewesngqpennykttppvldsdsfflys kltvdksrwqqgnvfscsvmhealhnhytq ksllslspgKggggsgggsgggsgggsg gggsgggsgdkthtcppcpapellggpsvf lfppkpkdtlmisrtpevtcvvdvshedp evkfnwyvdgvevhnaktkpceeeygstyr cvsvltvlhqdwlngkeykckvsnkalpap iektiskakgqpprepqvtytlppsreemtkn qvsltclvkgfypsdiavewesngqpenny kttppvldsdsfflyskltvdksrwqqgn vfscsvmhealhnhytqksllslspgk </p>
899.	CD70_20xCD3 -scFc	VH	<p> evqllesgggvvqpgsrslrlscaasgftfs syamswvrqapgkglewvsaisgsgggtfy aesvegrftisrdnskntlylqmnsraed tavyyicarhdysnpyfydywglgtlvtvss </p>
900.	CD70_20xCD3 -scFc	VL	<p> eivltqspgtlslspgeratlscrasqsvr ssylawyqqkpgqaprlliygassratgip drfsgsgsgtdftltisrlepedfavyscq qygdlpftfgpgtkveik </p>
901.	CD70_20xCD3 -scFc	scFv	<p> evqllesgggvvqpgsrslrlscaasgftfs syamswvrqapgkglewvsaisgsgggtfy aesvegrftisrdnskntlylqmnsraed tavyyicarhdysnpyfydywglgtlvtvss gggsgggsggggseivltqspgtlslsp geratlscrasqsvrsslawyqqkpgqap rlliygassratgipdrfsgsgsgtdftlt </p>

			isrlepedfavyscqygdldpftfgpgtkv eik
902.	CD70_20xCD3 -scFc	биспецифическая молекула	evqllesgggvvqgrslrlscaasgftfs syamswvrqapgkglewvsaisgsgggtfy aesvegrftisrdnskntlylqmnsdraed tavyycarhdysnpyfydywglgtlvtvss ggggsgggsggggseivltqspgtlslsp geratlsctasqsvrsslwlyqqkpgqap rlliygassratgipdrfsgsgsgtdftlt isrlepedfavyscqygdldpftfgpgtkv eiksggggsevqlvesggglvqpggskls caasgftfnkyamnwwrqapgkglewvari rskynnyatyyadsvkdrftisrddsknta ylqmnlktdtavyycvrhgnfgnsyisy waywgqgtlvtvssggggsgggsgggsgq tvvtqepsltvspggtvtltcgsstgavts gnypnwqqkpgqaprgliggtkflapgt arfgsllggkaaltlsgvqpedeaeeycv lwysnrwvfgggtklvl
903.	CD70_20xCD3 -scFc	биспецифическая HLE молекула	evqllesgggvvqgrslrlscaasgftfs syamswvrqapgkglewvsaisgsgggtfy aesvegrftisrdnskntlylqmnsdraed tavyycarhdysnpyfydywglgtlvtvss ggggsgggsggggscivltqspgtlslsp geratlsctasqsvrsslwlyqqkpgqap rlliygassratgipdrfsgsgsgtdftlt isrlepedfavyscqygdldpftfgpgtkv eiksggggsevqlvesggglvqpggskls caasgftfnkyamnwwrqapgkglewvari rskynnyatyyadsvkdrftisrddsknta ylqmnlktdtavyycvrhgnfgnsyisy waywgqgtlvtvssggggsgggsgggsgq tvvtqepsltvspggtvtltcgsstgavts gnypnwqqkpgqaprgliggtkflapgt arfgsllggkaaltlsgvqpedeaeeycv

			lwysnrwvfgggkltvlgggdkthtcpp cpapellggpsvflfppkpkdtlmisrtpe vtcvvvdvshedpevkfnwyvdgvevhnak tkpceeeygstyrcvsvltvlhqdwlngke ykckvsnkalspapiektiskakggpprepqv ytlppsreemtknqvsltclvkgfypsdi vewesngqpennykttppvldsdsfflys kltvdksrwqqgnvfscsvmhealhhytq kslsispgKggggsgggsgggsgggsg ggsggggsdkthtcppcpapellggpsvf lfppkpkdtlmisrtpevtcvvvdvshedp evkfnwyvdgvevhnaktkpeeeygstyr cvsvltvlhqdwlngkeykckvsnkalspap iektiskakggpprepqvtylppsreemtkn qvsltclvkgfypsdiavewesngqpenny kttppvldsdsfflys kltvdksrwqqgn vfscsvmhealhhytqkslsispgk
904.	CD70_21_CCx CD3-scFc	VH CDR1	syams
905.	CD70_21_CCx CD3-scFc	VH CDR2	aigsgggrtfaesveg
906.	CD70_21_CCx CD3-scFc	VH CDR3	hdysnypyfdy
907.	CD70_21_CCx CD3-scFc	VL CDR1	rasqsvrssyla
908.	CD70_21_CCx CD3-scFc	VL CDR2	gassrat
909.	CD70_21_CCx CD3-scFc	VL CDR3	qqygdlpft
910.	CD70_21_CCx CD3-scFc	VH	evqllesgggmvpqgslrlscaasgftfs syamswvrqapgkclewvsaisgsggrtfa aesvegrftisrdnskntlylqmnsraed tavyyctkhysnypyfdywgqgtltvss
911.	CD70_21_CCx CD3-scFc	VL	eivltqspgtlsispgeratls crasqsvr ssylawyqqkpgqaprlliygassratgip

			drfsgsgsgtdftltisrlepedfavyyccq qygdlpftfgcgtkvdik
912.	CD70_21_CCx CD3-scFc	scFv	evqllesgggmvpqggsrlrlscaasgftfs syamswvrqapgkclewvsaisgsggrtfy aesvegrftisrdnskntlylqmnsraed tavyyctkhdysnpyfydywgqgtlvtvss ggggsgggsggggseivltqspgtlsisp geratlsctasqsvrsslawyqqkpgqap rlliygassratgipdrfsgsgsgtdftlt isrlepedfavyyccqygdlpftfgcgtkv dik
913.	CD70_21_CCx CD3-scFc	биспецифи ческая молекула	evqllesgggmvpqggsrlrlscaasgftfs syamswvrqapgkclewvsaisgsggrtfy aesvegrftisrdnskntlylqmnsraed tavyyctkhdysnpyfydywgqgtlvtvss ggggsgggsggggseivltqspgtlsisp geratlsctasqsvrsslawyqqkpgqap rlliygassratgipdrfsgsgsgtdftlt isrlepedfavyyccqygdlpftfgcgtkv diksggggsevqlvesggglvqpggslkls caasgftfnkyamnvrqapgkglewvari rskynnyatyadsvkdrftisrddsknta ylqmnlktdtavyycvrhgnfgnsyisy waywgqgtlvtvssggggsgggsgggsgq tvvtqepsltvspggtvtltcgsstgavts gnypnwvqqkpgqaprgliggtkflapgtp arfgsllggkaaltlsgvqpedeaeeycv lwysnrwvfgggtkltvl
914.	CD70_21_CCx CD3-scFc	биспецифи ческая HLE молекула	evqllesgggmvpqggsrlrlscaasgftfs syamswvrqapgkclewvsaisgsggrtfy aesvegrftisrdnskntlylqmnsraed tavyyctkhdysnpyfydywgqgtlvtvss ggggsgggsggggseivltqspgtlsisp geratlsctasqsvrsslawyqqkpgqap rlliygassratgipdrfsgsgsgtdftlt

			<p>isrlepedfavyyccqygdlpftfgcgtkv diksggggsevqlvesggglvqpggslkls caasgftfnkyamnvrqapgglewvari rskynnyatyadsvkdrftisrddsknta ylqmnlktdtavyycvrhgnfgnsyisy waywgqgtlvtvssgggsgggsgggsgq tvvtqepsltvspggtvtltcgsstgavts gnypnwvqqkpgqaprgliggtkflapgtp arfgslggkaaltlsgvqpedeaeeycv lwysnrwvfgggtklvtlvgggdkthtcpp cpapellggpsvflfppkpkdtlmisrtp vtcvvdvshedpevkfnwyvdgvevhnak tkpceeeygstyrcvsvltvlhqdwlngke ykckvsnkalspapektiskakgqprepqv ytlppsreemtknqvsltclvkgfypsdi vewesngqpennykttppvldsdsffly kltdksrwqqgnvfscsvmhealhnhytq kslslspgKggggsgggsgggsgggsg ggsgggsgdkthtcppcpapellggpsv lfppkpkdtlmisrtpvtcvvdvshedp evkfnwyvdgvevhnaktkpceeeygsty cvsvltvlhqdwlngkeykckvsnkalsp iektiskakgqprepqvtytlppsreemtk qvsltclvkgfypsdiavewesngqpenny kttppvldsdsfflyskltdksrwqqgn vfscsvmhealhnhytqkslslspgk</p>
915.	CD70_21xCD3 -scFc	VH	<p>Evqllesgggmvpqpggslrlscaasgftfs syamswvrqapgglewvsaisgsggrtgy aesvegrftisrdnskntlylqmnsraed tavyyctkhdyssnpyfydywgqgtlvtvss</p>
916.	CD70_21xCD3 -scFc	VL	<p>eivltqspgtlslspgeratlsctasqsvr ssylawyqqkpgqaprlliygassratgip drfsgsgsgtdftltisrlepedfavyycc qygdlpftfgpgtkvdik</p>
917.	CD70_21xCD3	scFv	<p>Evqllesgggmvpqpggslrlscaasgftfs</p>

	-scFc		<p>syamswvrqapggkglewvsaisgsggrtfy aesvegrftisrdnskntlylqmnsbraed tavyyctkhdysnpyfydywgqgtlvtvss ggggsgggsggggseivltqspgtlslsp geratlscrasqsvrsslawyqqkpgqap rlliygassratgipdrfsgsgsgtdftlt isrlepedfavyyccqygdlpftfgpgtkv dik</p>
918.	CD70_21xCD3 -scFc	биспецифическая молекула	<p>evqllesgggmvpqgslrlscaasgftfs syamswvrqapggkglewvsaisgsggrtfy aesvegrftisrdnskntlylqmnsbraed tavyyctkhdysnpyfydywgqgtlvtvss ggggsgggsggggseivltqspgtlslsp geratlscrasqsvrsslawyqqkpgqap rlliygassratgipdrfsgsgsgtdftlt isrlepedfavyyccqygdlpftfgpgtkv diksggggsevqlvesggglvqpggslkls caasgftfnkyamnvrqapggkglewvari rskynnyatyyadsvkdrftisrddsknta ylqmnnktdtavyycvrhgnfgnsyisy waywgqgtlvtvssggggsgggsgggsgq tvvtqepsltvspggtvtltcgsstgavts gnypnwqqkpgqaprgliggtkflapgtp arfgslggkaaltlsgvqpedeaeeycv lwysnrwvfgggtklvtl</p>
919.	CD70_21xCD3 -scFc	биспецифическая HLE молекула	<p>evqllesgggmvpqgslrlscaasgftfs syamswvrqapggkglewvsaisgsggrtfy aesvegrftisrdnskntlylqmnsbraed tavyyctkhdysnpyfydywgqgtlvtvss ggggsgggsggggseivltqspgtlslsp geratlscrasqsvrsslawyqqkpgqap rlliygassratgipdrfsgsgsgtdftlt isrlepedfavyyccqygdlpftfgpgtkv diksggggsevqlvesggglvqpggslkls caasgftfnkyamnvrqapggkglewvari</p>

			<p>rskynnyatyyadsvkdrftisrddsknta ylqmnlnktdtavyyvcvrhgnfgnsyisy waywgqgtlvtvssggggsgggsgggsgq tvvtqepsltvspggtvtltcgsstgavts gnypnwvqqkpgqaprgliggkflapgtp arfgsllggkaaltlsgvqpedeaeeycv lwysnrwvfgggtklvtlvgggdkthtcpp cpapellggpsvflfppkpkdtlmisrtpe vtcvvvdvshedpevkfnwyvdgvevhnak tkpceeeygstyrcvsvltvlhqdwlngke ykckvsnkalspapektiskakgpprepqv ytlppsreemtknqvsltclvkgfypsdi vewesngqpennykttppvldsdsffly kltdksrwqqgnvfscsvmhealhnhytq kslsispgKggggsgggsgggsgggsg ggsgggsgskthtcppcpapellggpsvf lfppkpkdtlmisrtpevtcvvvdvshedp evkfnwyvdgvevhnaktkpceeeygstyr cvsvltvlhqdwlngkeykckvsnkalsp iektiskakgpprepqvtytlppsreemtkn qvsltclvkgfypsdiavewesngqpenny kttppvldsdsfflyskltdksrwqqgn vfscsvmhealhnhytqkslsispgk</p>
920.	CD70_22_CCx CD3-scFc	VH CDR1	tyams
921.	CD70_22_CCx CD3-scFc	VH CDR2	lisgsggrtyyaesvkg
922.	CD70_22_CCx CD3-scFc	VH CDR3	hdysnypyfdy
923.	CD70_22_CCx CD3-scFc	VL CDR1	rasqgvrssyla
924.	CD70_22_CCx CD3-scFc	VL CDR2	gassrat
925.	CD70_22_CCx CD3-scFc	VL CDR3	qqygspspt

926.	CD70_22_CCx CD3-scFc	VH	evqllesggglvqpqgslrlscaasgftfs tyamswvrqapgkclewvslisgsggrtyy aesvkgrftisrdnskntlylqmnsraed tavyycahdysnpyfydywgqgtlvtvss
927.	CD70_22_CCx CD3-scFc	VL	eivltqspgtlslspgeratlsctasqgvr ssylawyqqkpgqaprlliygassratgip drfsgsgsgtdftltinrlepedfavyycq qygsspptfgcgtkvdik
928.	CD70_22_CCx CD3-scFc	scFv	evqllesggglvqpqgslrlscaasgftfs tyamswvrqapgkclewvslisgsggrtyy aesvkgrftisrdnskntlylqmnsraed tavyycahdysnpyfydywgqgtlvtvss ggggsgggsggggseivltqspgtlslsp geratlsctasqgvrssylawyqqkpgqap rlliygassratgipdrfsgsgsgtdftlt inrlepedfavyycqygsspptfgcgtkv dik
929.	CD70_22_CCx CD3-scFc	биспецифи ческая молекула	evqllesggglvqpqgslrlscaasgftfs tyamswvrqapgkclewvslisgsggrtyy aesvkgrftisrdnskntlylqmnsraed tavyycahdysnpyfydywgqgtlvtvss ggggsgggsggggseivltqspgtlslsp geratlsctasqgvrssylawyqqkpgqap rlliygassratgipdrfsgsgsgtdftlt inrlepedfavyycqygsspptfgcgtkv diksggggsevqlvesggglvqpqgslkls caasgftfnkyamnvrqapkglewvari rskynnyatyadsvkdrftisrddsknta ylqmnlktdtavyycvrhgnfgnsyisy waywgqgtlvtvssggggsgggsgggsgq tvvtqepsltvspggtvtltcgsstgavts gnypnwvqqkpgqaprgliggtkflapgtp arfsgslggkaaltlsgvqpedeaeyycv lwysnrwvfgggtklvtl
930.	CD70_22_CCx	биспецифи	evqllesggglvqpqgslrlscaasgftfs

	CD3-scFc	чешская HLE молекула	<p>tyamswvrqapgkclewvslisgsggrtyy aesvkgrftisrdnskntlylqmnsltraed tavyycahdysnypfydywgqgtlvtvss ggggsgggsggggseivltqspgtlslsp geratlscrasqgvrssylawyqqkpgqap rlliygassratgipdrfsgsgsgtdftlt inrlepedfavyyccqygspsptfgcgtkv diksggggsevqlvesggglvqpggslkls caasgftfnkyamnvrqapgkglewvari rskynnyatyyadsvkdrftisrddsknta ylqmnlktdtavyycvrhgnfgnsyisy waywgqgtlvtvssggggsgggsgggsgq tvvtqepsltvspggtvtltcgsstgavts gnypnwvqqkpgqaprgliggtkflapgtp arfgslggkaaltlsgvqpedeaeeycv lwysnrwvfgggtklvtlvgggdkthtcpp cpapellggpsvflfpkpkdtlmsrtpe vtcvvdvshedpevkfnwyvdgvevhnak tkpceezygstyrcvsvltvlhqdwlngke ykckvsnkalpapiektiskakgqprepqv ytlppsreemtknqvsltclvkgfypsdia vewesngqpennykttpvldsdsffly kltdksrwqqgnvfscsvmhealhnhytq kslsispgKggggsgggsgggsgggsg ggsggggskthtcppcpapellggpsvf lfppkpkdtlmsrtpevtcvvdvshedp evkfnwyvdgvevhnaktkpceezygstyr cvsvltvlhqdwlngkeykckvsnkalpap iektiskakgqprepqvtytlppsreemtkn qvsltclvkgfypsdiavewesngqpenny kttpvldsdsfflyskltdksrwqqgn vfscsvmhealhnhytqkslsispgk</p>
931.	CD70_22xCD3 -scFc	VH	<p>evqllesggglvqpggslrlscaasgftfs tyamswvrqapgkglewvslisgsggrtyy aesvkgrftisrdnskntlylqmnsltraed</p>

			tavyycakhdysnypyfdywgqgtlvtvss
932.	CD70_22xCD3 -scFc	VL	eivltqspgtlslspgeratlscrasqgvr ssylawyqqkpgqaprlliygassratgip drfsgsgsgtdftltinrlepedfavyycq qygsspptfgggtkvdik
933.	CD70_22xCD3 -scFc	scFv	evqllesggglvqpggslrlscaasgftfs tyamswvrqapgkglewvslisgsggrtyy aesvkgrftisrdnskntlylqmnsraed tavyycakhdysnypyfdywgqgtlvtvss ggggsgggsggggseivltqspgtlslsp geratlscrasqgvrssylawyqqkpgqap rlliygassratgipdrfsgsgsgtdftlt inrlepedfavyycqygsspptfgggtkv dik
934.	CD70_22xCD3 -scFc	биспецифи ческая молекула	evqllesggglvqpggslrlscaasgftfs tyamswvrqapgkglewvslisgsggrtyy aesvkgrftisrdnskntlylqmnsraed tavyycakhdysnypyfdywgqgtlvtvss ggggsgggsggggseivltqspgtlslsp geratlscrasqgvrssylawyqqkpgqap rlliygassratgipdrfsgsgsgtdftlt inrlepedfavyycqygsspptfgggtkv diksggggsevqlvesggglvqpggslkls caasgftfnkyamnvrqapgkglewvari rskynnyatyadsvkdrftisrddsknta ylqmnlktdtavyycvrhgnfgnsyisy waywgqgtlvtvssggggsgggsgggsgq tvvtqepsltvspggtvtltcgsstgavts gnypnwvqqkpgqaprgliggtkflapgtp arfgsllggkaaltlsgvqpedeaeyycv lwysnrwvfgggtkltvl
935.	CD70_22xCD3 -scFc	биспецифи ческая HLE молекула	evqllesggglvqpggslrlscaasgftfs tyamswvrqapgkglewvslisgsggrtyy aesvkgrftisrdnskntlylqmnsraed tavyycakhdysnypyfdywgqgtlvtvss

			<p> ggggsgggsggggseivltqspgtlslsp geratlscrasqgvrssylawyqqkpgqap rlliygassratgipdrfsgsgtdftlt inrlepedfavyyccqygsspptfgggtkv diksggggsevqlvesggglvqpggslkls caasgftfnkyamnvrqapkglewvari rskynnyatyyadsvkdrftisrddsknta ylqmnlnktdtavyycvrhgnfgnsyisy waywgqgtlvtvssggggsgggsgggsgq tvvtqepsiltvspggtvtltcgsstgavts gnypnwvqqkpgqaprgliggtkflapgtp arfgsllggkaaltlsgvqpedeaeeycv lwysnrwvfgggtklvtlvgggdkthtcpp cpapellggpsvflfppkpkdtlmisrtpe vtcvvdvshedpevkfnwyvdgvevhnak tkpceeegystyrcvsvltvlhqdwlngke ykckvsnkalpapiektiskakgqprepqv ytlppsreemtknqvsltclvkgfypsdi vewesngqpennykttpvldsdsfflys kltvdksrwqqgnvfscsvmhealhnhytq kslslspgKggggsgggsgggsgggsgg ggsgggsgdkthtcppcpapellggpsvf lfppkpkdtlmisrtpevtcvvdvshedp evkfnwyvdgvevhnaktkpeeegystyr cvsvltvlhqdwlngkeykckvsnkalpap iektiskakgqprepqvtylppsreemtkn qvsltclvkgfypsdiavewesngqpenny kttpvldsdsfflyskltvdksrwqqgn vfscsvmhealhnhytqkslslspgk </p>
936.	CD70_23_CCx CD3-scFc	VH CDR1	syams
937.	CD70_23_CCx CD3-scFc	VH CDR2	aigsggrtfyaesveg
938.	CD70_23_CCx CD3-scFc	VH CDR3	hdysnypyfdy

939.	CD70_23_CCx CD3-scFc	VL CDR1	rasqsvrsnyla
940.	CD70_23_CCx CD3-scFc	VL CDR2	gassrat
941.	CD70_23_CCx CD3-scFc	VL CDR3	qqygssppt
942.	CD70_23_CCx CD3-scFc	VH	evqllesgggvvqgrslrlscaasgftfs syamswvrqapgkclewvsaisgsggrtfy aesvegrftisrdnskntlylqmnsraed tavyycahdysnpyfydywgqgtlvtvss
943.	CD70_23_CCx CD3-scFc	VL	eivltqspgtlslspgeratlscrasqsvr snylawyqqkpgqaprlliygassratgip drfsgsgsgtdftltinrlepedfavyycq qygsspptfgcgtkvdik
944.	CD70_23_CCx CD3-scFc	scFv	evqllesgggvvqgrslrlscaasgftfs syamswvrqapgkclewvsaisgsggrtfy aesvegrftisrdnskntlylqmnsraed tavyycahdysnpyfydywgqgtlvtvss ggggsgggsggggseivltqspgtlslsp geratlscrasqsvrsnylawyqqkpgqap rlliygassratgipdrfsgsgsgtdftlt inrlepedfavyycqygsspptfgcgtkv dik
945.	CD70_23_CCx CD3-scFc	биспецифическая молекула	evqllesgggvvqgrslrlscaasgftfs syamswvrqapgkclewvsaisgsggrtfy aesvegrftisrdnskntlylqmnsraed tavyycahdysnpyfydywgqgtlvtvss ggggsgggsggggseivltqspgtlslsp geratlscrasqsvrsnylawyqqkpgqap rlliygassratgipdrfsgsgsgtdftlt inrlepedfavyycqygsspptfgcgtkv diksggggsevqlvesggglvqpggslkls caasgftfnkyamnwwvrqapgkglewvari rskynnyatyyadsvkdrftisrddsknta ylqmnlktdtavyycvrhgnfgnsyisy

			waywgqgtlvtvssgggsgggsgggsgq tvvtqepsltvspggtvtltcgsstgavts gnypnwvqqkpgqaprgliggtkflapgtp arfgsllggkaaltlsgvqpedeaeeycv lwysnrwvfgggtklvtl
946.	CD70_23_CCx CD3-scFc	биспецифи ческая HLE молекула	evqllesgggvvqgrslrlscaasgftfs syamswvrqapgkclewvsaisgsggrtfy aesvegrftisrdnskntlylqmnsraed tavyycahdysnypyfdywgqgtlvtvss gggsgggsggggseivltqspgtlslsp geratlscrasqsvrsnylawyqqkpgqap rlliygassratgipdrfsgsgsgtdftlt inrlepedfavyyccqygsspptfgcgtkv diksggggsevqlvesggglvqpggskls caasgftfnkyamnwrqapgkglewvari rskynnyatyyadsvkdrftisrddsknta ylqmnlktdtavyycvrhgnfgnsyisy waywgqgtlvtvssgggsgggsgggsgq tvvtqepsltvspggtvtltcgsstgavts gnypnwvqqkpgqaprgliggtkflapgtp arfgsllggkaaltlsgvqpedeaeeycv lwysnrwvfgggtklvtlvgggdkthtcpp cpapellggpsvflfppkpkdtlmisrtpe vtcvvvdvshedpevkfnwyvdgvevhnak tkpceezygstyrcvsvltvlhqdwlngke ykckvsnkalpapiektiskakgqprepqv ytlppsreemtknqvsltclvkgfypsdia vewesngqpennyktppvldsdsfflys kltvdksrwqqgnvfscsvmhealhnhytq kslslspgKgggsgggsgggsgggsgg ggsgggsgdkthtcppcpapellggpsvf lfppkpkdtlmisrtpevtcvvvdvshedp evkfnwyvdgvevhnaktkpceezygstyr cvsvltvlhqdwlngkeykckvsnkaldpap iektiskakgqprepqvytlppsreemtkn

			qvsltclvkgfypsdiavewesngqpenny kttppvldsdsfflyskltvdksrwqqgn vfscsvmhealhnhytqkslslspgk
947.	CD70_23xCD3 -scFc	VH	evqllesgggvvqgrslrlscaasgftfs syamswvrqapgkglewvsaisgsggrtfy aesvegrftisrdnskntlylqmnsraed tavyycahhdysnpyfydywgqgtlvtvss
948.	CD70_23xCD3 -scFc	VL	eivltqspgtlslspgeratlscrasqsvr snylawyqqkpgqaprlliygassratgip drfsgsgsgtdftltinrlepedfavyycq qygsspptfgggtkvdik
949.	CD70_23xCD3 -scFc	scFv	evqllesgggvvqgrslrlscaasgftfs syamswvrqapgkglewvsaisgsggrtfy aesvegrftisrdnskntlylqmnsraed tavyycahhdysnpyfydywgqgtlvtvss ggggsgggsggggseivltqspgtlslsp geratlscrasqsvrsnylawyqqkpgqap rlliygassratgipdrfsgsgsgtdftlt inrlepedfavyycqygsspptfgggtkv dik
950.	CD70_23xCD3 -scFc	биспецифическая молекула	evqllesgggvvqgrslrlscaasgftfs syamswvrqapgkglewvsaisgsggrtfy aesvegrftisrdnskntlylqmnsraed tavyycahhdysnpyfydywgqgtlvtvss ggggsgggsggggseivltqspgtlslsp geratlscrasqsvrsnylawyqqkpgqap rlliygassratgipdrfsgsgsgtdftlt inrlepedfavyycqygsspptfgggtkv diksggggsevqlvesggglvqpggslkls caasgftfnkyamnvrqapgkglewvari rskynnyatyadvkdrftisrddsknta ylqmnlktdtavyycvrhgnfgnsyisy waywgqgtlvtvssggggsgggsgggsgq tvvtqepsltvspggtvtltcgsstgavts gnypnwvqqkpgqaprgliggtkflapgtp

			arfgsllggkaaltlsgvqpedeaeyycv lwysnrwvfgggtklvtl
951.	CD70_23xCD3 -scFc	биспецифическая HLE молекула	evqllesgggvvqgrslrlscaasgftfs syamswvrqapgglewvsaisgsggrtfy aesvegrftisrdnskntlylqmnsraed tavyycahdysnpyfydywgqgtlvtvss ggggsgggsggggseivltqspgtlslsp geratlsctasqsvrsnylawyqqkpggap rlliygassratgipdrfsgsgsgtdftlt inrlepedfavyyccqygsspptfgggtkv diksggggsevqlvesggglvqpggslkls caasgftfnkyamnwvrqapgglewvari rskynnyatyyadsvkdrftisrddsknta ylqmnlktdtavyycvrhgnfgnsyisy waywgqgtlvtvssggggsgggsgggsgq tvvtqepsltvspggtvtltcgsstgavts gnypnwvqqkpgqaprgliggtkflapgtp arfgsllggkaaltlsgvqpedeaeyycv lwysnrwvfgggtklvtlvgggdkthtcpp cpapellggpsvflfppkpkdtlmisrtpe vtcvvvdvshedpevkfnwyvdgvevhnak tkpceezygstyrsvltvlhqdwlngke ykckvsnkalpapiektiskakgqprepqv ytlppsreemtknqvsltclvkgfy-psdia vewesngqpennykttpvldsdgsfflys kltvdksrwqqgnvfscsvmhealhnhytq kslslspgKggggsgggsgggsgggsgg ggsgggsgdkthtcppcpapellggpsvf lfppkpkdtlmisrtpevtcvvvdvshedp evkfnwyvdgvevhnaktkpceezygstyr cvsvltvlhqdwlngkeykckvsnkalpap iektiskakgqprepqvtylppsreemtkn qvsltclvkgfy-psdiavewesngqpenny kttpvldsdgsfflyskltvdksrwqqgn vfscsvmhealhnhytqkslslspgk

952.	CD70_24_CCx CD3-scFc	VH CDR1	syams
953.	CD70_24_CCx CD3-scFc	VH CDR2	visgsggitdfaesvkg
954.	CD70_24_CCx CD3-scFc	VH CDR3	hdysnyfffdy
955.	CD70_24_CCx CD3-scFc	VL CDR1	rasqgisnyla
956.	CD70_24_CCx CD3-scFc	VL CDR2	aasilqs
957.	CD70_24_CCx CD3-scFc	VL CDR3	qqyfaypit
958.	CD70_24_CCx CD3-scFc	VH	evqllesggglvqpggslrlscaasgftfs syamswvrqapgkclewsvvisgsggitdf aesvkgrftisrdnsrntlylqmnsraed tavyfcarhdysnyfffdywgqgtlvtvss
959.	CD70_24_CCx CD3-scFc	VL	diqmtqspsslsasvgrvtitcrasqgis nylawyqqkpgkvpklliyaasilqsgvps kfsqsgsgtdftltisslqpedfaiyyccq yfaypitfgcgrleik
960.	CD70_24_CCx CD3-scFc	scFv	evqllesggglvqpggslrlscaasgftfs syamswvrqapgkclewsvvisgsggitdf aesvkgrftisrdnsrntlylqmnsraed tavyfcarhdysnyfffdywgqgtlvtvss gggsgggsgggsggdiqmtqspsslsasv gdrvtitcrasqgisnylawyqqkpgkvpk lliyaasilqsgvpskfsqsgsgtdftlti sslqpedfaiyyccqyfaypitfgcgrle ik
961.	CD70_24_CCx CD3-scFc	биспецифи ческая молекула	evqllesggglvqpggslrlscaasgftfs syamswvrqapgkclewsvvisgsggitdf aesvkgrftisrdnsrntlylqmnsraed tavyfcarhdysnyfffdywgqgtlvtvss gggsgggsgggsggdiqmtqspsslsasv gdrvtitcrasqgisnylawyqqkpgkvpk

			<p>lliyaasilqsgvpskfsqsgsgtdftlti sslqpedfaiyycqyfaypitfgcgrle iksggggsevqlvesggglvqpggslklsc aasgftfnkyamnwvrqapgkglewvarir skynnyatyyadsvkdrftisrddskntay lqmnlnktdtavyycvrhgnfgnsyisyw aywgqgtlvtvssggggsgggsgggsgt vvtqepsiltvspggtvtltcgsstgavtsg nypnwvqqkpgqaprgliggtkflapgtpa rfsgslggkaaltlsgvqpedaeeycvl wysnrwvfgggtklvtl</p>
962.	<p>CD70_24_CCx CD3-scFc</p>	<p>биспецифи ческая HLE молекула</p>	<p>evqllesggglvqpggslrlscaasgftfs syamswvrqapgkclewsvvisgsggitdf aesvkgrftisrdsrntlylqmnslraed tavyfcarhdysnyfffdywgqgtlvtvss gggsgggsgggsgdiqmtqspsslsasv gdrvtitcrasqgisnylawyqqkpkvpk lliyaasilqsgvpskfsqsgsgtdftlti sslqpedfaiyycqyfaypitfgcgrle iksggggsevqlvesggglvqpggslklsc aasgftfnkyamnwvrqapgkglewvarir skynnyatyyadsvkdrftisrddskntay lqmnlnktdtavyycvrhgnfgnsyisyw aywgqgtlvtvssggggsgggsgggsgt vvtqepsiltvspggtvtltcgsstgavtsg nypnwvqqkpgqaprgliggtkflapgtpa rfsgslggkaaltlsgvqpedaeeycvl wysnrwvfgggtklvtlvgggdkthtcppc papellggpsvflfppkpkdtlmisrtpev tcvvdvshedpevkfnwyvdgvevhnakt kpceeystyrcvsvltvlhqdwlngkey kckvsnkalpapiektiskakgqprepvy tlppsreemtkqvsltclvkgfypsdiav ewesngqpennykttpvltdsdgsfflysk ltvdksrwqqgnvfscsvmhealhnhytqk</p>

			<p>sIsIsPgKggggsgggsgggsgggsgggsgg ggsgggsgdkthtCpPCpapellggpsvfl fppkpkdtlmisrtpevtcvvvdvshedpe vkfnwydgvevhnaktkpceeQygstYrc vsvltvlhqdlngkeykckvsnkalpapi ektiskakgqpprepqvytlppsreemtknq vsltclvkgyfypsdiavewesngqpennyk tppvldsdgsfflyskltvdkswrqggnv fscsvmhealhhnytqksIsIsPgk</p>
963.	CD70_24xCD3 -scFc	VH	<p>evqllesggglvqpggslrlscaasgftfs syamswvrqapggkglewsvvisgsggitdf aevkgrftisrdnsrntlylqmnsraed tavyfcarhdysnyfffdywgqgtlvtvss</p>
964.	CD70_24xCD3 -scFc	VL	<p>diqmtqspsslsasvgrvtitcrasqgis nylawyqqkpgkvpklliyaasilqsgvps kfsGsgsgtdftltiSSLqpedfaiyycqy yfaypitfgqgtrleik</p>
965.	CD70_24xCD3 -scFc	scFv	<p>evqllesggglvqpggslrlscaasgftfs syamswvrqapggkglewsvvisgsggitdf aevkgrftisrdnsrntlylqmnsraed tavyfcarhdysnyfffdywgqgtlvtvss ggggsgggsgggsgdiqmtqspsslsasv gdrvtitcrasqgisnylawyqqkpgkvpk lliyaasilqsgvpskfsGsgsgtdftlti SSLqpedfaiyycqyfyaypitfgqgtrle ik</p>
966.	CD70_24xCD3 -scFc	биспецифическая молекула	<p>evqllesggglvqpggslrlscaasgftfs syamswvrqapggkglewsvvisgsggitdf aevkgrftisrdnsrntlylqmnsraed tavyfcarhdysnyfffdywgqgtlvtvss ggggsgggsgggsgdiqmtqspsslsasv gdrvtitcrasqgisnylawyqqkpgkvpk lliyaasilqsgvpskfsGsgsgtdftlti SSLqpedfaiyycqyfyaypitfgqgtrle iksggggsevqlvesggglvqpggslklsc</p>

			<p>aasgftfnkyamnwwrqapgkglewvarir skynnyatyyadsvkdrftisrddsntay lqmnlnktdtavyycvrhgnfgnsyisyw aywgggtlvtvssgggsgggsgggsgqt vvtqepsltvspggtvtltcgsstgavtsg nypnwqqkpgqaprgliggtkflapgtpa rfsgsllggkaaltlsgvqpedaeeycvl wysnrwvfgggtklvtl</p>
967.	CD70_24xCD3 -scFc	биспецифическая HLE молекула	<p>evqllesggglvqpggslrlscaasgftfs syamswwrqapgkglewvsvsigggitdf aesvkgrftisrdnsrntlylqmnslraed tavyfcarhdysnyffdywggtlvtvss gggsgggsgggsgggsdiqmtqspsslsasv gdrvtitcrasqgisnylawyqqkpgkvpk lliyaasilqsgvpskfsqsgsgtdftlti sslqpedfaiyycqyfaypitfgqgrle iksggggsevqlvesggglvqpggsklsc aasgftfnkyamnwwrqapgkglewvarir skynnyatyyadsvkdrftisrddsntay lqmnlnktdtavyycvrhgnfgnsyisyw aywgggtlvtvssgggsgggsgggsgqt vvtqepsltvspggtvtltcgsstgavtsg nypnwqqkpgqaprgliggtkflapgtpa rfsgsllggkaaltlsgvqpedaeeycvl wysnrwvfgggtklvtlvgggdkthtcppc papellggpsvflfppkpkdtlmisrtpev tcvvvdvshedpevkfnwyvdgvevhnakt kpceeystyrcvsvltvlhqdwlngkey kckvsnkalpapiektiskakgqprepvy tlppsreemtknqvsltclvkgfypsdiav ewesngqpennyktppvldsdsfflysk ltvdksrwqqgnvfscsvmhealhnhytk slslspgKgggsgggsgggsgggsgg ggsgggskthtcppcpapellggpsvfl fppkpkdtlmisrtpevtcvvvdvshedpe</p>

			vkfnwyvdgvevhnaktkpceeaygstyrc vsvltvlhqdwlngkeykckvsnkalpapi ektiskakgqpprepqvytlppsreemtknq vsltclvkgyfypsdiavewesngqpennyk tppvldsdsfflyskltvdksrwqqgnv fscsvmhealhhnytqkslsispk
968.	CD70_25_CCx CD3-scFc	VH CDR1	syams
969.	CD70_25_CCx CD3-scFc	VH CDR2	aigsgggrtfaesveg
970.	CD70_25_CCx CD3-scFc	VH CDR3	hdysnpyfydy
971.	CD70_25_CCx CD3-scFc	VL CDR1	rasqsvrssyla
972.	CD70_25_CCx CD3-scFc	VL CDR2	gassrat
973.	CD70_25_CCx CD3-scFc	VL CDR3	qqygssppt
974.	CD70_25_CCx CD3-scFc	VH	evqllesggmvqpggslrlscaasgftfs syamswvrqapgkclewvsaisgsggrtfa aesvegrftisrdnskntlylqmnsraed tavyycahdysnpyfydywgqgtlvtvss
975.	CD70_25_CCx CD3-scFc	VL	eivltqspgtlslspgeratlscrasqsvr ssylawyqqkpggaprlliygassratgip drfsgsgsgtdftltisrlepedfavyfcq qygsspptfgcgtrleik
976.	CD70_25_CCx CD3-scFc	scFv	evqllesggmvqpggslrlscaasgftfs syamswvrqapgkclewvsaisgsggrtfa aesvegrftisrdnskntlylqmnsraed tavyycahdysnpyfydywgqgtlvtvss ggggsgggsgggseivltqspgtlslsp geratlscrasqsvrssylawyqqkpggap rlliygassratgipdrfsgsgsgtdftlt isrlepedfavyfcqqygsspptfgcgtrl eik

977.	CD70_25_CCx CD3-scFc	биспецифическая молекула	<p>evqllesgggmvpqpgslrlscaasgftfs syamswvrqapgkclewvsaisgsggrtfy aesvegrftisrdnskntlylqmnsraed tavyycahdysnpyfdywgqgtlvtvss ggggsgggsggggseivltqspgtlslsp geratlscrasqsvrsslawyqqkpgqap rlliygassratgipdrfsgsgsgtdftlt isrlepedfavyfcqqygsppptfgcgrtl eiksggggsevqlvesggglvqpggslkls caasgftfnkyamnvrqapgkglewvari rskynnyatyyadsvkdrftisrddsknta ylqmnnkktedtavyycvrhgnfgnsyisy waywgqgtlvtvssggggsgggsggggsq tvvtqepsltvspggtvtltcgsstgavts gnypnwvqqkpgqaprgliggtkflapgtp arfgsllggkaaltlsgvqpedeaeeycv lwysnrwvfgggtklvtl</p>
978.	CD70_25_CCx CD3-scFc	биспецифическая HLE молекула	<p>evqllesgggmvpqpgslrlscaasgftfs syamswvrqapgkclewvsaisgsggrtfy aesvegrftisrdnskntlylqmnsraed tavyycahdysnpyfdywgqgtlvtvss ggggsgggsggggseivltqspgtlslsp geratlscrasqsvrsslawyqqkpgqap rlliygassratgipdrfsgsgsgtdftlt isrlepedfavyfcqqygsppptfgcgrtl eiksggggsevqlvesggglvqpggslkls caasgftfnkyamnvrqapgkglewvari rskynnyatyyadsvkdrftisrddsknta ylqmnnkktedtavyycvrhgnfgnsyisy waywgqgtlvtvssggggsgggsggggsq tvvtqepsltvspggtvtltcgsstgavts gnypnwvqqkpgqaprgliggtkflapgtp arfgsllggkaaltlsgvqpedeaeeycv lwysnrwvfgggtklvtlvggdkthtcpp cpapellggpsvflfppkpkdtlmisrtpe</p>

			<p>vtcvvdvshedpevkfnwyvdgvevhnak tkpceezygstyrcvsvltvlhqdwlngke ykckvsnkalpapiektiskakgqprepqv ytlppsreemtknqvsltclvkgfypsdi vewesngqpennykttppvldsdsfflys kltvdksrwqqgnvfscsvmhealhnhytq kslsispgKggggsgggsgggsgggsg ggsgggsgskthtcppcpapellggpsvf lfppkpkdtlmisrtpevtcvvdvshedp evkfnwyvdgvevhnaktkpceezygstyr cvsvltvlhqdwlngkeykckvsnkalpap iektiskakgqprepqvtytlppsreemtkn qvsltclvkgfypsdiavewesngqpenny kttppvldsdsfflyskltvdksrwqqgn vfscsvmhealhnhytqkslsispgk</p>
979.	CD70_25xCD3 -scFc	VH	<p>evqllesgggmvpqpgslrlscaasgftfs syamswvrqapgkglewvsaisgsggrtfy aesvegrftisrdnskntlylqmnsraed tavyycahdysnypfydywgqgtltvss</p>
980.	CD70_25xCD3 -scFc	VL	<p>eivltqspgtlsispgeratls crasqsvr ssylawyqqkpgqaprlliygassratgip drfsgsgsgtdftltisrlepedfavyfcq qygsspptfggtrleik</p>
981.	CD70_25xCD3 -scFc	scFv	<p>evqllesgggmvpqpgslrlscaasgftfs syamswvrqapgkglewvsaisgsggrtfy aesvegrftisrdnskntlylqmnsraed tavyycahdysnypfydywgqgtltvss ggggsgggsggggseivltqspgtlsisp geratls crasqsvr ssylawyqqkpgqap rlliygassratgipdrfsgsgsgtdftlt isrlepedfavyfcqqygsspptfggtrle eik</p>
982.	CD70_25xCD3 -scFc	биспецифи ческая молекула	<p>evqllesgggmvpqpgslrlscaasgftfs syamswvrqapgkglewvsaisgsggrtfy aesvegrftisrdnskntlylqmnsraed</p>

			<p>tavyycakhdysnpyfydywgqgtlvtvss gggsgggsggggseivltqspgtlslsp geratlsctasqsvrsslawyqqkpggap rlliygassratgipdrfsgsgsgtdftlt isrlepedfavyfcqqygsppptfggtrtl eiksggggsevqlvesggglvqpggskls caasgftfnkyamnvrqapgkglewvari rskynnyatyyadsvkdrftisrddsknta ylmnnlktedtavyycvrhgnfgnsyisy waywgqgtlvtvssggggsgggsgggsgq tvvtqepsltvspggtvtltcgsstgavts gnypnwvqqkpgqaprgliggtkflapgt arfsgsllggkaaltlsgvqpedeaeeycv lwysnrwvfgggtklvtl</p>
<p>983.</p>	<p>CD70_25xCD3 -scFc</p>	<p>биспецифи ческая HLE молекула</p>	<p>evqllesgggmvpqpgslrlscaasgftfs syamswvrqapgkglewvsaisgsggrtfy aesvegrftisrdnskntlylmnslraed tavyycakhdysnpyfydywgqgtlvtvss gggsgggsggggseivltqspgtlslsp geratlsctasqsvrsslawyqqkpggap rlliygassratgipdrfsgsgsgtdftlt isrlepedfavyfcqqygsppptfggtrtl eiksggggsevqlvesggglvqpggskls caasgftfnkyamnvrqapgkglewvari rskynnyatyyadsvkdrftisrddsknta ylmnnlktedtavyycvrhgnfgnsyisy waywgqgtlvtvssggggsgggsgggsgq tvvtqepsltvspggtvtltcgsstgavts gnypnwvqqkpgqaprgliggtkflapgt arfsgsllggkaaltlsgvqpedeaeeycv lwysnrwvfgggtklvtlvgggdkthtcpp cpapellggsfvlfppkpkdtlmisrtpe vtcvvdvshedpevkfnwyvdgvevhnak tkpceeaygstyrcvsvltvlhqdwlngke ykckvsnkalpapiektiskakgqprepqv</p>

			ytlppsreemtknqvsltclvkgfypsdi vewesngqpennykttppvldsdsfflys kltvdksrwqggnvfscsvmhealhnhytq kslslspgKggggsgggsgggsgggsgg gggsgggsgdkthtcppcpapellggpsvf lfppkpkdtlmisrtpevtcvvvdvshedp evkfnwyvdgvevhnaktkpcceygstyr cvsvltvlhqdwlngkeykckvsnkalpap iektiskakgqprepqvtytlppsreemtkn qvsltclvkgfypsdiavewesngqpenny kttppvldsdsfflyskltvdksrwqggn vfscsvmhealhnhytqkslslspgk
984.	CD70_26_CCx CD3-scFc	VH CDR1	iyams
985.	CD70_26_CCx CD3-scFc	VH CDR2	aiggsggstfyaesvkg
986.	CD70_26_CCx CD3-scFc	VH CDR3	hdysnypyfdy
987.	CD70_26_CCx CD3-scFc	VL CDR1	rasqsvrssyva
988.	CD70_26_CCx CD3-scFc	VL CDR2	gassrat
989.	CD70_26_CCx CD3-scFc	VL CDR3	qqygdlpft
990.	CD70_26_CCx CD3-scFc	VH	evqllesggglvqpggslrlscaasgftfs iyamswvrqapgkclewvsaiaggsggstfy aesvkgrftisrdnskntlylqmnsraed tavyycahdysnypyfdywgqgtlvtvss
991.	CD70_26_CCx CD3-scFc	VL	eivltqspgtlslspgeratlscrasqsvr ssvawyqqkpgqaprlliygassratgip drfsgsgsgtdftltisrlepedfavyycq qygdlpftfgcgrleik
992.	CD70_26_CCx CD3-scFc	scFv	evqllesggglvqpggslrlscaasgftfs iyamswvrqapgkclewvsaiaggsggstfy aesvkgrftisrdnskntlylqmnsraed

			tavyycakhdysnypyfdywgqgtlvtvss ggggsgggsggggseivltqspgtlslsp geratlscrasqsvrssyvawyqqkpgqap rlliygassratgipdrfsgsgsgtdftlt isrlepedfavyyccqygdlpftfgcctrl eik
993.	CD70_26_CCx CD3-scFc	биспецифи ческая молекула	evqllesggglvqpqgslrlscaasgftfs iyamswvrqapgkclewvsaiaggsggstfy aevkgrftisrdnskntlylqmnsraed tavyycakhdysnypyfdywgqgtlvtvss ggggsgggsggggseivltqspgtlslsp geratlscrasqsvrssyvawyqqkpgqap rlliygassratgipdrfsgsgsgtdftlt isrlepedfavyyccqygdlpftfgcctrl eiksggggsevqlvesggglvqpqgslkls caasgftfnkyamnvrqapgkglewvari rskynnyatyyadsvkdrftisrddsknta ylqmnlktdtavyycvrhgnfgnsyisy waywgqgtlvtvssggggsgggsgggsgq tvvtqepsltvspggtvtltcgsstgavts gnypnwvqqkpgqaprgliggtkflapgtp arfgslggkaaltlsgvqpedeaeyycv lwysnrwvfgggtkltvl
994.	CD70_26_CCx CD3-scFc	биспецифи ческая HLE молекула	cvqllesggglvqpqgslrlscaasgftfs iyamswvrqapgkclewvsaiaggsggstfy aevkgrftisrdnskntlylqmnsraed tavyycakhdysnypyfdywgqgtlvtvss ggggsgggsggggseivltqspgtlslsp geratlscrasqsvrssyvawyqqkpgqap rlliygassratgipdrfsgsgsgtdftlt isrlepedfavyyccqygdlpftfgcctrl eiksggggsevqlvesggglvqpqgslkls caasgftfnkyamnvrqapgkglewvari rskynnyatyyadsvkdrftisrddsknta ylqmnlktdtavyycvrhgnfgnsyisy

			waywgqgtlvtvssgggsgggsgggsgq tvvtqepsltvspggtvtltcgsstgavts gnypnwvqqkpgqaprgliggtkflapgtp arfgsllggkaaltlsgvqpedeaeeycv lwysnrwvfgggtklvtlvggggdkthtcpp cpapellggpsvflfppkpkdtlmisrtpe vtcvvvdvshedpevkfnwyvdgvevhnak tkpceezygstyrcvsvltvlhqdwlngke ykckvsnkalpapiektiskakgqprepqv ytlppsreemtknqvsltclvkgfypsdi vewesngqpennykttppvldsdsfflys kltvdksrwqqgnvfscsvmhealhhytq kslsispgKgggsgggsgggsgggsg ggsgggsgdkthtcppcpapellggpsvf lfppkpkdtlmisrtpevtcvvvdvshedp evkfnwyvdgvevhnaktkpceezygstyr cvsvltvlhqdwlngkeykckvsnkalpap iektiskakgqprepqvtytlppsreemtkn qvsltclvkgfypsdiavewesngqpenny kttppvldsdsfflyskltvdksrwqqgn vfscsvmhealhhytqkslsispgk
995.	CD70_26xCD3 -scFc	VH	evqllesggglvqpggsrlscaasgftfs iyamswvrqapgkglewvsaiggsggstfy aesvkgrftisrdnskntlylqmnsraed tavyycahdysnypyfdywgqgtlvtvss
996.	CD70_26xCD3 -scFc	VL	eivltqspgtlsispggeratlscrasqsvr ssyvawyqqkpgqaprlliygassratgip drfsgsgsgtdftltisrlepedfavyycq qygdlpftfgpgtrleik
997.	CD70_26xCD3 -scFc	scFv	evqllesggglvqpggsrlscaasgftfs iyamswvrqapgkglewvsaiggsggstfy aesvkgrftisrdnskntlylqmnsraed tavyycahdysnypyfdywgqgtlvtvss gggsgggsggggseivltqspgtlsisp geratlscrasqsvrssyvawyqqkpgqap

			rlliygassratgipdrfsgsgsgtdftlt isrlepedfavyyccqygdldpftfgpgtrl eik
998.	CD70_26xCD3 -scFc	биспецифи ческая молекула	evqllesggglvqpggslrlscaasgftfs iyamswvrqapggkglewvsaiaggsggstfy aevkgrftisrdnskntlylqmnsraed tavyycahdysnypfydywgqgtlvtvss ggggsgggsggggseivltqspgtlslsp geratlscrasqsvrssyvawyyqqkpgqap rlliygassratgipdrfsgsgsgtdftlt isrlepedfavyyccqygdldpftfgpgtrl eiksggggsevqlvesggglvqpggslkls caasgftfnkyamnvrqapggkglewvari rskynnyatyyadsvkdrftisrddsknta ylqmnlktdtavyycvrhgnfgnsyisy waywgqgtlvtvssggggsgggsgggsgq tvvtqepsltvspggtvtltcgsstgavts gnypnwvqqkpgqaprgliggtkflapgtp arfgsllggkaaltlsgvqpedeaeycv lwysnrwvfgggtklvtl
999.	CD70_26xCD3 -scFc	биспецифи ческая HLE молекула	evqllesggglvqpggslrlscaasgftfs iyamswvrqapggkglewvsaiaggsggstfy aevkgrftisrdnskntlylqmnsraed tavyycahdysnypfydywgqgtlvtvss ggggsgggsggggseivltqspgtlslsp geratlscrasqsvrssyvawyyqqkpgqap rlliygassratgipdrfsgsgsgtdftlt isrlepedfavyyccqygdldpftfgpgtrl eiksggggsevqlvesggglvqpggslkls caasgftfnkyamnvrqapggkglewvari rskynnyatyyadsvkdrftisrddsknta ylqmnlktdtavyycvrhgnfgnsyisy waywgqgtlvtvssggggsgggsgggsgq tvvtqepsltvspggtvtltcgsstgavts gnypnwvqqkpgqaprgliggtkflapgtp

			arfgsllggkaaltlsgvqpedeaeycv lwysnrwvfgggtklvtlvgggdkthtcpp cpapellggpsvflfppkpkdtlmisrtp vtcvvdvshedpevkfnwyvdgvevhnak tkpceeegystyrcvsvltvlhqdwlngke ykckvsnkalpapiektiskakgpprepqv ytlppsreemtknqvsltclvkgfypsdi vewesngqpennykttppvldsdsfflys kltvdksrwqqgnvfscsvmhealhnhytq kslsispgKggggsgggsgggsgggsg ggsgggsgdkthtcppcpapellggpsvf lfppkpkdtlmisrtpvtcvvdvshedp evkfnwyvdgvevhnaktkpeeegystyr cvsvltvlhqdwlngkeykckvsnkalpap iektiskakgpprepqvtytlppsreemtkn qvsltclvkgfypsdiavewesngqpenny kttppvldsdsfflyskltvdksrwqqgn vfscsvmhealhnhytqkslsispgk
1000.	CD70_27_CCx CD3-scFc	VH CDR1	sssyywg
1001.	CD70_27_CCx CD3-scFc	VH CDR2	siyhsggtyfnpslks
1002.	CD70_27_CCx CD3-scFc	VH CDR3	hyeiltgyypdvfdi
1003.	CD70_27_CCx CD3-scFc	VL CDR1	rasqsissyln
1004.	CD70_27_CCx CD3-scFc	VL CDR2	aasnlqs
1005.	CD70_27_CCx CD3-scFc	VL CDR3	qqsfssprt
1006.	CD70_27_CCx CD3-scFc	VH	qvqlqesgpglvkpsqtlsltctvsggsis sssyywgwirqppgkclewigsiyhsggty fnpslksrvtisvdtksnqfslklssvtaa dtavyycarhyeiltgyypdvfdiwgqgtm vtvss

1007.	CD70_27_CCx CD3-scFc	VL	diqmtqspsslsasvqdrvtitcrasqsis sylvnyqqkpgkapklliyaasnlgsgvss rfsgsgsgtdftltisslqpedfatyyccqg sfssprtfgcgtkveik
1008.	CD70_27_CCx CD3-scFc	scFv	qvqlqesgpglvkpsqtlsltctvsggsis sssywqwirqppgkclewigsiyhsggty fnpslksrvtisvdtksnqfslklssvtaa dtavyycarhyeiltgyypdvfdiwgggtm vtvssggggsgggsgggsgdiqmtqspss lsasvqdrvtitcrasqsisylvnyqqk gkapklliyaasnlgsgvssrfsgsgsgtd ftltisslqpedfatyyccqgsfssprtfgc gtkveik
1009.	CD70_27_CCx CD3-scFc	биспецифи ческая молекула	qvqlqesgpglvkpsqtlsltctvsggsis sssywqwirqppgkclewigsiyhsggty fnpslksrvtisvdtksnqfslklssvtaa dtavyycarhyeiltgyypdvfdiwgggtm vtvssggggsgggsgggsgdiqmtqspss lsasvqdrvtitcrasqsisylvnyqqk gkapklliyaasnlgsgvssrfsgsgsgtd ftltisslqpedfatyyccqgsfssprtfgc gtkveiksggggsevqlvesggglvqpggs lklscasgftfnkyamnvrqapgkglew varirskynnyatyadsvkdrftisrdds kntaylqmnnlktedtavyycvrhgnfgns yisywaywqggtlvtvssggggsgggsgg ggsqvtvtqepsltvspggtvtltcgssg avtsgnypnwvqqkpgqaprgliggtkfla pgtparfsgsllggkaaltlsgvqpedeae yycvlwysnrwvfgggkltvl
1010.	CD70_27_CCx CD3-scFc	биспецифи ческая HLE молекула	qvqlqesgpglvkpsqtlsltctvsggsis sssywqwirqppgkclewigsiyhsggty fnpslksrvtisvdtksnqfslklssvtaa dtavyycarhyeiltgyypdvfdiwgggtm vtvssggggsgggsgggsgdiqmtqspss

			<p>lsasvgdrvtitcrasqsissylwnwyqqkpgkpklliyaasnlqsgvssrfsfgsgsgtdftltisslqpedfatyycqqsfsprtfgcgtkveiksggggseqlvesggglvqpggslklscaasgftfnkyamnvrqapgkglewvarirskynnyatyadsvkdrftisrddskntaylqmnlnktdtavyycvrhgnfgnsyisywaywqggtlvtvssggggsgggsgggsgqtvtqepsltvspggtvtltcgssgavtsgnypnwvqqkpgqaprgliggtkflapgtparfsgsllggkaaltlsgvqpedeayycvlwysnrwvfgggtklvtlvgggdkthtcppcpapellggpsvflfppkpkdtlmisrtpevtcvvvdvshedpevkfnwyvdgvevhnaktkpceeqgstyrcsvltvlhqdlngkeyckvsnkalpapiektiskakgqprepqvylppsreemtknqvsltclvkgfypsdiavewesngqpennykttppvldsdsfflyskltvdksrwqgnvfscsvmhealhnhytqkslslspgKggggsgggsgggsgggsgggsgggsgdkthtcppcpapellggpsvflfppkpkdtlmisrtpevtcvvvdshedpevkfnwyvdgvevhnaktkpceeqgstyrcsvltvlhqdlngkeyckvsnkalpapiektiskakgqprepqvylppsreemtknqvsltclvkgfypsdiavewesngqpennykttppvldsdsfflyskltvdksrwqgnvfscsvmhealhnhytqkslslspgk</p>
1011.	CD70_27xCD3 -scFc	VH	<p>qvqlqesgpglvkpsqtlsitctvsggsissssyywgwirqppgkglewigsiihsggtyfnpslksrvtisvdtsknqfslklssvtaadtavyycarhyeiltgyypdvfdiwgqgtmvtvss</p>
1012.	CD70_27xCD3 -scFc	VL	<p>diqmtqspsslsasvgdrvtitcrasqsissylwnwyqqkpgkpklliyaasnlqsgvss</p>

			rfsgsgsgtdftltisslqpedfatyyccqq sfssprrtfgggtkveik
1013.	CD70_27xCD3 -scFc	scFv	qvqlqesgpglvkpsqtlsltctvsggsis sssywgywirqppgkglewigsyihsggty fnpslksrvtisvdtksnqfslklssvtaa dtavyycarhyeiltgyypdvfdiwgggtm vtvssggggsgggsggggsdiqmtqspss lsasvqdrvtitcrasqsissylnwyqqkp gkapklliyaasnlgsgvssrfsgsgsgtd ftltisslqpedfatyyccqqsfssprrtfgg gtkveik
1014.	CD70_27xCD3 -scFc	биспецифи ческая молекула	qvqlqesgpglvkpsqtlsltctvsggsis sssywgywirqppgkglewigsyihsggty fnpslksrvtisvdtksnqfslklssvtaa dtavyycarhyeiltgyypdvfdiwgggtm vtvssggggsgggsggggsdiqmtqspss lsasvqdrvtitcrasqsissylnwyqqkp gkapklliyaasnlgsgvssrfsgsgsgtd ftltisslqpedfatyyccqqsfssprrtfgg gtkveiksggggseqlvesggglvqpggs lklscasgftfnkyamnvrqapggkglew varirskynnyatyadsvkdrftisrdds kntaylqmnlnktdtavyycvrhgnfgns yisywaywgggtlvtvssggggsgggsgg ggsqvtvtqepsltvspggtvtltcgssstg avtsgnypnwvqqkpgqaprgliggtkfla pgtparfsgsllggkaaltlsgvqpedeae yycvlwysnrwvfgggtklvtl
1015.	CD70_27xCD3 -scFc	биспецифи ческая HLE молекула	qvqlqesgpglvkpsqtlsltctvsggsis sssywgywirqppgkglewigsyihsggty fnpslksrvtisvdtksnqfslklssvtaa dtavyycarhyeiltgyypdvfdiwgggtm vtvssggggsgggsggggsdiqmtqspss lsasvqdrvtitcrasqsissylnwyqqkp gkapklliyaasnlgsgvssrfsgsgsgtd

			ftltisslqpedfatyyccqqsfsprtfgq gtkveiksggggseqlvesggglvqpggs lklscaasgftfnkyamnvrqapgglew varirskynnyatyadsvkdrftisrdds kntaylqmnlnktdtavyycvrhgnfgns yisywaywqggtlvtvssgggsgggsgg ggsqvtvtqepsltvspggtvtltcgstg avtsgnypnwvqqkpgqaprgligntkfla pgtparfsgsllggkaaltlsgvqpedeae yycvlwysnrwvfgggtklvtlvgggdkth tcppcpapellggsvflfppkpkdtlmis rtpevtcvvvdvshedpevkfnwyvdgvev hnaktkpceeegygstyrcsvltvlhqdl ngkeykckvsnkalpapiektiskakgqpr epqvytlppsreemtknqvsltclvkgyfyp sdiavewesngqpennyktppvldsdsf flyskltvdksrwqgnvfscsvmhealhn hytqkslslspgKggggsgggsgggsgg ggsgggsgggsgdkthtcppcpapellgg psvflfppkpkdtlmisrtpevtcvvvdvs hedpevkfnwyvdgvevhnaktkpceeegy styrcsvltvlhqdlngkeykckvsnka lpapiektiskakgqprepqvytlppsree mtknqvsltclvkgyfypsdiavewesngqp ennyktppvldsdsfflyskltvdksrw qgnvfscsvmhealhnhytqkslslspgk
1016.	CD70_28_CCx CD3-scFc	VH CDR1	sysmn
1017.	CD70_28_CCx CD3-scFc	VH CDR2	yisssggyiyyaesvkg
1018.	CD70_28_CCx CD3-scFc	VH CDR3	gdysnyayfdy
1019.	CD70_28_CCx CD3-scFc	VL CDR1	rasqgisnyla
1020.	CD70_28_CCx	VL CDR2	aastlqs

	CD3-scFc		
1021.	CD70_28_CCx CD3-scFc	VL CDR3	qyyystplt
1022.	CD70_28_CCx CD3-scFc	VH	evqlvesggglvkgpgslrlscaasgftfs sysmnwvrqapgkclewvsyisssggyiyy aesvkgrftisrdnaknslylqmnsraed aavyycsrgdysnyayfdywgqgtlvtvss
1023.	CD70_28_CCx CD3-scFc	VL	Diqmtqspsslsasvdrvtitcrasqgis nylawyqqkpgkvpklliyaastlqsgvps rfsgsgsgtdftltiisslqaedvavyyccq yystpltfgcgtkveik
1024.	CD70_28_CCx CD3-scFc	scFv	evqlvesggglvkgpgslrlscaasgftfs sysmnwvrqapgkclewvsyisssggyiyy aesvkgrftisrdnaknslylqmnsraed aavyycsrgdysnyayfdywgqgtlvtvss ggggsgggsgggsgdiqmtqspsslsasv gdrvtitcrasqgisnylawyqqkpgkvpk lliyaastlqsgvpsrfsgsgsgtdftlti sslqaedvavyyccqyyystpltfgcgtkve ik
1025.	CD70_28_CCx CD3-scFc	биспецифи ческая молекула	evqlvesggglvkgpgslrlscaasgftfs sysmnwvrqapgkclewvsyisssggyiyy aesvkgrftisrdnaknslylqmnsraed aavyycsrgdysnyayfdywgqgtlvtvss ggggsgggsgggsgdiqmtqspsslsasv gdrvtitcrasqgisnylawyqqkpgkvpk lliyaastlqsgvpsrfsgsgsgtdftlti sslqaedvavyyccqyyystpltfgcgtkve iksggggsevqlvesggglvkgpgslrlsc aasgftfnkyamnvrqapgkglewvarir skynnyatyyadsvkdrftisrddskntay lqmnlktdtavyycvrhgnfgnsyisyw aywgqgtlvtvssggggsgggsgggsgt vvtqepsltvspggtvtltcgsstgavtsg nypnwvqqkpgqaprgliggtkflapgtpa

			rfsgsllggkaaltlsgvqpedeaeeycvl wysnrwvfgggtkltlvl
1026.	CD70_28_CCx CD3-scFc	биспецифическая HLE молекула	evqlvesggglvkgpgslrlscaasgftfs sysmnwvrqapgkclewvsyisssggyiyy aesvkgrftisrdnaknsllylqmnsraed aavyycsrgdysnyayfdywgqgtlvtvss ggggsgggsggggsdiqmtqspsslsasv gdrvtitcrasqgisnylawyqqkpgkvpk lliyaastlqsgvpsrfsqsgsgtdftlti sslqaedvavyycqqyystpltfgcgtkve iksggggsevqlvesggglvkgpgslklsc aasgftfnkyamnvrqapkglewvarir skynnyatyyadsvkdrftisrddskntay lqmnnlktedtavyycvrhgnfgnsyisyw aywgqgtlvtvssggggsgggsgggsgt vvtqepsiltvspggtvtltcgsstgavtsg nypnwvqqkpgqaprgliggtkflapgtpa rfsgsllggkaaltlsgvqpedeaeeycvl wysnrwvfgggtkltlvlggggdkthtcppc papellggsfvflfppkpkdtlmisrtpev tcvvdvshedpevkfnwyvdgvevhnakt kpceezygstyrcvsvltvlhqdwlngkey kckvsnkalpapiektiskakgqprepqvy tlppsreemtknqvsltclvkgfypsdiav ewesngqpennyktppvldsdsfflysk ltvdksrwqqgnvfscsvmhealhnhytqk slslspgKggggsgggsgggsgggsgg ggsgggsgdkthtcppcpapellggsfvfl fppkpkdtlmisrtpevtcvvdvshedpe vkfnwyvdgvevhnaktkpceezygstyrc vsvltvlhqdwlngkeykckvsnkalpapi ektiskakgqprepqvytlppsreemtknq vsltclvkgfypsdiavewesngqpennyk tppvldsdsfflyskltvdksrwqqgnv fscsvmhealhnhytqkslslspgk

1027.	CD70_28xCD3 -scFc	VH	evqlvesggglvkgpgslrlscaasgftfs sysmnwvrqapggklewvsyisssggyiyy aesvkgrftisrdnaknsllylqmnsraed aavyycsrgdysnyayfdywgggtlvtvss
1028.	CD70_28xCD3 -scFc	VL	diqmtqspsslsasvqdrvtitcrasqgis nylawyqqkpgkvpklliyaastlqsgvps rfsgsgsgtdftltisslqaedvavyycqq yystpltfgggtkveik
1029.	CD70_28xCD3 -scFc	scFv	evqlvesggglvkgpgslrlscaasgftfs sysmnwvrqapggklewvsyisssggyiyy aesvkgrftisrdnaknsllylqmnsraed aavyycsrgdysnyayfdywgggtlvtvss ggggsgggsgggsgdiqmtqspsslsasv gdrvtitcrasqgisnylawyqqkpgkvpk lliyaastlqsgvpsrfsgsgsgtdftlti sslqaedvavyycqqyystpltfgggtkve ik
1030.	CD70_28xCD3 -scFc	биспецифи ческая молекула	evqlvesggglvkgpgslrlscaasgftfs sysmnwvrqapggklewvsyisssggyiyy aesvkgrftisrdnaknsllylqmnsraed aavyycsrgdysnyayfdywgggtlvtvss ggggsgggsgggsgdiqmtqspsslsasv gdrvtitcrasqgisnylawyqqkpgkvpk lliyaastlqsgvpsrfsgsgsgtdftlti sslqaedvavyycqqyystpltfgggtkve iksggggsevqlvesggglvkgpgslklsc aasgftfnkyamnvrqapggklewvarir skynnyatyyadvkdrftisrddskntay lqmnlnktdtavyycvrhgnfgnsyisyw aywgggtlvtvssggggsgggsgggsgt vvtqepsltvspggtvtltcgsstgavtsg nypnwvqqkpgqaprgliggtkflapgtpa rfsgsllggkaaltlsgvqpedeaeyycvl wysnrwvfgggtklvtl
1031.	CD70_28xCD3	биспецифи	evqlvesggglvkgpgslrlscaasgftfs

	-scFc	чешская HLE молекула	<p>sysmnwvrqapgkglewvsyisssggyiy aesvkgrftisrdnaknslylqmnsraed aavyycsrgdysnyayfdywgqgtlvtvss ggggsgggsgggsgdiqmtqspsslsasv gdrvtitcrasqgisnylawyqqkpgkvpk lliyaastlqsgvpsrfsqsgsgtdftlti sslqaedvavyycqqyystpltfgggkve iksggggsevqlvesggglvqpggsklsc aasgftfnkyamnvrqapgkglewvarir skynnyatyyadsvkdrftisrddskntay lqmnlktedtavyycvrhgnfgnsyisyw aywgqgtlvtvssggggsgggsgggsgt vvtqepsltvspggtvtltcgsstgavtsg nypnwqqkpgqaprgliggtkflapgtpa rfsgslggkaaltlsgvqpedaeeycvl wysnrwvfgggtklvtlvggggdkthtccpc papellggpsvflfppkpkdtlmisrtpev tcvvvdvshedpevkfnwyvdgvevhnakt kpceezygstyrcvsvltvlhqdwlngkey kckvsnkalpapiektiskakgqprepvy tlppsreemtknqvsltclvkgfypsdiav ewesngqpennyktppvldsdsfflysk ltvdksrwqqgnvfscsvmhealhnhytqk slslspgKggggsgggsgggsgggsgg ggsgggsgdkthtccppcpapellggpsvfl fppkpkdtlmisrtpevtcvvvdvshedpe vkfnwyvdgvevhnaktkpceezygstyrc vsvltvlhqdwlngkeykckvsnkalpapi ektiskakgqprepvytlppsreemtknq vsltclvkgfypsdiavewesngqpennyk tppvldsdsfflyskltvdksrwqqgnv fscsvmhealhnhytqkslslspgk</p>
1032.	CD70_29_CCx CD3-scFc	VH CDR1	vyams
1033.	CD70_29_CCx	VH CDR2	tisgsggstfyaesvkg

	CD3-scFc		
1034.	CD70_29_CCx CD3-scFc	VH CDR3	hdysnyayfdy
1035.	CD70_29_CCx CD3-scFc	VL CDR1	rasqsvrssyla
1036.	CD70_29_CCx CD3-scFc	VL CDR2	gassrat
1037.	CD70_29_CCx CD3-scFc	VL CDR3	qqygdlpft
1038.	CD70_29_CCx CD3-scFc	VH	evqllesggglvqpggslrlscaasgftfs vyamswvrqapgkclewvstisgsggstfy aevkgrftisrdnskntlylqmnrlraed tavyycarhdysnyayfdywgggtlvtvss
1039.	CD70_29_CCx CD3-scFc	VL	eivltqspgtlslspgeratlsbrasqsvr ssylawyqqkpgqaprlliygassratgip drfsgsgsgtdftltisrlepedfavyycq qygdlpftfgcgtkveik
1040.	CD70_29_CCx CD3-scFc	scFv	evqllesggglvqpggslrlscaasgftfs vyamswvrqapgkclewvstisgsggstfy aevkgrftisrdnskntlylqmnrlraed tavyycarhdysnyayfdywgggtlvtvss ggggsgggsggggseivltqspgtlslsp geratlsbrasqsvrssylawyqqkpgqap rlliygassratgipdrfsgsgsgtdftlt isrlepedfavyycqygdlpftfgcgtkv eik
1041.	CD70_29_CCx CD3-scFc	Биспецификационная молекула	evqllesggglvqpggslrlscaasgftfs vyamswvrqapgkclewvstisgsggstfy aevkgrftisrdnskntlylqmnrlraed tavyycarhdysnyayfdywgggtlvtvss ggggsgggsggggseivltqspgtlslsp geratlsbrasqsvrssylawyqqkpgqap rlliygassratgipdrfsgsgsgtdftlt isrlepedfavyycqygdlpftfgcgtkv eiksggggsevqlvesggglvqpggslkls

			<p>caasgftfnkyamnvrqapgglewvari rskynnyatyyadsvkdrftisrddsknta ylqmnlnktdtavyycvrhgnfgnsyisy waywgqgtlvtvssgggsgggsgggsgq tvvtqepsltvspggtvtltcgsstgavts gnypnwvqqkpgqaprgliggtkflapgtp arfgsllggkaaltlsgvqpedeaeeycv lwysnrwvfgggtkltvl</p>
1042.	<p>CD70_29_CCx CD3-scFc</p>	<p>биспецифи ческая HLE молекула</p>	<p>evqllesggglvqpggsrlscaasgftfs vyamswvrqapgkclewvstisgsggstfy aesvkgrftisrdnskntlylqmnrlraed tavyycarhdysnyayfdywgqgtlvtvss gggsgggsggggseivltqspgtlslsp geratlscrasqsvrsslawyqqkpgqap rlliygassratgipdrfsgsgsgtdftlt isrlepedfavyyccqygdlpftfgcgtkv eiksggggsevqlvesggglvqpggskls caasgftfnkyamnvrqapgglewvari rskynnyatyyadsvkdrftisrddsknta ylqmnlnktdtavyycvrhgnfgnsyisy waywgqgtlvtvssgggsgggsgggsgq tvvtqepsltvspggtvtltcgsstgavts gnypnwvqqkpgqaprgliggtkflapgtp arfgsllggkaaltlsgvqpedeaeeycv lwysnrwvfgggtkltvlgggdkthtcpp cpapellggpsvflfppkpkdtlmsrtpe vtcvvdvshedpevkfnwyvdgvevhnak tkpceeqqgstyrcvsvltvlhqdwlngke ykckvsnkalpapiektiskakgqprepqv ytlppsreemtknqvsltclvkgfypsdia vewesngqpennyktppvldsdsfflys kltvdksrwqqgnvfscsvmhealhnhytq kslslspgKgggsgggsgggsgggsgg gggsgggsgdkthtcppcpapellggpsvf lfppkpkdtlmsrtpevtcvvdvshedp</p>

			evkfnwyvdgvevhnaktkpceeegystyr cvsvltvlhqdwlngkeykckvsnkalpap iektiskakgpprepqvvtlppsreemtkn qvsltclvkgfypsdiavewesngqpenny kttppvldsdsfflyskltvdksrwqqgn vfscsvmhealhhhtqkslslspgk
1043.	CD70_29xCD3 -scFc	VH	evqllesggglvqpggslrlscaasgftfs vyamswvrqapgkglewvstisgsggstfy aevkgrftisrdnskntlylqmnrlraed tavyycarhdysnyayfdywgggtlvtvss
1044.	CD70_29xCD3 -scFc	VL	eivltqspgtlslspgeratlscrasqsvr ssylawyqqkpgqaprlliygassratgip drfsgsgsgtdftltisrlepedfavyycq qygdlpftfgpgtkveik
1045.	CD70_29xCD3 -scFc	scFv	evqllesggglvqpggslrlscaasgftfs vyamswvrqapgkglewvstisgsggstfy aevkgrftisrdnskntlylqmnrlraed tavyycarhdysnyayfdywgggtlvtvss ggggsgggsgggseivltqspgtlslsp geratlscrasqsvrsslawyqqkpgqap rlliygassratgipdrfsgsgsgtdftlt isrlepedfavyycqygdldpftfgpgtkv eik
1046.	CD70_29xCD3 -scFc	биспецифическая молекула	evqllesggglvqpggslrlscaasgftfs vyamswvrqapgkglewvstisgsggstfy aevkgrftisrdnskntlylqmnrlraed tavyycarhdysnyayfdywgggtlvtvss ggggsgggsgggseivltqspgtlslsp geratlscrasqsvrsslawyqqkpgqap rlliygassratgipdrfsgsgsgtdftlt isrlepedfavyycqygdldpftfgpgtkv eiksggggsevqlvesggglvqpggskls caasgftfnkyamnvrqapgkglewvari rskynnyatyyadsvkdrftisrddsknta ylqmnlktedtavyycvrhgnfgnsyisy

			<p>waywgqgtlvtvssgggsgggsgggsgq tvvtqepsltvsgpggtvtltcgsstgavts gnypnwvqqkpgqaprgliggtkflapgtp arfsgslggkaaltlsgvqpedeaeeycv lwysnrwvfgggtklvtl</p>
1047.	<p>CD70_29xCD3 -scFc</p>	<p>биспецифи ческая HLE молекула</p>	<p>evqllesggglvqpggslrlscaasgftfs vyamswvrqapgkglewvstisgsggstfy aesvkgrftisrdnskntlylqmnrlraed tavyycarhdysnyayfdywqgtlvtvss gggsgggsggggseivltqspgtlslsp geratlscrasqsvrsslawyqqkpgqap rlliygassratgipdrfsgsgsgtdftlt isrlepedfavyyccqygdlpftfgpgtkv eiksggggsevqlvesggglvqpggslkls caasgftfnkyamnwrqapgkglewvari rskynnyatyyadsvkdrftisrddsknta ylqmnlktedtavyycvrhgnfgnsyisy waywgqgtlvtvssgggsgggsgggsgq tvvtqepsltvsgpggtvtltcgsstgavts gnypnwvqqkpgqaprgliggtkflapgtp arfsgslggkaaltlsgvqpedeaeeycv lwysnrwvfgggtklvtlvgggdkthtcpp cpapellggpsvflfppkpkdtlmsrtpe vtcvvvdvshedpevkfnwyvdgvevhnak tkpceezygstyrcvsvltvlhqdwlngke ykckvsnkalpapiektiskakgqprepqv ytlppsreemtknqvsltclvkgfypsdia vewesngqpennyktppvldsdsfflys kltvdksrwqggnvfscsvmhealhnhytq ksllspgkgggsgggsgggsgggsg gggsgggsgdkthtcppcpapellggpsvf lfppkpkdtlmsrtpevtcvvdvshedp evkfnwyvdgvevhnaktkpceezygstyr cvsvltvlhqdwlngkeykckvsnkalpap iektiskakgqprepqvylppsreemtkn</p>

			qvsltclvkgfypsdiavewesngqpenny kttpvldsdgsfflyskltvdksrwqqgn vfscsvmhealthnhytqkslslspgk
1048.	CD70_30_CCx CD3-scFc	VH CDR1	sygmh
1049.	CD70_30_CCx CD3-scFc	VH CDR2	visyegsnkyyaesvkg
1050.	CD70_30_CCx CD3-scFc	VH CDR3	gryygsnynhgmdv
1051.	CD70_30_CCx CD3-scFc	VL CDR1	rasqsissyln
1052.	CD70_30_CCx CD3-scFc	VL CDR2	aasslqs
1053.	CD70_30_CCx CD3-scFc	VL CDR3	qqsytpft
1054.	CD70_30_CCx CD3-scFc	VH	qvqlvesgggvvqpgrslrlscaasgfmfs sygmhwvrqapgkclewvavisyegsnkyy aesvkgrftisrdnskntlylqmnsraed tavyycargryygsnynhgmdvwwgqgttv tvss
1055.	CD70_30_CCx CD3-scFc	VL	diqmtqspsslsasvgrvtitcrasqsis sylvnyqqkpgkapklliyaasslqsgvps rfsgrsgtdftlttisslqpedfatyyccq sytpftfgcgtkveik
1056.	CD70_30_CCx CD3-scFc	scFv	qvqlvesgggvvqpgrslrlscaasgfmfs sygmhwvrqapgkclewvavisyegsnkyy aesvkgrftisrdnskntlylqmnsraed tavyycargryygsnynhgmdvwwgqgttv tvssggggsgggsgggsgdiqmtqspssl sasvgrvtitcrasqsisylvnyqqkpg kapklliyaasslqsgvpsrfsgrsgtdf tltisslqpedfatyyccqsytpftfgcg tkveik
1057.	CD70_30_CCx CD3-scFc	биспецифи ческая	qvqlvesgggvvqpgrslrlscaasgfmfs sygmhwvrqapgkclewvavisyegsnkyy

		молекула	<p>aesvkgrftisrdnskntlylqmnsraed tavyycargryygsngynhgmdivwgqgttv tvssggggsgggsggggsdiqmtqspssl sasvgdrvtitcrasqsissylnwyqqkpg kapklliyaasslqsgvpsrfsgrgsqtdf tltisslqpedfatyyccqqsystpftfgcg tkveiksggggsevqlvesggglvqpggsl klscaasgftfnkyamnwrqapgkglewv arirskynnyatyadsvkdrftisrddsk ntaylqmnlnktdtavyycvrhgnfgnsy isywaywqggtlvtvssggggsgggsgggg gsqvtvtqepsltvspggtvtltcgsstga vtsgnypnwvqqkpgqaprgliggtkflap gtparfsgslggkaaltlsgvqpedeaeay ycvlwysnrwvfgggtkltvl</p>
1058.	CD70_30_CCx CD3-scFc	биспецифическая HLE молекула	<p>qvqlvesgggvvqgrslrlscaasgfmfs sygmhwrqapgkclewvavisyegsnkyy aesvkgrftisrdnskntlylqmnsraed tavyycargryygsngynhgmdivwgqgttv tvssggggsgggsggggsdiqmtqspssl sasvgdrvtitcrasqsissylnwyqqkpg kapklliyaasslqsgvpsrfsgrgsqtdf tltisslqpedfatyyccqqsystpftfgcg tkveiksggggsevqlvesggglvqpggsl klscaasgftfnkyamnwrqapgkglewv arirskynnyatyadsvkdrftisrddsk ntaylqmnlnktdtavyycvrhgnfgnsy isywaywqggtlvtvssggggsgggsgggg gsqvtvtqepsltvspggtvtltcgsstga vtsgnypnwvqqkpgqaprgliggtkflap gtparfsgslggkaaltlsgvqpedeaeay ycvlwysnrwvfgggtkltvlgggdktht cppcpapellggpsvflfppkpkdtlmsr tpevtcvvvdvshedpevkfnwyvdgvevh naktkpceeaygstyrcvsvltvlhqdwn</p>

			gkeykckvsnkalpapiektiskakgqpre pqvytlppsreemtknqvsltclvkgfyps diavewesngqpennykttppvldsdsff lyskltvdksrwqqgnvfscsvmhealnhh ytqkslslspgKggggsgggsgggsggg gsgggsgggsgdkthtcppcpapellggp svflfppkpdltmisrtpevtcvvvdvsh edpevkfnwyvdgvevhnaktkpeeys tyrcsvltvlhqdwlngkeykckvsnk apiektiskakgqprepqvytlppsreem tknqvsltclvkgfypsdiavewesngqpe nnykttppvldsdsfflyskltvdksrwq qgnvfscsvmhealnhhntqkslslspgk
1059.	CD70_30xCD3 -scFc	VH	qvqlvesgggvvqgrslrlscaasgfmfs sygmhwrqapkgglewvavisyegsnkyy aesvkgrftisrdnskntlylqmnsraed tavyycargryygsnynhgmdvwgqgttv tvss
1060.	CD70_30xCD3 -scFc	VL	diqmtqspsslsasvgdrvtitcrasqsis sylvnyqqkpgkapklliyaasslqsgvps rfsgrsgtdftlttisslqpedfatyyccq systpftfgpgtkveik
1061.	CD70_30xCD3 -scFc	scFv	qvqlvesgggvvqgrslrlscaasgfmfs sygmhwrqapkgglewvavisyegsnkyy aesvkgrftisrdnskntlylqmnsraed tavyycargryygsnynhgmdvwgqgttv tvssggggsgggsgggsgggsgggsggg sasvgdrvtitcrasqsisylvnyqqkpg kapklliyaasslqsgvpsrfsgrsgtdf tltisslqpedfatyyccqsystpftfgpg tkveik
1062.	CD70_30xCD3 -scFc	биспецифическая молекула	qvqlvesgggvvqgrslrlscaasgfmfs sygmhwrqapkgglewvavisyegsnkyy aesvkgrftisrdnskntlylqmnsraed tavyycargryygsnynhgmdvwgqgttv

			<p>tvssggggsgggsgggsgggsgggdiqmtqspssl sasvgdrvtitcrasqsissylnwyqqkpg kapklliyaasslqsgvpsrfsgrgsgrtdf tltisslqpedfatyyccqqsystpftfgpg tkveiksggggsevqlvesggglvqpggsl klscaasgftfnkyamnwrqapgkglewv arirskynnyatyadsvkdrftisrddsk ntaylqmnnlktedtavyycvrhgnfgnsy isywaywgqgtlvtvssggggsgggsgggg gsqvtvtqepsltvspggtvltcgsstga vtsgnypnwvqqkpgqaprgliggtkflap gtparfsgsllggkaaltlsgvqpedeaey ycvlwysnrwvfgggtkltvl</p>
<p>1063.</p>	<p>CD70_30xCD3 -scFc</p>	<p>биспецифи ческая HLE молекула</p>	<p>qvqlvesgggvvqgrslrlscaasgfmfs sygmhwrqapgkglewvavisyegsnkyy aevkgrftisrdnskntlylqmnsraed tavyycargryygsnynhgmdivwgqgttv tvssggggsgggsgggsgggsgggdiqmtqspssl sasvgdrvtitcrasqsissylnwyqqkpg kapklliyaasslqsgvpsrfsgrgsgrtdf tltisslqpedfatyyccqqsystpftfgpg tkveiksggggsevqlvesggglvqpggsl klscaasgftfnkyamnwrqapgkglewv arirskynnyatyadsvkdrftisrddsk ntaylqmnnlktedtavyycvrhgnfgnsy isywaywgqgtlvtvssggggsgggsgggg gsqvtvtqepsltvspggtvltcgsstga vtsgnypnwvqqkpgqaprgliggtkflap gtparfsgsllggkaaltlsgvqpedeaey ycvlwysnrwvfgggtkltvlgggdktht cppcpapellggpsvflfppkpkdtlmisr tpevtcvvvdvshedpevkfnwyvdgvevh naktkpceeqqgstyrcvsvltvlhqdwln gkeykckvsnkalpapiektiskakgpre pqvytlppsreemtknqvsltclvkgfyps</p>

			diavewesngqpennykttppvldsdgsff lyskltvdksrwqqgnvfscsvmhealthnh ytqkslslspgkggggsgggsgggsggg gsggggsgggsgdkthtcpppapellggp svflfppkpkdtlmsrtpevtcvvvdvsh edpevkfnwyvdgvevhnaktkpeeegys tyrcvsvltvlhqdwlngkeykckvsnkal papiektiskakgpprepqvytlppsreem tknqvsltclvkgfypsdiavewesngqpe nnykttppvldsdgsfflyskltvdksrwq qgnvfscsvmhealthnhytqkslslspgk
1064.	CD70_31_CCx CD3-scFc	VH CDR1	sygmh
1065.	CD70_31_CCx CD3-scFc	VH CDR2	vtwydasnkyygdavkg
1066.	CD70_31_CCx CD3-scFc	VH CDR3	dllrgvkgyamd
1067.	CD70_31_CCx CD3-scFc	VL CDR1	rasqslrriyla
1068.	CD70_31_CCx CD3-scFc	VL CDR2	dvfdrat
1069.	CD70_31_CCx CD3-scFc	VL CDR3	qqysespft
1070.	CD70_31_CCx CD3-scFc	VH	qvqlvesgggvvqgrslrlscaasgftfs sygmhwrqapgkclewvavtwydasnkyy gdavkgrftisrdnskntlylqmnsraed tavyyocardllrgvkgyamdvwgqgttvv ss
1071.	CD70_31_CCx CD3-scFc	VL	eivltqspgtlslspgeratlscrasqslr riylawyqqkpgqaprlliydvfdratgip drfsgggsgtdftltisrlepedfavyycq qysespftfgcgtkvdik
1072.	CD70_31_CCx CD3-scFc	scFv	qvqlvesgggvvqgrslrlscaasgftfs sygmhwrqapgkclewvavtwydasnkyy gdavkgrftisrdnskntlylqmnsraed

			tavyycardllrgvkgyamdvwgqgttvv ssgggsgggsggggseivltqspgtlsl spgeratlscrasqslrriylawyqqkpgq aprlliydvfdratgipdrfsggsgtdft ltisrlepedfavyyccqysespftfgcgt kvdik
1073.	CD70_31_CCx CD3-scFc	биспецифи ческая молекула	qvqlvesgggqvqgrslrlscaasgftfs sygmhwrqapgkclewvavtwydasnkyy gdavkgrftisrdnskntlylqmnsraed tavyycardllrgvkgyamdvwgqgttvv ssgggsgggsggggseivltqspgtlsl spgeratlscrasqslrriylawyqqkpgq aprlliydvfdratgipdrfsggsgtdft ltisrlepedfavyyccqysespftfgcgt kvdiksgggsevqlvesggglvqpggslk lscaasgftfnkyamnwrqapgkglewva rirskynnyatyadsvkdrftisrddskn taylqmnnlktedtavyycvrhgnfgnsyi sywaywgqgtlvtvssgggsgggsgggg sqtvtqepsltvspggtvtltcgsstgav tsgnypnwvqqkpgqaprgliggtkflapg tparfsgsllggkaaltlsgvqpedeaeey cvlwysnrwvfgggtklvtl
1074.	CD70_31_CCx CD3-scFc	биспецифи ческая HLE молекула	qvqlvesgggqvqgrslrlscaasgftfs sygmhwrqapgkclewvavtwydasnkyy gdavkgrftisrdnskntlylqmnsraed tavyycardllrgvkgyamdvwgqgttvv ssgggsgggsggggseivltqspgtlsl spgeratlscrasqslrriylawyqqkpgq aprlliydvfdratgipdrfsggsgtdft ltisrlepedfavyyccqysespftfgcgt kvdiksgggsevqlvesggglvqpggslk lscaasgftfnkyamnwrqapgkglewva rirskynnyatyadsvkdrftisrddskn taylqmnnlktedtavyycvrhgnfgnsyi

			<p>sywaywgqgtlvtvssgggsgggsgggg sqtvtvtqepsltvspggtvtltcgsstgav tsgnypnwvqqkpgqaprgligngkflapg tparfsgsllggkaaltlsgvqpedeaeey cvlwysnrwvfgggtklvtlvggggdkthtc ppcpapellggpsvflfppkpkdtlmisrt pevtcvvvdvshedpevkfnwyvdgvevhn aktkpceezygstyrcvsvltvlhqdwlng keykckvsnkalpapiektiskakgqprep qvytlppsreemtknqvsltclvkgfypsdi avewesngqpennykttppvldsdgsffl yskltvdksrwqggnvfscsvmhealhnhy tqkslslspgKggggsgggsgggsgggg sgggsgggsgdkthtcppcpapellggps vflfppkpkdtlmisrtpevtcvvvdvshe dpevkfnwyvdgvevhnaktkpceezygst yrcvsvltvlhqdwlngkeykckvsnkalp apiektiskakgqprepqvytlppsreemt knqvsltclvkgfypsdiavewesngqpen nykttppvldsdgsfflyskltvdksrwqq gnvfscsvmhealhnhytqkslslspgk</p>
1075.	CD70_31xCD3 -scFc	VH	<p>qvqlvesgggvvqgrslrlscaasgftfs sygmhwrqapggglewvavtwydasnkyy gdavkgrftisrdnskntlylqmnsraed tavyyocardllrgvkgyamdvwgqgttvtv ss</p>
1076.	CD70_31xCD3 -scFc	VL	<p>eivltqspgtlslspgeratlscrasqlr riylawyqqkpgqaprlliydvfdratgip drfsgggsgtdftltisrlepedfavyycq qysespftfgpgtkvdik</p>
1077.	CD70_31xCD3 -scFc	scFv	<p>qvqlvesgggvvqgrslrlscaasgftfs sygmhwrqapggglewvavtwydasnkyy gdavkgrftisrdnskntlylqmnsraed tavyyocardllrgvkgyamdvwgqgttvtv ssggggsgggsggggseivltqspgtlsl</p>

			spgeratlscrasqslrriylawyqqkpgq aprlliydvfdratgipdrfsggsgtdft ltisrlepedfavyyccqysespftfgpgt kvdik
1078.	CD70_31xCD3 -scFc	биспецифи ческая молекула	qvqlvesgggvvqgrslrlscaasgftfs sygmhwrqapgkglewvavtwydasnkyy gdavkgrftisrdnskntlylqmnsraed tavyycardllrgvkgyamdvwgqgtvtv ssgggsgggsggggseivltqspgtlsl spgeratlscrasqslrriylawyqqkpgq aprlliydvfdratgipdrfsggsgtdft ltisrlepedfavyyccqysespftfgpgt kvdiksggggsevqlvesggglvqpggslk lscaasgftfnkyamnwrqapgkglewva rirskynnyatyadsvkdrftisrddskn taylqmnnlktedtavyycvrhgnfgnsyi sywaywgqgtlvtvssgggsgggsgggg sqtvtqepsltvspggtvtltcgsstgav tsgnypnwvqqkpgqaprgliggtkflapg tparfsgsllggkaaltlsgvqpedeaeey cvlwysnrwvfgggtklvtl
1079.	CD70_31xCD3 -scFc	биспецифи ческая HLE молекула	qvqlvesgggvvqgrslrlscaasgftfs sygmhwrqapgkglewvavtwydasnkyy gdavkgrftisrdnskntlylqmnsraed tavyycardllrgvkgyamdvwgqgtvtv ssgggsgggsggggseivltqspgtlsl spgeratlscrasqslrriylawyqqkpgq aprlliydvfdratgipdrfsggsgtdft ltisrlepedfavyyccqysespftfgpgt kvdiksggggsevqlvesggglvqpggslk lscaasgftfnkyamnwrqapgkglewva rirskynnyatyadsvkdrftisrddskn taylqmnnlktedtavyycvrhgnfgnsyi sywaywgqgtlvtvssgggsgggsgggg sqtvtqepsltvspggtvtltcgsstgav

			tsgnypnwvqqkpgqaprgliggtkflapg tparfsgsllggkaaltlsgvqpedeaeey cvlwysnrwvfgggtkltvlgggdkthtc ppcpapellggpsvflfppkpkdtlmisrt pevtcvvvdvshedpevkfnwyvdgvevhn aktkpceeegystyrcvsvltvlhqdwlng keykckvsnkalpapiektiskakgqprep qvylppsreemtknqvsltclvkgyfypsd iavewesngqpennykttppvldsdgsffl yskltvdksrwqqgnvfscsvmhealhnhy tqkslslspgKggggsgggsgggsgggg sgggsgggsgdkthtcppcpapellggps vflfppkpkdtlmisrtpevtcvvvdvshe dpevkfnwyvdgvevhnaktkpceeegyst yrcvsvltvlhqdwlngkeykckvsnkalp apiektiskakgqprepqvylppsreemt knqvsltclvkgyfypsdiaewesngqpen nykttppvldsdgsfflyskltvdksrwqq gnvfscsvmhealhnhytqkslslspgk
1080.	CD70_32_CCx CD3-scFc	VH CDR1	sygis
1081.	CD70_32_CCx CD3-scFc	VH CDR2	wisayqgythyaqklqg
1082.	CD70_32_CCx CD3-scFc	VH CDR3	dyggndyygmdv
1083.	CD70_32_CCx CD3-scFc	VL CDR1	sgsssniginyvy
1084.	CD70_32_CCx CD3-scFc	VL CDR2	rsdqrps
1085.	CD70_32_CCx CD3-scFc	VL CDR3	aafdeslsgvv
1086.	CD70_32_CCx CD3-scFc	VH	qvqlvqsgaevkpgasvkvscasgytft sygiswvrqapggclewmgisayqgythy aqklqgrvtmttdtststaymelrslrsdd tavyycardyggndyygmdvwgqgttvtvs

			s
1087.	CD70_32_CCx CD3-scFc	VL	qsvltqppsasgtpgqrvtiscsgsssnig inyvywyqqlpgtapklliyrdsqrpsgvp drfsgsksgtsaslaslsglrseadeyyca afdeslsgvvfgcgtkltvl
1088.	CD70_32_CCx CD3-scFc	scFv	qvqlvqsgaevkkpgasvkvscasgytft sygiswvrqapggqclewmgisayqgythy aqklqgrvtmtdtststaymelrslrsdd tavyycardyggndyygmdvwwgqgttvtvs sgggsgggsgggsgggsgsvltqppsasgtp gqrvtiscsgsssniginvywyqqlpgta pklliyrdsqrpsgvpdrfsgsksgtsasl alsglrseadeyycaafdeslsgvvfgcg tkltvl
1089.	CD70_32_CCx CD3-scFc	биспецифи ческая молекула	qvqlvqsgaevkkpgasvkvscasgytft sygiswvrqapggqclewmgisayqgythy aqklqgrvtmtdtststaymelrslrsdd tavyycardyggndyygmdvwwgqgttvtvs sgggsgggsgggsgggsgsvltqppsasgtp gqrvtiscsgsssniginvywyqqlpgta pklliyrdsqrpsgvpdrfsgsksgtsasl alsglrseadeyycaafdeslsgvvfgcg tkltvlsggggsevqlvesggglvqpggsl klscaasgftfnkyamnvrqapgkglewv arirskynnyatyadsvkdrftisrddsk ntaylqmnlnktdtavyycvrhgnfgnsy isywaywgggtlvtvssggsgggsggg gsqvtvtqepsltvspggtvtltcgsstga vtsgnypnwvqqkpgqaprgliggtkflap gtparfsgsllggkaaltlsgvqpedeae ycvlwysnrwvfgggtkltvl
1090.	CD70_32_CCx CD3-scFc	биспецифи ческая HLE молекула	qvqlvqsgaevkkpgasvkvscasgytft sygiswvrqapggqclewmgisayqgythy aqklqgrvtmtdtststaymelrslrsdd tavyycardyggndyygmdvwwgqgttvtvs

			<p>sgggsgggsgggsgggsgsvltqppsasgtp gqrvtiscsgsssniginivywyqqlpgta pklliyrdsqrpsgvpdrfsgsksgtsasl alsglrsedeaddycaafdeslsgvfvfgcg tkltvlsggggsevqlvesggglvqpggsl klscaasgftfnkyamnwrqapgkglewv arirskynnyatyadsvkdrftisrddsk ntaylqmnlnktdtavyycvrhgnfgnsy isywaywgggtlvtvssggggsgggsggg gsqtvvtqepsltvspggvtlvtcgsstga vtsgnypnwvqkpgqaprgligntkflap gtparfsgsllgkkaaltlsgvqpedeae ycvlwysnrwvfgggtklvtlvggggdkht cppcpapellggpsvflfppkpkdtlmisr tpevtcvvvdvshdpevkfnwyvdgvevh naktkpceezygstyrcsvltvlhqdwln gkeykckvsnkalpapiektiskakgpre pqvytlppsreemtknqvsltclvkgfyps diavewesngqpennykttppvldsdsff lyskltvdksrwqgnvfscsvmhealhh ytqkslslspgKggggsgggsgggsggg gsgggsgggsgskthtcppcpapellggp svflfppkpkdtlmisrtpevtcvvvdvsh edpevkfnwyvdgvevhnaktkpceezygs tyrcsvltvlhqdwlngkeykckvsnk apiektiskakgprepqvytlppsreem tknqvsltclvkgfypsdiavewesngqpe nnykttppvldsdsfflyskltvdksrwq qgnvfscsvmhealhhytqkslslspgk</p>
1091.	CD70_32xCD3 -scFc	VH	<p>qvqlvqsgaevkkpgasvkvscasgytft sygiswvrqapggglewmgisayqgythy aqklqgrvtmtdtststaymelrslrdd tavyycardyggndyygmdvhwgggtvtvs s</p>
1092.	CD70_32xCD3	VL	qsvltqppsasgtpgqrvtiscsgsssnig

	-scFc		inyvywyqqlpgtapklliyrdsqrpsgvp drfsgsksgtsaslalsglrsedeaddyca afdeslsgvvfgggtklvtl
1093.	CD70_32xCD3 -scFc	scFv	qvqlvqsgaevkkpgasvkvscasgytft sygiswvrqapggglewmgisayqgythy aqklqgrvtmtdtststaymelrslrsdd tavyycardyggndyygmdvwgqgttvtvs sgggsgggsgggsgggsgsvltqppsasgtp gqrvtisgsgssniginyvywyqqlpgta pklliyrdsqrpsgvpdrfsgsksgtsasl alsglrsedeaddycaafdeslsgvvfgg tklvtl
1094.	CD70_32xCD3 -scFc	биспецифи ческая молекула	qvqlvqsgaevkkpgasvkvscasgytft sygiswvrqapggglewmgisayqgythy aqklqgrvtmtdtststaymelrslrsdd tavyycardyggndyygmdvwgqgttvtvs sgggsgggsgggsgggsgsvltqppsasgtp gqrvtisgsgssniginyvywyqqlpgta pklliyrdsqrpsgvpdrfsgsksgtsasl alsglrsedeaddycaafdeslsgvvfgg tklvtlsggggsevqlvesggglvqpggsl klscaasgftfnkyamnvrqapgglewv arirskynnyatyadsvkdrftisrddsk ntaylqmnlnkctdavyycvrhgnfgnsy isywaywgqgtlvtvssggsgggsgggsggg gsqvtvtqepsltvspggtvtltcgssgta vtsgnypnwvqqkpgqaprgliggtkflap gtparfsgsllggkaaltlsgvqpedeaey ycvlwysnrwvfgggtklvtl
1095.	CD70_32xCD3 -scFc	биспецифи ческая HLE молекула	qvqlvqsgaevkkpgasvkvscasgytft sygiswvrqapggglewmgisayqgythy aqklqgrvtmtdtststaymelrslrsdd tavyycardyggndyygmdvwgqgttvtvs sgggsgggsgggsgggsgsvltqppsasgtp gqrvtisgsgssniginyvywyqqlpgta

			<p>pklliyrdsqrpsgvpdrfsgsksgtsasl alsglrsedeaddycaafdeslsgvvfggg tkltvlsggggsevqlvesggglvqpggsl klscaasgftfnkyamnvrqapggglewv arirskynnyatyadsvkdrftisrddsk ntaylqmnlnktdtavyycvrhgnfgnsy isywaywgqgtlvtvssggggsgggsggg gsqtvvtqepsltvspggtvltcgsstga vtsgnypnwvqqkpgqaprgliggtkflap gtparfsgsllggkaaltlsgvqpedeae ycvlwysnrwvfgggtkltvlgggdktht cppcpapellggpsvflfppkpkdtlmisr tpevtcvvvdvshdepvkfnwyvdgvevh naktkpceeaygstyrcvsvltvlhqdwln gkeykckvsnkalspapiektiskakgpre pqvytlppsreemtknqvslclvkgfyps diavewesngqpennyktppvldsdgsff lyskltdksrwqqgnvfscsvmhealnhh ytqkslslspgKggggsgggsgggsggg gsgggsgggsgdkthtcppcpapellggp svflfppkpkdtlmisrtpevtcvvvdvsh edpevkfnwyvdgvevhnaktkpceeaygs tyrcvsvltvlhqdwlngkeykckvsnkals papiektiskakgprepqvytlppsreem tknqvslclvkgfypsdiavewesngqpe nnyktppvldsdgsfflyskltdksrwq qgnvfscsvmhealnhhnytqkslslspgk</p>
1096.	CD70_33_CCx CD3-scFc	VH CDR1	yygmh
1097.	CD70_33_CCx CD3-scFc	VH CDR2	viwydasnkyyadavkg
1098.	CD70_33_CCx CD3-scFc	VH CDR3	dremgsrgdfdy
1099.	CD70_33_CCx CD3-scFc	VL CDR1	rasqginnyla

1100.	CD70_33_CCx CD3-scFc	VL CDR2	avsilqs
1101.	CD70_33_CCx CD3-scFc	VL CDR3	qqynfypfs
1102.	CD70_33_CCx CD3-scFc	VH	qaqlvesgggvvqpgrslrlscaasgftfs yygmhwrqapgkclewvaviwydasnkyy adavkgrftisrdnskntlylqmnsraed tavyycardremgsrgdfdywqggtlvts s
1103.	CD70_33_CCx CD3-scFc	VL	diquqtqspsslsasvqdrvtitcrasqgin nylawfqkpgkapksliyavsilqsgvps kfsqsgsgtdftltisnlqpedfatyycqq ynfypfsfgcgtkvdik
1104.	CD70_33_CCx CD3-scFc	scFv	qaqlvesgggvvqpgrslrlscaasgftfs yygmhwrqapgkclewvaviwydasnkyy adavkgrftisrdnskntlylqmnsraed tavyycardremgsrgdfdywqggtlvts sgggsgggsgggsgdiqmtqspsslsas vgdrvtitcrasqginnylawfqkpgkap ksliyavsilqsgvpskfsqsgsgtdftlt isnlqpedfatyycqqynfypfsfgcgtkv dik
1105.	CD70_33_CCx CD3-scFc	биспецифи ческая молекула	qaqlvesgggvvqpgrslrlscaasgftfs yygmhwrqapgkclewvaviwydasnkyy adavkgrftisrdnskntlylqmnsraed tavyycardremgsrgdfdywqggtlvts sgggsgggsgggsgdiqmtqspsslsas vgdrvtitcrasqginnylawfqkpgkap ksliyavsilqsgvpskfsqsgsgtdftlt isnlqpedfatyycqqynfypfsfgcgtkv diksgggsevqlvesggglvqpggslkls caasgftfnkyamnvrqapgglewvari rskynnyatyadsvkdrftisrddsknta ylqmnlktdtavyycvrhgnfgnsyisy waywqggtlvtsvsgggsgggsgggsg

			<p>tvvtqepsltvspggtvtltcgsstgavts gnypnwvqqkpgqaprgliggtkflapgtp arfsqslggkaaltlsgvqpedeaeeycv lwysnrwvfgggtklvtl</p>
1106.	<p>CD70_33_CCx CD3-scFc</p>	<p>биспецифи ческая HLE молекула</p>	<p>qaqlvesgggvvqgrslrlscaasgftfs yygmhwrqapgkclewvaviwydasnkyy adavkgrftisrdnskntlylqmnsraed tavyycardremgsrgdfdywggtlvtvs sgggsgggsgggsgdiqmtqspsslsas vgdrvtitcrasqginnylawfqkpgkap ksliyavsilqsgvpskfsqsgsgtdftlt isnlqpedfatyycqynfyfsgcgtkv diksggggsevqlvesggglvqpggslkls caasgftfnkyamnvrqapgkglewvari rskynnyatyadsvkdrftisrddsknta ylqmnlktdtavyycvrhgnfgnsyisy waywggtlvtvssggsgggsgggsgq tvvtqepsltvspggtvtltcgsstgavts gnypnwvqqkpgqaprgliggtkflapgtp arfsqslggkaaltlsgvqpedeaeeycv lwysnrwvfgggtklvtlvgggdkthtcpp cpapellggpsvflfpkpkdtlmsrtpe vtcvvdvshedpevkfnwyvdgvevhnak tkpceeegystyrcvsvltvlhqdwlngke ykckvsnkalspapektiskakgqprepqv ytlppsreemtknqvsltclvkgfyfysdia vewesngqpennyktpvldsdgsfflys kltdksrwqgnvfscsvmhealhnhytq kslslspgKggggsgggsgggsgggsg ggsgggsgdkthtcppcpapellggpsvf lfppkpkdtlmsrtpevtcvvdvshedp evkfnwyvdgvevhnaktkpceeegysty cvsvltvlhqdwlngkeykckvsnkalsp iektiskakgqprepqvtytlppsreemtkn qvsltclvkgfyfysdiavewesngqpenny</p>

			ktppvldsdgsfflyskltvdksrwqqgn vfscsvmhealthhnytqkslsispkg
1107.	CD70_33xCD3 -scFc	VH	qaqlvesgggvvqgrslrlscaasgftfs yygmhwrqapgkglewvaviwydasnkyy adavkgrftisrdnskntlylqmnsraed tavyycardremgsrgdfdywgggtlvts s
1108.	CD70_33xCD3 -scFc	VL	diqmtqspsslsasvgdrvtitcrasqgin nylawfqkpgkapksliyavsilqsgvps kfsrgsgtdftltisnlqpedfatyycqq ynfypfsfgggtkvdk
1109.	CD70_33xCD3 -scFc	scFv	qaqlvesgggvvqgrslrlscaasgftfs yygmhwrqapgkglewvaviwydasnkyy adavkgrftisrdnskntlylqmnsraed tavyycardremgsrgdfdywgggtlvts sgggsgggsgggsgdiqmtqspsslsas vgdrvtitcrasqginnylawfqkpgkap ksliyavsilqsgvpskfsrgsgtdftlt isnlqpedfatyycqqynfypfsfgggtkv dik
1110.	CD70_33xCD3 -scFc	биспецифи ческая молекула	qaqlvesgggvvqgrslrlscaasgftfs yygmhwrqapgkglewvaviwydasnkyy adavkgrftisrdnskntlylqmnsraed tavyycardremgsrgdfdywgggtlvts sgggsgggsgggsgdiqmtqspsslsas vgdrvtitcrasqginnylawfqkpgkap ksliyavsilqsgvpskfsrgsgtdftlt isnlqpedfatyycqqynfypfsfgggtkv diksggggsevqlvesggglvqpggskls caasgftfnkyamnvrqapgkglewvari rskynnyatyadvkdrftisrddsknta ylqmnlktdtavyyvrhgnfgnsyisy waywgggtlvtssgggsgggsgggsgq tvvtqepsltvspggtvtltcgsstgavts gnypnwvqkpgqaprgliggtkflapgtp

			arfgsllggkaaltlsgvqpedeaeeycv lwysnrwvfgggtkltvl
1111.	CD70_33xCD3 -scFc	биспецифическая HLE молекула	qaqlvesgggvvqgrslrlscaasgftfs yygmhvrqapgkglewvaviwydasnkyy adavkgrftisrdnskntlylqmnsraed tavyycardremgrgdfdywggtlvtvs sgggsgggsgggsgdiqmtqspsslsas vgdrvtitcrasgginnylawfqkpgkap ksliyavsilqsgvpskfsqsgsgtdftlt isnlqpedfatyycqqynfypfsfgggtkv diksgggsevqlvesggglvqpggsikls caasgftfnkyamnvrqapgkglewvari rskynnyatyyadsvkdrftisrddsknta ylqmnlktdtavyycvrhgnfgnsyisy waywggtlvtvssggsgggsgggsgq tvvtqepsltvspggtvtltcgsstgavts gnypnwqqkpgqaprgliggtkflapgtp arfgsllggkaaltlsgvqpedeaeeycv lwysnrwvfgggtkltvlgggdkthtcpp cpapellgpps vflfppkpkdtlmisrtpe vtcvvvdvshedpevkfnwyvdgvevhnak tkpcee qygstycvsvltvlhqdwlngke ykckvsnk alpapiektiskakgqprepqv ytlppsreemtknqvsltclvkgfyps dia vewesngqpennykttpvlds dgsffly s kltvdksrwqqgnvfscsvmhealhnhytq kslslspgKggsgggsgggsgggsg ggsgggsgdkthtcppcpapellgpps vfl lfppkpkdtlmisrtpevtcvvvdvshedp evkfnwyvdgvevhnaktkpcee qygstyr cvsvltvlhqdwlngkeykckvsnk alpap iektiskakgqprepqv tylppsreemtkn qvsltclvkgfyps dia vewesngqpenny kttpvlds dgsfflyskltvdksrwqqgn vfscsvmhealhnhytqkslslspgk

1112.	CD70_34_CCx CD3-scFc	VH CDR1	gfyws
1113.	CD70_34_CCx CD3-scFc	VH CDR2	eyhsghatnnpnlks
1114.	CD70_34_CCx CD3-scFc	VH CDR3	ggnsyifdy
1115.	CD70_34_CCx CD3-scFc	VL CDR1	rtsqyigryln
1116.	CD70_34_CCx CD3-scFc	VL CDR2	gastlqq
1117.	CD70_34_CCx CD3-scFc	VL CDR3	qqtystprt
1118.	CD70_34_CCx CD3-scFc	VH	qvqlqqwgagllkpsetlsltcavyggsfs gfywswirppgkclewigeiyhsgatnn pslksrvtisldtsknqfslklnsvtaadt avyyccarggnsyifdywgqgltvtvss
1119.	CD70_34_CCx CD3-scFc	VL	dvqmtqspsslsasvqdrvtitcrtsqyig rylnwyqqkpgkapkvllygastlqqgvps rfsgsgsgtdftltitslqpedfasyyccq tystprtfgcgtkveik
1120.	CD70_34_CCx CD3-scFc	scFv	qvqlqqwgagllkpsetlsltcavyggsfs gfywswirppgkclewigeiyhsgatnn pslksrvtisldtsknqfslklnsvtaadt avyyccarggnsyifdywgqgltvtvssgg ggsgggsgggsgdvqmtqspsslsasvqg rvtitcrtsqyigrylnwyqqkpgkapkvl iygastlqqgvpsrfsgsgsgtdftltits lqpedfasyyccqqtystprtfgcgtkveik
1121.	CD70_34_CCx CD3-scFc	биспецифи ческая молекула	qvqlqqwgagllkpsetlsltcavyggsfs gfywswirppgkclewigeiyhsgatnn pslksrvtisldtsknqfslklnsvtaadt avyyccarggnsyifdywgqgltvtvssgg ggsgggsgggsgdvqmtqspsslsasvqg rvtitcrtsqyigrylnwyqqkpgkapkvl iygastlqqgvpsrfsgsgsgtdftltits

			<p>lqpedfasyyccqqtystprtfgcgtkveik sggggsevlvesggglvqpggslklscaa sgftfnkyamnwwrqapgglewvarirsk ynnyatyadsvkdrftisrddskntaylq mnnlktedavyycvrhgnfgnsyisyway wgggtlvtvssgggsgggsgggsgqtvv tqepsltvspggtvtltcgsstgavtsqny pnwvqqkpgqaprgligngtkflapgtparf sgsllggkaaltlsgvqpedeaeyycvlwy snrwvfgggtkltvl</p>
1122.	<p>CD70_34_CCx CD3-scFc</p>	<p>биспецифи ческая HLE молекула</p>	<p>qvqlqqwagllkpsetlsltcavyggsfs gfywswirppgkclewigeiyhsghatnn pslksrvtisldtsknqfslklnsvtaadt avyycargngsyifdywgggtlvtvssgg ggsgggsgggsgdvqmtqpslslsasvgd rvtitcrtsqyigrlynwyqqkpgkapkvl iygastlqqgvpsrfsqsgsgtdftlits lqpedfasyyccqqtystprtfgcgtkveik sggggsevlvesggglvqpggslklscaa sgftfnkyamnwwrqapgglewvarirsk ynnyatyadsvkdrftisrddskntaylq mnnlktedavyycvrhgnfgnsyisyway wgggtlvtvssgggsgggsgggsgqtvv tqepsltvspggtvtltcgsstgavtsqny pnwvqqkpgqaprgligngtkflapgtparf sgsllggkaaltlsgvqpedeaeyycvlwy snrwvfgggtkltvlggggdkthtcppcpa pellggpsvflfppkpkdtlmsrtpevtc vvvdvshedpevkfnwyvdgvevhnaktkp ceeqygstyrcvsvltvlhqdwlngkeykc kvsnkalpapiektiskakgqprepvytl ppsreemtknqvslclvkgfypsdiavew esngqpennykttppvldsdsqsflysklt vdksrwqqgnvfscsvmhealhhnytqksl slspgKggggsgggsgggsgggsgggsgggg</p>

			sggggsdkthtccppcapellggpsvflfp pkpkdtlmsrtpevtcvvvdvshedpevk fnwyvdgvevhnaktkpceezygstyrcvs vltvlhqdwlngkeykckvsnkalpapie tiskakgqprepqvytlppsreemtknqvs ltclvkgyfypsdiavewesngqpennykt ppvldsdgsfflyskltvdksrwqgnvfs csvgmhealhhnytqkslsispqk
1123.	CD70_34xCD3 -scFc	VH	qvqlqqwgagllkpsetlsltcavyggsfs gfywswirpppgkglewigeiyhsgatnn pslksrvtisldtsknqfslklnsvtaadt avyyccarggnsyifdywgqgtlvtvss
1124.	CD70_34xCD3 -scFc	VL	dvqmtqspsslsasvqdrvtitcrtsqyig rylnwyqqkpgkapkvliygastlqqgvps rfsgsgsgtdftltitslqpedfasyyccq tystprtfgqgtkveik
1125.	CD70_34xCD3 -scFc	scFv	qvqlqqwgagllkpsetlsltcavyggsfs gfywswirpppgkglewigeiyhsgatnn pslksrvtisldtsknqfslklnsvtaadt avyyccarggnsyifdywgqgtlvtvssgg ggsgggsgggsgdvqmtqspsslsasvq drvtitcrtsqyigrylnwyqqkpgkapkv liygastlqqgvpsrfsgsgsgtdftltits lqpedfasyyccqtystprtfgqgtkveik
1126.	CD70_34xCD3 -scFc	биспецифическая молекула	qvqlqqwgagllkpsetlsltcavyggsfs gfywswirpppgkglewigeiyhsgatnn pslksrvtisldtsknqfslklnsvtaadt avyyccarggnsyifdywgqgtlvtvssgg ggsgggsgggsgdvqmtqspsslsasvq drvtitcrtsqyigrylnwyqqkpgkapkv liygastlqqgvpsrfsgsgsgtdftltits lqpedfasyyccqtystprtfgqgtkveik sggggsevlvesggglvqpggslklscaa sgftfnkyamnwvrqapggkglewvarirsk ynnyatyadsvkdrftisrddskntaylq

			<p>mnnlktedtavyycvrhgnfgnsyisyway wgggtlvtvssggggsgggsgggsgqtvv tqepsltvspggtvtltcgsstgavtsgny pnwvqqkpgqaprgliggtkflapgtparf sgslggkaaltlsgvqpedeaeyycvlwy snrwvfgggtklvtl</p>
1127.	CD70_34xCD3 -scFc	биспецифическая HLE молекула	<p>qvqlqqwgagllkpsetlsitcavyggsfs gfywswirqppgkglewigeiyhsghatnn pslksrvtisldtsknqfslklnsvtaadt avyyccargngsyifdywgqgtlvtvssgg gsgggsgggsgsdvqmtqspsslsasvgd rvtitcrtsqyigrlynwyqqkpgkapkvl iygastlqqgvpsrfsqsgsgtdftlits lqpedfasyyccqqtystprtfggtkveik sggggsevqlvesggglvqpggslklscaa sgftfnkyamnwwrqapgkglewvarirsk ynnyatyadsvkdrftisrddskntaylq mnnlktedtavyycvrhgnfgnsyisyway wgggtlvtvssggggsgggsgggsgqtvv tqepsltvspggtvtltcgsstgavtsgny pnwvqqkpgqaprgliggtkflapgtparf sgslggkaaltlsgvqpedeaeyycvlwy snrwvfgggtklvtlvgggdkthtcppcpa pellggpsvflfppkpkdtlmisrtpevtc vvvdvshedpevkfnwyvdgvevhnaktkp ceeqygstycvsvltvlhqdwlngkeykc kvsnkalpapiektiskakgqprepvytl ppsreemtknqvsitclvkgfypsdiavew esngqpennykttppvldsdgsfflysklt vdksrwqqgnvfscsvmhealhnhtqksl slspgkggggsgggsgggsgggsgggg sgggskthtcppcpapellggpsvflfp pkpkdtlmisrtpevtcvvvdvshedpevk fnwyvdgvevhnaktkpceeqygstycvsv vltvlhqdwlngkeyckkvsnkalpapie</p>

			tiskakgqprepqvylppsreemtknqvs ltclvkgyfypsdiavewesngqpennyktt ppvldsdgsfflyskltvdksrwqqgnvfs csvmhealthnhytqkslslspgk
1128.	CD70_35_CCx CD3-scFc	VH CDR1	tygmh
1129.	CD70_35_CCx CD3-scFc	VH CDR2	viwyegsnkyygesvkg
1130.	CD70_35_CCx CD3-scFc	VH CDR3	dnshyyygmdv
1131.	CD70_35_CCx CD3-scFc	VL CDR1	tgsssnigagydn
1132.	CD70_35_CCx CD3-scFc	VL CDR2	vnnnrps
1133.	CD70_35_CCx CD3-scFc	VL CDR3	qsydtlsasv
1134.	CD70_35_CCx CD3-scFc	VH	qvqlvesgggvvqpgrslrlscaasgftfs tygmhwvrqapgkclewvaviwyegsnkyy gesvkgrftisrdnskntlylqmnsraed tavyycardnshyyygmdvwgqggttvtvss
1135.	CD70_35_CCx CD3-scFc	VL	qsvltqppsvsgapgrvtisctgsssnig agydnwyqqfpgtapklliyvnnnrpsgv pdrfsgstsgtsaslaitglqaedeaddycc qsydtlsasvfgcgtrltvl
1136.	CD70_35_CCx CD3-scFc	scFv	qvqlvesgggvvqpgrslrlscaasgftfs tygmhwvrqapgkclewvaviwyegsnkyy gesvkgrftisrdnskntlylqmnsraed tavyycardnshyyygmdvwgqggttvtvss ggggsgggsgggsgsvltqppsvsgapg qrvtisctgsssnigagydnwyqqfpgta pklliyvnnnrpsgvpdrfsgstsgtsasl aitglqaedeaddyccqsydtlsasvfgcg trltvl
1137.	CD70_35_CCx CD3-scFc	биспецифи ческая	qvqlvesgggvvqpgrslrlscaasgftfs tygmhwvrqapgkclewvaviwyegsnkyy

		молекула	<p>gesvkgrftisrdnskntlylqmnsraed tavyycardnshyyygmdvwgqgttvtvss ggggsgggsgggsgsylvtpppsvs gapg qrvtisctgsss nigagydnwyqqfpgta pklliyvnnnrpsgvprdfsgstsgtsasl aitglqaedeaddyccsydtslsasvfgcg trltvls ggggsevqlvesggglvqpggs l klscaasgftfnkyamnwrqapgkglewv arirskynnyatyadsvkdrftisrddsk ntaylqmnlktedtavyycvrhgnfgnsy isywaywqggtlvtvssggggsgggsggg gsqvtvtqeps ltvspggtvtltcgsstga vtsgnypnwvqqkpgqaprgliggtkflap gtparfsgsllggkaaltlsgvqpedeae y ycvlwysnrwvfgggtkltvl</p>
1138.	CD70_35_CCx CD3-scFc	биспецифическая HLE молекула	<p>qvqlvesgggvvqgrslrlscaasgftfs tygmhwrqapgkclewvaviwye gsnkyy gesvkgrftisrdnskntlylqmnsraed tavyycardnshyyygmdvwgqgttvtvss ggggsgggsgggsgsylvtpppsvs gapg qrvtisctgsss nigagydnwyqqfpgta pklliyvnnnrpsgvprdfsgstsgtsasl aitglqaedeaddyccsydtslsasvfgcg trltvls ggggsevqlvesggglvqpggs l klscaasgftfnkyamnwrqapgkglewv arirskynnyatyadsvkdrftisrddsk ntaylqmnlktedtavyycvrhgnfgnsy isywaywqggtlvtvssggggsgggsggg gsqvtvtqeps ltvspggtvtltcgsstga vtsgnypnwvqqkpgqaprgliggtkflap gtparfsgsllggkaaltlsgvqpedeae y ycvlwysnrwvfgggtkltvlgggdktht cppcpapellggpsvflfppkpkdtl misr tpevtcvvvdvshedpevkfnwyvdgvevh naktkpcee qygstyrcvsvltvlhqdwln</p>

			gkeykckvsnkalpapiektiskakgpre pqvytlppsreemtknqvsltclvkgfyps diavewesngqpennykttppvldsdsff lyskltvdksrwqqgnvfscsvmhealnhh ytqkslslspgKggggsgggsgggsggg gsgggsgggsgskthtcppcpapellggp svflfppkpdltmisrtpevtcvvdvsh edpevkfnwyvdgvevhnaktkpceeqygs tyrcsvltvlhqdwlngkeykckvsnk papiektiskakgprepqvytlppsreem tknqvsltclvkgfypsdiavewesngqpe nnykttppvldsdsfflyskltvdksrwq qgnvfscsvmhealnhhytqkslslspgk
1139.	CD70_35xCD3 -scFc	VH	qvqlvesgggvvqgrslrlscaasgftfs tygmhwvrqapgkglewvaviwyeysnkyy gesvkgrftisrdnskntlylqmnsraed tavyycardnshyyygmdvwgqgttvtvss
1140.	CD70_35xCD3 -scFc	VL	qsvltqppsvsgapqrvtisctgsssnig agydnwyqqfpgtapklliyvnnnrpsgv pdrfsgstsgtsaslaigtlaeadeadyyc qsydtslsasvfggtrltvl
1141.	CD70_35xCD3 -scFc	scFv	qvqlvesgggvvqgrslrlscaasgftfs tygmhwvrqapgkglewvaviwyeysnkyy gesvkgrftisrdnskntlylqmnsraed tavyycardnshyyygmdvwgqgttvtvss ggggsgggsgggsgsvltqppsvsgapg qrvtisctgsssnigagydnwyqqfpgta pklliyvnnnrpsgvpdrfsgstsgtsasl aitglqaadeadyycqsydtslsasvfgg trltvl
1142.	CD70_35xCD3 -scFc	биспецифическая молекула	qvqlvesgggvvqgrslrlscaasgftfs tygmhwvrqapgkglewvaviwyeysnkyy gesvkgrftisrdnskntlylqmnsraed tavyycardnshyyygmdvwgqgttvtvss ggggsgggsgggsgsvltqppsvsgapg

		<p>qrvtisctgsssni gagy dvnwyqqfpgta pklliyvnnnrpsgv pdrfsgstsgtsasl aitglqaede adyycqsydt slsasvfggg trltvls ggggse vqlvesggglvqp ggs1 klscaasgftfnkyamnvrqapggglewv arirskynnyatyyadsvkdrftisrddsk ntaylqmnnlktedavyycvrhgnfgnsy isywaywgggtlvtvssggggsgggsggg gsqtvtqeps ltvspggtvltl tcsstga vtsgnypnwvqqkpgqaprgliggtkflap gtparfsgsllggkaaltlsgvqpedeae y ycvlwysnrwvfgggtkltvl</p>
<p>1143.</p>	<p>CD70_35xCD3 -scFc</p>	<p>биспецифическая HLE молекула</p> <p>qvqlvesgggvvqgrslrlscaasgftfs tygmhwrqapggglewvaviwye gsnkyy gesvkgrftisrdnskntlylqmns lraed tavyycardnshyyygmdvwgqgttvtvss gggsgggsgggsgggsgsvltqppsvsgapg qrvtisctgsssni gagy dvnwyqqfpgta pklliyvnnnrpsgv pdrfsgstsgtsasl aitglqaede adyycqsydt slsasvfggg trltvls ggggse vqlvesggglvqp ggs1 klscaasgftfnkyamnvrqapggglewv arirskynnyatyyadsvkdrftisrddsk ntaylqmnnlktedavyycvrhgnfgnsy isywaywgggtlvtvssggggsgggsggg gsqtvtqeps ltvspggtvltl tcsstga vtsgnypnwvqqkpgqaprgliggtkflap gtparfsgsllggkaaltlsgvqpedeae y ycvlwysnrwvfgggtkltvl ggggdktht cppcpapellggpsvflfppkpkdtl misr tpevtcvvvdvshedpevkfnwyvdgvevh naktkpcee qygstyrcvsvltvlhqdwln gkeykckvsnkalpapiektiskakgpre pqvytlppsreemtknqvs lclvkgyfyps diavewesngqpennykttppvldsdgsff</p>

			lyskltdksrwqqgnvfscsvmhealnhh ytqkslslspgKggggsgggsgggsggg gsgggsgggsgdkthtccppcapellggp svflfppkpkdtlmisrtpevtcvvvdvsh edpevkfnwyvdgvevhnaktkpeeaygs tyrcvsvltvlhqdwlngkeykckvsnkai papiektiskakggpprepqvvtlppsreem tknqvsltclvkgfypsdiavewesnggpe nnykttppvldsdgsfflyskltdksrwq qgnvfscsvmhealnhhytqkslslspgk
1144.	CD70_36_CCx CD3-scFc	VH CDR1	tygmh
1145.	CD70_36_CCx CD3-scFc	VH CDR2	viwyegsnkyygesvkg
1146.	CD70_36_CCx CD3-scFc	VH CDR3	dnshyyygmdv
1147.	CD70_36_CCx CD3-scFc	VL CDR1	tgsssnigagydv
1148.	CD70_36_CCx CD3-scFc	VL CDR2	vnnnrps
1149.	CD70_36_CCx CD3-scFc	VL CDR3	qsyetslsasv
1150.	CD70_36_CCx CD3-scFc	VH	qvqlvesgggvvqgrslrlscaasgftfs tygmhwrqapgkclewvaviwyegsnkyy gesvkgrftisrdnskntlylqmnsraed tavyyocardnshyyygmdvwgggtlvtvss
1151.	CD70_36_CCx CD3-scFc	VL	qsvltqppsvsgapqrvtisctgsssnig agydvwnyqqplpgtapklliyvnnnrpsgv pdrfsgsksgtsaslaitglqaeadayyc qsyetslsasvfgcgtrltvl
1152.	CD70_36_CCx CD3-scFc	scFv	qvqlvesgggvvqgrslrlscaasgftfs tygmhwrqapgkclewvaviwyegsnkyy gesvkgrftisrdnskntlylqmnsraed tavyyocardnshyyygmdvwgggtlvtvss ggggsgggsgggsgsvltqppsvsgapg

			<p>qrvtisctgsssniqagydnwyqqlpgta pklliyvnnnrpsgvpdrfsgsksgtsasl aitglqaeadyycqsyetslsasvfgcg trltvl</p>
1153.	<p>CD70_36_CCx CD3-scFc</p>	<p>биспецифи ческая молекула</p>	<p>qvqlvesgggvvqgrslrlscaasgftfs tygmhwrqapgkclewvaviwiegskyy gesvkgrftisrdnskntlylqmnsraed tavyycardnshyyygmdvwgqgtlvtvss ggggsgggsgggsgsvltqppsvsgapg qrvtisctgsssniqagydnwyqqlpgta pklliyvnnnrpsgvpdrfsgsksgtsasl aitglqaeadyycqsyetslsasvfgcg trltvlsggggsevqlvesggglvqpggsl klscaasgftfnkyamnwvrqapgkglewv arirskynnyatyadsvkdrftisrddsk ntaylqmnnlktedtavyycvrhgnfgnsy isywaywgqgtlvtvssggggsgggsggg gsqvtvtqepsltvspggtvltlcsstga vtsgnypnwvqkpgqaprgliggtkflap gtparfsgsllggkaaltlsgvqpedeaey ycvlwysnrwvfgggtkltvl</p>
1154.	<p>CD70_36_CCx CD3-scFc</p>	<p>биспецифи ческая HLE молекула</p>	<p>qvqlvesgggvvqgrslrlscaasgftfs tygmhwrqapgkclewvaviwiegskyy gesvkgrftisrdnskntlylqmnsraed tavyycardnshyyygmdvwgqgtlvtvss ggggsgggsgggsgsvltqppsvsgapg qrvtisctgsssniqagydnwyqqlpgta pklliyvnnnrpsgvpdrfsgsksgtsasl aitglqaeadyycqsyetslsasvfgcg trltvlsggggsevqlvesggglvqpggsl klscaasgftfnkyamnwvrqapgkglewv arirskynnyatyadsvkdrftisrddsk ntaylqmnnlktedtavyycvrhgnfgnsy isywaywgqgtlvtvssggggsgggsggg gsqvtvtqepsltvspggtvltlcsstga</p>

			vtsgnypnwvqqkpgqaprgligngtkflap gtparfsgsllggkaaltlsgvqpedeae ycvlwysnrwvfgggtklvtlvgggdktht cppcpapellggpsvflfppkpkdtlmisr tpevtcvvvdvshedpevkfnwyvdgvevh naktkpceeegystyrcvsvltvlhqdwn gkeykckvsnkalpapiektiskakggpre pqvytlppsreemtknqvsltclvkgfyps diavewesngqpennykttppvldsdsff lyskltvdksrwqqgnvfscsvmhealnh ytqkslslspgKggggsgggsgggsggg gsgggsgggsgdkthtcppcpapellggp svflfppkpkdtlmisrtpvtcvvvdvsh edpevkfnwyvdgvevhnaktkpceeegys tyrcvsvltvlhqdwlngkeykckvsnkal papiektiskakggprepqvytlppsreem tknqvsltclvkgfypsdiavewesnggpe nnykttppvldsdsfflyskltvdksrwq qgnvfscsvmhealnhytqkslslspgk
1155.	CD70_36xCD3 -scFc	VH	qvqlvesgggvvqgrslrlscaasgftfs tygmhwrqapggkglewvaviwyegsnkyy gesvkgrftisrdnskntlylqmnsraed tavyycardnshyyygmdvwgqgtlvtvss
1156.	CD70_36xCD3 -scFc	VL	qsvltqppsvsgapgrvtisctgssnig agydnwyqqlpgtapklliyvnnnrpsgv pdrfsgsksgtsaslaaitglqaedeayyc qsyetslsasvfggtrltvl
1157.	CD70_36xCD3 -scFc	scFv	qvqlvesgggvvqgrslrlscaasgftfs tygmhwrqapggkglewvaviwyegsnkyy gesvkgrftisrdnskntlylqmnsraed tavyycardnshyyygmdvwgqgtlvtvss ggggsgggsgggsgsvltqppsvsgapg qrvtisctgssnigagydnwyqqlpgta pklliyvnnnrpsgvpdrfsgsksgtsasl aitglqaedeayycqsyetslsasvfggg

			trltvl
1158.	CD70_36xCD3 -scFc	биспецифическая молекула	qvqlvesgggqvqgrslrlscaasgftfs tygmhwrqapgkglewvaviwyeysnkyy gesvkgrftisrdnskntlylqmnsdraed tavyycardnshyyygmdvwgqgtlvtvss ggggsgggsgggsgsvltqppsvsgapg qrvtisctgsssnigagydnwyqqlpgta pklliyvnnnrpsgvprdfsgsksgtsasl aitglqaeadyycqsyetslsasvfggg trltvlsggggsevqlvesggglvqpggsl klscaasgftfnkyamnwrqapgkglewv arirskynnyatyadsvkdrftisrddsk ntaylqmnnlktedtavyycvrhgnfgnsy isywaywgqgtlvtvssggggsgggsggg gsqvtvtqepsltvspggtvltcgsstga vtsgnypnwvqqkpgqaprgliggtkflap gtparfsgsllggkaaltlsgvqpedeaey ycvlwysnrwvfgggtkltvl
1159.	CD70_36xCD3 -scFc	биспецифическая HLE молекула	qvqlvesgggqvqgrslrlscaasgftfs tygmhwrqapgkglewvaviwyeysnkyy gesvkgrftisrdnskntlylqmnsdraed tavyycardnshyyygmdvwgqgtlvtvss ggggsgggsgggsgsvltqppsvsgapg qrvtisctgsssnigagydnwyqqlpgta pklliyvnnnrpsgvprdfsgsksgtsasl aitglqaeadyycqsyetslsasvfggg trltvlsggggsevqlvesggglvqpggsl klscaasgftfnkyamnwrqapgkglewv arirskynnyatyadsvkdrftisrddsk ntaylqmnnlktedtavyycvrhgnfgnsy isywaywgqgtlvtvssggggsgggsggg gsqvtvtqepsltvspggtvltcgsstga vtsgnypnwvqqkpgqaprgliggtkflap gtparfsgsllggkaaltlsgvqpedeaey ycvlwysnrwvfgggtkltvlgggdktht

			cppcpapellggpsvflfppkpkdtlmisr tpevtcvvvdvshedpevkfnwyvdgvevh naktkpceeeygstyrcvsvltvlhqdwln gkeykckvsnkalpapiektiskakggpre pqvytlppsreemtknqvsltclvkgfyps diavewesngqpennykttppvldsdsff lyskltvdksrwqqgnvfscsvmhealnhh ytqkslslspgKggggsgggsgggsggg gsgggsgggsgdkthtccppcpapellggp svflfppkpkdtlmisrtppevtcvvvdvsh edpevkfnwyvdgvevhnaktkpceeeygs tyrcvsvltvlhqdwlngkeykckvsnkal papiektiskakggprepqvytlppsreem tknqvsltclvkgfypsdiavewesngqpe nnykttppvldsdsfflyskltvdksrwq qgnvfscsvmhealnhhytqkslslspgk
1160.	CD70_37_CCx CD3-scFc	VH CDR1	sgvyyws
1161.	CD70_37_CCx CD3-scFc	VH CDR2	yiiysgstsynpslks
1162.	CD70_37_CCx CD3-scFc	VH CDR3	sgysyalfdy
1163.	CD70_37_CCx CD3-scFc	VL CDR1	rasqsvdryfn
1164.	CD70_37_CCx CD3-scFc	VL CDR2	aasslqs
1165.	CD70_37_CCx CD3-scFc	VL CDR3	qqsytpwt
1166.	CD70_37_CCx CD3-scFc	VH	qmqlqesgpglvkpssetlsltctvsggsie sgvyywswirqppgkclewigyiyysgsts ynpslksrltmsvdtksnqfslklssvtaa dtavyycarsgysyalfdywgqgtlvtvss
1167.	CD70_37_CCx CD3-scFc	VL	diqmtqspsslsaslgdrvtitcrasqsvd ryfnwyqqkpgkapkvlifaasslqsgvps rfsgsgsgtdftltisslqpedfatyyccq

			systpwtfgcgtkvevk
1168.	CD70_37_CCx CD3-scFc	scFv	qmqlqesgpglvkpssetlsltctvsggsie sgvyywswirpppgkclewigyiyysgsts ynpslksrltmsvdtksnqfslklssvtaa dtavyycarsgysyalfdywgqgtlvtvss ggggsgggsgggsgdiqmtqspsslsasl gdrvtitcrasqsvdryfnwyqqkpgkapk vlifaasslqsgvpsrfsqsgsgtdftlti sslqpedfatyycqqsystpwtfgcgtkve vk
1169.	CD70_37_CCx CD3-scFc	биспецифи ческая молекула	qmqlqesgpglvkpssetlsltctvsggsie sgvyywswirpppgkclewigyiyysgsts ynpslksrltmsvdtksnqfslklssvtaa dtavyycarsgysyalfdywgqgtlvtvss ggggsgggsgggsgdiqmtqspsslsasl gdrvtitcrasqsvdryfnwyqqkpgkapk vlifaasslqsgvpsrfsqsgsgtdftlti sslqpedfatyycqqsystpwtfgcgtkve vksggggsevqlvesggglvqpggslklsc aasgftfnkyamnwvrqapkglewvarir skynnyatyyadvkdrftisrddsntay lqmnllktedtavyycvrhgnfgnsyisyw aywgqgtlvtvssggggsgggsgggsgt vvtqcpstlvspggtvlttcgsstgavtsg nypnwvqqkpgqaprgliggtkflapgtpa rfsqslggkaaltlsgvqpedeaeycvl wysnrwvfgggtklvtl
1170.	CD70_37_CCx CD3-scFc	биспецифи ческая HLE молекула	qmqlqesgpglvkpssetlsltctvsggsie sgvyywswirpppgkclewigyiyysgsts ynpslksrltmsvdtksnqfslklssvtaa dtavyycarsgysyalfdywgqgtlvtvss ggggsgggsgggsgdiqmtqspsslsasl gdrvtitcrasqsvdryfnwyqqkpgkapk vlifaasslqsgvpsrfsqsgsgtdftlti sslqpedfatyycqqsystpwtfgcgtkve

			<p> vksggggsevqlvesggglvqpggslklsc aasgftfnkyamnvrqapgkglewvarir skynnyatyyadsvkdrftisrddskntay lqmnlnktedtavyycvrhgnfgnsyisyw aywgqgtlvtvssggggsgggsgggsgqt vvtqepsiltvspggtvtltcgsstgavtsg nypnwvqqkpgqaprgliggtkflapgtpa rfsgsllggkaaltlsgvqpedaeaycvl wysnrwvfgggtklvtlvggggdkthtcppc papellggpsvflfppkpkdtlmisrtpev tcvvdvshedpevkfnwyvdgvevhnakt kpceezygstyrcvsvltvlhqdwlngkey kckvsnkalpapiektiskakgqprepvy tlppsreemtknqvsltclvkgfypsdiav ewesngqpennyktppvldsdsfflysk ltvdksrwqqgnvfscsvmhealhnhytqk slslspgKggggsgggsgggsgggsgg ggsgggsgdkthtcppcpapellggpsvfl fppkpkdtlmisrtpevtcvvdvshedpe vkfnwyvdgvevhnaktkpceezygstyrc vsvltvlhqdwlngkeykckvsnkalpapi ektiskakgqprepvytlppsreemtknq vsltclvkgfypsdiavewesngqpennyk tppvldsdsfflyskltvdksrwqqgnv fscsvmhealhnhytqkslslspgk </p>
1171.	CD70_37xCD3 -scFc	VH	<p> qmqlqespgglvlpsetlsltctvsggsie sgvyywswirppgkglewigyiyysgsts ynpslksrltmsvdtsknqfslklssvtaa dtavyycarsgysyalfdywgqgtlvtvss </p>
1172.	CD70_37xCD3 -scFc	VL	<p> diqmtqspsslsaslgdrvtitcrasqsvd ryfnwyqqkpgkapkvlifaasslqsgvps rfsgsgsgtdftltisslqpedfatyyccq systpwtfgqgtkvevk </p>
1173.	CD70_37xCD3 -scFc	scFv	<p> qmqlqespgglvlpsetlsltctvsggsie sgvyywswirppgkglewigyiyysgsts </p>

			<p>ynpslksrltmsvdtsknqfslklssvtaa dtavyycarsgysyalfdywgggtlvtvss ggggsgggsggggsdiqmtqspsslsasl gdrvtitcrasqsvdryfnwyqqkpgkapk vlifaasslqsgvpsrfsqsgsgtdftlti sslqpedfatyycqqsystpwtfgggtkve vk</p>
1174.	CD70_37xCD3 -scFc	биспецифическая молекула	<p>qmqlqesgpglvkpsetlsltctvsggsie sgvyywswirppgkglewigyiyysgsts ynpslksrltmsvdtsknqfslklssvtaa dtavyycarsgysyalfdywgggtlvtvss ggggsgggsggggsdiqmtqspsslsasl gdrvtitcrasqsvdryfnwyqqkpgkapk vlifaasslqsgvpsrfsqsgsgtdftlti sslqpedfatyycqqsystpwtfgggtkve vksggggsevqlvesggglvppgslklsc aasgftfnkyamnvrqapgkglewvarir skynnyatyyadsvkdrftisrddskntay lqmnlnktedtavyycvrhgnfgnsyisyw aywgggtlvtvssggggsgggsgggsgt vvtqepsltvspggtvtltcgsstgavtsg nypnwvqqkpgqaprgliggtkflapgtpa rfsgsllggkaaltlsgvqpedaeaycyl wysnrwvfgggtklvtl</p>
1175.	CD70_37xCD3 -scFc	биспецифическая HLE молекула	<p>qmqlqesgpglvkpsetlsltctvsggsie sgvyywswirppgkglewigyiyysgsts ynpslksrltmsvdtsknqfslklssvtaa dtavyycarsgysyalfdywgggtlvtvss ggggsgggsggggsdiqmtqspsslsasl gdrvtitcrasqsvdryfnwyqqkpgkapk vlifaasslqsgvpsrfsqsgsgtdftlti sslqpedfatyycqqsystpwtfgggtkve vksggggsevqlvesggglvppgslklsc aasgftfnkyamnvrqapgkglewvarir skynnyatyyadsvkdrftisrddskntay</p>

			<p>lqmnlnktdtavyyvvrhgnfgnsyisyw aywgggtlvtvssggggsgggsgggsgt vvtqepsiltvspggvtltcgsstgavtsg nypnwvqqkpgqaprgliggtkflapgtpa rfsgsllggkaaltlsgvqpedeaeycvl wysnrwvfgggtklvtlvgggdkthtppc papellggpsvflfppkpkdtlmisrtpev tcvvdvshedpevkfnwyvdgvevhnakt kpceeegystyrcvsvltvlhqdwlngkey kckvsnkalpapiektiskakgqprepqv tlppsreemtknqvsltclvkgfypsdiav ewesngqpennyktppvldsdsfflysk ltvdksrwqqgnvfscsvmhealhhhtqk slslspgKggggsgggsgggsgggsgg ggsgggsgdkthtppcpapellggpsvfl fppkpkdtlmisrtpevtcvvdvshedpe vkfnwyvdgvevhnaktkpceeegystyrc vsvltvlhqdwlngkeykckvsnkalpapi ektiskakgqprepqvylppsreemtknq vsltclvkgfypsdiavewesngqpennyk tppvldsdsfflyskltvdksrwqqgnv fscsvmhealhhhtqkslslspgk</p>
1176.	CD70_38_CCx CD3-scFc	VH CDR1	sggyyws
1177.	CD70_38_CCx CD3-scFc	VH CDR2	yifysgstdynpslks
1178.	CD70_38_CCx CD3-scFc	VH CDR3	sgysyallda
1179.	CD70_38_CCx CD3-scFc	VL CDR1	rasqfigryfn
1180.	CD70_38_CCx CD3-scFc	VL CDR2	aesslqs
1181.	CD70_38_CCx CD3-scFc	VL CDR3	qqsyspwt

1182.	CD70_38_CCx CD3-scFc	VH	qvqlqesgpglvkpsqtlsltctvsgdsii sggyywswirqppgkclewigyifysgstd ynpslksrvtisvdtstknqfslklssvtaa dtavyycarsgysyalfdawgggtlvtvss
1183.	CD70_38_CCx CD3-scFc	VL	diqmtqspsslsasvqdrvtiscrasqfig ryfnwyqqkpgkapkvliyaesslqsgvps rfsgsgsgteftltisslqpedfatyycqq systpwtfgcgtkveik
1184.	CD70_38_CCx CD3-scFc	scFv	qvqlqesgpglvkpsqtlsltctvsgdsii sggyywswirqppgkclewigyifysgstd ynpslksrvtisvdtstknqfslklssvtaa dtavyycarsgysyalfdawgggtlvtvss ggggsgggsgggsgdiqmtqspsslsasv gdrvtiscrasqfigryfnwyqqkpgkapk vliyaesslqsgvpsrfsgsgsgteftlti sslqpedfatyycqqssystpwtfgcgtkve ik
1185.	CD70_38_CCx CD3-scFc	биспецифи ческая молекула	qvqlqesgpglvkpsqtlsltctvsgdsii sggyywswirqppgkclewigyifysgstd ynpslksrvtisvdtstknqfslklssvtaa dtavyycarsgysyalfdawgggtlvtvss ggggsgggsgggsgdiqmtqspsslsasv gdrvtiscrasqfigryfnwyqqkpgkapk vliyaesslqsgvpsrfsgsgsgteftlti sslqpedfatyycqqssystpwtfgcgtkve iksggggsevlvesggglvqpggslklsc aasgftfnkyamnvrqapgkglewvarir skynnyatyadsvkdrftisrddskntay lqmnlnktdtavyycvrhgnfgnsyisyw aywgggtlvtvssggggsgggsgggsgt vvtqepsltvspggtvtltcgsstgavtsg nypnwvqqkpgqaprgliggtkflapgtpa rfsgsllggkaaltlsgvqpedeaeyycvl wysnrwvfgggtklvtl
1186.	CD70_38_CCx	биспецифи	qvqlqesgpglvkpsqtlsltctvsgdsii

	CD3-scFc	чешская HLE молекула	sggyywswirqppgkclewigyifysgstd ynpslksrvtisvdtsknqfslklssvtaa dtavyycarsgysyalfdawgggtlvtvss ggggsgggsggggsdiqmtqspsslsasv gdrvtiscrasqfigryfnwyqqkpgkapk vliyaesslqsgvpsrfsqsgsgteftlti sslqpedfatyycqqsystpwtfgcgtkve iksggggsevqlvesggglvqpggslklsc aasgftfnkyamnvrqapkgglewvarir skynnyatyyadsvkdrftisrddskntay lqmnlnktedtavyycvrhgnfgnsyisw aywgggtlvtvssggggsgggsgggsgt vvtqepsiltvspggtvtltcgsstgavtsg nypnwvqqkpgqaprgliggtkflapgtpa rfsgslggkaaltlsgvqpedaeeycvl wysnrwvfgggtklvtlvgggdkthtcppc papellggpsvflfppkpkdtlmisrtpev tcvvdvshedpevkfnwyvdgvevhnakt kpceeeygstyrcvsvltvlhqdwlngkey kckvsnkalpapiektiskakgqprepvy tlppsreemtknqvsltclvkgfypsdiav ewesngqpennyktppvldsdsfflysk ltvdksrwqqgnvfscsvmhealhnhytqk slslspgKggggsgggsgggsgggsgggsgg ggsgggsgdkthtcppcpapellggpsvfl fppkpkdtlmisrtpevtcvvdvshedpe vkfnwyvdgvevhnaktkpceeeygstyrc vsvltvlhqdwlngkeykckvsnkalpapi ektiskakgqprepvytlppsreemtknq vsltclvkgfypsdiavewesngqpennyk tppvldsdsfflyskltvdksrwqqgnv fscsvmhealhnhytqkslslspgk
1187.	CD70_38xCD3 -scFc	VH	qvqlqesgpglvkpsqtlsltctvsgdsii sggyywswirqppgkglewigyifysgstd ynpslksrvtisvdtsknqfslklssvtaa

			dtavyycarsgysyalfdawgggtlvtvss
1188.	CD70_38xCD3 -scFc	VL	diqmtqspsslsasvqdrvtiscrasqfig ryfnwyqqkpgkapkvliyaesslqsgvps rfsqsgsgteftltisslqpedfatyycqq systpwtfgggtkveik
1189.	CD70_38xCD3 -scFc	scFv	qvqlqesgpglvkpsqtlsltctvsgdsii sggyywswirqppgkglewigyifysgstd ynpslksrvtisvdtsknqfslklssvtaa dtavyycarsgysyalfdawgggtlvtvss ggggsgggsggggsdiqmtqspsslsasv gdrvtiscrasqfigryfnwyqqkpgkapk vliyaesslqsgvpsrfsqsgsgteftlti sslqpedfatyycqqsystpwtfgggtkve ik
1190.	CD70_38xCD3 -scFc	биспецифи ческая молекула	qvqlqesgpglvkpsqtlsltctvsgdsii sggyywswirqppgkglewigyifysgstd ynpslksrvtisvdtsknqfslklssvtaa dtavyycarsgysyalfdawgggtlvtvss ggggsgggsggggsdiqmtqspsslsasv gdrvtiscrasqfigryfnwyqqkpgkapk vliyaesslqsgvpsrfsqsgsgteftlti sslqpedfatyycqqsystpwtfgggtkve iksggggsevqlvesggglvqpggslklsc aasgftfnkyamnvrqapgkglewvarir skynnyatyyadsvkdrftisrddskntay lqmnlnktdtavyycvrhgnfgnsyisyw aywggtlvtvssggggsgggsgggsgqt vvtqepsltvspggtvtltcgsstgavtsg nypnwvqqkpgqaprgliggtkflapgtpa rfsqsl1ggkaaltlsgvqpedeaeycvl wysnrwvfgggtklvtl
1191.	CD70_38xCD3 -scFc	биспецифи ческая HLE молекула	qvqlqesgpglvkpsqtlsltctvsgdsii sggyywswirqppgkglewigyifysgstd ynpslksrvtisvdtsknqfslklssvtaa dtavyycarsgysyalfdawgggtlvtvss

			<p>ggggsgggsgggsgdiqmtqspsslsasv gdrvtiscrasqfigryfnwyqqkpgkapk vliyaesslqsgvpsrfsqsgsgteftlti sslqpedfatyycqqsystpwtfgqgkve iksggggsevqlvesggglvqpggslklsc aasgftfnkyamnvrqapgkglewvarir skynnyatyyadsvkdrftisrddskntay lqmnlnktdtavyycvrhgnfgnsyisyw aywgqgtlvtvssggggsgggsgggsgt vvtqepsiltvspggtvtltcgsstgavtsg nypnwvqqkpgqaprgliggtkflapgpa rfsgslggkaaltlsgvqpedaeeycvl wysnrwvfgggtklvtlvgggdkthtcppc papellggpsvflfppkpkdtlmisrtpev tcvvdvshedpevkfnwyvdgvevhnakt kpceezygstyrcvsvltvlhqdwlngkey kckvsnkalpapiektiskakgqprepqvy tlppsreemtknqvsltclvkgfypsdiav ewesngqpennykttppvldsdsfflysk ltvdksrwqqgnvfscsvmhealhnhytqk slslspgKggggsgggsgggsgggsgg ggsgggsgdkthtcppcpapellggpsvfl fppkpkdtlmisrtpevtcvvdvshedpe vkfnwyvdgvevhnaktkpceezygstyrc vsvltvlhqdwlngkeykckvsnkalpapi ektiskakgqprepqvytlppsreemtknq vsltclvkgfypsdiavewesngqpennyk tppvldsdsfflyskltvdksrwqqgnv fscsvmhealhnhytqkslslspgk</p>
<p>1192.</p>	<p>CD70_1_CCxC D3- scFc_delGK</p>	<p>биспецифи ческая HLE молекула</p>	<p>evqllesggglvqpggslrlscaasgftfs syamswvrqapgkclewsvvisgsggrpny aevkgrftisrdnskntlylqmnsrlded tavyycakvdysnylffdywgqgtlvtvss ggggsgggsggggseivltqspgtlslsp gegatlscragqsvrssylgwyqqkpgqap</p>

			<p>rlliygassratgipdrfsgsgsgtdftlt isrlepedfavyyccqygyspptfgcgtkl eiksggggsevqlvesggglvqpggslkls caasgftfnkyamnwwrqapgglewvari rskynnyatyyadsvkdrftisrddsanta ylqmnlktedtavyycvrhgnfgnsyisy waywgqgtlvtvssgggsgggsgggsgq tvvtqepsltvspggtvtltcgsstgavts gnypnwvqqkpgqaprgliggtkflapgt arfgslggkaaltlsgvqpedeaeeycv lwysnrwvfgggtklvtlvgggdkthtcpp cpapellggpsvflfppkpkdtlmisrtpe vtcvvvdvshedpevkfnwyvdgvevhnak tkpceeegystyrcsvltvlhqdwlngke ykckvsnkalpapiektiskakgqprepqv ytlppsreemtknqvsltclvkgfypsdi vewesngqpennyktppvldsdsfflys kltvdksrwqggnvfscsvmhealhhnytq kslsispgggsgggsgggsgggsggg gsggggskthtcppcpapellggpsvflf ppkpkdtlmisrtpevtcvvvdvshedpev kfnwyvdgvevhnaktkpceeegystyrcv svltvlhqdwlngkeykckvsnkalpapie ktiskakgqprepqvtytlppsreemtknq sltclvkgfypsdiavewesngqpennykt tppvldsdsfflyskltvdksrwqggnvf scsvmhealhhnytqkslsispkg</p>
<p>1193.</p>	<p>CD70_1xCD3- scFc_delGK</p>	<p>биспецифи ческая HLE молекула</p>	<p>evqllesggglvqpggslrlscaasgftfs syamswvrqapgglewvsvisgsggrpny aesvkgrftisrdnskntlylqmnslrdd tavyyakvdysnylffdywgqgtlvtvss ggggsgggsggggseivltqspgtlslsp gegatlscragqsvrssylgwyqqkpgqap rlliygassratgipdrfsgsgsgtdftlt isrlepedfavyyccqygyspptfgggtkl</p>

			<p>eiksggggsevqlvesggglvqpggslkls caasgftfnkyamnvrqapgglewvari rskynnyatyyadsvkdrftisrddsanta ylqmnnktdtavyycvrhgnfgnsyisy waywgqgtlvtvssgggsgggsgggsgq tvvtqepsltvspggtvtltcgsstgavts gnypnwqqkpgqaprgliggtkflapgt arfgsllggkaaltlsgvqpedaeaycv lwysnrwvfgggtklvtlvgggdkthtcpp cpapellggpsvflfppkpkdtlmisrtp vtcvvvdvshedpevkfnwyvdgvevhnak tkpceeegystyrcvsvltvlhqdwlngke ykckvsnkalspapektiskakgqprepqv ytlppsreemtknqvsltclvkgfypsdi vewesngqpennyktppvldsdsfflys kltdvksrwqqgnvfscsvmhealhnhytq kslslsppgggsgggsgggsgggsggg gsgggsgdkthtcppcpapellggpsvflf ppkpkdtlmisrtpvtcvvvdvshedpev kfnwyvdgvevhnaktkpceeegystyrcv svltvlhqdwlngkeykckvsnkalspape ktiskakgqprepvytlppsreemtknqv sltclvkgfypsdiavewesngqpennykt tppvldsdsfflyskltdvksrwqqgnvf scsvmhealhnhytqkslslsppgk</p>
1194.	CD70_2_CCxс D3- scFc_delGK	биспецифи ческая HLE молекула	<p>evqllesggglvqpggslklscaasgftfs iyamswvrqapgkclewvsaisgggstfy aesvkgrftisrdnskntlylqmnsraed tavyycahdysnpyfydywgqgtlvtvss ggggsgggsggggseivltqspgtlsisp geratlscrasqsvrsslawyqqkpgqap rlliygassratgipdrfsgsgtdftlt isrlepedfavyyccqygdlpftfgcgtkl eiksggggsevqlvesggglvqpggslkls caasgftfnkyamnvrqapgglewvari</p>

			<p>rskynnyatyyadsvkdrftisrddsanta ylmnlnktdtavyycvrhgnfgnsyisy waywgqgtlvtvssgggsgggsgggsgq tvvtqepsltvspggtvtltcgsstgavts gnypnwvqqkpgqaprgliggtkflapgtp arfsgslggkaaltlsgvqpedeaeeycv lwysnrwvfgggtklvtlvgggdkhtcpp cpapellggpsvflfppkpkdtlmisrtpe vtcvvdvshedpevkfnwyvdgvevhnak tkpceezygstyrcvsvltvlhqdwlngke ykckvsnkalpapiektiskakgqprepqv ytlppsreemtknqvsltclvkgfypsdi vewesngqpennyktppvldsdsfflys kltvdksrwqgnvfscsvmhealhnhytq kslslspgggsgggsgggsgggsgggsgg gsgggsgdkhtcppcpapellggpsvflf ppkpkdtlmisrtpevtcvvdvshedpev kfnwyvdgvevhnaktkpceezygstyrcv svltvlhqdwlngkeykckvsnkalpie ktiskakgqprepvytlppsreemtknqv sltclvkgfypsdiavewesngqpennykt tppvldsdsfflyskltvdksrwqgnvf scsvmhealhnhytqkslslspgk</p>
<p>1195.</p>	<p>CD70_2xCD3- scFc_delGK</p>	<p>биспецифи ческая HLE молекула</p>	<p>evqllesggglvqpggslklscaasgftfs iyamswvrqapgkglewvsaisgsggstfy aesvkgrftisrdnskntlylmnslraed tavyycahdysnpyfydywgqgtlvtvss gggsgggsggggseivltqspgtlslsp geratlscrasqsvrsslwayyqqkpgqap rlliygassratgipdrfsgsgsgtdftlt isrlepedfavyyccqygdlpftfgpgtkl eiksggggsevqlvesggglvqpggslkls caasgftfnkyamnvrqapgkglewvari rskynnyatyyadsvkdrftisrddsanta ylmnlnktdtavyycvrhgnfgnsyisy</p>

			<p>waywgqgtlvtvssgggsgggsgggsgq tvvtqepsltvspggtvtltcgsstgavts gnypnwvqqkpgqaprgliggtkflapgtp arfgsllggkaaltlsgvqpedeaeeycv lwysnrwvfgggtklvtlvggggdkthtcpp cpapellggpsvflfppkpkdtlmisrtpe vtcvvvdvshedpevkfnwyvdgvevhnak tkpceeegystyrcvsvltvlhqdwlngke ykckvsnkalpapiektiskakgqprepqv ytlppsreemtknqvsltclvkgfypsdiav ewesngqpennyktppvldsdsfflys kltvdksrwqqgnvfscsvmhealhnhytq kslslsppggsgggsgggsgggsggg gsgggsgdkthtcppcpapellggpsvflf ppkpkdtlmisrtpevtcvvvdvshedpev kfnwyvdgvevhnaktkpeeegystyrcv svltvlhqdwlngkeykckvsnkalpapie ktiskakgqprepvytlppsreemtknqv sltclvkgfypsdiavewesngqpennykt tppvldsdsfflyskltvdksrwqqgnvf scsvmhealhnhytqkslslspgk</p>
<p>1196.</p>	<p>CD70_3_CCxC D3- scFc_delGK</p>	<p>биспецифи ческая HLE молекула</p>	<p>evqllesgggmvpqggsrlrlscaasgftfs syamswvrqapgkclewvsaisgsggrtfy aesvegrftisrdnskntlflqmnsdraed tavyycahdysnyfydywgqgtlvtvss ggggsgggsggggseivltqspgtlsisp geratlscrasqsvrssylawyqqkpgqap rlliygassratgipdrfsgsgtdftlt isrlepedfavyyccqygsspftfgcgtkl eiksggggsevqlvesggglvqpggslkls caasgftfnkyamnvrqapgkglewvari rskynnyatyyadsvkdrftisrddsknta ylqmnlktdtavyycvrhgnfgnsyisy waywgqgtlvtvssgggsgggsgggsgq tvvtqepsltvspggtvtltcgsstgavts</p>

			<p>gnypnwvqqkpgqaprgliggtkflapgtp arfgsllggkaaltlsgvqpedeaeeycv lwysnrwvfgggtklvtlvgggdkthtcpp cpapellggpsvflfppkpkdtlmisrtpe vtcvvvdvshedpevkfnwyvdgvevhnak tkpceezygstyrcvsvltvlhqdwlngke ykckvsnkalspapektiskakgqprepqv ytlppsreemtknqvsltclvkgfypsdi vewesngqpennyktppvldsdsffly kltvdkrswqqgnvfscsvmhealhhnytq kslslsppggsgggsgggsgggsgggsggg gsgggsgdkthtcppcpapellggpsvflf ppkpkdtlmisrtpevtcvvvdvshedpev kfnwyvdgvevhnaktkpceezygstyrcv svltvlhqdwlngkeykckvsnkalspape ktiskakgqprepqvytlppsreemtknqv sltclvkgfypsdiavewesngqpennykt ppvldsdsfflyskltvdkrswqqgnvf scsvmhealhhnytqkslslsppgk</p>
<p>1197.</p>	<p>CD70_3xCD3- scFc_delGK</p>	<p>биспецифи ческая HLE молекула</p>	<p>evqllesgggmvpqpgslrlscaasgftfs syamswvrqapkglewvsaisgsggrtfy aesvegrftisrdnskntlflqmnsraed tavyycahdysnpyfydywgqgtlvtvss ggggsgggsggggseivltqspgtlsisp geratlsctasqsvrsslawyqqkpgqap rlliygassratgipdrfsgsgsgtdftlt isrlepedfavyyccqygsspftfgpgtkl eiksggggsevqlvesggglvqpggslkls caasgftfnkyamnwwrqapkglewvari rskynnyatyyadsvkdrftisrddsanta ylqmnlktdtavyycvrhgnfgnsyisy waywgqgtlvtvssggggsgggsgggsgq tvvtqepsltvspggtvtltcgsstgavts gnypnwvqqkpgqaprgliggtkflapgtp arfgsllggkaaltlsgvqpedeaeeycv</p>

			<p>lwysnrwvfgggtklvtlvgggdkthtcpp cpapellggpsvflfppkpkdtlmisrtpe vtcvvdvshedpevkfnwyvdgvevhnak tkpceezygstyrcvsvltvlhqdwlngke ykckvsnkalspapektiskakgqprepqv ytlppsreemtknqvsltclvkgfypsdi vewesngqpennyktppvldsdsfflys kltvdksrwqgnvfscsvmhealhnhytq kslspsggggsgggsgggsgggsgggsggg gsgggsgdkthtcppcpapellggpsvflf ppkpkdtlmisrtpevtcvvdvshedpev kfnwyvdgvevhnaktkpceezygstyrcv svltvlhqdwlngkeykckvsnkalspape ktiskakgqprepqvtylppsreemtknqv sltclvkgfypsdiavewesngqpennykt tpvldsdsfflyskltvdksrwqgnvf scsvmhealhnhytqkslspsgk</p>
<p>1198.</p>	<p>CD70_4_CCxC D3- scFc_delGK</p>	<p>биспецифи ческая HLE молекула</p>	<p>evqllesgggmvpqggsrlrlscaasgftfs syamswvrqapgkclewvsaisgsggrtfy aesvegrftisrdnskntlylqmnsraed tavyycahhdysnpyfdywgqgtlvtvss ggggsgggsggggseivltqspgtlslsp geratlscrasqsirssylawyqqkpgqap rlliygassratgipdrfsgsgsgtdftlt isrlepedfavyyccqygdlpftfgcgtkl eiksggggsevqlvesggglvqpggslkls caasgftfnkyamnvrqapgkglewvari rskynnyatyyadsvkdrftisrddsanta ylqmnlktdtavyycvrhgnfgnsyisy waywgqgtlvtvssggggsgggsgggsgq tvvtqepsltvspggtvtltcgsstgavts gnypnwvqqkpgqaprgliggtkflapgtp arfgsllggkaaltlsgvqpedeaeeycv lwysnrwvfgggtklvtlvgggdkthtcpp cpapellggpsvflfppkpkdtlmisrtpe</p>

			<p>vtcvvvdvshedpevkfnwyvdgvevhnak tkpceezygstyrcvsvltvlhqdwlngke ykckvsnkalpapiektiskakgpprepqv ytlppsreemtknqvsltclvkgfypsdi vewesngqpennykttppvldsdsfflys kltvdksrwqggnvfscsvmhealhnhytq kslsislpgggsgggsgggsgggsgggsggg gsgggsgdkthtcppcpapellggpsvflf ppkpkdtlmsrtpevtcvvvdvshedpev kfnwyvdgvevhnaktkpceezygstyrcv svltvlhqdwlngkeykckvsnkalpapie ktiskakgpprepqvtytlppsreemtknqv sltclvkgfypsdiavewesngqpennykt tppvldsdsfflyskltvdksrwqggnvf scsvmhealhnhytqkslsislpgk</p>
1199.	CD70_4xCD3- scFc_delGK	<p>биспецифи ческая HLE молекула</p>	<p>evqllesgggmvpqggsrlrlscaasgftfs syamswvrqapgkglewvsaisgsggrtfy aesvegrftisrdnskntlylqmnsraed tavyycahdysnpyfydywgqgtlvtvss ggggsgggsggggseivltqspgtlslsp geratlscrasqsirssylawyqqkpgqap rlliygassratgipdrfsgsgsgtdftlt isrlepedfavyyccqygdlpftfgpgtkl eiksggggsevqlvesggglvqpggslkls caasgftfnkyamnwwrqapgkglewvari rskynnyatyadsvkdrftisrddsknta ylqmnlktdtavyycvrhgnfgnsyisy waywgqgtlvtvssggggsgggsgggsgq tvvtqepsltvspggtvtltcgsstgavts gnypnwvqqkpgqaprgliggtkflapgtp arfgsllggkaaltlsgvqpedeaeyycv lwysnrwvfgggtklvtlvgggdkthtcpp cpapellggpsvflfppkpkdtlmsrtpe vtcvvvdvshedpevkfnwyvdgvevhnak tkpceezygstyrcvsvltvlhqdwlngke</p>

		<p>ykckvsnkalspapiektiskakgqpprepqv ytlppsreemtknqvsltclvkgfypsdi vewesngqpennykttppvldsdsfflys kltvdksrwqqgnvfscsvmhealhnhytq kslslspggggsgggsgggsgggsggg gsgggsgdkthtcpppapellggpsvflf ppkpkdtlmisrtpevtcvvvdvshedpev kfnwyvdgvevhnaktkpceezygstyrcv svltvlhqdwlngkeykckvsnkalspapie ktiskakgqpprepqvtytlppsreemtknqv sltclvkgfypsdiavewesngqpennykt tppvldsdsfflyskltvdksrwqqgnvf scsvmhealhnhytqkslslspgk</p>
<p>1200.</p>	<p>CD70_5_CCxC D3- scFc_delGK</p>	<p>биспецифи ческая HLE молекула</p> <p>evqllesggglvqsggsrlrlscaasgftfs syamswvrqapgkclewvsaisgsggrthy aevkgrftisrdnskntlylqmnsraed tavyycahdysnypyfdywgqgtlvtvss gggsgggsggggseivltqspgtlslsp geratlscrasqsvrsslawyqqkpgqap rlliygassratgipdrfsgsgtdftlt isrlepedfavyyccqygsspftfgcgtkl eiksggggsevqlvesggglvqpggskls caasgftfnkyamnwwrqapgglewvari rskynnyatyyadsvkdrftisrddsknta ylqmnlktdtavyycvrhgnfgnsyisy waywgqgtlvtvssggggsgggsgggsgq tvvtqepsltvspggtvtlctgsstgavts gnypnwwqqkpgqaprgliggtkflapgtp arfsgsllggkaaltlsgvqpedeaeeycv lwysnrwvfgggtkltvlgggdkthtcpp cpapellggpsvflfppkpkdtlmisrtpe vtcvvdvshedpevkfnwyvdgvevhnak tkpceezygstyrcvsvltvlhqdwlngke ykckvsnkalspapiektiskakgqpprepqv ytlppsreemtknqvsltclvkgfypsdi</p>

			<p>vewesngqpennykttppvldsdsfflys kltvdksrwqqgnvfscsvmhealhnhytq kslslsppggsgggsgggsgggsgggsggg gsgggsgdkthtcpppapellggpsvflf ppkpkdtlmisrtpevtcvvvdvshedpev kfnwyvdgvevhnaktkpceeqgstyrcv svltvlhqdwlngkeykckvsnkalspapie ktiskakgqprepvytlppsreemtknqv sltclvkgfypsdiavewesngqpennykt tppvldsdsfflyskltvdksrwqqgnvf scsvmhealhnhytqkslslsppgk</p>
1201.	CD70_5xCD3- scFc_delGK	биспецифи ческая HLE молекула	<p>evqllesggglvqsggslrlscaasgftfs syamswvrqapgkglewvsaisgsggrthy aevkgrftisrdnskntlylqmnsraed tavyycahdysnpyfydywgqgtlvtvss ggggsgggsgggseivltqspgtlsisp geratlscrasqsvrsslawyqqkpggap rlliygassratgipdrfsgsgsgtdftlt isrlepedfavyyccqygsspftfgpgtkl eiksgggsevqlvesggglvqpggskls caasgftfnkyamnvwvrqapgkglewvari rskynnyatyyadsvkdrftisrddsknta ylqmnnlktedtavyycvrhgnfgnsyisy waywgqgtlvtvssggggsgggsgggsgq tvvtqepsltvspggtvtltcgsstgavts gnypnwvqqkpgqaprgliggtkflapgtp arfgsllggkaaltlsgvqpedeaeeycv lwysnrwvfgggtkltvlgggdkthtcpp cpapellggpsvflfppkpkdtlmisrtpe vtcvvvdvshedpevkfnwyvdgvevhnak tkpceeqgstyrcvsvltvlhqdwlngke ykckvsnkalspapiektiskakgqprepqv ytlppsreemtknqvsltclvkgfypsdiav ewesngqpennykttppvldsdsfflys kltvdksrwqqgnvfscsvmhealhnhytq</p>

			kslslsppggggsgggsgggsgggsgggsggg gsggggsdkthtcppcpapellggpsvflf ppkpkdtlmisrtpevtcvvvdvshedpev kfnwyvdgvevhnaktkpceeaygstyrcv svltvlhqdwlngkeykckvsnkalpapie ktiskakgqprepvytlppsreemtknqv sltclvkgfypsdiavewesngqpennykt tppvldsdsfflyskltvdksrwqqgnvf scsvmhealhhnytqkslslspgk
1202.	CD70_6_CCxC D3- scFc_delGK	биспецифи ческая HLE молекула	evqllesggglvqpggsrlrlscaasgftfs syamswvrqapgkclewvslisgsggrthy aevkgrftisrdnsntlylqmnsraed tavyycahdysnpyfydywgqgtlvtvss ggggsgggsgggseivltqspgtlslsp geratlscrasqsvrstylawyqqkpgqap rlliydassratgipdrfsgsgsgtdftlt isrlepedfavyfcqqygspsptfgcgtkl eiksggggsevqlvesggglvqpggsikls caasgftfnkyamnvrqapgkglewvari rskynnyatyadsvkdrftisrddsanta ylqmnlktdtavyycvrhgnfgnsyisy waywgqgtlvtvssggggsgggsgggsgq tvvtqepsltvspggtvtltcgsstgavts gnypnwvqqkpgqaprgliggtkflapgtp arfgsllggkaaltlsgvqpedeaeeycv lwysnrwvfgggtklvtlvgggdkthtcpp cpapellggpsvflfppkpkdtlmisrtpe vtcvvvdvshedpevkfnwyvdgvevhnak tkpceeaygstyrcvsvltvlhqdwlngke ykckvsnkalpapiektiskakgqprepqv ytlppsreemtknqvsltclvkgfypsdiav ewesngqpennykttppvldsdsfflysk ltvdksrwqqgnvfscsvmhealhhnytq kslslsppggggsgggsgggsgggsgggsggg gsggggsdkthtcppcpapellggpsvflf

			<p>ppkpkdtlmisrtpevtcvvvdvshedpev kfnwyvdgvevhnaktkpceeeygstyrcv svltvlhqdwlngkeykckvsnkalpapie ktiskakgqprepqvylppsreemtknqv sltclvkgfypsdiavewesngqpennykt tppvldsdgsfflyskltvdksrwqqgnvf scsvmhealhhnytqkslsispkg</p>
1203.	CD70_6xCD3- scFc_delGK	<p>биспецифи ческая HLE молекула</p>	<p>evqllesggglvqpggsrlscaasgftfs syamswvrqapgkglewvslisgsggrthy aevkgrftisrdnskntlylqmnsraed tavyycahdysnpyfydywgqgtlvtvss ggggsgggsgggseivltqspgtlslsp geratlscrasqsvrstylawyqqkpgqap rlliydassratgipdrfsgsgsgtdftlt isrlepedfavyfcqqygspsptfgggtkl eiksggggsevqlvesggglvqpggslkls caasgftfnkyamnvrqapgkglewvari rskynnyatyadsvkdrftisrddsknta ylqmnlktdtavyycvrhgnfgnsyisy waywgqgtlvtvssggggsgggsgggsgq tvvtqepsltvspggtvltlcsstgavts gnypnwvqqkpgqaprgliggtkflapgtp arfsgslggkaaltlsgvqpedeaeeycv lwysnrwvfgggtklvlvgggdkthtcpp cpapellggpsvflfppkpkdtlmisrtpe vtcvvvdvshedpevkfnwyvdgvevhnak tkpceeeygstyrcvsvltvlhqdwlngke ykckvsnkalpapiektiskakgqprepqv ytlppsreemtknqvsltclvkgfypsdiav ewesngqpennyktppvldsdgsfflysk ltvdksrwqqgnvfscsvmhealhhnytq kslsispggggsgggsgggsgggsgggsgg gsgggsgdkthtcppcpapellggpsvflf ppkpkdtlmisrtpevtcvvvdvshedpev kfnwyvdgvevhnaktkpceeeygstyrcv</p>

			svltvlhqdwlngkeykckvsnkaldpapie ktiskakgqprepqvvtlppsreemtknqv sltclvkgfypsdiavewesngqpennykt tppvldsdgsfflyskltvdksrwqqgnvf scsvmhealthhnytqkslslspsgk
1204.	CD70_7_CCxC D3- scFc_delGK	биспецифи ческая HLE молекула	evqllesggglvqpqgslrlscaasgftfs tyamswvrqapgkclewvsaisgsggstfy aesvkgrftisrdnskntlsiqmnsraed tavyycahdysnpyfydywgqgtlvtvss ggggsgggsgggseivltqspgtlsisp geratlscrasqsvrsslawyqqkpggap rlliygassratgipdrfsgsgsgtdftlt isrlepedfavyyccqygdlpftfgcgtkl eiksggggsevqlvesggglvqpqgskls caasgftfnkyamnwrqapgkglewvari rskynnyatyyadsvkdrftisrddsknta ylqmnnlktedtavyycvrhgnfgnsyisy waywgqgtlvtvssggggsgggsgggsgq tvvtqepsltvspggtvtltcgsstgavts gnypnwvqqkpgqaprgliggtkflapgtp arfgsllggkaaltlsgvqpedeaeeycv lwysnrwvfgggtklvtlvgggdkthtcpp cpapellggpsvflfppkpkdtlmisrtpe vtcvvvdvshedpevkfnwyvdgvevhnak tkpceeegystyrcvsvltvlhqdwlngke ykckvsnkaldpapiektiskakgqprepqv vtlppsreemtknqvsltclvkgfypsdiav ewesngqpennyktppvldsdgsfflysk ltvdksrwqqgnvfscsvmhealthhnytq kslslspsggggsgggsgggsgggsggg gsgggsgdkthtcppcpapellggpsvflf ppkpkdtlmisrtpevtcvvvdvshedpev kfnwyvdgvevhnaktkpceeegystyrcv svltvlhqdwlngkeykckvsnkaldpapie ktiskakgqprepqvvtlppsreemtknqv

			sltclvkgfypsdiavewesngqpennykt tppvldsdgsfflyskltvdksrwqqgnvf scsvmhealhhnytqkslslspgk
1205.	CD70_7xCD3- scFc_delGK	биспецифи ческая HLE молекула	evqllesggglvqpggslrlscaasgftfs tyamswvrqapgkglewvsaisgsggstfy aesvkgrftisrdnskntlslqmnsraed tavyycahdysnpyfydywgqgtlvtvss ggggsgggsgggseivltqspgtlsisp geratlscrasqsvrsslwayyqqkpgqap rlliygassratgipdrfsgsgsgtdftlt isrlepedfavyyccqygdlpftfgpgtkl eiksggggsevqlvesggglvqpggskls caasgftfnkyamnwwrqapgkglewvari rskynnyatyyadsvkdrftisrddsknta ylqmnlnktdtavyycvrhgnfgnsyisy waywgqgtlvtvssggggsgggsgggsgq tvvtqepsltvspggtvtltcgsstgavts gnypnwvqqkpgqaprgliggtkflapgtp arfgsllggkaaltlsgvqpedeaeeycv lwysnrwvfgggtklvtlvgggdkthtcpp cpapellggpsvflfppkpkdtlmisrtpe vtcvvvdvshedpevkfnwyvdgvevhnak tkpceeegystyrcvsvltvlhqdwlngke ykckvsnkalspapektiskakgqprepqv ytlppsreemtknqvsltclvkgfypsdi vewesngqpennykttppvldsdgsfflys kltvdksrwqqgnvfscsvmhealhhnytq kslslspgggsgggsgggsgggsgggsggg gsgggsgdkthtcppcpapellggpsvflf ppkpkdtlmisrtpevtcvvvdvshedpev kfnwyvdgvevhnaktkpceeegystyrcv svltvlhqdwlngkeykckvsnkalspape ktiskakgqprepqvtytlppsreemtknqv sltclvkgfypsdiavewesngqpennykt tppvldsdgsfflyskltvdksrwqqgnvf

			scsvmhealhnhytqkslsispgk
1206.	CD70_8_CCxC D3- scFc_delGK	биспецифи ческая HLE молекула	evqllesgggmvpqpggslrlscaasgftfs tyamswvrqapgkclewvsaisgsggrtfy aesvegrftisrdnskntlylqmnsraed tavyycahdysnpyfydywgqgtlvtvss ggggsgggsggggseivltqspgtlsisp geratlscrasqsvrstylawyqqkpgqap rlliygassratgipdrfsgsgsgtdftlt isrlepedfavyscqygdlpftfgcgtkl eiksggggsevqlvesggglvqpggsikls caasgftfnkyamnvrqapgkglewvari rskynnyatyadsvkdrftisrddsknta ylqmnlktdtavyycvrhgnfgnsyisy waywgqgtlvtvssggggsgggsgggsgq tvvtqepsltvspggtvtltcgsstgavts gnyupnwqqkpgqaprgliggtkflapgtp arfsgslggkaaltlsgvqpedeaeaycv lwysnrwvfgggtklvtlvgggdkthtcpp cpapellggpsvflfppkpkdtlmsrtpe vtcvvvdvshedpevkfnwyvdgvevhnak tkpceezygstyrcvsvltvlhqdwlngke ykckvsnkalpapiektiskakgqprepqv ytlppsreemtknqvsltclvkgfypsdi vewesngqpennyktppvldsdsffly kltvdksrwqqgnvfscsvmhealhnhytq kslsispgggsgggsgggsgggsgggsggg gsgggsgdkthtcppcpapellggpsvflf ppkpkdtlmsrtpevtcvvvdvshedpev kfnwyvdgvevhnaktkpeezygstyrcv svltvlhqdwlngkeykckvsnkalpapie ktiskakgqprepqvtylppsreemtknqv sltclvkgfypsdiavewesngqpennykt tppvldsdsfflyskltvdksrwqqgnvf scsvmhealhnhytqkslsispgk
1207.	CD70_8xCD3-	биспецифи	evqllesgggmvpqpggslrlscaasgftfs

	scFc_delGK	чешская HLE молекула	tyamswvrqapggkglewvsaisgsggrtfy aesvegrftisrdnskntlylqmnsraed tavuycahdysnypyfdywgqgtlvtvss ggggsgggsggggseivltqspgtlslsp geratlscrasqsvrstylawyqqkpgqap rlliygassratgipdrfsgsgsgtdftlt isrlepedfavyscqygdipftfgpgtkl eiksggggsevqlvesggglvqpggskls caasgftfnkyamnvrqapggkglewvari rskynnyatyyadsvkdrftisrddsknta ylqmnlktedtavyycvrhgnfgnsyisy waywgqgtlvtvssggggsgggsgggsgq tvvtqepsltvspggtvtltcgsstgavts gnypnwvqqkpgqaprgliggtkflapgtp arfgsllggkaaltlsgvpedeaeeycv lwysnrwvfgggtklvtlvgggdkthtcpp cpapellggpsvflfppkpkdtlmisrtpe vtcvvvdvshedpevkfnwyvdgvevhnak tkpceezygstyrcvsvltvlhqdwlngke ykckvsnkalpapiektiskakgqprepqv ytlppsreemtknqvsltclvkgfypsdi vewesngqpennyktppvldsdsfflys kltvdksrwqqgnvfscsvmhealhnhytq kslspsggggsgggsgggsgggsggg gsgggsgdkthtcppcpapellggpsvflf ppkpkdtlmisrtpevtcvvvdvshedpev kfnwyvdgvevhnaktkpeezygstyrcv svltvlhqdwlngkeykckvsnkalpapie ktiskakgqprepqvtytlppsreemtknq sltclvkgfypsdiavewesngqpennykt tppvldsdsfflyskltvdksrwqqgnvf scsvmhealhnhytqkslspsgk
1208.	CD70_9_CCxC D3- scFc_delGK	биспецифи чешская HLE	evqllesggglvqpggslrlscaasgftfs syamswvrqapggkclewvsaisgsggytyy aesvkgrftisrdnskntlylqmnsraed

		молекула	tavyycakhdysnpyfdywgqgtlvtvss ggggsgggsggggseivltqspgtlslsp geratlscrasqsvrsnylawyqqkpggap rlliygassratgipdrfsgsgtdftlt isrlepedfavyyccqygdlpftfgcgtkv eiksggggsevqlvesggglvqpggslkls caasgftfnkyamnwwrqapgkglewvari rskynnyatyyadsvkdrftisrddsknta ylqmnlnktdtavyycvrhgnfgnsyisy waywgqgtlvtvssggggsgggsgggsgq tvvtqepsltvspggtvtltcgsstgavts gnypnwqqkpgqaprgliggtkflapgtp arfgsllggkaatlsgvqpdeaeeycv lwysnrwvfgggtkltvlgggdkthtcpp cpapellggpsvflfppkpkdtlmisrtp vtcvvvdvshedpevkfnwyvdgvevhnak tkpceeegystyrcsvltvlhqdwlngke ykckvsnkalspapektiskakgqprepqv ytlppsreemtknqvsltclvkgfypsdi vewesngqpennyktppvldsdsffly kltvdksrwqqgnvfscsvmhealhhnytq kslslspggggsgggsgggsgggsggg gsgggsgdkthtcppcpapellggpsvflf ppkpkdtlmisrtpvvtcvvvdvshedpev kfnwyvdgvevhnaktkpceeegystyrcv svltvlhqdwlngkeykckvsnkalspape ktiskakgqprepqvtytlppsreemtknq sltclvkgfypsdiavewesngqpennykt ppvldsdsfflyskltvdksrwqqgnvf scsvmhealhhnytqkslslspgk
1209.	CD70_9xCD3- scFc_delGK	биспецифи ческая HLE молекула	evqllesggglvqpggslrlscaasgftfs syamswwrqapgkglewvsaisgsggytyy aesvkgrftisrdnsknltlylqmnslraed tavyycakhdysnpyfdywgqgtlvtvss ggggsgggsggggseivltqspgtlslsp

			<p>geratlscrasqsvrsnylawyqqkpgqap rlliygassratgipdrfsgsgsgtdftlt isrlepedfavyyccqygdlpftfgpgtkv eiksggggsevqlvesggglvqpggslkls caasgftfnkyamnvrqapgkglewvari rskynnyatyyadsvkdrftisrddsanta ylqmnlnktdtavyycvrhgnfgnsyisy waywgqgtlvtvssggggsgggsgggsgq tvvtqepsltvspggtvtltcgsstgavts gnypnwvqqkpgqaprgliggtkflapgtp arfgsllggkaaltlsgvqpedeaeeycv lwysnrwvfgggtkltvlgggdkthtcpp cpapellggpsvflfppkpkdtlmisrtpe vtcvvvdvshedpevkfnwyvdgvevhnak tkpceeeygstyrcvsvltvlhqdwlngke ykckvsnkalspapiektiskakgqprepqv ytlppsreemtknqvsltclvkgfypsdi vewesngqpennyktppvldsdsfflys kltvdksrwqqgnvfscsvmhealhnhytq kslslsppggggsgggsgggsgggsggg gsgggsgdkthtcppcpapellggpsvflf ppkpkdtlmisrtpevtcvvvdvshedpev kfnwyvdgvevhnaktkpceeeygstyrcv svltvlhqdwlngkeykckvsnkalspapie ktiskakgqprepqvtylppsreemtknqv sltclvkgfypsdiavewesngqpennykt tppvldsdsfflyskltvdksrwqqgnvf scsvmhealhnhytqkslslspgk</p>
<p>1210.</p>	<p>CD70_10_CCx CD3- scFc_delGK</p>	<p>биспецифи ческая HLE молекула</p>	<p>evqllesggglaqpggslrlscaasgftfs syamswvrqapgkclewvsaisgsggstfy aesvkgrftisrdnskntlylqmnslraed tavycakhdysnpyfydywgqgtlvtvss ggggsgggsggggseivltqspgtlsfsp geratlscrasqsvrsslwayyqqkpgqap rlliygassratgipdrfsgsgsgtdftlt</p>

			<p>isrlepedfavyyccqygdlpftfgcgtkv eiksggggsevqlvesggglvqpggslkls caasgftfnkyamnvrqapgglewvari rskynnyatyadsvkdrftisrddsanta ylqmnlktdtavyycvrhgnfgnsyisy waywgqgtlvtvssgggsgggsgggsgq tvvtqepsltvspggtvltlcsstgavts gnypnwvqqkpgqaprgliggtkflapgt arfgslggkaaltlsgvqpedeaeeycv lwysnrwvfgggtklvtlvgggdkthtcpp cpapellggpsvflfppkpkdtlmisrtp vtcvvvdvshedpevkfnwyvdgvevhnak tkpceeegystyrcsvltvlhqdwlngke ykckvsnkalpapiektiskakgqprepqv ytlppsreemtknqvsltclvkgfypsdi vewesngqpennyktppvldsdsffly kltvdksrwqqgnvfscsvmhealhnhtq kslsispgggsgggsgggsgggsgggsgg gsgggsgdkthtcppcpapellggpsvflf ppkpkdtlmisrtpvtevcvvdvshedpev kfnwyvdgvevhnaktkpeeegystyrcv svltvlhqdwlngkeykckvsnkalpie ktiskakgqprepvytlppsreemtknq sltclvkgfypsdiavewesngqpennykt tppvldsdsfflyskltvdksrwqqgnvf scsvmhealhnhtqkslsispk</p>
1211.	CD70_10xCD3 -scFc_delGK	биспецифическая HLE молекула	<p>evqllesggglaqpggslrlscaasgftfs syamswvrqapgglewvsaisgggstfy aesvkgrftisrdnskntlylqmnsiraed tavyfcahdysnpyfydywgqgtlvtvss ggggsgggsgggseivltqspgtlslsp geratlscrasqsvrsslawyqqkpgqap rlliygassratgipdrfsgsgsgtdftlt isrlepedfavyyccqygdlpftfgpgtkv eiksggggsevqlvesggglvqpggslkls</p>

			<p>caasgftfnkyamnvrqapgkglewvari rskynnyatyyadsvkdrftisrddsknta ylqmnlnktdtavyycvrhgnfgnsyisy waywgqgtlvtvssgggsgggsgggsgq tvvtqepsltvspggtvtlctgsstgavts gnypnwvqqkpgqaprgliggtkflapgtp arfsqslggkaaltlsgvqpedeaeyycv lwysnrwvfgggtklvtlvgggdkthtcpp cpapellggpsvflfppkpkdtlmisrtp vtcvvvdvshedpevkfnwyvdgvevhnak tkpceezygstyrcsvltvlhqdwlngke ykckvsnkalspapektiskakgqprepqv ytlppsreemtknqvsltclvkgfypsdi vewesngqpennyktppvldsdsfflys kltvdksrwqggvfvscsvmhealhnhytq kslsispgggsgggsgggsgggsggg gsgggsgdkthtcppcpapellggpsvflf ppkpkdtlmisrtpvtcvvvdvshedpev kfnwyvdgvevhnaktkpceezygstyrcv svltvlhqdwlngkeykckvsnkalspape ktiskakgqprepqvtytlppsreemtknq sltclvkgfypsdiavewesngqpennykt ppvldsdsfflyskltvdksrwqggvfv scsvmhealhnhytqkslsispgk</p>
<p>1212.</p>	<p>CD70_11_CCx CD3- scFc_delGK</p>	<p>биспецифи ческая HLE молекула</p>	<p>evqllesgggmvgpggsrlscaasgftfs syamswvrqapgkclewvsaisgsggrtfy aesvegrftisrdnskntlylqmnsraed tavyycahdysnpyfydywgqgtlvtvss ggggsgggsggggseivltqspgtlsisp geratlscrasqsvrsnylawyqqkpgqap rlliygassratgipdrfsgsgsgtdftlt isrlepedfavyyccqygdlpftfgcgtkv eiksggggsevqlvesggglvqpggslkls caasgftfnkyamnvrqapgkglewvari rskynnyatyyadsvkdrftisrddsknta</p>

			<p>ylqmnlnktdtavyycvrhgnfgnsyisy waywgqgtlvtvssggggsgggsgggsgq tvvtqepsltvspggtvtltcgsstgavts gnypnwvqqkpgqaprgliggtkflapgtp arfgsllggkaaltlsgvqpdeaeeycv lwysnrwvfgggtklvtlvgggdkthtcpp cpapellggpsvflfppkpkdtlmisrtp vtcvvvdvshedpevkfnwyvdgvevhnak tkpceezygstyrcsvltvlhqdwlngke ykckvsnkalspapektiskakgqprepqv ytlppsreemtknqvsltclvkgfypsdi vewesngqpennyktppvldsdsfflys kltvdksrwqgnvfscsvmhealhnhytq kslspsggggsgggsgggsgggsggg gsgggsgdkthtcppcpapellggpsvflf ppkpkdtlmisrtpvtcvvvdvshedpev kfnwyvdgvevhnaktkpceezygstyrcv svltvlhqdwlngkeykckvsnkalspape ktiskakgqprepqvtytlppsreemtknq sltclvkgfypsdiavewesngqpennykt tppvldsdsfflyskltvdksrwqgnvf scsvmhealhnhytqkslspsgk</p>
<p>1213.</p>	<p>CD70_11xCD3 -scFc_delGK</p>	<p>биспецифи ческая HLE молекула</p>	<p>evqllesgggmvpqgslrlscaasgftfs syamswvrqapggkglewvsaisgsggrtfy aesvegrftisrdnskntlylqmnsraed tavyycahdysnypfydywgqgtlvtvss ggggsgggsgggseivltqspgtlslsp geratlscrasqsvrsnylawyqqkpgqap rlliygassratgipdrfsgsgtdftlt isrlepedfavyyccqygdlpftfgpgtkv eiksgggsevqlvesggglvqpggslkls caasgftfnkyamnvrqapggkglewvari rskynnyatyyadsvkdrftisrddsknta ylqmnlnktdtavyycvrhgnfgnsyisy waywgqgtlvtvssggggsgggsgggsgq</p>

		<p>tvvtqepsltvspggtvtltcgsstgavts gnypnwvqqkpgqaprgliggtkflapgtp arfgsllggkaaltlsgvqpedeaeeycv lwysnrwvfgggtkltvlgggdkthtcpp cpapellggpsvflfppkpkdtlmisrtpe vtcvvvdvshedpevkfnwyvdgvevhnak tkpceezygstyrcvsvltvlhqdwlngke ykckvsnkalpapiektiskakgqprepqv ytlppsreemtknqvsltclvkgfypsdi vewesngqpennyktppvldsdsfflys kltvdksrwqggnvfscsvmhealhnhytq kslslsppggggsgggsgggsgggsggg gsgggsgdkthtcppcpapellggpsvflf ppkpkdtlmisrtpevtcvvvdvshedpev kfnwyvdgvevhnaktkpceezygstyrcv svltvlhqdwlngkeykckvsnkalpapie ktiskakgqprepvytlppsreemtknqv sltclvkgfypsdiavewesngqpennykt tppvldsdsfflyskltvdksrwqggnvf scsvmhealhnhytqkslslspgk</p>
<p>1214.</p>	<p>CD70_12_CCx CD3- scFc_delGK</p>	<p>биспецифи ческая HLE молекула</p> <p>evqllesgggmvpqgslrlscaasgftfs syamswvrqapgkclewvsaisgsggrtfy aesvegrftisrdnskntlylqmnsraed tavyycahdysnpyfydywgqgtlvtvss ggggsgggsggggseivltqspgtlsisp geratlscrasqsvrsslawyqqkpgqap rlliygassratgipdrfsgsgsgtdftlt isrlepedfavyyccqygsspftfgcgtkv eiksggggsevqlvesggglvqpggslkls caasgftfnkyamnwwrqapkglewvari rskynnyatyadsvkdrftisrddsknta ylqmnlktdtavyycvrhgnfgnsyisy waywgqgtlvtvssggggsgggsgggsgq tvvtqepsltvspggtvtltcgsstgavts gnypnwvqqkpgqaprgliggtkflapgtp</p>

		<p>arfsgslggkaaltlsgvqpedeaeycv lwysnrwvfgggtklvtlvgggdkthtcpp cpapellggpsvflfpkpkdtlmisrtpe vtcvvdvshedpevkfnwyvdgvevhnak tkpceezygstyrcvsvltvlhqdwlngke ykckvsnkalpapiektiskakgpprepqv ytlppsreemtknqvsiltclvkgfypsdi vewesngqpennyktppvldsdsfflys kltvdksrwqqgnvfscsvmhealhhnytq kslslspgggsgggsgggsgggsgggsggg gsgggsgdkthtcppcpapellggpsvflf ppkpkdtlmisrtpevtcvvdvshedpev kfnwyvdgvevhnaktkpeezygstyrcv svltvlhqdwlngkeykckvsnkalpie ktiskakgpprepqvtytlppsreemtknq siltclvkgfypsdiavewesngqpennykt tppvldsdsfflyskltvdksrwqqgnvf scsvmhealhhnytqkslslspgk</p>
<p>1215.</p>	<p>CD70_12xCD3 -scFc_delGK</p>	<p>биспецифи ческая HLE молекула</p> <p>evqllesgggmvpqggsrlrlscaasgftfs syamswvrqapgkglewvsaisgsggrtfy aesvegrftisrdnskntlylqmnsraed tavyycahdysnpyfydywgqgtlvtvss gggsgggsgggsgggseivltqspgtlslsp geratlscrasqsvrsslawyqqkpgqap rlliygassratgipdrfsgsgsgtdftlt isrlepedfavyyccqygsspftfgpgtkv eiksggggsevqlvesggglvqpggslkls caasgftfnkyamnvwvrqapgkglewvari rskynnyatyadsvkdrftisrddsknta ylqmnlktdtavyycvrhgnfgnsyisy waywgqgtlvtvssgggsgggsgggsgq tvvtqepsltvspggtvtltcgsstgavts gnypnwvqqkpgqaprgliggtkflapgtp arfsgslggkaaltlsgvqpedeaeycv lwysnrwvfgggtklvtlvgggdkthtcpp</p>

			<p>cpapellggpsvflfppkpkdtlmisrtpe vtcvvdvshedpevkfnwyvdgvevhnak tkpceeegystyrcvsvltvlhqdwlngke ykckvsnkalpapiektiskakgqprepqv ytlppsreemtknqvsltclvkgfypsdi vewesngqpennyktppvldsdsfflys kltvdksrwqqgnvfscsvmhealhhytq kslslsppggsgggsgggsgggsgggsggg gsgggsgdkthtcppcpapellggpsvflf ppkpkdtlmisrtpevtcvvdvshedpev kfnwyvdgvevhnaktkpceeegystyrcv svltvlhqdwlngkeykckvsnkalpapie ktiskakgqprepqvtytlppsreemtknq sltclvkgfypsdiavewesngqpennykt tppvldsdsfflyskltvdksrwqqgnvf scsvmhealhhytqkslslsppgk</p>
<p>1216.</p>	<p>CD70_13_CCx CD3- scFc_delGK</p>	<p>биспецифи ческая HLE молекула</p>	<p>evqllesggglvqpggsrlrlscaasgftfs syamswvrqapgkclewvsaisgggstfy aesvqgrftisrdnskntlylqvnsraed tavyycarhdysnpyfydywgqgtlvtvss ggggsgggsggggseivltqspgtlsisp geratlsccrasqsvrgnylawyqqkpgqap rlliygassratgipdrfsgsgsgtdftlt isrlepedfavyyccqygygspftfgcgtkv eiksgggsevqlvesggglvqpggskls caasgftfnkyamnvwvrqapgkglewvari rskynnyatyyadsvkdrftisrddsanta ylqmnnlktedtavyycvrhgnfgnsyisy waywgqgtlvtvssggggsgggsgggsgq tvvtqepsltvspggtvtltcgsstgavts gnypnwvqqkpgqaprgliggtkflapgtp arfgsllggkaaltlsgvqpedeaeyycv lwysnrwvfgggtkltvlgggdkthtcpp cpapellggpsvflfppkpkdtlmisrtpe vtcvvdvshedpevkfnwyvdgvevhnak</p>

			<p>tkpceezygstyrcvsvltvlhqdwlngke ykckvsnkalspapektiskakgqprepqv ytlppsreemtknqvsltclvkgfypsdi vewesngqpennyktppvldsdsfflys kltvdksrwqgnvfscsvmhealhhnytq kslspspgggsgggsgggsgggsggg gsgggsgdkthtppcpapellggpsvflf ppkpkdtlmisrtpevtcvvvdvshedpev kfnwyvdgvevhnaktkpeezygstyrcv svltvlhqdwlngkeykckvsnkalspape ktiskakgqprepqvylppsreemtknqv sltclvkgfypsdiavewesngqpennykt ppvldsdsfflyskltvdksrwqgnvf scsvmhealhhnytqkslspspgk</p>
<p>1217.</p>	<p>CD70_13xCD3 -scFc_delGK</p>	<p>биспецифи ческая HLE молекула</p>	<p>evqllesggglvqpggslrlscaasgftfs syamswvrqapgkglewvsaisgsggstfy aesvqgrftisrdnskntlylqvnsraed tavyycarhdysnpyfydywgqgtlvtvss ggggsgggsggggseivltqspgtlslsp geratlsctasqsvrgnylawyqqkpgqap rlliygassratqipdrfsgsgsgtdftlt isrlepedfavyyccqyyspftfgpgtkv eiksggggsevqlvesggglvqpggskls caasgftfnkyamnvrqapgkglewvari rskynnyatyyadsvkdrftisrddsknta ylqmnlnktdtavyycvrhgnfgnsyisy waywgqgtlvtvssggggsgggsgggsgq tvvtqepsltvspggtvtltcgsstgavts gnypnwvqqkpgqaprgliggtkflapgtp arfgslggkaaltlsgvqpedeaeeycv lwysnrwvfgggtklvtlvgggdkthtcpp cpapellggpsvflfppkpkdtlmisrtpe vtcvvvdvshedpevkfnwyvdgvevhnak tkpceezygstyrcvsvltvlhqdwlngke ykckvsnkalspapektiskakgqprepqv</p>

			<p> ytlppsreemtknqvsltclvkgfypsdiavewesngqpennykttppvldsdgsfflyskltvdksrwqqgnvfscsvmhealhnhytqkslslsppggggsgggsgggsgggsgggsgggsgggsgdkthtcppcpapellggpsvflfppkpkdtlmsrtpevtcvvvdvshedpevkfnwyvdgvevhnaktkpceezygstyrcvsvltvlhqdwlngkeykckvsnkalpapiektiskakgpprepqvytlppsreemtknqvsltclvkgfypsdiavewesngqpennykttppvldsdgsfflyskltvdksrwqqgnvfscsvmhealhnhytqkslslsppgk </p>
1218.	<p> CD70_14_CCx CD3- scFc_delGK </p>	<p> биспецифическая HLE молекула </p>	<p> evqllesggglvqpggslrlscaasgftfstyamswvrqapgkclewvsaisgsggtfy aevkgrftisrdnskntlylqmnsraedtavyycahdysnpyfydywgqgtlvtvssggggsgggsggggseivltqspgtlslspgeratlscrasqsirsnylawyqqkpgqap rlliygassratgipdrfsgsgtdftltisrlepedfavyyccqygsspftfgcgtkveiksggggsevqlvesggglvqpggslklscaasgftfnkyamnvrqapgkglewvari rskynnyatyadsvkdrftisrddskntaylqmnlktdtavyycvrhgnfgnsyisywaywgqgtlvtvssggggsgggsgggsgqtvvtqepsltvspggtvtltcgsstgavts gnypnwvqqkpgqaprgliggtkflapgtparfsgslggkaaltlsgvqpedeaeeycvlwysnrwvfgggtkltvlgggdkthtcppcpapellggpsvflfppkpkdtlmsrtpevtcvvvdvshedpevkfnwyvdgvevhnaktkpceezygstyrcvsvltvlhqdwlngkeykckvsnkalpapiektiskakgpprepqvytlppsreemtknqvsltclvkgfypsdiavewesngqpennykttppvldsdgsffly </p>

			<p>kltvdksrwqqgnvfscsvmhealthhnytq kslslsppggggsgggsgggsgggsgggsggg gsgggsgdkthtppcpapellggpsvflf ppkpkdtlmisrtpevtcvvvdvshedpev kfnwyvdgvevhnaktkpceeegystyrcv svltvlhqdwlngkeykckvsnkalpapie ktiskakgqprepvytlppsreemtknqv sltclvkgfyfypsdiavewesngqpennykt tppvldsdgsfflyskltvdksrwqqgnvf scsvmhealthhnytqkslslsppgk</p>
1219.	CD70_14xCD3 -scFc_delGK	<p>биспецифи ческая HLE молекула</p>	<p>evqllesggglvqpggsrlrlscaasgftfs tyamswvrqapgglewvsaisgsgggtfy aevkgrftisrdnskntlylqmnsraed tavyycahdysnypyfdywgqgtlvtvss ggggsgggsggggseivltqspgtlsisp geratlscrasqsirsnylawyqqkpgqap rlliygassratgipdrfsgsgsgtdftlt isrlepedfavyyccqygsspftfgpgtkv eiksggggsevqlvesggglvqpggsikls caasgftfnkyamnwwrqapgglewvari rskynnyatyyadsvkdrftisrddsanta ylqmnlktedtavyycvrhgnfgnsyisy waywgqgtlvtvssggggsgggsgggsgq tvvtqepsltvspggtvtltcgsstgavts gnypnwvqqkpgqaprgliggtkflapgtp arfgsllggkaaltlsgvqpedeaeeycv lwysnrwvfgggtklvtlvgggdkthtpp cpapellggpsvflfppkpkdtlmisrtpe vtcvvvdvshedpevkfnwyvdgvevhnak tkpceeegystyrcvsvltvlhqdwlngke ykckvsnkalpapiektiskakgqprepqv ytlppsreemtknqvsltclvkgfyfypsdi vewesngqpennykttppvldsdgsfflys kltvdksrwqqgnvfscsvmhealthhnytq kslslsppggggsgggsgggsgggsgggsggg</p>

			<p>gsggggskthtccppapellggpsvflf ppkpkdtlmisrtpevtcvvvdvshedpev kfnwyvdgvevhnaktkpceeegystyrcv svltvlhqdwlngkeykckvsnkalpapie ktiskakgqprepqvvtlppsreemtknqv sltclvkgfypsdiavewesngqpennykt tppvldsdgsfflyskltvdksrwqqgnvf scsvmhealhnhytqkslslspgk</p>
1220.	<p>CD70_15_CCx CD3- scFc_delGK</p>	<p>биспецифи ческая HLE молекула</p>	<p>evqllesggglvqpggslrlscaasgftfs tyamswvrqapgkclewvslisgsggrtyy aesvkgrftisrdnskntlylqmnsraed tavyycahdysnpyfydywgqgtlvtvss ggggsgggsggggseivltqspgtlslsp geratlscrasqsvrsnylawyqqkpggap rlliygasnratgipdrfsgsgsgtdftlt isrlepedfavyscqyqgisptfgcgtkv eiksggggsevqlvesggglvqpggslkls caasgftfnkyamnvwvrqapkglewvari rskynnyatyyadsvkdrftisrddsknta ylqmnlktedtavyycvrhgnfgnsyisy waywgqgtlvtvssggggsgggsgggsgq tvvtqepsltvspggtvtlctgsstgavts gnypnwvqqkpgqaprgliggtkflapgtp arfgsllggkaaltlsgvqpedeaeeycv lwysnrwvfgggtklvtlvgggdkthtcpp cpapellggpsvflfppkpkdtlmisrtpe vtcvvvdvshedpevkfnwyvdgvevhnak tkpceeegystyrcvsvltvlhqdwlngke ykckvsnkalpapiektiskakgqprepqv ytlppsreemtknqvsltclvkgfypsdiav ewesngqpennykttppvldsdgsfflysk ltvdksrwqqgnvfscsvmhealhnhytq kslslspggggsgggsgggsgggsgggsgg gsggggskthtccppapellggpsvflf ppkpkdtlmisrtpevtcvvvdvshedpev</p>

			<p>kfnwyvdgvevhnaktkpceezygstyrcv svltvlhqdwlngkeykckvsnkalpapie ktiskakgqprepvytlppsreemtknqv sltclvkgfypsdiavewesngqpennykt tppvldsdgsfflyskltvdksrwqqgnvf scsvmhealhnhytqkslslspgk</p>
1221.	CD70_15xCD3 -scFc_delGK	биспецифическая HLE молекула	<p>evqllesggglvqpqgslrlscaasgftfs tyamswvrqapggglewvslisgsggrtyy aevkgrftisrdnskntlylqmnsraed tavyycahdysnpyfydwgggtlvtvss ggggsgggsggggseivltqspgtlslsp geratlscrasqsvrsnylawyqqkpgqap rlliigasnratgipdrfsgsgsgtdftlt isrlepedfavyscqqygispptfgggtkv eiksggggsevqlvesggglvqpqgslkls caasgftfnkyamnvrqapggglewvari rskynnyatyadsvkdrftisrddsknta ylqmnlktdtavyycvrhgnfgnsyisy waywgqgtlvtvssggggsgggsgggsgq tvvtqepsltvspggtvtltcgsstgavts gnypnwvqqkpgqaprgliggtkflapgt arfsgslggkaaltlsgvqpedeaeeycv lwysnrwvfgggtkltvlgggdkthtcpp cpapellggpsvflfppkpkdtlmisrtpe vtcvvvdvshedpevkfnwyvdgvevhnak tkpceezygstyrcvsvltvlhqdwlngke ykckvsnkalpapiektiskakgqprepqv ytlppsreemtknqvsltclvkgfypsdiav ewesngqpennykttppvldsdgsfflysk ltvdksrwqqgnvfscsvmhealhnhytq kslslspgggsgggsgggsgggsgggsggg gsgggsgdkthtcppcpapellggpsvflf ppkpkdtlmisrtpevtcvvvdvshedpev kfnwyvdgvevhnaktkpceezygstyrcv svltvlhqdwlngkeykckvsnkalpapie</p>

			<p>ktiskakgqprepqvylppsreemtknqv sltclvkgfypsdiavewesngqpennykt tppvldsdgsfflyskltvdksrwqqgnvf scsvmhealthhnytqkslslspgk</p>
1222.	<p>CD70_16_CCx CD3- scFc_delGK</p>	<p>биспецифи ческая HLE молекула</p>	<p>evqllesggglvqpggslrlscaasgftfs syamswvrqspgkclewvsaisgsggraqy aevqgrftvsrdnsntlylqmnsraed tavyycahdysnypyfdywgqgtlvtvss ggggsgggsggggseivltqspatlsvsp geratlscrasqsvssnlawyqqkpgqapr llygsssratgipdrfsgsgsgtdftlti srlepedfavyyccqygsspppfgcgtkve iksggggsevqlvesggglvqpggslklsc aasgftfnkyamnvrqapgglewvarir skynnyatyyadvkdrftisrddskntay lqmnlnktedtavyycvrhgnfgnsyisw aywgqgtlvtvssggggsgggsgggsgt vvtqepsltvspggtvtltcgsstgavtsg nypnwvqqkpgqaprgliggtkflapgtpa rfsgslggkaaltlsgvqpedeaeeycvl wysnrwvfgggtklvtlvggggdkthtcppc papellggpsvflfpkpkdtlmisrtpev tcvvdvshedpevkfnwyvdgvevhnakt kpceezygstyrcvsvltvlhqdwlngkey kckvsnkalpapiektiskakgqprepqvyl tlppsreemtknqvsltclvkgfypsdiav ewesngqpennykttppvldsdgsfflysk ltvdksrwqqgnvfscsvmhealthhnytqk slslspggggsgggsgggsgggsgggg sggggskthtcppcpapellggpsvflfp pkpkdtlmisrtpevtcvvdvshedpevk fnwyvdgvevhnaktkpceezygstyrcvs vltvlhqdwlngkeykckvsnkalpapie kiskakgqprepqvylppsreemtknqvs ltclvkgfypsdiavewesngqpennyktt</p>

			ppvldsdsfflyskltvdksrwqqgnvfs csvmhealhnhytqkslspspgk
1223.	CD70_16xCD3 -scFc_delGK	биспецифическая HLE молекула	evqllesggglvqpggsrlscaasgftfs syamswvrqspgkglewvsaisgsggraqy aesvqgrftvsrdnsntlylqmnsraed tavyycahdysnpyfydwgggtlvtvss ggggsgggsggggseivltqspatlsvsp geratlscrasqsvsnlawyqqkpgqapr llygsssratgipdrfsgsgsgtdftlti srlepedfavyyccqygsspppfgggtkve iksggggsevqlvesggglvqpggsklsc aasgftfnkyamnvrqapgkglewvarir skynnyatyyadvkdrftisrddsntay lqmnlktdtavyycvrhgnfgnsyisyw aywgggtlvtvssggggsgggsgggsgt vvtqepsltvspggtvtltcgsstgavtsg nypnwvqqkpgqaprgliggtkflapgtpa rfsgslggkaaltlsgvqpedeaeycvl wysnrwvfgggtklvtlvggggdkthtccpc papellggpsvflfpkpkdtlmisrtpev tcvvdvshedpevkfnwyvdgvevhnakt kpceezygstyrcvsvltvlhqdwlngkey kckvsnkalpapiektiskakgqprepvy tlppsreemtknqvsltclvkgfypsdiav ewesngqpennyktppvldsdsfflysk ltvdksrwqqgnvfscsvmhealhnhytqk slspspgggsgggsgggsgggsgggsggg sggggskthtccpcpapellggpsvflfp pkpkdtlmisrtpevtcvvdvshedpevk fnwyvdgvevhnaktkpceezygstyrcvs vltvlhqdwlngkeykckvsnkalpapie kiskakgqprepvytlppsreemtknqvs ltclvkgfypsdiavewesngqpennykt ppvldsdsfflyskltvdksrwqqgnvfs csvmhealhnhytqkslspspgk

1224.	CD70_17_CCx CD3- scFc_delGK	биспецифическая HLE молекула	evqllesgggmvpqpgslrlscaasgftfs syamswvrqapgkclewvsaisgsggrtfy aesvegrftisrdnskntlylqmnsdraed tavyyctkhdysnpyfydywgqgtltvtvss ggggsgggsgggseivltqspgtlslsp geratlscrasqgvrsdylawyqqkpgqap rlliygassratgipdrfsgsgsgtdftlt isrlepedfavyhccqygstpftgctkv eiksgggsevqlvesggglvqpggslkls caasgftfnkyamnvrqapgkglewvari rskynnyatyyadsvkdrftisrddsknta ylqmnlktdtavyycvrhgnfgnsyisy waywgqgtltvtvssggggsgggsgggsgq tvvtqepsltvspggtvtltcgsstgavts gnypnwvqqkpgqaprgliggtkflapgtp arfgslggkaaltlsgvqpedeaeeycv lwysnrwvfgggtkltvlgggdkthtcpp cpapellggpsvflfppkpkdtlmsrtpe vtcvvvdvshedpevkfnwyvdgvevhnak tkpceeegystyrcvsvltvlhqdwlngke ykckvsnkalspapektiskakgqprepqv ytlppsreemtknqvsltclvkgfypsdi vewesngqpennyktppvldsdgsfflys kltvdksrwqqgnvfscsvmhealthnhytq kslslspggsgggsgggsgggsgggsggg gsgggsgdkthtcppcpapellggpsvflf ppkpkdtlmsrtpevtcvvvdvshedpev kfnwyvdgvevhnaktkpceeegystyrcv svltvlhqdwlngkeykckvsnkalspape ktiskakgqprepqvtytlppsreemtknqv sltclvkgfypsdiavewesngqpennykt tpvldsdgsfflyskltvdksrwqqgnvf scsvmhealthnhytqkslslspgk
1225.	CD70_17xCD3 -scFc_delGK	биспецифическая	evqllesgggmvpqpgslrlscaasgftfs syamswvrqapgkglewvsaisgsggrtfy

		HLE молекула	<p>aesvegrftisrdnskntlylqmnsraed tavyyctkhdysnpyfdywgqgtltvsvs ggggsgggsgggseivltqspgtlslsp geratlscrasqgvrsdylawyqqkpgqap rlliygassratgipdrfsgsgsgtdftlt isrlepedfavyhccqygstpptfgggtkv eiksggggsevqlvesggglvqpggslkls caasgftfnkyamnvrqapgkglewvari rskynnyatyyadsvkdrftisrddsknta ylqmnlktdtavyycvrhgnfgnsyisy waywgqgtltvsvsgggsgggsgggsgq tvvtqepsltvspggtvtltcgsstgavts gnypnwvqqkpgqaprgliggtkflapgtp arfgsllggkaaltlsgvqpedaeeycv lwysnrwvfgggtkltvlgggdkthtcpp cpapellggpsvflfppkpkdtlmisrtpe vtcvvvdvshedpevkfnwyvdgvevhnak tkpceezygstyrcvsvltvlhqdwlngke ykckvsnkalspapektiskakgqprepqv ytlppsreemtknqvsltclvkgfypsdi vewesngqpennyktppvldsdsfflys kltvdksrwqqgnvfscsvmhealhnhytq kslspsggsgggsgggsgggsgggsggg gsgggsgdkthtcppcpapellggpsvflf ppkpkdtlmisrtpevtcvvvdvshedpev kfnwyvdgvevhnaktkpceezygstyrcv svltvlhqdwlngkeykckvsnkalspape ktiskakgqprepqvtytlppsreemtknq sltclvkgfypsdiavewesngqpennykt tppvldsdsfflyskltvdksrwqqgnvf scsvmhealhnhytqkslspsgk</p>
1226.	CD70_18_CCx CD3- scFc_delGK	биспецифи ческая HLE молекула	<p>evqllesggglvqpggslrlscaasgftfs syamswvrqapgkclewvsaiegggytyy aesvkgrftisrdnskntslmnsraed tavyycarhdysnpyfdywgqgtltvsvs</p>

			<p>ggggsgggsgggseivltqspgtlslsp geratlscrasqgvrssyfawyqqkpgqap rlliygastratgiparfsgsgtdftlt isrlepedfavyyccqygsspptfgcgtkv eiksggggsevqlvesggglvqpggslkls caasgftfnkyamnvrqapgkglewvari rskynnyatyadsvkdrftisrddsknta ylqmnlnktdtavyycvrhgnfgnsyisy waywgqgtlvtvssggggsgggsgggsgq tvvtqepsltvspggtvtltcgsstgavts gnypnwvqqkpgqaprgliggtkflapgtp arfsgslggkaaltlsgvqpedeaeeycv lwysnrwvfgggtklvtlvgggdkthtcpp cpapellggpsvflfppkpkdtlmisrtpe vtcvvdvshedpevkfnwyvdgvevhnak tkpceeegystyrcvsvltvlhqdwlngke ykckvsnkalpapiektiskakgqprepqv ytlppsreemtknqvsltclvkgfypsdi vewesngqpennyktppvldsdsffly kltvdksrwqqgnvfscsvmhealhnhtq kslslspggggsgggsgggsgggsgggsgg gsgggsgdkthtcppcpapellggpsvflf ppkpkdtlmisrtpevtcvvdvshedpev kfnwyvdgvevhnaktkpeeegystyrcv svltvlhqdwlngkeykckvsnkalpapie ktiskakgqprepqvtylppsreemtknqv sltclvkgfypsdiavewesngqpennykt tppvldsdsfflyskltvdksrwqqgnvf scsvmhealhnhtqkslslspgk</p>
<p>1227.</p>	<p>CD70_18xCD3 -scFc_delGK</p>	<p>биспецифи ческая HLE молекула</p>	<p>evqllesggglvqpggslrlscaasgftfs syamswvrqapgkglewvsaiegggytyy aesvkgrftisrdnskntslmnsiraed tavyycarhdysnyfydywgqgtlvtvss ggggsgggsgggseivltqspgtlslsp geratlscrasqgvrssyfawyqqkpgqap</p>

			<p>rlliygastratgiparfsgsgsgtdftlt isrlepedfavyyccqygsspptfgqgkv eiksggggsevqlvesggglvqpggslkls caasgftfnkyamnvrqapgkglewvari rskynnyatyyadsvkdrftisrddsanta ylqmnlnktdtavyycvrhgnfgnsyisy waywgqgtlvtvssggggsgggsgggsgq tvvtqepsltvspggtvtltcgsstgavts gnypnwvqqkpgqaprgliggtkflapgtp arfgsllggkaaltlsgvqpedeaeeycv lwysnrwvfgggtklvtlvgggdkthtcpp cpapellggpsvflfppkpkdtlmisrtp vtcvvvdvshedpevkfnwyvdgvevhnak tkpceezygstyrcvsvltvlhqdwlngke ykckvsnkalspapektiskakgqprepqv ytlppsreemtknqvsltclvkgfypsdi vewesngqpennyktppvldsdsfflys kltvdksrwqggnvfscsvmhealhhnytq kslspsggggsgggsgggsgggsgggsgg gsgggsgdkthtcppcpapellggpsvflf ppkpkdtlmisrtpvtcvvvdvshedpev kfnwyvdgvevhnaktkpceezygstyrcv svltvlhqdwlngkeykckvsnkalspape ktiskakgqprepqvtytlppsreemtknq sltclvkgfypsdiavewesngqpennykt tppvldsdsfflyskltvdksrwqggnvf scsvmhealhhnytqkslspsgk</p>
<p>1228.</p>	<p>CD70_19_CCx CD3- scFc_delGK</p>	<p>биспецифи ческая HLE молекула</p>	<p>evqllesgggvvqgrslrlscaasgftfs syamswvrqapgkclewvsaisgsggrtfy aesvegrftisrdnskntlylqmnsraed tavyycahdysnypyfdywgqgtlvtvss ggggsgggsggggseivltqspgtlsisp geratlscrasqsirsnylawyqqkpgqap rlliygassratgipdrfsgsgsgtdftlt isrlepedfavyyccqygssppsfgcgtkv</p>

			<p>eiksggggsevqlvesggglvqpggslkls caasgftfnkyamnvrqapgglewvari rskynnyatyyadsvkdrftisrddsknta ylqmnlnktdtavyycvrhgnfgnsyisy waywgqgtlvtvssgggsgggsgggsgq tvvtqepsltvspggtvtlctgsstgavts gnypnwvqqkpgqaprgliggtkflapgtp arfgsllggkaaltlsgvqpedeaeeycv lwysnrwvfgggtklvtlvgggdkthtcpp cpapellggpsvflfppkpkdtlmisrtpe vtcvvvdvshedpevkfnwyvdgvevhnak tkpceeegystyrcvsvltvlhqdwlngke ykckvsnkalspapektiskakgqprepqv ytlppsreemtknqvsltclvkgfypsdi vewesngqpennyktppvldsdsfflys kltvdksrwqqgnvfscsvmhealhnhtq kslslspgggsgggsgggsgggsggg gsgggsgdkthtcppcpapellggpsvflf ppkpkdtlmisrtpevtcvvvdvshedpev kfnwyvdgvevhnaktkpceeegystyrcv svltvlhqdwlngkeykckvsnkalspape ktiskakgqprepqvtytlppsreemtknqv sltclvkgfypsdiavewesngqpennykt ppvldsdsfflyskltvdksrwqqgnvf scsvmhealhnhtqkslslspgk</p>
<p>1229.</p>	<p>CD70_19xCD3 -scFc_delGK</p>	<p>биспецифи ческая HLE молекула</p>	<p>evqllesgggvvqgrslrlscaasgftfs syamswvrqapgglewvsaisgsggrtfy aesvegrftisrdnskntlylqmnslraed tavyycahdysnpyfydywgqgtlvtvss ggggsgggsggggseivltqspgtlslsp geratlscrasqsirsnylawyqqkpgqap rlliygassratgipdrfsgsgtdftlt isrlepedfavyyccqygssppsfggqtkv eiksggggsevqlvesggglvqpggslkls caasgftfnkyamnvrqapgglewvari</p>

			<p>rskynnyatyyadsvkdrftisrddsanta ylmnlnktdtavyycvrhgnfgnsyisy waywgqgtlvtvssgggsgggsgggsgq tvvtqepsltvspggtvtltcgsstgavts gnypnwvqqkpgqaprgliggtkflapgtp arfsgslggkaaltlsgvqpedeaeeycv lwysnrwvfgggtklvtlvgggdkthtcpp cpapellggpsvflfppkpkdtlmisrtp vtcvvdvshedpevkfnwyvdgvevhnak tkpceezygstyrcvsvltvlhqdwlngke ykckvsnkalpapiektiskakgqprepqv ytlppsreemtknqvsiltclvkgfypsdi vewesngqpennyktppvldsdsfflys kltvdksrwqgnvfscsvmhealhnhytq kslslspgggsgggsgggsgggsgggsgg gsgggsgdkthtcppcpapellggpsvflf ppkpkdtlmisrtpvctcvvdvshedpev kfnwyvdgvevhnaktkpeezygstyrcv svltvlhqdwlngkeykckvsnkalpapie ktiskakgqprepvytlppsreemtknqv siltclvkgfypsdiavewesngqpennykt tppvldsdsfflyskltvdksrwqgnvf scsvmhealhnhytqkslslspgk</p>
<p>1230.</p>	<p>CD70_20_CCx CD3- scFc_delGK</p>	<p>биспецифи ческая HLE молекула</p>	<p>evqllesgggvvqgrslrlscaasgftfs syamswvrqapgkclewvsaisgsggtfy aesvegrftisrdnskntlylmnslraed tavyycarhdysnyfydywglgtlvtvss gggsgggsggggseivltqspgtlslsp geratlscrasqsvrsslawyqqkpgqap rlliygassratgipdrfsgsgtdftlt isrlepedfavyscqygdlpftfgcgtkv eiksggggsevqlvesggglvqpggslkls caasgftfnkyamnvrqapkglewvari rskynnyatyyadsvkdrftisrddsanta ylmnlnktdtavyycvrhgnfgnsyisy</p>

			<p>waywgqgtlvtvssgggsgggsgggsgq tvvtqepsltvspggtvtltcgsstgavts gnypnwvqqkpgqaprgliggtkflapgtp arfgsllggkaaltlsgvqpedeaeeycv lwysnrwvfgggtklvtlvggggdkthtcpp cpapellggpsvflfppkpkdtlmisrtpe vtcvvvdvshedpevkfnwyvdgvevhnak tkpceezygstyrcvsvltvlhqdwlngke ykckvsnkalpapiektiskakgqprepqv ytlppsreemtknqvsltclvkgfypsdi vewesngqpennyktppvldsdsfflys kltvdksrwqqgnvfscsvmhealhnhytq kslslsppggsgggsgggsgggsggg gsgggsgdkthtcppcpapellggpsvflf ppkpkdtlmisrtpevtcvvvdvshedpev kfnwyvdgvevhnaktkpeezygstyrcv svltvlhqdwlngkeykckvsnkalpie ktiskakgqprepvytlppsreemtknqv sltclvkgfypsdiavewesngqpennykt tppvldsdsfflyskltvdksrwqqgnvf scsvmhealhnhytqkslslspgk</p>
<p>1231.</p>	<p>CD70_20xCD3 -scFc_delGK</p>	<p>биспецифи ческая HLE молекула</p>	<p>evqllesgggvvqgrslrlscaasgftfs syamswvrqapgkglewvsaisgsgggtfy aesvegrftisrdnskntlylqmnsraed tavyycarhdysnypyfdywlgltlvtvss ggggsgggsggggseivltqspgtlsisp geratlscrasqsvrsslawyqqkpgqap rlliygassratgipdrfsgsgsgtdftlt isrlepedfavyscqqygdlpftfgpgtkv eiksggggsevqlvesggglvqpggslkls caasgftfnkyamnvrqapgkglewvari rskynnyatyyadsvkdrftisrddsknta ylqmnlktdtavyycvrhgnfgnsyisy waywgqgtlvtvssgggsgggsgggsgq tvvtqepsltvspggtvtltcgsstgavts</p>

			<p>gnypnwvqqkpgqaprgliggtkflapgtp arfgsllggkaaltlsgvqpedeaeeycv lwysnrwvfgggtklvtlvgggdkthtcpp cpapellggpsvflfppkpkdtlmisrtp vtcvvvdvshedpevkfnwyvdgvevhnak tkpceezygstyrcvsvltvlhqdwlngke ykckvsnkalspapektiskakgqprepqv ytlppsreemtknqvsltclvkgfypsdi vewesngqpennyktppvldsdsffly kltvdkrswqgnvfscsvmhealhhhtq kslspsggggsgggsgggsgggsggg gsgggsgdkthtcppcpapellggpsvflf ppkpkdtlmisrtpvtcvvvdvshedpev kfnwyvdgvevhnaktkpceezygstyrcv svltvlhqdwlngkeykckvsnkalspape ktiskakgqprepqvytlppsreemtknqv sltclvkgfypsdiavewesngqpennykt ppvldsdsfflyskltvdkrswqgnvf scsvmhealhhhtqkslspsgk</p>
<p>1232.</p>	<p>CD70_21_CCx CD3- scFc_delGK</p>	<p>биспецифи ческая HLE молекула</p>	<p>evqllesggmvqpggsrlscaasgftfs syamswvrqapgkclewvsaisgsggrtfy aesvegrftisrdnskntlylqmnsraed tavyyctkhdysnpyfdywgqgtlvtvss ggggsgggsggggseivltqspgtlslsp geratlsctasqsvrsslawyqqkpgqap rlliygassratgipdrfsgsgtdftlt isrlepedfavyyccqygdlpftfgcgtkv diksgggsevqlvesggglvqpggslkls caasgftfnkyamnwwrqapgkglewari rskynnyatyyadsvkdrftisrddsanta ylqmnlktdtavyycvrhgnfgnsyisy waywgqgtlvtvssggggsgggsgggsgq tvvtqepsltvspggtvtlctgsstgavts gnypnwvqqkpgqaprgliggtkflapgtp arfgsllggkaaltlsgvqpedeaeeycv</p>

			<p>lwysnrwvfgggtklvtlvgggdkthtcpp cpapellggpsvflfppkpkdtlmisrtpe vtcvvvdvshedpevkfnwyvdgvevhnak tkpceezygstyrcvsvltvlhqdwlngke ykckvsnkalpapiektiskakgqprepqv ytlppsreemtknqvsltclvkgfypsdiav vewesngqpennyktppvldsdsfflysk kltdvksrwqggnvfscsvmhealhnhytq kslspslpgggsgggsgggsgggsgggsgg gsgggsgdkthtcppcpapellggpsvflf ppkpkdtlmisrtpevtcvvvdvshedpev kfnwyvdgvevhnaktkpceezygstyrcv svltvlhqdwlngkeykckvsnkalpapie ktiskakgqprepqvtylppsreemtknqv sltclvkgfypsdiavewesngqpennykt ppvldsdsfflyskltdvksrwqggnvf scsvmhealhnhytqkslspsgk</p>
<p>1233.</p>	<p>CD70_21xCD3 -scFc_delGK</p>	<p>биспецифи ческая HLE молекула</p>	<p>evqllesgggmvpqggsrlrlscaasgftfs syamswvrqapgkglewvsaisgsggrtfy aesvegrftisrdnskntlylqmnsraed tavyyctkhdysnpyfdywgqgtlvtvss ggggsgggsggggseivltqspgtlslsp geratlscrasqsvrsslawyqqkpgqap rlliygassratgipdrfsgsgsgtdftlt isrlepedfavyyccqygdlpftfgpgtkv diksggggsevqlvesggglvqpggslkls caasgftfnkyamnvwvrqapgkglewvari rskynnyatyyadsvkdrftisrddsanta ylqmnlktdtavyycvrhgnfgnsyisy waywgqgtlvtvssggggsgggsgggsgq tvvtqepsltvspggtvtltcgsstgavts gnypnwvqqkpgqaprgliggtkflapgtp arfgsllggkaaltlsgvqpedeaeeycv lwysnrwvfgggtklvtlvgggdkthtcpp cpapellggpsvflfppkpkdtlmisrtpe</p>

			<p>vtcvvvdvshedpevkfnwyvdgvevhnak tkpceezygstyrcvsvltvlhqdwlngke ykckvsnkalpapiektiskakgqprepqv ytlppsreemtknqvsltclvkgfypsdi vewesngqpennyktppvldsdsfflys kltvdksrwqggnvfscsvmhealhnhytq kslsislpgggsgggsgggsgggsgggsggg gsgggsgdkthtcppcpapellggpsvflf ppkpkdtlmsirtpevtcvvvdvshedpev kfnwyvdgvevhnaktkpceezygstyrcv svltvlhqdwlngkeykckvsnkalpapie ktiskakgqprepqvtytlppsreemtknqv sltclvkgfypsdiavewesngqpennykt tppvldsdsfflyskltvdksrwqggnvf scsvmhealhnhytqkslsislpgk</p>
<p>1234.</p>	<p>CD70_22_CCx CD3- scFc_delGK</p>	<p>биспецифи ческая HLE молекула</p>	<p>evqllesggglvqpggslrlscaasgftfs tyamswvrqapgkclewvslisgsggrtyy aevkgrftisrdnskntlylqmnsraed tavyycahdysnpyfydywgqgtlvtvss ggggsgggsgggseivltqspgtlslsp geratlscrasqgvrssylawyqqkpgqap rlliygassratgipdrfsgsgsgtdftlt inrlepedfavyyccqygspsptfgcgtkv diksggggsevqlvesggglvqpggslkls caasgftfnkyamnwwrqapkglewvari rskynnyatyadsvkdrftisrddsknta ylqmnlktdtavyycvrhgnfgnsyisy waywgqgtlvtvssggggsgggsgggsgq tvvtqepsltvspggtvtltcgsstgavts gnypnwvqqkpgqaprgliggtkflapgtp arfgsllggkaaltlsgvqpedaeaycv lwysnrwvfgggtklvtlvgggdkthtcpp cpapellggpsvflfppkpkdtlmsirtpe vtcvvvdvshedpevkfnwyvdgvevhnak tkpceezygstyrcvsvltvlhqdwlngke</p>

		<p>ykckvsnkalspapiektiskakgqpprepqv ytlppsreemtknqvsltclvkgfypsdi vewesngqpennykttpvldsdsfflys kltvdksrwqqgnvfscsvmhealhnhytq kslslspggggsgggsgggsgggsggg gsgggsgdkthtcpppapellggpsvflf ppkpkdtlmisrtpevtcvvvdvshedpev kfnwyvdgvevhnaktkpceezygstyrcv svltvlhqdwlngkeykckvsnkalspapie ktiskakgqpprepqvtytlppsreemtknqv sltclvkgfypsdiavewesngqpennyk tppvldsdsfflyskltvdksrwqqgnvf scsvmhealhnhytqkslslspgk</p>
<p>1235.</p>	<p>CD70_22xCD3 -scFc_delGK</p>	<p>биспецифи ческая HLE молекула</p> <p>evqllesggglvqpggsrlrlscaasgftfs tyamswvrqapgkglewvslisgsggrtyy aevkgrftisrdnskntlylqmnsraed tavyycahdysnypyfdywgqgtlvtvss gggsgggsggggseivltqspgtlslsp geratlsctasqgvrssylawyqqkpgqap rlliygassratgipdrfsgsgsgtdftlt inrlepedfavyyccqygsspftfgggtkv diksggggsevqlvesggglvqpggskls caasgftfnkyamnwwvrqapgkglewvari rskynnyatyyadsvkdrftisrddsknta ylqmnlktdtavyycvrhgnfgnsyisy waywgqgtlvtvssggggsgggsgggsgq tvvtqepsltvspggtvtltcgsstgavts gnypnwwqqkpgqaprgliggtkflapgt arfsgsllggkaaltlsgvqpdeaeeycv lwysnrwvfgggtkltvlgggdkthtcpp cpapellggpsvflfppkpkdtlmisrtpe vtcvvdvshedpevkfnwyvdgvevhnak tkpceezygstyrcvsvltvlhqdwlngke ykckvsnkalspapiektiskakgqpprepqv ytlppsreemtknqvsltclvkgfypsdi</p>

			<p>vewesngqpennykttppvldsdsfflys kltvdksrwqqgnvfscsvmhealhnhytq kslspspgggsgggsgggsgggsggg gsgggsgdkthtppcpapellggpsvflf ppkpkdtlmsrtpevtcvvvdvshedpev kfnwyvdgvevhnaktkpcceeqgstyrcv svltvlhqdwlngkeykckvsnkalspapie ktiskakgqprepvytlppsreemtknqv sltclvkgfypsdiavewesngqpennykt tppvldsdsfflyskltvdksrwqqgnvf scsvmhealhnhytqkslspspgk</p>
1236.	<p>CD70_23_CCx CD3- scFc_delGK</p>	<p>биспецифи ческая HLE молекула</p>	<p>evqllesgggvvqgrslrlscaasgftfs syamswvrqapgkclewvsaisgsggrtfy aesvegrftisrdnskntlylqmnsraed tavyycahdysnpyfydywgqgtlvtvss ggggsgggsgggseivltqspgtlsps geratlscrasqsvrsnylawyqqkpgqap rlliygassratgipdrfsgsgsgtdftlt inrlepedfavyyccqygspsptfgcgtkv diksgggsevqlvesggglvqpggslkls caasgftfnkyamnvwvrqapgkglewvari rskynnyatyyadsvkdrftisrddsanta ylqmnlktdtavyycvrhgnfgnsyisy waywgqgtlvtvssggggsgggsgggsgq tvvtqepsltvspggtvtltcgsstgavts gnypnwvqqkpgqaprgliggtkflapgtp arfgsllggkaaltlsgvqpedeaeyycv lwysnrwvfgggtkltvlgggdkthtpp cpapellggpsvflfppkpkdtlmsrtpe vtcvvvdvshedpevkfnwyvdgvevhnak tkpceeqgstyrcvsvltvlhqdwlngke ykckvsnkalspapiektiskakgqprepqv ytlppsreemtknqvsltclvkgfypsdiav ewesngqpennykttppvldsdsfflys kltvdksrwqqgnvfscsvmhealhnhytq</p>

			kslslsppggggsgggsgggsgggsgggsggg gsggggsdkthtcppcpapellggpsvflf ppkpkdtlmsrtpevtcvvvdvshedpev kfnwyvdgvevhnaktkpceeegstycv svltvlhqdwlngkeykckvsnkalpapie ktiskakgqprepvytlppsreemtknqv sltclvkgfypsdiavewesngqpennykt tppvldsdsfflyskltvdksrwqqgnvf scsvmhealhnhytqkslslspgk
1237.	CD70_23xCD3 -scFc_delGK	биспецифи ческая HLE молекула	evqllesgggvvqgrslrlscaasgftfs syamswvrqapgkglewvsaisgsggrtfy aesvegrftisrdnsntlylqmnsraed tavyycahdysnpyfydywgqgtlvtvss ggggsgggsgggseivltqspgtlslsp geratlscrasqsvrsnylawyqqkpgqap rlliygassratgipdrfsgsgsgtdftlt inrlepedfavyyccqygspsptfgggtkv diksggggsevqlvesggglvqpggslkls caasgftfnkyamnvrqapgkglewvari rskynnyatyadsvkdrtisrddsanta ylqmnlktdtavyycvrhgnfgnsyisy waywgqgtlvtvssggggsgggsgggsgq tvvtqepsltvspggtvtltcgsstgavts gnypnwvqqkpgqaprgliggtkflapgtp arfgsllggkaaltlsgvqpedeaeeycv lwysnrwvfgggtkltvlgggdkthtcpp cpapellggpsvflfppkpkdtlmsrtpe vtcvvvdvshedpevkfnwyvdgvevhnak tkpceeegstycvsvltvlhqdwlngke ykckvsnkalpapiektiskakgqprepqv ytlppsreemtknqvsltclvkgfypsdiav ewesngqpennykttppvldsdsfflysk ltvdksrwqqgnvfscsvmhealhnhytq kslslsppggggsgggsgggsgggsgggsggg gsggggsdkthtcppcpapellggpsvflf

			<p>ppkpktlmsrtpevtcvvvdvshedpev kfnwyvdgvevhnaktkpceeeygstyrcv svltvlhqdwlngkeykckvsnkalpapie ktiskakgqprepvytlppsreemtknqv sltclvkgfypsdiavewesngqpennykt tppvldsdgsfflyskltvdksrwqgnvf scsvmhealhhnytqkslsispgk</p>
1238.	<p>CD70_24_CCx CD3- scFc_delGK</p>	<p>биспецифи ческая HLE молекула</p>	<p>evqllesggglvqpggslrlscaasgftfs syamswvrqapgkclewvsvisgsggitdf aesvkgrftisrdnsrntlylqmnsraed tavyfcarhdysnyfffdywgqgtlvtvss ggggsgggsggggsdiqmtqspsslsasv gdrvtitcrasqgisnylawyqqkpgkvpk lliyaasilqsgvpskfsqsgsgtdftlti sslqpedfaiyycqyfyaypitfgcgrle iksggggsevqlvesggglvqpggslklsc aasgftfnkyamnvrqapgkglewvarir skynnyatyyadvkdrftisrddskntay lqmnlnktedtavyycvrhgnfgnsyisyw aywgqgtlvtvssggggsgggsgggsgqt vvtqepsltvspggtvtltcgsstgavtsg nypnwvqqkpgqaprgliggtkflapgtpa rfsgsllggkaaltlsgvqpedaeaycyl wysnrwvfgggtklvtlvgggdkthtcppc papellggpsvflfpkpktlmsrtpev tcvvdvshedpevkfnwyvdgvevhnakt kpceeeygstyrcvsvltvlhqdwlngkey kckvsnkalpapiektiskakgqprepvy tlppsreemtknqvsltclvkgfypsdiav ewesngqpennykttppvldsdgsfflysk ltvdksrwqgnvfscsvmhealhhnytqk sllspsggggsgggsgggsgggsgggsggg sgggsgdkthtcppcpapellggpsvflfp pkpktlmsrtpevtcvvvdvshedpevk fnwyvdgvevhnaktkpceeeygstyrcvs</p>

			ltclvkgfypsdiavewesngqpennyktt ppvldsdsfflyskltvdksrwqqgnvfs csvmhealhhnytqkslsispkgk
1240.	CD70_25_CCx CD3- scFc_delGK	биспецифи ческая HLE молекула	evqllesgggmvpqpgslrlscaasgftfs syamswvrqapgkclewvsaisgsggrtfy aesvegrftisrdnskntlylqmnsraed tavyycahdysnpyfydywgqgtlvtvss ggggsgggsgggseivltqspgtlslsp geratlscrasqsvrsslawyqqkpgqap rlliygassratgipdrfsgsgsgtdftlt isrlepedfavyfcqqygsppptfgcgrl eiksggggsevqlvesggglvqpggskls caasgftfnkyamnwwrqapgglewvari rskynnyatyyadsvkdrftisrddsknta ylqmnnlktedtavyycvrhgnfgnsyisy waywgqgtlvtvssggggsgggsgggsgq tvvtqepsltvspggtvtltcgsstgavts gnyrnwvqqkpgqaprgliggtkflapgtp arfgsllggkaaltlsgvqpedeaeeycv lwysnrwvfgggtklvtlvgggdkthtcpp cpapellggpsvflfppkpkdtlmisrtpe vtcvvvdvshedpevkfnwyvdgvevhnak tkpceezygstyrcvsvltvlhqdwlngke ykckvsnkalspapiektiskakgqprepqv ytlppsreemtknqvsltclvkgfypsdi vewesngqpennykttppvldsdsffly skltvdksrwqqgnvfscsvmhealhhnytq kslsispggggsgggsgggsgggsggg gsgggsgdkthtcppcpapellggpsvflf ppkpkdtlmisrtpevtcvvvdvshedpev kfnwyvdgvevhnaktkpceezygstyrcv svltvlhqdwlngkeykckvsnkalspapie ktiskakgqprepqvtytlppsreemtknqv sltclvkgfypsdiavewesngqpennykt tppvldsdsfflyskltvdksrwqqgnvf

			scsvmhealhnhytqkslsispkg
1241.	CD70_25xCD3 -scFc_delGK	биспецифическая HLE молекула	evqllesgggmvpqpggslrlscaasgftfs syamswvrqapgkglewvsaisgsggrtfy aesvegrftisrdnskntlylqmnsiraed tavyycahdysnpyfydywgqgtlvtvss ggggsgggsgggseivltqspgtlslsp geratlscrasqsvrsslwavyqqkpgqap rlliygassratgipdrfsgsgsgtdftlt isrlepedfavyfcqqygspsptfgggrtl eiksggggsevqlvesggglvqpggslkls caasgftfnkyamnvrqapgkglewvari rskynnyatyadsvkdrftisrddsknta ylqmnlktdtavyycvrhgnfgnsyisy waywgqgtlvtvssggggsgggsgggsgq tvvtqepsltvspggtvtltcgsstgavts gnyprnwvqqkpgqaprgliggtkflapgtp arfgslggkaaltlsgvpedeaeayycv lwysnrwvfgggtklvtlvgggdkthtcpp cpapellggpsvflfppkpkdtlmsrtpe vtcvvdvshedpevkfnwyvdgvevhnak tkpceezygstyrcvsvltvlhqdwlngke ykckvsnkalpapiektiskakgqprepqv ytlppsreemtknqvsltclvkgfypsdi vewesngqpennyktppvldsdsffly kltvdksrwqqgnvfscsvmhealhnhytq kslsispggggsgggsgggsgggsggg gsggggsdkthtcppcpapellggpsvflf ppkpkdtlmsrtpevtcvvdvshedpev kfnwyvdgvevhnaktkpeezygstyrcv svltvlhqdwlngkeykckvsnkalpapie ktiskakgqprepqvtylppsreemtknqv sltclvkgfypsdiavewesngqpennykt ppvldsdsfflyskltvdksrwqqgnvf scsvmhealhnhytqkslsispkg
1242.	CD70_26_CCx	биспецифи	evqllesggglvqpggslrlscaasgftfs

	CD3- scFc_delGK	чешская HLE молекула	iyamswvrqapgkclewvsaiaggsggstfy aesvkgrftisrdnskntlylqmnsltraed tavyycahdysnpyfydywgggtlvtvss ggggsgggsggggseivltqspgtlslsp geratlscrasqsvrssyvawyqqkpgqap rlliygassratgipdrfsgsgsgtdftlt isrlepedfavyyccqygdlpftfgcgtrl eiksggggsevqlvesggglvqpggslkls caasgftfnkyamnvrqapgkglewvari rskynnyatyyadsvkdrftisrddsknta ylqmnlktdtavyycvrhgnfgnsyisy waywgggtlvtvssggggsgggsgggsgq tvvtqepsltvspggtvtltcgsstgavts gnypnwvqqkpgqaprgliggtkflapgtp arfgsllggkaaltlsgvqpedeaeeycv lwysnrwvfgggtklvtlvggggdkthtcpp cpapellggpsvflfppkpkdtlmisrtpe vtcvvvdvshedpevkfnwyvdgvevhnak tkpceeqqgstyrcvsvltvlhqdwlngke ykckvsnkalpapiektiskakgpprepqv ytlppsreemtknqvsltclvkgfypsdi vewesngqpennyktppvldsdsffly kltdksrwqqgnvfscsvmhealhhnytq kslsislpgggsgggsgggsgggsgggsgg gsgggsgdkthtcppcpapellggpsvflf ppkpkdtlmisrtpevtcvvvdvshedpev kfnwyvdgvevhnaktkpeeqqgstyrcv svltvlhqdwlngkeykckvsnkalpapie ktiskakgpprepqvtytlppsreemtknq sltclvkgfypsdiavewesngqpennykt tppvldsdsfflyskltdksrwqqgnvf scsvmhealhhnytqkslsislpgk
1243.	CD70_26xCD3 -scFc_delGK	биспецифи чешская HLE	evqllesggglvqpggslrlscaasgftfs iyamswvrqapgkglewvsaiaggsggstfy aesvkgrftisrdnskntlylqmnsltraed

		молекула	tavyycakhdysnpyfydywgqgtlvtvss ggggsgggsggggseivltqspgtlslsp geratlscrasqsvrissyvawyqqkpggap rlliygassratgipdrfsgsgsgtdftlt isrlepedfavyyccqygdlpftfgpgtrl eiksggggsevqlvesggglvqpggslkls caasgftfnkyamnvwraqpgkglewvari rskynnyatyyadsvkdrftisrddsknta ylqmnlnktdtavyycvrhgnfgnsyisy waywgqgtlvtvssggggsgggsgggsgq tvvtqepsltvspggtvtlctgsstgavts gnypnwvqqkpggaprgliggtkflapgtp arfgsllggkaaltlsgvqpedeaeeycv lwysnrwvfgggtklvtlvgggdkthtcpp cpapellggpsvflfppkpkdtlmisrtpe vtcvvvdvshedpevkfnwyvdgvevhnak tkpceezygstyrcvsvltvlhqdwlngke ykckvsnkalspapektiskakgqprepqv ytlppsreemtknqvsltclvkgfypsdia vewesngqpennyktppvldsdsffly kltvdksrwqggnvfscsvmhealhnhytq kslslspggggsgggsgggsgggsggg gsgggsgdkthtcppcpapellggpsvflf ppkpkdtlmisrtpevtcvvvdvshedpev kfnwyvdgvevhnaktkpceezygstyrcv svltvlhqdwlngkeykckvsnkalspape ktiskakgqprepqvtytlppsreemtknq sltclvkgfypsdiavewesngqpennykt ppvldsdsfflyskltvdksrwqggnvf scsvmhealhnhytqkslslspgk
1244.	CD70_27_CCx CD3- scFc_delGK	биспецифи ческая НЛЕ молекула	qvqlqesgpglvkpsqtlsltctvsggsis sssyywgwirppgkclewigsiyhsggty fnpslksrvtisvdtksnqfslklssvtaa dtavyycarhyeiltgyypdvfdiwgggtm vtvssggggsgggsgggsgggsgdiqmtqspss

			<p>lsasvgdrvtitcrasqsissylnwyqqkp gkapklliyaasnlgsgvssrfsfgsgsgtd ftltisslqpedfatyyccqqsfsprtfgc gtkveiksggggseqlvesggglvqpggs lklscasgftfnkyamnwvrqapgglew varirskynnyatyyadsvkdrftisrdds kntaylqmnlnktdtavyycvrhgnfgns yisywaywgggtlvtvssggggsgggsgg ggsqvtvtqepsltvspggtvtltcgsstg avtsgnypnwvqqkpgqaprgliggtkfla pgtparfsgsllggkaaltlsgvqpedeae yycvlwysnrwvfgggtklvtlvgggdkth tcppcpapellggpsvflfppkpkdtlmis rtpevtcvvvdvshedpevkfnwyvdgvev hnaktkpceezygstyrcvsvltvlhqdl ngkeykckvsnkalspapiektiskakgqpr epqvylppsreemtknqvsltclvkgfyp sdiavewesngqpennykttppvldsdfs flyskltvdksrwqgnvfscsvmhealhn hytqkslslspggggsgggsgggsgggg sgggsgggsgdkthtcppcpapellggps vflfppkpkdtlmisrtpevtcvvvdvshe dpevkfnwyvdgvevhnaktkpceezygst yrcvsvltvlhqdlngkeykckvsnkalsp apiektiskakgqprepvylppsreemt knqvsltclvkgfypsdiavewesngqpen nykttppvldsdfsfflyskltvdksrwq gnvfscsvmhealhnhytqkslslspgk</p>
<p>1245.</p>	<p>CD70_27xCD3 -scFc_delGK</p>	<p>биспецифи ческая HLE молекула</p>	<p>qvqlqesgpglvkpsqtlsltctvsgggis sssywqwirqppgkglewigsyhsqgty fnpslksrvtisvdtsknqfslkssvtaa dtavyycarhyeiltgyypdvfdiwggqtm vtvssggggsgggsgggsgggsgggsggg lsasvgdrvtitcrasqsissylnwyqqkp gkapklliyaasnlgsgvssrfsfgsgsgtd</p>

			<p>ftltisslqpedfatyycqqsfsprtfgq gtkveiksggggsevqlvesggglvqpggs lklscaasgftfnkyamnwwvrqapgkglew varirskynnyatyyadsvkdrftisrdds kntaylqmnlnktdtavyycvrhgnfgns yisywaywqggtlvtvssggggsgggsgg ggsqvtvtqepsltvspggtvtltcgsstg avtsgnypnwvqqkpgqaprgliggtkfla pgtparfsgsllggkaaltlsgvqpedeae yycvlwysnrwvfgggtklvtlvgggdkth tcppcpapellggpsvflfppkpkdtlms rtpevtcvvvdvshedpevkfnwyvdgvev hnaktkpceeogygstyrcvsvltvlhqdl ngkeykckvsnkalpapiektiskakgqpr epqvylppsreemtknqvsltclvkgyfyp sdiavewesngqpennykttpvldsdfs flyskltvdksrwqggnvfscsvmhealhn hytqkslslspggggsgggsgggsgggg sggggsgggsgdkthtcppcpapellggps vflfppkpkdtlmsrtpevtcvvvdvshe dpevkfnwyvdgvevhnaktkpceeogygst yrcvsvltvlhqdlngkeykckvsnkalp apiektiskakgqprepqvylppsreemt knqvsltclvkgyfypsdiavewesngqpen nykttpvldsdfsfflyskltvdksrwqq gnvfscsvmhealhnhytqkslslspgk</p>
<p>1246.</p>	<p>CD70_28_CCx CD3- scFc_delGK</p>	<p>биспецифи ческая HLE молекула</p>	<p>evqlvesggglvkpggslrlscaasgftfs sysmnwwrqapgkclewvsyisssgyiyy aesvkgrftisrdnaknsllylqmnsraed aavyycsrgdysnyayfdywggtlvtvss gggsgggsgggsgggsdiqmtqspsslsasv gdrvtitcrasqgisnylawyqqkpgkvpk lliyaastlqsgvpsrfsqsgsgtdftlti sslqaedvavyycqyystpltfgcgkve iksggggsevqlvesggglvqpggslklsc</p>

			<p>aasgftfnkyamnvrqapgkglewvarir skynnyatyyadsvkdrftisrddskntay lqmnlnktdtavyycvrhgnfgnsyisyw aywgggtlvtvssgggsgggsgggsggt vvtqepsiltvspggtvtltcgsstgavtsg nypnwvqqkpgqaprgliggtkflapgtpa rfsgslggkaaltlsgvqpedaeeycvl wysnrwvfgggtklvtlvgggdkthtcppc papellggpsvflfppkpkdtlmisrtpev tcvvdvshedpevkfnwyvdgvevhnakt kpceezygstyrcvsvltvlhqdwlngkey kckvsnkalpapiektiskakgqprepvy tlppsreemtknqvsltclvkgfypsdiav ewesngqpennyktppvldsdsfflysk ltvdksrwqqgnvfscsvmhealhnhytqk slslspgggsgggsgggsgggsgggsggg sgggsgdkthtcppcpapellggpsvflfp pkpkdtlmisrtpevtcvvdvshedpevk fnwyvdgvevhnaktkpceezygstyrcvs vltvlhqdwlngkeykckvsnkalpapie tiskakgqprepvytlppsreemtknqvs ltclvkgfypsdiavewesngqpennykt ppvldsdsfflyskltvdksrwqqgnvfs csmhealhnhytqkslslspgk</p>
1247.	CD70_28xCD3 -scFc_delGK	биспецифическая HLE молекула	<p>evqlvesggglvkpggslrlscaasgftfs sysmnvrqapgkglewvsyisssgyiyy aevkgrftisrdnaknsllylqmnsraed aavyycsrgdysnyayfdywgggtlvtvss ggggsgggsgggsgggsgggsgggsggg gdrvtitcrasqgisnylawyqqkpgkvpk lliyaastlqsgvpsrfsqsgsgtdftlti sslqaedvavyycqyyystpltfgggtkve iksggggsevqlvesggglvqpggslklsc aasgftfnkyamnvrqapgkglewvarir skynnyatyyadsvkdrftisrddskntay</p>

			<p>lqmnlnktdtavyycvrhgnfgnsyisyw aywgqgtlvtvssgggsgggsgggsgqt vvtqepsiltvspggtvtltcgsstgavtsg nypnwvqqkpgqaprgliggtkflapgtpa rfsgsllggkaaltlsgvqpedeaeyycvl wysnrwvfgggkltvlgggdkthtcppc papellggpsvflfppkpkdtlmisrtpev tcvvvdvshedpevkfnwyvdgvevhnakt kpceezygstyrcvsvltvlhqdwlngkey kckvsnkalpapiektiskakgqprepvy tlppsreemtknqvsltclvkgfypsdiav ewesngqpennyktppvldsdsfflysk ltvdksrwqgnvfscsvmhealhhnytqk slslspgggsgggsgggsgggsgggsggg sgggsgdkthtcppcpapellggpsvflfp pkpkdtlmisrtpevtcvvvdvshedpevk fnwyvdgvevhnaktkpceezygstyrcvs vltvlhqdwlngkeykckvsnkalpapie tiskakgqprepvytlppsreemtknqvs ltclvkgfypsdiavewesngqpennykt ppvldsdsfflyskltvdksrwqgnvfsc svmhealhhnytqkslslspgk</p>
<p>1248.</p>	<p>CD70_29_CCx CD3- scFc_delGK</p>	<p>биспецифи ческая HLE молекула</p>	<p>evqllesggglvqpggslrlscaasgftfs vyamswvrqapgkclewvstisgsggstfy aesvkgrftisrdnskntlylqmnrlraed tavyycarhdysnyayfdywgqgtlvtvss ggggsgggsggggseivltqspgtlslsp geratlscrasqsvrsslawayqqkpgqap rlliygassratgipdrfsgsgsgtdftlt isrlepedfavyyccqygdlpftfgcgtkv eiksgggsevqlvesggglvqpggslkls caasgftfnkyamnvrqapgkglewvari rskynnyatyyadsvkdrftisrddsknta ylqmnlnktdtavyycvrhgnfgnsyisy waywgqgtlvtvssgggsgggsgggsgq</p>

		<p>tvvtqepsltvspggtvtltcgsstgavts gnypnwvqqkpgqaprgliggtkflapgtp arfgsllggkaaltlsgvqpedeaeeycv lwysnrwvfgggtkltvlgggdkthtcpp cpapellggpsvflfppkpkdtlmisrtpe vtcvvvdvshedpevkfnwyvdgvevhnak tkpceeeygstyrcvsvltvlhqdwlngke ykckvsnkalpapiektiskakgqprepqv ytlppsreemtknqvsltclvkgfypsdi vewesngqpennyktppvldsdsfflys kltvdksrwqggnvfscsvmhealhnhytq kslslsppggggsgggsgggsgggsggg gsgggsgdkthtcppcpapellggpsvflf ppkpkdtlmisrtpevtcvvvdvshedpev kfnwyvdgvevhnaktkpceeeygstyrcv svltvlhqdwlngkeykckvsnkalpapie ktiskakgqprepvytlppsreemtknqv sltclvkgfypsdiavewesngqpennykt tppvldsdsfflyskltvdksrwqggnvf scsvmhealhnhytqkslslspgk</p>
<p>1249.</p>	<p>CD70_29xCD3 -scFc_delGK</p>	<p>биспецифическая HLE молекула</p> <p>evqllesggglvqpggslrlscaasgftfs vyamswvrqapgkglewvstisgsggstfy aevkgrftisrdnskntlylqmnrlraed tavyycarhdysnyayfdywqggtlvtvss ggggsgggsggggseivltqspgtlsisp geratlscrasqsvrsslawyqqkpgqap rlliygassratgipdrfsgsgsgtdftlt isrlepedfavyyccqygdlpftfgpgtkv eiksggggsevqlvesggglvqpggslkls caasgftfnkyamnwwrqapgkglewvari rskynnyatyyadsvkdrftisrddsknta ylqmnlktedtavyycvrhgnfgnsyisy waywggtlvtvssggggsgggsgggsgq tvvtqepsltvspggtvtltcgsstgavts gnypnwvqqkpgqaprgliggtkflapgtp</p>

			<p>arfsgsllggkaaltlsgvqpedeaeeycv lwysnrwvfgggtklvtlvgggdkthtcpp cpapellggpsvflfpkpkdtlmisrtpe vtcvvdvshedpevkfnwyvdgvevhnak tkpceeaygstyrcvsvltvlhqdwlngke ykckvsnkalpapiektiskakgpprepqv ytlppsreemtknqvsiltclvkgfypsdi vewesngqpennyktppvldsdsfflys kltvdksrwqqgnvfscsvmhealhnhtq kslsispvgggsgggsgggsgggsggg gsgggsgdkthtcppcpapellggpsvflf ppkpkdtlmisrtpevtcvvdvshedpev kfnwyvdgvevhnaktkpeeaygstyrcv svltvlhqdwlngkeykckvsnkalpie ktiskakgpprepqvtytlppsreemtknq siltclvkgfypsdiavewesngqpennykt tppvldsdsfflyskltvdksrwqqgnvf scsvmhealhnhtqkslsispkg</p>
1250.	<p>CD70_30_CCx CD3- scFc_delGK</p>	<p>биспецифи ческая HLE молекула</p>	<p>qvqlvesgggvvqpgrslrlscaasgfmfs sygmhwvrqapgkclewvavisyegsnkyy aevkgrftisrdnskntlylqmnsraed tavyycargryygsngynhgmdivwgqgtv tvssggggsgggsgggsgggdiqmtqspssl sasvgdrvtitcrasqsissylnwyqqkpg kapklliyaasslqsgvpsrfsgrgsqtdf tltisslqpedfatyyccqsytpftfgcg tkveiksggggsevqlvesggglvqpggsl klscaasgftfnkyamnwrqapgkglewv arirskynnyatyadsvkdrftisrddsk ntaylqmnnlktedtavyycvrhgnfgnsy isywaywgqgtlvtvssggggsgggsggg gsqvtvtqepsiltvspggtvtltcgsstga vtsgnypnwvqqkpgqaprgliggtkflap gtparfsgsllggkaaltlsgvqpedeaeey ycvlwysnrwvfgggtklvtlvgggdktht</p>

			<p> cppcpapellggpsvflfppkpkdtlmisr tpevtcvvvdvshedpevkfnwyvdgvevh naktkpceezygstyrcvsvltvlhqdwln gkeykckvsnkalpapiektiskakggpre pqvytlppsreemtknqvsltclvkgfyps diavewesngqpennykttppvldsdsff lyskltvdksrwqqgnvfscsvmhealnhh ytqkslslspggggsgggsgggsgggsg gggsgggsgdkthtcppcpapellggpsv flfppkpkdtlmisrtpevtcvvvdvshed pevkfnwyvdgvevhnaktkpceezygsty rcvsvltvlhqdwlngkeykckvsnkalpa piektiskakggprepqvytlppsreemtk nqvsltclvkgfypsdiavewesngqpenn ykttppvldsdsfflyskltvdksrwqqg nvfscsvmhealnhhytqkslslspgk </p>
<p>1251.</p>	<p>CD70_30xCD3 -scFc_delGK</p>	<p> биспецифи ческая HLE молекула </p>	<p> qvqlvesgggvqpgrslrlscaasgfmfs sygmhwrqapgkglewvavisyegsnkyy aevkgrftisrdnskntlylqmnsraed tavyycargryygsnynhgmdvwgqgttv tvssggggsgggsgggsgdiqmtqspssl sasvgdrvtitcrasqsissylnwyqqkpg kapklliyaasslqsgvpsrfsgrgsqtdf tltisslqpedfatyyccqqsystpftfgpg tkveiksggggsevqlvesggglvqpggsl klscaasgftfnkyamnvrqapgkglewv arirskynnyatyadsvkdrftisrddsk ntaylqmnnkktedtavyycvrhgnfgnsy isywaywgqgtlvtvssggggsgggsggg gsqtvtqepsltvspggtvltcgsstga vtsgnypnwvqkpgqaprgliggtkflap gtparfsgsllggkaaltlsgvqpedeaey ycvlwysnrwvfgggtklvtlvgggdktht cppcpapellggpsvflfppkpkdtlmisr tpevtcvvvdvshedpevkfnwyvdgvevh </p>

			<p>naktkpceezygstyrcvsvltvlhqdwlngkeykckvsnkalpapiektiskakgqpre pqvvtlppsreemtknqvsltclvkgfypsdiavewesngqpennykttpvldsdsff lyskltvdksrwqqgnvfscsvmhealnhnytqkslslspggggsgggsgggsgggsgggsg gggsgggsgdkthtcppcpapellggpsvflfppkpkdtlmisrtpevtcvvvdvshed pevknwvydgvvevhnaktkpcceezygstyrcvsvltvlhqdwlngkeykckvsnkalpa piektiskakgqprepqvvtlppsreemtknqvsltclvkgfypsdiavewesngqpenn ykttpvldsdsfflyskltvdksrwqqgnvfscsvmhealnhnytqkslslspgk</p>
<p>1252.</p>	<p>CD70_31_ССх CD3- scFc_delGK</p>	<p>биспецифическая HLE молекула</p>	<p>qvqlvesgggvvqgrslrlscaasgftfsygmhwvrqapgkclewvavtwydasnkyy gdavkgrftisrdnskntlylqmnsraedtavyycardllrgvkgyamdvwgggtvtv ssgggsgggsgggsgggseivltqspgtlslspgeratlsbrasqlrriylawyqkpgq aprllydvfdratgipdrfsgggsgtdftltisrlepedfavyyccqysespftfgcgt kvdiksgggsevqlvesggglvqpggslklscasgftfnkyamnwvrqapgkglewva rirskynnyatyadsvkdrftisrddskntaylqmnlktdtavyycvrhgnfgnsyi sywaywgqgtlvtvssggggsgggsgggsgggsgqtvvtqepsltvspggtvtlctgsstgav tsgnypnwvqqkpgqaprgliggtkflapgtparfsgsllggkaaltlsgvqpedaeey cvlwysnrwvfgggtklvtlvgggdkthtcppcpapellggpsvflfppkpkdtlmisrt pevtcvvvdvshedpevknwvydgvvevhnaktkpcceezygstyrcvsvltvlhqdwlng keykckvsnkalpapiektiskakgqprep</p>

			<p>qvytlppsreemtknqvsltclvkgfypsd iavewesngqpennykttpvldsdsffl yskltvdksrwqqgnvfscsvmhealhnhy tqkslsislpgggsgggsgggsgggsgg gggsgggsgdkthtcppcpapellggpsvf lfppkpkdtlmisrtpevtcvvvdvshedp evkfnwyvdgvevhnaktkpcceeqgstyr cvsvltvlhqdwlngkeykckvsnkalpap iektiskakgqprepqvytlppsreemtkn qvsltclvkgfypsdiaavewesngqpenny kttpvldsdsfflyskltvdksrwqqgn vfscsvmhealhnhytqkslsislpgk</p>
1253.	CD70_31xCD3 -scFc_delGK	биспецифическая HLE молекула	<p>qvqlvesgggvvqpgrslrlscaasgftfs sygmhwrqapgkglewvavtwydasnkyy gdavkgrftisrdnskntlylqmnsraed tavyycardllrgvkgyamdvwgqgtvtv ssgggsgggsgggsgggseivltqspgtls spgeratlscrasqslrriylawyqqkpgq aprllydvfdratgipdrfsgggsgtdft ltisrlepedfavyyccqysespftfgpgt kvdiksggggsevqlvesggglvqpggslk lscaasgftfnkyamnvrqapgkglewva rirskynnyatyadsvkdrftisrddskn taylqmnnlktedtavyycvrhgnfgnsyi sywaywgqgtlvtvssggsgggsgggsggg sqtvvtqepsltvspggtvtlctgsstgav tsgnypnwvqqkpgqaprgliggtkflapg tparfsgsllggkaaltlsgvqpedeaeey cvlwysnrwvfgggtklvtlvgggdkthtc ppcpapellggpsvflfppkpkdtlmisrt pevtcvvvdvshedpevkfnwyvdgvevhn aktkpcceeqgstyrcvsvltvlhqdwlng keykckvsnkalpapiektiskakgqprep qvytlppsreemtknqvsltclvkgfypsd iavewesngqpennykttpvldsdsffl</p>

			<p>yskltvdksrwqqgnvfscsvmhealthnhy tqkslslspggggsgggsgggsgggsgg ggsgggsgdkthtcppcpapellggpsvf lfppkpkdtlmsirtpevtcvvvdvshedp evkfnwyvdgvevhnaktkpceezygstyr cvsvltvlhqdwlngkeykckvsnkalpap iektiskakgqprepqvyltppsreemtkn qvsltclvkgfypsdiavewesngqpenny kttppvldsdsfflyskltvdksrwqqgn vfscsvmhealthnhytqkslslspgk</p>
1254.	<p>CD70_32_CCx CD3- scFc_delGK</p>	<p>биспецифи ческая HLE молекула</p>	<p>qvqlvqsgaevkkgasvkvscasgytft sygiswvrqapggclewmwisayqgythy aqklqgrvtmtdtststaymelrslrsdd tavyycardyggndyygmdvwqggtvtvs sgggsgggsgggsgqsvltqppsasgtp gqrvtisgsgssniginyvywyqqlpgta pklliyrsdqrpqgvpdrfsgsksgtsasl alsglrsedeaddycaafdeslsgvfgcg tkltvlsggggsevqlvesggglvqpggsl klscaasgftfnkyamnvrqapkglewv arirskynnyatyadsvkdrftisrddsk ntaylqmnlnktdtavyycvrhgnfgnsy isywaywqggtlvtvssggggsgggsggg gsqtvvtqepsltvspggtvltlcsstga vtsgnypnwvqqkpgqaprglignkflap gtparfsgsllggkaaltlsgvqpedeaey ycvlwysnrwvfgggtklvtlvgggdktht cppcpapellggpsvflfppkpkdtlmsr tpevtcvvvdvshedpevkfnwyvdgvev naktkpceezygstyrcvsvltvlhqdwln gkeykckvsnkalpapiektiskakgpre pqvyltppsreemtknqvsltclvkgfyps diavewesngqpennykttppvldsdsff lyskltvdksrwqqgnvfscsvmhealthn ytqkslslspggggsgggsgggsgggsgg</p>

			<p>ggggsgggsgdkthtccppcpapellggpsv flfppkpkdtlmsrtpevtcvvvdvshed pevknfnwyvdgvevhnaktkpceeegysty rcvsvltvlhqdwlngkeykckvsnkalpa piektiskakggpprepqvvtlppsreemtk nqvsltclvkgfypsdiavewesngqpenn ykttppvldsdsfflyskltvdksrwqqg nvfscsvmhealhhnytqkslslspgk</p>
1255.	<p>CD70_32xCD3 -scFc_delGK</p>	<p>биспецифи ческая HLE молекула</p>	<p>qvqlvqsgaevkkpgasvkvscasgytft sygiswvrqapggglewmwisayqgythy aqklqgrvtmtdtststaymelrslrsdd tavyycardyggndyygmdvwgqgtvtvs sggggsgggsgggsggsqsvltqppsasgtp ggrvtiscsgsssniginvywyqqlpgta pklliyrdsqrpqsgvdrfsgsksgtsasl alsgrsedeaddycaafdeslsgvvfggg tkltvlsggggsevqlvesggglvqpggs1 klscaasgftfnkyamnvrqapgkglewv arirskynnyatyadsvkdrftisrddsk ntaylqmnnlktedtavyycvrhgnfgnsy isywaywgggtlvtvssggggsgggsggg gsqtvtqeps1tvspggtvtl1tcgsstga vtsgnypnwvqkpgqaprgliggtkflap gtparfsgsllggkaaltlsgvqpedeaey ycvlwysnrwvfgggtkltvlgggdktht cppcpapellggpsvflfppkpkdtlmsr tpevtcvvvdvshedpevknfnwyvdgvev naktkpceeegystyrcvsvltvlhqdwln gkeykckvsnkalpapiektiskakggpre pqvvtlppsreemtknqvsltclvkgfyps diavewesngqpennykttppvldsdsff lyskltvdksrwqqgnvfscsvmhealhh ytqkslslspggggsgggsgggsgggsg gggsgggsgdkthtccppcpapellggpsv flfppkpkdtlmsrtpevtcvvvdvshed</p>

			pevkfnwyvdgvevhnaktkpceeegysty rcvsvltvlhqdwlngkeykckvsnkalpa piektiskakgqprepqvtylppsreemtk nqvsltclvkgfyfypsdiavewesngqpenn ykttppvldsdgsfflyskltvdksrwqgg nvfscsvmhealhnhytqkslsispkg
1256.	CD70_33_CCx CD3- scFc_delGK	биспецифи ческая HLE молекула	qaqlvesgggvvqgrslrlscaasgftfs yygmhwrqapgkclewvaviwydasnkyy adavkgrftisrdnskntlylqmnsraed tavyycardremgsrgdfdywgggtlvtvs sgggsgggsgggsgggsdiqmtqspsslsas vgdrvtitcrasqginnylawfqkpgkap ksliyavsilqsgvpskfsqsgsgtdftlt isnlqpedfatyyccqynfyfysfgcgtkv diksgggsevqlvesggglvqpggslkls caasgftfnkyamnwrqapgkglewvari rskynnyatyyadsvkdrftisrddsknta ylqmnnlktedtavyycvrhgnfgnsyisy waywgggtlvtvssgggsgggsgggsgq tvvtqepsltvspggtvtlctgsstgavts gnypnwvqqkpgqaprgliggtkflapgtp arfgsllggkaaltlsgvqpedaeayycv lwysnrwvfgggtklvtlvgggdkthtcpp cpapellggpsvflfppkpkdtlmisrtpe vtcvvvdvshedpevkfnwyvdgvevhnak tkpceeegystyrcvsvltvlhqdwlngke ykckvsnkalpapiektiskakgqprepqv ytlppsreemtknqvsltclvkgfyfypsdi vewesngqpennykttppvldsdgsfflys kltvdksrwqggnvfscsvmhealhnhytq kslsispgggsgggsgggsgggsgggsgg gsgggsgdkthtcppcpapellggpsvflf ppkpkdtlmisrtpevtcvvvdvshedpev kfnwyvdgvevhnaktkpceeegystyrcv svltvlhqdwlngkeykckvsnkalpapie

			<p>ktiskakgqprepqvvtlppsreemtknqv sltclvkgfypsdiavewesngqpennykt tppvldsdgsfflyskltvdksrwqqgnvf scsvmhealhhnytqkslsispkgk</p>
1257.	<p>CD70_33xCD3 -scFc_delGK</p>	<p>биспецифи ческая HLE молекула</p>	<p>qaqlvesgggvvqgrslrlscaasgftfs yygmhwrqapgkglewvaviwydasnkyy adavkgrftisrdnskntlylqmnsraed tavyycardremgsrgdfdywggtlvtvs sgggsgggsgggsggdiqmtqspsslsas vgdrvtitcrasqginnylawfqkpgkap ksliyavsilqsgvpskfsqsgsgtdftlt isnlqpedfatyycqqynfyfysfgqgtkv diksggggsevqlvesggglvqpggslkls caasgftfnkyamnwwrqapgkglewvari rskynnyatyadsvkdrftisrddsknta ylqmnlktdtavyycvrhgnfgnsyisy waywggtlvtvssggggsgggsgggsgq tvvtqepsltvspggtvtltcgsstgavts gnypnwvqqkpgqaprgliggtkflapgtp arfgsllggkaaltlsgvqpedaeayycv lwysnrwvfgggtklvtlvgggdkthtcpp cpapellggpsvflfppkpkdtlmisrtpe vtcvvvdvshedpevkfnwyvdgvevhnak tkpceeegystyrcvsvltvlhqdwlngke ykckvsnkalpapiektiskakgqprepqv ytlppsreemtknqvsltclvkgfypsdi vewesngqpennykttppvldsdgsfflys kltvdksrwqqgnvfscsvmhealhhnytq kslsispggggsgggsgggsgggsggg gsggggsdkthtcppcpapellggpsvflf ppkpkdtlmisrtpevtcvvvdvshedpev kfnwyvdgvevhnaktkpeeegystyrcv svltvlhqdwlngkeykckvsnkalpapie ktiskakgqprepqvvtlppsreemtknqv sltclvkgfypsdiavewesngqpennykt</p>

			<p>tppvldsdgsfflyskltvdksrwqqgnvf scsvmhealthhnytqkslsispgk</p>
1258.	<p>CD70_34_CCx CD3- scFc_delGK</p>	<p>биспецифи ческая HLE молекула</p>	<p>qvqlqqwgagllkpseltsltcavyggsfs gfywswirpppgkclewigeiyhsghatnn pslksrvtisldtsknqfslklnsvtaadt avyyccarggnsyifdywgqgtlvtvssgg ggsgggsggggsdvqmtqspsslsasvqd rvtitcrtsqyigrlynwyqqkpgkapkvl iygastlqqgvpsrfsrgsgsgtdftlits lqpedfasyyccqytystprtfgcgtkveik sggggsevqlvesggglvqpggslklscaa sgftfnkyamnvrqapgkglewvarirsk ynnyatyadsvkdrftisrddskntaylq mnnlktedtavyycvrhgnfgnsyisyway wgqgtlvtvssggsgggsgggsgggsgqtvv tqepsltvspggtvtltcgsstgavtsqny pnwvqqkpgqaprgliggtkflapgtparf sgslggkaaltlsgvqpedaeeycvlwy snrwvfgggtklvtlvggggdkthtccppca pellggpsvflfppkpkdtlmsrtpevtc vvvdvshedpevkfnwyvdgvevhnaktkp ceeqygstyrcsvlvtvlhqdwlngkeykc kvsnkalpapiektiskakgqprepvytl ppsreemtknqvsltclvkgfypsdiavew esngqpennykttppvldsdgsfflysklt vdksrwqqgnvfscsvmhealthhnytqksl slspggggsgggsgggsgggsgggsg gggskthtccppcapellggpsvflfppk pkdtlmsrtpevtcvvdvshedpevkfn wyvdgvevhnaktkpcqygstyrcsvl tvlhqdwlngkeyckvsnkalapiekti skakgqprepvytlppsreemtknqvslt clvkgfypsdiavewesngqpennykttpp vldsdgsfflyskltvdksrwqqgnvfscs vmhealthhnytqkslsispgk</p>

1259.	CD70_34xCD3 -scFc_delGK	биспецифическая HLE молекула	qvqlqqwgagllkpselstlscavyggsfs gfywswirpppgkglewigeiyhsghatnn pslksrvtisldtsknqfslklnsvtaadt avyycargngsyyifdywgqgtlvtvssgg ggsgggsggggsdvqmtqspsslsasvqd rvtitcrtsqyigrlynwyqqkpgkapkvl iygastlqqgvpsrfsqsgsgtdftltits lqpedfasyyccqytstprtfgqtkveik sggggsevqlvesggglvqpggsklscaa sgftfnkyamnwwrqapgkglewvarirsk ynnyatyadsvkdrftisrddskntaylq mnnlktedavyycvrhgnfgnsyisyway wgqgtlvtvssggggsgggsgggsgqtvv tqepsltvspggtvtltcgsstgavtsqny pnwvqqkpgqaprgliggtkflapgtparf sgslggkaaltlsgvqpedeaeeycvlwy snrwvfgggtklvtlvgggdkthtccppca pellggpsvflfppkpkdtlmsrtpevtc vvvdvshedpevkfnwyvdgvevhnaktkp ceeeygstyrcvsvltvlhqdwlngkeykc kvsnkalpapiektiskakqpprepqvvtl ppsreemtknqvsltclvkgfypsdiavew esngqpennykttppvldsdsfflysklt vdksrwqqgnvfscsvmhealhnhytqksl slspggggsgggsgggsgggsgggsg gggskthtccppcapellggpsvflfppk pkdtlmsrtpevtcvvvdvshedpevkfn wyvdgvevhnaktkpceeeygstyrcvsvl tvlhqdwlngkeyckvsnkalapiekti skakqpprepqvylpppreemtknqvsl clvkgfypsdiavewesngqpennykttpp vldsdsfflyskltvdksrwqqgnvfscs vmhealhnhytqkslslspgk
1260.	CD70_35_CCx CD3-	биспецифическая	qvqlvesgggvqpgrslrlscaasgftfs tygmhwvrqapgkclewvaviwyegsnkyy

	scFc_delGK	HLE молекула	gesvkgrftisrdnskntlylqmnsraed tavyycardnshyyygmdvwgqgttvtvss ggggsgggsgggsgsylvlqppsvsgapg qrvtisctgsssniagaydnwyqqfpgta pklliyvnnrpsgvpdrfsgstsgtsasl aitglqaeadyycqsydtslsasvfgcg trltvlsggggsevqlvesggglvqpgsl klscaasgftfnkyamnvrqapgglewv arirskynnyatyadsvkdrftisrddsk ntaylqmnlktdtavyycvrhgnfgnsy isywaywqggtlvtvssggggsgggsggg gsqvtvtqepsltvspggtvtltcgsstga vtsgnypnwvqqkpgqaprgliggtkflap gtparfsgsllggkaaltlsgvqpedeae ycvlwysnrwvfgggtklvtlvgggdktht cppcpapellggpsvflfppkpkdtlmisr tpevtcvvvdvshedpevkfnwyvdgvevh naktkpcceeqgstyrcvsvltvlhqdwl gkeykckvsnkalpapiektiskakgpre pqvytlppsreemtknqvsltclvkgfyps diavewesngqpennykttpvldsdsff lyskltdksrwqqgnvfscsvmhealhh ytqkslslspggggsgggsgggsgggsg ggggsgggsgdkthtcppcpapellggpsv flfppkpkdtlmisrtpevtcvvvdvshed pevkfnwyvdgvevhnaktkpcceeqgsty rcvsvltvlhqdwlngkeykckvsnkalpa piektiskakgprepqvytlppsreemtk nqvsltclvkgfypsdiavewesngqpenn ykttpvldsdsfflyskltdksrwqqg nvfscsvmhealhhnytqkslslspgk
1261.	CD70_35xCD3 -scFc_delGK	биспецифическая HLE молекула	qvqlvesgggvqpgrslrlscaasgftfs tygmhvrqapgglewvaviwyeysnky gesvkgrftisrdnskntlylqmnsraed tavyycardnshyyygmdvwgqgttvtvss

			<p>ggggsgggsgggsgqsvltqppsvsgapg qrvtisctgsssniagaydvnwyqqfpgta pklliyvnnnrpsgvprdfsgstsgtsasl aitglqaeadyycqsydtslsasvfggg trltvlsggggsevqlvesggglvqpggs1 klscaasgftfnkyamnwrqapgkglewv arirskynnyatyadsvkdrftisrddsk ntaylqmnnlktedtavyycvrhgnfgnsy isywaywgggtlvtvssggggsgggsggg gsqvtvtqeps1tvspggvtltcgsstga vtsgnypnwvqqkpgqaprgl1ggtkflap gtparfsgs1l1ggkaaltlsgvqpedeay ycvlwysnrwvfgggtk1tvlgggdktht cppcpapellggpsvflfppkpkdtlmsr tpevtcvvvdvshedpevkfnwyvdgvevh naktkpcceeqgstyrcvsvltvlhqdwln gkeykckvsnkalpapiektiskakgpre pqvytlppsreemtknqvsltclvkgyfyps diavewesngqpennyktppvldsdsff lyskltvdksrwqgnvfscsvmhealnhh ytqkslslspggsgggsgggsgggsgggsg ggggsgggsgdkthtcppcpapellggpsv flfppkpkdtlmsrtpevtcvvvdvshed pcvkfnwyvdgvevhnaktkpcceqgsty rcvsvltvlhqdwlngkeykckvsnkalpa piektiskakgprepqvytlppsreemtk nqvsltclvkgyfypsdiavewesngqpenn yktppvldsdsfflyskltvdksrwqgg nfvscsvmhealnhhtqkslslspgk</p>
1262.	CD70_36_CCx CD3- scFc_delGK	биспецифи ческая HLE молекула	<p>qvqlvesgggvvqpggrslrlscaasgftfs tygmhwvrqapgkclewvaviwyeysnkyy gesvkgrftisrdnskntlylqmns1raed tavyycardnshyyygmdvwgggtlvtvss ggggsgggsgggsgqsvltqppsvsgapg qrvtisctgsssniagaydvnwyqqlpgta</p>

			<p>pklliyvnnnrpsgvpdrfsgsksgtsasl aitglqaeadyycqsyetslsasvfgcg trltvlsggggsevqlvesggglvqpggsl klscaasgftfnkyamnvrqapgkglewv arirskynnyatyadsvkdrftisrddsk ntaylqmnlnktdtavyycvrhgnfgnsy isywaywgqgtlvtvssggggsgggsggg gsqtvvtqepsltvspggtvltlcsstga vtsgnypnwvqqkpgqaprgliggtkflap gtparfsgsllggkaaltlsgvqpedeaey ycvlwysnrwvfgggtkltvlggggdktht cppcpapellggpsvflfppkpkdtlmisr tpevtcvvvdvshedpevkfnwyvdgvevh naktkpceezygstyrcvsvltvlhqdwln gkeykckvsnkalpapiektiskakgqpre pqvytlppsreemtknqvsltclvkgfyys diavewesngqpennykttppvldsdsff lyskltdksrwqqgnvfscsvmhealnhh ytqkslslspggggsgggsgggsgggsggs ggggsgggsgdkthtcppcpapellggpsv flfppkpkdtlmisrtpevtcvvvdvshed pevkfnwyvdgvevhnaktkpceezygsty rcvsvltvlhqdwlngkeykckvsnkalpa piektiskakgqprepqvytlppsreemtk nqvsltclvkgfyysdiavewesngqpenn yktppvldsdsfflyskltdksrwqqg nfvscsvmhealnhhytqkslslspgk</p>
<p>1263.</p>	<p>CD70_36xCD3 -scFc_delGK</p>	<p>Биспецифи ческая HLE молекула</p>	<p>qvqlvesgggvvqgrslrlscaasgftfs tygmhwrqapgkglewvaviwyegsnkyy gesvkgrftisrdnsknltlylqmnslraed tavyycardnshyyygmdvwgqgtlvtvss ggggsgggsgggsgqsvltqppsvsgapg qrvtisctgsssnigagydnwyqqlpgta pklliyvnnnrpsgvpdrfsgsksgtsasl aitglqaeadyycqsyetslsasvfggg</p>

			<p>trltvlsggggsevqlvesggglvqpggs1 klscaasgftfnkyamnwwrqapgkglewv arirskynnyatyadsvkdrftisrddsk ntaylqmnlnktdtavyycvrhgnfgnsy isywaywqggtlvtvssggggsgggsggg gsqtvvtqepsltvspggtvtltcgsstga vtsgnypnwvqqkpgqaprgliggtkflap gtparfsgsllggkaaltlsgvqpedeae ycvlwysnrwvfgggtklvtlvgggdktht cppcpapellggpsvflfppkpkdtlmisr tpevtcvvvdvshedpevkfnwyvdgvev naktkpceeeygstyrcvsvltvlhqdwn gkeykckvsnkalpapiektiskakgqpre pqvytlppsreemtknqvsltclvkgyfyps diavewesngqpennykttpvldsdsff lyskltvdksrwqqgnvfscsvmhealhh ytqkslslspggggsgggsgggsgggsg ggggsgggsgdkthtcppcpapellggpsv flfppkpkdtlmisrtpevtcvvvdvshed pevkfnwyvdgvevhnaktkpceeeygsty rcvsvltvlhqdwnlkeykckvsnkalpa piektiskakgqprepvytlppsreemtk nqvsltclvkgyfypsdiavewesngqpenn ykttpvldsdsfflyskltvdksrwqqg nvfscsvmhealhhnytqkslslspgk</p>
1264.	CD70_37_CCx CD3- scFc_delGK	биспецифи ческая HLE молекула	<p>qmqlqesgpglvkpseltlslctctvsggsie sgvyywswirppgkclewigyiyysgsts ynpslksrlltmsvdtksnqfslklssvtaa dtavyycarsgysyalfdywggtlvtvss ggggsgggsgggsgdiqmtqspsslsasl gdrvtitcrasqsvdryfnwyqqkpgkapk vlifaasslqsgvpsrfsqsgsgtdftlti sslqpedfatyyccqqsystpwtfgcgtkve vksggggsevqlvesggglvqpggs1klsc aasgftfnkyamnwwrqapgkglewvarir</p>

			<p>skynnyatyyadsvkdrftisrddskntay lqmnlnktdtavyycvrhgnfgnsyisyw aywgqgtlvtvssgggsgggsgggsgqt vvtqepsltvspggtvtltcgsstgavtsg nypnwvqqkpgqaprgliggtkflapgtpa rfsgslggkaaltlsgvqpedaeeycvl wysnrwvfgggtklvtlvggggdkthtcppc papellggpsvflfppkpkdtlmisrtpev tcvvdvshedpevkfnwyvdgvevhnakt kpceeqgstyrcvsvltvlhqdwlngkey kckvsnkalpapiektiskakgqprepvy tlppsreemtknqvsltclvkgfypsdiav ewesngqpennyktppvldsfgsfflysk ltvdksrwqqgnvfscsvmhealthhnytqk slslspggsgggsgggsgggsgggsggg sgggsgdkthtcppcpapellggpsvflfp pkpkdtlmisrtpevtcvvdvshedpevk fnwyvdgvevhnaktkpceeqgstyrcvs vltvlhqdwlngkeykckvsnkalpapie tiskakgqprepvytlppsreemtknqvs ltclvkgfypsdiavewesngqpennykt ppvldsfgsfflyskltvdksrwqqgnvfs csvmhealthhnytqkslslspgk</p>
<p>1265.</p>	<p>CD70_37xCD3 -scFc_delGK</p>	<p>биспецифи ческая HLE молекула</p>	<p>qmqlqespgglvkpsetlslctvsggsie sgvyywswirppgkglewigyiysgsts ynpslksrltmsvdtksnqfslklssvtaa dtavyycarsgysyalfdywgqgtlvtvss ggggsgggsgggsgdiqmtqspsslsasl gdrvtitcrasqsvdryfnwyqqkpgkapk vlifaasslqsgvpsrfsqsgsgtdftlti sslqpedfatyycqqsystpwtfgggtkve vksggggsevqlvesggglvqpggslklsc aasgftfnkyamnvrqapgkglewvarir skynnyatyyadsvkdrftisrddskntay lqmnlnktdtavyycvrhgnfgnsyisyw</p>

			<p>aywgqgtlvtvssgggsgggsgggsgqt vvtqepsiltvspggtvltlctgsstgavtsg nypnwvqqkpgqaprgliggtkflapgtpa rfsgsllggkaaltlsgvqpedeaeeycvl wysnrwvfgggtklvtlvggggdkthtcppc papellggpsvflfppkpkdtlmisrtpev tcvvdvshedpevkfnwyvdgvevhnakt kpceeegystyrcvsvltvlhqdwlngkey kckvsnkalpapiektiskakgqprepvy tlppsreemtknqvsltclvkgfypsdiav ewesngqpennyktppvldsdsfflysk ltvdksrwqgnvfscsvmhealhhnytqk slslspggsgggsgggsgggsgggsggg sgggsgdkthtcppcpapellggpsvflfp pkpkdtlmisrtpevtcvvdvshedpevk fnwyvdgvevhnaktkpceeegystyrcvs vltvlhqdwlngkeykckvsnkalpapie tiskakgqprepvytlppsreemtknqvs ltclvkgfypsdiavewesngqpennykt ppvldsdsfflyskltvdksrwqgnvfs csvmhealhhnytqkslslspgk</p>
<p>1266.</p>	<p>CD70_38_CCx CD3- scFc_delGK</p>	<p>биспецифи ческая HLE молекула</p>	<p>qvqlqesgpglvkpsqtlsltctvsgdsii sggyywswirqppgkclewigyifysgstd ynpslksrvtisvdtksnqfslklssvtaa dtavyycarsgysyalfdawgggtlvtvss ggggsgggsgggsgggsgggsgggsggg gdrvtiscrasqfigryfnwyqqkpgkapk vliyaesslqsgvpsrfsqsgsgteftlti sslqpedfatyycqqsystpwtfgcgtkve iksggggsevqlvesggglvqpggslklsc aasgftfnkyamnvrqapgkglewvarir skynnyatyyadsvkdrftisrddskntay lqmnlnktedtavyycvrhgnfgnsyisyw aywgqgtlvtvssgggsgggsgggsgggsgqt vvtqepsiltvspggtvltlctgsstgavtsg</p>

		<p>nypnwvqqkpgqaprgliggtkflapgtpa rfsgsllggkaaltlsgvqpedaeeycvl wysnrwvfgggtklvtlvgggdkthtcppc papellggpsvflfppkpkdtlmisrtpev tcvvvdvshedpevkfnwyvdgvevhnakt kpceeegystyrcvsvltvlhqdwlngkey kckvsnkalpapiektiskakgqprepvy tlppsreemtknqvsltclvkgfypsdiav ewesngqpennyktppvldsdsfflysk ltvdksrwqqgnvfscsvmhealhnhytqk slslspggggsgggsgggsgggsgggg sgggsgdkthtcppcpapellggpsvflfp pkpkdtlmisrtpevtcvvvdvshedpevk fnwyvdgvevhnaktkpceeegystyrcvs vltvlhqdwlngkeykckvsnkalpapie tiskakgqprepvytlppsreemtknqv ltclvkgfypsdiavewesngqpennykt ppvldsdsfflyskltvdksrwqqgnvf scsvmhealhnhytqkslslspgk</p>
<p>1267.</p>	<p>CD70_38xCD3 -scFc_delGK</p>	<p>биспецифическая HLE молекула</p> <p>qvqlqesgpglvkpsqtlsltctvsgdsii sggyywswirqppgkglewigyifysgstd ynpslksrvtisvdtsknqfslklssvtaa dtavyycarsgysyalfdawgggtlvtvss ggggsgggsgggsgdiqmtqspsslsasv gdrvtiscrasqfigryfnwyqqkpgkapk vliyaesslqsgvpsrfsqsgsgteftlti sslqpedfatyycqqsystpwtfgqgtkve iksggggsevqlvesggglvqpggslklsc aasgftfnkyamnvrqapkglewvarir skynnyatyadsvkdrftisrddskntay lqmnnlktedtavyycvrhgnfgnsyisyw aywgggtlvtvssggggsgggsgggsgt vvtqepsiltvspggtvtltcgsstgavtsg nypnwvqqkpgqaprgliggtkflapgtpa rfsgsllggkaaltlsgvqpedaeeycvl</p>

			wysnrwvfgggtkltvlggggdkthtcppc papellggpsvflfppkpkdtlmisrtpev tcvvdvshedpevkfnwyvdgvevhnakt kpceeegystyrcvsvltvlhqdwlngkey kckvsnkalpapiektiskakgqprepqv tlppsreemtknqvsltclvkgfypsdiav ewesngqpennykttppvlds dgsfflysk ltvdksrwqqgnvfscsvmhealhnhytqk slslspggggsgggsgggsgggsgggg sggggskthtcppcpapellggpsvflf pkpkdtlmisrtpevtcvvdvshedpevk fnwyvdgvevhnaktkpceeegystyrcv svltvlhqdwlngkeykckvsnkalpapie ktiskakgqprepqvylppsreemtknq vsltclvkgfypsdiavewesngqpenny kttppvlds dgsfflyskltvdksrwqq gnvfscsvmhealhnhytqkslslspgk
1268.	CD20-HLE	scFc	qvqlvqsgaevkkgssvkvscasgyafs yswinwvrqapggglewmgrifpgdgdtdy ngkfkgrvtitadkststaymelsslrsed tavyyarnvfdgywlvwygqgtlvtvssg ggsgggsgggsgggsgggsgggsgggg epasiscrssksllhsngitylywylqkpg qspqlliyqmsnlvsgvpdrfsgsgsgtdf tlkisrveaedvgvycaqnlelpytfggg tkveiksggggseqlvesggglvqpggsl klscaasgftfnkyamnwrqapkgglewv arirskynnyatyadsvkdrftisrddsk ntaylqmnlnktdtavyycvrhgnfgnsy isywaywqggllvlvssggggsgggsgggg gsqtvvtqepsltvspggtvtltcgsstga vtsgnypnwvqqkpgqaprgliggtkflap gtparfsgsllggkaaltlsgvqpedeae yycvlwysnrwvfgggtkltvl
1269.	CD19 9-B7	VH CDR1	NYGMH

	CC x I2C0-scFc		
1270.	CD19 9-B7 CC x I2C0-scFc	VH CDR2	AIGWEGSNKYAEPVKG
1271.	CD19 9-B7 CC x I2C0-scFc	VH CDR3	DRGTIFGYGMDV
1272.	CD19 9-B7 CC x I2C0-scFc	VL CDR1	RSSQSLLSNRNFNYLD
1273.	CD19 9-B7 CC x I2C0-scFc	VL CDR2	LGSNRAS
1274.	CD19 9-B7 CC x I2C0-scFc	VL CDR3	MQALQTPLT
1275.	CD19 9-B7 CC x I2C0-scFc	VH	QVQLVESGGGVVQPGRSLRLSCEASGFIVS NYGMHWVRQAPGKCLEWVAAIGWEGSNKYY AEPVKGRFTISRDKSKNTLSLQMSLRAED TALYYCARDRGTIFGYGMDVWVGQTTVTV SS
1276.	CD19 9-B7 CC x I2C0-scFc	VL	DIVMTQSPLSLPVTPEPASISCRSSQSLL HSNRNFNYLDWYLQKPGQSPQLLIYLGSNRA SGVPDRFSGSGGTDFTLKISRVEAEDVGV YYCMQALQTPLTFACGKVEIK
1277.	CD19 9-B7 CC x I2C0-scFc	scFv	DIVMTQSPLSLPVTPEPASISCRSSQSLL HSNRNFNYLDWYLQKPGQSPQLLIYLGSNRA SGVPDRFSGSGGTDFTLKISRVEAEDVGV YYCMQALQTPLTFACGKVEIKGGGSGGG GSGGGGSQVQLVESGGGVVQPGRSLRLSCE ASGFIVSNYGMHWVRQAPGKCLEWVAAIGW EGSNKYAEPVKGRFTISRDKSKNTLSLQ MSLRAEDTALYYCARDRGTIFGYGMDVWVG QTTVTVSS

1278.	CD19 9-B7 CC x I2C0- scFc	биспецифическая молекула	DIVMTQSPFLSLPVTPEPASISCRSSQSLL HSNRFNYLDWYLQKPGQSPQLLIYLGSNRA SGVPDRFSGSGSGTDFTLKISRVEAEDVGV YYCMQALQTPLTFACGKVEIKGGGSGGG GSGGGGSQVQLVESGGGVVQPGRSLRLSCE ASGFIVSNYGMHWVRQAPGKCLEWVAAGW EGSNKYAEPVKGRFTISRDKSKNTLSLQM SSLRAEDTALYYCARDRTIFGYGMDVWG QGTTVTSSGGGGSEVQLVESGGGLVQPGG SLKLSCAASGFTFNKYAMNWRQAPGKGLE WVARIRSKYNNYATYYADSVKDRFTISRDD SKNTAYLQMNKLTEDTAVYYCVRHGNFGN SYISYWAYWGQGLVTVSSGGGGSGGGGSG GGGSQTVVTQEPSLTVSPGGTVTLTCGSST GAVTSGNYPNWVQKPGQAPRGLIGGTKFL APGTPARFSGSLLGGKAALTLSGVQPEDEA EYYCVLWYSNRWVFGGGTKLTVL
1279.	CD19 9-B7 CC x I2C0- scFc	биспецифическая молекула HLE	DIVMTQSPFLSLPVTPEPASISCRSSQSLL HSNRFNYLDWYLQKPGQSPQLLIYLGSNRA SGVPDRFSGSGSGTDFTLKISRVEAEDVGV YYCMQALQTPLTFACGKVEIKGGGSGGG GSGGGGSQVQLVESGGGVVQPGRSLRLSCE ASGFIVSNYGMHWVRQAPGKCLEWVAAGW EGSNKYAEPVKGRFTISRDKSKNTLSLQM SSLRAEDTALYYCARDRTIFGYGMDVWG QGTTVTSSGGGGSEVQLVESGGGLVQPGG SLKLSCAASGFTFNKYAMNWRQAPGKGLE WVARIRSKYNNYATYYADSVKDRFTISRDD SKNTAYLQMNKLTEDTAVYYCVRHGNFGN SYISYWAYWGQGLVTVSSGGGGSGGGGSG GGGSQTVVTQEPSLTVSPGGTVTLTCGSST GAVTSGNYPNWVQKPGQAPRGLIGGTKFL APGTPARFSGSLLGGKAALTLSGVQPEDEA EYYCVLWYSNRWVFGGGTKLTVLGGGDKT HTCPPCPAPELLGGPSVFLFPPKPKDTLMI

			<p>SRTPEVTCVVVDVSHEDPEVKFNWYVDGVE VHNAKTKPCEEQYGSTYRCVSVLTVLHQDW LNGKEYKCKVSNKALPAPIEKTISKAKGQP REPQVYTLPPSREEMTKNQVSLTCLVKGFY PSDIAVEWESNGQPENNYKTTPVLDSDGS FFLYSKLTVDKSRWQQGNVFSCSVMHEALH NHYTQKSLSLSPGKGGGGGGGGGGGGSG GGGGGGGGGGGGSDKHTHTCPPCPAPELLG GPSVFLFPPKPKDTLMI SRTPEVTCVVVDV SHEDPEVKFNWYVDGVEVHNAKTKPCEEQY GSTYRCVSVLTVLHQDWLNGKEYKCKVSNK ALPAPIEKTISKAKGQPREPQVYTLPPSRE EMTKNQVSLTCLVKGFYPSDIAVEWESNGQ PENNYKTTPVLDSDGSFFLYSKLTVDKSR WQQGNVFSCSVMHEALHNHYTQKSLSLSPG K</p>
<p>1280.</p>	<p>CD19 9-B7 CC x I2C0- scFc_delGK</p>	<p>биспецифи ческая молекула HLE</p>	<p>DIVMTQSPFLSLPVTPEPASISCRSSQSLL HSNRFNYLDWYLQKPGQSPQLLIYLGSNRA SGVDPDRFSGSGGTDFTLKISRVEADVGV YYCMQALQTPLTFACGKVEIKGGGGGGG GSGGGGSQVQLVESGGGVVQPRSLRLSCE ASGFIVSNYGMHWVRQAPGKCLEWVAAI GW EGSNKYAEPVKGRFTISRDKSKNTLSLQM SSLRAEDTALYYCARDRTIFGYGMDVWG QGTTVTVSSGGGSEVQLVESGGGLVQPGG SLKLSCAASGFTFNKYAMNWRQAPGKGL WVARIRSKYNNYATYYADSVKDRFTISRDD SKNTAYLQMNLLKTEDTAVYYCVRHGNFGN SYISYWAYWGQGLVTVSSGGGGGGGGGGSG GGGSQTVVTVQEPSTLVSPGGTVTLTCGSST GAVTSGNYPNWVQQKPGQAPRGLIGTKFL APGTPARFSGSLLGGKAALTLSGVQPEDEA EYYCVLWYSNRWVFGGGTKLTVLGGGGDKT HTCPPCPAPELLGGPSVFLFPPKPKDTLMI SRTPEVTCVVVDVSHEDPEVKFNWYVDGVE</p>

			VHNAKTKPCEEQYGSTYRCVSVLTVLHQDW LNGKEYKCKVSNKALPAPIEKTISKAKGQP REPQVYTLPPSREEMTKNQVSLTCLVKGFY PSDIAVEWESNGQPENNYKTTPPVLDSDGS FFLYSKLTVDKSRWQQGNVFCSCVMHEALH NHYTQKSLSLSPGGGGSGGGSGGGSGGG GSGGGSGGGGSDKTHTCPPCPAPELLGGP SVFLFPPKPKDTLMI SRTPEVTCVVVDVSH EDPEVKFNWYVDGVEVHNAKTKPCEEQYGS TYRCVSVLTVLHQDWLNGKEYKCKVSNKAL PAPIEKTISKAKGQPREPQVYTLPPSREEM TKNQVSLTCLVKGFYPSDIAVEWESNGQPE NNYKTTPPVLDSDGSFFLYSKLTVDKSRWQ QGNVFCSCVMHEALHNHYTQKSLSLSPGK
1281.	CD19 8-C2 CC x I2C0- scFc	VH CDR1	SYGIH
1282.	CD19 8-C2 CC x I2C0- scFc	VH CDR2	LTSYEGGNKYAESVKG
1283.	CD19 8-C2 CC x I2C0- scFc	VH CDR3	DRGTIFGDYGM DV
1284.	CD19 8-C2 CC x I2C0- scFc	VL CDR1	RSSQSL LHKNAFNYLD
1285.	CD19 8-C2 CC x I2C0- scFc	VL CDR2	LGSNRAS
1286.	CD19 8-C2 CC x I2C0- scFc	VL CDR3	MQALQTPFT
1287.	CD19 8-C2 CC x I2C0- scFc	VH	QVQLVESGGGVVQPGRSLRLSCAASGFTFS SYGIHWVRQAPGKCLEWVALTSYEGGNKY AESVKGRTISRDN SKNTLYLQMNSLRAED

			TAVYYCAKDRGTIFGDYGMVDVWGQGTTVTVSS
1288.	CD19 8-C2 CC x I2C0- scFc	VL	DIVMTQSPLSLPVTPEPASISCRSSQSLL HKNAFNLDWYLQKPGQSPQLLIYLGSNRA SGVPDRFSGSGSGTDFTLKISRVEAEDVGV YYCMQALQTPFTFGCGTKVEIK
1289.	CD19 8-C2 CC x I2C0- scFc	scFv	DIVMTQSPLSLPVTPEPASISCRSSQSLL HKNAFNLDWYLQKPGQSPQLLIYLGSNRA SGVPDRFSGSGSGTDFTLKISRVEAEDVGV YYCMQALQTPFTFGCGTKVEIKGGGGSGGG GSGGGGSQVQLVESGGGVVQPRSLRLSCA ASGFTFSSYGIHWVRQAPGKCLEWVALTSY EGGNKYAESVKGRFTISRDNKNTLYLQM NSLRAEDTAVYYCAKDRGTIFGDYGMVDVWG QGTTVTVSS
1290.	CD19 8-C2 CC x I2C0- scFc	биспецифическая молекула	DIVMTQSPLSLPVTPEPASISCRSSQSLL HKNAFNLDWYLQKPGQSPQLLIYLGSNRA SGVPDRFSGSGSGTDFTLKISRVEAEDVGV YYCMQALQTPFTFGCGTKVEIKGGGGSGGG GSGGGGSQVQLVESGGGVVQPRSLRLSCA ASGFTFSSYGIHWVRQAPGKCLEWVALTSY EGGNKYAESVKGRFTISRDNKNTLYLQM NSLRAEDTAVYYCAKDRGTIFGDYGMVDVWG QGTTVTVSSGGGGSEVQLVESGGGLVQPGG SLKLSCAASGFTFNKYAMNWRQAPGKGLE WVARIRSKYNNYATYYADSVKDRFTISRDD SKNTAYLQMNLLKTEDTAVYYCVRHGNFGN SYISYWAYWGQGLTVTVSSGGGGSGGGSGG GGGSQTVVTQEPSTLVSPGGTVTLTCSST GAVTSGNYFNWVQKPGQAPRGLIGGTKFL APGTPARFSGSLLGGKAALTLSGVQPEDEA EYYCVLWYSNRWVFGGGTKLTVL
1291.	CD19 8-C2 CC x I2C0- scFc	биспецифическая молекула	DIVMTQSPLSLPVTPEPASISCRSSQSLL HKNAFNLDWYLQKPGQSPQLLIYLGSNRA SGVPDRFSGSGSGTDFTLKISRVEAEDVGV

		HLE	YYCMQALQTPFTFGCGTKVEIKGGGSGGG GSGGGGSQVQLVESGGGVVQPGRSLRLSCA ASGFTFSSYGIHWVRQAPGKCLEWVALTSY EGGNKYYAESVKGRFTISRDNKNTLYLQM NSLRAEDTAVYYCAKDRGTIFGDYGMVWG QGTTVTVSSGGGSEVQLVESGGGLVQPGG SLKLSCAASGFTFNKYAMNWRQAPGKGLE WVARIRSKYNNYATYYADSVKDRFTISRDD SKNTAYLQMNLLKTEDTAVYYCVRHGNFGN SYISYWAYWGQGLVTVSSGGGSGGGGSG GGGSQTVVTQEPSTLVSPGGTVTLTCSST GAVTSGNYPNWVQQKPGQAPRGLIGTKFL APGTPARFSGSLGGKAALTLVSGVQPEDEA EYYCVLWYSNRWVFGGKTLTVLGGGDKT HTCPCCPAPELLGGPSVFLFPPKPKDTLMI SRTPEVTCVVVDVSHEDPEVKFNWYVDGVE VHNAKTKPCEEQYGSTYRCVSVLTVLHQDW LNGKEYKCKVSNKALPAPIEKTISKAKGQP REPQVYTLPPSREEMTKNQVSLTCLVKGFY PSDIAVEWESNGQPENNYKTTPPVLDSGGS FFLYSKLTVDKSRWQQGNVFSCSVMHEALH NHYTQKLSLSLSPGKGGGSGGGGSGGGGSG GGGSGGGGSGGGGSDKTHTCPCCPAPELLG GPSVFLFPPKPKDTLMISRTPEVTCVVVDV SHEDPEVKFNWYVDGVEVHNAKTKPCEEQY GSTYRCVSVLTVLHQDWLNGKEYKCKVSNK ALPAPIEKTISKAKGQPREPQVYTLPPSRE EMTKNQVSLTCLVKGFYPSDIAVEWESNGQ PENNYKTTPPVLDSGGSFFLYSKLTVDKSR WQQGNVFSCSVMHEALHNHYTQKLSLSLSPG K
1292.	CD19 8-C2 CC x I2C0- scFc_delGK	биспецифи- ческая молекула HLE	DIVMTQSPLSLPVTPGEPASISCRSSQSLL HKNAFNLDWYLQKPGQSPQLLIYLGSNRA SGVPDRFSGSGSDTFTLKISRVEAEDVGV YYCMQALQTPFTFGCGTKVEIKGGGSGGG

			<p>GSGGGGSQVLVESGGGVVQPGRSLRLSCA ASGFTFSSYGIHWVRQAPGKCLEWVALTSY EGGNKYYAESVKGRFTISRDNKNTLYLQM NSLRAEDTAVYYCAKDRGTIFGDYGMVWVG QGTTVTVSSGGGGSEVQLVESGGGLVQPGG SLKLSCAASGFTFNKYAMNWVRQAPGKGLE WVARIRSKYNNYATYYADSVKDRFTISRDD SKNTAYLQMNLLKTEDTAVYYCVRHGNFGN SYISYWAYWGQGLVTVSSGGGGSGGGGSG GGGSQTVVTQEPSLTVSPGGTVTLTCGSST GAVTSGNYPNWVQQKPGQAPRGLIGGTFKL APGTPARFSGSLLGKKAALTLSGVQPEDEA EYYCVLWYSNRWVFGGGTKLTVLGGGDKT HTCPCCPAPELLGGPSVFLFPPKPKDTLMI SRTPEVTCVVVDVSHEDPEVKFNWYVDGVE VHNAKTKPCEEQYGSTYRCVSVLTVLHQDW LNGKEYKCKVSNKALPAPIEKTISKAKGQP REPQVYTLPPSREEMTKNQVSLTCLVKGFY PSDIAVEWESNGQPENNYKTTPPVLDSDGS FFLYSKLTVDKSRWQQGNVFCFSVMHEALH NHYTQKSLSLSPGGGGSGGGGGSGGGGGG GSGGGGGSGGGGDKTHTCPCCPAPELLGGP SVFLFPPKPKDTLMISRTPEVTCVVVDVSH EDPEVKFNWYVDGVEVHNAKTKPCEEQYGS TYRCVSVLTVLHQDWLNGKEYKCKVSNKAL PAPIEKTISKAKGQPREPQVYTLPPSREEM TKNQVSLTCLVKGFYPSDIAVEWESNGQPE NNYKTTPPVLDSDGSFFLYSKLTVDKSRWQ QGNVFCFSVMHEALHNHYTQKSLSLSPGK</p>
1293.	CD19 8-C8 CC x I2C0- scFc	VH CDR1	SYGIH
1294.	CD19 8-C8 CC x I2C0- scFc	VH CDR2	LTSYEGGNKYYAESVKG

1295.	CD19 8-C8 CC x I2C0- scFc	VH CDR3	DRGTIFGDYGM DV
1296.	CD19 8-C8 CC x I2C0- scFc	VL CDR1	RSSQSL LHQNRFN YLD
1297.	CD19 8-C8 CC x I2C0- scFc	VL CDR2	LGSNRAS
1298.	CD19 8-C8 CC x I2C0- scFc	VL CDR3	MQALQTPFT
1299.	CD19 8-C8 CC x I2C0- scFc	VH	QVQLVESGGGVVQPGRSLRLSCAASGFTFS SYGIHWVRQAPGKCLEWVALTSYEGGNKYY AESVKGRFTISRDN SKNTLYLQMNSLRAED TAVYYCAKDRGTIFGDYGM DVWVGQTTVTV SS
1300.	CD19 8-C8 CC x I2C0- scFc	VL	DIVMTQSPLSLPVTPEPASISCRSSQSLL HQNRFN YLDWYLQKPGQSPQLLIYLG SNRA SGVPDRFSGSGSGTDFTLKISRVEAEDVGV YYCMQALQTPFTFGCGTKVEIK
1301.	CD19 8-C8 CC x I2C0- scFc	scFv	DIVMTQSPLSLPVTPEPASISCRSSQSLL HQNRFN YLDWYLQKPGQSPQLLIYLG SNRA SGVPDRFSGSGSGTDFTLKISRVEAEDVGV YYCMQALQTPFTFGCGTKVEIKGGGSGGG GSGGGGSQVQLVESGGGVVQPGRSLRLSCA ASGFTFSSYGIHWVRQAPGKCLEWVALTSY EGGNKYYAESVKGRFTISRDN SKNTLYLQM NSLRAEDTAVYYCAKDRGTIFGDYGM DVWVG QGTTVTVSS
1302.	CD19 8-C8 CC x I2C0- scFc	биспецифи ческая молекула	DIVMTQSPLSLPVTPEPASISCRSSQSLL HQNRFN YLDWYLQKPGQSPQLLIYLG SNRA SGVPDRFSGSGSGTDFTLKISRVEAEDVGV YYCMQALQTPFTFGCGTKVEIKGGGSGGG GSGGGGSQVQLVESGGGVVQPGRSLRLSCA

			<p>ASGFTFSSYGIHWVRQAPGKCLEWVALTSY EGGNKYAESVKGRFTISRDNKNTLYLQM NSLRAEDTAVYYCAKDRGTIFGDYGMVWVG QGTTVTVSSGGGGSEVQLVESGGGLVQPGG SLKLSCAASGFTFNKYAMNWVRQAPGKGLE WVARIRSKYNNYATYYADSVKDRFTISRDD SKNTAYLQMNNLKTEDTAVYYCVRHGNFGN SYISYWAYWGQGLVTVSSGGGGSGGGGSG GGGSQTVVTQEPSLTVSPGGTVTLTCGSST GAVTSGNYPNWVQKPGQAPRGLIGTKFL APGTPARFSGSLLGGKAALTLSGVQPEDEA EYYCVLWYSNRWVFGGGTKLTVL</p>
1303.	<p>CD19 8-C8 CC x I2C0- scFc</p>	<p>биспецифи ческая молекула HLE</p>	<p>DIVMTQSPLSLPVTPEPASI SCRSSQSLL HQNRFNLDWYLQKPGQSPQLLIYLGSNRA SGVPDRFSGSGGTDFTLKISRVEAEDVGV YYCMQALQTPFTFGCGTKVEIKGGGGSGGG GGGGGSQVQLVESGGGVVQPRSLRLSCA ASGFTFSSYGIHWVRQAPGKCLEWVALTSY EGGNKYAESVKGRFTISRDNKNTLYLQM NSLRAEDTAVYYCAKDRGTIFGDYGMVWVG QGTTVTVSSGGGGSEVQLVESGGGLVQPGG SLKLSCAASGFTFNKYAMNWVRQAPGKGLE WVARIRSKYNNYATYYADSVKDRFTISRDD SKNTAYLQMNNLKTEDTAVYYCVRHGNFGN SYISYWAYWGQGLVTVSSGGGGSGGGGSG GGGSQTVVTQEPSLTVSPGGTVTLTCGSST GAVTSGNYPNWVQKPGQAPRGLIGTKFL APGTPARFSGSLLGGKAALTLSGVQPEDEA EYYCVLWYSNRWVFGGGTKLTVLGGGDKT HTCPPCPAPELLGGPSVFLFPPKPKDTLMI SRTPEVTCVVVDVSHEDPEVKFNWYVDGVE VHNAKTKPCEEQYGSTYRCVSVLTVLHQDW LNGKEYKCKVSNKALPAPIEKTISKAKGQP REPQVYTLPPSREEMTKNQVSLTCLVKGFY PSDIAVEWESNGQPENNYKTTPPVLDSDGS</p>

			FFLYSKLTVDKSRWQQGNVFSCSVMHEALH NHYTQKSLSLSPGKGGGGSGGGGGSGGGGGSG GGGGSGGGGGGGGSDKHTCPCPPAPELLG GPSVFLFPPKPKDTLMISRTPEVTCVVVDV SHEDPEVKFNWYVDGVEVHNAKTKPCEEQY GSTYRCVSVLTVLHQDWLNGKEYKCKVSNK ALPAPIEKTISKAKGQPREPQVYTLPPSRE EMTKNQVSLTCLVKGFYPSDIAVEWESNGQ PENNYKTPPVLDSDGSFFLYSKLTVDKSR WQQGNVFSCSVMHEALHNHYTQKSLSLSPG K
1304.	CD19 8-C8 CC x I2C0- scFc_delGK	биспецифи ческая молекула HLE	DIVMTQSPLSLPVTPGEPASISCRSSQSLL HQNRFNYLDWYLQKPGQSPQLLIYLGSNRA SGVPDRFSGSGGTDFTLKISRVEAEDVGV YYCMQALQTPFTFGCGTKVEIKGGGSGGG GSGGGGQVQLVESGGGVVQPGRSLRLSCA ASGFTFSSYGIHWVRQAPGKCLEWVALTSY EGGNKYAESVKGRFTISRDNKNTLYLQM NSLRAEDTAVYYCAKDRGTIFGDYGMVWG QGTTVTVSSGGGSEVQLVESGGGLVQPGG SLKLSCAASGFTFNKYAMNWRQAPGKGLE WVARIRSKYNNYATYYADSVKDRFTISRDD SKNTAYLQMNNLKTEDTAVYYCVRHGNFGN SYISYWAYWGQGLVTVSSGGGGSGGGGGSG GGGQTVVTQEPSLTVSPGGTVTLTCSST GAVTSGNYPNWVQQKPGQAPRGLIGGTFKL APGTPARFSGSLLGGKAALTLSGVQPEDEA EYYCVLWYSNRWVFGGGTKLTVLGGGGDKT HTCPCPPAPELLGGPSVFLFPPKPKDTLMI SRTPEVTCVVVDVSHEDPEVKFNWYVDGVE VHNAKTKPCEEQYGSTYRCVSVLTVLHQDW LNGKEYKCKVSNKALPAPIEKTISKAKGQP REPQVYTLPPSREEMTKNQVSLTCLVKGFY PSDIAVEWESNGQPENNYKTPPVLDSDGS FFLYSKLTVDKSRWQQGNVFSCSVMHEALH

			NHYTQKSLSLSPGGGGSGGGGSGGGGSGGG GSGGGGSGGGGSDKTHTCPPELGGP SVFLFPPKPKDTLMISRTPEVTCVVVDVSH EDPEVKFNWYVDGVEVHNAKTKPCEEQYGS TYRCVSVLTVLHQDWLNGKEYKCKVSNKAL PAPIEKTISKAKGQPREPQVYTLPPSREEM TKNQVSLTCLVKGFYPSDIAVEWESNGQPE NNYKTTTPVLDSDGSFFLYSKLTVDKSRWQ QGNVFSCSVMHEALHNHYTQKSLSLSPGK
1305.	CD19 8-C9 CC x I2C0- scFc	VH CDR1	SYGIH
1306.	CD19 8-C9 CC x I2C0- scFc	VH CDR2	LTSYEGGNKYAESVKG
1307.	CD19 8-C9 CC x I2C0- scFc	VH CDR3	DRGTIFGDYGM EV
1308.	CD19 8-C9 CC x I2C0- scFc	VL CDR1	RSSQSLHHPNKLNYLD
1309.	CD19 8-C9 CC x I2C0- scFc	VL CDR2	LGSNRAS
1310.	CD19 8-C9 CC x I2C0- scFc	VL CDR3	MQALQTPFT
1311.	CD19 8-C9 CC x I2C0- scFc	VH	QVQLVESGGGVVQGRSLRLSCAASGFTFS SYGIHWVRQAPGKCLEWVALTSYEGGNKYY AESVKGRFTISRDN SKNTLYLQMNSLRAED TAVYYCAKDRGTIFGDYGM EVWGQTTVTV SS
1312.	CD19 8-C9 CC x I2C0- scFc	VL	DIVMTQSPLSLPVTPGEPASISCRSSQSLL HPNKLNYLDWYMQKPGQSPQLLIYLGSNRA SGVPDRFSGSGGTDFTLKISRVEAEDVGV

			YYCMQALQTPFTFGCGTKVEIK
1313.	CD19 8-C9 CC x I2C0- scFc	scFv	DIVMTQSPLSLPVTPEPASISCRSSQSLL HPNKLNYLDWYMQPGQSPQLLIYLGSNRA SGVPDRFSGSGSGTDFTLKISRVEAEDVGV YYCMQALQTPFTFGCGTKVEIKGGGSGGG GSGGGGSQVQLVESGGGVVQPGRSLRLSCA ASGFTFSSYGIHWVRQAPGKCLEWVALTSY EGGNKYAESVKGRFTISRDNKNTLYLQM NSLRAEDTAVYYCAKDRGTIFGDYGMVWVG QGTTVTVSS
1314.	CD19 8-C9 CC x I2C0- scFc	биспецифи ческая молекула	DIVMTQSPLSLPVTPEPASISCRSSQSLL HPNKLNYLDWYMQPGQSPQLLIYLGSNRA SGVPDRFSGSGSGTDFTLKISRVEAEDVGV YYCMQALQTPFTFGCGTKVEIKGGGSGGG GSGGGGSQVQLVESGGGVVQPGRSLRLSCA ASGFTFSSYGIHWVRQAPGKCLEWVALTSY EGGNKYAESVKGRFTISRDNKNTLYLQM NSLRAEDTAVYYCAKDRGTIFGDYGMVWVG QGTTVTVSSGGGSEVQLVESGGGLVQPGG SLKLSCAASGFTFNKYAMNWRQAPGKLE WVARIRSKYNNYATYYADSVKDRFTISRDD SKNTAYLQMNKLTEDTAVYYCVRHGNFGN SYISYWAYWQGTLVTVSSGGGSGGGGSG GGGSQTVVTQEPSLTVSPGGTVTLTCGSST GAVTSGNYPNWVQKPGQAPRGLIGGTKFL APGTPARFSGSLLGGKAALTLSGVQPEDEA EYYCVLWYSNRWVFGGGTKLTVL
1315.	CD19 8-C9 CC x I2C0- scFc	биспецифи ческая молекула HLE	DIVMTQSPLSLPVTPEPASISCRSSQSLL HPNKLNYLDWYMQPGQSPQLLIYLGSNRA SGVPDRFSGSGSGTDFTLKISRVEAEDVGV YYCMQALQTPFTFGCGTKVEIKGGGSGGG GSGGGGSQVQLVESGGGVVQPGRSLRLSCA ASGFTFSSYGIHWVRQAPGKCLEWVALTSY EGGNKYAESVKGRFTISRDNKNTLYLQM NSLRAEDTAVYYCAKDRGTIFGDYGMVWVG

			<p>QGTTVTVSSGGGGSEVQLVESGGGLVQPGG SLKLSCAASGFTFNKYAMNWVRQAPGKGLE WVARIRSKYNNYATYYADSVKDRFTISRDD SKNTAYLQMNNLKTEDTAVYYCVRHGNFGN SYISYWAYWGQGLVTVSSGGGGSGGGGSG GGGSQTVVTQEPSTLVSPGGTVTLTCGSST GAVTSGNYPNWVQKPGQAPRGLIGGTKFL APGTPARFSGSLLGGKAALTLSGVQPEDEA EYYCVLWYSNRWVFGGGTKLTVLGGGDKT HTCPPCPAPELLGGPSVFLFPPKPKDTLMI SRTPEVTCVVDVSHEDPEVKFNWYVDGVE VHNAKTKPCEEQYGSTYRCVSVLTVLHQDW LNGKEYCKVSNKALPAPIEKTISKAKGQP REPQVYTLPPSREEMTKNQVSLTCLVKGFY PSDIAVEWESNGQPENNYKTTPPVLDSDGS FFLYSKLTVDKSRWQOGNVFSCSVMHEALH NHYTQKLSLSLSPGKGGGGSGGGGGSGGGG GGGGGGGGGGGSDKTHTCPPCPAPELLG GPSVFLFPPKPKDTLMISRTPEVTCVVDV SHEDPEVKFNWYVDGVEVHNAKTKPCEEQY GSTYRCVSVLTVLHQDWLNGKEYCKVSNK ALPAPIEKTISKAKGQPREPQVYTLPPSRE EMTKNQVSLTCLVKGFYPSDIAVEWESNGQ PENNYKTTPPVLDSDGSFFLYSKLTVDKSR WQOGNVFSCSVMHEALHNHNTQKLSLSLSPG K</p>
1316.	CD19 8-c9 CC x I2C0- scFc_delGK	биспецифи- ческая молекула HLE	<p>DIVMTQSPLSLPVTPGEPASISCRSSQSLL HPNKLNYLDWYMQKPGQSPQLLIYLGSNRA SGVPDRFSGSGSGTDFTLKISRVEAEDVGV YYCMQALQTPFTFGCGTKVEIKGGGGSGGG GSGGGGSQVQLVESGGGVVQPGRSLRLSCA ASGFTFSSYGIHWVRQAPGKCLEWVALTSY EGGNKYAESVKGRFTISRDNKNTLYLQM NSLRAEDTAVYYCAKDRGTIFGDYGMVWVG QGTTVTVSSGGGGSEVQLVESGGGLVQPGG</p>

			<p>SLKLSCAASGFTFNKYAMNWVRQAPGKGLE WVARIRSKYNNYATYYADSVKDRFTISRDD SKNTAYLQMNLLKTEDTAVYYCVRHGNFGN SYISYWAYWGQGLVTVSSGGGGSGGGGSG GGGSQTVVTQEPSLTVSPGGTVTLTCGSST GAVTSGNYPNWVQQKPGQAPRGLIGGTKFL APGTPARFSGSLLGGKAALTLSGVQPEDEA EYYCVLWYSNRWVFGGGTKLTVLGGGGDKT HTCPPCPAPELLGGPSVFLFPPKPKDTLMI SRTPEVTCVVVDVSHEDPEVKFNWYVDGVE VHNAKTKPCEEQYGSTYRCVSVLTVLHQDW LNGKEYKCKVSNKALPAPIEKTISKAKGQP REPQVYTLPPSREEMTKNQVSLTCLVKGFY PSDIAVEWESNGQPENNYKTTPPVLDSGDS FFLYSKLTVDKSRWQQGNVFCSCVMHEALH NHYTQKSLSLSPGGGGSGGGGSGGGGSGGG GSGGGSGGGGSDKTHTCPPCPAPELLGGP SVFLFPPKPKDTLMI SRTPEVTCVVVDVSH EDPEVKFNWYVDGVEVHNAKTKPCEEQYGS TYRCVSVLTVLHQDWLNGKEYKCKVSNKAL PAPIEKTISKAKGQPREPQVYTLPPSREEM TKNQVSLTCLVKGFYPSDIAVEWESNGQPE NNYKTTPPVLDSGDSFFLYSKLTVDKSRWQ QGNVFCSCVMHEALHNHNTQKSLSLSPGK</p>
1317.	CD19 8-D1 CC x I2C0- scFc	VH CDR1	SYGIH
1318.	CD19 8-D1 CC x I2C0- scFc	VH CDR2	LTSYEGGNKYAESVKG
1319.	CD19 8-D1 CC x I2C0- scFc	VH CDR3	DRGTIFGDYGM DV
1320.	CD19 8-D1 CC x I2C0-	VL CDR1	RSSQSLHKNRNFNYLD

	scFc		
1321.	CD19 8-D1 CC x I2C0- scFc	VL CDR2	LGSNRAS
1322.	CD19 8-D1 CC x I2C0- scFc	VL CDR3	MQALQTPFT
1323.	CD19 8-D1 CC x I2C0- scFc	VH	QVQLVESGGGVVQPGRSLRLS CAASGFTFS SYGIHWVRQAPGKCLEWVALTSY EGGNKYY AESVKGRFTISRDNKNTLYLQ MNSLRAED TAVYYCAKDRGTIFGDYGM DVWGQGTTVTVV SS
1324.	CD19 8-D1 CC x I2C0- scFc	VL	DIVMTQSPLSLPVT PGEPAISCRSSQSL L HKNRFNYLDWYVQKPGQSP QLLIYLG SNRA SGVPDRFSGSGSDFTL KISRVEAEDVGV YYCMQALQTPFTFGCGTK VEIK
1325.	CD19 8-D1 CC x I2C0- scFc	scFv	DIVMTQSPLSLPVT PGEPAISCRSSQSL L HKNRFNYLDWYVQKPGQSP QLLIYLG SNRA SGVPDRFSGSGSDFTL KISRVEAEDVGV YYCMQALQTPFTFGCGTK VEIKGGGGSGGG GSGGGGSQVQLVESGGGV VQPGRSLRLS CA ASGFTFSSYGIHWVRQAP GKCLEWVALTSY EGGNKYYAESVKGRFTISR DNKNTLYLQ M NSLRAEDTAVYYCAKDRGT IFGDYGM DVWG QGT TVTVSS
1326.	CD19 8-D1 CC x I2C0- scFc	биспецифическая молекула	DIVMTQSPLSLPVT PGEPAISCRSSQSL L HKNRFNYLDWYVQKPGQSP QLLIYLG SNRA SGVPDRFSGSGSDFTL KISRVEAEDVGV YYCMQALQTPFTFGCGTK VEIKGGGGSGGG GSGGGGSQVQLVESGGGV VQPGRSLRLS CA ASGFTFSSYGIHWVRQAP GKCLEWVALTSY EGGNKYYAESVKGRFTISR DNKNTLYLQ M NSLRAEDTAVYYCAKDRGT IFGDYGM DVWG QGT TVTVSSGGGGSEVQLVES GGGLVQPGG SLKLS CAASGFTFNKYAMNWRQAP GKGL

			<p>WVARIRSKYNNYATYYADSVKDRFTISRDD SKNTAYLQMNNLKTEDTAVYYCVRHGNFGN SYISYWAYWGQGLVTVSSGGGGSGGGGSG GGGSQTVVTQEPSLTVSPGGTVTLTCGSST GAVTSGNYPNWVQQKPGQAPRGLIGGTKFL APGTPARFSGSLLGGKAALTLSGVQPEDEA EYYCVLWYSNRWVFGGGTKLTVL</p>
1327.	<p>CD19 8-D1 CC x I2C0- scFc</p>	<p>биспецифи ческая молекула HLE</p>	<p>DIVMTQSPLSLPVTPEPASICRSSQSLL HKNRFNYLDWYVQKPGQSPQLLIYLGSNRA SGVPDRFSGSGSGTDFTLKISRVEAEDGVV YYCMQALQTPFTFGCGTKVEIKGGGGSGGG GSGGGGSQVQLVESGGGVVQPRSLRLSCA ASGFTFSSYGIHWVRQAPGKCLEWVALTSY EGGNKYAESVKGRFTISRDNKNTLYLQOM NSLRAEDTAVYYCAKDRGTIFGDYGMVWVG QGTTVTVSSGGGGSEVQLVESGGGLVQPGG SLKLSCAASGFTFNKYAMNWRQAPGKGLE WVARIRSKYNNYATYYADSVKDRFTISRDD SKNTAYLQMNNLKTEDTAVYYCVRHGNFGN SYISYWAYWGQGLVTVSSGGGGSGGGGSG GGGSQTVVTQEPSLTVSPGGTVTLTCGSST GAVTSGNYPNWVQQKPGQAPRGLIGGTKFL APGTPARFSGSLLGGKAALTLSGVQPEDEA EYYCVLWYSNRWVFGGGTKLTVLGGGGDKT HTCPPCPAPELLGGPSVFLFPPKPKDTLMI SRTPEVTCVVVDVSHEDPEVKFNWYVDGVE VHNAKTKPCEEQYGYSTYRCVSVLTVLHQDW LNGKEYCKVSNKALPAPIEKTIKAKGQP REPQVYTLPPSREEMTKNQVSLTCLVKGFY PSDIAVEWESNGQPENNYKTTPPVLDSDGS FFLYSKLTVDKSRWQQGNVFCFSVMHEALH NHYTQKSLSLSPGKGGGGSGGGGGSGGGGSG GGGGGGGGGGGGSDKHTHTCPPCPAPELLG GPSVFLFPPKPKDTLMISRTPEVTCVVVDV SHEDPEVKFNWYVDGVEVHNAKTKPCEEQY</p>

			<p>GSTYRCVSVLTVLHQDWLNGKEYKCKVSNK ALPAPIEKTISKAKGQPREPQVYTLPPSRE EMTKNQVSLTCLVKGFYPSDIAVEWESNGQ PENNYKTTTPVLDSDGSFFLYSKLTVDKSR WQQGNVFSCSVMHEALHNHYTQKSLSLSPG K</p>
1328.	<p>CD19 8-D1 CC x I2C0- scFc_delGK</p>	<p>биспецифи ческая молекула HLE</p>	<p>DIVMTQSPFLSLPVTPEPASISCRSSQSL HKNRFNLDWYVQKPGQSPQLLIYLGSNRA SGVPDRFSGSGSGTDFTLKIIRVEAEDVGV YYCMQALQTPFTFGCGTKVEIKGGGSGGG GSGGGGSQQLVESGGGVVQPGRSLRLSCA ASGFTFSSYGIHWVRQAPGKCLEWVALTSY EGGNKYAESVKGRFTISRDNKNTLYLQM NSLRAEDTAVYYCAKDRGTIFGDYGMVWG QGTTVTVSSGGGGSEVQLVESGGGLVQPGG SLKLSCAASGFTFNKYAMNWRQAPGKGLE WVARIRSKYNNYATYYADSVKDRFTISRDD SKNTAYLQMNLLKTEDTAVYYCVRHGNFGN SYISYWAYWGQGLTVTVSSGGGGSGGGGSG GGGSQTVVTQEPSTLTVSPGGTVTLTCSST GAVTSGNYPNWVQKPGQAPRGLIGGTFKL APGTPARFSGSLLGGKAALTLSGVQPEDEA EYYCVLWYSNRWVFGGGTKLTVLGGGDKT HTCPPCPAPELLGGPSVFLFPPKPKDTLMI SRTPEVTCVVVDVSHEDPEVKFNWYVDGVE VHNAKTKPCEEQYGSTYRCVSVLTVLHQDW LNGKEYKCKVSNKALPAPIEKTISKAKGQ REPQVYTLPPSREEMTKNQVSLTCLVKGFY PSDIAVEWESNGQPENNYKTTTPVLDSDGS FFLYSKLTVDKSRWQQGNVFSCSVMHEALH NHYTQKSLSLSPGGGGSGGGGSGGGGSGGG GSGGGGSGGGGSDKTHTCPPCPAPELLGGP SVFLFPPKPKDTLMI SRTPEVTCVVVDVSH EDPEVKFNWYVDGVEVHNAKTKPCEEQYGS TYRCVSVLTVLHQDWLNGKEYKCKVSNKAL</p>

			PAPIEKTISKAKGQPREPQVYTLPPSREEM TKNQVSLTCLVKGFYPSDIAVEWESNGQPE NNYKTTTPVLDSDGSFFLYSKLTVDKSRWQ QGNVFSCSVMHEALHNHYTQKSLSLSPGK
1329.	CD19 9-A8 CC x I2C0- scFc	VH CDR1	SYGIH
1330.	CD19 9-A8 CC x I2C0- scFc	VH CDR2	LTSYEGGNKYAESVKG
1331.	CD19 9-A8 CC x I2C0- scFc	VH CDR3	DRGTIFGDYGM DV
1332.	CD19 9-A8 CC x I2C0- scFc	VL CDR1	RSSQSLLRNSWNYLD
1333.	CD19 9-A8 CC x I2C0- scFc	VL CDR2	LGSNRAS
1334.	CD19 9-A8 CC x I2C0- scFc	VL CDR3	MQALQTPFT
1335.	CD19 9-A8 CC x I2C0- scFc	VH	QVQLVESGGGVVQPGRSLRLS CAASGFTFS SYGIHWVRQAPGKCLEWVALTSYEGGNKYY AESVKGRFTISRDN SKNTLYLQMNSLRAED TAVYYCAKDRGTIFGDYGM DVWGQTTVTV SS
1336.	CD19 9-A8 CC x I2C0- scFc	VL	DIVMTQSPLSLPVTPEPASISCRSSQSLL HRNSWNYLDWYLQKPGQSPQLLIYLGSNRA SGVPDRFSGSGGTDFTLKISRVEAEDVGV YYCMQALQTPFTFGCGTKVEIK
1337.	CD19 9-A8 CC x I2C0- scFc	scFv	DIVMTQSPLSLPVTPEPASISCRSSQSLL HRNSWNYLDWYLQKPGQSPQLLIYLGSNRA SGVPDRFSGSGGTDFTLKISRVEAEDVGV YYCMQALQTPFTFGCGTKVEIKGGGSGGG

			GSGGGGSQVQLVESGGGVVQPGRSLRLSCA ASGFTFSSYGIHWVRQAPGKCLEWVALTSY EGGNKYAESVKGRFTISRDNKNTLYLQM NSLRAEDTAVYYCAKDRGTIFGDYGMVDVWG QGTITVTVSS
1338.	CD19 9-A8 CC x I2C0- scFc	биспецифи ческая молекула	DIVMTQSPFLSLPVTPEPASISCRSSQSLL HRNSWNYLDWYLQKPGQSPQLLIYLGSNRA SGVPDRFSGSGSGTDFTLKISRVEAEDVGV YYCMQALQTPFTFGCGTKVEIKGGGSGGG GSGGGGSQVQLVESGGGVVQPGRSLRLSCA ASGFTFSSYGIHWVRQAPGKCLEWVALTSY EGGNKYAESVKGRFTISRDNKNTLYLQM NSLRAEDTAVYYCAKDRGTIFGDYGMVDVWG QGTITVTVSSGGGGSEVQLVESGGGLVQPGG SLKLSCAASGFTFNKYAMNWVRQAPGKGLE WVARIRSKYNNYATYYADSVKDRFTISRDD SKNTAYLQMNLLKTEDTAVYYCVRHGNFGN SYISYWAYWGQGLVTVSSGGGGSGGGGSG GGGSQTVVTQEPSLTVSPGGTVTLTCGSST GAVTSGNYPNWVQKPGQAPRGLIGTKFL APGTPARFSGSLLGGKAALTLSGVQPEDEA EYYCVLWYSNRWVFGGGTKLTVL
1339.	CD19 9-A8 CC x I2C0- scFc	биспецифи ческая молекула HLE	DIVMTQSPFLSLPVTPEPASISCRSSQSLL HRNSWNYLDWYLQKPGQSPQLLIYLGSNRA SGVPDRFSGSGSGTDFTLKISRVEAEDVGV YYCMQALQTPFTFGCGTKVEIKGGGSGGG GSGGGGSQVQLVESGGGVVQPGRSLRLSCA ASGFTFSSYGIHWVRQAPGKCLEWVALTSY EGGNKYAESVKGRFTISRDNKNTLYLQM NSLRAEDTAVYYCAKDRGTIFGDYGMVDVWG QGTITVTVSSGGGGSEVQLVESGGGLVQPGG SLKLSCAASGFTFNKYAMNWVRQAPGKGLE WVARIRSKYNNYATYYADSVKDRFTISRDD SKNTAYLQMNLLKTEDTAVYYCVRHGNFGN SYISYWAYWGQGLVTVSSGGGGSGGGGSG

			GGGSQTVVTQEPLSLTVSPGGTVTLTCGSST GAVTSGNYPNWVQQKPGQAPRGLIGGTFKL APGTPARFSGSLLGGKAALTLSGVQPEDEA EYYCVLWYSNRWVFGGGTKLTVLGGGGDKT HTCPPCPAPPELLGGPSVFLFPPKPKDTLMI SRTPEVTCVVVDVSHEDPEVKFNWYVDGVE VHNAKTKPCEEQYGYSTYRCVSVLTVLHQDW LNGKEYKCKVSNKALPAPIEKTISKAKGQP REPQVYTLPPSREEMTKNQVSLTCLVKGFY PSDIAVEWESNGQPENNYKTTPPVLDSGDS FFLYSKLTVDKSRWQQGNVFCSCVMHEALH NHYTQKLSLSLSPGKGGGGSGGGGGSGGGGSG GGGGGGGGGGGGDKTHTCPPCPAPELLG GPSVFLFPPKPKDTLMISRTPEVTCVVVDV SHEDPEVKFNWYVDGVEVHNAKTKPCEEQY GSTYRCVSVLTVLHQDWLNGKEYKCKVSNK ALPAPIEKTISKAKGQPREPQVYTLPPSRE EMTKNQVSLTCLVKGFYPSDIAVEWESNGQ PENNYKTTPPVLDSGDSFFLYSKLTVDKSR WQQGNVFCSCVMHEALHNHYTQKLSLSLSPG K
1340.	CD19 9-A8 CC x I2C0- scFc_delGK	биспецифи ческая молекула HLE	DIVMTQSPLSLPVTPEPASISCRSSQSLL HRNSWNYLDWYLQKPGQSPQLLIYLGSNRA SGVPDRFSGSGGTDFTLKISRVEAEDVGV YYCMQALQTPFTFGCGTKVEIKGGGGSGGG GSGGGGSQQLVESGGGVVQPGRSLRLSCA ASGFTFSSYGIHWVRQAPGKCLEWVALTSY EGGNKYAESVKGRFTISRDNKNTLYLQM NSLRAEDTAVYYCAKDRGTIFGDYGMVWVG QGTTVTVSSGGGGSEVQLVESGGGLVQPGG SLKLSCAASGFTFNKYAMNWRQAPGKGLE WVARIRSKYNNYATYYADSVKDRFTISRDD SKNTAYLQMNLLKTEDTAVYYCVRHGNFGN SYISYWAYWGQGLTVTVSSGGGGSGGGGGSG GGGSQTVVTQEPLSLTVSPGGTVTLTCGSST

			<p>GAVTSGNYPNWVQQKPGQAPRGLIGGTFKL APGTPARFSGSLLGGKAALTLSGVQPEDEA EYYCVLWYSNRWVFGGGTKLTVLGGGGDKT HTCPPCPAPELLGGPSVFLFPPKPKDTLMI SRTPEVTCVVVDVSHEDPEVKFNWYVDGVE VHNAKTKPCEEQYGSTYRCVSVLTVLHQDW LNGKEYKCKVSNKALPAPIEKTISKAKGQP REPQVYTLPPSREEMTKNQVSLTCLVKGFY PSDIAVEWESNGQPENNYKTTPVLDSDGS FFLYSKLTVDKSRWQQGNVFCSCVMHEALH NHYTQKLSLSLSPGGGGSGGGSGGGSGGGG GSGGGSGGGGSDKTHTCPPCPAPELLGGP SVFLFPPKPKDTLMI SRTPEVTCVVVDVSH EDPEVKFNWYVDGVEVHNAKTKPCEEQYGS TYRCVSVLTVLHQDWLNGKEYKCKVSNKAL PAPIEKTISKAKGQPREPQVYTLPPSREEM TKNQVSLTCLVKGFYPSDIAVEWESNGQPE NNYKTTPVLDSDGSFFLYSKLTVDKSRWQ QGNVFCSCVMHEALHNHNTQKLSLSLSPGK</p>
1341.	CD19 9-C1 CC x I2C0- scFc	VH CDR1	SYGIH
1342.	CD19 9-C1 CC x I2C0- scFc	VH CDR2	LTSYEGGNKYAESVKG
1343.	CD19 9-C1 CC x I2C0- scFc	VH CDR3	DRGTIFGDYGM DV
1344.	CD19 9-C1 CC x I2C0- scFc	VL CDR1	RSSQSLLHPNHFNYLD
1345.	CD19 9-C1 CC x I2C0- scFc	VL CDR2	LGSNRAS
1346.	CD19 9-C1	VL CDR3	MQALQTPFT

	CC x I2C0-scFc		
1347.	CD19 9-C1 CC x I2C0-scFc	VH	QVQLVESGGGVVQPGRSLRLSCAASGFTFS SYGIHWVRQAPGKCLEWVALTSYEGGNKYY AESVKGRFTISRDNKNTLYLQMNSLRAED TAVYYCAKDRGTIFGDYGMVDVWGQTTVTV SS
1348.	CD19 9-C1 CC x I2C0-scFc	VL	DIVMTQSPLSLPVTPEPASISCRSSQSLL HPNHFNLDWYLQKPGQSPQLLIYLGNSRA SGVPDRFSGSGSDFTLTKISRVEAEDVGV YYCMQALQTPFTFGCGTKVEIK
1349.	CD19 9-C1 CC x I2C0-scFc	scFv	DIVMTQSPLSLPVTPEPASISCRSSQSLL HPNHFNLDWYLQKPGQSPQLLIYLGNSRA SGVPDRFSGSGSDFTLTKISRVEAEDVGV YYCMQALQTPFTFGCGTKVEIKGGGGSGGG GSGGGGSQVQLVESGGGVVQPGRSLRLS CAASGFTFSSYGIHWVRQAPGKCLEWVALTSY EGGNKYYAESVKGRFTISRDNKNTLYLQM NSLRAEDTAVYYCAKDRGTIFGDYGMVDVWG QTTVTVSS
1350.	CD19 9-C1 CC x I2C0-scFc	биспецифическая молекула	DIVMTQSPLSLPVTPEPASISCRSSQSLL HPNHFNLDWYLQKPGQSPQLLIYLGNSRA SGVPDRFSGSGSDFTLTKISRVEAEDVGV YYCMQALQTPFTFGCGTKVEIKGGGGSGGG GSGGGGSQVQLVESGGGVVQPGRSLRLS CAASGFTFSSYGIHWVRQAPGKCLEWVALTSY EGGNKYYAESVKGRFTISRDNKNTLYLQM NSLRAEDTAVYYCAKDRGTIFGDYGMVDVWG QTTVTVSSGGGGSEVQLVESGGGLVQPGG SLKLSCAASGFTFNKYAMNWRQAPGKGLE WVARIRSKYNNYATYYADSVKDRFTISRDD SKNTAYLQMNNLKTEDTAVYYCVRHGNFGN SYISYWAYWGQGLVTVSSGGGGSGGGSG GGGSQTVVTQEPSLTVSPGGTVTLTCSST GAVTSGNYPNWVQKPGQAPRGLIGGTKFL

			APGTPARFSGSLLGGKAALTLSGVQPEDEA EYYCVLWYSNRWVFGGGTKLTVL
1351.	CD19 9-C1 CC x I2C0- scFc	биспецифи- ческая молекула HLE	DIVMTQSPLSLPVTPEPASISCRSSQSLL HPNHFNLDWYLQKPGQSPQLLIYLGSNRA SGVPDRFSGSGSDFTLTKISRVEAEDVGV YYCMQALQTPFTFGCGTKVEIKGGGSGGG GSGGGGQVQLVESGGGVQPGRSLRLSCA ASGFTFSSYGIHWVRQAPGKCLEWVALTSY EGGNKYAESVKGRFTISRDNKNTLYLQM NSLRAEDTAVYYCAKDRGTIFGDYGMVWG QGTTVTVSSGGGSEVQLVESGGGLVQPGG SLKLSCAASGFTFNKYAMNWRQAPGKGLE WVARIRSKYNNYATYYADSVKDRFTISRDD SKNTAYLQMNKLTEDTAVYYCVRHGNFGN SYISYWAYWGQGLVTVSSGGGSGGGGSG GGGQTVVTQEPSLTVSPGGTVTLTCGSST GAVTSGNYPNWVQKPGQAPRGLIGGKFL APGTPARFSGSLLGGKAALTLSGVQPEDEA EYYCVLWYSNRWVFGGGTKLTVLGGGDKT HTCPPCPAPELLGGPSVFLFPPKPKDTLMI SRTPEVTCVVVDVSHEDPEVKFNWYVDGVE VHNAKTKPCEEQYGSTYRCVSVLTVLHQDW LNGKEYKCKVSNKALPAPIEKTISKAKGQP REPQVYTLPPSREEMTKNQVSLTCLVKGFY PSDIAVEWESNGQPENNYKTTPPVLDSDGS FFLYSKLTVDKSRWQQGNVFSCSVMHEALH NHYTQKSLSLSPGKGGGSGGGGSGGGGSG GGGSGGGGSGGGGSDKHTHTCPPCPAPELLG GPSVFLFPPKPKDTLMISRTPEVTCVVVDV SHEDPEVKFNWYVDGVEVHNAKTKPCEEQY GSTYRCVSVLTVLHQDWLNGKEYKCKVSNK ALPAPIEKTISKAKGQPREPQVYTLPPSRE EMTKNQVSLTCLVKGFYPSDIAVEWESNGQ PENNYKTTPPVLDSDGSFFLYSKLTVDKSR WQQGNVFSCSVMHEALHNHYTQKSLSLSPG

			K
1352.	CD19 9-C1 CC x I2C0- scFc	биспецифи- ческая молекула HLE	<p> DIVMTQSPLSLPVTPEPASI SCRSSQSLL HPNHFNYLDWYLQKPGQSPQLLIYLGSNRA SGVPDRFSGSGSGTDFTLKI SRVEAEDVGV YYCMQALQTPFTFGCGTKVEIKGGGSGGG GSGGGGSQVQLVESGGGVVQPGRSLRLSCA ASGFTFSSYGIHWVRQAPGKCLEWVALTSY EGGNKYYAESVKGRFTISRDNKNTLYLQM NSLRAEDTAVYYCAKDRGTIFGDYGMVDVWG QGTTVTVSSGGGGSEVQLVESGGGLVQPGG SLKLSCAASGFTFNKYAMNWRQAPGKGLE WVARIRSKYNNYATYYADSVKDRFTISRDD SKNTAYLQMNLLKTEDTAVYYCVRHGNFGN SYISYWAYWGQGLVTVSSGGGGSGGGGSG GGGSQTVVTQEPSLTVSPGGTVTLTCSST GAVTSGNYPNWVQKPGQAPRGLIGGTKFL APGTPARFSGSLLGKKAALTLSGVQPEDEA EYYCVLWYSNRWVFGGGTKLTVLGGGDKT HTCPCPAPELLGGPSVFLFPPKPKDTLMI SRTPEVTCVVVDVSHEDPEVKFNWYVDGVE VHNAKTKPCEEQYGSTYRCVSVLTVLHQDW LNGKEYKCKVSNKALPAPIEKTISKAKGQP REPQVYTLPPSREEMTKNQVSLTCLVKGFY PSDIAVEWESNGQPENNYKTTPPVLDSDGS FFLYSKLTVDKSRWQQGNVFSCSVMHEALH NHYTQKLSLSLSPGGGGSGGGGSGGGGSGGG GSGGGGSGGGGDKTHTCPCPAPELLGGP SVFLFPPKPKDTLMI SRTPEVTCVVVDVSH EDPEVKFNWYVDGVEVHNAKTKPCEEQYGS TYRCVSVLTVLHQDWLNGKEYKCKVSNKAL PAPIEKTISKAKGQPREPQVYTLPPSREEM TKNQVSLTCLVKGFYPSDIAVEWESNGQPE NNYKTTPPVLDSDGSFFLYSKLTVDKSRWQ QGNVFSCSVMHEALHNHYTQKLSLSLSPGK </p>
1353.	CD19 0-B6	VH CDR1	SYGIH

	CC x I2C0- scFc		
1354.	CD19 0-B6 CC x I2C0- scFc	VH CDR2	LTSYEGGNKYAESVKG
1355.	CD19 0-B6 CC x I2C0- scFc	VH CDR3	DRGTIFGDYGM DV
1356.	CD19 0-B6 CC x I2C0- scFc	VL CDR1	RSSQSL LHKNSFN YLD
1357.	CD19 0-B6 CC x I2C0- scFc	VL CDR2	LGSNRAS
1358.	CD19 0-B6 CC x I2C0- scFc	VL CDR3	MQALQTPFT
1359.	CD19 0-B6 CC x I2C0- scFc	VH	QVQLVESGGGVVQPGRSLRLSCAASGFTFS SYGIHWVRQAPGKCLEWVALTSYEGGNKY AESVKG RFTISRDN SKNTLYLQMNSLRAED TAVYYCAKDRGTIFGDYGM DVWGQTTVTV SS
1360.	CD19 0-B6 CC x I2C0- scFc	VL	DIVMTQSPLSLPVTPEPASISCRSSQSL HKNSFN YLDWYLQKPGQSPQLLIYLG SNRASGVPDRFSGSGSDFTLTKISRVEAEDVGV YYCMQALQTPFTFGCGTKVEIK
1361.	CD19 0-B6 CC x I2C0- scFc	scFv	DIVMTQSPLSLPVTPEPASISCRSSQSL HKNSFN YLDWYLQKPGQSPQLLIYLG SNRASGVPDRFSGSGSDFTLTKISRVEAEDVGV YYCMQALQTPFTFGCGTKVEIKGGGSGGG GSGGGGSQVQLVESGGGVVQPGRSLRLSCA ASGFTFSSYGIHWVRQAPGKCLEWVALTSY EGGNKYAESVKG RFTISRDN SKNTLYLQM NSLRAEDTAVYYCAKDRGTIFGDYGM DVWG QTTVTVSS

1362.	CD19 0-B6 CC x I2C0- scFc	биспецифи ческая молекула	DIVMTQSPFLSLPVTPEEPASISCRSSQSLL HKNSFNLDWYLQKPGQSPQLLIYLGSNRA SGVPDRFSGSGSGTDFTLKISRVEAEDVGV YYCMQALQTPFTFGCGTKVEIKGGGSGGG GSGGGGSQVQLVESGGGVVQPGRSLRLSCA ASGFTFSSYGIHWVRQAPGKCLEWVALTSY EGGNKYAESVKGRFTISRDN SKNTLYLQM NSLRAEDTAVYYCAKDRGTIFGDYGM DVWG QGT TTVTVSSGGGGSEVQLVESGGGLVQPGG SLKLSCAASGFTFNKYAMNWVRQAPGKGLE WVARIRSKYNNYATYYADSVKDRFTISRDD SKNTAYLQMN NLKTEDTAVYYCVRHGNFGN SYISYWAYWGQGLTVTVSSGGGGSGGGGSG GGGSQTVVTQEP SLTVSPGGTVTLTCGSST GAVTSGNYPNWVQQKPGQAPRGLIGGTKFL APGTPARFSGSLLGGKAALTL SGVQPEDEA EYYCVLWYSNRWVFGGGTKLTVL
1363.	CD19 0-B6 CC x I2C0- scFc	биспецифи ческая молекула HLE	DIVMTQSPFLSLPVTPEEPASISCRSSQSLL HKNSFNLDWYLQKPGQSPQLLIYLGSNRA SGVPDRFSGSGSGTDFTLKISRVEAEDVGV YYCMQALQTPFTFGCGTKVEIKGGGSGGG GSGGGGSQVQLVESGGGVVQPGRSLRLSCA ASGFTFSSYGIHWVRQAPGKCLEWVALTSY EGGNKYAESVKGRFTISRDN SKNTLYLQM NSLRAEDTAVYYCAKDRGTIFGDYGM DVWG QGT TTVTVSSGGGGSEVQLVESGGGLVQPGG SLKLSCAASGFTFNKYAMNWVRQAPGKGLE WVARIRSKYNNYATYYADSVKDRFTISRDD SKNTAYLQMN NLKTEDTAVYYCVRHGNFGN SYISYWAYWGQGLTVTVSSGGGGSGGGGSG GGGSQTVVTQEP SLTVSPGGTVTLTCGSST GAVTSGNYPNWVQQKPGQAPRGLIGGTKFL APGTPARFSGSLLGGKAALTL SGVQPEDEA EYYCVLWYSNRWVFGGGTKLTVLGGGDKT HTCPPCPAPELLGGPSVFLFPPKPKDTLMI

			<p>SRTPEVTCVVVDVSHEDPEVKFNWYVDGVE VHNAKTKPCEEQYGSTYRCVSVLTVLHQDW LNGKEYKCKVSNKALPAPIEKTISKAKGQP REPQVYTLPPSREEMTKNQVSLTCLVKGFY PSDIAVEWESNGQPENNYKTTPVLDSDGS FFLYSKLTVDKSRWQQGNVFSCSVMHEALH NHYTQKSLSLSPGKGGGGSGGGGGSGG GGGGGGGGGGGSDKHTHTCPPCPAPELLG GPSVFLFPPKPKDTLMI SRTPEVTCVVVDV SHEDPEVKFNWYVDGVEVHNAKTKPCEEQY GSTYRCVSVLTVLHQDWLNGKEYKCKVSNK ALPAPIEKTISKAKGQPREPQVYTLPPSRE EMTKNQVSLTCLVKGFYPSDIAVEWESNGQ PENNYKTTPVLDSDGSFFLYSKLTVDKSR WQQGNVFSCSVMHEALHNHYTQKSLSLSPG K</p>
<p>1364.</p>	<p>CD19 0-B6 CC x I2C0- scFc_delGK</p>	<p>биспецифи ческая молекула HLE</p>	<p>DIVMTQSPFLSLPVTPEPASISCRSSQSLL HKNSFNLDWYLQKPGQSPQLLIYLGSNRA SGVDPDRFSGSGSDFTLKISRVEAEDVGV YYCMQALQTPFTFGCGTKVEIKGGGGSGGG GSGGGGSQVQLVESGGGVVQPGRSLRLSCA ASGFTFSSYGIHWVRQAPGKCLEWVALTSY EGGNKYAESVKGRFTISRDN SKNTLYLQM NSLRAEDTAVYYCAKDRGTIFGDYGM DVWG QGTTVTVSSGGGSEVQLVESGGGLVQPGG SLKLSCAASGFTFNKYAMNWVRQAPGKGLE WVARIRSKYNNYATYYADSVKDRFTISRDD SKNTAYLQMNLLKTEDTAVYYCVRHGNFGN SYISYWAYWGQGLVTVSSGGGGSGGGGGSG GGGSQTVVTVQEPSTLVSPGGTVTLTCGSST GAVTSGNYPNWVQQKPGQAPRGLIGTKFL APGTPARFSGSLLGGKAALTL SGVQPEDEA EYYCVLWYSNRWVFGGGTKLTVLGGGGDKT HTCPPCPAPELLGGPSVFLFPPKPKDTLMI SRTPEVTCVVVDVSHEDPEVKFNWYVDGVE</p>

			VHNAKTKPCEEQYGSTYRCVSVLTVLHQDW LNGKEYKCKVSNKALPAPIEKTISKAKGQP REPQVYTLPPSREEMTKNQVSLTCLVKGFY PSDIAVEWESNGQPENNYKTTPPVLDSDGS FFLYSKLTVDKSRWQQGNVFCSCVMHEALH NHYTQKSLSLSPGGGGSGGGSGGGSGGG GSGGGSGGGGSDKTHHTCPPAPELGGP SVFLFPPKPKDTLMI SRTPEVTCVVDVSH EDPEVKFNWYVDGVEVHNAKTKPCEEQYGS TYRCVSVLTVLHQDWLNGKEYKCKVSNKAL PAPIEKTISKAKGQPREPQVYTLPPSREEM TKNQVSLTCLVKGFYPSDIAVEWESNGQPE NNYKTTPPVLDSDGSFFLYSKLTVDKSRWQ QGNVFCSCVMHEALHNHYTQKSLSLSPGK
1365.	CD19 0-C12 CC x I2C0- scFc	VH CDR1	SYGIH
1366.	CD19 0-C12 CC x I2C0- scFc	VH CDR2	LTSYEGGNKYAESVKG
1367.	CD19 0-C12 CC x I2C0- scFc	VH CDR3	DRGTIFGDYGM DV
1368.	CD19 0-C12 CC x I2C0- scFc	VL CDR1	RSSQSL LHKNHFNYLD
1369.	CD19 0-C12 CC x I2C0- scFc	VL CDR2	LGSNRAS
1370.	CD19 0-C12 CC x I2C0- scFc	VL CDR3	MQALQTPFT
1371.	CD19 0-C12 CC x I2C0- scFc	VH	QVQLVESGGGVVQPGRSLRLSCAASGFTFS SYGIHWVRQAPGKCLEWVALTSYEGGNKYY AESVKGRTISRDN SKNTLYLQMNSLRAED

			TAVYYCAKDRGTIFGDYGMVDVWGQGTTVTVSS
1372.	CD19 0-C12 CC x I2C0- scFc	VL	DIVMTQSPLSLPVTPEPASISCRSSQSLL HKNHFNYLDWYLQKPGQSPQLLIYLGSNRA SGVPDRFSGSGSGTDFTLKISRVEAEDVGV YYCMQALQTPFTFGCGTKVEIK
1373.	CD19 0-C12 CC x I2C0- scFc	scFv	DIVMTQSPLSLPVTPEPASISCRSSQSLL HKNHFNYLDWYLQKPGQSPQLLIYLGSNRA SGVPDRFSGSGSGTDFTLKISRVEAEDVGV YYCMQALQTPFTFGCGTKVEIKGGGGSGGG GSGGGGSQVQLVESGGGVVQPRSLRLSCA ASGFTFSSYGIHWVRQAPGKCLEWVALTSY EGGNKYAESVKGRFTISRDNKNTLYLQM NSLRAEDTAVYYCAKDRGTIFGDYGMVDVWG QGTTVTVSS
1374.	CD19 0-C12 CC x I2C0- scFc	биспецифическая молекула	DIVMTQSPLSLPVTPEPASISCRSSQSLL HKNHFNYLDWYLQKPGQSPQLLIYLGSNRA SGVPDRFSGSGSGTDFTLKISRVEAEDVGV YYCMQALQTPFTFGCGTKVEIKGGGGSGGG GSGGGGSQVQLVESGGGVVQPRSLRLSCA ASGFTFSSYGIHWVRQAPGKCLEWVALTSY EGGNKYAESVKGRFTISRDNKNTLYLQM NSLRAEDTAVYYCAKDRGTIFGDYGMVDVWG QGTTVTVSSGGGGSEVQLVESGGGLVQPGG SLKLSCAASGFTFNKYAMNWRQAPGKGLE WVARIRSKYNNYATYYADSVKDRFTISRDD SKNTAYLQMNLLKTEDTAVYYCVRHGNFGN SYISYWAYWGQGLTVTVSSGGGGSGGGSGG GGGSQTVVTQEPSTLVSPGGTVTLTCSST GAVTSGNYFNWVQKPGQAPRGLIGGTKFL APGTPARFSGSLLGGKAALTLQVPEDEA EYYCVLWYSNRWVFGGGTKLTVL
1375.	CD19 0-C12 CC x I2C0- scFc	биспецифическая молекула	DIVMTQSPLSLPVTPEPASISCRSSQSLL HKNHFNYLDWYLQKPGQSPQLLIYLGSNRA SGVPDRFSGSGSGTDFTLKISRVEAEDVGV

		HLE	<p> Y Y C M Q A L Q T P F T F G C G T K V E I K G G G S G G G G S G G G S Q V Q L V E S G G G V V Q P G R S L R L S C A A S G F T F S S Y G I H W V R Q A P G K C L E W V A L T S Y E G G N K Y Y A E S V K G R F T I S R D N S K N T L Y L Q M N S L R A E D T A V Y Y C A K D R G T I F G D Y G M D V W G Q G T T V T V S S G G G S E V Q L V E S G G G L V Q P G G S L K L S C A A S G F T F N K Y A M N W V R Q A P G K G L E W V A R I R S K Y N N Y A T Y Y A D S V K D R F T I S R D D S K N T A Y L Q M N N L K T E D T A V Y Y C V R H G N F G N S Y I S Y W A Y W G Q G T L V T V S S G G G S G G G G S G G G G S Q T V V T Q E P S L T V S P G G T V T L T C G S S T G A V T S G N Y P N W V Q Q K P Q A P R G L I G G T K F L A P G T P A R F S G S L L G G K A A L T L S G V Q P E D E A E Y Y C V L W Y S N R W V F G G G T K L T V L G G G G D K T H T C P P C P A P E L L G G P S V F L F P P K P K D T L M I S R T P E V T C V V V D V S H E D P E V K F N W Y V D G V E V H N A K T K P C E E Q Y G S T Y R C V S V L T V L H Q D W L N G K E Y K C K V S N K A L P A P I E K T I S K A K G Q P R E P Q V Y T L P P S R E E M T K N Q V S L T C L V K G F Y P S D I A V E W E S N G Q P E N N Y K T T P P V L D S D G S F F L Y S K L T V D K S R W Q Q G N V F S C S V M H E A L H N H Y T Q K S L S L S P G K G G G S G G G S G G G G S G G G G S G G G S G G G S D K T H T C P P C P A P E L L G G P S V F L F P P K P K D T L M I S R T P E V T C V V V D V S H E D P E V K F N W Y V D G V E V H N A K T K P C E E Q Y G S T Y R C V S V L T V L H Q D W L N G K E Y K C K V S N K A L P A P I E K T I S K A K G Q P R E P Q V Y T L P P S R E E M T K N Q V S L T C L V K G F Y P S D I A V E W E S N G Q P E N N Y K T T P P V L D S D G S F F L Y S K L T V D K S R W Q Q G N V F S C S V M H E A L H N H Y T Q K S L S L S P G K </p>
1376.	CD19 0-C12 CC x I2C0- scFc_delGK	биспецифи- ческая молекула HLE	<p> D I V M T Q S P L S L P V T P G E P A S I S C R S S Q S L L H K N H F N Y L D W Y L Q K P G Q S P Q L L I Y L G S N R A S G V P D R F S G S G S G T D F T L K I S R V E A E D V G V Y Y C M Q A L Q T P F T F G C G T K V E I K G G G S G G G </p>

			<p>GSGGGGSQVQLVESGGGVVQPGRSLRLSCA ASGFTFSSYGIIHWVRQAPGKCLEWVALTSY EGGNKYYAESVKGRFTISRDNKNTLYLQM NSLRAEDTAVYYCAKDRGTIFGDYGMVWG QGTTVTVSSGGGGSEVQLVESGGGLVQPGG SLKLSCAASGFTFNKYAMNWVRQAPGKGLE WVARIRSKYNNYATYYADSVKDRFTISRDD SKNTAYLQMNNLKTEDTAVYYCVRHGNFGN SYISYWAYWGQGTLLVTVSSGGGGSGGGGSG GGGSQTVVTQEPSLTVSPGGTVTLTCSST GAVTSGNYPNWVQQKPGQAPRGLIGTKFL APGTPARFSGSLLGGKAALTLQVQPEDEA EYCVLWYSNRWVFGGKTLTVLGGGDKT HTPPCPAPELLGGPSVFLFPPKPKDTLMI SRTPEVTCVVDVSHEDPEVKFNWYVDGVE VHNAKTKPCEEQYGSYRCVSVLTVLHQDW LNGKEYKCKVSNKALPAPIEKTISKAKGQP REPQVYTLPPSREEMTKNQVSLTCLVKGFY PSDIAVEWESNGQPENNYKTPPVLDSDGS FFLYSKLTVDKSRWQQGNVFCFSVMHEALH NHYTQKLSLSLSPGGGGSGGGGSGGGGSGGG GSGGGSGGGGSDKTHHTPCPCPAPELLGGP SVFLFPPKPKDTLMI SRTPEVTCVVDVSH EDPEVKFNWYVDGVEVHNAKTKPCEEQYGS TYRCVSVLTVLHQDWLNGKEYKCKVSNKAL PAPIEKTISKAKGQPREPQVYTLPPSREEM TKNQVSLTCLVKGFYPSDIAVEWESNGQPE NNYKTPPVLDSDGSFFLYSKLTVDKSRWQ QGNVFCFSVMHEALHNHYTQKLSLSLSPGK</p>
1377.	CD19 4- C1RE-B10 CC x I2C0-scFc	VH CDR1	NYGMH
1378.	CD19 4- C1RE-B10 CC x I2C0-scFc	VH CDR2	VMSWEGSNKYYAEPVKG

1379.	CD19 4- C1RE-B10 CC x I2C0-scFc	VH CDR3	DRGTIFGYYGMDV
1380.	CD19 4- C1RE-B10 CC x I2C0-scFc	VL CDR1	RSSQSLLHKNNFNLYD
1381.	CD19 4- C1RE-B10 CC x I2C0-scFc	VL CDR2	LGSNRAS
1382.	CD19 4- C1RE-B10 CC x I2C0-scFc	VL CDR3	MQALQTPLT
1383.	CD19 4- C1RE-B10 CC x I2C0-scFc	VH	QVQLVESGGGVVQPGRSLRLSCEASGFIVS NYGMHWVRQAPGKCLEWVAVMSWEGSNKYY AEPVKGRFTISRDKSKNTLSLQMSLRAED TALYYCARDRGTIFGYYGMDVWVGQTTVTV SS
1384.	CD19 4- C1RE-B10 CC x I2C0-scFc	VL	DIVMTQSPLSLPVTGPGEPAISCRSSQSLL HKNNFNLYLDWYLQKPGQSPQLLIYLGSNRA SGVPDRFSGSGSGTDFTLKISRVEAEDVGV YYCMQALQTPLTFACGTKVEIK
1385.	CD19 4- C1RE-B10 CC x I2C0-scFc	scFv	DIVMTQSPLSLPVTGPGEPAISCRSSQSLL HKNNFNLYLDWYLQKPGQSPQLLIYLGSNRA SGVPDRFSGSGSGTDFTLKISRVEAEDVGV YYCMQALQTPLTFACGTKVEIKGGGGSGGG GSGGGGSQVQLVESGGGVVQPGRSLRLSCE ASGFIVSNYGMHWVRQAPGKCLEWVAVMSW EGSNKYYAEPVKGRFTISRDKSKNTLSLQMSL RAEDTALYYCARDRGTIFGYYGMDVWVG QTTTVTVSS
1386.	CD19 4- C1RE-B10 CC x I2C0-scFc	биспецифи ческая молекула	DIVMTQSPLSLPVTGPGEPAISCRSSQSLL HKNNFNLYLDWYLQKPGQSPQLLIYLGSNRA SGVPDRFSGSGSGTDFTLKISRVEAEDVGV YYCMQALQTPLTFACGTKVEIKGGGGSGGG GSGGGGSQVQLVESGGGVVQPGRSLRLSCE

			<p>ASGFIVSNYGMHWVRQAPGKCLEWVAVMSW EGSNKYAEPVKGRFTISRDKSKNTLSLQM SSLRAEDTALYYCARDRTIFGYGMDVWG QGTTVTVSSGGGGSEVQLVESGGGLVQPGG SLKLSCAASGFTFNKYAMNWRQAPGKGLE WVARIRSKYNNYATYYADSVKDRFTISRDD SKNTAYLQMNNLKTEDTAVYYCVRHGNFGN SYISYWAYWGQGLVTVSSGGGGSGGGGSG GGGSQTVVTQEPSLTVSPGGTVTLTCSST GAVTSGNYPNWVQKPGQAPRGLIGGTKFL APGTPARFSGSLLGGKAALTLSGVQPEDEA EYYCVLWYSNRWVFGGGTKLTVL</p>
1387.	CD19 4- C1RE-B10 CC x I2C0-scFc	биспецифи- ческая молекула HLE	<p>DIVMTQSPLSLPVTPEPASTSCRSSQSLL HKNNFNLDWYLQKPGQSPQLLIYLGSNRA SGVPDRFSGSGSDFTLTKISRVEAEDVGV YYCMQALQTPPLTFACGKVEIKGGGGSGGG GSGGGGSQVQLVESGGGVVQPGRSRLRSCE ASGFIVSNYGMHWVRQAPGKCLEWVAVMSW EGSNKYAEPVKGRFTISRDKSKNTLSLQM SSLRAEDTALYYCARDRTIFGYGMDVWG QGTTVTVSSGGGGSEVQLVESGGGLVQPGG SLKLSCAASGFTFNKYAMNWRQAPGKGLE WVARIRSKYNNYATYYADSVKDRFTISRDD SKNTAYLQMNNLKTEDTAVYYCVRHGNFGN SYISYWAYWGQGLVTVSSGGGGSGGGGSG GGGSQTVVTQEPSLTVSPGGTVTLTCSST GAVTSGNYPNWVQKPGQAPRGLIGGTKFL APGTPARFSGSLLGGKAALTLSGVQPEDEA EYYCVLWYSNRWVFGGGTKLTVLGGGDKT HTCPPCPAPELLGGPSVFLFPPKPKDTLMI SRTPEVTCVVVDVSHEDPEVKFNWYVDGVE VHNAKTKPCEEQYGSYRCVSVLTVLHQDW LNGKEYKCKVSNKALPAPIEKTISKAKGQP REPQVYTLPPSREEMTKNQVSLTCLVKGFY PSDIAVEWESNGQPENNYKTTPPVLDSDGS</p>

			<p>FFLYSKLTVDKSRWQQGNVFSCSVMHEALH NHYTQKSLSLSPGKGGGSGGGGSGGGGSG GGGSGGGGSGGGGSDKHTCPCPAPELLG GPSVFLFPPKPKDTLMI SRTPEVTCVVVDV SHEDPEVKFNWYVDGVEVHNAKTKPCEEQY GSTYRCVSVLTVLHQDWLNGKEYKCKVSNK ALPAPIEKTISKAKGQPREPQVYTLPPSRE EMTKNQVSLTCLVKGFYPSDIAVEWESNGQ PENNYKTPPVLDSGDSFFLYSKLTVDKSR WQQGNVFSCSVMHEALHNHYTQKSLSLSPG K</p>
1388.	<p>CD19 4- C1RE-B10 CC x I2C0- scFc_delGK</p>	<p>биспецифи ческая молекула HLE</p>	<p>DIVMTQSPLSLPVTPEPASISCRSSQSLL HKNNFNLDWYLQKPGQSPQLLIYLGSNRA SGVPDRFSGSGSGTDFTLKISRVEAEDVGV YYCMQALQTPLTFACGKVEIKGGGSGGG GSGGGGQVQLVESGGGVVQPGRSLRLSCE ASGFIVSNYGMHWVRQAPGKCLEWVAVMSW EGSNKYAEPVKGRFTISRDKSKNTLSLQM SSLRAEDTALYYCARDRTIFGYYGMDVWG QGTITVTVSSGGGSEVQLVESGGGLVQPGG SLKLSCAASGFTFNKYAMNWRQAPGKGLE WVARIRSKYNNYATYYADSVKDRFTISRDD SKNTAYLQMNLLKTEDTAVYYCVRHGNFGN SYISYWAYWGQGLVTVSSGGGSGGGGSG GGGSQTVVTQEPSLTVSPGGTVTLTCSST GAVTSGNYPNWVQKPGQAPRGLIGTKFL APGTPARFSGSLLGGKAALTLSGVQPEDEA EYYCVLWYSNRWVFGGGTKLTVLGGGDKT HTCPCPAPELLGGPSVFLFPPKPKDTLMI SRTPEVTCVVVDVSHEDPEVKFNWYVDGVE VHNAKTKPCEEQYGSTYRCVSVLTVLHQDW LNGKEYKCKVSNKALPAPIEKTISKAKGQ REPQVYTLPPSREEMTKNQVSLTCLVKGFY PSDIAVEWESNGQPENNYKTPPVLDSGDS FFLYSKLTVDKSRWQQGNVFSCSVMHEALH</p>

			NHYTQKSLSLSPGGGGSGGGGSGGGGSGGG GSGGGGSGGGGSDKTHTCPPELGGP SVFLFPPKPKDTLMISRTPEVTCVVVDVSH EDPEVKFNWYVDGVEVHNAKTKPCEEQYGS TYRCVSVLTVLHQDWLNGKEYKCKVSNKAL PAPIEKTISKAKGQPREPQVYTLPPSREEM TKNQVSLTCLVKGFYPSDIAVEWESNGQPE NNYKTTTPVLDSDGSFFLYSKLTVDKSRWQ QGNVFSCSVMEALHNHYTQKSLSLSPGK
1389.	CD19 97- G1RE CC x I2C0-scFc	VH CDR1	SYGMH
1390.	CD19 97- G1RE CC x I2C0-scFc	VH CDR2	VISYEGSNKYAESVKG
1391.	CD19 97- G1RE CC x I2C0-scFc	VH CDR3	DRGTIFGNYGLEV
1392.	CD19 97- G1RE CC x I2C0-scFc	VL CDR1	RSSQSLHGNRFNYLD
1393.	CD19 97- G1RE CC x I2C0-scFc	VL CDR2	LGSNRAS
1394.	CD19 97- G1RE CC x I2C0-scFc	VL CDR3	MQALQTPFT
1395.	CD19 97- G1RE CC x I2C0-scFc	VH	QVQLVESGGGVVQPGRSLRLSCAASGFTFS SYGMHWVRQAPGKCLEWVAVISYEGSNKYY AESVKGRFTISRDNKNTLYLQMNSLRDED TAVYYCARDRGTIFGNYGLEVWGQTTVTV SS
1396.	CD19 97- G1RE CC x I2C0-scFc	VL	DIVMTQSPLSLPVISGEPASISCRSSQSLL HGSRFNYLDWYLQKPGQSPQLLIYLGSRNA SGVPDRFSGSGGTDFTLKISRVEAEDVGV

			YYCMQALQTPFTFGCGTKVDIK
1397.	CD19 97- G1RE CC x I2C0-scFc	scFv	DIVMTQSPLSLPVISGEPASISCRSSQSLL HG N R F N Y L D W Y L Q K P G Q S P Q L L I Y L G S N R A S G V P D R F S G S G S G T D F T L K I S R V E A E D V G V Y Y C M Q A L Q T P F T F G C G T K V D I K G G G G S G G G G S G G G S Q V Q L V E S G G G V V Q P G R S L R L S C A A S G F T F S S Y G M H W V R Q A P G K C L E W V A V I S Y E G S N K Y Y A E S V K G R F T I S R D N S K N T L Y L Q M N S L R D E D T A V Y Y C A R D R G T I F G N Y G L E V W G Q G T T V T V S S
1398.	CD19 97- G1RE CC x I2C0-scFc	биспецифи- ческая молекула	DIVMTQSPLSLPVISGEPASISCRSSQSLL HG N R F N Y L D W Y L Q K P G Q S P Q L L I Y L G S N R A S G V P D R F S G S G S G T D F T L K I S R V E A E D V G V Y Y C M Q A L Q T P F T F G C G T K V D I K G G G G S G G G G S G G G S Q V Q L V E S G G G V V Q P G R S L R L S C A A S G F T F S S Y G M H W V R Q A P G K C L E W V A V I S Y E G S N K Y Y A E S V K G R F T I S R D N S K N T L Y L Q M N S L R D E D T A V Y Y C A R D R G T I F G N Y G L E V W G Q G T T V T V S S G G G S E V Q L V E S G G G L V Q P G G S L K L S C A A S G F T F N K Y A M N W V R Q A P G K G L E W V A R I R S K Y N N Y A T Y Y A D S V K D R F T I S R D D S K N T A Y L Q M N N L K T E D T A V Y Y C V R H G N F G N S Y I S Y W A Y W G Q G T L V T V S S G G G S G G G G S G G G G S Q T V V T Q E P S L T V S P G G T V T L T C G S S T G A V T S G N Y P N W V Q Q K P G Q A P R G L I G G T K F L A P G T P A R F S G S L L G G K A A L T L S G V Q P E D E A E Y Y C V L W Y S N R W V F G G G T K L T V L
1399.	CD19 97- G1RE CC x I2C0-scFc	биспецифи- ческая молекула HLE	DIVMTQSPLSLPVISGEPASISCRSSQSLL HG N R F N Y L D W Y L Q K P G Q S P Q L L I Y L G S N R A S G V P D R F S G S G S G T D F T L K I S R V E A E D V G V Y Y C M Q A L Q T P F T F G C G T K V D I K G G G G S G G G G S G G G S Q V Q L V E S G G G V V Q P G R S L R L S C A A S G F T F S S Y G M H W V R Q A P G K C L E W V A V I S Y E G S N K Y Y A E S V K G R F T I S R D N S K N T L Y L Q M N S L R D E D T A V Y Y C A R D R G T I F G N Y G L E V W G

			<p> QGTTVTVSSGGGGSEVQLVESGGGLVQPGG SLKLSCAASGFTFNKYAMNWVRQAPGKGLE WVARIRSKYNNYATYYADSVKDRFTISRDD SKNTAYLQMNNLKTEDTAVYYCVRHGNFGN SYISYWAYWGQGLVTVSSGGGGSGGGGSG GGGSQTVVTQEPSTLVSPGGTVTLTCGSST GAVTSGNYPNWVQQKPGQAPRGLIGGTKFL APGTPARFSGSLLGGKAALTLSGVQPEDEA EYYCVLWYSNRWVFGGGTKLTVLGGGDKT HTCPPCPAPELLGGPSVFLFPPKPKDTLMI SRTPEVTCVVDVSHEDPEVKFNWYVDGVE VHNAKTKPCEEQYGSTYRCVSVLTVLHQDW LNGKEYCKVSNKALPAPIEKTISKAKGQP REPQVYTLPPSREEMTKNQVSLTCLVKGFY PSDIAVEWESNGQPENNYKTTPPVLDSGGS FFLYSKLTVDKSRWQQGNVFCSCVMHEALH NHYTQKSLSLSPGKGGGGSGGGGGSGGGGSG GGGGGGGGGGGGSDKHTHTCPPCPAPELLG GPSVFLFPPKPKDTLMISRTPEVTCVVDV SHEDPEVKFNWYVDGVEVHNAKTKPCEEQY GSTYRCVSVLTVLHQDWLNGKEYCKVSNK ALPAPIEKTISKAKGQPREPQVYTLPPSRE EMTKNQVSLTCLVKGFYPSDIAVEWESNGQ PENNYKTTPPVLDSGGSFFLYSKLTVDKSR WQQGNVFCSCVMHEALHNHNTQKSLSLSPG K </p>
1400.	<p> CD19 97- G1RE CC x I2C0- scFc_delGK </p>	<p> биспецифи ческая молекула HLE </p>	<p> DIVMTQSPLSLPVISGEPASISCRSSQSLL HG N R F N Y L D W Y L Q K P G Q S P Q L L I Y L G S N R A S G V P D R F S G S G S G T D F T L K I S R V E A E D V G V Y Y C M Q A L Q T P F T F G C G T K V D I K G G G G S G G G G S G G G S Q V Q L V E S G G G V V Q P G R S L R L S C A A S G F T F S S Y G M H W R Q A P G K C L E W V A V I S Y E G S N K Y Y A E S V K G R F T I S R D N S K N T L Y L Q M N S L R D E D T A V Y Y C A R D R G T I F G N Y G L E V W G Q G T T V T V S S G G G G S E V Q L V E S G G G L V Q P G G </p>

			SLKLSCAASGFTFNKYAMNWVRQAPGKGLE WVARIRSKYNNYATYYADSVKDRFTISRDD SKNTAYLQMNLLKTEDTAVYYCVRHGNFGN SYISYWAYWGQGLVTVSSGGGGSGGGGSG GGGSQTVVTQEPSLTVSPGGTVTLTCGSST GAVTSGNYPNWVQQKPGQAPRGLIGGTKFL APGTPARFSGSLGGKAALTLSGVQPEDEA EYYCVLWYSNRWVFGGGTKLTVLGGGGDKT HTCPCCPAPELLGGPSVFLFPPKPKDTLMI SRTPEVTCVVVDVSHEDPEVKFNWYVDGVE VHNAKTKPCEEQYGSTYRCVSVLTVLHQDW LNGKEYKCKVSNKALPAPIEKTISKAKGQP REPQVYTLPPSREEMTKNQVSLTCLVKGFY PSDIAVEWESNGQPENNYKTTPPVLDSDGS FFLYSKLTVDKSRWQQGNVFCSCVMHEALH NHYTQKSLSLSPGGGGSGGGGSGGGGSGGG GSGGGSGGGGSDKTHTCPCCPAPELLGGP SVFLFPPKPKDTLMI SRTPEVTCVVVDVSH EDPEVKFNWYVDGVEVHNAKTKPCEEQYGS TYRCVSVLTVLHQDWLNGKEYKCKVSNKAL PAPIEKTISKAKGQPREPQVYTLPPSREEM TKNQVSLTCLVKGFYPSDIAVEWESNGQPE NNYKTTPPVLDSDGSFFLYSKLTVDKSRWQ QGNVFCSCVMHEALHNHYTQKSLSLSPGK
1401.	CD19 97- G1RE-C2 CC x I2C0-scFc	VH CDR1	SYGMH
1402.	CD19 97- G1RE-C2 CC x I2C0-scFc	VH CDR2	VISYEGSNKYAESVKG
1403.	CD19 97- G1RE-C2 CC x I2C0-scFc	VH CDR3	DRGTIFGNYGLEV
1404.	CD19 97- G1RE-C2 CC	VL CDR1	RSSQSLHKNAFNYLD

	x I2C0-scFc		
1405.	CD19 97- G1RE-C2 CC x I2C0-scFc	VL CDR2	LGSNRAS
1406.	CD19 97- G1RE-C2 CC x I2C0-scFc	VL CDR3	MQALQTPFT
1407.	CD19 97- G1RE-C2 CC x I2C0-scFc	VH	QVQLVESGGGVVQPGRSLRLS CAASGFTFS SYGMHWVRQAPGKCLEWVA VISYEGSNKYY AESVKGRFTISRDNKNTLYL QMNSLRDED TAVYYCARDRGTIFGNYGLE VWGQGTTVTV SS
1408.	CD19 97- G1RE-C2 CC x I2C0-scFc	VL	DIVMTQSPVLSPLPVISGEPAS ISCRSSQSL LHKNAFN YLDWYLQKPGQSPQLLIY LGSNRA SGVPDRFSGSGSDFTLKI SRVEAEDVGV YYCMQALQTPFTFGCGTKV DIK
1409.	CD19 97- G1RE-C2 CC x I2C0-scFc	scFv	DIVMTQSPVLSPLPVISGEPAS ISCRSSQSL LHKNAFN YLDWYLQKPGQSPQLLIY LGSNRA SGVPDRFSGSGSDFTLKI SRVEAEDVGV YYCMQALQTPFTFGCGTKV DIKGGGGSGGG GSGGGGSQVQLVESGGGV VQPGRSLRLS CAASGFTFSSYGMHWVRQ APGKCLEWVA VISYEGSNKYYAESVKGR FTISRDNKNTLYLQ MNSLRDED TAVYYCARDRGTIFGNYGLE VWGQGTTVTVSS
1410.	CD19 97- G1RE-C2 CC x I2C0-scFc	биспецифическая молекула	DIVMTQSPVLSPLPVISGEPAS ISCRSSQSL LHKNAFN YLDWYLQKPGQSPQLLIY LGSNRA SGVPDRFSGSGSDFTLKI SRVEAEDVGV YYCMQALQTPFTFGCGTKV DIKGGGGSGGG GSGGGGSQVQLVESGGGV VQPGRSLRLS CAASGFTFSSYGMHWVRQ APGKCLEWVA VISYEGSNKYYAESVKGR FTISRDNKNTLYLQ MNSLRDED TAVYYCARDRGTIFGNYGLE VWGQGTTVTVSSGGGGSEV QLVESGGGLVQPGG SLKLS CAASGFTFNKYAMNWRQAPG RGLE

			<p>WVARIRSKYNNYATYYADSVKDRFTISRDD SKNTAYLQMNLLKTEDTAVYYCVRHGNFGN SYISYWAYWGQGLVTVSSGGGGSGGGGSG GGGSQTVVTQEPSLTVSPGGTVTLTCGSST GAVTSGNYPNWVQKPGQAPRGLIGGTKFL APGTPARFSGSLLGGKAALTLSGVQPEDEA EYYCVLWYSNRWVFGGGTKLTVL</p>
1411.	<p>CD19 97- G1RE-C2 CC x I2C0-scFc</p>	<p>биспецифи- ческая молекула HLE</p>	<p>DIVMTQSPLSLPVISGEPASISCRSSQSLL HKNAFNLDWYLQKPGQSPQLLIYLGSNRA SGVPDRFSGSGSGTDFTLKISRVEAEDVGV YYCMQALQTPFTFGCGTKVDIKGGGSGGGG GSGGGGSQVQLVESGGGVVQPGRSLRLSCA ASGFTFSSYGMHWRQAPGKCLEWVAVISY EGSNKYAESVKGRFTISRDNKNTLYLQ NSLRDEDTAVYYCARDRTIFGNYGLEVWG QGTTVTVSSGGGGSEVQLVESGGGLVQPGG SLKLSCAASGFTFNKYAMNWRQAPGKGLE WVARIRSKYNNYATYYADSVKDRFTISRDD SKNTAYLQMNLLKTEDTAVYYCVRHGNFGN SYISYWAYWGQGLVTVSSGGGGSGGGGSG GGGSQTVVTQEPSLTVSPGGTVTLTCGSST GAVTSGNYPNWVQKPGQAPRGLIGGTKFL APGTPARFSGSLLGGKAALTLSGVQPEDEA EYYCVLWYSNRWVFGGGTKLTVLGGGGDKT HTCPPCPAPELLGGPSVFLFPPKPKDTLMI SRTPEVTCVVVDVSHEDPEVKFNWYVDGVE VHNAKTKPCEEQYGSTYRCVSVLTVLHQDW LNGKEYKCKVSNKALPAPIEKTISKAKGQP REPQVYTLPPSREEMTKNQVSLTCLVKGFY PSDIAVEWESNGQPENNYKTTPPVLDSDGS FFLYSKLTVDKSRWQQGNVFCFSVMHEALH NHYTQKSLSLSPGKGGGGSGGGGGSGGGGSG GGGGGGGGGGGGDKTHTCPPCPAPELLG GPSVFLFPPKPKDTLMISRTPEVTCVVVDV SHEDPEVKFNWYVDGVEVHNAKTKPCEEQY</p>

			<p>GSTYRCVSVLTVLHQDWLNGKEYKCKVSNK ALPAPIEKTISKAKGQPREPQVYTLPPSRE EMTKNQVSLTCLVKGFYPSDIAVEWESNGQ PENNYKTTTPVLDSGDSFFLYSKLTVDKSR WQQGNVFSCSVMHEALHNHYTQKSLSLSPG K</p>
1412.	<p>CD19 97- G1RE-C2 CC x I2C0- scFc_delGK</p>	<p>биспецифи ческая молекула HLE</p>	<p>DIVMTQSPLSLPVISGEPASISCRSSQSL HKNAFNLDWYLRKPGQSPQLLIYLGSNRA SGVPDRFSGSGSGTDFTLKISRVEAEDVGV YYCMQALQTPTFTFGCGTKVDIKGGGSGGG GSGGGGSQVQLVESGGGVVQPGRSLRLSCA ASGFTFSSYGMHWVRQAPGKCLEWVAVISY EGSNKYAESVKGRFTISRDNKNTLYLQM NSLRDEDTAVYYCARDRTIFGNYGLEVWG QGTTVTVSSGGGGSEVQLVESGGGLVQPGG SLKLSCAASGFTFNKYAMNWRQAPGKGLE WVARIRSKYNNYATYYADSVKDRFTISRDD SKNTAYLQMNLLKTEDTAVYYCVRHGNFGN SYISYWAYWGQGLVTVSSGGGGSGGGGSG GGGSQTVVTQEPSTLVSPGGTVTLTCSST GAVTSGNYPNWVQKPGQAPRGLIGGTFKL APGTPARFSGSLLGGKAALTLSGVQPEDEA EYYCVLWYSNRWVFGGGTKLTVLGGGDKT HTCPPCPAPELLGGPSVFLFPPKPKDTLMI SRTPEVTCVVVDVSHEDPEVKFNWYVDGVE VHNAKTKPCEEQYGSTYRCVSVLTVLHQDW LNGKEYKCKVSNKALPAPIEKTISKAKGQ REPQVYTLPPSREEMTKNQVSLTCLVKGFY PSDIAVEWESNGQPENNYKTTTPVLDSGDS FFLYSKLTVDKSRWQQGNVFSCSVMHEALH NHYTQKSLSLSPGGGGSGGGGSGGGGSGGG GSGGGGSGGGGSDKTHHTCPPCPAPELLGGP SVFLFPPKPKDTLMI SRTPEVTCVVVDVSH EDPEVKFNWYVDGVEVHNAKTKPCEEQYGS TYRCVSVLTVLHQDWLNGKEYKCKVSNKAL</p>

			PAPIEKTISKAKGQPREPQVYTLPPSREEM TKNQVSLTCLVKGFYPSDIAVEWESNGQPE NNYKTTTPVLDSDGSFFLYSKLTVDKSRWQ QGNVFSCSVMHEALHNHYTQKSLSLSPGK
1413.	CD19 97- G1RE-B5 CC x I2C0-scFc	VH CDR1	SYGMH
1414.	CD19 97- G1RE-B5 CC x I2C0-scFc	VH CDR2	VISYEGSNKYAESVKG
1415.	CD19 97- G1RE-B5 CC x I2C0-scFc	VH CDR3	DRGTIFGNYGLEV
1416.	CD19 97- G1RE-B5 CC x I2C0-scFc	VL CDR1	RSSQSLHKNKWNLYD
1417.	CD19 97- G1RE-B5 CC x I2C0-scFc	VL CDR2	LGSNRAS
1418.	CD19 97- G1RE-B5 CC x I2C0-scFc	VL CDR3	MQALQTPFT
1419.	CD19 97- G1RE-B5 CC x I2C0-scFc	VH	QVQLVESGGGVVQPGRSLRLSCAASGFTFS SYGMHWVRQAPGKCLEWVAVISYEGSNKYY AESVKGRFTISRDNKNTLYLQMNSLRDED TAVYYCARDRGTIFGNYGLEVWGQTTVTV SS
1420.	CD19 97- G1RE-B5 CC x I2C0-scFc	VL	DIVMTQSPFLSLPVISGEPASISCRSSQSLL HKNKWNLYLDWYLQKPGQSPQLLIYLGSNRA SGVPDRFSGSGGTDFTLKISRVEAEDVGV YYCMQALQTPFTFGCGTKVDIK
1421.	CD19 97- G1RE-B5 CC x I2C0-scFc	scFv	DIVMTQSPFLSLPVISGEPASISCRSSQSLL HKNKWNLYLDWYLQKPGQSPQLLIYLGSNRA SGVPDRFSGSGGTDFTLKISRVEAEDVGV YYCMQALQTPFTFGCGTKVDIKGGGGGGG

			GSGGGGSQVQLVESGGGVVQPGRSLRLSCA ASGFTFSSYGMHWVRQAPGKCLEWVAVISY EGSNKYAESVKGRFTISRDNKNTLYLQM NSLRDEDTAVYYCARDRTIFGNYGLEVWG QGTTVTVSS
1422.	CD19 97- G1RE-B5 CC x I2C0-scFc	биспецифи- ческая молекула	DIVMTQSPVLSLPVISGEPASISCRSSQSLL HKNKWNLYLDWYLQKPGQSPQLLIYLGSNRA SGVPDRFSGSGSGTDFTLKISRVEAEDVGV YYCMQALQTPFTFGCGTKVDIKGGGSGGG GSGGGGSQVQLVESGGGVVQPGRSLRLSCA ASGFTFSSYGMHWVRQAPGKCLEWVAVISY EGSNKYAESVKGRFTISRDNKNTLYLQM NSLRDEDTAVYYCARDRTIFGNYGLEVWG QGTTVTVSSGGGGSEVQLVESGGGLVQPGG SLKLSCAASGFTFNKYAMNWRQAPGKGLE WVARIRSKYNNYATYYADSVKDRFTISRDD SKNTAYLQMNLLKTEDTAVYYCVRHGNFGN SYISYWAYWGQGLVTVSSGGGGSGGGGSG GGGSQTVVTQEPSLTVSPGGTVTLTCGSST GAVTSGNYPNWVQKPGQAPRGLIGTKFL APGTPARFSGSLLGGKAALTLSGVQPEDEA EYYCVLWYSNRWVFGGGTKLTVL
1423.	CD19 97- G1RE-B5 CC x I2C0-scFc	биспецифи- ческая молекула HLE	DIVMTQSPVLSLPVISGEPASISCRSSQSLL HKNKWNLYLDWYLQKPGQSPQLLIYLGSNRA SGVPDRFSGSGSGTDFTLKISRVEAEDVGV YYCMQALQTPFTFGCGTKVDIKGGGSGGG GSGGGGSQVQLVESGGGVVQPGRSLRLSCA ASGFTFSSYGMHWVRQAPGKCLEWVAVISY EGSNKYAESVKGRFTISRDNKNTLYLQM NSLRDEDTAVYYCARDRTIFGNYGLEVWG QGTTVTVSSGGGGSEVQLVESGGGLVQPGG SLKLSCAASGFTFNKYAMNWRQAPGKGLE WVARIRSKYNNYATYYADSVKDRFTISRDD SKNTAYLQMNLLKTEDTAVYYCVRHGNFGN SYISYWAYWGQGLVTVSSGGGGSGGGGSG

			GGGSQTVVVTQEPSLTVSPGGTVTLTCGSST GAVTSGNYPNWVQQKPGQAPRGLIGGTKFL APGTPARFSGSLLGGKAALTLSGVQPEDEA EYYCVLWYSNRWVFGGGTKLTVLGGGGDKT HTCPPCPAPELLGGPSVFLFPPKPKDTLMI SRTPEVTCVVVDVSHEDPEVKFNWYVDGVE VHNAKTKPCEEQYGSTYRCVSVLTVLHQDW LNGKEYKCKVSNKALPAPIEKTISKAKGQP REPQVYTLPPSREEMTKNQVSLTCLVKGFY PSDIAVEWESNGQPENNYKTTPVLDSGDS FFLYSKLTVDKSRWQQGNVFSCSVMHEALH NHYTQKSLSLSPGKGGGGSGGGGGSGGGGG GGGGGGGGGGGGSDKTHTCPPCPAPELLG GPSVFLFPPKPKDTLMISRTPEVTCVVVDV SHEDPEVKFNWYVDGVEVHNAKTKPCEEQY GSTYRCVSVLTVLHQDWLNGKEYKCKVSNK ALPAPIEKTISKAKGQPREPQVYTLPPSRE EMTKNQVSLTCLVKGFYPSDIAVEWESNGQ PENNYKTTPVLDSGDSFFLYSKLTVDKSR WQQGNVFSCSVMHEALHNHYTQKSLSLSPG K
1424.	CD19 97- G1RE-B5 CC x I2C0- scFc_delGK	биспецифи ческая молекула HLE	DIVMTQSPLSLPVISGEPASISCRSSQSL HKNKWNVLDWYLQKPGQSPQLLIYLGSNRA SGVPDRFSGSGGTDFTLKISRVEAEDVGV YYCMQALQTPFTFGCGTKVDIKGGGGSGGG GSGGGGSQVQLVESGGGVVQPGRSLRLSCA ASGFTFSSYGMHWVRQAPGKCLEWVAIVSY EGSNKYAESVKGRFTISRDNKNTLYLQ NSLRDEDTAVYYCARDRTIFGNYGLEVWG QGTTVTVSSGGGGSEVQLVESGGGLVQPGG SLKLSCAASGFTFNKYAMNWRQAPGKGLE WVARIRSKYNNYATYYADSVKDRFTISRDD SKNTAYLQMNLLKTEDTAVYYCVRHGNFGN SYISYWAYWGQGLVTVSSGGGGSGGGGGSG GGGSQTVVVTQEPSLTVSPGGTVTLTCGSST

			<p>GAVTSGNYPNWVQQKPGQAPRGLIGGTKFL APGTPARFSGSLLGGKAALTLSGVQPEDEA EYYCVLWYSNRWVFGGGTKLTVLGGGGDKT HTCPPCPAPELLGGPSVFLFPPKPKDTLMI SRTPEVTCVVVDVSHEDPEVKFNWYVDGVE VHNAKTKPCEEQYGSTYRCVSVLTVLHQDW LNGKEYKCKVSNKALPAPIEKTISKAKGQP REPQVYTLPPSREEMTKNQVSLTCLVKGFY PSDIAVEWESNGQPENNYKTTPVLDSDGS FFLYSKLTVDKSRWQQGNVFCSCVMHEALH NHYTQKLSLSLSPGGGGSGGGSGGGSGGG GSGGGSGGGGSDKTHTCPPCPAPELLGGP SVFLFPPKPKDTLMI SRTPEVTCVVVDVSH EDPEVKFNWYVDGVEVHNAKTKPCEEQYGS TYRCVSVLTVLHQDWLNGKEYKCKVSNKAL PAPIEKTISKAKGQPREPQVYTLPPSREEM TKNQVSLTCLVKGFYPSDIAVEWESNGQPE NNYKTTPVLDSDGSFFLYSKLTVDKSRWQ QGNVFCSCVMHEALHNHNTQKLSLSLSPGK</p>
1425.	CD19 97- G1RE-B10 CC x I2C0-scFc	VH CDR1	SYGMH
1426.	CD19 97- G1RE-B10 CC x I2C0-scFc	VH CDR2	VISYEGSNKYAESVKG
1427.	CD19 97- G1RE-B10 CC x I2C0-scFc	VH CDR3	DRGTIFGNYGLEV
1428.	CD19 97- G1RE-B10 CC x I2C0-scFc	VL CDR1	RSSQSLHKNFNFD
1429.	CD19 97- G1RE-B10 CC x I2C0-scFc	VL CDR2	LGSNRAS
1430.	CD19 97-	VL CDR3	MQALQTPFT

	G1RE-B10 CC x I2C0-scFc		
1431.	CD19 97- G1RE-B10 CC x I2C0-scFc	VH	QVQLVESGGGVVQPGRSLRLSCAASGFTFS SYGMHWVRQAPGKCLEWVAVISYEGSNKYY AESVKGRFTISRDNKNTLYLQMNSLRDED TAVYYCARDRGTIFGNYGLEVWGQTTVTV SS
1432.	CD19 97- G1RE-B10 CC x I2C0-scFc	VL	DIVMTQSPLSLPVISGEPASISCRSSQSLL HKNNFNLDWYLQKPGQSPQLLIYLGSNRA SGVPDRFSGSGSDFTLTKISRVEAEDVGV YYCMQALQTPFTFGCGTKVDIK
1433.	CD19 97- G1RE-B10 CC x I2C0-scFc	scFv	DIVMTQSPLSLPVISGEPASISCRSSQSLL HKNNFNLDWYLQKPGQSPQLLIYLGSNRA SGVPDRFSGSGSDFTLTKISRVEAEDVGV YYCMQALQTPFTFGCGTKVDIKGGGGSGGG GSGGGGSQVQLVESGGGVVQPGRSLRLS CAASGFTFSSYGMHWVRQAPGKCLEWVA VISYEGSNKYAESVKGRFTISRDNKNTLY LQMNSLRDEDTAVYYCARDRGTIFGNY GLEVWGQTTVTVSS
1434.	CD19 97- G1RE-B10 CC x I2C0-scFc	биспецифи ческая молекула	DIVMTQSPLSLPVISGEPASISCRSSQSLL HKNNFNLDWYLQKPGQSPQLLIYLGSNRA SGVPDRFSGSGSDFTLTKISRVEAEDVGV YYCMQALQTPFTFGCGTKVDIKGGGGSGGC GSGGGGSQVQLVESGGGVVQPGRSLRLS CAASGFTFSSYGMHWVRQAPGKCLEWVA VISYEGSNKYAESVKGRFTISRDNKNTLY LQMNSLRDEDTAVYYCARDRGTIFGNY GLEVWGQTTVTVSSGGGGSEVQLVESGG GLVQPGGSLKLSCAASGFTFNKYAMN WVRQAPGKLEWVARIRSKYNNYATYYA DSVKDRFTISRDDSKNTAYLQMN NLKTEDTAVYYCVRHGNFGNSYISY WAYWGQGLVTVSSGGGGSGGGSGG GGGQTVVTVQEPSTVSPGGTVTLT CGSSTGAVTSGNYPNWVQKPGQAPR GLIGGTKFL

			APGTPARFSGSLLGGKAALTLSGVQPEDEA EYYCVLWYSNRWVFGGGTKLTVL
1435.	CD19 97- G1RE-B10 CC x I2C0-scFc	биспецифи- ческая молекула HLE	DIVMTQSPLSLPVISGEPASISCRSSQSLL HKNNFNLDWYLQKPGQSPQLLIYLGSNRA SGVPDRFSGSGSDFTLTKISRVEAEDVGV YYCMQALQTPFTFGCGTKVDIKGGGSGGG GSGGGGSQVQLVESGGGVVQPRSLRRLSCA ASGFTFSSYGMHWVRQAPGKCLEWVAVISY EGSNKYAESVKGRFTISRDNKNTLYLQM NSLRDEDTAVYYCARDRTIFGNYGLEVWG QGTTVTVSSGGGSEVQLVESGGGLVQPGG SLKLSCAASGFTFNKYAMNWRQAPGKGLE WVARIRSKYNNYATYYADSVKDRFTISRDD SKNTAYLQMNKLTEDTAVYYCVRHGNFGN SYISYWAYWGQGLVTVSSGGGSGGGGSG GGGSQTVVTQEPSLTVSPGGTVTLTCGSST GAVTSGNYPNWVQKPGQAPRGLIGGKFL APGTPARFSGSLLGGKAALTLSGVQPEDEA EYYCVLWYSNRWVFGGGTKLTVLGGGDKT HTCPPCPAPELLGGPSVFLFPPKPKDTLMI SRTPEVTCVVVDVSHEDPEVKFNWYVDGVE VHNAKTKPCEEQYGSTYRCVSVLTVLHQDW LNGKEYKCKVSNKALPAPIEKTISKAKGQP REPQVYTLPPSREEMTKNQVSLTCLVKGFY PSDIAVEWESNGQPENNYKTTPPVLDSDGS FFLYSKLTVDKSRWQQGNVFSCSVMHEALH NHYTQKSLSLSPGKGGGSGGGGSGGGGSG GGGSGGGGSGGGSDKHTHTCPPCPAPELLG GPSVFLFPPKPKDTLMISRTPEVTCVVVDV SHEDPEVKFNWYVDGVEVHNAKTKPCEEQY GSTYRCVSVLTVLHQDWLNGKEYKCKVSNK ALPAPIEKTISKAKGQPREPQVYTLPPSRE EMTKNQVSLTCLVKGFYPSDIAVEWESNGQ PENNYKTTPPVLDSDGSFFLYSKLTVDKSR WQQGNVFSCSVMHEALHNHNTQKSLSLSPG

			K
1436.	CD19 97- G1RE-B10 CC x I2C0- scFc_delGK	биспецифи- ческая молекула HLE	<p> DIVMTQSPFLSLPVISGEPASISCRSSQSLL HKNNFNLDWYLQKPGQSPQLLIYLGSNRA SGVPDRFSGSGSGTDFTLKISRVEAEDVGV YYCMQALQTPFTFGCGTKVDIKGGGSGGG GSGGGGSQVQLVESGGGVVQPGRSLRLSCA ASGFTFSSYGMHWVRQAPGKCLEWVAVISY EGSNKYYAESVKGRFTISRDNKNTLYLQM NSLRDEDTAVYYCARDRTIFGNYGLEVWG QGTTVTVSSGGGGSEVQLVESGGGLVQPGG SLKLSCAASGFTFNKYAMNWVRQAPGKGLE WVARIRSKYNNYATYYADSVKDRFTISRDD SKNTAYLQMNKLTEDTAVYYCVRHGNFGN SYISYWAYWGQGLVTVSSGGGGSGGGSG GGGSQTVVTQEPSLTVSPGGTVTLTCGSST GAVTSGNYPNWVQKPGQAPRGLIGGTFKL APGTPARFSGSLLGKAALTLSGVQPEDEA EYYCVLWYSNRWVFGGKTLTVLGGGDKT HTCPCPAPELLGGPSVFLFPPKPKDTLMI SRTPEVTCVVVDVSHEDPEVKFNWYVDGVE VHNAKTKPCEEQYGSTYRCVSVLTVLHQDW LNGKEYKCKVSNKALPAPIEKTISKAKGQP REPQVYTLPPSREEMTKNQVSLTCLVKGFY PSDIAVEWESNGQPENNYKTTPPVLDSDGS FFLYSKLTVDKSRWQQGNVFSCSVMHEALH NHYTQKLSLSLSPGGGGSGGGSGGGSGGG GSGGGSGGGGSDKTHTCPCPAPELLGGP SVFLFPPKPKDTLMISRTPEVTCVVVDVSH EDPEVKFNWYVDGVEVHNAKTKPCEEQYGS TYRCVSVLTVLHQDWLNGKEYKCKVSNKAL PAPIEKTISKAKGQPREPQVYTLPPSREEM TKNQVSLTCLVKGFYPSDIAVEWESNGQPE NNYKTTPPVLDSDGSFFLYSKLTVDKSRWQ QGNVFSCSVMHEALHNHYTQKLSLSLSPGK </p>
1437.	CD19 1-C3-	VH CDR1	NYGMH

	B10 CC x I2C0-scFc		
1438.	CD19 1-C3- B10 CC x I2C0-scFc	VH CDR2	AIGWEGSNKYAEPVKG
1439.	CD19 1-C3- B10 CC x I2C0-scFc	VH CDR3	DRGTIFGYGMDV
1440.	CD19 1-C3- B10 CC x I2C0-scFc	VL CDR1	RSSQSLHKNFNFLD
1441.	CD19 1-C3- B10 CC x I2C0-scFc	VL CDR2	LGSNRAS
1442.	CD19 1-C3- B10 CC x I2C0-scFc	VL CDR3	MQALSEPLT
1443.	CD19 1-C3- B10 CC x I2C0-scFc	VH	QVQLVESGGGVVQPGRSLRLSCEASGFIVS NYGMHWVRQAPGKCLEWVAAIGWEGSNKYY AEPVKGRFTISRDKSKNTLSLQMSLRAED TALYYCARDRGTIFGYGMDVWVGQTTVTV SS
1444.	CD19 1-C3- B10 CC x I2C0-scFc	VL	DIVMTQSPLSLPVTPEPASISCRSSQSLL HKNNFNFLDWYLQKPGQSPQLLIYLGSNRA SGVPDRFSGSGGTDFTLKISRVEAEDVGV YYCMQALSEPLTFACGKVEIK
1445.	CD19 1-C3- B10 CC x I2C0-scFc	scFv	DIVMTQSPLSLPVTPEPASISCRSSQSLL HKNNFNFLDWYLQKPGQSPQLLIYLGSNRA SGVPDRFSGSGGTDFTLKISRVEAEDVGV YYCMQALSEPLTFACGKVEIKGGGSGGG GSGGGGSQVQLVESGGGVVQPGRSLRLSCE ASGFIVSNYGMHWVRQAPGKCLEWVAAIGW EGSNKYAEPVKGRFTISRDKSKNTLSLQ MSLRAEDTALYYCARDRGTIFGYGMDVWVG QTTVTVSS

1446.	CD19 1-C3- B10 CC x I2C0-scFc	биспецифическая молекула	DIVMTQSPFLSLPVTPEPASISCRSSQSLL HKNNFNLDWYLQKPGQSPQLLIYLGSNRA SGVPDRFSGSGSGTDFTLKISRVEAEDVGV YYCMQALSEPLTFACGKVEIKGGGSGGG GSGGGGSQVQLVESGGGVVQPGRSLRLSCE ASGFIVSNYGMHWVRQAPGKCLEWVAIGW EGSNKYAEPVKGRFTISRDKSKNTLSLQM SSLRAEDTALYYCARDRTIFGYGMDVWG QGTTVTSSGGGGSEVQLVESGGGLVQPGG SLKLSCAASGFTFNKYAMNWVRQAPGKLE WVARIRSKYNNYATYYADSVKDRFTISRDD SKNTAYLQMNKLTEDTAVYVCVRHGNFGN SYISYWAYWGQGLVTVSSGGGGSGGGSG GGGSQTVVTQEPSLTVSPGGTVTLTCGSST GAVTSGNYPNWVQKPGQAPRGLIGGTKFL APGTPARFSGSLLGGKAALTLSGVQPEDEA EYYCVLWYSNRWVFGGGTKLTVL
1447.	CD19 1-C3- B10 CC x I2C0-scFc	биспецифическая молекула HLE	DIVMTQSPFLSLPVTPEPASISCRSSQSLL HKNNFNLDWYLQKPGQSPQLLIYLGSNRA SGVPDRFSGSGSGTDFTLKISRVEAEDVGV YYCMQALSEPLTFACGKVEIKGGGSGGG GSGGGGSQVQLVESGGGVVQPGRSLRLSCE ASGFIVSNYGMHWVRQAPGKCLEWVAIGW EGSNKYAEPVKGRFTISRDKSKNTLSLQM SSLRAEDTALYYCARDRTIFGYGMDVWG QGTTVTSSGGGGSEVQLVESGGGLVQPGG SLKLSCAASGFTFNKYAMNWVRQAPGKLE WVARIRSKYNNYATYYADSVKDRFTISRDD SKNTAYLQMNKLTEDTAVYVCVRHGNFGN SYISYWAYWGQGLVTVSSGGGGSGGGSG GGGSQTVVTQEPSLTVSPGGTVTLTCGSST GAVTSGNYPNWVQKPGQAPRGLIGGTKFL APGTPARFSGSLLGGKAALTLSGVQPEDEA EYYCVLWYSNRWVFGGGTKLTVLGGGDKT HTCPPCPAPPELLGGPSVFLFPPKPKDTLMI

			<p>SRTPEVTCVVVDVSHEDPEVKFNWYVDGVE VHNAKTKPCEEQYGSTYRCVSVLTVLHQDW LNGKEYKCKVSNKALPAPIEKTISKAKGQP REPQVYTLPPSREEMTKNQVSLTCLVKGFY PSDIAVEWESNGQPENNYKTTPVLDSGGS FFLYSKLTVDKSRWQQGNVFSCSVMHEALH NHYTQKLSLSLSPGKGGGGGGGGGGGGSG GGGGGGGGGGGGSDKHTHTCPPCPAPELLG GPSVFLFPPKPKDTLMI SRTPEVTCVVVDV SHEDPEVKFNWYVDGVEVHNAKTKPCEEQY GSTYRCVSVLTVLHQDWLNGKEYKCKVSNK ALPAPIEKTISKAKGQPREPQVYTLPPSRE EMTKNQVSLTCLVKGFYPSDIAVEWESNGQ PENNYKTTPVLDSGGSFFLYSKLTVDKSR WQQGNVFSCSVMHEALHNHYTQKLSLSLSPG K</p>
1448.	CD19 1-C3- B10 CC x I2C0- scFc_delGK	биспецифи- ческая молекула HLE	<p>DIVMTQSPFLSLPVTPEPASISCRSSQSLL HKNNFNLDWYLQKPGQSPQLLIYLGSNRA SGVDPDRFSGSGSDFTLTKISRVEADVGV YYCMQALSEPLTFACGKVEIKGGGGGGGG GSGGGGSQVQLVESGGGVVQPGRSLRLSCE ASGFIVSNYGMHWVRQAPGKCLEWVAAI GW EGSNKYAEPVKGRFTISRDKSKNTLSLQM SSLRAEDTALYYCARDRTIFGYGMDVWG QGTTVTVSSGGGGSEVQLVESGGGLVQPGG SLKLSCAASGFTFNKYAMNWRQAPGKGLE WVARIRSKYNNYATYYADSVKDRFTISRDD SKNTAYLQMNLLKTEDTAVYYCVRHGNFGN SYISYWAYWGQGLVTVSSGGGGGGGGGGSG GGGSQTVVTQEPSTLVSPGGTVTLTCGSST GAVTSGNYPNWVQQKPGQAPRGLIGTKFL APGTPARFSGSLLGGKAALTLSGVQPEDEA EYYCVLWYSNRWVFGGGTKLTVLGGGGDKT HTCPPCPAPELLGGPSVFLFPPKPKDTLMI SRTPEVTCVVVDVSHEDPEVKFNWYVDGVE</p>

			VHNAKTKPCEEQYGSTYRCVSVLTVLHQDW LNGKEYKCKVSNKALPAPIEKTISKAKGQP REPQVYTLPPSREEMTKNQVSLTCLVKGFY PSDIAVEWESNGQPENNYKTTPPVLDSDGS FFLYSKLTVDKSRWQQGNVFCSCVMHEALH NHYTQKSLSLSPGGGGSGGGSGGGSGGG GSGGGSGGGGSDKTHTCPPELGGP SVFLFPPKPKDTLMISRTPEVTCVVVDVSH EDPEVKFNWYVDGVEVHNAKTKPCEEQYGS TYRCVSVLTVLHQDWLNGKEYKCKVSNKAL PAPIEKTISKAKGQPREPQVYTLPPSREEM TKNQVSLTCLVKGFYPSDIAVEWESNGQPE NNYKTTPPVLDSDGSFFLYSKLTVDKSRWQ QGNVFCSCVMHEALHNHYTQKSLSLSPGK
1449.	шарнир IgG1		DKTHTCPPEP
1450.	шарнир IgG2		ERKCCVECPPEP
1451.	шарнир IgG3		ELKTPLDTHTCPPEP
1452.	шарнир IgG4		FSKYGPPCPSCP
1453.	EGFRvIIIссх I2C-шарнир- CH2-CH3- линкер- шарнир-CH2- CH3 (DF9)	биспецифи- ческая молекула HLE	QVQLVESGGGVVQSGRSLRLSCAASGFTFR NYGMHWVRQAPGKCLEWVAVIWDGSDKYY ADSVRGRFTISRDNKNTLYLQMNSLRAED TAVYYCARDGYDILTGPNRFDYWGQGLV TVSSGGGGSGGGSGGGSDTVMTQTPLSS HVTLGQPASISCRSSQSLVHSDGNTYLSWL QQRPGQPPRLLIYRISRFRSGVPPDRFSGSG AGTDFTLEISRVEAEDVGVYCMQSTHVP TFGCGTKVEIKSGGGSEVQLVESGGGLVQ PGGSLKLSCAASGFTFNKYAMNWRQAPGK GLEWVARIRSKYNNYATYYADSVKDRFTIS RDDSKNTAYLQMNKLTEDTAVYYCVRHGN FGNSYISYWAYWGQGLVTVSSGGGGSGGG GSGGGGQTVVTQEPSTLTVSPGGTVTLTCG SSTGAVTSGNYPNWVQKPKGQAPRGLIGGT KFLAPGTPARFSGSLGKAAALTLGKQPE DEAEYCYVLYSNRWVFGGGTKLTVLGGGG

			<p>DKTHTCPCPAPELLGGPSVFLFPPKPKDT LMISRTPEVTCVVVDVSHEDPEVKFNWYVD GVEVHNAKTKPCEEQYGSTYRCVSVLTVLH QDWLNGKEYKCKVSNKALPAPIEKTISKAK GQPREPQVYTLPPSREEMTKNQVSLTCLVK GFYPSDIAVEWESNGQPENNYKTTPVLDS DGSFFLYSKLTVDKSRWQQGNVFCSSVMHE ALHNHYTQKSLSLSPGKGGGGSGGGSGGG GSGGGSGGGSGGGSGGGSDKTHTCPCPAPE LLGGPSVFLFPPKPKDTLMISRTPEVTCVV VDVSHEDPEVKFNWYVDGVEVHNAKTKPCE EQYGSTYRCVSVLTVLHQDWLNGKEYKCKV SNKALPAPIEKTISKAKGQPREPQVYTLPP SREEMTKNQVSLTCLVKGFYPSDIAVEWES NGQPENNYKTTPVLDSGDSFFLYSKLTVD KSRWQQGNVFCSSVMHEALHNHYTQKSLSL SPGK</p>
1454.	EGFRvIIIcсх I2C-шарнир- CH2-CH3- линкер-CH2- CH3 (T2G)	биспецифи- ческая молекула HLE	<p>QVQLVESGGGVVQSGRSLRLSCAASGFTFR NYGMHWVRQAPGKCLEWVAVIWYDGS DKYY ADSVRGRFTISRDNKNTLYLQMNSLRAED TAVYYCARDGYDILTG NPRDFYWGQGLV TVSSGGGGSGGGSGGGSDTVMQTPLSS HVTLGQPASISCRSSQSLVHSDGNTYLSWL QQRPGQPPRLLIYRISRFRSGV PDRFSGSG AGTDF TLEISRVEAEDVGYYCMQSTHVPR TFGCGTKVEIKSGGGGSEVQLVESGGGLVQ PGGSLKLSCAASGFTFNKYAMNWRQAPGK GLEWVARIRSKYNNYATYYADSVKDRFTIS RDDSKNTAYLQMNNLKTEDTAVYYCVRHGN FGNSYISYWAYWGQGLVTVSSGGGGSGGG GSGGGGSQTVVTQEPSLTVSPGGTVTLTCG SSTGAVTSGNYPNWWQQKPGQAPRGLIGGT KFLAPGTPARFSGSLGGKAALTLSGVQPE DEAEYYCVLWYSNRWVFGGKTLTVLGGGG DKTHTCPCPAPELLGGPSVFLFPPKPKDT</p>

			<p>LMISRTPEVTCVVVDVSHEDPEVKFNWYVD GVEVHNAKTKPCEEQYGSTYRCVSVLTVLH QDWLNGKEYKCKVSNKALPAPIEKTISKAK GQPREPQVYTLPPSREEMTKNQVSLTCLVK GFYPSDIAVEWESNGQPENNYKTTPVLDS DGSFFLYSKLTVDKSRWQQGNVFSQVMHE ALHNHYTQKSLSLSPGKGGGGGGGGGGGG GGGGGGGGGGGGGGGSAPELLGGPSVFLF PKPKDTLMISRTPEVTCVVVDVSHEDPEV KFNWYVDGVEVHNAKTKPCEEQYGSTYRCV SVLTVLHQDWLNGKEYKCKVSNKALPAPIE KTISKAKGQPREPQVYTLPPSREEMTKNQV SLTCLVKGFYPSDIAVEWESNGQPENNYKT TPVLDS DGSFFLYSKLTVDKSRWQQGNVF SCSVMHEALHNHYTQKSLSLSPGK</p>
1455.	<p>EGFRvIIIcсх I2C-шарнир- CH2-линкер- шарнир-CH2- CH3-линкер- CH3 (D3L)</p>	<p>биспецифи- ческая молекула HLE</p>	<p>QVQLVESGGGVVQSGRSLRLSCAASGFTFR NYGMHWVRQAPGKCLEWVAWIWDGSDKYY ADSVRGRFTISRDNKNTLYLQMNSLRAED TAVYYCARDGYDILGTNPRDFYWGQGLV TVSSGGGGGGGGGGGGSDTVMQTPLSS HVTLGQPASISCRSSQSLVHSDGNTYLSWL QQRPGQPPRLIYRISRFRSGVPPDRFSGSG AGTDFITLEISRVEAEDVGVYYCMQSTHVP TFGCGTKVEIKSGGGGSEVQLVESGGGLVQ PGGSLKLSCAASGFTFNKYAMNWRQAPGK GLEWVARIRSKYNNYATYYADSVKDRFTIS RDDSKNTAYLQMNNLKTEDTAVYYCVRHGN FGNSYISYWAYWGQGLVTVSSGGGGGGGG GSGGGGQTVVVTQEPSTLTVSPGGTIVTLTCG SSTGAVTSGNYPNWWQKPGQAPRGLIGGT KFLAPGTPARFSGSLGGAALTLGSGVQPE DEAEYCVLWYSNRWVFGGGTKLTVLGGGG DKTHTCPPCPAPELLGGPSVFLFPPPKPDT LMISRTPEVTCVVVDVSHEDPEVKFNWYVD GVEVHNAKTKPCEEQYGSTYRCVSVLTVLH</p>

			<p>QDWLNGKEYKCKVSNKALPAPIEKTISKAK GGGGSGGGSGGGSGGGSDKHTCPCP APELLGGPSVFLFPPKPKDTLMISRTPEVT CVVVDVSHEDPEVKFNWYVDGVEVHNAKTK PCEEQYGSTYRCVSVLTVLHQDWLNGKEYK CKVSNKALPAPIEKTISKAKGQPREPQVY LPPSREEMTKNQVSLTCLVKGFYPSDIAVE WESNGQPENNYKTTPPVLDSGDGFFLYSKL TVDKSRWQQGNVFSCSVMHEALHNHYTQKS LSLSPGKGGGGSGGGSGGGSGGGSGQP REPQVYTLPPSREEMTKNQVSLTCLVKGFY PSDIAVEWESNGQPENNYKTTPPVLDSGDG FFLYSKLTVDKSRWQQGNVFSCSVMHEALH NHYTQKSLSLSPGK</p>
1456.	<p>EGFRvIIIccx I2C-шарнир- CH2-линкер- CH2-CH3- линкер-CH3 (T7I)</p>	<p>биспецифи ческая молекула HLE</p>	<p>QVQLVESGGGVVQSGRSLRLSCAASGFTFR NYGMHWVRQAPGKCLEWVAVIWYDGSDDYY ADSVRGRFTISRDNKNTLYLQMNSLRAED TAVYYCARDGYDILGTGNPRDFDYWGQGLV TVSSGGGGSGGGSGGGSDTVMQTPLSS HVTLGQPASISCRSSQSLVHSDGNTYLSWL QQRPGQPPRLLIYRISRRFSGVPDRFSGSG AGTDFTLEISRVEAEDVGVYCMQSTHVP TFGCGTKVEIKSGGGSEVQLVESGGGLVQ PGGSLKLSCAASGFTFNKYAMNWRQAPGK GLEWVARIRSKYNNYATYYADSVKDRFTIS RDSKNTAYLQMNNLKTEDTAVYYCVRHGN FGNSYISYWAYWGQGLVTVSSGGGGSGGG GSGGGGSQTVVTQEPSTLTVSPGGTVTLTCG SSTGAVTSGNYPNWVQKPGQAPRGLIGGT KFLAPGTPARFSGSLGGKAALTLGSGVQPE DEAEYYCVLWYSNRWVFGGKTLTVLGGGG DKHTCPCPAPELLGGPSVFLFPPKPKDT LMISRTPEVTCVVVDVSHEDPEVKFNWYVD GVEVHNAKTKPCEEQYGSTYRCVSVLTVLH QDWLNGKEYKCKVSNKALPAPIEKTISKAK</p>

			GGGSGGGSGGGSGGGSAPELLGGPSV FLFPPKPKDTLMISRTPEVTCVVVDVSHED PEVKFNWYVDGVEVHNAKTKPCEEQYGSTY RCVSVLTVLHQDNLGKEYKCKVSNKALPA PIEKTISKAKGQPREPQVYTLPPSREEMTK NQVSLTCLVKGFYPSDIAVEWESNGQPENN YKTTTPVLDSDGSFFLYSKLTVDKSRWQQG NVFSCVMHEALHNHYTQKSLSLSPGKGGG GSGGGSGGGSGGGSGQPREPQVYTLPP SREEMTKNQVSLTCLVKGFYPSDIAVEWES NGQPENNYKTTTPVLDSDGSFFLYSKLTV KSRWQQGNVFCVMHEALHNHYTQKSLSL SPGK
1457.	EGFRvIIIcсх I2C-CH2- линкер-CH2- CH3-линкер- CH3 (K6C)	биспецифи ческая молекула HLE	QVQLVESGGGVVQSGRSLRLSCAASGFTFR NYGMHWVRQAPGKCLEWVAVIWDGSDKYY ADSVRGRFTISRDNKNTLYLQMNSLRAED TAVYYCARDGYDILGTGNPRDFDYWGQGLV TVSSGGGSGGGSGGGSDTVMQTPLSS HVTLGQPASISCRSSQSLVHSDGNTYLSWL QQRPGQPRLLIYRISRFRSGVPDRFSGSG AGTDFGLEISRVEAEDVGVYCMQSTHVR TFGCGTKVEIKSGGGGSEVQLVESGGGLVQ PGGSLKLSCAASGFTFNKYAMNWRQAPGK GLEWVARIRSKYNNYATYYADSVKDRFTIS RDSKNTAYLQMNKLTEDTAVYYCVRHGN FGNSYISYWAYWGQGLVTVSSGGGSGGG GSGGGSGQTVVTVQEPSTVSPGGTVTLTCG SSTGAVTSGNYPNWVQKPGQAPRGLIGGT KFLAPGTPARFSGSLGKAAALTLGSGVQPE DEAEYCVLWYSNRWVFGGKLTVLGGGG APELLGGPSVFLFPPKPKDTLMISRTPEVT CVVVDVSHEDPEVKFNWYVDGVEVHNAKTK PCEEQYGSTYRCVSVLTVLHQDNLGKEYK CKVSNKALPAPIEKTISKAKGGGSGGGG GGGSGGGSAPELLGGPSVFLFPPKPKDT
			LMISRTPEVTCVVVDVSHEDPEVKFNWYVD GVEVHNAKTKPCEEQYGSTYRCVSVLTVLH QDNLGKEYKCKVSNKALPAPIEKTISKAK GQPREPQVYTLPPSREEMTKNQVSLTCLVK GFYPSDIAVEWESNGQPENNYKTTTPVLD DGSFFLYSKLTVDKSRWQQGNVFCVMHE ALHNHYTQKSLSLSPGKGGGSGGGSGGG GSGGGSGQPREPQVYTLPPSREEMTKNQ SLTCLVKGFYPSDIAVEWESNGQPENNYKT TPVLDSDGSFFLYSKLTVDKSRWQQGNV FCVMHEALHNHYTQKSLSLSPGK
1458.	шарнир IgG3		ELKTPLDGTHHTCPRCP
1459.	шарнир IgG1		EPKSCDKTHHTCPPCP

ФОРМУЛА ИЗОБРЕТЕНИЯ

1. Конструкция одноцепочечного биспецифического антитела с повышенным периодом полужизни, содержащая по меньшей мере три домена в порядке от amino до карбокси-конца, где первый домен связывается с антигеном на поверхности клетки-мишени, где антиген на поверхности клетки-мишени является опухолевым антигеном;

второй домен связывается с внеклеточным эпитопом цепи CD3ε человека и/или Macса; и

третий домен содержит два полипептидных мономера, каждый из которых содержит шарнир, домен СН2 и домен СН3, где указанные два полипептидных мономера слиты друг с другом посредством пептидного линкера, где указанный третий домен содержит в порядке от amino до карбокси-конца:

шарнир-СН2-СН3-линкер-шарнир-СН2-СН3,

где домен СН2 содержит внутридоменный цистеиновый дисульфидный мостик, и

где первый и второй домены слиты с третьим доменом посредством пептидного линкера.

2. Конструкция антитела по п.1, где каждый из указанных полипептидных мономеров имеет аминокислотную последовательность, которая по меньшей мере на 90% идентична последовательности, выбранной из группы, состоящей из SEQ ID NO: 17-24.

3. Конструкция антитела по п.2, где каждый из указанных полипептидных мономеров имеет аминокислотную последовательность, выбранную из SEQ ID NO: 17-24.

4. Конструкция антитела по пп.1-3, где конструкция антитела содержит в порядке от amino до карбокси-конца:

(a) первый домен;

(b) пептидный линкер с аминокислотной последовательностью, выбранной из группы, состоящей из SEQ ID NO: 1-3;

(c) второй домен;

(d) пептидный линкер с аминокислотной последовательностью, выбранной из группы, состоящей из SEQ ID NO: 1, 2, 3, 9, 10, 11 и 12;

(e) первый полипептидный домен третьего домена;

(f) пептидный линкер с аминокислотной последовательностью, выбранной из группы, состоящей из SEQ ID NO: 5, 6, 7 и 8; и

(g) второй полипептидный домен третьего домена.

5. Конструкция антитела по п.1, где опухолевый антиген выбран из группы, состоящей из CDH19, MSLN, DLL3, FLT3, EGFRvIII, CD33, CD19, CD20 и CD70.

6. Конструкция антитела по любому из предыдущих пунктов, где конструкция антитела содержит в порядке от amino до карбокси-конца:

(a) первый домен с аминокислотной последовательностью, выбранной из группы, состоящей из SEQ ID NO: 52, 70, 58, 76, 88, 106, 124, 94, 112, 130, 142, 160, 178, 148, 166, 184, 196, 214, 232, 202, 220, 238, 250, 266, 282, 298, 255, 271, 287, 303, 322, 338, 354, 370, 386, 402, 418, 434, 450, 466, 482, 498, 514, 530, 546, 327, 343, 359, 375, 391, 407, 423, 439, 455, 471, 487, 503, 519, 353, 551, 592, 608, 624, 640, 656, 672, 688, 704, 720, 736, 752, 768, 784, 800, 816, 832, 848, 864, 880, 896, 912, 928, 944, 960, 976, 992, 1008, 1024, 1040, 1056, 1072, 1088, 1104, 1120, 1136, 1152, 1168, 1184, 597, 613, 629, 645, 661, 677, 693, 709, 725, 741, 757, 773, 789, 805, 821, 837, 853, 869, 885, 901, 917, 933, 949, 965, 981, 997, 1013, 1029, 1045, 1061, 1077, 1093, 1109, 1125, 1141, 1157, 1173, 1189, 1277, 1289, 1301, 1313, 1325, 1337, 1349, 1361, 1373, 1385, 1397, 1409, 1421, 1433, 1445;

(b) пептидный линкер с аминокислотной последовательностью, выбранной из группы, состоящей из SEQ ID NO: 1-3;

(c) второй домен с аминокислотной последовательностью, выбранной из группы, состоящей из SEQ ID NO: 23, 25, 41, 43, 59, 61, 77, 79, 95, 97, 113, 115, 131, 133, 149, 151, 167, 169, 185 или 187 из WO 2008/119567 или SEQ ID NO: 15;

(d) пептидный линкер с аминокислотной последовательностью, выбранной из группы, состоящей из SEQ ID NO: 1, 2, 3, 9, 10, 11 и 12;

(e) первый полипептидный домен третьего домена с полипептидной последовательностью, выбранной из группы, состоящей из SEQ ID NO: 17-24;

(f) пептидный линкер с аминокислотной последовательностью, выбранной из группы, состоящей из SEQ ID NO: 5, 6, 7 и 8; и

(g) второй полипептидный домен третьего домена с полипептидной последовательностью, выбранной из группы, состоящей из SEQ ID NO: 17-24.

7. Конструкция антитела по п.6 с аминокислотной последовательностью, выбранной из группы, состоящей из:

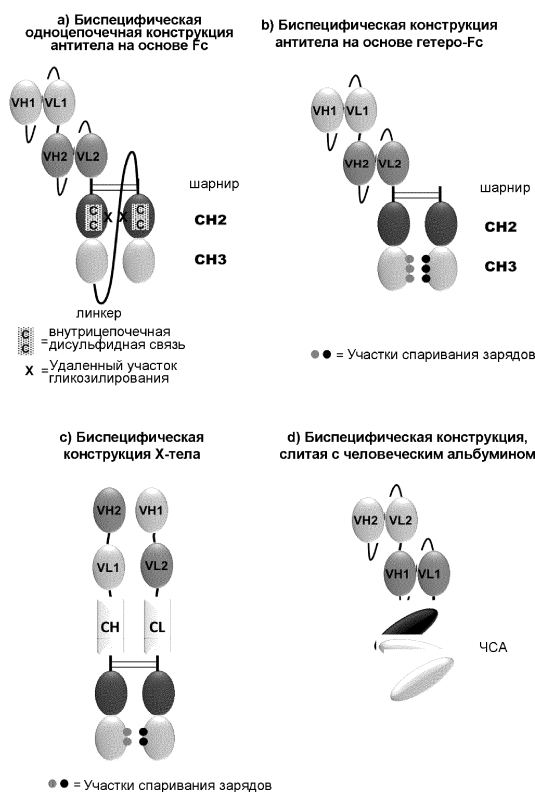
(a) SEQ ID NO: 54, 55, 60 и 61 для нацеливания на CD33;

(b) SEQ ID NO: 72, 73, 78 и 79 для нацеливания на EGFRvIII;

(c) SEQ ID NO: 90, 91, 96, 97, 108, 109, 114 и 115 для нацеливания на MSLN;

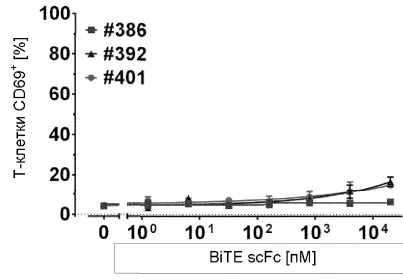
(d) SEQ ID NO: 144, 145, 150, 151, 162, 163, 168, 169, 180, 181, 186 и 187;

- (e) SEQ ID NO: 198, 199, 204, 205, 216, 217, 222, 223, 234, 235, 240 и 241 для нацеливания на DLL3;
- (f) SEQ ID NO: 252, 306, 257, 307, 268, 308, 273, 309, 284, 310, 289, 311, 300, 312, 305 и 313 для нацеливания на CDH19;
- (g) SEQ ID NO: 324, 554, 329, 555, 340, 556, 345, 557, 356, 558, 361, 559, 372, 560, 377, 561, 388, 562, 393, 563, 404, 564, 409, 565, 420, 566, 425, 567, 436, 568, 441, 569, 452, 570, 457, 571, 468, 572, 473, 573, 484, 574, 489, 575, 500, 576, 505, 577, 516, 578, 521, 579, 532, 580, 537, 581, 548, 582, 553 и 583 для нацеливания на FLT3;
- (h) SEQ ID NO: 594, 610, 626, 642, 658, 674, 690, 706, 722, 738, 754, 77, 786, 802, 818, 834, 850, 866, 882, 898, 914, 930, 946, 962, 978, 994, 1010, 1026, 1042, 1058, 1074, 1090, 1106, 1122, 1138, 1154, 1170, 1186, 599, 615, 631, 647, 663, 679, 695, 711, 727, 743, 759, 775, 791, 807, 823, 839, 855, 871, 887, 903, 919, 935, 951, 967, 983, 999, 1015, 1031, 1047, 1063, 1079, 1095, 1111, 1127, 1143, 1159, 1175, 1191 и 1192-1267 для нацеливания на CD70;
- (i) SEQ ID NO: 43 для нацеливания на CD20; и
- (j) SEQ ID NO: 1279, 1280, 1291, 1292, 1303, 1304, 1315, 1316, 1327, 1328, 1339, 1340, 1351, 1352, 1363, 1364, 1375, 1376, 1387, 1388, 1399, 1400, 1411, 1412, 1423, 1424, 1435, 1436, 1447, 1448 для нацеливания на CD19.
8. Полинуклеотид, кодирующий конструкцию антитела, определенную в любом из пп.1-7.
9. Клетка-хозяин, трансформированная или трансфицированная полинуклеотидом, определенным в п.8.
10. Способ получения конструкции антитела по любому из пп.1-7, включающий культивирование клетки-хозяина по п.9, в условиях, обеспечивающих экспрессию конструкции антитела по любому из пп.1-7, и выделение полученной конструкции антитела из культуры.
11. Фармацевтическая композиция, содержащая конструкцию антитела по любому из пп.1-7 или полученную способом по п.10 и один или несколько носителей, стабилизаторов, вспомогательных веществ, разбавителей, поверхностно-активных веществ, эмульгаторов, консервантов и/или адъювантов.
12. Фармацевтическая композиция по п.11, которая является стабильной в течение по меньшей мере четырех недель приблизительно при -20°C .
13. Применение конструкции антитела по любому из пп.1-7 или полученной способом по п.10 для получения лекарственного средства для лечения заболевания, выбранного из опухолевого заболевания, вирусного заболевания или иммунологического нарушения.
14. Способ лечения или уменьшения интенсивности опухолевого заболевания, включающий стадию введения пациенту конструкции антитела по любому из пп.1-7 или полученной способом по п.10.

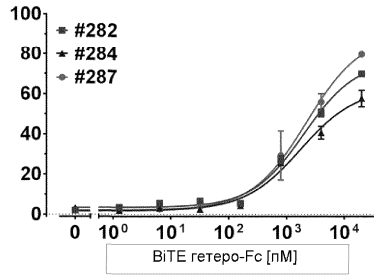


Фиг. 1

2(a)

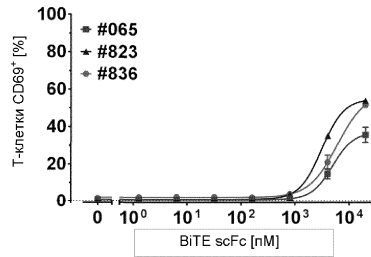


2(b)

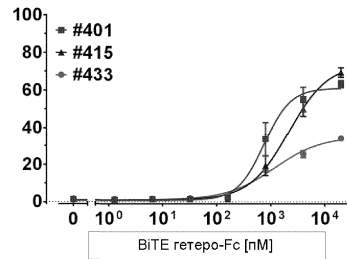


Фиг. 2

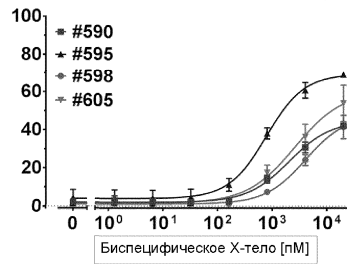
3(a)



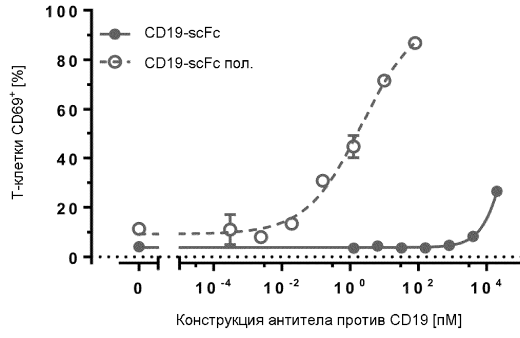
3(b)



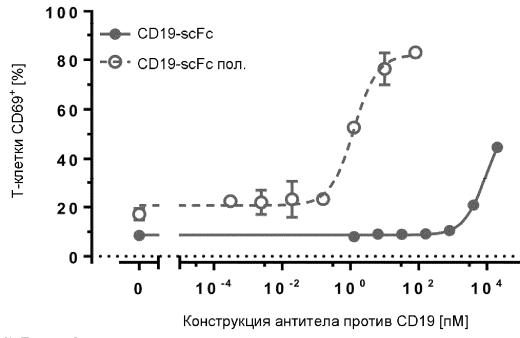
3(c)



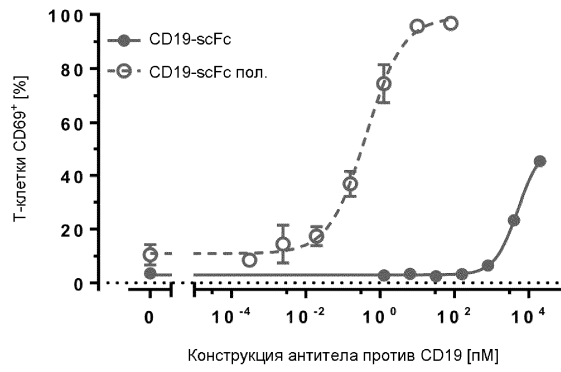
3(d) Донор 1



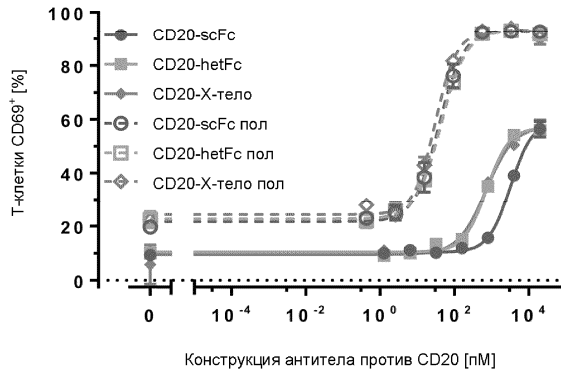
3(е) Донор 2



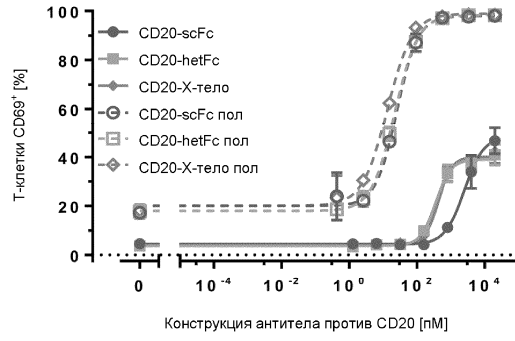
3(f) Донор 3



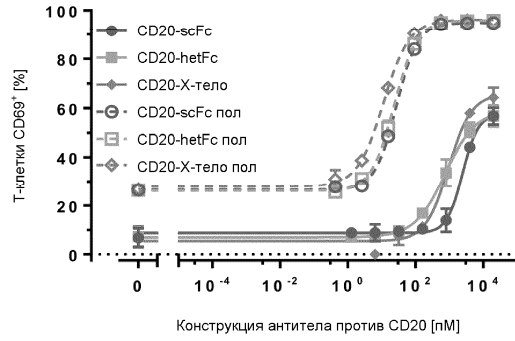
3(g) Донор 1



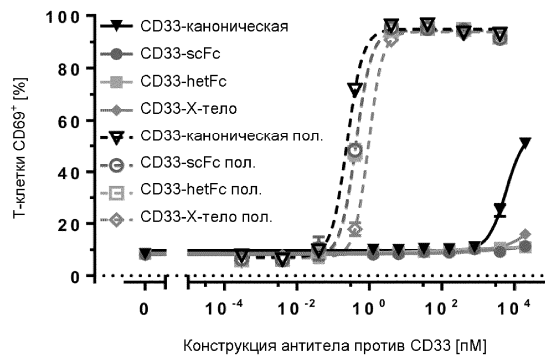
3(h) Донор 2



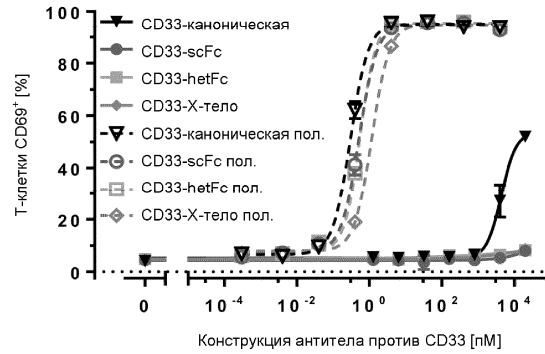
3(i) Донор 3



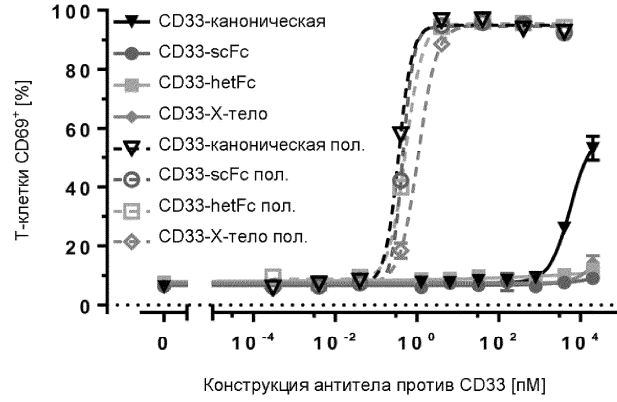
3(j) Донор 1



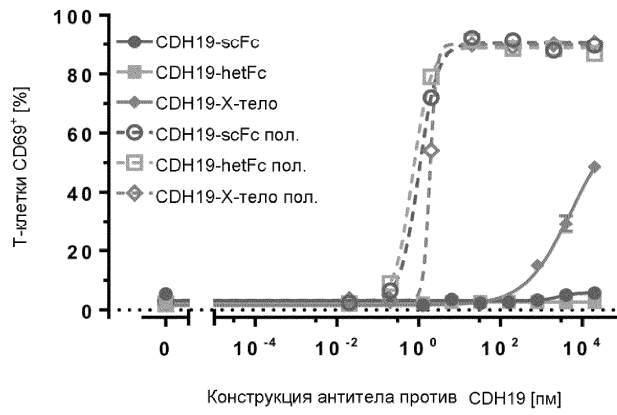
3(k) Донор 2



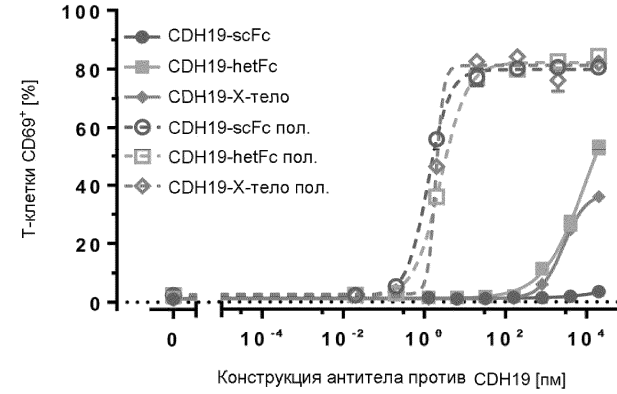
3(l) Донор 3



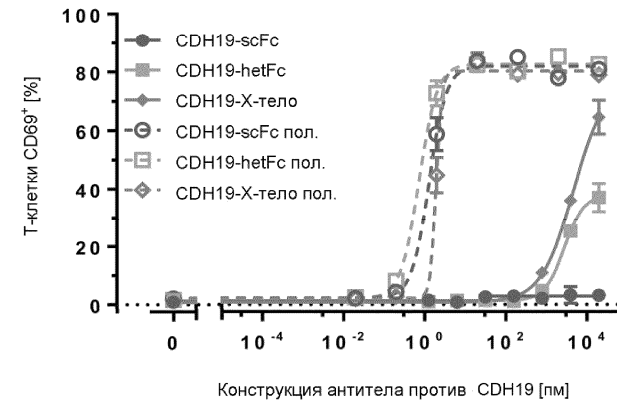
3(m) Донор 1



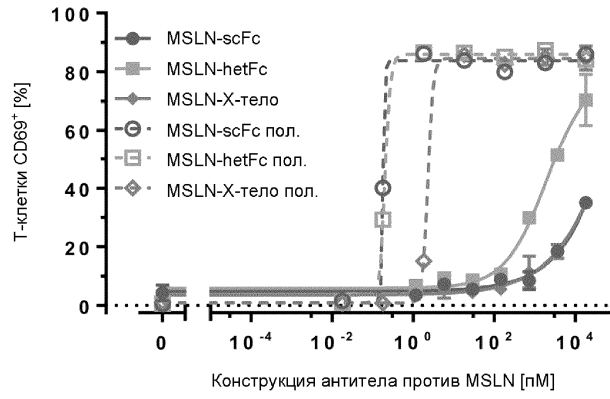
3(n) Донор 2



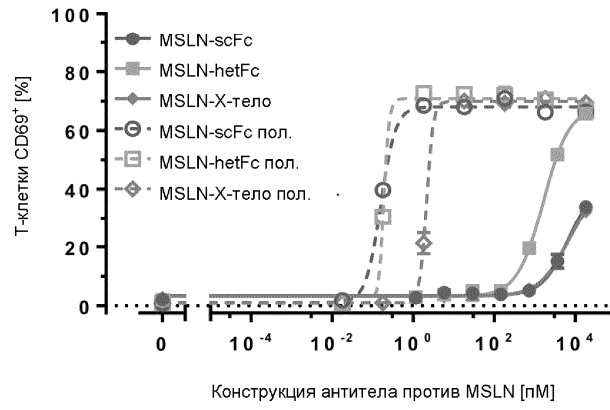
3(o) Донор 3



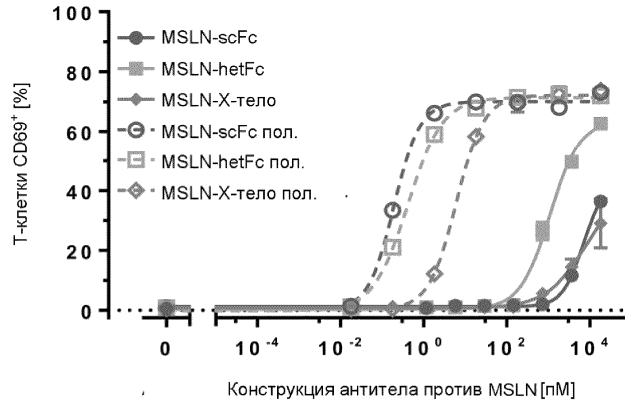
3(p) Донор 1



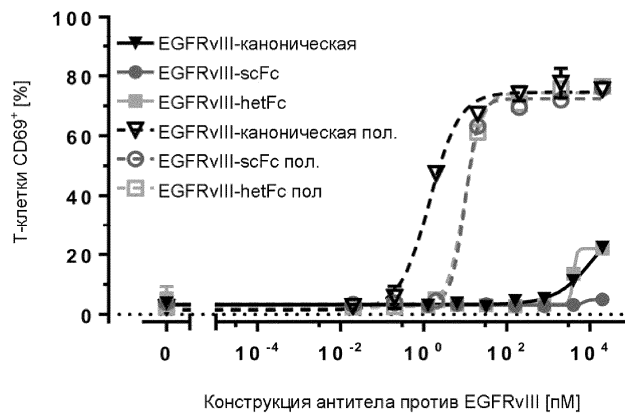
3(q) Донор 2



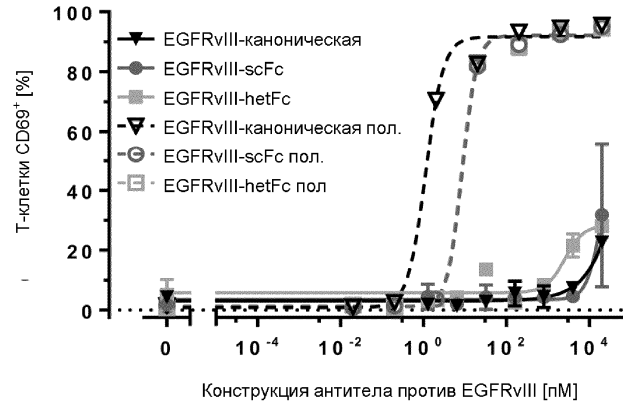
3(r) Донор 3



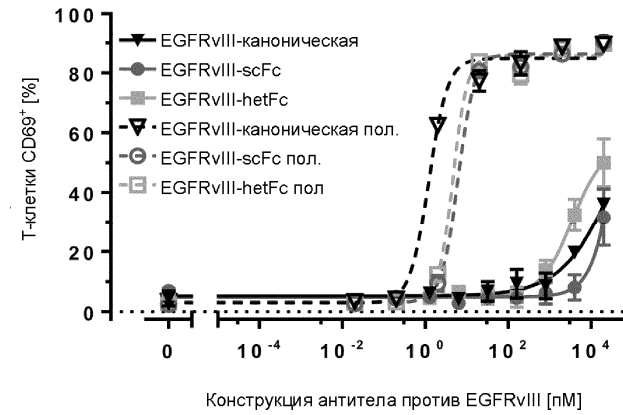
3(s) Донор 1



3(t) Донор 2



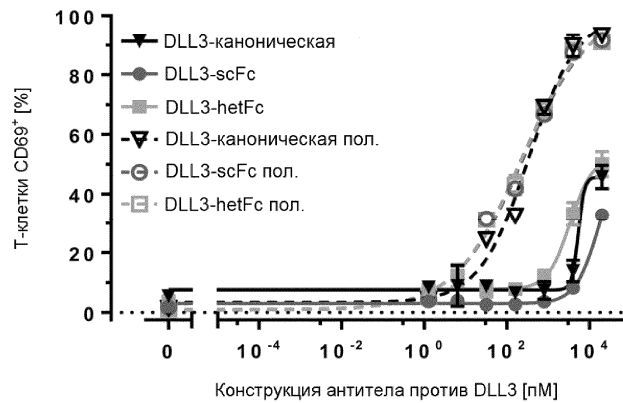
3(у) Донор 3



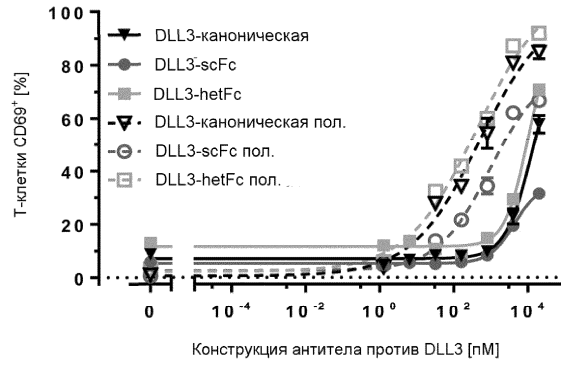
3(v) Донор 1



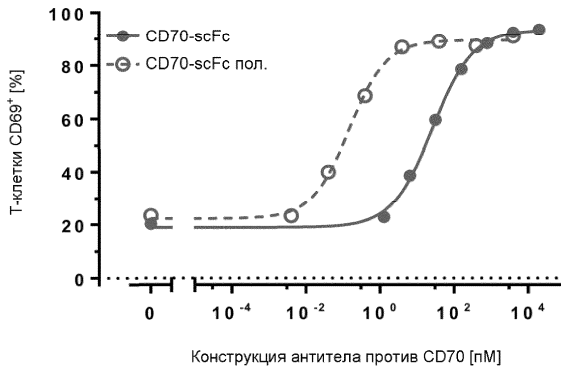
3(w) Донор 2



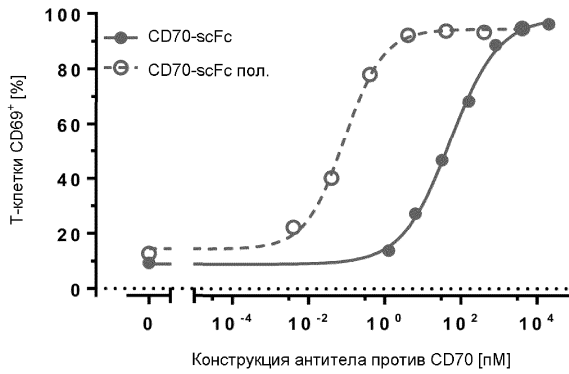
3(x) Донор 3



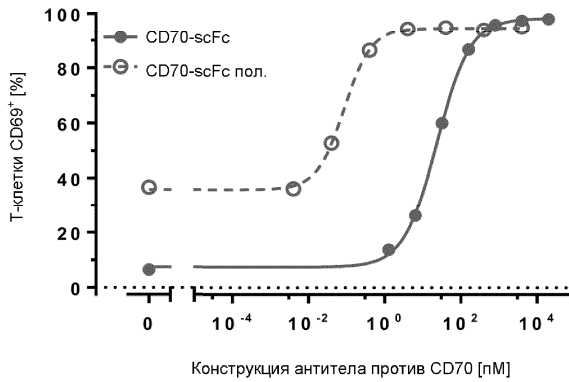
3(y) Донор 1

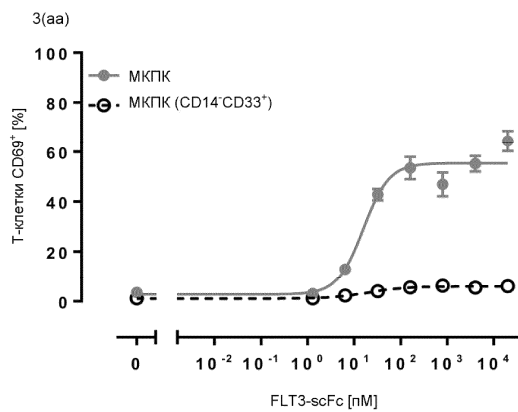


3(z(1)) Донор 2

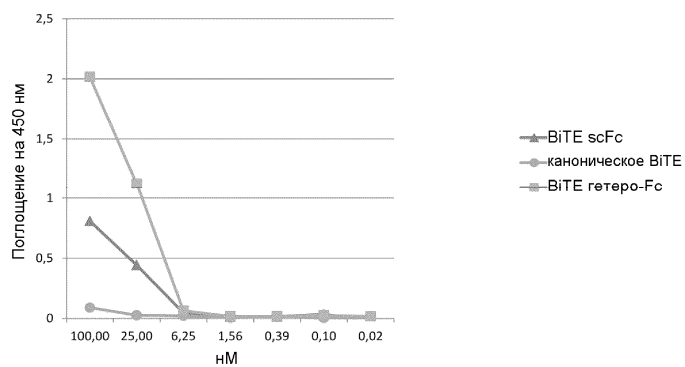


3(z(2)) Донор 3

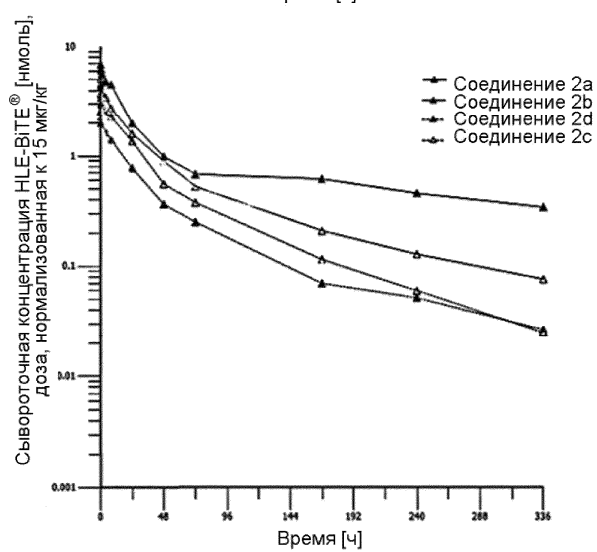
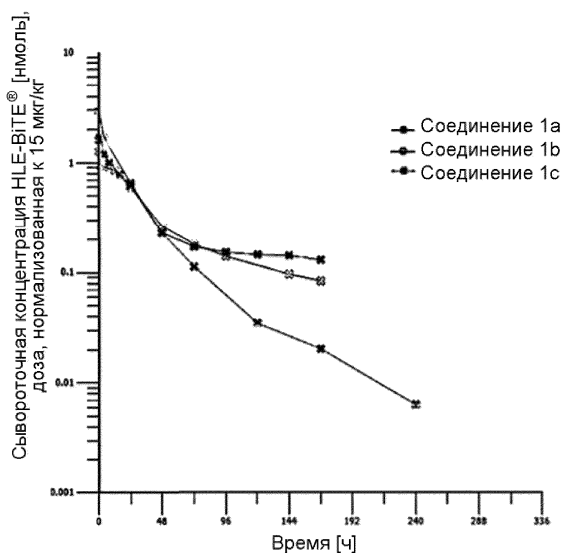


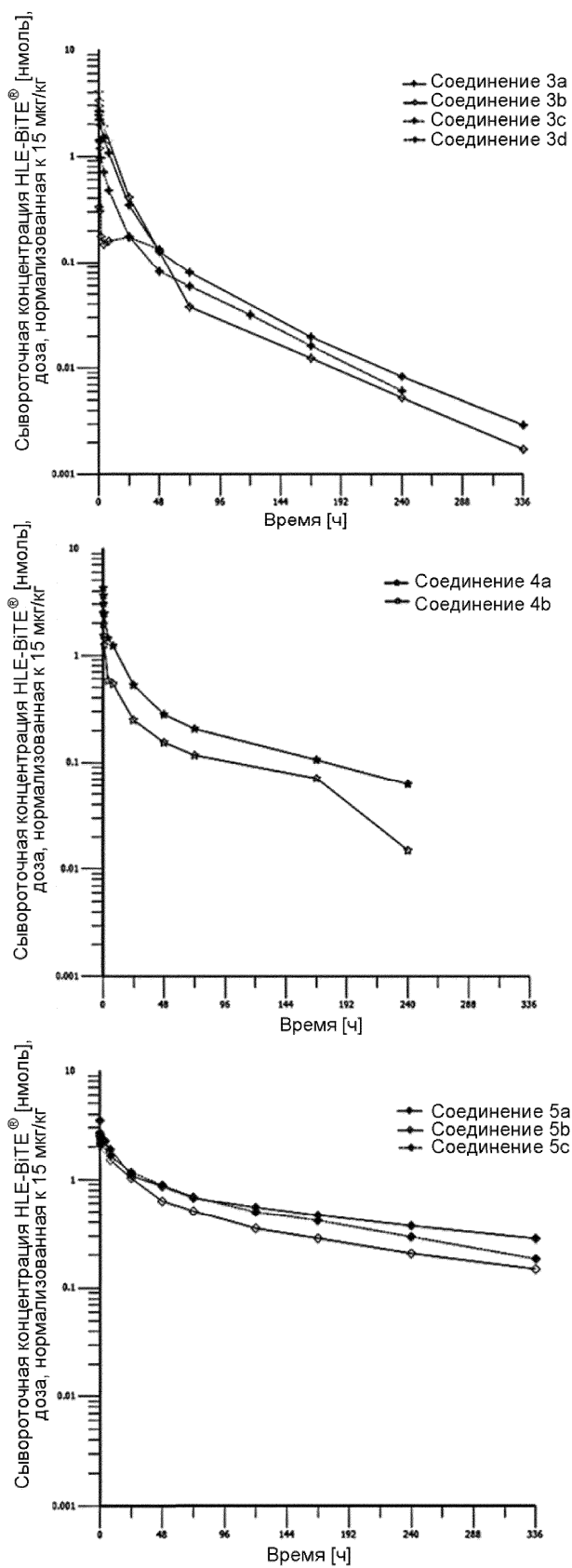


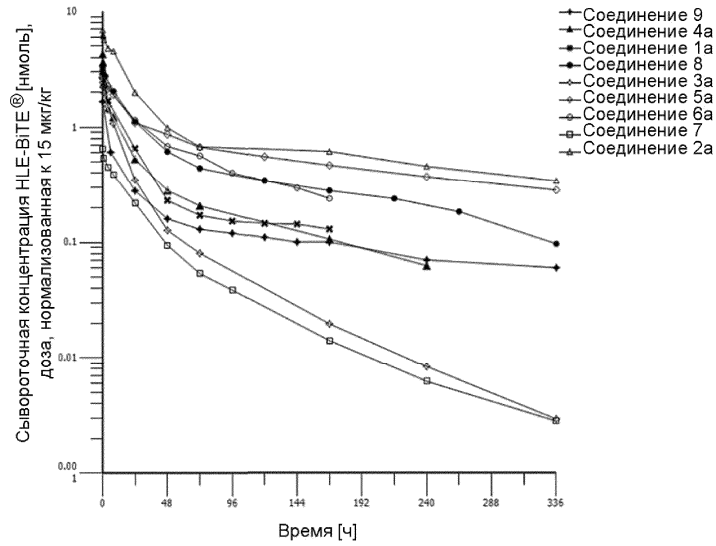
Фиг. 3



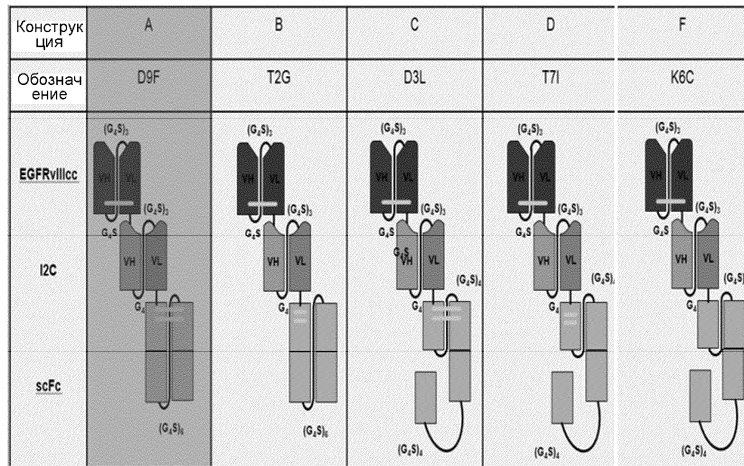
Фиг. 4



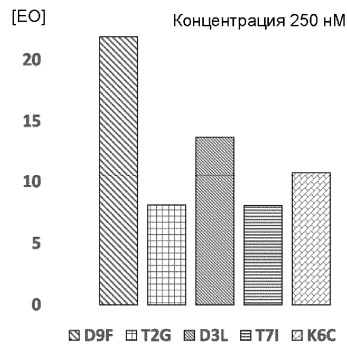




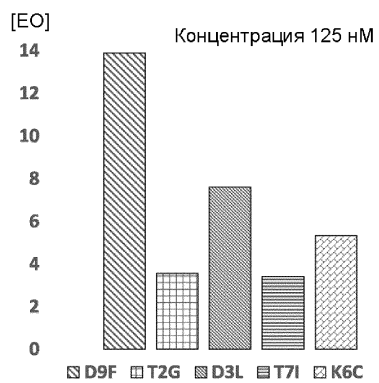
Фиг. 6



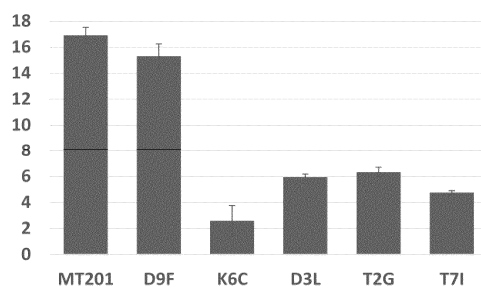
Фиг. 7



Фиг. 8А



Фиг. 8В



Фиг. 9

